Diverse Berichte

Referate.

A. Mineralogie.

K. Feussner: Über eine neue Methode der Brechungsexponent-Bestimmung mittelst Totalreflexion. Inaug.-Diss. Marburg 1882.

Die vom Verf. zu einigen Versuchen benützte Methode ist im Princip gleich der bekannten Wollaston'schen. Das zu untersuchende Object wird mit seiner spiegelnden Fläche an der Rückfläche eines Glasprisma angebracht und dann diejenigen Stellungen des Prisma gegen das auffallende Licht beobachtet, in welchen an der Grenze des Prisma und des Objects totale Reflexion eintritt. Die Einrichtung im Einzelnen ist folgende: Das im horizontalen Querschnitt rechteckige Glasprisma ist auf einem Goniometer mit horizontalem Theilkreise, an Stelle des Krystalltischchens so befestigt, dass die Prismenkanten vertical stehen. Die zu untersuchende Krystallplatte liegt hinter einer der verticalen Seitenflächen (der „Rückfläche") des Prisma, ist aber nicht mit Kitt durch Aufdrücken an der Fläche befestigt, sondern sitzt in einem besonderen ringförmigen Träger und ist mit Hülfe eines darüber liegenden federnden und mit Schrauben beweglichen Blechstreifens mit der Prismenfläche zur Berührung gebracht, (soweit dies mit blossem Auge zu erkennen war) und dann zwischen Prisma und Krystall ein Tropfen einer stark brechenden Flüssigkeit gebracht. Die Krystallplatte ist in ihrem ringförmigen Träger gleichzeitig um eine (nahe) horizontale und zur Prismenfläche (nahezu) senkrechte Achse drehbar, so dass die verschiedenen Hauptbrechungsexponenten des Krystalls an einer Platte bestimmt werden können. Ein monochromatisches nahe horizontales Lichtbündel tritt an einer der Seitenflächen ein, wird an der Rückfläche reflectirt und tritt aus der zweiten Seitenfläche aus und fällt in ein auf unendlich eingestelltes Fernrohr. Man stellt so zunächst auf der einen Seite, zum Beispiel bei rechts stehender Lampe auf die Grenze der Totalreflexion ein, bringt dann die Lampe auf die linke Seite und

dreht das Prisma um die Achse des Theilkreises, bis wieder jene Grenze eingestellt ist. Hat man hierbei das Prisma um den Winkel 2φ gedreht, so ergiebt sich der Brechungsexponent der Krystallplatte mit Hülfe der Gleichung

$$n = \sqrt{N^2 - \cos^2\varphi}$$

wenn N den Brechungsindex des Glases bedeutet. Um diesen leicht bestimmen zu können, ist die obere Fläche des Prisma abgeschrägt, so dass eine Kante mit spitzem Kantenwinkel entsteht, die zur Bestimmung von N vertical gestellt wird. Aus der obigen Gleichung ist zu ersehen, dass n die Bedingungen:

$$\sqrt{N^2 - 1} < n < N$$

erfüllen muss.

Der Verf. hat in der angegebenen Weise folgende Brechungsexponenten bestimmt:

Topas:	1,61559 ;	1,61808 ;	1,62510
Baryt:	1,63624 ;	1,63734 ;	1,64812
Aragonit:	1,52977 ;	— ;	—

sämmtlich für Natriumlicht gültig.

Es frägt sich nun, ob diese Modification der Wollaston'schen Methode sich durch eine grössere Genauigkeit mehr als die anderen empfiehlt. Die Behauptung des Verf., dass noch die 5. Decimalstelle von n bestimmt werden könne, erscheint etwas zu hoch gegriffen. Was zunächst den von den Einstellungs- und Ablesungsfehlern abhängenden Fehler des Resultats betrifft, so giebt der Verf. richtig an, dass derselbe hier nur das $\frac{\sin\varphi}{n}$fache des bei dem Totalreflectometer unter gleichen Umständen, d. h. gleichen Werthen von N (bei dem Totalreflectometer der Index der Flüssigkeit) und n entstehenden Fehlers beträgt. Der Verf. berechnet auch den Fehler, der daher rührt, dass die Seitenflächen des Prisma zwar einander parallel, aber nicht senkrecht zu der Rückfläche stehen, und es zeigt sich, dass dieser Fehler bei einem sorgfältig geschliffenen Prisma kaum auf die 5. Decimalstelle von n Einfluss hat. Leider aber hat der Verf. vollständig den aus einer Neigung der Krystallfläche gegen die Prismenfläche entspringenden Fehler vernachlässigt und gerade dieser ist der grösste, da bei dem oben angegebenen Verfahren, den Krystall anzubringen, es mir nicht mit Sicherheit ausgeschlossen zu sein scheint, dass jene Flächen eine Neigung von $\frac{1}{4}$, vielleicht auch $\frac{1}{2}$ Grad behalten können, zumal da der Krystall noch, während das Prisma fest steht, um eine nahe horizontale Achse gedreht wird. Wenn ich annehme, dass sowohl Krystallfläche und Prismenfläche vertical stehen, aber gegen einander um einen kleinen Winkel ε geneigt seien, so berechne ich für den Fehler f der Grösse:

$$n = \sqrt{N^2 - \cos^2\varphi}$$

den Ausdruck:

$$f = \tfrac{1}{2}\sin^2\varepsilon \left\{ n\,\frac{n_2^2 - n^2}{N^2 - n^2} - n\,\frac{n_2^2 - n^2}{1 - N^2 + n^2} + \frac{n_2^2 - 2n^2}{n} \right\}$$

in welchem n_2 den Index des zwischen Prisma und Krystall enthaltenen Flüssigkeitstropfens bezeichnet.

Für: $N = 1{,}717$ $n = 1{,}530$ $n_2 = 1{,}95$

erhalte ich: $f = -1{,}2924 \cdot \sin^2 \varepsilon$

woraus für $f = -0{,}00001$ $\varepsilon = 9',5$

$f = -0{,}0001$ $\varepsilon = 30',5$

folgt. Für die 5. Decimalstelle von n kann man also nicht mehr einstehen, kaum für die 4., da man über die Grösse von ε kein Urtheil, wenigstens nicht ohne besondere complicirte Vorrichtungen, gewinnen kann.

In der Einleitung giebt der Verf. einen historischen Überblick über die Methoden der Bestimmung der Brechungsexponenten durch Totalreflexion. Man vermisst unter den angeführten Methoden die von Prof. Quincke angegebene (Festschrift der naturforschenden Gesellschaft zu Halle, 1879. Referat: Dies. Jahrbuch, 1880, Bd. I, p. 325).

Oben war erwähnt, dass mit einem Glasprisma von rechteckigem Querschnitt nur Brechungsexponenten n bestimmt werden können, welche zwischen den Werthen N und $\sqrt{N^2 - 1}$ liegen. Dies spricht nicht zu Gunsten eines solchen Querschnitts. Ich habe mir daher die Frage vorgelegt, welchen Querschnitt man für ein gleichschenkeliges Prisma mit dem Brechungsindex N wählen müsse, so dass mit demselben alle Brechungsexponenten n, welche zwischen 1 und N liegen, nach der Wollaston'schen Methode bestimmt werden können.

Ich finde, dass dies erreicht wird, wenn der Winkel:

α welchen die Rückfläche des Prisma (an der das Object befestigt ist), mit jeder der beiden Seitenflächen bildet (in die das Licht ein-, resp. austritt),

so gewählt wird, dass α zwischen zwei Werthen α' und α'' liegt:

$$\alpha' < \alpha < \alpha''$$

und α', α'' durch die Gleichungen:

$$\cos \alpha' = \frac{1}{N} \quad ; \quad \operatorname{cotg} \frac{\alpha''}{2} = \sqrt{N^2 - 1}$$

bestimmt sind. Diese Grenzwerthe α', α'' ergeben sich z. B. für zu:

N	α'	α''
1,5	48° 11',4	83° 37',2
1,6	51° 19',1	77° 21',9
1,7	53° 58',1	72° 3',9
1,8	56° 15',1	67° 29',9.

Ein gleich- und zwar dreiseitiges Prisma, z. B. ($\alpha = 60^0$), würde also alle kleineren Brechungsexponenten als N bestimmen lassen, dagegen ist weder das gleichschenklig rechtwinklige Prisma, noch ein Prisma mit rechteckigem Querschnitt hierzu geeignet.

Bei einem Prisma mit beliebigem Winkel α berechnet man übrigens am bequemsten den Brechungsexponenten n mit Hülfe der Formeln:

$$\cos \gamma = \frac{1}{N} \cos \varphi$$

$$n = N \sin \left(\gamma + \alpha - \frac{\pi}{2} \right)$$

in denen γ als ein Hülfswinkel angesehen werden kann.

Karl Schering.

F. Kohlrausch: Über die Einstellung eines Objectes am Totalreflectometer. (Wiedemann's Annalen. Bd. XVI. pg. 609—610. 1882.)

Bei dem Totalreflectometer muss das zu untersuchende Object so eingestellt werden, dass die spiegelnde Fläche desselben, an welcher die Grenze der Totalreflexion beobachtet werden soll, der Drehungsachse des Kreises parallel ist. Um diese Einstellung angenähert genau leicht auszuführen, schlägt der Verf. vor, an der den Kreis tragenden Säule des Instruments einen schwarzen Spiegel zu befestigen, der corrigirbar ist und der Drehungsachse parallel gestellt wird. Die ebene Fläche des Objectes ist dann mit Hülfe der Gelenke des Halters so zu neigen, dass die Spiegelbilder des Auges in dieser Fläche und im Spiegel in gleicher Höhe erscheinen. Bei kleinen Objecten ist es ferner nöthig, dass die ebene Fläche desselben nahezu in der Drehungsachse liegt. Der Verf. empfiehlt zu diesem Zwecke, in den Fuss des Instruments in geeignetem Halter ein Messer einzusetzen (wie es hier und da bei Goniometern gebräuchlich ist), dessen verticale Schneide in der Drehungsachse liegt. **K. Schering.**

Ch. Soret: Sur un réfractomètre destiné à la mesure des indices et de la dispersion des corps solides. (C. R. 1882. II. Sem. No. 12. T. XCV. p. 517—520.)

Bei dem Kohlrausch'schen Verfahren der Bestimmung von Brechungsexponenten vermittelst des Totalreflectometers * konnte bis jetzt fast nur im monochromatischen Na-Licht gearbeitet werden und waren in Folge dessen Dispersionsuntersuchungen nahezu ausgeschlossen.

Verfasser sucht diesen Übelstand durch folgende Einrichtung zu beseitigen.

Auf eine ebene Wand des Glasgefässes eines im Wesentlichen wie ein Totalreflectometer eingerichteten Instrumentes fällt durch einen Collimator ein Bündel paralleler Sonnenstrahlen, durchsetzt die stark brechende Flüssigkeit im Innern des Gefässes und erleidet an der passend gestellten Krystallplatte die totale Reflexion. Die total reflectirten Strahlen fallen auf die seitliche Wand des Glasgefässes und werden von dem Spalt eines Spectroscops aufgenommen, das dann ein Spectrum erzeugt.

---

* Ref. dies. Jahrbuch, 1879, p. 873 u. f.

Durch passende Stellung der einzelnen Theile des Instrumentes gegeneinander kann danach für jede Linie im Spectrum die Grenze der totalen Reflexion erfasst werden. Man bestimmt auch hier den doppelten Grenzwinkel wie beim Totalreflectometer.

Um den Einfluss der Temperaturänderungen auf die Brechungsexponenten der Flüssigkeit zu eliminiren, beobachtete Verfasser an der zu untersuchenden Krystallplatte und an einer Fläche eines an deren Stelle zu bringenden Vergleichungsprisma's, dessen Brechungsexponenten vorher durch prismatische Ablenkung bestimmt worden waren. Ist n der gesuchte Brechungsexponent des Krystalls und φ der Grenzwinkel, sind ebenso N und Φ dieselben Grössen für das Vergleichungsprisma, so hat man

$$n = N \cdot \frac{\sin \varphi}{\sin \Phi}.$$

Verfasser erhielt nach dieser Methode befriedigende Resultate. — Zur Untersuchung von doppeltbrechenden Körpern ist die Anwendung eines Nicol in bekannter Weise erforderlich. C. Klein.

F. Kohlrausch: Über Prismenbeobachtungen mit streifend einfallendem Licht und über eine Abänderung der Wollaston'schen Bestimmungsmethode für Lichtbrechungsverhältnisse. (Wiedemann's Annalen. Bd. XVI. p. 603—609. 1882.)

Bei dem Wollaston'schen Verfahren zur Bestimmung von Brechungsexponenten wird bekanntlich ein Prisma so aufgestellt, dass ein Lichtstrahl in eine Fläche (sei No. I) des Prisma eintritt, an Fläche II total reflectirt wird und aus Fläche III wieder in Luft austritt. An Fläche II ist der Körper zu befestigen, dessen Brechungsexponent bestimmt werden soll.

Der Verf. der obigen Arbeit bemerkt, dass man, anstatt das Licht in I eintreten zu lassen, die Lichtquelle auch so aufstelllen kann, dass die Fläche II mit streifender Incidenz getroffen wird.

Dann ist ebenfalls die Lichtgrenze zu beobachten, welche man durch die Fläche III sieht. Bezeichnet

φ den Winkel zwischen den Seitenflächen II und III,

α den Winkel zwischen dem austretenden Strahle und der Normale auf Fläche III,

so giebt der Verf. für den Brechungsexponenten N des Prisma die Gleichung

$$\sqrt{N^2 - 1} = \frac{\cos \varphi - \sin \alpha}{\sin \varphi},$$

welche man für die numerische Rechnung zweckmässiger durch folgende ersetzen wird:

$$\operatorname{tg} p = 2 \frac{\sin\left(\frac{\pi}{4} + \frac{\varphi - \alpha}{2}\right) \sin\left(\frac{\pi}{4} - \frac{\varphi + \alpha}{2}\right)}{\sin \varphi}; \quad N = \frac{1}{\cos p}.$$

Um den Winkel α zu messen, ist das Fadenkreuz im Fernrohr auf die Grenze der totalen Reflexion (resp. der streifenden Incidenz) einzu-

stellen, dann das Fadenkreuz (z. B. mit einem Gauss'schen Ocular) zu beleuchten und das Fernrohr so einzustellen, dass das an III reflectirte Fadenkreuz mit dem direct gesehenen sich deckt.

Natürlich ist das in Fläche II mit streifender Incidenz einfallende Licht nicht anwendbar, wenn an dieser Fläche ein anderer Körper angeklebt ist.

Der Verf. giebt dann für den Brechungsexponenten n dieses Körpers die Gleichung:

$$n = \sin\varphi \sqrt{N^2 - \sin^2\alpha'} + \cos\varphi \sin\alpha'$$

oder die zur numerischen Rechnung bequemeren,

$$\sin\beta = \frac{\sin\alpha'}{N} \qquad n = N \sin(\beta + \varphi),$$

in denen α' der jetzt an Stelle von α beobachtete Winkel ist.

Bei dieser Methode braucht also nur ein Winkel (φ) des Prisma bekannt zu sein, der übrigens die Bedingung $\sin\frac{\varphi}{2} < \frac{1}{N}$ erfüllen muss, während die von Feussner (siehe obenstehendes Referat) angewandte Modification der Wollaston'schen Methode die Kenntniss zweier Winkel des Prisma erforderte (bei ihm waren sie beide gleich 90°).

Ich will kurz noch eine dritte Abänderung der Methode zur Bestimmung des Brechungsexponenten N des Prisma hinzufügen, welche nicht die Einrichtung zur Beleuchtung des Fadenkreuzes erfordert: Das Licht tritt in Fläche I ein, wird an II total reflectirt; auf die Fläche III wird das Fernrohr gerichtet und auf die Grenze der totalen Reflexion eingestellt. Dann ist die Lichtquelle so zu verschieben, bis bei ungeändert stehen gebliebenem Prisma das wieder in I einfallende Licht an III total reflectirt wird. Das Fernrohr werde aus der ersten Stellung, an der Kante der Flächen II, III vorüber, um den Winkel ψ gedreht, bis es, auf Fläche II gerichtet, auf die Grenze der totalen Reflexion an III eingestellt ist, dann kann man N mit Hülfe der Formeln

$$\operatorname{tg} q = 2\,\frac{\sin\frac{3\varphi + \psi}{4}\sin\frac{\varphi - \psi}{4}}{\sin\varphi} \quad ; \quad N = \frac{1}{\cos q}$$

berechnen, in denen, wie oben, φ den Winkel zwischen den Flächen II und III bedeutet. Bei dieser Methode muss jeder der drei Winkel des Prisma kleiner sein als $2\,\mathrm{arc}\sin\frac{1}{N}$.

An Stelle der Grenze der totalen Reflexion kann auch die noch schärfere Grenze der streifenden Incidenz zuerst an Fläche II, darauf an Fläche III beobachtet werden; man erhält dann denselben Winkel ψ. Beispiel: $\varphi = 59^0\,55'$; $\psi = 193^0\,40'$; daraus folgt: N = 1,6151.

Karl Schering.

E. Bertrand: Sur les différences entre les propriétés optiques des corps cristallisés biréfringentes, et celle que peuvent présenter les corps monoréfringents, après qu'ils ont été modifiés par des retraits, compressions dilatation ou tout autre cause. (Bulletin de la Soc. Min. de France. V. 1882.)

Eine eingehende Betrachtung dieser Arbeit habe ich in der Einleitung der in diesem Heft erscheinenden „Optischen Studien am Granat" gegeben.

C. Klein.

G. vom Rath: Vorträge und Mittheilungen. (Sitzb. d. niederrh. Ges. f. Natur- u. Heilkunde zu Bonn vom 7. Nov. 1881 u. 9. Jan. 1882.)

Wir entnehmen genannten Mittheilungen folgende mineralogisch interessante Untersuchungen.

1. Krystallform des Cuspidin. Das lichtgelblich-röthliche Mineral vom Vesuv, welches Verf. früher beschrieb und worüber wir in diesem Jahrb. 1882. Bd. I. p. 177 der Referate berichteten, ist nach neueren Feststellungen, wie auch schon damals vom Verf. angenommen, kein Cuspidin, und harrt bezüglich seiner Constitution noch der Ermittelung.

Dagegen gelang es dem Verf., einen wohlausgebildeten, ächten Cuspidinkrystall aufzufinden, an demselben das monokline System des Minerals nachzuweisen und zahlreiche Formen zu bestimmen.

Die Zeit her war nach den Angaben Scacchi's das Mineral für rhombisch gehalten worden und als vorkommende Gestalten wurden angegeben:

$$P\,(111)\ ,\ 2P\tfrac{4}{3}\,(432)\ ,\ P\breve{\infty}\,(101)\ ,\ \infty P\breve{\infty}\,(010).$$

Ferner war ermittelt: a : b : c = 0,7173 : 1 : 1,9376,

berechnet aus P : P Polkante X = 112° 8′

P : P Randkante Z = 77° 50′.

Schon Arzruni (Zeitschr. f. Kryst. I. 1877. p. 399) wies bei Gelegenheit des Referats der Scacchi'schen Arbeit auf die Möglichkeit eines monoklinen Systems für den Cuspidin hin, Verf. stellte letzteres durch Messungen sicher.

Axenverhältniss a : b : c = 0,7247 : 1 : 1,9623

$$\beta = 89^0\ 4'\ 19''.$$

Fundamentalwinkel: n : e = 145° 57′ ; e : c = 111° 5′ und f : c = 109° 27′.

Beobachtete Formen: $n = -P\,(111)$; $\nu = P\,(\bar{1}11)$; $p = -\frac{1}{3}P\,(113)$; $q = -P\tfrac{3}{2}\,(233)$; $r = -3P\tfrac{7}{11}\,(12.11.4)$; $s = 2P\breve{2}\,(\bar{1}21)$; $e = -P\breve{\infty}\,(101)$; $f = P\breve{\infty}\,(\bar{1}01)$; $h = -\frac{1}{3}P\breve{\infty}\,(103)$; $d = P\breve{\infty}\,(011)$; $g = \frac{1}{2}P\breve{\infty}\,(012)$; $k = \frac{1}{4}P\breve{\infty}\,(014)$; $l = \infty P\,(110)$; $b = \infty P\breve{\infty}\,(010)$; $c = oP\,(001)$.

Es betragen ferner die Neigungen:

Von	zu Axenebene bc	zu Axenebene ac	zu Axenebene ab
n	38° 56′	55° 57′	72° 39½′
v	39° 17′	55° 38⅔′	74° 2¾′
p	52° 26½′	64° 17′	47° 41⅓′
q	50° 24¼′	46° 38½′	68° 53⅕′
r	33° 59½′	56° 39¼′	83° 22⅔′
s	56° 4⅔′	36° 28½′	77° 39¼′
e	20° 9⅓′	90°	68° 55′
f	20° 22⅔′	90°	41° 39¼′
h	47° 25′	90°	41° 39¼′
d	89° 34¾′	27° ½′	62° 59½′
g	89° 20½′	45° 33′	44° 27′
k	89° 10′	63° 52¼′	26° 8′
l	35° 55½′	54° 4½′	89° 15′

Von sämmtlichen Formen machte nur die Constatirung von r an dem 1 mm grossen Krystall einige Schwierigkeit, gelang jedoch auch durch die Zone r, q, g und den Winkel r : e = ca. 144°. — Die Scacchi'sche Fläche $2P\frac{4}{3}$ (432) konnte nicht aufgefunden werden.

An den Krystallen herrschen n, *v*, r, ferner e, f, l. Die anderen Flächen sind untergeordnet, zum Theil treten sie nur sehr klein auf. Die Krystalle spalten vollkommen nach c = oP (001). Farbe wasserhell, weiss bis lichtröthlich weiss. Theils kommen die Krystalle in Drusen aufgewachsen, theils mit Biotit und Hornblende die körnige Masse der Auswürflinge constituirend in den Tuffen der Somma vor.

2. Miargyrit von Bräunsdorf bei Freiberg.

Auf dem Klinopinakoid von Miargyritkrystallen beobachtete G. vom Rath eigenthümliche Streifen, die eine gewisse Ähnlichkeit mit solchen zu haben schienen, die die triklinen Feldspathe auf der seitlichen Endfläche zeigen. Die Untersuchungen, welche darauf gerichtet waren, zu erforschen, ob der Grund in beiden Fällen der gleiche sei, liessen indessen das Vorhandensein von Zwillingsbildungen und folglich auch eine Abweichung von dem seither für den Miargyrit angenommenen Krystallsystem nicht erkennen, so dass Verf. für seine Zwecke geradezu von den Axenelementen Friedländer's

$$a : b : c = 1{,}0008 : 1 : 1{,}2967$$
$$\beta = 48^\circ\ 13'$$

ausgeht.

Die an den Krystallen beobachteten Flächen sind:

a = $\infty P\bar{\infty}$ (100) ; b = $\infty P\bar{\infty}$ (010) ; c = oP (001) ;
r = $P\bar{\infty}$ ($\bar{1}01$) ; m = $\frac{1}{2}P\bar{\infty}$ ($\bar{1}02$) ; g = ∞P (110) ;
p = $\infty P2$ (210) ; χ = $\infty P\frac{3}{2}$ (230) ; β = $P\bar{\infty}$ (011) ;
o = $3P\bar{\infty}$ (031) ; d = $\frac{3}{4}P$ ($\bar{3}34$) ; t = $\frac{3}{2}P3$ ($\bar{1}32$) ;
ρ = $12P\frac{12}{11}$ ($\bar{1}.24.2$) ; s = $P\frac{3}{2}$ ($\bar{2}33$) ; α = $-9P\frac{9}{2}$ ($\bar{2}91$) ;
τ = $\frac{9}{8}P9$ ($\bar{1}98$) ; *v* = $\frac{6}{5}P6$ ($\bar{1}65$) ; Σ = $-3P\frac{3}{2}$ (231).

Von der Art des Auftretens dieser Formen geben vier Figuren nähere Kenntniss.

Was die neuen Flächen τ und ν anlangt, so dienten zur Bestimmung die Zone β : t und die Winkel:

$\tau : \beta = 172^0$; berechnet $= 171^0\ 47'$
$\nu : \beta = 167^0\ 20'$; „ $= 167^0\ 11\frac{1}{2}'$.

Ferner wurden bestimmt:

τ : t $= 158^0\ 45'$; „ $= 158^0\ 30'$
ν : t $= 163^0\ 15'$; „ $= 163^0\ 5\frac{2}{3}'$
β : t $=$ — — ; „ $= 150^0\ 17'$.

An den Krystallen zeigt sich theils tafelartige Bildung nach a, wobei annähernd gleiche Ausdehnung des Prisma's g, wie der Flächen c und r erscheint, theils kommt Erstreckung in der Richtung der Axe b vor.

Bezüglich der Flächenbeschaffenheit ist besonders die an Zwillingsstreifung erinnernde Streifung auf dem Klinopinakoid zu erwähnen; dieselbe läuft der Combinationskante zu t parallel. — Die neuen Flächen treten verhältnissmässig nur sehr untergeordnet auf. — Besonders charakteristisch für das Ansehen der Krystalle ist die Entwickelung der Zone r : d : s : t : o : a.

3. Kupferkies von Anxbach im Wiedthale.

An diesen als besonders schön gebildet geschilderten Krystallen wurden gefunden

$\frac{P}{2}\,\kappa\,(111)$, $\frac{-P}{2}\,\kappa\,(1\bar{1}1)$, $2P\infty\,(201)$, $\frac{3}{2}P\infty\,(302)$,
$P\infty\,(101)$, $\infty P\ (110)$, $oP\ \ (001)$.

Auch Anlagen eines Skalenoëders kommen vor, dasselbe bildet eine starkgestreifte Abstumpfung zwischen $\frac{P}{2}$ und $P\infty$ und macht mit der Fläche ersterer Gestalt einen Winkel von ca. 170°, wonach es etwa $\frac{P\frac{3}{2}}{2}\,\kappa$ (323) ist. Häufig kommen Zwillinge vor, bei denen, nach Verfasser, $+\frac{P}{2}$ des einen Individuums mit $-\frac{P}{2}$ des anderen verbunden ist. Es herrscht sonach in dem Zwillingsgebilde nicht die Symmetrie, welche bei holoëdrischer Entwickelung vorhanden wäre. Auffällig zeigt sich dies auch noch dadurch, dass das Individuum, was mit $\frac{P}{2}$ anliegt, mehr tafelförmig, das mit $-\frac{P}{2}$ in Berührung tretende mehr sphenoidisch entwickelt ist.

4. Pseudomorphose von Silberglanz nach Rothgiltigerz von Chili.

Bereits von Blum von Marienberg in Sachsen beschrieben. An den chilenischen Krystallen sind die 2 Cm. langen, 1 Cm. dicken hexagonalen Prismen an ihrer Oberfläche mit Silberglanzkrystallen der Combination O (111) und $\infty O\infty$ (100) bedeckt. **C. Klein.**

A. von Lasaulx: Vorträge und Mittheilungen. (Sitzungsberichte d. niederrh. Gesellsch. f. Natur- u. Heilkunde zu Bonn. Sitzungen vom 2. Mai, 20. Juni und 11. Juli 1881.)

Wir heben von den vorliegenden Mittheilungen, soweit sie mineralogischer Natur und in diesem Jahrbuch noch nicht erörtert sind, die folgenden hervor.

1. Apophyllit aus dem Basalt des Minderbergs bei Linz am Rhein.

Die Krystalle sind wie die von Cziklowa gebildet und zeigen $\infty P\infty$ (100), oP (001) und P (111). Erstere Flächen sind drusig und glänzend, die Pyramidenflächen erscheinen mattweiss. Die Krystalle sitzen auf Phillipsit, der die Wandungen eines Blasenraums bedeckt, auch Natrolith kommt in demselben vor.

2. Gismondin aus dem Basalt des grossen Weilbergs.

Ein vereinzeltes Kryställchen, von Steinmark umhüllt, wurde als Seltenheit gefunden.

3. Mineralien aus den Pyrenäen.

a) Chromgranat vom Pic Posets. Körnige bis dichte Aggregate, aber auch scharfe ∞O (110). (Vergl. auch dies. Jahrbuch 1880, I, p. 170 der Referate.)

b) Desmin von Montagne de Superbagnères. Dép. Haute Garonne.

Die Krystalle zeigen ∞P (110), $\infty P\breve{\infty}$ (010), $P\breve{\infty}$ (011), oP (001), sowie $P\breve{\infty}$ ($\bar{1}01$). Auf letzteren beiden Flächen beobachtet man Streifungen und Knickungen, die auf Zwillingsbildungen deuten. Dieselben werden wohl später ausführlicher erörtert werden, da auch genauere Messungen in Aussicht gestellt sind.

c) Eisenkies aus Kalk. Thal von Malibierne. Massiv der Maladetta. Zeigt in den verdrückten Würfeln dieselben Erscheinungen, die G. Rose bei Pyritwürfeln aus den Thonschiefern der Gegend von Malmedy beschrieb, nur sind die Hohlräume nicht wie in diesem Falle von Faserquarz, sondern von Faserkalk erfüllt.

d) Couzeranit im Kalkstein von St. Béat. Klare Prismen ∞P (110) und $\infty P\infty$ (100) mit basischer Spaltbarkeit. Interferenzbild das einer optisch einaxigen Substanz, wie schon Des-Cloizeaux fand. Gestörte Erscheinungen lassen auf Wachsthumseinflüsse schliessen.

e) Schwefel in dem weissen Marmor vom Mt. Arri bei St. Béat. Als Vorkommen erwähnenswerth. **C. Klein.**

V. von Zepharovich: Über Kainit, Rutil und Anatas. Mit einer Tafel. (Zeitschr. f. Kryst. u. Mineral. VI. 3. 1882.)

1. Kainit von Stassfurt.

Durch Herrn Prof. Ulrich in Hannover erhielt Verfasser Drusen prachtvoller Kainitkrystalle, die im Herbst 1881 in Stassfurt an-

getroffen worden waren und gegenüber den früher bekannten sich durch Grösse und reichlichere Formenausbildung auszeichnen.

Die beobachteten Formen sind:

a = $\infty P\bar{\infty}$ (100), b = $\infty P\breve{\infty}$ (010), c = oP (001)
r = $-2P\bar{\infty}$ (201), d = $2P\breve{\infty}$ (021), p = ∞P (110)
$\infty P\bar{2}$ (210), l = $\infty P\bar{3}$ (310), $-\frac{3}{4}P$ (334)
o = $-P$ (111), $-2P$ (221), x = $-3P\breve{3}$ (131)
$\frac{2}{3}P$ ($\bar{2}23$), o' = P ($\bar{1}11$), x' = $3P\breve{3}$ ($\bar{1}31$).

Von diesen Gestalten sind d, l und x, sowie die vier vom Verfasser nicht mit Buchstabensignatur versehenen Formen neu. — Der Habitus der Krystalle ist pyramidal durch o und o', wozu bisweilen die drei Endflächen in grösserer Entwicklung treten.

Bezüglich des Axenverhältnisses wurde von den durch Groth gegebenen Elementen:

$$a : b : c = 1{,}2186 : 1 : 0{,}5863$$
$$\beta = 85^0\ 5'\ 36''$$

ausgegangen. Die Übereinstimmung zwischen gemessenen und gerechneten Winkeln in der im Original gegebenen Tabelle ist recht befriedigend.

Für die neuen Formen gelten folgende Winkelwerthe:

	Gemessen	Berechnet		Gemessen	Berechnet
021 : 001 =	130° 36'	130° 33' 41"	221 : 111 =	161° 36'	161° 34' 41"
010 =	139° 26½'	139° 26' 19"	131 : 010 =	146° 51'	146° 48' 47"
$\bar{1}10$ =	123° 25'	123° 26' 10"	001 =	119° 43'	119° 48' 54"
210 : 110 =	160° 27' ca.	160° 44'	110 =	144° 53'	144° 53' 17"
310 : 110 =	151° 29'	151° 30' 36"	111 =	150° 9½'	150° 11' 37"
210 =	170° 50½' ca.	150° 46' 26"	$\bar{2}23$: $\bar{1}11$ =	169° 46'	169° 8' 29"
334 : 111 =	172° 32'	172° 49' 48"	$\bar{1}31$: $13\bar{1}$ =	122° 28'	122° 21' 43"

Die Krystalle sind dunkelfleischroth bis farblos, meist ebenflächig, stark glänzend. Zarte verticale Linien, parallel der Spaltbarkeit nach $\infty P\bar{\infty}$ (100) sind zuweilen auf $\infty P\breve{\infty}$ (010) zu sehen.

Dünne Platten zeigen unter dem Mikroskop im polarisirten Lichte Einschlüsse von wasserhellen farbig gesäumten Körnchen, die bei rascher Lösung des Kainitpulvers in Wasser zurückbleiben und bei der Prüfung auf Magnesia und Schwefelsäure reagiren. Nach Tschermak's früheren Bestimmungen sind diese Einschlüsse Kieserit.

Im Polarisationsinstrument gibt sich auf oP (001) und $\infty P\bar{\infty}$ (100) ein solcher Austritt je einer Axe zu erkennen, dass daraus auf die Lage der Ebene der Axen parallel $\infty P\breve{\infty}$ (010) geschlossen werden kann.

Auf die Lage der Auslöschungsrichtungen gegenüber den krystallographischen Elementen geprüft, ergibt sich, dass eine Hauptauslöschungsrichtung (Spur der I. Mittellinie) im spitzen ebenen Winkel a/c liegt und mit c (für Na-Licht) einen Winkel von 10° 43' einschliesst.

Eine Platte, senkrecht zur ersten Mittellinie ergab:

$2H_a = 87^0\ 8'$ ($87^0\ 31'$—$86^0\ 47'$) Li
$87^0\ 3'$ ($87^0\ 26'$—$86^0\ 37'$) Na
$87^0\ 0'$ ($87^0\ 6'$—$86^0\ 55'$) Tl

Eine Platte, annähernd senkrecht zur zweiten Mittellinie, lieferte:

$2H_o = 98^0\ 30'$ ($98^0\ 16'$—$98^0\ 39'$) Na

Aus den Messungen im Na-Licht folgt:

$2V_a = 84^0\ 33'$.

Ferner ergibt sich eine Dispersion der Axen mit $\rho > v$ um die erste Mittellinie. Die geneigte Dispersion ist in Öl deutlich zu erkennen. Der Charakter der Doppelbrechung ist negativ. — Diese Beobachtungen bestätigen und erweitern die früheren Angaben Groth's (Pogg. Annal. 137. 1869).

Die Bestimmung des specifischen Gewichts der Substanz wurde in absolutem Alkohol ausgeführt und ergab bei Anwendung kleiner rother Krystallfragmente = 2,067 mit dem Pyknometer, dagegen für farblose Krystalle = 2,151 mit der hydrostatischen Waage.

2. Rutil aus dem Stillup-Thal in Tirol.

Dieses sich oberhalb Mairhofen vom Haupt-Zillerthale in südöstlicher Richtung abzweigende Thal hat in den letzten Jahren besonders schöne Apatite (vom Hollenzkopf) neben Krystallen von Periklin, Adular und Sphen (von der Rosswandspitz) geliefert.

Die hier in Rede stehenden Rutile zeigen eine ungewöhnliche Kreiselform, indem die Pyramide t = P3 (313) herrschend auftritt und an den Mittelkanten nur untergeordnet Prismen zeigt, die eine stark geriefte oder tief gekerbte Zone bilden.

Von sonstigen untergeordnet vorkommenden Flächen sind noch beobachtet: e = P∞ (101), auch s = P (111). Dann wurde einmal bemerkt g = P2 (212) zwischen f = $P\frac{3}{2}$ (323) und t = P3 (313) liegend. Von Prismen boten sich dar: a = ∞P∞ (100), x = ∞P4 (410), l = ∞P3 (310), h = ∞P2 (210), k = $\infty P\frac{4}{3}$, m = ∞P (110). Von diesen Gestalten ist l selten, die Formen g und k sind neu.

Die vom Verfasser angestellten Messungen zeigen eine recht befriedigende Übereinstimmung mit den aus Miller's Axenverhältniss a : c = 1 : 0,6442 gerechneten Werthen. Für die neuen Gestalten finden sich folgende Winkel angeführt.

	Gemessen	Berechnet		Gemessen	Berechnet
$313 : 3\bar{1}3$ (X)	$= 159^0\ 34'$	$159^0\ 32'$	$313 : 011$	$= 142^0\ 21'$	$142^0\ 20\frac{1}{2}'$
133 (Y)	$= 150^0\ 55'$	$150^0\ 54'$	111	$= 161^0\ 52'$	$161^0\ 48'$
$31\bar{3}$ (Z)	$= 68^0\ 22'$	$68^0\ 21\frac{1}{2}'$	410	$= 123^0\ 57'$	$124^0\ 4'$
$1\bar{3}3$	$= 133^0\ 11'$	$133^0\ 13'$	$430 : 100$	$= 143^0\ 2'$	$143^0\ 8'$
101	$= 169^0\ 45'$	$169^0\ 46'$	$4\bar{3}0$	$= 106^0\ 16'$	$106^0\ 16'$

Auch Zwillinge wurden beobachtet; dieselben sind nach dem Gesetze: Zwillingsaxe die Normale zu P∞ (101) gebildet. Verfasser gibt von ihnen und den einfachen Krystallen treffliche Darstellungen.

Die Krystalle sind selten über 2 Mm im Durchmesser, sehr glänzend, von blutrother Farbe, bisweilen stahlblau oder bunt angelaufen, sie sitzen z. Th. auf weissen Periklinkrystallen auf.

Auch die gewöhnliche Rutilausbildung wurde beobachtet. Die Krystalle dieser Bildungsweise kommen mit den oben geschilderten nicht zusammen vor und sitzen auf nach dem Gesetze der Makrodiagonale verzwillingten Periklinen.

3. Anatas aus dem Binnenthal.

Über die diesbezügliche Arbeit des Verfassers haben wir schon in dies. Jahrb. 1881. II. p. 325 u. f. d. Ref. berichtet.

Gegenüber der Mittheilung aus der Zeitschrift Lotos, die damals dem Referate zu Grunde lag, finden wir hier die Form 7P20 (20 . 1 . 3) zurückgezogen und durch 7P21 (21 . 1 . 3) in Übereinstimmung mit Seligmann (d. Jahrb. 1881. II. p. 269 u. f.) ersetzt.

Die Gestalt $\omega = \frac{13}{2}P\frac{39}{4}$ (39 . 4 . 6) ist indessen beibehalten und mit Rücksicht auf eine vom Referenten früher (d. Jahrb. 1881 II. p. 327) gemachte Bemerkung über die Zulässigkeit des complicirten Zeichens derselben eine Entgegnung angefügt. Ich erlaube mir auf diese letztere zu erwidern, dass es mir nicht in den Sinn gekommen ist, wie Herr von Zepharovich zu glauben scheint, einen Zweifel an der Richtigkeit seiner Bestimmung im speciellen Falle ausdrücken zu wollen. Wenn ich gesagt habe, dass ω „nicht mit vollster Sicherheit feststeht," so bezieht sich dies keineswegs auf die Bestimmung der betreffenden Gestalt durch den genannten Forscher, da derselbe ja überzeugend nachweist, dass Messung und Rechnung in seinem Falle vorzüglich harmoniren.

Es stützt sich meine Behauptung vielmehr auf die in den weitaus häufigsten Fällen gerundet und gestreift anzutreffende Flächenbeschaffenheit von ω.

Ich halte desshalb einstweilen dafür, dass das Zeichen von ω überhaupt nicht allgemein gültig an dem vorliegenden Materiale zu bestimmen ist und nehme in dieser Hinsicht auch die neuesten Seligmann'schen Messungen* in Anspruch, die von den geforderten doch so erheblich abweichende Werthe liefern, wie sie mir bei Aufstellung eines Zeichens mit so complicirten Axenschnitten nicht zulässig erscheinen. **C. Klein.**

L. Fletcher: Crystallographic Notes. IX. Skutterudite. (The Lond., Edinb. a. Dubl. Phil. Mag. Vol. 13. No. 84. 5 Ser. July 1882. p. 474.) Mit 1 Tafel.

L. Fletcher: Über Skutterudit. (Zeitschr. f. Kryst. B. VI. 1882. p. 20.) Mit 3 Holzschnitten.

Dies von Breithaupt als Tesseralkies oder Hartkobaltkies eingeführte Mineral zeigt nach den Untersuchungen Scheerer's die Gestalten O (111), ∞O∞ (100), ∞O (110) und 2O2 (211). Die Zusammensetzung ergab sich, wie auch Wöhler bestätigte, zu $CoAs^3$; bemerkenswerth ist ferner die

* Dies. Jahrb. 1882 II. p. 281 und 282.

Thatsache, dass die Krystalle auf Kobaltglanzkrystallen ohne nachweisbare Gesetzmässigkeit aufgewachsen erscheinen. — Scheerer nannte das Mineral Arsenikkobaltkies, Haidinger 1845, nach dem Fundorte, Skutterudit.

Bei Brooke und Miller werden 1852 dieselben Gestalten am Skutterudit aufgeführt, die Scheerer angab, bis auf 202 (211), an dessen Stelle 20 (221) erscheint.

Im Jahre 1862 bestimmte G. vom Rath am Skutterudit ausser 0 (111), $\infty 0\infty$ (100) und $\infty 0$ (110), und ohne Scheerer's Angaben zu berücksichtigen, 202 (211) als neue Form, ferner $\frac{3}{2}0$ (332), $\infty 03$ (310), $20\frac{3}{2}$ (643). Bei einem Vergleich von $\frac{3}{2}0$ mit dem Miller'schen 20 hält G. vom Rath es für wahrscheinlich, dass letztere Gestalt nicht sicher ermittelt sei, nach Verfasser liegt aber offenbar eine irrige Wiedergabe des von Scheerer beobachteten Ikositetraëders vor und sind die Zeichen (211) und (221) verwechselt worden. Die Gestalt 20 (221) ist danach aus der Reihe der beobachteten Formen zu streichen.

Fletcher selbst beobachtete nun an den Krystallen des Britischen Museums: 0 (111), $\infty 0\infty$ (100), $\infty 0$ (110) und ausserdem noch $-\pi\,\infty 03$ π (301) und $+\pi\,30\frac{3}{2}\,\pi$ (321). Die Krystalle sind also nach dieser Beobachtung den Gesetzen der parallelflächigen Hemiëdrie unterworfen und zwar wurde der Effect derselben als ein durchgreifender erkannt. Das Auftreten von Formen entgegengesetzter Stellung verdient überdies alle Beachtung. Nur ein Krystall zeigte, ausser dem negativen Pentagondodekaëder, auch an einer Stelle, wo dasselbe nicht auftrat, das entsprechende positive, der betreffende Krystall ist aber wahrscheinlich ein Zwilling nach $\infty 0$ (110). Die Bestimmungen des spec. Gew. an Krystallen ergaben: 6,37. 6,48. 6,56. 6,72. 6,86.

Wenn sonach auch der Skutterudit nicht mehr gegen die Ansicht Rose's bezüglich des thermoëlektrischen Verhaltens spricht, wie Schrauf und Dana meinten, indem sie ersteren als holoëdrisch ansahen, so ist doch auch Verf. nicht der Ansicht Březina's, nach dem nur bei Tetartoëdrie der Gegensatz der thermoëlektrischen Eigenschaften verschiedener Pyritkrystalle erklärlich erscheint, sondern neigt sich Schrauf und Dana zu, die die Ursache der thermoëlektrischen Differenz in Verschiedenheiten der Zusammensetzung und Dichte der Substanz erblicken. C. Klein.

A. Arzruni: Krystallographische Untersuchungen an sublimirtem Titanit und Amphibol. (Sitz.-Ber. d. Kgl. Akad. d. Wiss. zu Berlin. 1882. XVII.)

Die der Messung unterworfenen Titanit-Kryställchen (von nur 1 mm Grösse und darunter) entstammten Drusenräumen in Auswürflingen der Inseln Procida und Ponza. Für beide Fundorte ist die Zusammensetzung der Auswürflinge wesentlich dieselbe, sie bestehen aus Sanidin, Hornblende, Augit, Glimmer und Magneteisen; die Ausbildung der Krystalle dagegen ist eine verschiedene und überdies von dem gewöhnlichen Habitus abweichend. (Die Aufstellung ist nach Des-Cloizeaux.)

Procida: oP (001) vorherrschend; dazu:

∞P (110), $\infty P\infty$ (100), $-P$ (111), $+P\infty$ ($\bar{1}01$).

Ponza: $-P$ (111), $\infty P\infty$ (010) und eine unbestimmbare Zurundung der Enden.

Die Messungen führten zu dem Axen-Verhältniss:

$$a : b : c = 0{,}75129 : 1 : 0{,}85661;$$
$$\beta = 119^0\ 40'\ 30''.$$

Für Uraler Krystalle berechnete Jeremejew

$$a : b : c = 0{,}7546949 : 1 : 0{,}8538292;$$
$$\beta = 119^0\ 42'.$$

Danach hält es der Verf. für nicht unwahrscheinlich, dass dem sublimirten Titanit überhaupt ein etwas anderes Axen-Verhältniss zukommt, als den in den älteren massigen Gesteinen und krystallinischen Schiefern vorkommenden Krystallen dieses Minerals.

Hornblende untersuchte der Verf. aus demselben Auswürfling von Ponza, welcher die oben erwähnten Titanite geliefert hatte. Die schwarzen, sich an der Zusammensetzung des Auswürflings betheiligenden Krystalle zeigten den gewöhnlichen Habitus durch Vorherrschen der Flächen ∞P (110) und $\infty P\infty$ (010). Untergeordnet und z. Th. sehr schmal oder unvollzählig waren vorhanden: $\infty P\infty$ (100), $\infty P3$ (130), oP (001), $\frac{1}{2}P\infty$ (012), $+P$ ($\bar{1}11$), $+3P3$ ($\bar{1}31$).

Obgleich die durchweg glänzenden Flächen vollkommen scharfe, einfache Reflexbilder des Signals lieferten, so zeigte sich nichtsdestoweniger eine entschieden mangelhafte Bildung der Krystalle in Abweichungen der Flächen von dem theoretisch geforderten Parallelismus bis zu dem hohen Betrage von 15', was auch die nicht unbeträchtlichen Differenzen zwischen Rechnung und Messung erklärt. Der Verf. gelangte zu dem Axenverhältniss:

$$a : b : c = 0{,}54556 : 1 : 0{,}29353;$$
$$\beta = 105^0\ 11'\ 30''.$$

Da die Neigungswinkel der Flächen der Hornblende überhaupt zwischen weiteren Grenzen schwanken (vergl. dies. Jahrb. 1882. II. p. 341 d. Referate), so braucht die im vorliegenden Falle gefundene Abweichung von anderweitigen Messungsresultaten nicht nothwendig von den hier ungewöhnlichen genetischen Bedingungen hergeleitet zu werden.

Wählt man für den Augit die von Rammelsberg und vom Rath vorgeschlagene Stellung [Fläche s als $P\infty$ (011)], so treten die nahen geometrischen Beziehungen zwischen Pyroxen und Amphibol besser hervor. Für die hier gemessene sublimirte Hornblende werden dann die Axen a und c fast genau halb so gross, als am Augit. Während es aus Rücksicht auf die Lage der Spaltungsflächen angezeigt erscheint, das Verhältniss a : b bei der Hornblende wie bisher beizubehalten, würde nichts im Wege stehen, c zu verdoppeln. Man hätte dann:

Augit: $a : b : c = 1{,}09035 : 1 : 0{,}58930$, $\beta = 105^0\ 30'\ 0''$

Hornblende: $a : b : c = 0{,}54556 : 1 : 0{,}58706$, $\beta = 105^0\ 11'\ 30''$.

F. Klocke

A. Cathrein: Über Alexandrit von der Tokowaja. (Zeitschr. für Krystallographie. Bd. VI. pg. 257—263.) 8 Holzschnitte.

1. Einfache Krystalle sind selten; unter einer grossen Anzahl von Alexandritkrystallen fanden sich nur zwei. Die Aufstellung ist so, dass das gestreifte Pinakoid als Querfläche erscheint. Flächen des ersten der beiden einfachen Krystalle: $o = P(111)$; $i = \breve{P}\infty(011)$; $b = \infty\bar{P}\infty(100)$; $M = \infty P(110)$; $s = \infty\breve{P}2(120)$; $a = \infty\breve{P}\infty(010)$. Beim zweiten fehlt a und b und ist dagegen $w = 2\breve{P}2(121)$ vorhanden. Die gemessenen Winkel einzelner Kanten differiren unter einander z. Th. sehr bedeutend.

2. Juxtapositionszwillinge nach $3\breve{P}\infty(031)$. 1. Typus: o herrscht vor. b vielfach klein oder fehlend. Zwei in der Verwachsungsfläche zusammenstossende Flächen o machen einspringende Winkel von 26′ und 27′ beim einen, 26′ und 32′ bei einem andern Zwilling (berechnet 19′). Diess wäre für das angenommene Gesetz im Gegensatz zu dem andern: Zwillingsfläche: $i = \breve{P}\infty(011)$, wo auf diesen Flächen o keine einspringenden Winkel entstehen können, entscheidend, wenn nicht auch beobachtet wäre, dass auf einer Seite dieser Winkel $^0/_0$ einspringend an der Zwillingsgrenze, auf der andern ausspringend ist, was durch Bildungsunregelmässigkeiten erklärt wird. Ebenso wird durch Störungen die Thatsache erklärt, dass auch auf den Flächen b aus- und einspringende Winkel vorkommen. Der 2. Typus zeigt n statt o und b stark entwickelt. Ein Krystall hat die seltenen Flächen $\bar{P}\infty(101)$ und $\breve{P}2(122)$.

3. Durchwachsungszwillinge nach diesem Gesetz. Die beiden Individuen kreuzen sich zuweilen sehr regelmässig, meist aber nur unvollständig, so dass Übergänge zwischen 3 und 2 entstehen. Der erste und zweite Krystall bildet dabei eine Rinne.

4. Drillinge. An den zweiten Krystall setzt sich nach dem Gesetz bei 2) ein drittes Individuum an. Bei einzelnen Krystallen lässt sich erkennen, dass an beiden Zwillingsgrenzen die Flächen o einspringende Winkel machen, so dass danach obiges Gesetz zweimal realisirt wäre; aber auch hier wird auf die durch schlechte Flächenbeschaffenheit hervorgebrachte Ungenauigkeit der Messung hingewiesen, was auch hier mit Störungen an der Zwillingsgrenze in Zusammenhang gebracht wird, infolge deren auch die Flächen b aus ihrer normalen Lage abweichen und ein- und ausspringende Winkel bilden. Auch ringsum geschlossene und sechsseitige Pyramiden bildende Zwillinge finden sich, es bleibt aber unentschieden, ob es Sechslinge oder Durchwachsungsdrillinge sind. Dass ihnen auch das Gesetz: Zwillingsfläche $3\breve{P}\infty(031)$ zu Grunde liegt, gilt dem Verf. als sicher.

Man kann fragen, warum erklärt der Verf. nur die ein- und ausspringenden Winkel an den Zwillingsgrenzen auf der Fläche b durch Störungen in Folge der Zwillingsverwachsungen, nicht auch die auf den Flächen o? Seine Untersuchung giebt hierüber nicht die nöthige Klarheit und kann keineswegs zu Gunsten des einen der beiden beim Chrysoberyll

angenommenen Zwillingsgesetze: Zwillingsfläche $3\breve{P}\infty$ (031) oder Zwillingsfläche $i = \breve{P}\infty$ (011) den Ausschlag geben, da in entscheidenden Fragen überhaupt meistens „Störungen“ die Verhältnisse nur etwas unsicher erkennen lassen. **Max Bauer.**

A. Renard, S. J.: Notice sur la monazite des carrières de Nil St. Vincent. (Bulletin de l'Académie royale de Belgique. III. sér. t. II. Nro. 8. 1881.)

In dieser vorläufigen Mittheilung über den als Seltenheit an der genannten Lokalität sich findenden Monazit giebt der Verf. an, dass die Krystalle klein (bis zu 1 mm), tafelförmig nach $\infty\bar{P}\infty$ (100), lebhaft fettglänzend, bernsteingelb in's Roth und deutlich auskrystallisirt sind. Die Formen der Krystalle sind: $+P$ ($\bar{1}11$); $P\infty$ (011); $\infty\bar{P}\infty$ (100); ∞P (110); $-P\infty$ (101). Die Ausdehnung der Querfläche und die Kleinheit der Prismenflächen unterscheiden diese Krystalle der Form nach den russischen. Von Winkeln wurde gemessen: $P\infty : P = 141^0\ 20'\ 21''$; $\infty\bar{P}\infty : P\infty = 100^0\ 16'$ (die entsprechenden Winkel bei Kokscharow sind: $141^0\ 27'\ 51''$ und $100^0\ 12'\ 38''$). Zwei Blätterbrüche, parallel Axe a und Axe b. Der Monazit erweist sich u. d. M. vollkommen durchsichtig, citronengelb (diess ist die Farbe im durchfallenden Licht, oben ist die im reflektirten als dunkel bernsteingelb angegeben) ohne Dichroismus. Zuweilen sind bräunliche, flockige Partien eingeschlossen, aber keine Mikrolithe. Einzelne Krystalle sind zerbrochen gewesen und wieder ausgeheilt, wie der Quarz von jener Lokalität. Alle Individuen sind einfach, zuweilen sind einige nach der Längsfläche zusammengewachsen.

Die chemische Untersuchung einer sehr kleinen Menge Substanz gab 28—29% P_2O_5, wie gewöhnlich. Von den Metallen wurden qualitativ nachgewiesen Ce, La, Di; Th wurde nicht nachgewiesen, doch lässt die Krystallform nicht daran zweifeln, dass wirklich Monazit vorlag, und nicht etwa das Th freie Mineral Kryptolith von sonst gleicher Zusammensetzung. **Max Bauer.**

A. Renard: Notice sur le zircon de Nil-St.-Vincent. (Bull. Acad. Roy. Belg. 3. série. Tome III. Nr. 2. 1882.)

Verf. fand in den Gängen von Nil-St.-Vincent neben dem früher beschriebenen Monazit und Glimmermineral auch aufgewachsene Zirkone von höchstens 0.5 mm Länge und in allen Eigenschaften übereinstimmend mit den in dem Gesteine eingewachsenen Kryställchen. Verf. erwähnt, dass nicht eben selten an den Kryställchen eine schiefe Auslöschung beobachtet wurde, ohne indessen Zahlenwerthe für die Neigung der krystallographischen und optischen Hauptschnitte anzugeben. Unter den Einschlüssen wird auch Anatas genannt.

Um auch chemisch den Nachweis für die Richtigkeit der Diagnose direct zu geben, wurden 0.4588 gr der Kryställchen mit dem vierfachen Gewicht Kali-Natron-Carbonat geschmolzen, in der gelösten Schmelze SiO_2 durch

Eindampfen mit H_2SO_4 unlöslich gemacht und abfiltrirt, wiederum mit den Alkali-Carbonaten geschmolzen, mit H_2SO_4 unlöslich gemacht, ausgewaschen und geglüht. Die Operation ergab 0.1494 gr SiO_2, die mit HFl auf ihre Reinheit geprüft wurde. In der Lösung wurde ZrO_2 mit Ammoniak gefällt, abfiltrirt, ausgewaschen, in HFl gelöst und nochmals mit Ammoniak gefällt. Der stark geglühte Niederschlag wog 0.3065 gr und wurde mit HFl behandelt, um ihn auf die Abwesenheit von SiO_2 zu prüfen. Der Zirkon enthielt also in Procenten 32.56 SiO_2 und 67.29 ZrO_2. — Bei dem einmaligen Schmelzen des Zirkon mit Alkalicarbonat blieb nach Behandlung mit Säuren neben der unlöslichen SiO_2 auch ein unlösliches Alkalizirkoniat in unbestimmbaren Prismen zurück. Bei nochmaligem Schmelzen mit alkalischen Carbonaten wurde das Zirkoniat löslich. Diese Beobachtungen stimmen nicht ganz mit denen anderer Forscher. **H. Rosenbusch.**

H. Behrens: Sur la cristallisation du diamant. (Extrait des Archives Néerlandaises T. XVI. 10 S.)

Der Verf. spricht sich gegen den von G. Rose, Sadebeck und Hirschwald für den Diamant angenommenen schalenförmigen Aufbau aus und erklärt die bekannten in der Regel dreiseitig begrenzten Vertiefungen, welche man auf fast allen natürlichen Flächen, dagegen sehr selten auf Spaltungsflächen antreffe, durch fehlende Subindividuen. Man könne zwei Arten der letzteren annehmen — oktaëdrische und leucitoëdrische — und ein nach bestimmten Richtungen vorzugsweise fortschreitendes Wachsthum. Es werden zwei durchlöcherte Diamanten erwähnt und mit analogen Bildungen verglichen, welche Alaun und Steinsalz bei schneller Krystallisation zuweilen zeigen.

Bei Untersuchung des sogen. Bort (kugelförmiger Diamant mit rauher Oberfläche*) und des Carbonat ergab sich in Übereinstimmung mit den älteren Resultaten von Baumhauer's, dass beide nahe verwandte Bildungen sind, indem sie sich aus kleinen Kryställchen aufbauen**; im Carbonat ist die Verwachsung nur eine unregelmässigere, die Lagerung weniger dicht. Die Frage, ob im letzteren auch noch eine amorphe Substanz vorhanden sei, wird unentschieden gelassen, aber für unwahrscheinlich erklärt. Beim meist grauen und durchscheinenden, zuweilen opaken Bort sind die Kryställchen durchsichtig und farblos; die graue Färbung wird durch Lichtabsorption und einige beigemengte dunkle Körner bedingt. Von den zwei durch von Baumhauer unterschiedenen Carbonat-Varietäten ist die bräunliche wenig porös, gleichmässig gefärbt, zeigt matten Bruch und besteht aus Körnern, von denen nur ein kleiner Theil durchsichtig wird und dann fast

---

* Im Handel wird gewöhnlich alle nicht schleifwürdige Waare Bort genannt. D. R.

** In Süd-Afrika kommt auch kugelförmiger Diamant vor, bei welchem nur eine dünne grau erscheinende Schale sich aus einem Aggregat kleiner Kryställchen zusammensetzt, während ein wasserklares, einheitlich spaltendes Individuum den Kern bildet. D. R.

durchweg gelblich oder bräunlich gefärbt erscheint mit Einschlüssen opaker Pünktchen. Die violette oder röthliche Varietät ist rauher, glänzender im Bruch, meist fleckig gefärbt, und die Poren sind sowohl zahlreicher, als grösser. Das Pulver erweist sich sehr viel reicher an farblosen klaren Körnchen; manche sind durch winzige Partikel getrübt, welche zwar opak erscheinen, aber für rothes, die Färbung bedingendes Eisenoxyd gehalten werden.

Die poröse Structur des Carbonat denkt sich Behrens durch Gasentwickelung entstanden, ähnlich wie bei Coaks und vulcanischen Schlacken und bezieht sich auf die Entdeckung Hannay's, dass Diamanten durch Zersetzung von Kohlenwasserstoffen entstehen können. E. Cohen.

A. Purgold: Die Diamanten des Kgl. Mineralogischen Museums in Dresden. (Abh. der naturw. Gesellsch. Isis in Dresden. 1882. pag. 3—12 mit 2 Holzschnitten.)

A. Purgold: Zwei abnorme Diamantkrystalle. (Zeitschr. für Krystallographie Bd. VI. 1882. pg. 595—598.) Mit 3 Holzschnitten.

Die Dresdener Sammlung besitzt 58 Diamantkrystalle, von denen wenige Zwillinge sind. Diese werden in der ersten Abhandlung beschrieben, zwei von ihnen werden in der zweiten Abhandlung eingehender dargestellt. Die in Dresden aufbewahrten Krystalle gehören folgenden Fundorten an: 31 Krystalle von Ostindien. Diese sind: 1. O (111). 2. O (111) mit eingekerbten Kanten. Flächen mit aufgelagerten Plättchen von abnehmender Grösse bedeckt, aber die Oktaëderflächen sind nicht gleich, sondern in tetraëdrischer Vertheilung verschieden. 3. Zugerundetes Hexakisoktaëder mit kleinen Oktaëderflächen; an einem grösseren Krystall ein kleinerer zwillingsartig angewachsen. 4. Flaches Triakisoktaëder mit treppenförmig erhöhten Flächen, daher ähnlich einem Granatoëder mit nach der langen Diagonale gestreiften Flächen. 5. Zwilling zweier Hexakisoktaëder mit kleinen Oktaëderflächen mit einem schwarzen Einschluss. 6. Ein Hexakisoktaëder $mO\frac{m}{m-1}$ (Pyramidengranatoëder h k l, wo h + k = l) mit untergeordneter schalig erhöhter Oktaëderfläche. 7. $\infty O\infty$ (100), aber die Flächen eben, nicht, wie sonst meist, eingesunken. O (111) glänzend, schalig; ∞O (110) mit stark gestreiften Flächen. 8. ∞O (110) mit starker Streifung parallel der langen Diagonale, durch schaligen Aufbau auf der Fläche O entstanden. 9. Zwilling von zwei Hexakisoktaëdern, nach der Zwillingsaxe stark verkürzt. 10. Hexakisoktaëder mit bauchigen Flächen und Kanten. 11. Ähnlich 5. 12. Ähnlich 8. 13. Zwilling zweier Oktaëder mit Hexakisoktaëderflächen, stark gerundet. 14. Hexakistetraëder mit stark gekrümmten Flächen und Kanten, ohne Spur von schaligem Aufbau, was gegen die Annahme von Sadebeck spricht. 15. Ein nach einer Axe verkürztes Hexakisoktaëder erscheint als eine ditrigonale Doppelpyramide 16. Hexakisoktaëder mit stark gekerbter Kante (Pyramidengranatoëder). 17. Scheinbar eine Gruppe von mehreren Oktaëdern, welche einen Durchwachsungszwilling oder Drilling bildet, thatsächlich aber ein Oktaëder, das durch schalige

Auflagerung auf sechs Flächen nach drei trigonalen Axen verlängert erscheint. Dieser Krystall ist in der zweiten Abhandlung beschrieben und abgebildet. 18. Abgerollter Krystall. 19. Schaliges Oktaëder. 20. Spaltungsbruchstück. 21.—24. Geschliffen. 22. Das Originalexemplar von Pezoldt (Beiträge zur Naturgeschichte der Diamanten 1842) mit einem Quarzsplitter als Einschluss. Später wieder von Göppert beschrieben. 25. Stark gerundetes Hexakisoktaëder. 26. Rollstück. 27. Ähnlich 19. 28. Zwilling, krumm und schalig. 29. Ähnlich 25. 30. Rhombendodekaëder, die Flächen mit schwachgeknickter Kante. 31. Ähnlich 5 und 11, die Flächen hochgewölbt.

5 Krystalle von Südafrika. 1. Grosses Oktaëder mit ebenen Flächen und etwas gekerbten Kanten. 2. Rhombendodekaëder und Oktaëder. 3. und 4. Hexakisoktaëder und Oktaëder mit stark gekrümmten, aber nicht gestreiften Flächen. 5. Gekrümmtes Hexakisoktaëder und 1 Krystall, Triakisoktaëder mit Oktaëder in einem grünen tuffartigen Gestein von Transvaal.

19 Krystalle vom Griqualande. 1.—3. Schalige Oktaëder. 4. Pyramidengranatoëder, Flächen parallel mit den Oktaëderflächen stark gestreift, durch schaligen Aufbau auf den Oktaëderflächen entstanden. Ähnlich 5, aus zwei Krystallen parallel verwachsen. 6. Unregelmässiger Krystall. 7.—9. und 19. Fragmente, theilweise mit Spaltungsflächen. 10. Platter Krystall, Hexakisoktaëder nach einer trigonalen Axe verkürzt, mit zwei Oktaëderflächen. Ähnlich 11., 12. und 13. unregelmässig linsenförmig. 14. Zwilling zweier verkürzter Hexakisoktaëder mit Oktaëder. 15. Krystall, begrenzt von in rechtwinklig dreikantigen Ecken zusammenstossenden unebenen Flächen; vorhandene Blätterbrüche zeigen, dass kein Würfel vorliegt, sondern dass es die Flächen: 122, $\bar{1}22$, 221, $22\bar{1}$, $21\bar{2}$, $2\bar{1}2$ des Pyramidenoktaëders (221) sind, dessen andere Flächen nicht ausgebildet vorkommen. Diese Erscheinung wird in der zweiten Abhandlung eingehender beschrieben und abgebildet (dieselben Figuren wie in der ersten Abhandlung) und der Ausdruck „Tritoëdrie“ dafür verwendet. 16. Ähnlich Ostindien 30. 17. Hexakisoktaëder, mit Concavitäten auf den Flächen in Folge schaligen Baus. 18. Hexakisoktaëder mit gekerbten Kanten.

2 Krystalle aus Brasilien. 1. Würfel mit Pyramidenwürfel, Flächen nicht eingesunken. 2. Pyramidenoktaëder mit Oktaëder, Andeutung von Zwillingsbildung.

Es sind also alle reguläre holoëdrische Flächen bis auf das Ikositetraëder, dazu noch das Hexakistetraëder beobachtet.

Die Oktaëderflächen sind stets schalig und es entstehen durch Auflagerung von Schalen, welche zuweilen unregelmässig, zuweilen auch regelmässig auf allen Flächen des Oktaëders stattfindet, andere Körper, z. B. Rhombendodekaëder, wenn die Dicken der Schalen sich zum Abstand von der nächst unteren Schale wie $1 : \sqrt{2}$ verhalten; oder Pyramidenoktaëder oder auch Würfel.

Einige weitere allgemeine Betrachtungen beschliessen den ersten Aufsatz, der zweite ist ein Auszug daraus mit einigen an den betreffenden Stellen hier angegebenen Erweiterungen. **Max Bauer.**

F. J. Wiik: Mineralogiska meddelanden. VII. (Mineralogische Mittheilungen.) 26. Om förhaallandet mellan de optiska egenskaperna och den kemiska sammansättningen hos pyroxen- och amphibol-arterna. (Über die Beziehungen zwischen optischen Eigenschaften und chemischer Zusammensetzung bei den Pyroxen- und Amphibol-Arten.) Mit Tafel. (Finska Vet.-Soc. Förh. XXIV. 1882. 29 S. Im Auszug mit einigen Ergänzungen mitgetheilt vom Verf.: Zeitschr. für Krystallographie u. Mineralogie v. P. Groth, VII, 1882, 76—80.)

Wiik hat die Auslöschungsschiefen einer grösseren Anzahl fast ausschliesslich finnländischer Pyroxene und Amphibole auf dem Klinopinakoid gemessen und die Beziehungen aufgesucht zum Eisenoxydulgehalt bei ersteren, zum Thonerdegehalt bei letzteren. Die Resultate sind in der folgenden Tabelle zusammengestellt; die den Fundorten in Klammer beigefügten römischen Zahlen beziehen sich auf die unten folgenden Analysen.

(s. Tabelle S. 188.)

Die Zunahme eines Grades in der Auslöschungsschiefe beim Pyroxen entspricht also etwa einer Zunahme von 2 Procent im Eisenoxydulgehalt oder von 10 % des Silicats (Ca, Fe) SiO_3. Bei dem Amphibol erweist sich das Eisenoxydul von nicht so constantem Einfluss wie die Thonerde. Da sich recht continuirliche Reihen ergeben, so hält Wiik die bisher unterschiedenen Varietäten für wenig berechtigt. Ägirin, Arfvedsonit, Kokscharowit und Hedenbergit bilden Ausnahmen, welche sich bei letzterem vielleicht durch reichlich eingeschlossenen Magnetit erklären. Die angeführten Vorkommnisse wurden auch mikroskopisch eingehend untersucht. Für viele Pyroxene ergab sich eine Durchwachsung mit Strahlstein und zwar nicht selten derart, dass die Verticalaxe beiden gemeinschaftlich ist, und das Orthodoma des Amphibol parallel zur Basis des Pyroxen liegt.

	I	II	III	IV	V	VI	VII	VIII	IX	X	XI
Kieselsäure . .	52.49	50.31	52.6	53.03	52.76	46.37	55.26	56.92	59.97	43.45	43.12
Thonerde	2.17	6.46	4.8	—	—	4.15	2.83	5.10	4.98	20.10	20.73
Eisenoxydul . . .	2.68	4.81	4.0	4.97	10.38	27.50	4.74	1.01	19.29	4.41	4.77
Manganoxydul .	0.63	—	—	0.22	1.34	0.14	—	—	—	—	—
Kalk . . .	24.34	24.87	25.8	25.48	23.90	20.58	13.57	16.68	12.44	13.30	13.16
Magnesia	17.20	14.48	14.2	15.88	9.95	3.00	22.72	20.99	3.99	16.48	16.45
Glühverl.	—	—	—	—	0.27	—	—	—	—	—	—
	99.51	100.93	101.4	99.58	98.60	101.74	99.12	100.70	100.67	97.74	98.23

Ebenfalls häufig sind sich kreuzende Zwillingslamellen (eingelagert parallel $\infty P\bar{\infty}$ (100) und oP (001). Der Malakolith von Wampula enthält ziemlich reichlich Hohlräume von der Gestalt des Wirths, von denen die kleineren eine Libelle enthalten, also wohl mit einer Flüssigkeit erfüllt sind. Wiik glaubt nach dem Resultat seiner Untersuchungen, dass die Auslöschungsschiefe auf $\infty P\breve{\infty}$ (010) für die Pyroxene und Amphibole eine ähnliche Bedeutung erhalten könne, wie für die Feldspathe.

A. Pyroxene.	c : c	c : a	FeO in Procenten	Analysirt von:
1. Malakolith (dunkel) von Orijärvi	36° 30′	69° 30′	1.08	H. Rose
2. „ (gelblich) von Wampula	37°	69°	0.99	Bonsdorff
3. „ (licht) von Orijärvi	38°	68°	2.52	F. Lemström
4. „ (grünlich) von Wampula	38° 30′	67° 30′		
5. „ (graulichgrün) von Karis-Lojo (I)	39°	67°	2.68	E. Moberg
6. Diopsid (grün) von Pargas	39°	67°		
7. „ (grün) von Ihtis (II)	38°—40°		4.81	Castrén
8. Malakolith (grau) von Pälkäne (III)	39° 30′	66° 30′	4.00	Hjelmman
9. „ (grün) von Lojo (Hermala) (IV)	39° 30′	66° 30′	4.97	Hjelt
10. „ (grün) von Pitkäranda	40°	66°		
11. „ (grün) von Tavastby	41°	65°	5.52; 6.00	Renqvist; Landzétt
12. „ (grün) von Stansvik (V)	42° 30′	63° 30′	10.38	Castrén
13. Pyroxen (grün) von Helsingfors	42° 30′	63° 30′	11.75; 12.29	Pipping; Wiik
14. Augit (schwarz) von Fassa	43°—44°		11.60—12.04	Kudernatsch
15. „ (schwarz) von Pargas	43° 30′	62° 30′	15.75	Fagerlund
16. „ (schwarz) von Juokaisenmaa	44° 30′	61°		
17. Diallag (dunkelgrün) von Lojo (Ojamo)	45° 30′			
18. Augit (schwarz) von Nordmarken	45° 30′—46°		17.31	Sjögren
19. Malakolith (roth, Degeröspath) von Stansvik	46°	60°	20.44	Berzelius
20. „ (schwarz) von Lojo (Ojamo) (VI)	48°	58°	27.50	Castrén

B. Amphibole.	c : c	Al_2O_3 in Procenten	
21. Aktinolith (hellgrün) von Lojo (VII)	16°—18°	2.83	Aakerstedt
22. „ (hellgrün*) von Orijärvi	17°	1.69	Michaelson
23. „ (dunkelgrün) von Orijärvi (VIII)	18° 30′	5.10	Hoffrén
24. Hornblende (schwarz) von Sillböle (IX)	18° 30′	4.98	Wasz
25. Amphibol-Anthophyllit von Degerö	20°	7.9; 9.4	Tammelin; Wasastjerna
26. Hornblende (schwarz) von Pargas	24° 30′	11.92; 13.75	Rammelsberg; Hisinger
27. „ (hellgrün) von Pargas (Pargasit)	26° 30′	15.37; 16.42	Kajander; Berwerth
28. „ (hellgrün) von Korpo** (Aafvensor) (X u. XI)	27° 30′	20.10; 20.73	Nylander; Arvelin

* In der Originalarbeit als dunkelgrün bezeichnet. — ** Wahrscheinlich nicht homogen.

27. Om Mikroklin (s. k. Ersbyit) och Andesin fraan Pargas samt Andesin fraan Tammela. (Über Mikroklin (sogen. Ersbyit), sowie über Andesin von Pargas und Tammela.)

Bezüglich des sogen. Ersbyit berichtigt Wiik seine älteren Angaben (Mineralogiska Meddelanden II und III), welche sich auf einen anderen Feldspath vom gleichen Fundort bezogen, der mit jenem verwechselt wurde. Der echte Ersbyit — und zwar sowohl die gewöhnliche farblose Varietät, als eine auf den gleichen Stufen vorkommende röthliche — erwies sich nach krystallographischer, optischer und chemischer Untersuchung als Mikroklin (Analyse I; nach Entfernung des mikroskopisch beigemengten Calcit durch verdünnte Salzsäure). Verf. meint, es dürfte der Mikroklin eher eine durch Druck entstandene anomale Ausbildungsform des Orthoklas sein, als dieser eine Form des Mikroklin, wie Lévy angenommen hat. Der früher mit dem Ersbyit verwechselte farblose Feldspath von Pargas und ein Vorkommen von Tilasinwuori in Tammela gehören zum Andesin (Analyse II, Mittel aus zwei Bestimmungen und Analyse III). Die Krystalle sind wie der Periklin nach der Makrodiagonale in die Länge gestreckt. Wiik betrachtet den Andesin als ein selbständigeres Glied der Plagioklase, als es sonst zu geschehen pflegt, nämlich zusammengesetzt aus gleichen Molekülen Albit und Anorthit.

	I.	II.	III.	
Kieselsäure .	66.18 (Verl.)	59.59	58.39	
Thonerde .	19.52	26.44	26.68	
Kalk . . .	0.36	6.23	5.63	
Magnesia .	—	—	Spur	
Kali . . .	13.03	—	—	
Natron . .	0.91	7.12	7.69	(Verlust)
Glühverlust .	—	0.61	1.61	
	100.00	99.99	100.00	
Spec. Gew. .	2.57	2.67	2.65—2.69	

28. Triphylin och Triplit fraan Sukkula i Tammela.
29. Smaragd fraan Paavo (Orijärvi) i Kisko.

Die im Titel genannten Mineralien werden beschrieben, und das Verhalten der beiden ersteren im Dünnschliff wird mitgetheilt. Zu Sukkula kommen wahrscheinlich noch eine Reihe anderer Phosphate, z. B. Heterosit und Monazit vor. Den Smaragd umgibt eine Zone von blättrig-strahligem, rothem Albit, diesen wiederum eine dünne Lage von Muscovit. Die von K. Brax (I) und O. Ruuth (II) ausgeführten Analysen ergaben folgendes Resultat:

	I.	II.
Kieselsäure . . .	66.37	67.10
Thonerde . . .	19.29	18.59
Beryllerde . . .	14.01	14.18
	99.67	99.87

E. Cohen.

G. Nordenström: Fynd af gediget guld i Falu grufva. (Geol. Fören. i Stockholm Förh. 1882. Bd. VI. No. 2 [No. 72]. 59—69.)

Obwohl aus den Erzen zu Falu schon seit langer Zeit Gold gewonnen worden ist, so hatte man dasselbe doch bisher weder in gediegenem Zustand beobachtet, noch über die Art des Vorkommens sicheres ergründen können. Erst vor kurzem ist es in Form von zackigen Partien, Körnern, Flittern, Anflügen und spärlich in winzigen Kryställchen (es sollen Pentagondodekaëder sein, während sonst Gold als holoëdrisch krystallisirend angegeben wird) in einem weissen Quarz aufgefunden worden, welcher das sogen. Harterz — ein Gemenge von grauem Quarz, Kupferkies und Magnetkies — begleitet. Falu wird damit zur reichsten Goldfundstätte Schwedens. **E. Cohen.**

A. Cathrein: Über Titaneisen, Leukoxen und Titanomorphit. (Zeitschr. f. Kryst. VI. p. 244.)

Schon mehrfach haben es sich Mineralogen und Petrographen zur Aufgabe gestellt, die Natur der grauen Umrandung des Titaneisens in den Gesteinen zu ermitteln, ohne dass es bisher gelungen wäre, völlige Klarheit in die Verhältnisse zu bringen. In der vorliegenden Arbeit scheint nun endlich die Frage gelöst zu sein. Es stand dem Verfasser ein besonders gutes Material der Wildschönauer Schiefer in Nordtyrol zu Gebote, welches geeignet war, das Umrandungsproduct so weit zu isoliren, dass es möglich war, Analysen desselben auszuführen, die freilich mit mancherlei Schwierigkeiten verbunden waren. Aber auch das Material, an welchem v. Lasaulx seine Studien über den Titanomorphit anstellte, wurde einer wiederholten Untersuchung unterworfen, die zu einem wesentlich andern Resultat führte, wie die Analyse von Dr. Bettendorf. In Bezug auf die Einzelheiten der Untersuchung muss auf die Originalabhandlung verwiesen werden. Es soll hier nur auf die wichtigsten Resultate aufmerksam gemacht werden. Der Verfasser weist nach, dass in dem von ihm untersuchten Titaneisen aus dem Wildschönauer Schiefer sich Mikrolithe von Rutil in sagenitischer Verwachsung vorfinden (über 19%). Nach Abzug dieses Rutils hatte das Titaneisen folgende Zusammensetzung:

$$\begin{aligned} TiO_2 &= 35{,}66 \\ FeO &= 33{,}16 \\ Fe_2O_3 &= 30{,}21 \\ &\overline{99{,}03} \end{aligned}$$

entsprechend der Formel $5FeTiO_3 + 2Fe_2O_3$. Die Verwachsung mit Rutil erklärt den in den Analysen des Titaneisens so häufig vorkommenden Überschuss an TiO_2, verglichen mit dem Gehalt an FeO.

Der Verfasser weist ferner nach, dass auch die graue Umrandung des Titaneisens, der Leukoxen, mit Rutilmikrolithen ganz ebenso erfüllt ist, wie das Titaneisen selbst. Zieht man nun von der Analyse dieses Leukoxens die dem Titaneisen und dem Rutil angehörenden Bestandtheile ab, so bleibt folgende Zusammensetzung des Leukoxens:

SiO_2 = 33,26
TiO_2 = 41,12
CaO = 25,62
100,00

Das ist aber die Zusammensetzung des Titanits. Daraus folgt die Identität von Leukoxen mit Titanit, die ja beide auch in einander übergehen. Die Analyse des Titanomorphits von Lampersdorf in Schlesien gab folgende Resultate in 5 verschiedenen Analysen.

	I.	II.	III.	IV.	V.	Sphen berechnet
SiO_2 =	29,21	27,80	27,34	32,97	31,28	30,61
TiO_2 =	42,57	39,95	46,18	41,62	40,42	40,82
CaO =	28,32	31,75	26,48	25,41	28,08	28,57

Auch hieraus ergibt sich die Übereinstimmung mit Titanit, während die mit demselben Material ausgeführte Analyse von Dr. Bettendorf, auf welche v. Lasaulx die Selbstständigkeit des Titanomorphit ($CaTi_2O_5$) begründete, keine SiO_2 ergeben hatte. Weitere Untersuchung ergab, dass die rothbraune Randzone, die häufig an dem Titaneisen der untersuchten Gesteine beobachtet wurde, aus Rutil bestand.

Der Verfasser vertritt die Ansicht, dass die graue Randzone des Titaneisens, d. h. also der Titanit (Leukoxen oder Titanomorphit) aus der Umwandlung des Titaneisens hervorgegangen sei, wofür eine Reihe von Gründen angeführt wird. Die Rutilränder des Titaneisens werden erklärt, wenn eine Auflösung des letzteren angenommen wird, wodurch die beigemengten Rutile blossgelegt werden.

Das wichtigste Resultat der vorliegenden Arbeit ist aber unstreitig die Nachweisung, dass Leukoxen und Titanomorphit übereinstimmend mit Titanit und desshalb als besondere Mineralien zu streichen sind.

Streng.

C. Doelter: Hauyne der Capverden. (Tschermak, Min. u. petr. Mitth. IV. p. 461.)

Die Gesteine der Cap Verd'schen Inseln sind oft reich an Hauyn.

1. Hauyn vom Pico da Cruz kommt in einem phonolithischen Gesteine, sowie in grossen Blöcken eines grobkörnigen Gesteins (Auswürflinge) vor, welches aus Hauyn, Olivin, Pyroxen und Magnetit besteht. Der Hauyn wird in Schliffen lichtblau bis farblos; er hat nur wenig Einschlüsse; seine Begrenzung ist keine regelmässige. Analyse unter I.

2. Natronhauyn (Nosean) vom Krater des Cavao erscheint in den Laven und Tuffen. Er ist von dunkelbrauner Farbe, oft schwarzblau, kommt in grösseren Körnern oder unregelmässigen Partien oder auch in gut ausgebildeten Rhombendodekaëdern vor. Er findet sich in so grosser Menge, dass er bis 36% der Gesteinsmasse beträgt. Im Schliff ist dieser Hauyn farblos oder nelkenbraun, selten graublau; er ist sehr rein; der Rand ist dunkler gefärbt wie die Mitte. Ausser diesem Hauyn kommen in dem-

selben Gesteine auch blassblaue Hauyne vor, die einen höheren Kalkgehalt besitzen, wie jene. Analyse des dunkelbraunen Hauyn unter II.

3. Natron-Hauyn (Nosean) vom Vulkan Siderao kommt in den Laven und den Tuffen vor und bildet in ihnen $\frac{1}{3}$—$\frac{1}{4}$ der Gesammtmasse. Er findet sich nur in Krystallen von tiefblauer Farbe; sie sind sehr rein und durchsichtig, nur die grösseren Krystalle enthalten Glas- und Flüssigkeitseinschlüsse, sowie Mikrolithen. Bei diesen Krystallen allein sieht man auch die bekannten Strichsysteme. Ein schwarzer Rand ist nicht vorhanden, wohl aber mitunter ein schwarzer, den Krystallumrissen entsprechender Kern. Analyse unter III.

		I.	II.	III.
SiO_2	=	31,99	34,95	35,99
Fe_2O_3	=	0,45	1,38	0,31
Al_2O_3	=	28,93	29,41	29,41
CaO	=	9,88	4,40	0,21
Na_2O	=	15,53	19,01	20,91
K_2O	=	—	0,33	—
SO_3	=	12,04	8,11	10,58
Cl	=	Sp.	0,86	0,57
H_2O	=	1,59	1,83	1,63
		100,41	100,28	99,61

Formel für I: $2(Na_2SO_4) + 5(Na_2Al_2Si_2O_8)$
$2(CaSO_4) + 2(CaAl_2Si_2O_8)$

Die Formel für II stimmt mit derjenigen Rammelsberg's überein.

Formel für III: $(Na_2SO_4) + 2(Na_2Al_2Si_2O_8)$.

Doelter stellt unter Berücksichtigung älterer Analysen für die Hauyne die Formel:

$$A\begin{pmatrix} m(Na_2Al_2Si_2O_8) \\ n(Na_2SO_4) \end{pmatrix} + B\begin{pmatrix} m(CaAl_2Si_2O_8) \\ n(CaSO_4) \end{pmatrix}$$

auf, wobei m : n sehr häufig = 2 : 1 ist. — Er glaubt, dass der Petrograph berechtigt ist, Hauyn und Nosean zu vereinigen und von Hauyn im weiteren Sinne zu sprechen. Im Mineralsysteme dagegen hält er es für zweckmässig, die Natron-Hauyne (Noseane) von den Natron-Kalk-Hauynen zu unterscheiden. **Streng.**

A. v. Lasaulx: Über den Manganvesuvian vom Johnsberge bei Jordansmühl in Schlesien und über den Titanomorphit. (Zeitschr. f. Krystall. VII. p. 71.)

1. In Bezug auf den von v. Lasaulx zuerst analysirten Manganvesuvian vom Johnsberge* hatte Schubert** Zweifel gegen die Richtigkeit der v. Lasaulx'schen Analysen geäussert. Diesen Zweifeln gegenüber führt nun v. Lasaulx aus, dass die Analyse von Schubert sich gar nicht auf

* Auszug in dies. Jahrb. 1880. II. Referate p. 143.
** Auszug in dies. Jahrb. 1882. II. Referate p. 193.

den rosenrothen Vesuvian vom Johnsberge, sondern auf den farblosen oder grünlichen von Gleinitz bezieht, die auch v. Lasaulx manganfrei gefunden hatte. Die an den Polen der Gleinitzer Krystalle mitunter auftretende amethystartige violette Färbung rührt von organischer Substanz her, da sie beim Erhitzen verschwindet. Die rosarothe Färbung der Johnsberger Krystalle ist aber nicht auf die Pole beschränkt, sondern tritt überall hervor; sie rührt von dem durch v. Lasaulx nachgewiesenen Mangangehalt, dessen Menge (3% MnO) genügend ist, um eine solche Färbung hervorzubringen.

2. Aus einer in Folge der Untersuchungen von Cathrein (vergl. oben stehendes Referat) wiederholten Analyse des Titanomorphit, ausgeführt von Bettendorf, geht hervor, dass dieses Mineral in der That Kieselerde enthält, die bei der ersten Analyse übersehen worden war; seine Identität mit Titanit ist damit bestätigt. **Streng.**

J. Brandl: Über die chemische Zusammensetzung der Mineralien der Kryolithgruppe*. Fluellit. (Lieb. Ann. 213. p. 13.)

Verf. erhielt durch Prof. Groth 0,12 Gr. dieses seltenen Minerals, mit welchem folgende Analyse ausgeführt wurde: Al = 27,62%, Na = 0,58%, Fl = 56,20%. Summe = 84,40. Der Verlust von 15,60% ist wahrscheinlich Wasser. Daraus berechnet sich die Formel $AlFl_3 + H_2O$. **Streng.**

Luiz M. Vidal: Yacimiento de la Aërinita. (Über das Vorkommen des Aërinit.) (Bol. de la Comision del Mapa geolog. de España. T. IX. Madrid 1882. pag. 113—121.)

Nach einem kurzen historischen Rückblick werden die beiden Vorkommnisse des Aërinit bei Caserras in der Provinz Huesca und Tartaren in der Provinz Lerida (cf. dies. Jahrb. 1882. II. 98) besprochen und einige Stufen aus der Sammlung der Gewerbe-Schule in Barcelona beschrieben. Darunter befindet sich eine, auf welcher der Aërinit in ausgesprochen faserigen Aggregaten, ähnlich wie Asbest, auftritt. Nach den mikroskopischen Untersuchungen des Ref. würde dieses Vorkommen das reinste sein, welches man von dem genannten Mineral kennt. **J. Macpherson.**

R. C. Hills: Dioptas from Arizona. (Am. Journ. of. Science. 1882. vol. XXIII. pag. 325.)

Glänzende Krystalle obengenannten Minerals kleiden Hohlräume aus im sog. Mahagoni-Erz, einer Mischung von hauptsächlich Brauneisen und Kupferoxyd in sehr verschiedenem Verhältniss, auf den Gruben von Bon Ton bei Clifton, Arizona. **C. A. Tenne.**

---

* Vergl. auch dies. Jahrb. 1882. II. p. 201–202 d. Referate.

Edo Claassen: Analysis of a variety of Siderite. (Am. Journ. of Science. 1882. vol. XXIII. pag. 325.)

In Krusten oder in einzelnen Krystallen kommt mit Kalkspath auf Eisenglanz ein hellgrüner Eisenspath vor, der nach der Analyse besteht aus:

$FeO = 41.115$, $CaO = 15.883$, $MgO = 2{,}567$,
$MnO =$ Spur, $CO^2 = 40.428$, — Sa. $= 99.993$.

C. A. Tenne.

Malvern W. Iles: On the occurrence of Smaltite in Colorado. (Am. Journ. of Science. 1882. vol. XXIII. pag. 380.)

Hauptsächlich Speiskobalt und Kobaltblüthe kommen neben wenig Eisenkies und schönen Blättchen gediegenen Silbers in einem Kalkspath-führenden Gange nahe Gothie, Gunnison Co., Colorado, vor. Eine Probe von Speiskobalt aus den oberflächlichen Schürfungen gab:

Co $= 11.59$, Fe $= 11.99$, As $= 63.82$,
$SiO^2 = 2.60$, Pb $= 2.05$, S $= 1.55$,
Bi $= 1.13$, Cu $= 0.16$, Ni und Ag in Spuren.
Sa. $= 94.89$*.

Eine reinere Probe gab 15 % Co. C. A. Tenne.

Malvern W. Iles: On the occurrence of Vanadium in the Leadville Ores. (Am. Journ. of Science. 1882. vol. XXIII. pag. 381.)

Auf der Evening Star- und Aetna- Grube hat Verf. eine orangerothe bis lehmgelbe Substanz in Begleitung einer quarzigen Gangmasse entdeckt, welche folgende Analysenresultate gab:

$SiO^2 = 36.86$, $PbO = 38.51$, $ZnO = 9.07$
$V^2O^5 = 9.14$, $Fe^2O^3 = 2.59$, $H^2O = 2.41$
$CO^2 = 0.48$, Sa. $= 99.06$.

Nach dieser Analyse hält Verf. es für wahrscheinlich, dass das Mineral zum Dechenit gehöre. (?) C. A. Tenne.

Orville A. Derby: On Brasilian specimens of Martite. (Am. Journ. of Science. 1882. vol. XXIII. pag. 373.)

Verf. glaubt auf Grund des magnetischen Verhaltens und der chemischen Prüfung einer grossen Anzahl von Martitkrystallen verschiedener brasilianischer Fundorte, dass dieselben theilweise aus Magneteisen entstanden sind. Sie enthalten theils noch beide Oxydationsstufen des Eisens in wechselndem Verhältniss, zum geringeren Theil aber nur Eisenoxyd und sind dementsprechend auf den Magneten wirksam. Die Martite sollen auch einen leichten kupferartigen Glanz auf den etwas matt gewordenen Flächen zeigen.

C. A. Tenne.

---

* In der Abhandlung steht als Summe irrig 98.89, während dieselbe nur 94.89 beträgt.

O. Silvestri: Sulla natura chimica di alcune inclusioni liquide contenute in cristalli naturali di solfo della Sicilia. (Bolletino del R. comitato geologico d'Italia. 1881. pag. 576—578.)

Die Schwefelkrystalle mit den Flüssigkeitseinschlüssen stammen aus der Schwefelgrube Pozzo in Valguarnera (Provinz Catania). Sie haben ein ähnlich zerfressenes Aussehen, wie die Porettaquarze und in ihnen bewegen sich die Luftblasen in der Flüssigkeit in ganz ähnlicher Weise wie dort. Die Flüssigkeit, welche aus den Höhlungen gewonnen wird, ist farblos und durchsichtig, geruchlos, aber schwach salzig schmeckend und enthält 0,1033 % fester Bestandtheile. Nach den vorgenommenen Reaktionen sind Chlor- und Sulphatverbindungen von Na, Ka, Ca, Ba, Sr darin enthalten, letztere beiden Metalle nur spektroskopisch nachweisbar. Der feste Rückstand besteht aus 53,527 Na Cl mit Spur K Cl, 1,342 $Ca Cl_2$ mit spektroskopischen Spuren von $Ba Cl_2$ und $Sr Cl_2$ und 45,131 $Na_2 S O_4$ (Summa = 100).

Max Bauer.

O. Silvestri: Sulla presenza della paraffina naturalmente cristallizzata nelle geodi di una lava basaltica di Paternò nelle adiacenze dell' Etna. (Bolletino etc. 1882. pag. 578. 579.)

Diese Notiz ist eine Ergänzung einer frühern Arbeit des Verf. (Sopra alcune paraffine ed altri carburi d'idrogeno analoghi que trovansi contenuti in una lava dell' Etna. Atti del' Academia Gioenia di Catania. serie III. vol. VII. 1876), worin er die complizirte Zusammensetzung einer bei niederer Temperatur butterartigen, bei 20° flüssigen und darunter Paraffinkrystalle ausscheidenden Substanz beschreibt, welche sich im Basalt findet. Neuerer Zeit haben sich in Hohlräumen desselben gelblichweisse, wachsähnliche, in breiten Blättchen krystallisirte, bei 56° schmelzbare, bei 300° flüchtige, in warmem Alkohol und in Äther lösliche Massen von Paraffin gefunden, welche im Mittel aus 84,003 C und 15,846 H = 99,849 bestehen.

Max Bauer.

P. Hautefeuille et J. Margottet: Sur la silice et les silicates de lithine. (Bull. de la soc. min. de France 1881. IV. 8. pag. 241.)

In Verfolg früherer Arbeiten über die künstliche Darstellung von Mineralien haben die Verff. drei Lithiumsilicate erhalten, von denen zwei zu bekannten Magnesiumeisensilicaten in naher Beziehung stehen. Es sind $Li_4 Si O_4$ und $(Mg, Fe)_2 Si O_4$ (Olivin) sowie $Li_2 Si O_3$ und $(Mg, Fe) Si O_3$ (Hypersthen), die vieles Übereinstimmende zeigen, während für $Li_2 Si_5 O_{11}$ kein verwandtes natürliches Mineral bekannt ist.

Sämmtliche Verbindungen sind durch Einwirkung von Lithiumchlorid auf die Schmelze der Bestandtheile der in Rede stehenden Silikate erhalten.

Das Verhalten von $Li_4 Si O_4$ gegenüber schwachen Säuren und vor dem Löthrohr ist wie das des Olivin; auch dieser ward von Verff. bei hoher Temperatur geschmolzen und gab bei seiner Erstarrung eine grosse Menge Gas, das er im schmelzflüssigen Zustande aufgenommen hatte, ab; er zeigt

dadurch ein Verhalten, wie das neu dargestellte Silikat. In heissem Wasser ist Li_4SiO_4 etwas löslich; der Winkel des rhombischen Prisma beträgt ca. 119°.

Einen gleichen Winkel und gleiches Krystallsystem hat das dem Hypersthen analoge Salz Li_2SiO_3, welches von verdünnten Säuren nicht angegriffen wird.

Für das sauerste Salz $Li_2Si_5O_{11}$ wird ebenfalls das rhombische System angenommen. Es krystallisirt in biegsamen Lamellen, welche zwei sich rechtwinklig schneidende Spaltbarkeiten auf sich erkennen lassen, während eine dritte parallel zur Ebene der Lamellen beobachtet werden kann. Ausserdem sind noch zwei minder gute, rhombische Täfelchen gebende Spaltrichtungen zu bemerken. Auslöschungsrichtungen parallel den erst erwähnten Tracen.

Auch Quarz und Tridymit bildeten sich bei Anwendung des „Mineralbildners“ Lithiumchlorid, ersterer ungefähr bei der Schmelztemperatur des Silbers, letzterer bei lebhafter Rothgluth.

Das Zustandekommen dieser verschiedenen Körper bei Anwendung desselben „Mineralbildners“ erklären sich die Verff. durch die Annahme, dass das Lithiumchlorid ein bis jetzt noch nicht näher bekanntes Oxychlorid enthalte. Dasselbe soll die Krystallisation der Kieselsäure ermöglichen, und von seiner Menge soll es ferner abhängen, welches der Salze zur Bildung gelangt. In dem Maasse, wie sich der Gehalt an Oxychlorid z. B. durch Einwirkung des Wassers auf das Chlorid vermehrt, wird der vorhergebildete Quarz angegriffen und das sauerste Salz kommt zu reichlicher Krystallisation. Dann erst mit zunehmender Bildung des Oxychlorids erscheinen auch die minder saueren Silicate.

Das mit Oxychlorid vermengte Lithiumchlorid lässt in Abwesenheit von Fluorammonium die Bildung von Lithium-Aluminium-Silicaten nicht zu, wogegen Thonerde, zur Kieselsäure hinzugefügt, weder die Krystallisation der einfachen Lithium-Silicate, noch die der Kieselsäure verhindert.

C. A. Tenne.

L. Bourgeois: Essai de production artificielle de Wollastonite et de Meïonite. (Bull. de la Soc. Min. de France. t. V. p. 13—16 und Cpts. Rend. 1882. I. T. XCIV. p. 228.)

1. Wollastonit wurde durch directes Zusammenschmelzen der entsprechenden Mengen von Kalk und Kieselsäure bei heller Rothgluth und zweitägiges langsames Erkalten im Ofen erhalten. Die krystallinisch erstarrte Masse zeigte schon dem blossen Auge Krystallnadeln von über 1 mm Länge, die unter dem Mikroskop durchsichtig und farblos erschienen, lebhaft polarisirten und etwa 4° Auslöschungsschiefen besassen. Neben einfachen Krystallen waren auch Zwillinge vorhanden, bei denen die Zwillingsgrenze parallel den Seitenkanten der Prismen verlief, sowie reihenförmig wiederholte Zwillingsbildungen. Bei einigen Versuchen wurden auch Platten aus vielen parallel aneinandergelagerten Kryställchen erhalten, die alle beim Drehen zwischen Nicols gleichzeitig hell und dunkel wurden. Durchschnitte, die in parallelem Licht dunkel blieben, zeigten

im convergenten Licht ein schwarzes, sich beim Drehen des Präparates kaum merklich öffnendes Kreuz und kreisförmige Ringe; der Charakter der Doppelbrechung ergab sich positiv. Wegen der Abweichung der optischen Eigenschaften von denen des natürlichen Minerals (bei welchem $2E\rho = 70^0\ 40'$) denkt der Verf. an einen Dimorphismus der Verbindung; er betrachtet die aus dem Schmelzfluss erhaltenen Krystalle als zweiachsig mit äusserst kleinem Achsenwinkel.

Auf dem gleichen Wege wie das Calcium-Silikat lässt sich die entsprechende Strontium-Verbindung erhalten; sie war noch schwerer in Fluss zu bringen und erstarrte nur fasrig.

2. Meionit. Die Bestandtheile in den aus der Formel sich ergebenden Proportionen: $5CaO$, Na^2O, $4Al^2O^3$, $9SiO^2$ liessen sich leicht bei heller Rothgluth zusammenschmelzen. Das Mikroskop zeigte, dass fast die ganze Masse krystallinisch erstarrt war; sie erschien farblos und bestand aus sechsarmigen Krystalliten, aus Lamellen mit einem rechtwinkligen Gitterwerk und aus einigen deutlich fasrigen Sphärolithen. Alle diese Gebilde wirken kräftig auf das polarisirte Licht, die Auslöschungen erfolgen parallel den Armen der Sterne und der Längsrichtung der Stäbchen in den Gittern; die Sphärolithen geben das schwarze Kreuz. Convergentes Licht brachte in geeigneten Schnitten ein einachsiges Interferenzbild positiven Charakters zur Erscheinung. Der natürliche — wohl nicht aus dem Schmelzfluss entstandene — Meionit ist optisch negativ.

Um einen natronfreien Meionit zu erhalten, wurden $6CaO$, $4Al^2O^3$, $9SiO^2$ zusammengeschmolzen. Die Mischung wurde leicht schon bei dunkler Rothgluth flüssig und es entstanden in einer glasigen Masse farblose, lebhaft polarisirende Nadeln, die der Länge nach verzwillingt waren und bis zu 45^0 gehende Auslöschungsschiefen zeigten. In den Längsschnitten verlief die grössere Elasticitätsachse bald in der Längs- bald in der Querrichtung. Diese Krystalle wurden durch Säuren unter Abscheidung einer Gallerte leicht zersetzt. In Folge dieser Eigenschaften glaubt der Verf. dieses letztere Schmelzproduct nicht für Meionit, sondern für Anorthit ansprechen zu sollen. F. Klocke.

A. de Schulten: Sur la reproduction de l'analcime. (Bull. de la Soc. Min. de France. t. V. p. 7—9; und Cpts. Rend. 1882. I. t. XCIV. p. 96.)

Noch auf andere Weise als früher* gelang es dem Verf., krystallisirten Analcim darzustellen. Lösungen von Natrium-Silicat und Natrium-Aluminat, in den durch die Zusammensetzung des Analcims bestimmten Proportionen gemischt, wurden unter Zusatz einer passenden Menge Kalkwassers in einem hermetisch verschlossenen kupfernen Gefäss 18 Stunden lang auf einer Temperatur von 180^0 erhalten. Das zugesetzte Kalkwasser soll nur das Krystallisiren des Analcims erleichtern; bei der Anwendung der Substanzen in trockenem Zustande wurden nur ausnahmsweise isolirte

---

* Vergl. dies. Jahrb. 1881. I. p. 26 der Referate.

Krystalle, gewöhnlich aber bloss kuglige Aggregate erhalten. Die resultirenden Krystalle waren 202 (211) oder $\infty O \infty$ (001) oder Combinationen beider Formen. Der Verf. glaubt, dass ein Überschuss an Alkali und grosse Concentration der Lösung das Entstehen der erstgenannten Form begünstige. Die chemische Zusammensetzung ergab sich fast genau gleich der des natürlichen Analcims. Bei optischer Untersuchung im Mikroskop erwiesen sich die Krystalle als absolut unwirksam auf das polarisirte Licht, auch bei Einschaltung färbender Blättchen. Das Product der früheren Analcim-Darstellung des Verfassers war optisch aktiv, so dass er die damals erhaltenen Krystalle als hexagonale Vierlinge ansprach. Gegenüber der Thatsache der vollkommenen optischen Isotropie der jetzt dargestellten Krystalle äussert der Verf. die Ansicht, dass bei dem Analcim kleine Variationen bezüglich der optischen Elasticität statthaben können ohne eine Veränderung in der äusseren tesseralen Form nach sich zu ziehen*. F. Klocke.

E. Jannettaz: Note sur un phosphure de nickel. (Bull. de la Soc. Min. de France. t. V. p. 17.)

Die Verbindung von der Formel Ni^5P wurde von Herrn Jules Garnier durch Zusammenschmelzen von saurem phosphorsaurem Kalk, Kohlenpulver und metallischem Nickel oder besser Nickeloxyd erhalten. Bei langsamer Erkaltung bilden sich in der Schmelze Hohlräume, deren Wandungen mit Krystallnadeln überkleidet sind. Sie stellen lange rechtwinklige Prismen mit theils glatten, theils gestreiften Flächen dar, die selten deutliche Endigungen aufweisen. Eine gerade Endfläche konnte übrigens constatirt werden, so dass der Verf. das tetragonale System für diese Krystalle annehmen zu dürfen glaubt. Sie sind von blassgelblicher Farbe, haben eine Härte von 5,5 und ein sp. Gew. von 7,283. F. Klocke.

---

* Der künstliche Analcim bietet also ein weiteres Beispiel für das gleichzeitige Auftreten optisch aktiver und inaktiver Individuen derselben Species bei sich gleichbleibender chemischer Zusammensetzung, wie es durch die Untersuchungen von C. Klein (vergl. dieses Heft) auch für chemisch nicht verschiedene Granate nachgewiesen ist. Dasselbe findet an dem blassröthlichen Spinell von Ceylon statt, wie eine in meinem Institut im Gange befindliche Arbeit beiläufig ergeben hat. D. Ref.

B. Geologie.

F. von Richthofen, China: Ergebnisse eigener Reisen und darauf gegründeter Studien. II. Bd. Das nördliche China. 792 S. Mit 126 Holzschnitten, einer farbigen Ansicht, 2 Karten und 5 geologischen Profiltafeln. Berlin 1882.

Im Jahr 1877 erschien der erste 752 Seiten starke Band des grossen Richthofen'schen Reisewerkes, welcher als einleitender Theil bezeichnet ist. Er enthält zwei Abschnitte, deren einer betitelt China und Centralasien der Darstellung der Oberflächenverhältnisse Mittelasiens und der Entwickelung der bekannten Lösstheorie gewidmet ist, während ein zweiter eine Geschichte der Erforschung von China giebt. Nach etwas mehr als 4 Jahren folgt nun ein zweiter Band in noch etwas grösserem Umfang, welcher die speciellere Beschreibung der Reiserouten im nördlichen China giebt. Ein dritter Band soll in entsprechender Weise das südliche China behandeln, während ein vierter, von verschiedenen Gelehrten bearbeitet, paläontologische Monographien über das gesammelte Material aufnehmen soll.

Die auf den ersten Zeilen des Vorworts geäusserte Befürchtung des Verfassers, als könne der zwischen dem Erscheinen des ersten und zweiten Bandes verflossene Zeitraum allzu lang erscheinen, ist wohl nicht begründet. Wohl ist dieser zweite specielle Theil mit Spannung erwartet worden; nun er vorliegt, muss aber die Fülle des Stoffes, die in demselben in durchgearbeiteter Form geboten wird, Staunen erregen und jeder wird dankbar anerkennen, dass der Verfasser es möglich gemacht hat, noch neben anderen zeitraubenden Beschäftigungen eine solche Arbeit innerhalb weniger Jahre zu bewältigen.

Wir geben zunächst eine Übersicht des Inhalts:

1. Cap. Einleitende Übersicht; das Land der achtzehn Provinzen.

I. Abtheilung: Die südliche Mantschurei.

2. Cap. Die südliche Mantschurei; allgemeine Übersicht.

3. Cap. Geologische Beobachtungen am Reiseweg durch die südliche Mantschurei.

4. Cap. Die südliche Mantschurei oder die Provinz Shöngking (Fortsetzung).

II. Abtheilung: Das nordöstliche China (Provinzen Shantung, Tshili, Shansi und Honan).

5. u. 6. Cap. Das Gebirgsland von Shantung.
7. Cap. Peking und seine Umgebungen.
8. Cap. Die nördlichen Theile der Provinzen Tshili und Shansi.
9. Cap. Das südliche Shansi.
10. Cap. Übersicht der Provinz Shansi.
11. Cap. Die Provinz Honan.

III. Abtheilung: Das nordwestliche China (Provinzen Shensi und Kansu).

12. Cap. Die Provinz Shensi.
13. Cap. Nordshensi und Kansu.
14. Cap. Geologische Ergebnisse.

Auf die Untersuchung der geologischen Beschaffenheit der durchreisten Gebiete und Eintragung der Ergebnisse auf Karten war das Augenmerk v. Richthofen's in erster Linie gerichtet. Eine genügende topographische Grundlage musste aber erst geschaffen werden. Die Ausführung der Karten nahm so viel Zeit in Anspruch, dass dieselben bei Ausgabe des vorliegenden Bandes noch nicht vollendet waren. Sie sollen nachgeliefert werden, ein Umstand, der, wie der Verfasser in der Einleitung hervorhebt, dem Verständniss des Textes etwas hinderlich ist, da die vorhandenen Karten unserer Atlanten ungenügend sind. Ein Zufall machte es dann aber doch noch möglich, wenigstens eine Kartenskizze des nördlichen China beizufügen und diese leistet wesentliche Dienste.

Die Anordnung des Textes ist nun der Art, dass in den einzelnen Capiteln nach orographischen, historischen, politischen und anderen Bemerkungen allgemeiner Art, wie sie das in einer Gegend Beobachtete mit sich brachte, chronologisch das in geologischer Hinsicht Bemerkenswerthe mitgetheilt wird. Am Schlusse eines jeden geographisch zusammengehörigen Abschnitts folgt immer eine Zusammenfassung und diese Zusammenfassungen haben dann wieder die Grundlage des den Band schliessenden 14. Capitels abgegeben. Bei der Rücksicht, die der zur Verfügung stehende Raum uns auferlegt, müssen wir uns auf Wiedergabe einiges Wesentlichen beschränken. Wir entnehmen der eigentlichen Reisebeschreibung die geologische Aufeinanderfolge der Formationen welche angetroffen wurden und schliessen daran einiges aus dem letzten allgemeinen Abschnitt.

Das Studium des Buches selbst wird dadurch erleichtert, dass in den Schlusscapiteln stets auf die entsprechenden Ausführungen früherer Capitel zurückverwiesen wird.

Über die Gliederung des Bodens sei nur Folgendes bemerkt (S. 14). Die Angaben unserer geographischen Handbücher über das Relief China's sind richtig, so lange es sich nur um die Anordnung der Wasserscheiden handelt, die Gliederung des Gebirges stellen sie aber nicht dar. Auch die Namen sind irrig.

Das bemerkenswertheste Gebirge Centralasiens ist der Kwen-lun. Dasselbe erreicht seine grösste Breite in der Meridianzone des Khukhu-noor

und östlich davon und tritt mit wenigstens sieben parallelen Kettenzügen nach China über. Für diesen Theil bedient sich v. Richthofen der Bezeichnung mittlerer Kwen-lun. Dessen Fortsetzung ist der östliche Kwen-lun, der wie ein Keil aus Centralasien nach China sich hinein erstreckt und in der Provinz Honan sein Ende erreicht. Dieses letztere Gebirge entspricht z. T. dem „Peling“ der Geographen. v. Richthofen nennt es Tsin-ling-Gebirge oder der östliche oder chinesische Kwen-lun. Es kommen in demselben Höhen bis zu 11 000′ vor.

Dieser östliche Kwen-lun scheidet Nord- und Südchina und darin liegt seine geographische Bedeutung. Im Norden entwässert der Hwang-hö, im Süden der Yang-tsze-Kiang. Formationen von hohem Alter nehmen an der Zusammensetzung des Gebirges Theil und seine Streichrichtung WN—OS ist ihm allein unter allen Gebirgen Chinas eigenthümlich.

Im Norden herrscht der Löss, die Landschaft ist einförmig, wenn auch charakteristisch; Weizen, Baumwolle und Hülsenfrüchte gedeihen und werden bis zu 8000′ Höhe cultivirt. Im Süden fehlt der Löss, die Gewässer strömen in Schluchten des nackten Gebirges oder durch Weitungen, welche mit fruchtbarem Alluvialboden bedeckt sind. Gegenstand des Anbaus sind Reis, Thee, Maulbeeren, Zuckerrohr, der Tung-Öl-Baum, gegen welche Weizen und Hülsenfrüchte zurücktreten. Nur in einigen Fällen steigt der Anbau über 2000′ Höhe hinauf.

Vom Kwen-lun getrennt erhebt sich im Osten isolirt das Hwai-Gebirge, welches wegen seiner geringen Höhe weniger scharf zwischen Norden und Süden scheidet. Östlich von demselben liegt die grosse Ebene des Hwang-ho, in welcher die Gegensätze der weiter westlich so scharf getrennten Gebiete sich verwischen. v. Richthofen legt hier die Grenze in das niedere Land hinein. Sie wird einem vom grossen Kanal durchschnittenen Lössrücken entlang gezogen, welcher in ein fruchtbares Marschland der Küstenzone verläuft.

Das nördliche China besteht nach dem Gesagten aus der grossen Ebene im Osten und einem wenig unterbrochenen Gebirgsland im Westen. Aus der Ebene erhebt sich im Osten noch das Gebirgsland von Schantung, welches theils von ihr, theils vom Meer umschlossen wird. Auffallend steil steigt der Rand des Gebirges im Westen auf, längs einer Linie, welche die Städte Hwai-King-fu, Wéi-Hwi-fu und Peking verbindet. Das Gebirge selbst besteht aus einer Reihe plateauartiger Ausbreitungen und mehreren Faltungsketten. Die eigentliche Natur des Aufbaus ist unter der Lössdecke nur schwer zu erkennen. Die Faltungsketten laufen dem Kwen-lun, von dem sie sich abzweigen, anfangs parallel von W. nach O., dann biegen sie sich nordöstlich und behalten theils diese Richtung bei, theils wenden sie sich ganz von S. nach N. Horizontal liegen auf den alten Ketten noch Plateau-Schichten und verhüllen den Lauf derselben. Im nördlichen Theil der Provinz Shansi und dem angrenzenden Gebiet von Tshili erreicht das Gebirge eine Höhe von 10 000′ (Wu-tai-shan). Im übrigen Theil von Shansi beherrscht die Oberflächenbildung besonders ein Gebirgszug, welcher im Granitstock des heiligen Ta-Hwa-shan sich von den Tsin-ling-Ketten ab-

zweigt und jenseits des grossen Knies des Hwang-ho im Föng-tian-shan fortsetzt, um im 8000′ hohen Ho-shan zu enden. Zwischen dieser Kette und dem Tsin-ling liegt ein Gebirgs-System, welches im heiligen Lung-Shan gegen die Ebene absetzt. Nach Westen hin liegen zwischen den Ketten beckenförmige, mit Löss erfüllte Einsenkungen.

Der Ta-Hwa-shan fällt steil nach N. in ein lössbedecktes Becken ab, welches sich nach Süden allmählig hebt. Plateaubildungen liegen wiederum in den Provinzen Shensi und Kansu, wenn auch in letzterer SW—NO streichende Falten wieder etwas mehr Geltung gewinnen. Im Ganzen ist es jedenfalls für das nordwestliche China bezeichnend, dass sich seine ineinander übergehenden Gebirgslandschaften als deutlich erkennbare Gebirgszüge erkennen lassen.

Zum Verständniss der grossen Ebene, welche die andere Hälfte des nördlichen China ausmacht, ist eine Betrachtung der Hauptlebensader des Landes, des Hwang-ho oder gelben Flusses nöthig. Derselbe entspringt weit im Westen im Landè Khukhu-noor, wendet sich, bald den Parallelketten des Kwen-lun folgend, bald sie durchbrechend, nach Norden, fliesst zeitweise durch Steppengebiet, um in entgegengesetzter Richtung nach Süden sich wendend an die östliche Fortsetzung desselben Gebirges, in dem er entsprang, anzuprallen. Er vermag den gewaltigen Damm nicht zu durchbrechen und muss sich in scharfem Knie zurückgeworfen seinen Weg durch die oben erwähnte vom Tsin-ling-shan sich nach NO abzweigende Kette bahnen. Rechts begrenzen die Granitpfeiler des Ta-Hwa-shan, links jene des Föngtian-shan, den Engpass. Nachdem dann noch einige Hindernisse in Gestalt lössbedeckter Querriegel überwunden sind, strömt die durch mehrere Zuflüsse verstärkte gewaltige Wassermasse bei Möng-tsin-hsiën in die fruchtbare Ebene von Hwai-King-fu hinaus.

In dieser Ebene hat der Fluss seinen Unterlauf wiederholt geändert. Der nördlichste und der südlichste Ausfluss ins Meer (letzterer bis 1852) liegen um 5½ Breitengrade auseinander. Das grosse zwischen denselben liegende Dreieck bezeichnet v. Richthofen als einen gewaltigen Schuttkegel. Jetzt verfolgt der Fluss eine mittlere Richtung und ergiesst sich ebenso wie schon in ältester Zeit in den Golf innerhalb der Miau-tau-Inseln, welchen der Verfasser als inneres gelbes Meer im Gegensatz zum äusseren, auf den Karten gewöhnlich so benannten Meerestheil bezeichnet.

Eine ganz isolirte, rings von der Ebene und dem Meere umschlossene Lage nimmt das Gebirgsland von Shantung ein. Es zerfällt in zwei Theile, einen westlichen, in seinem Gebirgsbau der Provinz Shansi entsprechend, einen östlichen, welcher sich in seinem Aufbau an das jenseits des Meeres liegende Liautung und wahrscheinlich an Korea anschliesst.

Auf die orographischen Verhältnisse des südlichen China, von welchen v. Richthofen eine kurze Übersicht giebt, wollen wir an dieser Stelle nicht näher eingehen. Es sei nur bemerkt, dass der Bau des Gebirges ein wesentlich anderer ist als der des nördlichen China. Es handelt sich im Süden des östlichen Kwen-lun hauptsächlich um ein ausgedehntes Faltungsgebiet mit meist paralleler Anordnung der Ketten. Die Ketten

fallen aber durchaus nicht mit den Wasserscheiden zusammen, wie bisher angenommen wurde. „Die rostförmige Anordnung paralleler Faltungswellen über sehr grosse, in ihrem Grundbau einheitlich beschaffene Gebiete darf als eine Besonderheit von Asien bezeichnet werden. In Europa bietet das Juragebirge das einzige vollkommene, aber räumlich sehr beschränkte Analogon, während ähnliche Verhältnisse in grösserer Ausdehnung, aber weniger vollkommener Ausbildung, an der dalmatinischen Küste herrschen. Grossartiger, aber doch gegen Asien weit zurückstehend, geben die Alleghanies in Nordamerika ein Bild dieses Baues."

Folgende Formationen resp. Gesteine treten im nördlichen China an die Oberfläche.

Gneiss. In der Provinz Liautung sind Gneiss und Gneissgranit in ausserordentlicher Mächtigkeit entwickelt. Bald ist es ein typischer Glimmergneiss mit herrschendem Orthoklas und beigemengtem Quarz und Plagioklas, bald verliert das Gestein seine planparallele Structur, es kommen zweierlei Glimmer vor und es ist in Handstücken keine Unterscheidung von Granit möglich. Hornblende fehlt. Dieselben Gesteine bilden in Liau-hsi die Unterlage aller späteren Ablagerungen. In Shantung finden sich Gneisse und Gneissgranite, welche den laurentischen Gneissen anderer Kontinente parallelisirt werden. Diesen älteren „Shantung-Gneissen" werden als eine jüngere Formation die „Sangkan-Gneisse" des nördlichen Tshili und Shansi gegenübergestellt. In diesen walten Hornblende und Chloritgneisse vor, während Glimmergneisse zurücktreten. In den höheren Theilen gehen alle Gneisse dieses Gebietes in Granatgneisse und Granulit über. Die in den Umgebungen des gelben Meeres so gewöhnlichen Übergänge in Gneissgranit fehlen ganz. Da nun auch eine abweichende Streichrichtung vorhanden ist, so scheint es sich um eine ganz andere Entwicklung zu handeln. Diesem Sangkan-Gneiss fehlen Einlagerungen von krystallinisch körnigem Kalk durchaus, während dieselben in Shantung in sehr grosser Mächtigkeit mit Glimmerschiefern in Verbindung dem laurentischen Gneiss mit abweichender Streichrichtung aufliegen.

Da ferner Gneisse im südlichen Shansi und in dem der Provinz Shansi angehörigen Tsinling-Gebirge beobachtet sind, so ergiebt sich schon aus dem Vorkommen die grosse Bedeutung des Grundgebirges für den Aufbau des nördlichen China.

Mit den Gneissen, dieselben überlagernd, theils für sich, theils mit Glimmerschiefern, Hornblendschiefern, Thonschiefern, Thonglimmerschiefern und krystallinischen Kalken in Verbindung kommen vielfach, besonders in Liautung und Shantung, verschiedene Quarzite vor. Dieselben stehen tektonisch mit dem Gneiss insofern in Beziehung, als sie ebenfalls steil aufgerichtet sind und junge Bildungen discordant auf denselben lagern. In Nord-Tshili und Nord-Shansi wird ein an 10 000′ mächtiges System als Wutai-Schichten unterschieden. Es ist ein kalkfreies System, in welchem grüne Schiefer z. Th. mit deutlicher Färbung durch Chlorit oder Hornblende, nebst Quarziten und Conglomeraten herrschen. Ohne die einfache Übertragung der canadischen Namen befürworten zu wollen, vergleicht

v. Richthofen doch diese Wutai-Schichten mit dem huronischen System, dem er auch noch im Grossen und Ganzen die oben genannten Quarzite u. s. w. von Liautung und Shantung (Takushan-Schichten, Schichtensystem des King-Sun-Shan, Schichten des Tshang-Shan) zuweist. Diese Bildungen werden von eruptiven Massen durchsetzt, welche in den überlagernden Schichten nicht mehr zu finden sind. Eines der ausgezeichnetsten Beispiele dieser Eruptivgesteine ist der Korea-Granitporphyr, welcher mehrere Zoll lange Orthoklas-Zwillinge enthält. Das Auftreten feinkörniger Ganggranite und turmalinführender Pegmatite erinnert an ähnliches Auftreten im Grundgebirge anderer Kontinente. Dass diese eruptiven Gesteine bald in einzelnen Gängen die Gneisse oder einander gegenseitig durchschwärmen oder Massive von einer gewissen Selbstständigkeit bilden, ist ein weiterer gemeinsamer Zug dieser alten Bildungen überall, wo sie an die Oberfläche der Erde treten. Von anderen Eruptivgesteinen werden angeführt Syenit, Diorit, Diabas, Hyperit, Gabbro, Porphyrit und Quarzporphyr.

Als wichtigste Schichtenreihe China's bezeichnet v. Richthofen die von ihm als sinische eingeführte. Dieselbe ist von den gewaltigen Einflüssen, welche alle älteren Schichten steil aufrichteten, nicht mehr betroffen worden; mit ihren ersten Schichten beginnt daher für China ein neues Zeitalter. Die Mächtigkeit ist, wie angenommen wird wegen der sehr unebenen Beschaffenheit des Meeresgrundes, sehr verschieden und wird von 12—20 000′ veranschlagt. Verschiedenartige Schiefer, Sandsteine und Kalksteine nehmen an der Zusammensetzung Theil und es pflegen Sandsteine im tiefsten, Kalksteine im höchsten Theil vorzuwalten. Einige Zonen sind durch ein eigenthümliches Gestein, den globulitischen Kalk, ausgezeichnet und erlangen eine besondere Bedeutung durch das Auftreten einer Fauna, welche eine präcisere Altersbestimmung gestattet. Bei Saima-ki und im Tai-tsze-Thal in Liau-tung kommen reichlich Trilobiten vor, welche nach den Untersuchungen von Dames wesentlich den Gattungen *Dikellocephalus* und *Conocephalus* angehören und auf Verwandtschaft mit der Fauna des amerikanischen Potsdamsandstein von New-York, Jova, Minnesota und Wisconsin und den Gebieten des 40ten Parallel hinweisen.

Eine specielle für ganz Nordchina zutreffende Gliederung lässt sich für den Augenblick noch nicht feststellen. Es kann nur im Allgemeinen eine unter-, mittel- und obersinische Abtheilung festgehalten werden. Die obersinischen oder Lungmönn-Schichten enthalten die globulitischen Kalke mit der Primordialfauna. Sie zeigen die grösste petrographische Gleichartigkeit über weite Gebiete im Gegensatz zu tieferen Theilen der Formation. Die nahe liegende Bezeichnung cambrisch verwirft v. Richthofen, einmal weil es nicht möglich ist, unter den globulitischen Kalken eine bestimmte Grenze nach unten anzugeben, dann weil dieselben sehr wohl noch untersilurischen Horizonten anderer Kontinente äquivalent sein können.

Auch die sinische Formation ist von Eruptivbildungen durchsetzt worden. Ausser Grünsteinen sind Granite, Syenite und Porphyre zu nennen, welche z. B. in der Gegend von Peking beträchtliche Ausdehnung zeigen.

Für Silur und Devon ist die Provinz Shensi ein klassisches Gebiet. Nicht nur sind die Lagerungsverhältnisse ausserordentlich interessant, es finden sich auch zahlreiche Fossilien, welche z. B. die Entwicklung von Mittelsilur festzustellen gestatten. Bei der als Drachenschlucht bekannten Stelle nahe beim Dorfe Lung-tung-pei ist die Fundstelle devonischer Brachiopoden, welchen Heilkraft zugeschrieben wird und die hier verkauft werden; devonische Fossilien (shi-yen, Steinschwalben) führen die chinesischen Apotheken und aus denselben sind paläozoische Versteinerungen Chinas wohl zuerst nach Europa gelangt.

Kohlenkalk kommt in Liautung, ganz besonders aber in den Gebirgen bei Peking und in Shansi vor. Versteinerungen fehlen zwar, doch soll die Altersbestimmung unzweifelhaft sein, wie aus einer Reihe von Merkmalen geschlossen wird. Kalksteine mit Versteinerungen wie *Productus semireticulatus* liegen im Kohlenfeld von I-tshóu-fu der Provinz Shantung mitten zwischen kohlenführenden Schichten darin, sie entsprechen aber der oberen Abtheilung der Kohlenformation. Productive Kohle kommt auch sonst im nördlichen China mehrfach vor, so in Liautung, Liaushi, Shongking (hier mit Eisenerzen), Shantung, an mehreren Punkten, in der Gegend von Peking, im südlichen Shansi (mit einer Überlagerung von Sandsteinen, welche entweder noch zur Kohlenformation oder zum Rothliegenden gehören), in Honan, in Shensi. Diese Provinz enthält das grösste Kohlenfeld wahrscheinlich der ganzen Welt. v. Richthofen schätzt das Areal auf ungefähr 634 deutsche Quadratmeilen und das im Boden enthaltene Kohlenquantum auf 630 000 000 000 metrische Tonnen. Dabei kommen noch Eisenerze vor und die Abbauverhältnisse sind sehr günstige. Eine Zusammenstellung sämmtlicher nordchinesischer Kohlenfelder ist zu Ende des Werkes gegeben. Manche andere Kohlenfelder, wie jenes von Peking, haben allerdings die auf sie gesetzten sanguinischen Hoffnungen nicht erfüllt. Gerade die Schichten der Kohlenformation sind vielfach einer ausgedehnten Denudation ausgesetzt gewesen und was jetzt noch vorhanden ist, stellt nur Reste einer einst ausgedehnten Bedeckung dar.

In Shantung liegen auf den carbonischen Schichten rothe und dunkelviolette Sandsteine und thonige Gesteine, welche zwar versteinerungsleer sind, aber mit Ablagerungen im südlichen China am See Po-yang bei Löping-hsiën, welche dyadische Versteinerungen führen, solche Beziehungen zeigen, dass auch sie als dyadisch angesehen werden dürfen.

Am Ende der carbonischen Zeit und vor dem Beginne mesozoischer Bildungen erfolgten in China wie auch in anderen Gegenden so häufig gewaltige Eruptionen porphyrischer Gesteine. Quarzporphyr, Porphyrit, Melaphyr, Augitporphyr und Diorite setzen theilweise z. B. in Liau-hsi ganze Gebirge zusammen.

Mächtig entwickelte Schichtensysteme verschiedener Gesteine machen es wahrscheinlich, dass die Trias so gut wie die Dyas ihre Vertreter in China hat. Die kohlenführenden Sandsteine und Schieferthone der Taignan-Gruppe bei Peking z. B. liegen zwischen Dyas und Rhät. Sichere paläontologische Anhaltspunkte gewähren Pflanzenreste der Gegend von

Peking, welche nach Schenk rhätisch sind. Durch diese Pflanzen wird auch dort vorkommenden anthracitischen Kohlen ein rhätisches Alter zugewiesen, wie denn überhaupt die mesozoische Zeit auch in jurassischen Schichtenreihen wiederholt die Bedingungen reichlicher Kohlenbildung gewährte. Dem unteren Jura gehören die ebenfalls bei Peking vorkommenden kohlenführenden Futau-Schichten an. Auch oberjurassische Kohlen sollen vorkommen. Ferner sind Kohlen in Shensi, wahrscheinlich jurassischen Alters, vorhanden, während das bedeutendste jurassische Kohlenlager sich bei Ta-tung-fu im nördlichen Tshili befindet.

Von Interesse ist, dass auch diese jüngeren Sedimentgebilde von eruptiven Massen durchbrochen werden. So haben in der Gegend von Peking von porphyrischen Conglomeraten begleitete Porphyre die Futau-Schichten durchsetzt und verwerfen und überlagern dieselben.

Eine lange Zeit der Trockenlegung folgte in China auf die letzten jurassischen Niederschläge. Wenn die heutige Oberflächengestaltung sich von jener zu Ende der Jurazeit unterscheidet, so ist dies durch Niveauveränderungen bedingt, welche keine Meeresbedeckung herbeiführten, durch vulkanische Eruptionen der jüngsten Zeit und vor allem durch ausgedehnteste atmosphärische Einflüsse, deren Thätigkeit ein besonderer Abschnitt des Schlusscapitels des Werkes gewidmet ist.

Was wir bisher mittheilten, waren nur Beispiele des Vorkommens der einzelnen Formationen, die wir heraushoben, um dem Leser eine ungefähre Vorstellung von dem was in China zur Entwicklung gelangt ist, zu geben. In dem Buche selbst müssen die Reisewege, die Beschreibung der einzelnen Profile nachgelesen und die Profilzeichnungen, welche wesentlich das Verständniss fördern, verglichen werden. Wohl mehr als die Hälfte des Textes ist der Geologie gewidmet, während der Rest die in jeder Provinz beobachteten Verhältnisse der Bevölkerung, des Klimas, der Producte, des Verkehrs u. s. w. enthält. In dem 13. Cap. über Nord-Shensi und Kansu handelt ein besonderer Abschnitt über die voraussichtliche Stellung der Stadt Hsi-ngan-fu in zukünftigen transcontinentalen Eisenbahnverbindungen. Unfern dieser Stadt zweigt sich das früher genannte Hwa-shan-Gebirge vom Tsin-ling-shan ab und erzwingt der vereinigte Wei-ho und Hwang-ho den Durchbruch in die Ebene. Diese Lage der Stadt bedingt ihre Bedeutung für den Weltverkehr.

Es bleibt uns nun noch das Schluss-Capitel des Werkes „geologische Ergebnisse“ übrig, welches allerdings, da es selbst schon eine Zusammenfassung der Ergebnisse aus den in früheren Abschnitten des Buches mitgetheilten Einzelbeobachtungen darstellt, eine abgekürzte Wiedergabe seines Inhalts nur schwer zulässt. Bei dem Lesen desselben macht sich der Mangel einer geologischen Kartenübersicht vielleicht am fühlbarsten; doch hilft die Übersichtskarte mit eingetragenen Streichrichtungen dem Verständniss.

Zu bemerken ist, dass in der geologischen Entwicklungsgeschichte des nördlichen China, auf deren Darlegung das Hauptgewicht in diesem Schlusscapitel gelegt wird, auf den östlichen Kwen-lun und das südliche China mehrfach Rücksicht genommen wird. Letzteres Gebiet soll zwar in dem

dritten Bande noch besonders behandelt werden, es war aber nicht wohl zu vermeiden, gelegentlich schon jetzt auf dasselbe überzugreifen.

Folgende Hauptperioden werden unterschieden:

A. Bildung des archäischen Grundgerüstes.

1) Urgneiss und Gneissgranit. Grundgebirge in Liau-tung und Shantung. Gleichbleibende Streichrichtung und steiles Einfallen, wahrscheinlich in gleicher Stellung die Unterlage aller späteren Bildungen, auch wo jetzt von denselben nichts zu sehen ist, bildend.

2) Erste Abrasion, Bildung einer Unterlage für die unter 4 genannten Formationen durch Abrasion der Schichtenköpfe des Urgneiss.

3) Jüngere Gneisse. Während der ersten Abrasion werden Hornblendegneisse und Chloritgneisse des nördlichen Tshili und Shansi gebildet. Sie erlitten eine Faltung mit dem Streichen WSW—ONO vor der Ablagerung von 4. Auch die eigentlichen Kwen-lun-Gneisse (Fu-niu-shan und nördliche Zone des Tsin-ling-shan) gehören hierher.

4) Erste Transgression. Deutlich übergreifend liegen auf den Urgneissen eine Reihe von Bildungen, welche in verschiedenen Gebieten durchaus abweichend entwickelt sind und nur wegen ihres ähnlichen Altersverhältnisses zunächst noch zusammengefasst werden. Hierher gehören: Glimmerschiefer und krystallinische Kalksteine der Mulde des King-sun-shan und Lai-tshou-fu im östlichen Shantung; wahrscheinlich Quarzite und Sandsteine des Tshang-shan im westlichen Shantung; schwarze Quarzite und Hornblendeschiefer, sowie die Takushan-Schichten (S. 204); die Wutai-Schichten; gewisse grüne Schiefer des Tsin-ling-shan.

5) Tektonische Umgestaltungen und Granitausbrüche. Der Bildung der nächsten grossen (— sinischen —) Formationen gingen grosse von Eruptionen begleitete Störungen und eine weitgehende Abrasion voraus. Alle unter 4 genannten Gesteinsgruppen wurden von denselben in irgend einer Weise betroffen und darin liegt das ihnen Gemeinsame. Man hat zu unterscheiden:

a. Faltung im östlichen Shantung und Liantung nach der Streichrichtung WSW—ONO. Heraustreten des Koreagranit und anderer Granite, Pegmatite, Syenite und Diorite. Quarzgänge. Die Massenhaftigkeit der in langen Gneissmulden in Folge der Faltung eingeklemmten Sedimente beweist, dass es sich in jenen Zeiten um Aufthürmung von Gebirgen alpinen Charakters gehandelt hat.

b. Das westliche Shantung nahm an diesen Bewegungen keinen Theil, das Land bildete eine feste Scholle, in welcher Brüche und Verwerfungen frühzeitig eintraten, welche später zunahmen.

c. Im nördlichen Shansi wurde der Wu-tai-shan zusammengefaltet.

Das ganze nördliche China einerseits mit Ausnahme des westlichen Shantung, andererseits bis nach Korea hinein, ist als ein Gebiet aufzufassen, in welcher nach der Zeit der Ablagerung von 4. intensive Bewegungen stattfanden, deren Resultat eine Faltung zu gewaltigen Gebirgen war, welche alle von der sinischen Streichrichtung beherrscht werden.

d. Grosse WzN—OzS laufende Bruchlinien des Kwen-lun umfassen den Lung-Shan und vielleicht das westliche Shantung so, dass diese Gebiete an den Bewegungen des übrigen China und des Kwen-lun, gewissermassen in neutraler Stellung, nicht theilnahmen.

B. Zeitalter der sinischen und carbonischen Ablagerungen.

Das Grundgerüste im geologischen Bau des nördlichen China bestand am Schluss der ersten Periode seiner Hauptsache nach und hat wesentliche Umgestaltungen nicht mehr erlitten. Schollenbewegungen und Brüche kommen noch vor, aber keine stauenden Bewegungen. Im südlichen China trat allerdings nochmals Faltung ein. Sehr gross waren aber die äusseren Veränderungen.

6) Zweite Abrasion. Als das einzige Agens, welches im Stande ist, eine ebene Fläche zu schaffen, wo vorher ein Gebirge bestand, ist nach v. Richthofen die durch gleichzeitige mechanische Zerstörung und positive Niveauveränderung des Meeres landeinwärts voranschreitende Brandungswelle zu bezeichnen. Das ganze nördliche China wurde abgetragen und so die Fläche geschaffen, auf welcher das was als sinische Scholle bezeichnet wird ruht. Nicht nur Gebirge der unter 4. genannten Formationen wurden weggeräumt, auch die Grundlage von Gneiss wurde noch angegriffen. Die in Muldentiefen des Gneisses jetzt noch vorhandenen Sedimentmassen sind gleichsam nur die Wurzeln einst nach zehntausenden von Fuss messenden Schichtenreihen. Von der Abrasion verschont blieben nur widerstandsfähigere Gneisse, Granite und Quarzite, welche noch jetzt als deutlich erkennbare Riffe emporragen. Die Gebirge im östlichen Shantung und Liantung sind solche Gneissreste.

7) Zweite Transgression. Den Process der Ablagerung der sinischen Schichten selbst denkt sich nun v. Richthofen in der Weise, dass das durch die Brandungswelle fortgeführte Material sich unmittelbar auf dem Meeresgrunde ablagerte, die Schichtenbildung somit landeinwärts voranschritt. Dem entspricht es, dass zuunterst immer klastische Gebilde liegen.

Ein Vergleich des abgelagerten Materials mit den Resten noch anstehenden Materials führt zu dem Resultat, dass die Brandungswelle von SO herkam. Um von der Grossartigkeit des ganzen Vorganges, wie ihn v. Richthofen annimmt, eine Vorstellung zu gewinnen, muss man ausser der erwähnten Mächtigkeit der zerstörten Gebirge noch im Auge behalten, dass ausser dem ganzen nördlichen China noch ein Theil des südlichen von der Transgression ergriffen wurde.

8) Fortdauer der Abrasion und Transgression während der Perioden des Silur und Devon. Die Grenzen einer 7. und 8. Periode lassen sich noch nicht ganz scharf feststellen, doch darf angenommen werden, dass die Abrasion in der Zeit der letzteren noch frei herausragende Parthieen angriff und dass die Absätze derselben im tieferen Meer erfolgten.

9) Präcarbonische tektonische Umgestaltungen. Noch in der devonischen Periode oder an deren Schluss erfolgten wiederum tektonische Veränderungen und zwar dreierlei Art: 1) eine allgemeine Hebung des gesammten Gebietes; 2) Brüche und Verwerfungen; 3) Faltungen und damit in Ver-

bindung Granitausbrüche. Ob der eine oder andere Vorgang stattfand, lässt sich wesentlich aus dem Verhalten des Kohlenkalks folgern. Entweder ist er concordant den sinischen Schichten aufgelagert (lediglich Änderung der Meerestiefe) oder er liegt discordant (tektonische Änderung der sinischen Unterlage) oder er fehlt (Trockenlegung des betreffenden Gebietes oder heteropische Vertretung durch klastische, steinkohlenführende Bildungen) oder endlich es fehlen marine Bildungen der gesammten Steinkohlenzeit (Festlandsperiode). Es wird auseinandergesetzt, wie die verschiedenen Gebiete im nördlichen China sich in Beziehung auf die oben genannten Vorgänge verhielten.

10) Ablagerung des Kohlenkalks.

Verbreitung und Art der Lagerung des Kohlenkalks deutet darauf hin, dass der gegen Ende der devonischen Periode beginnende Rückzug des Meeres sich noch fortsetzte, daher Trockenlegung grösserer Striche erfolgte.

11) Ablagerung steinkohlenführender klastischer Gebilde über dem Kohlenkalk; dritte Phase der Abrasion und Transgression.

Das Aufhören kalkiger Niederschläge bezeichnet einen Wendepunkt in dem bisherigen Verhalten der Meeresbedeckung. An Stelle des Rückzugs trat zunächst Oscilliren ein, daher denn ein Wechsel bald krystallinisch kalkiger, bald klastisch thoniger und sandiger Schichten bemerkbar wird. Der Kohlenkalk ebnete den Untergrund aus; als seine Bildung beendet war, ragten weite Strecken mit geringer Erhebung aus dem Meere heraus, in welchem die Sedimentbildung, doch mit anderem Material, fortging. Ein erneutes Voranschreiten der Brandungswelle griff dann das Land wiederum an und es ist somit die jüngere Zeit durch eine erneute Transgression bezeichnet, als deren endliches Resultat die Massen der die Kohlenzeit überhaupt abschliessenden Conglomerate vorliegen. Dass Anhäufungen durch Flüsse keine Rolle spielen und auch die klastischen Gesteine durchaus mariner Entstehung sind, hebt v. Richthofen besonders hervor. Wegen des Verhaltens einzelner Gebietstheile zur Zeit der Steinkohlenzeit müssen wir auf die S. 720 gegebene Übersicht verweisen. Bemerkt sei nur, dass auch China einen neuen Beweis dafür liefert, wie gleichartig die Verhältnisse sich in der Steinkohlenzeit überall gestalteten, indem auch hier zuunterst mit marinen Fossilien erfüllte Kalke liegen, zwischen welche sich thonige Schichten mit ebenfalls marinen Fossilien und Kohlen einschieben können, über denselben aber ausschliesslich klastische Gesteine folgen, welche ebenfalls Kohle führen, aber durch Fehlen des Kalkes ausgezeichnet sind.

12) Tektonische Umgestaltungen am Schluss der Steinkohlenperiode.

„Die Steinkohlenperiode schliesst mit tektonischen Bewegungen ab, welche in verschiedenen Gegenden dem Betrag und der Art nach sehr verschieden gewesen sind. Im Wesentlichen manifestiren sie sich im Norden als Schollenbewegungen, im Süden als Zusammenschiebungen. Hier wie dort finden Ausbrüche von Eruptivgesteinen statt. Das Ergebniss dieser Vorgänge war die definitive und dauernde Umgestaltung von China zu einem Festland."

C. Von der postcarbonischen Festlandsbildung bis zur Gegenwart.

Mit dem Schluss der Steinkohlenzeit, etwa gleichzeitig mit der Ablagerung dyadischer Schichten, welche im südlichen China unzweifelhaft durch Fossilien charakterisirt sind, erfolgte im nördlichen China eine ausgedehnte Trockenlegung. Der Kwen-lun ragte höher auf als jetzt und war mit dem Hwai-Gebirge noch im Zusammenhang. Die grosse Ebene existirte noch nicht. Im Norden des Kwen-lun dehnte sich ein ebenmässig ausgebreitetes Tafelland aus, dessen oberste Schichten aus Sandstein gebildet wurden, der einen ausgetrockneten Meeresboden darstellte. Modificationen der Oberflächengestaltung wurden nun hervorgebracht durch emporragende alte krystallinische Gebirge und einige Einsenkungen, welche eben wegen ihrer Seltenheit in diesem Tafellande um so auffallender waren. Die eine, die ganze Bucht von Peking und die Gegend von Kai-ping-hsiën umfassend, stellte vielleicht einen Süsswassersee dar, die andere am Fusse des mehrere tausend Fuss hoch aufsteigenden Föng-tiau-shan im südlichen Shansi ist bezeichnet durch den Salzsumpf von Lu-tsun, die bedeutendste Salzlagerstätte China's. Hier handelt es sich um eine Einsenkung, welche „vielleicht während des Rückzuges des Meeres als Salzpfanne wirkte".

13) Mesozoische Sedimentbildungen. Letzte Periode der Abrasion und Transgression im Süden.

Anzeichen einer letzten grossen Transgression zeigen sich im Süden, wo die nach der Carbonzeit gebildeten Faltenzüge im Süden des oberen Han abgeschliffen wurden und die wahrscheinlich der unteren Hälfte der mesozoischen Formationsreihe angehörigen Schichten des rothen Beckens von Sz-tshwan abgelagert wurden.

Herrscht hier schon grosse Unsicherheit in Beziehung auf die Zeit des Anfangs und Endes der Ablagerungen, so stellen sich im Norden der Beurtheilung der Geschichte der Veränderungen noch grössere Schwierigkeiten entgegen. Es sei nur darauf hingewiesen, dass die einzelnen Ablagerungen hier theils in Folge von Störungen und ausgedehnten Abrasionen getrennt erscheinen, theils Süsswasserablagerungen darstellen, unter denen die kohlenreichen Schichten von Tshili und Shansi sowie von Ta-tung-fu besonders wichtig sind. Bei Besprechung des südlichen China's im 3. Bande gedenkt v. Richthofen noch auf einige nur bei Berücksichtigung ganz China's richtig zu beurtheilende Verhältnisse zurückzukommen.

14) Tektonische Vorgänge des mesozoischen Zeitalters.

Im rothen Becken fanden noch während der Bildung der Sedimente Brüche statt, grossartige Verticalverschiebungen traten aber auch nach Abschluss derselben, als das Meer sich auch vom Boden des südlichen China zurückgezogen hatte, ein. Für das nördliche China, zumal im nördlichen Tshili, sind Ausbrüche porphyrischer Gesteine bezeichnend, welche mit tektonischen Vorgängen in Beziehung stehen. Ob ganze Porphyrgebirge, welche in Liau-hsi von der Küste bis nach den Steppen-

gebieten hin hervortreten, der mesozoischen oder carbonischen Zeit angehören, ist noch zu untersuchen.

15) Bildung des Bruchbeckens der grossen Ebene.

Einer der auffallendsten, schon früher hervorgehobenen Kontraste in der Oberflächengestaltung des nördlichen China wird durch das Verhältniss der östlich gelegenen grossen Ebene zu den Gebirgen im Westen bedingt. Der vorliegende Abschnitt ist der Beschreibung der genaueren Umgrenzung, mit Ausnahme der südlichen, welche in das südliche China fällt, gewidmet. Ein Blick auf die tektonische Karte Taf. IV lässt zwei Bruchlinien hauptsächlich hervortreten, eine westliche, die Khingan-Linie, und eine östliche, die durch vulkanische Ausbrüche bezeichnete Bruchlinie von Liau-tung und Shantung (Liau-Spalte). Erstere ist jedenfalls später entstanden als die Schichten des unteren Jura und ihre Bedeutung erhellt daraus, dass sie den uralten Stamm des Kwen-lun und das Steinkohlengebiet von Shansi abschneidet. Wegen der complicirten Verhältnisse des Verlaufes im Einzelnen, wie sie z. B. in der grossen nach Westen gerichteten Einbuchtung südlich Wéi-hwéi-fu hervortreten, verweisen wir auf die Beschreibnng selbst.

Die durch vulkanische Ausbrüche bezeichnete östliche Begrenzungslinie hat eine Länge von mehr als 1000 geographische Meilen und reicht aus dem Liauthal über Töng-tshou-fu bis in die Gegend von Nanking. Aus dem Verlaufe derselben ersieht man, dass das Gebiet des inneren gelben Meeres noch in die grosse Ebene hineinfällt. Gegen Osten liegt kein hoher Rand als in die Augen fallende Grenze vor und man muss hier überhaupt die Grenze des Schwemmlandes der grossen Ebene von der Grenze des Einbruchskessels unterscheiden. Das Hwai-Gebirge und das Gebirgsland von West-Shantung fallen noch in das Bruchbecken hinein, sie sind aus der Versenkung aufragende, vom Material des Schwemmlandes umgebene gesunkene Theile von ausserhalb des Bruchbeckens noch aufragenden Gebirgen.

16) Periode vulkanischer Thätigkeit.

Vulkanische Thätigkeit spielt noch jetzt eine grosse Rolle in den maritimen Ostumrandungen des asiatischen Kontinents. Im Innern sind Spuren vulkanischer Thätigkeit im Süden unbekannt, dafür haben sie im Innern des nördlichen China einen nicht unbedeutenden Schauplatz gehabt. Es sind zwei Gebiete zu unterscheiden:

Grosse Ebene. Auf den Zusammenhang der Liau-Linie mit vulkanischen Erscheinungen wurde oben bereits hingewiesen. Es sind hauptsächlich zu nennen: das Becken des Liau (basische und saure Gesteine); Port Head bei Fu-tshóu, Miautau-Inseln und Gegend von Tong-tshóu-fu (Basalte); der Osten von Wéi-hsien und Bucht von Tsing-tshón-fu (basaltische und trachytische Gesteine); Vulcangebiet von Nanking. In der Gruppirung der Vulcane kann man dann noch an die Hauptlinie anstossende Seitenlinien unterscheiden.

Am Süd- und Westrand der grossen Ebene sind Vulcane nicht bekannt. am Nordrand sind Basalte und Phonolith beobachtet.

Grenzen der Mongolei. Eine vom 112° bis 115° Längengrad reichende Decke von Basalten. Äusserlich (also auch auf einer geologischen Karte) nehmen vulcanische Gesteine hier einen ausserordentlich viel grösseren Raum ein als in der Ebene. Doch war in letzterer die vulkanische Thätigkeit wohl intensiver, nur liegen ihre Producte unter jüngeren Bildungen verborgen.

Nachdem in dem letzten Abschnitt jene seit Eintritt der Festlandsperiode im nördlichen China geschehenen Veränderungen zur Sprache gekommen sind, welche theils durch tektonische Vorgänge, theils durch Gesteinsausbrüche, also durch vom Innern der Erde nach Aussen wirkende Kräfte zu Wege gebracht wurden, bleiben nun noch die Einflüsse der Atmosphäre und des in den Boden eindringenden und des fliessenden Wassers zu betrachten übrig. Diesen Verhältnissen widmet v. Richthofen einen besonderen Abschnitt seines Werkes, in welchem er, wenn auch von China ausgehend, doch auch andere Gebiete in den Kreis der Betrachtung zieht und einigen bisher zu wenig beachteten Factoren die ihnen zukommende Rolle in der Entwicklungsgeschichte der Erde zu vindiciren sucht.

Dass der Löss ein subaërisches oder wie v. Richthofen nach dem Vorgange C. Kings jetzt zu sagen vorzieht, äolisches Product ist, dass ferner Steppe und Löss in bestimmter Beziehung zu einander stehen, wird als bewiesen angenommen und von diesem Gesichtspunkte ausgehend zunächst der Wechsel von Zeitaltern der Steppenbildung und der Erosion besprochen.

Für die Zeit der Trias wird für das nördliche China ein trockenes Klima vorausgesetzt. Meeresablagerungen sind nicht bekannt. „Umlagerung der Gebilde des Meeresbodens, sowie Zufuhr neuer Stoffe durch versiegende Flüsse und die Atmosphäre werden die Hauptagentien der Umbildung gewesen sein.“ Ein Meeresrest wurde zur Salzpfanne und es erfolgte Gyps- und Steinsalzbildung im Becken von Lu-tsun.

Der Kwen-lun war bedeutend höher als jetzt und reichte ununterbrochen gegen Osten bis in die Gegend von Nanking. Alle feuchten von Süden herkommenden Winde wurden durch ihn abgehalten.

In der Jurazeit hingegen war das Klima feuchter. Es finden sich Anzeichen einer ausgedehnten Thätigkeit fliessenden Wassers und die mächtigen Kohlenlager beweisen das Vorhandensein einer üppigen Vegetation.

Kreidebildungen sind wohl im Tarymbecken in Centralasien und in Japan, nicht aber im nördlichen China bekannt.

Im Allgemeinen wird angenommen, dass seit das nördliche China Festland war, die Factoren eines trocknen Klimas constant vorhanden waren und nur periodisch jene eintraten, welche die feuchten Niederschläge zu vermehren geeignet waren. Also die Bildung abflussloser Becken, Sandverwehung, Lössanhäufung und Salzansammlung gingen mit nur zeitweiligen Unterbrechungen während sehr langer Zeiträume vor sich.

Als die drei letzten klimatischen Perioden werden nun genauer besprochen:

1. Die Erosionsperiode, in welcher die feste Oberfläche des Landes durch Erosion und Denudation im Wesentlichen diejenige Gestalt erhielt, welche sie jetzt unter der Lössdecke besitzt.

2. Die Steppenperiode, in welcher die centralasiatischen Salzsteppen sich über das nördliche China ausbreiteten.

3. Die Lössperiode, d. h. die Zeit des gegenwärtigen Klimas und der durch die Feuchtigkeit desselben veranlassten Verwandlung des Steppenlandes in Lössland.

Eine Kontrolle gewissermassen für die Richtigkeit der eben genannten Perioden wird in dem Verhalten der Ausfüllungsmassen der grossen Ebene gesucht, indem auch für diese drei Perioden aufgestellt werden.

1. Der Periode der Erosion des Gebirgslandes entspricht eine Periode der Ausfüllung des Bruchfeldes mit Sedimenten durch fliessendes Wasser. Dazu kommt noch eine gleichzeitige Einwirkung der brandenden Meereswelle.

2. Die Steppenperiode ist in ihren Wirkungen durch die über die Ebene verbreiteten Lössablagerungen ersichtlich.

3. Die Lössperiode kennzeichnet sich durch die Bildung von Kanälen im Steppenboden, die Ablagerung recenter fluviatiler Sedimente und das Wandern der jetzigen Flussläufe.

Wann und unter welchen Verhältnissen eine jede dieser Perioden eintrat wird festzustellen gesucht und dann noch einmal eine Zusammenfassung gegeben. Es begann die Erosionsperiode, die älteste der drei Perioden der jüngsten Zeit wahrscheinlich mit dem Einbruch der grossen Ebene und der Versenkung des Hwai-Gebirges; die Seewinde erhielten durch das Verschwinden der südöstlichen Barrieren freien Zutritt. In diese Periode fallen die Hauptphasen vulkanischer Thätigkeit, das Meer drang zeitweilig vor und griff in der Ebene gelegene Terrassen an. So wurde das Schwemmland zur Ausfüllung des Bruchfeldes gewonnen.

Als dann im Südosten wiederum Barrieren emporstiegen und in Folge dessen das Meer zurückwich, begann die Steppenzeit. Dieselbe soll der ganzen europäischen Eiszeit entsprochen und noch über die Zeit hinausgereicht haben, in welcher das mittlere Europa mit Steppen bedeckt war. Die letzten vulkanischen Ausbrüche fanden am Schluss der Periode statt. Steppenklima herrschte in dem Gebiet der grossen Ebene, im gebirgigen nördlichen Klima und nordwestlich in Centralasien, von wo die Verbreitung desselben überhaupt ausging.

Das dritte Zeitalter oder die Lössperiode wurde durch ein erneutes Hinabsinken der Gebirgsbarrieren und damit im Zusammenhang stehende Verbreitung der Feuchtigkeit eingeleitet. Diese mit steter Abrasion verbundene Senkung dauert noch jetzt (mit localen Ausnahmen) fort. Die Flüsse, deren Betten in China uralt sind, indem sie schon vor der Zeit der Erosionsperiode bestanden und dann zeitweilig mit Steppenboden ausgefüllt wurden, gewinnen jetzt ihre alten Rinnsale wieder, soweit die

Wirkung des heutigen Klima sich in peripherisch gerichteter Erosion zu äussern vermag. In ihren Unterläufen haben sie die Lössdecke der grossen Ebene vielfach hinweggeführt und im Verein mit dem Meer ein flaches Küstenland angesetzt.

Erscheinungen wie die Lössbildung oder doch dieser insofern vergleichbar, als ihnen nicht diejenigen Verhältnisse oder Agentien zu Grunde liegen, mit denen wir bei Erklärungsversuchen gewöhnlich zu operiren pflegen, lassen sich auch in anderen Gegenden als dem nördlichen China beobachten, und zwar kann auf die Thalgebiete des oberen Indus und des tibetischen Yaru-dzang-bo, die Gegenden um Samarkand und Bokhara, die bulgarischen Nordabdachungen des Balkan bis in die Dobrudscha, die Pampas des La Plata und die Prairies am Missouri und seinen rechten Zuflüssen hingewiesen werden. Der gemeinsame Charakter dieser Länder ist im ersten Bande des Werkes über China schon hervorgehoben worden, hier bietet sich dem Verfasser nun aber noch Veranlassung, auf die fundamentalen Unterschiede zwischen Ländern mit einer vom inneren Bau unabhängigen Bedeckung und Ländern, wo eine Abhängigkeit der Bedeckung von dem Untergrunde besteht, einzugehen.

Wir müssen unsere Leser bitten, zunächst ein Referat über eine Arbeit Pumpelly's in diesem Jahrbuch 1881. I.-65- nachzulesen, denn die dort entwickelten Gesichtspunkte sind berücksichtigt, wenn v. Richthofen folgende Eintheilung der Erdräume nach den gestaltenden Wirkungen der säcularen Zersetzung und der Umlagerung ihrer Producte auf dem Boden der Festländer begründet.

1. Regionen fortdauernder Denudation. Hier werden bei regnerischem Klima in Folge der Höhenlage und des dadurch verursachten Gefälles die Producte der Zersetzung fortwährend hinweggeführt. Vollständiger Mangel an Vegetation ist der Denudation hinderlich, weil derselbe die Bildung der Erdkrume und die Ansammlung von Feuchtigkeit hindert. Steilgebirge mit geringer Vegetation werden am stärksten angegriffen.

2. Regionen der accumulirenden Zersetzung. Gegenden, wo die säculare Zersetzung nach der Tiefe zu vorschreitet und alles, was nicht chemischer Zersetzung unterliegt, liegen bleibt. (Man vergl. den oben angezogenen Aufsatz Pumpelly's). Hier handelt es sich um tief liegende Gebiete mit geringer Neigung der Gehänge und eine schützende Vegetation. Die Vegetation liefert die kräftigsten Agentien der Zersetzung. Man kann unterscheiden:

a. Region der Lateritbildung. Der Laterit wird gewöhnlich als eine indische Ablagerung bezeichnet, hat aber eine grosse Verbreitung auch anderwärts. Er bildet sich überall in regenreichen Waldregionen der Tropen, wo unter dem Einfluss hoher Temperatur und üppiger Vegetation jene Massen entstehen, die sich von den lehmigen Producten gemässigter Klimate durch ihre eigenthümlich zellige Structur, welche beim Austrocknen eine schlackenartige Beschaffenheit bedingt und die rothe, von hohem Eisenoxydgehalt herrührende Färbung auszeichnet. Brasilien

und die feuchten Theile des tropischen Afrika sind ausser Indien als Verbreitungsgebiete zu nennen.

b. Regionen der lehmigen Zersetzung. Länder mit gemässigtem Klima oder denselben entsprechende Gebirgszonen. China selbst bietet Gelegenheit zur Beobachtung des Übergangs der Lateritbildung in die Lehmbildung.

3. Denudationsregionen, d. h. „solche Gegenden, wo die in langen, feuchten Perioden angesammelten Producte der säcularen Zersetzung fortgeführt sind und der darunter liegende Fels blossgelegt ist, oder wo die darauf gerichteten Vorgänge gegenwärtig im Werk sind, ohne ihr Ziel erreicht zu haben. Die Fortführung kann durch Wasser, Eis oder atmosphärische Strömungen geschehen sein. Dass aber diese Agentien zur Wirkung kamen, konnte durch verschiedenartige Ursachen veranlasst werden, und zwar dürften diese im Wesentlichen auf tektonische Vorgänge und klimatische Änderungen zurückzuführen sein". Die einzelnen möglichen Fälle werden nun des weiteren ausgeführt.

4. Aufschüttungsregionen. Gegenden, deren Felsuntergrund in Folge äolischer Auflagerung von Sedimenten durch lange Perioden hindurch vor Verwitterung und Denudation geschützt bleibt. Hierher die salzige Steppenregion der Centralgebiete der Continente; die aus fliegendem Sand bestehenden Wüsten; die von peripherischen Flüssen durchzogenen Steppen. Bei letzteren Gebieten ist der Gegensatz der Jahreszeiten massgebend, z. B. eine Jahreszeit concentrirten Regens, im übrigen Trockenheit mit trockenen Niederschlägen (Schwarzerde des südlichen Russland, Regur oder Baumwollenerde Indiens, Savannen, Prairien).

5. Regionen mit secundärer Denudation. Dieselben entstehen, wenn abflusslose Aufschüttungsregionen abfliessend und von tiefliegenden Wassercanälen durchschnitten werden. (Lössregionen.) Als secundär wird die Denudation bezeichnet, weil es eben nicht die primären, sondern die umgelagerten Massen sind, welche hinweggeführt werden.

6. Schliesslich können noch diejenigen Regionen in eine Kategorie zusammengefasst werden, welche durch fliessendes Wasser mit Sedimenten bedeckt worden sind. Sie nehmen relativ tiefe Senkungen ein und bilden im Gegensatz zu den äolischen Niederschlägen horizontale Oberflächen.

Die oben besprochenen Einflüsse waren im nördlichen China seit der postcarbonischen Festlandsbildung thätig. Vorher schon spielte aber ein Agens eine Rolle, dessen Wirkungen ganz gewaltiger Art war, die Brandungswelle. Ihrer Thätigkeit allein können, wie oben (S. 208) angegeben wurde, Abrasionen von der Bedeutung jener vor der sinischen Transgression zugeschrieben werden. Wenn nun auch marine Abrasion schon von Ramsay (the physical Geology and Geography of Great Britain 5. ed. 1878, besond. Cap. 30; dies. Jahrb. 1879. 627) in ihrer vollen Bedeutung gewürdigt wurde und andere wenigstens andeutungsweise auf dieselbe hinwiesen, so hält es v. Richthofen doch für wünschenswerth, bei der nicht entfernt in ihrer geologischen Bedeutung anerkannten abtragenden Wirkung des Meeres, das Problem noch ganz allgemein zu behandeln. Ein beson-

derer Abschnitt „über Abrasion und Transgression“ ist daher noch angeschlossen*.

Auffallend ist der Umstand, dass transgredirende Schichten häufig nicht auf gebirgigen, aus Thal und Berg zusammengesetztem Untergrunde aufruhen, sondern auf einer gleichförmigen, welligen oder auf in Terrassen gegliederter Unterlage. Das sind aber, um mit Ramsay zu reden, plains of marine denudation.

von Richthofen untersucht nun:

1) Wirkung der Brandung bei constantem Meeresniveau. Bildung langgezogener, relativ schmaler Terrassen. Wenn eine Küste, welche mit steilen Felsen nach dem tiefen Meeresgrunde fällt, sich hebt, dann aber wieder längere Zeit in constanter Lage bleibt, so entsteht eine zweite Terrasse und in gleicher Weise unter Umständen eine Anzahl solcher über einander. (Skandinavien, Westküste von Südamerika u. s. w.)

2) Wirkung der Brandung bei negativer Niveauverschiebung**. Abhobeln des Abhanges der Küste, Abtragung einer der Böschung parallelen Gesteinslage; bei ungleichmässiger Bewegung Bildung von Stufen. Dieser ganze Vorgang hat einen bedeutenden Einfluss nach anderer Seite hin, indem die Atmosphärilien und das fliessende Wasser auf solches gehobene Land eine verstärkte Wirkung ausüben. [Man vergleiche in dieser Beziehung besonders die Cap. XXI u. XXX des oben angeführten Werkes von Ramsay.]

3) Wirkung der Brandung bei positiver Niveauverschiebung. Wenn eine Küste sich langsam in das Meer hinunter senkt, dann findet eine wirkliche, weit ausgedehnte regionale Abrasion statt. So lange nicht das abradirte Material durch andere Agentien gleich nach entfernteren Punkten hinweggeführt wird, müssen transgredirende Sedimente gebildet werden. von Richthofen betrachtet den Fall zunächst theoretisch und führt dann eine Anzahl beobachtbarer Beispiele an.

Verhältnissmässig selten hat man Gelegenheit die Abrasion heutigen Tages am Meeresufer zu sehen, weil das Meer im Voranschreiten die Abrasionsfläche zudeckt und auch der schmale Streifen zwischen Ebbe- und Fluthgrenze meist mit Trümmern und Gerölle bedeckt ist***. Immerhin lässt sich der Vorgang in der Natur übereinstimmend mit der gemachten Annahme erklären. Weitverbreitet sind hingegen die Beispiele vormaliger Abrasion. Das wesentliche der Erscheinung liegt hier in der von dem inneren Bau unabhängigen Oberflächenbeschaffenheit der Abrasions-

---

* Vergl. übrigens die Ausführungen in Geikie, Textbook of Geology, London 1882, bes. S. 449, wo allerdings die Bildung mariner Abrasionsflächen anerkannt wird, aber nur insoweit als die Wogen des Meeres einer durch subaërische Erosion der Hauptsache nach schon erniedrigten Landmasse ihre letzte Gestalt gaben und sie zugleich vor weiterer Erosion schützten. Ref.

** Negativ und positiv im Sinne von Suess, dies. Jahrbuch 1881. I. -59-

*** Eine mit bewundernswerther Anschaulichkeit geschriebene Schilderung des Vordringens des Meeres gegen die Küste enthält das eben erschienene Werkchen Rütimayer's „Die Bretagne“ S. 36 u. folg. — Ref.

plateaus, welche in auffallendem Gegensatz stehen zu den Schichtenplateaus oder Tafelländern. Ausser den chinesischen wird auf die belgischen, rheinischen und californischen Gebiete hingewiesen. Wenn ausserdem noch transgredirende Schichten, wie ausser in China in ausgezeichneter Weise in Skandinavien, im Nordamerikanischen Westen* und in vielen anderen Gegenden vorhanden sind, dann treten die Verhältnisse in besonders anschaulicher Weise zu Tage.

Wenn auch unser Referat im Verhältniss zu dem uns zur Verfügung stehenden Raum einen grossen Umfang erreicht hat, so haben wir dennoch nicht mehr als Andeutungen von dem Inhalt des von Richthofen'schen Werkes geben können. Es ist eben keine gewöhnliche Leistung, die wir vor uns haben. Die Entlegenheit eines Gebietes, welches wohl den meisten wenig mehr als nach seinen allgemeinsten Umrissen bekannt ist und die überwältigende Menge neuer Beobachtungen erforderten schon ein etwas tieferes Eingehen. Dazu kommt, dass Beobachtung und Reflexion bei von Richthofen in solcher Weise mit einander verbunden sind, dass einzelne Abschnitte die Gestalt allseitig abgeschlossener Untersuchungen von allgemeinster Bedeutung erhalten haben und füglich in einem Handbuch der Geologie eine Stelle finden könnten. Wo eine solche Fülle der Belehrung und Anregung gegeben wird, da schien es uns angemessen, weitere Kreise nachdrücklicher auf den Inhalt eines Buches hinzuweisen, welches seiner Natur nach doch nur in die Hände verhältnissmässig weniger kommen kann. **Benecke.**

United States Geological Exploration of the fortieth parallel. Clarence King, geologist-in-charge. Vol. I. Systematic Geology by Clarence King. Washington 1878. 4°. 803 pg. XXVIII plates and XII analytical geological maps, and accompanied by a geological and topographical Atlas.

Mit diesem Prachtbande, in welchem der Leiter der geologischen Untersuchung des 100 Meilen breiten Gürtels unter dem 40. Parallel zwischen den Rocky Mountains und den californischen Küstencordilleren selbst das Wort ergreift und die Resultate des im Jahre 1867 begonnenen gewaltigen Unternehmens in übersichtlicher Darstellung zusammenstellt, darf man wohl die darauf bezüglichen Publikationen zunächst als abgeschlossen betrachten. Über die früheren Veröffentlichungen: vol. II. Descriptive Geology by Arnold Hague and S. F. Emmons. 1877, vol. III. Mining Industry by James Hague, with geological contributions by Clarence King. 1870, vol. IV. Palaeontology by F. B. Meake, James Hall and R. T. Whitfield and Ornithology by Rob. Ridgway. 1877, vol. V. Botany by Sereno Watson. 1871, vol. VI. Microscopical Petrography by Ferd. Zirkel 1876, und vol. VII. Odontornithes by O. C. Marsh. 1880 wurde, soweit die abgehandelten Gegen-

---

* C. King: Geol. Expl. of the 40th parallel. Bd. I [nachstehendes Ref.], enthält Angaben über ganz gewaltige Abtragungen.

stände in den Rahmen dieses Jahrbuchs fallen, bei früherer Gelegenheit berichtet; man vergleiche dies. Jahrb. 1879. 169; 1873. 103, 1879. 111; 1877. 859 und 1881. I. -270-. Der Inhalt des vorliegenden Bandes ist recht nahe verwandt mit demjenigen der Bände II und III, wenngleich die ganze Anordnung eine durchaus andere ist; dort waren es wesentlich in geographischer Reihenfolge mitgetheilte Beobachtungen der Feldgeologen, spärlicher des Direktors, hier ist die ungeheure Masse der Wahrnehmungen geologisch systematisirt, zu einem Gesammtbilde gruppirt und mit theoretischen und speculativen Darlegungen durchwoben, die theils das wissenschaftliche Facit aus dem Gewirr der Erscheinungen ziehen, theils dynamisch-geologische und genetisch-geologische Gesichtspunkte daran und daraus entwickeln. Dass bei einem so grossartigen Werke, für welches kaum erwähnenswerthe Vorarbeiten existirten und das sich der Natur der Sache nach nur auf cursorische Studien, nicht auf Detailbeobachtungen stützen konnte, welches zugleich zeitlich sich durch fast 3 Lustren hindurchzieht, die Anschauungen der daran betheiligten Forscher vielfach modificiren, ja gänzlich in manchen Punkten umgestalten mussten, kann nicht Wunder nehmen; so finden wir denn in diesem der Zahl nach ersten, der Zeit nach letzten Bande gar manche kühne Behauptung der früheren nicht wieder und vereinzelt sogar das als durchaus grundlose Vermuthung hingestellt, was früher als unbestreitbare Thatsache angesehen war: wir wollen nur an die jurassischen Granite früherer Bände erinnern. Ueber derartige Discrepanzen wird jeder Einzelne je nach seiner natürlichen Veranlagung milder oder strenger urtheilen; möge indessen dieses Urtheil noch so strenge sein, es darf den hohen Werth dieses gewaltigen wissenschaftlichen Unternehmens und seiner unter schwierigen Verhältnissen gewonnenen Resultate ebensowenig verkennen, wie es ausser Auge lassen darf, dass die in den Publikationen ausgesprochenen Ansichten sich mehr und mehr geklärt haben. Die in der Systematic Geology gegebenen Resultate geben in ihrer volleren Concordanz mit den von anderen Forschern auf anderem Gebiet gewonnenen Überzeugungen den Beweis, dass sie nicht nur die zeitlich letzte, sondern auch die richtigste Darstellung der gemachten Beobachtungen liefern und wir können dem Autor nur Glück wünschen zu der Energie, womit er frühere Irrthümer aufgiebt. Die Natur behält Recht und wer ihr wahrer Diener ist, darf persönliche Eitelkeit nicht kennen.

Die Glieder der archäischen Formation haben unter dem 40 Parallel zwischen Rocky Mountains und Küstencordilleren eine weite Verbreitung, zumal in der Colorado Range, Medicine Bow Range, Wahsatch Range, Humboldt Range und Kinsley District und liegen allenthalben discordant gegen alle späteren Formationen. Sie treten zu Tage nach Annahme des Verfassers entweder als Centralaxen von archäischen Gebirgen, deren ursprüngliche Höhe sie über das Niveau der Sedimentation emporhob, oder durch Verwerfungen oder endlich am häufigsten durch Erosion. Die Gesteine dieser Formation sind allenthalben leicht von denen jüngerer Formationen zu scheiden und eine hochgradige Metamorphose paläozoischer Schichten, wodurch diese, wie z. B. in den Apallachen, den archäischen

ähnlich würden, kommt nirgends vor. Wie allenthalben sind es Granite, Gneisse, krystalline Schiefer, Quarzite, Kalke, Urthonschiefer, welche diese Formation bilden, wobei die Granite als echt eruptive und als metamorphe d. h. solche, die durch Übergänge in der mineralogischen Zusammensetzung, in der Structur und ihrer stratigraphischen Ausbildung mit den Gneissen verknüpft sind, unterschieden werden. Die archäischen Gebilde werden in zwei Gruppen gegliedert: 1) eine untere, die hauptsächlich in Colorado Range, Black Hills, Park Range und Mill Cannon in Wahsatch Range entwickelt ist, wird charakterisirt durch granitoide, dickbankige bis ungeschichtete Gneisse (metamorphic granites) mit Einlagerungen von Ilmenit (Chugwater Creek), seltener Magnetit und Eisenglanz, und sehr dünnen pyritreichen Graphitschmitzen (Westabhang der Laramie Hills). Die Eisenerze stehen in naher Beziehung zu flachdomförmigen Massen von „Gabbro", der wesentlich aus Labrador mit einzelnen Hypersthenkörnern und Ilmenit besteht und accessorisch einen gelblichweissen Glimmer führt. Diese Gruppe besitzt eine Gesammtmächtigkeit, welche auf 25 000′ geschätzt wird; als charakteristisch für dieselbe wird die grosse Constanz in der mineralogischen Zusammensetzung, sowohl in vertikaler, wie horizontaler Erstreckung angegeben. King stellt diese untere Abtheilung der archäischen Formation zum Laurentischen System und parallelisirt sie mit den von Dawson in Manitoba und Britisch-Columbia nachgewiesenen analogen Massen, wobei allerdings das Fehlen der Kalke und Dolomite, Quarzite und Conglomerate, Pyroxengesteine und Serpentine auffällt. Als echte Eruptivgesteine würden hier nur Granite, Quarzporphyre (sie enthalten aber nur Plagioklas-Einsprenglinge nach der Beschreibung) in Gängen und Gabbros zu erwähnen sein. — 2) Eine obere, zumal in der Medicine Bow Range, Park Range, Red Creek in Uinta Range, Wahsatch und Salt Lake, Humboldt Mountains, Franklin, Butler und Kinsley District, sowie wahrscheinlich in der oberen Abtheilung der Colorado Range, mannichfach entwickelte Gruppe aus echten Gneissen und Glimmerschiefern, Hornblendegneissen und Hornblendeschiefern, dolomitischen Kalken und Quarziten, darüber concordanten Urthonschiefern in einer Gesammtmächtigkeit von 12—14 000′ wird dem Huron zugerechnet. Die beiden Abtheilungen der archäischen Gebilde werden für wahrscheinlich discordant gehalten und als charakteristisch für die obere Abtheilung gegenüber der unteren wird angegeben, dass in erstgenannter die Gesteinszusammensetzung in vertikalem Sinne ungeheuer rasch und oft wechselt, wobei dennoch innerhalb einer bestimmten Schicht die Zusammensetzung höchst constant ist, so dass bei wiederholter Wechsellagerung nur wenige Zoll mächtiger Schichten nicht die Mineralien der einen Schicht in die andere hinübergreifen. Dieser Charakter stofflicher Constanz in jeder Schicht bei raschem Wechsel stofflich verschiedener Schichten, nebst der deutlichen Schichtung, wird immer wieder vom Verf. als bezeichnend für die obere Gruppe hingestellt. — Bei den echt eruptiven Graniten der archäischen Formation kommt Verf. zu derselben Classifikation in Muscovitgranite, Granitite, Hornblende-Granite und Hornblende-Biotit-Granite, wie Ref. sie vorgeschlagen hat; unter dem 40. Parallel kämen demnach eruptive

zweiglimmerige Granite nicht vor. Jüngere eruptive Granite, als archäische, wurden nirgends beobachtet und zu Gunsten ihrer Annahme spricht „absolutely no evidence whatever". Wo diese Granite mit den Thonschiefern in Berührung kommen, da haben sie nach der Beschreibung von King, obgleich er die Sache nicht nennt, unverkennbare und deutliche Contactzonen hervorgebracht mit Schieferhornfelsen und Knotenschiefern; man vergl. die Localitäten von Reese River in Shoshone Range, Pahtsone Range und vielleicht Montezuma Range. — In einem eigenen Abschnitt behandelt Verf. die Genesis der krystallinen Schiefer und der Granite; nach seiner Ansicht sind die krystallinen Schiefer ursprünglich klastische Sedimente auf dem Boden eines archäischen Meeres, welche durch Senkung des von ihnen belasteten Bodens und steigende Chthonisothermen in solche Druck- und Temperaturverhältnisse gelangten, dass eine Umkrystallisation jeder einzelnen Schicht nach ihrem stofflichen Inhalt sich vollziehen konnte; — also Diagenese im Sinne Dana's und Gümbel's. Dass jüngere Schichten, als archäische, nicht auch diagenetisch verändert werden, wird erklärt durch den in Folge der säkularen Abkühlung der Erde stetigen Rückgang der Chthonisothermen, wodurch eine jüngere Schicht, um den gleichen Betrag sinkend, doch nur geringere Temperatur vorfindet. Die diagenetisch umkrystallisirenden Schichten stehen gleichzeitig unter dem radial wirkenden Druck der überlagernden Massen und dem Tangentialdruck der sich zusammenziehenden Erdkruste; überwiegt ersterer, so muss eine schiefrige Structur der umkrystallisirenden Massen erfolgen, überwiegt letzterer, so wird gleichzeitig eine innere Zerquetschung der krystallisirenden Massen stattfinden und es entsteht eine regellose Structur, d. h. nach Auffassung des Verf.'s bei geeigneter stofflicher Zusammensetzung der diagenetisch veränderten Schicht entsteht Granit.

Ein Abschnitt „Precambrian Topography" behandelt die Oberflächenverhältnisse des archäischen Gebirgs vor Ablagerung der paläozoischen Schichten. Zur Erläuterung dient ein Profil durch den archäischen Meeresgrund, aus welchem zunächst ersichtlich ist, dass die paläozoischen Schichten von den Rocky Mountains aus nach Osten hin an Mächtigkeit zunehmen. Die Oberfläche der archäischen Massen war eine reich gegliederte, deren Gestaltung auf Erosionen und auf Verschiebungen der Erdrinde zurückgeführt wird. Eine der auffallendsten Erscheinungen bildet ein gewaltiger, auf 30000′ angegebener Absturz auf der Westseite des Wahsatch Range, welcher speciell einer Verwerfung seine Entstehung verdanken soll. In dem tiefen Becken westlich der eben genannten Kette erlangten die paläozoischen Schichten ihre grösste Mächtigkeit. Der aus archäischen Massen bestehende Meeresgrund hat also eine Konfiguration gehabt, wie wir solche in Gebieten mit Kettengebirgen noch heute beobachten, nur Alles in grossartigeren Verhältnissen, denn Abstürze von 30000′ kennen wir heut zu Tage nicht. Eine besondere Bedeutung erlangen diese uralten Höhen und Tiefen noch dadurch, dass sie die Gestaltung der späteren Oberfläche vorzeichneten.

Die Sedimentbildungen werden in 4 Capiteln behandelt. Das III. ist

der paläozoischen, das IV. der mesozoischen, das V. der tertiären und quartären Zeit gewidmet, während das VI. ein Resumé der stratigraphischen Geologie überhaupt enthält.

Paläozoische Formationen. Der Hauptsache nach folgt King der Eintheilung der Geologen von New-York, und begreift unter Cambrisch alles von den tiefsten Schichten an bis zu den Primordialschichten, diese eingeschlossen. Dem Silur fällt dann also Alles über der Grenzlinie zwischen den Quebec- und Primordialschichten zu. Die Gesammtmächtigkeit aller paläozoischen Bildungen bis zu den Permcarbonschichten erreicht 40 000′ und dabei herrscht durchaus gleichförmige Lagerung. Vielleicht sind die Permcarbonschichten, aber nur unbedeutend, discordant aufgelagert.

Am wenigsten aufgeschlossen sind wegen ausgedehnter Überlagerung cambrische Schichten. Dieselben beginnen mit den Cottonwood slates (800′), blauen, violetten, purpurfarbenen kieselreichen Schiefern ohne Organismen. Hierüber folgt das Hauptglied, 8—9000′ mächtige, sehr einförmige quarzitische Schichten mit ziemlich viel Thongehalt. Grüne und braune, niemals dunkle Farbentöne herrschen. Gelegentlich kommen Schiefer mit mehreren Glimmerarten vor. Wegen der Einlagerung von Conglomeraten, deren Gerölle häufig Eindrücke zeigen, jedoch ohne Splitterung, sind Quarzite von 2500—3000′ Mächtigkeit, welche den Schluss der versteinerungsleeren cambrischen Massen bilden, von Interesse. Nur 75—80′ mächtige kieselige Thonschiefer machen den Schluss der cambrischen Schichten überhaupt aus. Sie führen in ihrem unteren Theile Fossilien der Primordialfauna, während im oberen ältere Quebec-Formen sich finden. So liegen die Verhältnisse in der Gegend von Wahsatch und Oquirrh, während im mittleren Nevada die Schiefer durch 4000′ kieslige Kalke ersetzt sind, deren untere 2000′ ebenfalls reichlich primordiale Fossilien enthalten, während in den oberen 2000′ wiederum Quebec-, aber auch jüngere Silurformen sich finden. Nach der typischen Localität führt dieser Kalkstein den Namen Pogonipsandstein. Ächter Potsdamsandstein, welcher in östlichen Gebieten, durch die ganzen Black Hills und Theile der östlichen Rocky Mountains verbreitet ist, scheint im mittleren und westlichen Theil des 40. Parallel zu fehlen. Die Fauna besteht aus beinahe ausschliesslich neuen Arten, besonders Trilobiten der Gattungen *Conocephalus*, *Crepicephalus*, *Chariocephalus*, *Ptychaspis*, *Dikellocephalus* und *Agnostus*, sowie einigen Brachiopoden.

Im Wahsatch-Gebiet folgt auf die Thonschiefer der Utekalk (nach dem Ute Pik benannt), welcher gegen Westen mit der Pogonip-Masse verschmilzt. Dieser kieslige Kalk hat an verschiedenen Punkten eine auffallend verschiedene Mächtigkeit, ein Verhältniss, welches King nicht als ursprünglich ansieht, sondern auf geringeren oder stärkeren Druck auflagernder Massen zurückführt. Mit Ausnahme eines Punktes, wo eine nur 150′ mächtige aufgelagerte Masse Fossilien der Niagaragruppe einschliesst, kommen in mehreren Horizonten Quebec-Fossilien vor. Es werden hauptsächlich Brachiopoden und Trilobiten, daneben einige Gastropoden u. s. w. angeführt. Am Roberts Peak und White's Ranche in den obersten Lagern der Pogonip-

Reihe, unmittelbar unter dem gleich zu erwähnenden Ogden-Quarzit, wurden auch Versteinerungen vom Alter des unteren Helderberg-Horizontes gefunden.

Dieser Ogden-Quarzit hat 1000—1400′ Mächtigkeit und besteht aus einer scheinbar gleichartigen Quarzmasse, welche jedoch unter dem Mikroskop sich als ein Quarzit erweist. Andere Substanzen sind nur ganz untergeordnet eingelagert. Fossilien fehlen durchaus. Der Lagerung nach wird ein devonisches Alter angenommen.

In einer auffallend gleichartigen Entwicklung als dunkler Kalk in dicken Bänken folgt in Utah und Nevada in der ungeheuren Mächtigkeit von 7000′ der Wahsatch-Kalk. Östlich vom Wahsatch-Gebiet ist er niemals beobachtet worden. Die petrographische Grenze gegen den Ogden-Quarzit ist ganz scharf, nach oben gegen den „Weber-Quarzit“ findet ein mehr allmähliger Übergang statt, indem sich zunächst Einschaltungen von Quarz einstellen, überhaupt verhält sich der obere Theil der ganzen Masse in verschiedenen Gebieten etwas abweichend.

In den unteren 1400′ dieser Gruppe treten Versteinerungen der oberen Helderberg-, der Chemung- und Geneseeschichten auf, zumal Korallen und Brachiopoden. Die Genesee-Fossilien fanden sich aber nur an einer Stelle.

Über den unteren 1400′ des Wahsatchkalkes folgen 3—400′ dunkle Kalke, mit Fossilien, welche denen der Waverly-Gruppe sehr ähnlich sind, vielleicht aber auch auf Devon hinweisen. Dunkle Bänke unmittelbar über diesen Waverly-Schichten führen eine Kohlenkalkfauna.

Die letzten 4500′ des Wahsatch-Kalkes sind reich an Fossilien der productiven Kohle. In zwei Horizonten finden sich auch anthracitische Kohlen. Die Liste der Versteinerungen enthält besonders Korallen und Brachiopoden *(Productus)*. Auch Pflanzen kommen vor.

Dieser untere Kohlenhorizont wird ganz gleichartig durch das ganze Gebiet von einer 6000—8000′ (stellenweise vielleicht noch mehr) mächtigen Masse von Sandsteinen, Quarziten und Conglomeraten, dem Weber-Quarzit bedeckt, welchem möglicherweise bis 14000′ mächtige Sandsteine des Uintagebietes entsprechen.

Ein oberer Kalk (12000′) enthält nun wiederum zahlreiche organische Einschlüsse, welche in einer Liste mitgetheilt werden. Andere Listen enthalten die den einzelnen Abtheilungen gemeinsamen und die ihnen ausschliesslich eigenthümlichen Versteinerungen.

Schliesslich kommen in Wahsatch, Uinta und am Little Rawlings Peak noch 650′ thonige und kalkige Schiefer mit Permcarbonfossilien vor.

Die ganze paläozoische Schichtenreihe ist zusammengesetzt aus 18000′ kiesligen, 13000′ kalkigen und ungefähr 1400′ thonigen und schiefrigen Sedimenten. Kohlen treten ganz zurück und Ablagerungen seichten Wassers fehlen ganz, so dass es sich beinahe ausschliesslich um Ablagerungen in einem tiefen Meer handelt. Auf Uferbildungen deuten nur die Conglomerate.

Westlich vom Meridian 17° 30′ findet eine auffallende Abnahme der Mächtigkeit der paläozoischen Bildungen statt. In Nevada sind solche un-

bekannt und in Californien kommen nur unbedeutende Ablagerungen von Kohle vor. Das westliche Nevada stellte zur paläozoischen Zeit einen Continent dar, welcher das Material für die alten Ablagerungen im Gebiet des 40. Parallel lieferte. Auch nach Süden und Norden findet eine Abnahme statt. Über die Gebirge von Salmon River und in den Blue Mountains von Oregon fehlen noch hinreichend genaue Untersuchungen um einen sicheren Schluss auf das Verhalten der paläozoischen Schichten zu gestatten. Das kann jedoch mit Sicherheit angenommen werden, dass im Gebiet des 40. Parallel der tiefste Theil des paläozoischen Ocean lag, in welchem die mächtigsten Sedimente zum Niederschlag gelangten.

Mesozoische Formationen. Das Auftreten der Trias bespricht King von Osten nach Westen voranschreitend. Wie auch sonst so häufig besteht diese Formation aus vorwaltend rothen und gelben Sandsteinen, Conglomeraten und Mergeln mit Einlagerungen von Gyps und Kalk. Zur Trias stellt man gewöhnlich die sogenannten Rocky Mountain Red Beds, welche auf paläozoischen Schichten concordant aufliegen und häufig übergreifen, so dass sie in ungleichförmiger Lagerung unmittelbar mit dem archäischen Gebirge in Berührung treten. Die Mächtigkeit, einige hundert bis 1200′, ist verschwindend gegenüber der der paläozoischen Schichten. Mächtiger ist die durch eine Reihe schöner Profile aufgeschlossene Trias der Uinta-Kette. An Flaming Gorge Ridge z. B. wurde folgende Lagerung beobachtet, welche zugleich eine Vorstellung der Gesteinsbeschaffenheit giebt:

1. Dickbankige, mit discordanter Parallelstructur versehene weisse und lederbraune Sandsteine . . . . . 400—450′
2. Gelbe, thonige Sandsteine . . . . . 50′
3. Dickbankige gelbe Sandsteine . . . . . 400—450′
4. Rothe Sandsteine mit weissen Adern im Ganzen dünnschichtig . . . . . 300—350′
5. Rothe, dickgestreifte Sandsteine . . . . . 400—450′
6. Graue und grün-purpurfarbige Thone . . . . . 200—250′

Eine weite Verbreitung in diesem Gebiete hat eine grüne, mitten in den Sandsteinen liegende Kalkbank, in welcher sich eine *Naticopsis* fand. Im Wahsatch-Gebiet hat der Sandstein eine Beschaffenheit, welcher ihn für Bauzwecke sehr geeignet macht. Die Pacific-Eisenbahn-Gesellschaft gewinnt denselben in grossem Maassstab. Westlich von Wasatch fehlt die Trias bis zum Meridian von 117° 20′, tritt aber dann im westlichen Nevada in grosser Mächtigkeit unter anderen Verhältnissen auf. Havallah-, Pah Ute- und West-Humboldt-Range bieten in Nevada Gelegenheit zur Beobachtung der Trias. Im West-Humboldt-Range liegt unten ein System von Quarziten und Thonen, welche im Indian Cañon 6000′ Mächtigkeit erreichen. Gegen Buena Vista Cañon sind diese Schichten „metamorphosirt“ und gehen schliesslich in ein „Porphyroid“ über, welches einem Quarzporphyr täuschend ähnlich wird. Die Schichtung verschwindet ganz und wäre nicht ein vollständiger Übergang in normales Sediment vorhanden, so könnte man meinen ein eruptives Gestein vor sich zu haben. Diesen Bildungen hat King nach einer indianischen Localbezeichnung den Namen Koipato gegeben. Von

ganz besonderem Interesse ist nun aber die folgende Schichtenreihe, welche als Star Peak-Gruppe nach einem typischen Vorkommen eingeführt wird und folgende Zusammensetzung hat:

1. Kalk	1500′
2. Schiefriger Quarzit mit einer Decke von 250′ schwarzen Schiefern	1500′
3. Dickbankiger eisenreicher Kalkstein	2000′
4. Reiner in dünnen Bänken liegender Quarzit	800—1000′
5. Kalk	etwa 1000′
6. Reiner Quarzit	2200—2800′

Jurassische Schichten folgen concordant.

Während in der Koipato-Gruppe ausser einigen gequetschten *Nautilus* keine Fossilien gefunden wurden, ist die Star Peak-Gruppe ausgezeichnet durch das Vorkommen zahlreicher sg. alpiner Triasformen. Buena Vista Cañon, Coyote Cañon, Star Cañon sind Localitäten, an denen die Fossilien gesammelt wurden, deren Listen mitgetheilt werden. Einiges hat Gabb schon früher beschrieben, während die Mehrzahl der Formen und darunter eine Reihe interessanter Cephalopoden in dem 4. Bande (Palaeontology and Ornithology) dieses Werkes behandelt sind. Auch Pah Ute-Range hat Fossilien geliefert, während solche in Havallah Range bis auf eine *Halobia* fehlen. Mehrere Fundpunkte für triadische Versteinerungen liegen noch in den Desatoya Mountains.

Ähnlich wie bei Besprechung der Trias behandelt King auch bei der Darstellung des Jura die östlichen und westlichen Gebiete gesondert. Trias und Jura sind in den Rocky Mountains oft schwer zu trennen, scharf ist hingegen die Grenze gegen die Kreide, deren Anfang durch die Conglomerate der Dakotagruppe deutlich bezeichnet ist. Die Gesteine sind Thone, Schiefer, Mergel und Feuerstein führende Kalke von nur 75—250′ Mächtigkeit. Schutt verhüllt sehr häufig das Ausgehende der leicht zerfallenden Bänke. Unter den Versteinerungen ist wohl ein *Belemnites densus* für jurassisches Alter am bezeichnendsten. In der Uinta-Kette nimmt die Mächtigkeit zu und Kalke spielen eine grössere Rolle, auch Gyps kommt vor. Die Fossilien sind z. Th. dieselben, wie in den Rocky Mountains. Im westlichen Nevada steigt die Mächtigkeit auf 2000′. Versteinerungen sind vorhanden, doch keine nach unseren europäischen Anschauungen bezeichnende jurassische Arten. Die Übereinstimmung mit den Schichten von Mariposa in Californien soll jedoch das jurassische Alter auch dieser Schichten ausser Zweifel stellen.

Die auffallendste Erscheinung des ganzen westamerikanischen Jura bilden aber die zahlreichen Vorkommnisse gewaltiger Saurier, deren Untersuchung und Beschreibung wir Marsh verdanken. Es ist bereits wiederholt von demselben in diesem Jahrbuch nach den einzelnen Aufsätzen im American Journal die Rede gewesen. Nach der Gattung *Atlantosaurus*, deren eine Art *immanis* auf 100′ Länge geschätzt wird, hat Marsh die oberen Thone und Sandsteine der Coloradokette unmittelbar unter dem Da-

kotaconglomerat Atlantosaurusschichten genannt. Auch ein Vogelrest ist aus diesen Schichten seitdem bekannt geworden. (Dies. Jb. 1881. II. -414-)

Ein Blick auf die hinter p. 356 stehende analytical map der pre-mesozoic and mesozoic exposures zeigt, dass die Kreideformation im Gebiet des 40. Parallel eine beschränktere Verbreitung hat, indem dieselbe westlich vom Meridian von Wahsatch gänzlich fehlt. Östlich vom 107. Meridian war aber einst das ganze Gebiet des Green River-Beckens und von Uinta mit cretacischen ausschliesslich marinen Sedimenten, welche concordant auf Juraschichten aufliegen und weit nach Kansas hineinreichen, bedeckt. Zwischen dem 105. und 112. Meridian sind die Kreidebildungen überhaupt die letzten oceanischen Niederschläge. Mit dem Schluss der Kreidezeit ändern sich die Verhältnisse durchaus. An Stelle der ruhigen, nur von gleichartigen Niveauschwankungen begleiteten Ablagerung der Massen treten grossartige Faltungen, deren Resultat die Rocky Mountains im Gebiet des Green River sind. Gleichzeitig wurde die Drainirung durch den Mississippi nach Südosten hin eingeleitet. Die Tertiärschichten liegen dem entsprechend discordant auf der mesozoischen Reihe.

Die Gliederung der Kreide wurde in den östlichen Vorhügeln der Coloradokette bereits von Hayden und Meek festgestellt und King nimmt vollständig die von den genannten Gelehrten herrührende Eintheilung an, nur rechnet er die Laramiegruppe noch zur Kreide, während Hayden dieselbe als tertiär oder als Übergangsglied zwischen Kreide und Tertiär ansieht.

Das älteste Glied — die Dakotagruppe — bewahrt durch das ganze Gebiet ein auffallend gleichartiges Gepräge. Unten liegen bis 300′ mächtige Conglomerate, welche in der Regel als Riff über den weichen jurassischen Gesteinen aufragen, darüber folgen zerreibliche, beinahe weisse Sandsteine, welche bei Ashley Creek südlich der Uintakette ein ausgezeichnetes Kohlenflötz enthalten. Daselbst fand sich auch *Inoceramus Ellioti* und einige andere Zweischaler.

Die folgenden drei Hayden'schen Gruppen Fort Benton, Niobrara und Fort Pierre werden von King zu einer einzigen der Coloradogruppe zusammengezogen. Die Gesteine sind Thone, thonige Kalksteine, lebhaft gefärbte Mergel mit Gyps, seltner Sandsteine, zusammen für die ganze Coloradogruppe 600—1000′ mächtig. Versteinerungen sind stellenweis sehr häufig, es kommen besonders mehrere *Inoceramus*, Austern, einige Zweischaler und Gastropoden, *Scaphites nodosus*, *Baculites ovatus*, *Ammonites* sp. u. s. w.

Die Fox Hills-Gruppe, welche local bis 4000′ Mächtigkeit erreichen kann (Green River) besteht hauptsächlich aus Sandsteinen und ist stellenweise durch grossen Reichthum an Kohlen ausgezeichnet, so besonders im Green River-Becken, im Bitter Creek und bei Coalville. Marine Fossilien kommen vielfach vor, eine bis 12″ Länge erreichende *Ostrea solenisca* bildet eine ganze Bank. Hervorragendes Interesse beansprucht das Auftreten einer Anzahl von Süsswasserformen in dunklen Schiefern mitten zwischen marinen Schichten bei Carleton Mine, auf welche Hayden bereits aufmerksam machte. Nach King liegt der Punkt nahe am einstigen Kreideufer und handelt es sich um Einschwemmungen eines Stromes. Die Laramiegruppe lässt King über

den letzten Sandsteinen der Fox Hills-Gruppe beginnen, welche noch Ammoniten und Inoceramen enthalten. Alle ächt pelagischen Formen fallen dann der Fox Hills-Gruppe zu. Das Material der Laramieschichten sind lockere braune und graue Sandsteine mit rother Streifung mit Einlagerung von kohligen Thonen und zahlreichen Kohlenflötzen. Die Mächtigkeit ist im Green River-Becken 5000′. Die organischen Einschlüsse bestehen aus Salz- und Brackwasserformen und einer Flora, welche durch die Arbeiten von Lesquereux bekannt geworden ist.

King stellt die Gründe zusammen, welche ihn veranlassen im Gegensatz zu Hayden die Laramiegruppe noch zur Kreide zu rechnen. Wir können auf diese Frage, die bereits eine umfängliche eigene Litteratur hat, hier nicht eingehen und begnügen uns, die Schlusssätze King's aus dem Capitel Recapitulation of the mesozoic series anzuführen: Die Laramiegruppe ist durch ihre Einschlüsse von Wirbelthierresten als cretacisch charakterisirt; sie bildet die jüngste Abtheilung dieser Formation und enthält keine ausschliessliche Süsswasserfauna. Die Pflanzen derselben gleichen zwar solchen aus europäischem Tertiär, doch weisen die Dinosaurier auf Kreide. Sie ist die letzte der concordant gelagerten marinen Abtheilungen des mittleren Amerika. Nach der Ablagerung ihrer letzten Schicht folgte eine energische orographische Störung, welche den Schluss der mesozoischen Zeit bezeichnet. Bei dieser Gelegenheit verschwand der grosse inneramerikanische Ocean und die Kreide wurde local in grosse steile Falten gelegt. Die im Green River-Gebiet nun folgenden Ablagerungen waren untereocäne Süsswasserablagerungen, welche, einzelne Ausnahmen abgerechnet, discordant auf ihrer cretacischen Unterlage ruhen. Das Alter dieses Untereocän ist aber durch die Natur der Wirbelthiereinschlüsse unzweifelhaft sicher gestellt.

In dem 5. Capitel werden die Cainozoischen Bildungen behandelt. Fünf Abschnitte desselben sind dem Eocän, dem Miocän, dem Pliocän, einer Recapitulation über die tertiären Seen und dem Quartär gewidmet.

Die Tertiärschichten, insbesondere das Eocän des westlichen Amerika, bergen einen erstaunlichen Reichthum an Resten höherer Thiere, welche Gegenstand eingehender Untersuchung durch Cope und Marsh waren. King theilt lange Listen der Versteinerungen aus einer jeden Gruppe mit. Wir müssen uns hier mit einer ganz kurzen Übersicht der geologischen im Gebiet des 40. Parallel gewonnenen Resulsate begnügen. Über die amerikanischen Tertiärfaunen überhaupt finden unsere Leser ausführlicheres in einem Referat in diesem Jahrbuch 1882. I. -275- über eine Arbeit Cope's.

Mit dem Schluss der Kreidezeit verschwand das grosse amerikanische Mittelmeer, welches den Continent in östliches und westliches Festland theilte. Es blieb nur eine beckenartige Vertiefung von der Wahsatchkette gegen den Meridian von 107° 30′, welche sich noch über das Gebiet des 40. Parallel nach Norden und Süden erstreckte. In dieser lagerten sich die ältesten 5000′ mächtigen Eocänbildungen ab, welche den Namen der Vermilion Creek-Gruppe erhielten. Gegen die obersten Laramieschichten bestehen nur geringe petrographische Unterschiede, das Gestein ist vorwaltend rother, zerreiblicher Sandstein und nahe am Ufer Conglomerate.

Das Wasser muss sehr bald ausgesüsst sein, denn alle marinen und brackischen Formen sind verschwunden. Dieser älteste eocäne Süsswassersee wird von King als Ute-See bezeichnet.

Das Material der Vermilion Creek-Gruppe kam in erster Linie von dem westlich vorliegenden Lande. Dieses erlitt im Laufe der Zeit eine Senkung, welche wenn auch in geringerem Umfange, das östliche Ufer ebenfalls betraf und es entstand ein neuer, grösserer See, welcher den Namen Gosiutesee erhielt. Er erstreckt sich westlich bis zum 116°. Das in ihm abgesetzte Material bildet die 2000′ mächtige mitteleocäne Green River-Gruppe. Ihre Schichten liegen discordant auf ihrer Unterlage, sind aber nachdem die Niveauveränderungen, welche ihre Entstehung veranlassten, abgeschlossen waren, ruhig und gleichmässig abgelagert. Fein spaltende Schiefer, kalkige Thone und Kalksteine und einige Braunkohlenschichten bilden das Material. Ausser Süsswassermuscheln und Säugethieren kommen Fische und Insekten vor.

Wie die Umbildung aus dem Gosiutesee in den nächstfolgenden, den Washakiesee erfolgte, ist noch nicht hinreichend bekannt. Allein dass die folgenden Schichten der Bridger-Gruppe etwas discordant liegen und auf dem Eocän des westlichen Utah und Nevada ganz fehlen, deutet auf wesentliche Änderung der zur Zeit der Green River-Gruppe herrschenden Verhältnisse. Die leicht zerstörbaren Sandsteine und Mergel veranlassten die Entstehung jener eigenthümlichen Oberflächenbildung, welche unter dem Namen der bad land erosion berühmt geworden ist. Die farbige Tafel XV giebt eine vortreffliche Darstellung dieser in ihrer Art einzigen Landschaft. Das Seltsame der Formen wird noch erhöht durch die lebhaften, häufig wechselnden Farben, indem grell grüne Bänder auf grosse Erstreckungen an den Steilwänden der Schluchten und Pfeiler sich hinziehen.

Den Schluss der Eocänbildungon machen wenig mächtige thonige und sandige Schichten aus, deren Fauna nach Marsh auf obereocänes Alter hinweist. Sie finden sich nur südlich der Uintakette, wiederum discordant auf dem älteren Tertiär. Marsh führte bereits den Namen Uinta-Gruppe ein und King nimmt als vierten See der älteren Tertiärzeit einen Uintasee an.

Eine vom Eocän ganz abweichende Verbreitung hat das Miocän. Es fehlt gerade in den eben besprochenen Ablagerungsdistrikten des Eocän und King greift bei Besprechung desselben weit über sein Gebiet hinaus auf die Aufnahmen anderer Forscher sich stützend. Am Schluss der Eocänzeit senkte sich das Gebiet der grossen Ebenen vom mittleren Kansas an nördlich und es entstand hier im westlichen Zuflussgebiet des Missouri, Mississippi und Red River ein grosser miocäner See, der als Sioux-See bezeichnet wird. Er nahm die seit lange von Hayden als White River Group unterschiedenen Schichten auf, welche eine ausgezeichnete meist von Leidy und Marsh beschriebene miocäne Wirbelthierfauna einschliessen. Im Gebiet des 40. Parallel haben diese Bildungen eine nur geringe Verbreitung.

Weit von dem besprochenen abliegend befindet sich ein zweites Miocänbecken westlich vom 117. Meridian und östlich der Sierra Nevada und Cascade Range. Es erstreckt sich weit nordwärts nach Oregon, wo Marsh bei John Day, Des Chutes und Crooked rivers eine reiche miocäne Wirbelthier-

fauna auffand. Hier lagerte sich in einem Pah Ute genannten See die John Day Group Marsh's, die Trukee-Gruppe King's ab. An der Zusammensetzung der Schichten, welche stellenweise mehrere tausend Fuss Mächtigkeit erreichten, nehmen grusige Sandsteine und vor allem gewaltige Massen von Tuffen Theil (als Palagonit- und Andesittuffe bezeichnet). Stellenweise sind Diatomeenschichten (mit Gaillonellen) eingelagert. Diese beiden miocänen Becken werden als gleichaltrig angesehen.

Zu der ausserordentlich gleichartigen Entwickelung der Sedimente der ganzen paläozoischen und mesozoischen Zeit stehen die Hebungen und Senkungen der Tertiärzeit, die wiederholt und in den einzelnen Gebieten ganz ungleichartig auftreten, in auffallendem Gegensatz. Wie zwischen der Kreide und dem Eocän und dem Miocän änderte sich das Verhältniss von Land und Meer auch zu Beginn der Pliocänzeit. Drei getrennte Pliocänbecken, deren Sedimente gleichzeitig niedersanken, werden unterschieden.

Das miocäne Siouxbecken wurde, wohl in Folge einer langsamen Senkung, nach allen Richtungen erweitert. Es reichte schliesslich westlich bis an den Fuss der Rocky Mountains, südlich vom Rande des Siouxsees im nördlichen Kansas über das Indianergebiet und Texas wohl bis zum Golf von Mexiko, nördlich über das Gebiet der Ebenen bis nach Britisch Columbia. In dieser Ausdehnung wird es als Cheyennesee bezeichnet. Grobes Material in 2000′ Mächtigkeit liegt am Fusse der Rocky Mountains, feineres (feinkörnige Sandsteine und Kalke) in dem östlichen Theil. Es setzt die Niobrara-Gruppe von Marsh zusammen. Zahlreiche von Leidy und Marsh bechriebene Reste höherer Thiere kamen bei Chalk Bluffs vor.

Ein anderer See, Shoshone, in welchem die Humboldtgruppe King's abgelagert wurde, entstand aus dem Pah Ute-See und reichte vom Fuss der Sierra Nevada nach dem Fuss der Washatch-Kette; nördlich erstreckte er sich bis weit an den Columbiafluss, seine südliche Ausdehnung ist unbekannt. Vulkanische Massen nehmen an der Zusammensetzung einen wesentlichen Antheil. Die Bildung des Sees gieng hier unter viel energischerer Senkung des Untergrunds vor sich, als bei dem Cheyennesee und die gebildeten Schichten liegen discordant auf miocäner Unterlage.

Von geringerer Ausdehnung war der dritte pliocäne See der North Park Lake mit der North Park-Gruppe von Hague und Hayden.

Ein umfänglicher Abschnitt ist der Quartärzeit gewidmet. In der That vollzogen sich auch nach Schluss der Tertiärzeit eine Reihe von Veränderungen, welche der Oberfläche die jetzige in mancher Hinsicht so eigenthümliche Gestaltung gaben. Quartärer Erosion verdanken die Wunder des Westens, die Cañons, und die abenteuerlichen Felsgestalten ihre Entstehung, quartär sind die ungeheuren Schottermassen, welche tausende von Fuss tiefe Becken älterer Zeit wiederum ausfüllten. Im Gegensatz zum östlichen Nordamerika, wo von einem Ende der Quartärzeit gesprochen werden kann, ist im Westen eine Grenze gegen die Jetztzeit nicht zu bemerken, die Agentien der Quartärzeit wirken vielmehr jetzt noch fort, wenn auch in kleinerem Maassstabe.

Folgende Verhältnisse hebt King besonders hervor:

1. Glacialerscheinungen.
2. Erosion und Ausfurchung der Cañons.
3. Die Decke von ungeschichtetem subaërischem Kies und Sand, welche alle Gebiete innerer Drainirung mit Ausnahme der Gebiete quartärer Seen überzieht.
4. Quartäre Seen und deren horizontale Ablagerungen, welche jetzt durch Austrocknung frei gelegt sind.
5. Die chemischen Einflüsse und Absätze, welche mit der Austrocknung der Seen in Verbindung stehen und die dabei gebildeten Pseudomorphosen.
6. Jetzt noch entstehende Schuttmassen des Hochgebirgs.
7. „Äolische" Erosion der Jetztzeit.

Alle Processe der Quartärzeit stehen zeitlich und räumlich in inniger Beziehung zu einander, wesshalb King nicht jeden derselben einzeln bespricht, sondern dieselben unter nur zwei Überschriften: 1. Erloschene Gletscher und Cañons, 2. Seen der Glacialperiode, behandelt. Die hervorragende Eigenthümlichkeit der westlichen Gebiete in der Quartärzeit beruht auf dem Fehlen einer zusammenhängenden Eisbedeckung, wie solche in so ausgedehntem Maasse das östliche Nordamerika besass. Es ist somit die Möglichkeit benommen ohne weiteres eine erste und zweite durch eine interglaciale Periode getrennte Eiszeit zu unterscheiden. Gletscher, welche King scharf von Firnablagerungen trennt, fanden sich, wie Karte V zeigt, am verbreitetsten in der Uintakette, weniger Bedeutung hatten dieselben in Park- und Medicine Bow-Range, eine ganz untergeordnete Rolle spielten sie in der Wahsatch- und Humboldtkette und weiter westlich. Auch in dieser relativ geringen Ausdehnung übten die Gletscher eine ganz gewaltige Wirkung aus, zunächst in Beziehung auf die Bildung der Cañons. Diese haben eine U-Form oder eine V-Form. Die erste Categorie soll direct auf den Einfluss der Gletscher zurückzuführen sein, welche den Boden ausfurchten, während die V-Form durch die Gewässer hervorgebracht wurde. Die U-Form herrscht daher z. B. in der Uintakette im oberen Theil, so weit der Gletscher reichte, während am unteren Ende desselben das abfliessende Wasser die V-Form aushöhlte. Der Frost löste von den freiliegenden Höhen ungeheure Schottermassen los und es wurden Moränen gebildet. Von den Moränen zu unterscheiden sind Schuttablagerungen, welche lediglich unter dem Einfluss der Atmosphärilien am Fuss der Gehänge aufgehäuft wurden und in der Sierra Nevada 4000′ Mächtigkeit erreichen. Ihre Entstehung wird erläutert durch das jetzt noch an manchen Stellen beobachtete Niedergehen von tausenden von Blöcken an einem einzigen Tage. Theils local herrschend, theils in mannigfache Wechselwirkung tretend, waren es also drei Agentien, welche in der Quartärzeit im Gebiet des 40. Parallel die Oberfläche formten: Firn, Gletscher und Wasser. Da Dawson in Britisch-Columbia zwei Glacialzeiten nachwies, so ist es kaum zu bezweifeln, dass auch südlicher zwei solche Epochen bestanden, nur ist es hier schwerer den Nachweis ihres Vorhandenseins zu führen. Dass zwei Perioden grosser Uberschwemmung, durch eine Zeit der Trockenheit getrennt, aufeinander folgten, ergiebt sich aus der

Natur der Ablagerungen der quartären Seen. King stellt nun für sein Gebiet folgende Hypothese auf: Da eine allgemeine Eisbedeckung in den westlichen vereinigten Staaten fehlte, so mögen die mit der ersten Eiszeit des Ostens gleichzeitigen und beim Aufhören derselben sich ergiessenden Gewässer die grossen V-Cañons ausgefurcht und die Spuren älterer Hochgebirgsgletscher verwischt haben. In der zweiten Eisperiode wandelten dann die Hauptgletscher, so weit als sie reichten, die V-Cañons in U-Cañons um. Dieser zweiten Gletscherzeit gehörten die in den U-Cañons so ausgezeichnet zu sehenden Gletscherschrammen und die Moränen an, während alle Spuren einer älteren Eiszeit verschwunden sind. Ein directer Beweis dieser Hypothese lässt sich für den Augenblick nicht beibringen, doch steht dieselbe nach King mit allen beobachteten Thatsachen im Einklang.

Auch die Quartärzeit hatte ihre Seen, deren Umfang und Grenzen durch ausgezeichnet erhaltene Uferterrassen angezeigt sind. Sie verschwanden durch allmählige Austrocknung und nach innen gelegene Terrassen deuten Pausen im Process dieser Austrocknung an. Den einen dieser Quartärseen hat Gilbert als Lake Bonneville eingeführt. Er reichte etwa vom 42. südlich bis zum 37° 30′ Breitegrad. Der grosse Salzsee ist ein Rest desselben. Den anderen See nannte King Lake Lahontan. Er erstreckte sich vom 41° 30′ südwärts etwa ebensoweit als der Bonnevillesee. Eine Anzahl kleinerer Seen (Pyramid Lake, Carson Lake) liegen in seinem einstigen Gebiet. Gilbert verdankt man die eingehendsten Untersuchungen über Umfang, Abfluss, Sedimente u. s. w. des Bonneville-See. Man vergl. Geographical Surveys West of the 100th Meridian Vol. III, ferner verschiedene Aufsätze in den letzten Jahrgängen des American Journal of Science and Arts. King stimmt mit Gilbert in der Hauptsache überein und verweist auf dessen Arbeiten. Ausführlicher verweilt er nur bei den chemischen Vorgängen, welche sich bei der Austrocknung vollzogen und der Entstehung der jetzigen salzigen Seen aus den Süsswasserseen der Eiszeit.

Auf den Inhalt des VII. Kapitels, welches die tertiären vulkanischen Gesteine, ihre Beziehungen und Reihenfolge, die Art ihrer Entstehung und ihre Classifikation behandelt, näher einzugehen, ist mit Rücksicht auf den Raum nicht wohl möglich. Wir begnügen uns daher mit der Wiedergabe einiger besonders wichtiger Punkte. Das untersuchte Gebiet erwies sich als besonders reich an tertiären Eruptivgesteinen, die nach v. Richthofen's Vorgang in Propylite (mit Quarzpropyliten), Andesite (Amphibolandesite, Dacite und Augit-Andesite), Trachyte, Rhyolithe und Basalte (mit Einschluss von Nephelin- und Leucit-Gesteinen) gegliedert werden. Der Masse nach überwiegen im Gebiete des 40. Parallel (und King glaubt das auf die Gesammtheit der nordamerikanischen Cordilleren-Region ausdehnen zu können) die sauren Gesteine über die basischen und speciell wären sie ihrer Quantität zu ordnen in Rhyolithe, Basalte, Trachyte, Andesite, Propylite. — Die Propylite und ihre quarzhaltigen Glieder, welche Ref. auch nach der Beschreibung und kartographischen Darstellung des Verf. nur für eine Modifikation der Andesite zu halten vermag, kommen ebenso, wie die Andesite und ihre quarzhaltigen Glieder nur westlich von

der Wasatch Range vor, und zwar in verhältnissmässig geringer Ausdehnung. Die Eruptionszeit derselben (Propylite und Andesite) fällt vor das Miocän und nach der Kreide, sie sind als eocäne Eruptivgesteine zu betrachten. — Auf diese folgen dann als spätmiocäne Eruptiva die Trachyt genannten, mannichfach ausgebildeten Gesteine in vier geographisch weit getrennten Gruppen: 1) zwischen North und Middle Parks und in den Elk Head Mountains im Rocky Mountains-Gebiet; 2) in der Gegend von Wahsatch Range und Salt Lake; 3) in den Piñon und Cortez Ranges; 4) in Virginia und Lake Ranges. — Die Rhyolithe begleiten die Trachyte der Rocky Mountains-Region, fehlen dann bis zur Westseite des Great Salt Lake Desert und nehmen von hier aus nach W. bis zur Küstenkette von allen Eruptivgesteinen den grössten Raum ein. Sie sind postmiocän und ihre ersten Ausbrüche sind gleichaltrig mit den ältesten Pliocänbildungen. — Als jüngste Eruptivgebilde sind die basaltischen Gesteine zu betrachten, welche wie die Rhyolithe ihre Hauptentwicklung im mittleren und westlichen Nevada haben. — Der Beschreibung jeder dieser Gruppen ist eine Analysen-Tabelle typischer Vorkommnisse angehängt, deren Inhalt (chemiche Zusammensetzung und sp. G.) sich nicht immer zur Zufriedenheit mit der mineralogischen Beschreibung deckt. Jede dieser Gruppen, wobei aber Rhyolithe und Basalte als Neolithe zusammengefasst werden, wird von King in drei Unterabtheilungen, eine quarzführende, eine normale, und eine pyroxenische (basische) gegliedert, nicht ohne Anklang an Durocher'sche Gedanken, und dann für die Altersfolge dieser Unterabtheilungen in der Hauptgruppe ein Gesetz aufgestellt. — Für die von dem Verf. entwickelte Theorie des Vulkanismus und der Eruptionsfolge, sowie für die Einzelheiten seiner Classifikation der tertiären massigen Gesteine, müssen wir auf das Buch selbst verweisen.

Das Schlusskapitel des Werkes hat den Titel Orography und enthält eine Zusammenfassung der in früheren Abschnitten eingestreuten Angaben über die dynamischen Vorgänge im Gebiet des 40. Parallelgrades. Beobachtung und Speculation sind eng mit einander verwoben und letzterer hat anbetrachts der Schwierigkeit der Untersuchung eines so gewaltigen, schwer zugänglichen Gebietes ein ziemlicher Spielraum gewährt werden müssen. Folgende Zeiten orographischer Thätigkeit werden unterschieden: 1. Post-Laurentian, 2. Post-Archaeisch, 3. Post-Palaeozoisch, 4. Post-Jurassisch, 5. Post-Cretacisch, 6. Post-Vermilion Creek Eocän, 7. Post-Green River-Eocän, 8. Post-Bridger Eocän, 9. Post-Eocän, 10. Post-Miocän, 11. Inter-Pliocän, 12. Post-Pliocän, 13. Verwerfungen der historischen Zeit. Fünf Kärtchen dienen zur Erläuterung. Bedenkt man, dass der Verfasser mit Störungen von 10 000′ und Abstürzen von 30 000′ schon in der archäischen Zeit operirt, dass er wahrscheinlich 150 000′ mächtige Schichtensysteme unter Druck bis auf weniger als die Hälfte sich reduciren und dabei in krystallinischen Zustand versetzen lässt — dass ferner die eigentlichen Sedimentformationen wiederholt aufgerichtet wurden, dass Hebungen und Senkungen von Landstrichen grösser als Mitteleuropa vor sich gingen und dadurch die ausgedehntesten Verschiebungen von Land und Wasser be-

dingt wurden, dass die Wirkungen aller dieser Vorgänge nicht nur durch Grösse und Gewaltsamkeit, sondern auch durch Eigenartigkeit sich auszeichnen, wie sie in der Bildung der Cañons, der abenteuerlichen Verwitterungs- und Abschwemmungsformen, der Umwandlung grosser Süsswasserbecken in Wüsten mit Salzseen sich zeigen, so begreift man das Interesse, welches ein Studium dieses letzten Abschnittes auch bei solchen Lesern wecken muss, welche manchen Anschauungen und Folgerungen des Verfassers gegenüber sich reservirter verhalten.

Rosenbusch. Benecke.

United States Geographical Surveys west of the 100th Meridian. Vol. III. Supplement-Geology. pp. 1—420 and Appendix I to XXXVIII. 4 plates, 3 maps and numerous sections. Washington 1881.

Der vorliegende Band war zwar 1881 schon gedruckt, erschien aber erst 1882. Er bildet ein Supplement zu Vol. III der Wheeler series, ist aber für sich gebunden. In demselben ist enthalten Stevenson, John J.: Report upon Geological Examinations in Southern Colorado and Northern New Mexico, during the years 1878 and 1879. S. 1—420. Taf. I. II, dazu die Karten des Bandes.

Dieses Werk zerfällt in vier Theile, welche eine Beschreibung der Oberflächengestaltung des untersuchten Gebietes, die systematische, beschreibende und technische Geologie enthalten. Die unterschiedenen Formationen sind die archäische, carbonische, jurassisch-triadische, cretacische und tertiäre. Das Gebiet liegt durchaus östlich von Colorado Cañon und enthält etwa 10000 □Meilen (englische). Die Abflüsse gehen theils durch den Rio Grande in den Golf von Mexico, theils durch den Arkansasfluss in den Mississippi. Der südliche und östliche Theil sind im Vergleich zum übrigen, welcher bergig ist, verhältnissmässig eben. Die Störungen der Schichten sind sehr bedeutend und betreffen die ganze Reihe der zur Entwicklung gelangten Formationen. Es werden zwei von Nord nach Süd laufende Hauptaxen, mehrere Nebenaxen mit Synclinalen und eine Anzahl bedeutender Verwerfungen unterschieden. Silur und Devon giebt Stevenson nicht an, hingegen ist die Kohlenformation, welche unmittelbar auf archäischen Schichten liegt, gut entwickelt. Kohle fehlt in ihr, ist aber in der Kreide vorhanden.

Die Beschreibung der Jura-Triasschichten stimmt in der Hauptsache mit den Angaben der Geologen der Survey überein. Gleiches gilt von der Kreideformation mit Ausnahme der Fox Hills-Gruppe. Stevenson zieht alle kohlenführenden Schichten zur Laramiegruppe und stellt diese selbst wieder in die Kreide. Seiner Ansicht nach kann keine scharfe Grenze zwischen der Laramie- und der Fox Hills-Gruppe gezogen werden, auch giebt er an, „charakteristische Fox Hills-Fossilien in Menge nahe unter der oberen Grenze der sicher erkannten Laramiegruppe gefunden zu haben".

Sieben Jahre lang fortgesetzte geologische und paläontologische Untersuchungen der Laramie- und verwandter Gruppen über viele tausend Quadratmeilen der westlichen Gebiete und speciell in einem grossen Theil des von Stevenson durchforschten Gebietes haben den Referenten zu der Überzeugung

gebracht, dass eine solche Auffassung der Laramiegruppe unrichtig ist. Man findet Ausführlicheres hierüber in Bd. IV der Bull. der Geolog. Survey und Annual Reports der Geolog. Survey für 1877 und 1878.

Verhältnissmässig geringe Berücksichtigung haben die tertiären Sedimentbildungen gefunden, während die sehr entwickelten Eruptivmassen zusammen unter der gemeinsamen Bezeichnung Tertiary Rocks abgehandelt werden.

Kohle ist reichlich vorhanden, Gold, Silber, Blei und Kupfer kommen vor, doch ist der Bergbau auf diese Metalle unbedeutend. Mehr merkwürdig als wichtig ist der Umstand, dass in diesem Gebiet allein in Amerika Türkis gefunden ist.

Der Appendix S. I—XXXVIII, Taf. III. IV enthält:

C. A. White, Bericht über die Reste wirbelloser Thiere Neumexico's. Es werden die von Stevenson und seinen Begleitern gesammelten Versteinerungen aufgezählt und Beschreibung und Abbildung von 16 Arten gegeben, von denen 8 neu sind.

Unter den neuen Arten der Kohle befindet sich eine *Rotella*, was insofern von Interesse ist, als bisher nur die einzige *Rotella helicinaeformis* Goldf. aus dem Devon fossil bekannt war. Auch zwei neue Arten der Gattung *Soleniscus* Meek & Worthen werden beschrieben und abgebildet. Bisher war nur eine Art dieser Gattung, ebenfalls aus carbonischen Schichten, bekannt. C. A. White.

Geological Survey of Michigan. Upper Peninsula. 1878—1880. Vol. VI. C. Rominger. I. Marquette iron region. II. Menominee iron region. 248 Seiten. 1 geologische Karte. New-York. 1881. 8°.

Die geologischen Verhältnisse und die Erzlagerstätten der oberen Halbinsel von Michigan sind zwar schon durch T. B. Brooks und R. Pumpelly im ersten Volumen der Publicationen der Geol. Survey unter Beigabe zahlreicher Karten und Profile beschrieben worden, indessen hatte man eine noch speciellere Aufnahme derjenigen Region des huronischen Schichtensystemes für wünschenswerth gehalten, in welcher sich die reichen und für Michigan hochwichtigen Eisenerzlager von Marquette, Negaunee und Ishpeming, sowie diejenigen von Menominee finden.

Der Staatsgeologe C. Rominger wurde mit dieser Kartirung betraut, und berichtet nun, nachdem er ihr vier Sommercampagnen gewidmet hat, über die zahlreichen von ihm gemachten und für die Geologie von Michigan wichtigen Beobachtungen. Aus denselben leitet er eine einfachere als die seither übliche Gliederung des huronischen Schichtensystemes ab. Weiterhin ist er zu der Anschauung gelangt, dass die granitenen Gesteine, welche das Liegende des Hurones bilden und von Brooks mit dem laurentischen Systeme Canadas identificirt worden waren, in Wirklichkeit posthuronische Eruptivmassen seien. Dieselben sollen das Huron in einem sehr beträchtlichen Umfange und in hochgradiger Weise metamorphosirt, theilweise sogar umgeschmolzen haben; indessen sucht man vergeblich

nach einer ausführlicheren Begründung dieser, die Darstellungen Rominger's offenbar vielfach beeinflussenden Annahme. **A. Stelzner.**

A. Wichmann: Ein Beitrag zur Petrographie des Viti-Archipels. (Mineral. und petrogr. Mittheil. herausgegeben von G. Tschermak 1882. V. 1—60.)

Das von Wichmann bearbeitete Material ist zumeist von Th. Kleinschmidt in den Jahren 1876—78 auf den Viti-Inseln, zum kleineren Theile von Graeffe 1862 und 1865 auf Viti Levu und auf den Exploring Isles gesammelt worden, und zwar auf Reisen im Interesse des Museum Godefroy in Hamburg.

Als das wichtigste Resultat der Untersuchung lässt sich hervorheben, dass auf Viti Levu, der grössten Insel der Gruppe, neben Andesiten, Basalten und tertiäre Fossilien führenden Tuffen alte massige Gesteine und krystallinische Schiefer recht verbreitet sind, während paläozoische und mesozoische Sedimente ganz zu fehlen scheinen. Es ist dies ein neuer Beweis für die Unrichtigkeit der älteren Ansicht, alle Inseln des stillen Oceans seien durch vulcanische Kräfte entstanden; Wichmann weist im Gegentheil aus der Literatur nach, dass die rein vulcanischen Inseln, zu denen z. B. die Galapagos- und die Sandwichinseln zu gehören scheinen, in der Südsee eine ganz untergeordnete Rolle spielen. Aus dem Fehlen paläozoischer und mesozoischer Bildungen wird geschlossen, dass die Inseln und Theile des jetzigen Meeresbodens lange Zeit Festland waren, und dass die Südsee in ihrer gegenwärtigen Form von relativ jungem Alter ist. Damit erscheine Dana's Hypothese — die Contouren der Continente seien bereits bei der Abkühlung der Erdoberfläche vorgezeichnet worden — nicht annehmbar; wie die höchsten Gebirge so seien vielleicht auch die tiefsten Meere die jüngsten.

Mit Ausnahme von Viti Levu (vielleicht auch von Vanua Levu) bestehen die Inseln des Viti-Archipels und der Exploring Isles nur aus Andesiten, Basalten, den zugehörigen Tuffen, Korallenkalk und verkieselten Korallen.

Unter den älteren massigen Gesteinen werden beschrieben: Granite (titanitfreie Amphibolgranite und Aplite mit spärlichem grünem Glimmer); Quarzporphyre (basisfrei, der Orthoklas erfüllt mit den winzigsten Flüssigkeitsporen); Syenitporphyre (ohne erkennbare basische Gemengtheile, Feldspath z. Th. in Epidot umgewandelt); feinkörnige bis fast dichte sodalithfreie Foyaite (der schwach pleochroitische Augit mit Glaseinschlüssen; das vortertiäre Alter ist nicht ganz sicher); Hornblendediorite (z. Th. augitführend); Diabase (ohne Titaneisen, basisfrei und basisführend, aphanitisch und als mannigfache Mandelsteine entwickelt, zuweilen quarzführend); grobkörnige hornblendeführende Olivingabbros (auch in Form sog. Forellensteine).

Die jüngeren Eruptivgesteine sind alle quarzfrei; Andesite herrschen vor, bald nur Augit, bald nur Hornblende, bald beide in annähernd

gleicher Menge führend. Accessorisch treten ausser Glimmer, Eisenglanz, Apatit, Magnetit vereinzelt Tridymit und rhombischer Pyroxen auf, als secundäre Bestandtheile Calcit und Chabasit; letzterer bildet auch das Cement einer Breccie. Eine Varietät erwies sich als ein körniges Gemenge von brauner Hornblende und Mikrotin (beide mit Glaseinschlüssen), ohne jegliche Grundmasse. Im Andesit vom Gipfel des Mt. Washington (Kandavu) wurden Einschlüsse von braunem Glas mit Kernen von farblosem Glas beobachtet, während letzteres allein die Basis bildet. (Man sollte eher die umgekehrte Anordnung in den Doppeleinschlüssen erwarten. D. Ref.) Bei zonalem Aufbau der Plagioklase ist die Auslöschungsschiefe von Kern und Zonen zuweilen eine stark abweichende; ebenso in demselben Gestein bei einschlussfreien Plagioklasen eine andere (6—16°), als bei den einschlussreichen (38—43°). Die Augite sind z. Th. in chloritische Substanz (Viridit) umgewandelt; die Plagioklase nach der Schiefe der Auslöschung wohl meist sehr basischer Zusammensetzung. Von den Exploring Isles liegt ein pechglänzender Augitandesit-Obsidian vor mit bouteillengrünem Glase. Die Basalte sind normal zusammengesetzt und führen fast alle farbloses Glas. An dieselben wird ein Limburgit angereiht mit etwas Plagioklas in der braunen glasigen Basis.

Die theils fossilfreien, theils fossilführenden Tuffe bestehen meist aus andesitischem Material. Erwähnenswerth ist ein „Hyalomelan-Tuff", der sich aus kleinen grünen, von Säuren unangreifbaren Glasscherben mit reichlichen Dampfporen aber frei von krystallinischen Ausscheidungen zusammensetzt; ferner ein Tuff von Su-Sui (Exploring Isles), der reich an Foraminiferenresten und Calcitkörnern ist (Interferenzkreuze und farbige Ringe im parallelen polarisirten Licht liefernd) und nach Graeffe von den Weibern der Eingeborenen gegessen wird*.

An krystallinischen Schiefern lagen vor: Aktinolithschiefer und Aktinolithfels mit Epidot und Magnetit, letzterer auch mit Feldspath; Eurite mit Rutil, Turmalin, Granat und Erzkörnern; Adinolähnliche Gesteine; Glimmerquarzit mit Salit, Erzkörnern und graulichen knieförmigen Zwillingen, welche nicht für Rutil gehalten werden. Zu den krystallinischen Schiefern gehören vielleicht auch einige Körnige Kalksteine und ein eigenthümlicher feinkörniger Sandstein, der aus Quarz, Magnetit, Enstatit, sowie etwas Glimmer und Feldspath besteht und mit dem Itacolumit verglichen wird.

Schliesslich werden noch verschiedene Kalksteine, Faserkiesel, Jaspis, Hornstein, Chalcedon — die beiden letzteren als Versteinerungsmittel von Korallenstöcken — beschrieben und die bisher auf den Viti-Inseln nachgewiesenen Mineralien aufgezählt. E. Cohen.

---

* Verf. empfiehlt für mürbe Gesteine eine Auflösung von Canadabalsam in Chloroform zum Einlegen zu verwenden. Das Chloroform ersetzt man zweckmässiger durch Aether, da die aus jenem am Licht entstehende Salzsäure Präparate mit zersetzbaren Eisenverbindungen sehr bald verdirbt.

F. Sandberger: Untersuchungen über Erzgänge. 1. Heft. 158 Seiten u. 2 Tafeln. Wiesbaden 1882. 8.

Das vorliegende Heft, dem unter Umständen noch andere nachfolgen sollen, enthält zwei Arbeiten. I. Die Erzgang-Theorien vom chemisch-geologischen Standpunkte aus betrachtet (S. 1—36). Es wird zunächst die Descensions-Theorie kurz besprochen und vom Verfasser die Erklärung abgegeben, dass er dieselbe in allen denjenigen Fällen für giltig halte, „wo sich in höher gelegenen Gesteinen jene Körper mit Sicherheit nachweisen lassen, welche sich in Höhlungen und auf Spalten tieferer Gesteine, die solche Stoffe ursprünglich nicht enthielten, als Erzlagerstätten angesammelt haben". Ein ausgezeichnetes Beispiel einer derartigen durch Descension gebildeten Lagerstätte soll diejenige von Raibl sein (Pošepny, der nicht bloss Handstücke, sondern diese Lagerstätte selbst sehr sorgfältig untersuchte, kam bekanntlich zur entgegengesetzten Ansicht*). Nachdem hierauf die nur noch historisch interessante Congenerations-Theorie flüchtige Erwähnung gefunden hat, wendet sich der Verfasser der Ascensions- und der Lateral-Secretions-Theorie zu und sucht die Giltigkeit der letzteren für die grössere Mehrzahl der Erzgänge nachzuweisen, indem er sich namentlich über die Absätze der heutigen Säuerlinge und Thermen verbreitet und in erneuter Weise auf die Gehalte von Metallen und Metalloiden aufmerksam macht, welche nicht nur in den primären Silicaten der krystallinen Massen- und Schiefergesteine, sondern auch in den aus der Aufbereitung der letzteren hervorgegangenen Sedimenten aufgefunden wurden. Dieselben sollen bekanntlich das Rohmaterial zu den Gangausfüllungen gegeben haben. Fast alle Thatsachen, welche der Ascensions-Theorie günstig und der Lateral-Secretions-Theorie ungünstig sind, werden bei diesen Erörterungen leider mit Stillschweigen übergangen. II. Der Schapbacher Hauptgang und seine Beziehungen zu den Nebengesteinen (S. 37—158). Diese zweite Arbeit, welche an einem bis ins Einzelste untersuchtem Beispiele die Ansichten des Verfassers über Erzgang-Bildungen noch näher erläutern soll und welche nebenbei eine sehr willkommene Zusammenstellung der den Lesern dieses Jahrbuches zwar zum grossen Theil bereits bekannten, aber in der älteren Literatur weit zerstreuten Resultate giebt, die durch die langjährigen, den Schwarzwälder Gesteinen und Gängen gewidmeten Untersuchungen Sandberger's und durch die Analysen von Petersen, Killing, Oebbeke u. A. gewonnen worden sind, gliedert sich in folgende Abschnitte: Litteratur: 1. Geologische Skizze der Gegend von Schapbach. 2) Die krystallinischen Gesteine der Gegend von Schapbach. 3. Allgemeines über die Verhältnisse des Ganges. 4. Pargenesis des Ganges. 5. Die Mineralien des Ganges. 6. Die Ausfüllung desselben und ihre Beziehung zum Nebengestein. 7. Allgemeine Schlussfolgerungen. 8. Kurze Skizze des Bergbaues.

Referent gestattet sich, dieser Inhaltsangabe seinerseits noch die Bemerkung beizufügen, dass er in den beiden Sandberger'schen Arbeiten

* Jahrb. d. k. k. geolog. Reichsanstalt. Wien. 1873. XXIII. 397. 419.

zwar mancherlei Belehrung und mancherlei Anregungen zu weiteren Studien, aber keine Gründe gefunden hat, die ihn zur Aufgabe seiner, dies. Jahrb. 1881. II. -208-, erwähnten Ansichten bewegen könnten.

A. Stelzner.

A. Ribbentrop: Beschreibung des Bergreviers Daaden-Kirchen. 126 Seiten m. 1 Karte. Bonn 1882. 8. [d. Jahrb. 1882. I. -381-]

Diese Arbeit, die vierte der im Auftrage des Kgl. Oberbergamts Bonn herausgegebenen Revierbeschreibungen, behandelt das im Kreise Altenkirchen, Reg.-Bez. Coblenz, gelegene, von der Sieg durchschnittene Bergrevier Daaden-Kirchen, welches nicht nur einer der ältesten Sitze der Eisenindustrie ist (der Bergbau hat hier bereits im 14. Saec. begonnen), sondern auch noch gegenwärtig, was den Eisensteinbergbau betrifft, an der Spitze sämmtlicher Bezirke des genannten Oberbergamtes steht (im Jahre 1880 producirten 130 Bergwerke mit einer unter Tags beschäftigten Mannschaft von 3255 Mann ausser geringen Mengen von Kupfer-, Blei- und Zinkerzen 7655 598 Ctnr. Eisenerze im Werthe von 3 044 642 Mk.). Die geologischen Verhältnisse des Gebietes sind sehr einfacher Natur, da das letztere gänzlich im Gebiete der Coblenzer Schichten (Spiriferensandstein) liegt. Diese bestehen aus einer Wechselfolge von Grauwackensandsteinen, Quarziten, Grauwackenschiefern, Thon- bezw. Dachschiefern und vereinzelten kalkhaltigen Bänken, streichen h. 4—5 und fallen, abgesehen von den vorhandenen Mulden und Sätteln, zumeist nach SO ein. In den südlichen Theil des Revieres greifen die Westerwälder Braunkohlen herüber, während die Flussthäler mit Alluvionen erfüllt sind. Endlich treten noch zahlreiche Kuppen und Gänge von Basalt (Feldspath-Basalt) auf.

Ein hervorragendes Interesse gewährt das Unterdevon innerhalb des Revieres durch den grossen Reichthum an Erzlagerstätten, die zu dem durch manganreichen Spatheisenstein berühmten Gangnetze gehören, welches in früherer Zeit vorzugsweise im Siegerlande ausgebeutet wurde und sich nordostwärts bis nach Varste im Kreise Olpe, südwestwärts über Waldbreitbach hinaus bis zur unteren Lahn bei einer ungefähren Breite von fünf Meilen verfolgen lässt. Die nur aus einer Hauptspalte oder aus einem Netze kleinerer Spalten bestehenden Gänge sind meist Quer-, selten Längsspalten, haben nur selten eine grosse Längenerstreckung, gruppiren sich aber mit ihren Nebengängen und Trümern zu Gangzügen, deren streichende Länge bis 4000 m erreicht. In dem Gangnetze des Revieres lassen sich drei solcher Zonen erkennen, die von NO nach SW gerichtet sind und innerhalb welcher die Entwickelung der Erzgänge eine verschiedenartige ist.

Die mittlere Zone enthält die Eisenerze, wenn auch stellenweise Kupferkies mit vorkommt, meist in der grössten Reinheit und mächtigsten Entwickelung, wogegen in den beiden anderen Zonen mit den Eisenerzen ausser Kupferkies häufig Bleiglanz und Zinkblende, nesterweise oder in Nebentrümchen, auftreten und Fahl-, Nickel- und Antimonerze stellenweise mit einbrechen. Eine vierte schmale Zone, welche zwischen der mittleren

und der nordwestlichen liegt, ist durch Kobalterzgänge mit quarziger Gangmasse charakterisirt; dass das Nebengestein derselben in irgend welcher Beziehung von dem der anderen Zonen verschieden sei, wird nicht erwähnt.

Die Gänge haben selten auf lange Strecken einen ungestörten Zusammenhang, sondern sind in der Regel vielfach durch Klüfte zertheilt; die einzelnen Theile sind dann meist gegen einander verschoben, und zwar sowohl in streichender als auch in fallender Richtung. Häufig streichen die Hauptklüfte eines Ganges parallel und es zeigen sich auch die zwischen jenen liegenden Theile des Ganges in gleicher Richtung zu einander verschoben. Diese Erscheinung wiederholt sich zuweilen so oft, dass sich dieselbe schwer als eine Verschiebung der einzelnen Theile des Ganges in der Richtung der Klüfte ansehen lässt, sondern viel besser dadurch erklärt wird, dass man den Klüften, namentlich, wenn sie mit der Lage der Gebirgsschichten zusammenfallen, die Priorität im Alter vor den Gangspalten einräumt, da es sich dann leicht möglich zeigt, dass die Klüfte bei der Bildung der Gangspalten die Bruchkräfte wiederholt ablenken und auf diese Weise die gebrochene Linie der Gangspalte veranlassen konnten.

Die ursprüngliche Ausfüllung der Gänge bestand, wie schon gesagt, im Wesentlichen aus manganreichem Spatheisenstein, aus weissem, in Drusen zuweilen auskrystallisirten Quarz und aus Trümmern des Nebengesteines. Der Spatheisenstein ist indessen vom Tage aus und zwar zum Theil bis weit über 100 m unter die Thalsohle, unter Abscheidung der Oxyde und Hydrate des Manganes, in Braun- und Rotheisenstein, besonders in braunen Glaskopf und Eisenglanz umgewandelt worden und herrscht gegenwärtig erst bei 200—250 m unter Tage wieder vor. Die Mächtigkeit der Gänge ist sehr variabel; sie liegt zwischen der Breite eines Besteges und derjenigen von mehreren Metern; stellenweise erreicht sie sogar 14 und mehr Meter. Endlich sei hervorgehoben, dass die Entstehung dieser Erzgänge vor der Epoche der Durchbrüche des Basaltes durch die Devonschichten stattgefunden haben muss, da der Basalt diejenigen Gänge, die er traf, durchsetzt hat (Gruben Mahlscheid, Gottessegen, Kuhlenwalderzug, woselbst der Spatheisenstein des 5 m mächtigen Ganges bis auf 1 m, unter Schwärzung seines sonst fleischfarbigen Ansehens, auf seinen krystallinischen Blätterdurchgängen in Magneteisenstein umgewandelt worden ist, während das Nebengestein unverändert erscheint, und Brühlzeche). Die Erzgänge sind auch älter, als die Bildung der vorhandenen Thäler, weil in den letzteren die Gänge ebenso wie die einschliessenden Devonschichten von den Gewässern erodirt wurden.

Wer sich für diejenigen Verhältnisse interessirt, die sich auf die Geschichte des Revieres, auf den Betrieb seiner Gruben, auf die Verhüttung seiner Erze, auf Arbeiter etc. beziehen, muss, da wir über die einschlägigen Capitel hier nicht referiren können, auf die treffliche Monographie selbst verwiesen werden. **A. Stelzner.**

Das K. K. Quecksilberbergwerk zu Idria in Krain. Zur Erinnerung an die Feier des 300jährigen ausschliesslich staatlichen Betriebes herausgegeben von der K. K. Bergdirection zu Idria. 65 Seiten und 1 Karte. Wien. 1881. Fol.

Diese Festschrift entwickelt in gedrängter, aber sehr übersichtlicher Weise ein Bild von der Geschichte der 1490 oder 1497 entdeckten Idrianer Gruben, von dem geologischen Vorkommen und der Natur ihrer Lagerstätten, von dem bezüglichen Bergbau- und Hüttenbetrieb, endlich von Produktions-, Arbeiter- und Administrationsverhältnissen.

Die Einleitung, in welcher sich auf S. 4—6 die reiche über Idria vorhandene Litteratur zusammengestellt findet und das zweite, von den Erzlagerstätten handelnde Capitel sind von M. V. Lipold, der seit 1867 Vorstand des auf's Neue erblühenden Staatswerkes ist, verfasst. Wir entnehmen diesem zweiten Capitel die folgenden Mittheilungen.

Die Idrianer Lagerstätten führen ausser Quecksilbererzen (Zinnober, Stahl-, Leber-, Ziegel-, Korallenerz, etwas gediegenem Quecksilber und dem nur in früheren Zeiten gefundenen Kalomel) nur noch Eisenkies, sonst aber keine weiteren Metallverbindungen. Als Gangarten brechen geringe Mengen von Kalkspath, Dolomit und Quarz, überdies Idrialith und Anthracit ein. Flussspath ist eine grosse Seltenheit. Die Lagerstätten sind lediglich an gewaltige Dislocationsspalten geknüpft, längs welcher die durch ihre Pflanzenreste charakterisirten Schiefer (Silberschiefer) und Sandsteine der Steinkohlenformation in ganz abnormer Weise über die theils steil aufgerichteten, theils stark gefalteten oder breccienartig zerstückelten Schichten der unteren und oberen alpinen Trias hinweggeschoben sind. Im NW. Grubendistricte treten die Erze theils lagergangartig, als locale Imprägnationen der obertriasischen bituminösen Skonca-Schichten (Lagerschiefer), theils stockwerksartig als Kluftausfüllungen und Imprägnationen einer untertriasischen Dolomitbreccie auf, während sie im SO. Reviere gangartige Imprägnationen neben Klüften bilden, welche die untertriasischen Guttensteiner Kalke und Dolomite durchsetzen.

Im Anschlusse an diese Recapitulation seiner älteren Arbeit (dies Jahrb. 1876, 89) erfreut uns Lipold diesmal auch noch durch die Mittheilung derjenigen Ansichten, welche er inzwischen über die Genesis der Idrianer Lagerstätten gewonnen hat. Indem er betont, dass die Ausbildung solcher Ansichten „für den Idrianer Bergbau von hoher Wichtigkeit war, weil nur auf Grundlage derselben die weiteren Arbeiten in die Teufe zum Aufschlusse und zur Ausrichtung der Erzlagerstätte rationeller normirt werden können", widerlegt er zunächst die erst neuerdings wieder durch v. Groddeck vertretene Anschauung, nach welcher die Idrianer Lagerstätten sedimentäre Bildungen sein sollen. Mit derselben würde es gänzlich unvereinbar sein, dass die Erze keineswegs niveaubeständig sind, sondern sich in sämmtlichen Abtheilungen der unteren und oberen Triasformation finden. „Da man weiters eine Zinnobererz-Führung weder in den Wengener Schichten, noch in den untertriasischen Formationsgliedern, welche nächst Idria vielfach zu Tage anstehen, ausserhalb des Be-

reiches der Dislocationsspalte vorgefunden hat, so muss man schliessen, dass die Erzablagerung in Idria erst nach dem Entstehen der Dislocationsspalte und in Folge derselben vor sich gegangen ist, und man kann die Idrianer Erzführung nicht als gleichzeitig mit den Schichtgesteinen, in welchen sie auftritt, sondern nur als spätere Bildung bezeichnen. . . . . Die Verbreitung des Erzvorkommens von Idria, welches gegen Tag zu sich mehr und mehr verliert, und soviel bis jetzt wahrgenommen worden ist, gegen die Teufe zunimmt, deutet unzweifelhaft dahin, dass die Ausfüllungsmasse der Idrianer Erzlagerstätten in der Dislocationsspalte aus der Tiefe emporgestiegen ist, und dass daher die Erzlagerstätten, welche, wie früher nachgewiesen, wässerigen Lösungen ihren Ursprung verdanken, durch Infiltration von Unten entstanden sind." Die Bildungszeit muss postcretacisch gewesen sein, da sich die mit dem Aufreissen der mehrfach erwähnten Spalte Hand in Hand gehenden Störungen im Gebirgsbaue bei Idria auch noch in den Kreidekalken wahrnehmen lassen. Lipold ist daher geneigt, die neogene Tertiärzeit als diejenige anzusehen, in welcher die Erzablagerung vor sich ging, während nach Stur's Meinung die Erzlagerstätte erst in der Diluvialzeit gebildet worden sein soll.

In wie weit die obige Lipold'sche Theorie eine Existenzberechtigung hat, mag daraus entnommen werden, dass die Idrianer Grube, die man in der Mitte dieses Jahrhunderts und im Banne der alten Anschauungen für erschöpft hielt, seit 1867 ihre Production stetig erhöht und in den letzten 13 Jahren (1867—79) einen Reingewinn von 9.6 Millionen Gulden abgeworfen hat. **A. Stelzner.**

E. Venator: Über das Vorkommen und die Gewinnung von Strontianit in Westfalen. (Berg- u. Hüttenm. Zeitg. 1882. S. 1 ff. m. 1 Karte; auch separat erschienen.)

Verfasser hatte Gelegenheit, das sehr eigenthümliche Strontianitvorkommen zu studiren, welches schon seit den dreissiger Jahren im Münsterlande bekannt ist, aber erst in dem letzten Decennium, seitdem die Wichtigkeit des Strontianites für die Zuckergewinnung aus Melasse entdeckt wurde, zum Gegenstand eines regen Abbaues gemacht worden ist. Dasselbe ist in der Hauptsache auf den ungefähr 24 □Ml. umfassenden District des Flachlandes beschränkt, welcher sich zwischen Münster und der Lippe einerseits, zwischen Werne und Stromberg anderseits ausbreitet. Innerhalb dieses Gebietes setzen in den nahezu horizontal liegenden und nur von einigen diluvialen Sandablagerungen bedeckten obersenonen Thonmergeln zwei trümerreiche Gangzüge auf, die eine Länge bis zu 10 km haben. Die Haupttrümer, welche nahe bei einander liegen und durch ein Netzwerk von Diagonal- und Nebentrümern mit einander verbunden sind, haben in dem einen Gangzuge das Streichen von h. 2—5, in dem anderen dasjenige von h. 9—12. Jene fallen 65—70° SO, diese steiler nach SW. Die Mächtigkeit der einzelnen Gänge oder Haupttrümer ist sehr variabel und beträgt an reicheren Stellen 1.5—2 m, local sogar bis 3 m; an anderen Stellen sind die Gänge aber wohl auch bis zu tauben Klüften zusammen-

gedrückt. An ihrem Ausgehenden erweitern sie sich oft trichterartig. Die Ausfüllung der Gänge besteht aus Strontianit, Kalkspath, Mergel und Eisenkies. Der Strontianit, der weisse, graue, gelbliche, röthliche oder bräunliche Farbe besitzt, ist erdig, dicht, faserig oder dickstänglig und findet sich zuweilen auch in schönen wasserhellen Krystallen (dies. Jahrb. 1877, 294). Der Kalkspath ist gewöhnlich weiss und krystallinisch blättrig, tritt aber auch in grossen skalenoëdrischen Krystallen auf. Der mit dem Strontianit ismorphe Aragonit wurde nicht beobachtet. Weitere Bestandmassen der Gänge sind Fragmente des mergeligen Nebengesteins; aus deren Zersetzung sind weiche plastische Massen hervorgegangen, die sich regellos innerhalb der Gangmasse vertheilt finden. Eisenkies, der nur eine untergeordnete Rolle spielt, sitzt gern auf dem Mergel auf, bildet aber auch nierenförmige Concretionen in Mitten desselben. Als locale Vorkommnisse werden Salzwasser und flüssiges Erdpech erwähnt. Das relative Mengenverhältniss der genannten Mineralien ist ein sehr schwankendes; bald sind die Gänge nur mit Strontianit oder nur mit Kalkspath oder Mergel erfüllt, bald findet sich der Strontianit in kleineren oder grösseren Knollen „geröllartig" in dem zersetzten Mergel eingebettet, bald wieder sind die Gangbestandtheile lagenförmig oder regellos mit einander verwachsen. Verfasser hält die Gänge für Contractionsspalten in dem von der Meeresbedeckung entblössten und austrocknenden schlammigen Mergel und glaubt, dass die Ausfüllung der Spalten von oben her erfolgt sei und vielleicht mit den im Süden des Beckens vorhandenen salinischen Ablagerungen in einem Zusammenhange stehe; indessen giebt er zu, dass auch an eine Bildung durch Ascension gedacht werden könne. Die Strontianitgruben haben bis jetzt im Maximum eine Tiefe von 54 m erreicht; leider hat es den Anschein, als ob in der Tiefe der Kalkspath allmählich den Strontianit verdränge. Die gegenwärtige Jahresproduction an Strontianit wird auf mehr als 60 000 Centner beziffert. A. Stelzner.

A. Sjögren: En för Sverige ovanlig kopparmalmsfyndighet. (Geol. Fören. i Stockholm Förh. 1882. Bd. VI. No. 2 [No. 72]. 69—75.)

Die Kupfererzfundstätte im Kirchspiel Glafva (Wermland) ist vor den übrigen schwedischen Erzgängen dadurch ausgezeichnet, das das Erz die ganze Spalte ausfüllt ohne jegliche Gangart und sich direct an das Nebengestein (Granulit) anlegt ohne Zwischenmittel. Ferner wird der Granulit um so reicher an Epidot, Titanit und Chlorit, um so ärmer an Glimmer, Magnetit, Amphibol und frischem Feldspath, je mehr man sich dem Erz nähert. Sjögren schliesst aus dieser allmählichen Veränderung, dass das Material der Erzmassen im Nebengestein vorhanden gewesen, nicht von aussen zugeführt sei und sich auf der Spalte angesammelt habe.

E. Cohen.

J. D. Dana: On the geological relations of the limestone belts of Westchester County, New York. (American Journal

of science. XX. No. 115. pg. 21—33. July 1880; XX. No. 117. pg. 194—221. September 1880; XX. No. 119. pg. 359—375. November 1880; XX. No. 120. pg. 450—456. Dezember 1880; XXI. No. 126. pg. 425—443. June 1881; XXII. No. 128. pg. 103—119. August 1881; XXII. No. 130. pg. 313—315 and 327—335. October 1881.)

J. D. Dana: On a case in which various massive crystalline rocks including Soda-granite, Quartz-Diorite, Norite, Hornblendite, Pyroxenite, and different chrysolitic rocks, were made through metamorphic agencies, in one metamorphic process. (Geological Magazine. Dec. II. vol. VIII. No. 200. pg. 59—65. February 1881; No. 201. pg. 110—119. March 1881; No. 202. pg. 162—171. April 1881.)

Westchester County, die südlichste Grafschaft des östlichen New-York, nach W vom Hudson, nach S von New-York Island begrenzt, sowie letztgenannte Insel selbst bilden einen Theil des zwischen Connecticut River, Lake Champlain und Hudson River gelegenen Berglands, welches Dana als die Green Mountain region bezeichnet. Der Untergrund dieser Grafschaft und von New-York Island besteht wesentlich aus mannigfach entwickelten, auch Sillimanit-führenden Gneissen, aus Glimmerschiefern, die local Hornblende, Granat, Staurolith und Cyanit enthalten, aus Phyllit-ähnlichen Schiefern (hydromica schist) und Quarziten in steil (40°—80°) aufgerichteten, im Allgemeinen NNO—SSW streichenden Schichten. Eingeschaltet sind diesem Systeme krystalliner Schiefer Lagen von körnigen, aber auch stellenweise (zumal im Norden an der Grenze der archäischen Formation) ganz dichten und dann bläulichen oder gelblichen, magnesia- und eisenhaltigen, also dolomitischen Kalken, denen bei körniger Structur Einsprenglinge von Tremolit und Aktinolith, auch Chlorit und Apatit, seltener weisser Pyroxen in Krystallen und grüner in kokkolithartigen Körnern, Orthoklas, sowie Titanit beigemengt sind. Die Kalke nehmen (Westchester Cty.) stellenweise so viel weissen Glimmer auf, dass sie in Kalkglimmerschiefer übergehen und an anderen Orten (New York Island) soviel dunklen Glimmer, dass sie ein gneissartiges Aussehen gewinnen. Graphitische Kalke sind im Ganzen spärlich. Mit den Kalken kommen Serpentin und verwandte Gesteine vor, die nach Annahme des Verfassers theilweise durch Hydratisirung von zu Tremolit und Aktinolith umgewandelten Kalken entstanden.

Innerhalb des Stadtgebietes von Cortland in der Grafschaft Westchester treten in diesem Complex von krystallinen Schiefern Hornblende- und Pyroxen-Gesteine von eigenartigem Charakter auf, welche Verf. als Cortland Series zusammenfasst, und welche in naher Beziehung zu den Kalklagern stehen. Die Mineralien, aus denen die Gesteine der Cortland-Series sich aufbauen, sind vorwiegend Plagioklase (mit nur sehr untergeordnetem Orthoklas), daneben Hypersthen, Hornblende und Augit (das erstgenannte Bisilikat herrschend), Biotit in weiter Verbreitung, oft die Bisilikate nahezu verdrängend, Apatit und Pyrit in geringen Mengen allverbreitet, ebenso Magnetit, der sich oft zu Lagern anhäuft, Quarz in

verschwindender Menge, Olivin bald wesentlich und reichlich, bald fehlend. Die Structur der Gesteine ist im Allgemeinen eine massige, regellos körnige, ihre Absonderung parallelopipedisch. Nach der Zusammensetzung werden in der Cortland Series, soweit sie olivinfrei ist, Amphibol-, Hypersthen-, Augit- und Biotit-Gesteine unterschieden; dieselben sind jedoch durch Zwischenglieder mit einander verbunden. — Die Amphibol-Gesteine haben oft die Zusammensetzung von Dioriten und Quarzdioriten; ihr Feldspath ist Oligoklas; neben Hornblende erscheint Biotit in wechselnder Menge; accessorisch tritt auch Hypersthen auf und es giebt olivinführende Varietäten; ihre Structur wechselt von sehr grobkörnig bis dicht, ist auch wohl porphyrartig. Sie gehen über in Amphibolite und Amphibolschiefer. Die Hypersthen-Gesteine, in ihrer Zusammensetzung den skandinavischen Noriten und Labradorfelsen (Kjerulf) sehr nahestehend, aber oft quarzhaltig, werden von Dana auch Norite genannt; sie sind die verbreitetsten; ihr Feldspath, meist bräunlich wie das Gestein selbst, scheint Oligoklas, resp. Andesin. Übergänge finden sich in reine Feldspath-Gesteine und in Glimmergesteine mit accessorischem Hypersthen; neben den herrschenden massigen treten auch gneissartige Varietäten auf. — Die echten Augit-Gesteine sind die seltensten, obgleich Augit accessorisch sehr verbreitet ist; sie zerfallen in sehr feldspatharme Varietäten (Pyroxenite) und Feldspath- (Labrador? Andesit?) reiche, welche Augit-Norite genannt werden. Auch olivinhaltige Abarten kommen vor. Ein Biotit-haltiger Augit-Norit von dem nördlichen Theile von Montrose Point am Hudson ergab im Mittel aus zwei sehr nahe übereinstimmenden Analysen

SiO_2	55.34
Al_2O_3 . . .	16.37
Fl_2O_3 . . .	0.77
FeO	7.54
MnO	0.40
MgO	5.05
CaO	7.51
Na_2O . . .	4.06
K_2O	2.03
H_2O	0.58
Sa.	99.65

Die Biotit-Gesteine sind entweder grobkörnig und granitähnlich, enthalten aber herrschend Plagioklas, nur sehr untergeordnet Orthoklas und recht spärlich Quarz und heissen dann Soda-Granite oder sie sind feinkörnig, dann durch den vorherrschenden Glimmer dunkelfarbig und mit gneissartigem Habitus. Accessorisch tritt hier, wie auch in den andern Gesteinen, wohl Granat auf. — Die olivinhaltigen Gesteine der Cortland Series sind im Allgemeinen feldspatharm und führen keinen Quarz. Ihre, als Olivin-Amphibol-, Olivin-Augit- und Olivin-Hypersthen-Gesteine unterschiedenen Varietäten gehen sämmtlich in reine Olivin-Gesteine über. Es ist charakteristisch für alle olivinhaltigen Glieder der Cortland Series.

dass der Olivin nicht nur als selbständiger Gemengtheil, sondern stets auch als Einsprengling in den Bisilikaten erscheint, auf deren Spaltflächen er leicht wahrnehmbar ist. — In Verbindung mit diesen Gesteinen der Cortland Series, deren nahe Verwandte man unschwer, zumal in skandinavischen Vorkommnissen, wieder erkennt, treten endlich Eisenerz- und Smirgellager auf.

Was nun die Genesis dieser so mannigfachen Bildungen der Cortland Series anbetrifft, so schliesst Verf. aus ihrem, neben der regelmässigen Lagerform, hie und da wahrnehmbaren gangartigen Auftreten, aus ihrem ganzen Habitus, aus dem Auftreten eckiger Einschlüsse von Glimmerschiefer etc., aus dem Vorkommen zerbrochener Krystalle in ihnen und aus ihrer stellenweise unverkennbaren Einwirkung auf das Nebengestein, dass sie aus einem mehr oder weniger vollkommenen Schmelzfluss krystallisirt seien. Jedoch dürfe man in ihnen nicht eigentliche Eruptiva aus dem Erdinnern sehen, vielmehr seien dieselben Produkte einer hydatothermischen Metamorphose, ebenso wie die sie beherbergenden krystallinen Schiefer und Kalke. Ursprünglich Glieder eines concordanten Schichtencomplexes unterscheiden sich die massigen Gesteine der Cortland Series nur dadurch von den noch heute schichtigen krystallinen Schiefern, dass bei ihnen die durch die Gebirgshebung und Faltung eingeleitete hydatokaustische Metamorphose in höchster Potenz zur Schmelzung und dadurch zur Obliterirung der Schichtung bei den Ersteren führte, während bei jenen die nicht bis zur Schmelzung sich steigernde Metamorphose die Schichtung erhielt.

Aus den Resultaten der sehr ins Einzelne gehenden Untersuchungen über die stratigraphischen Beziehungen der besprochenen Kalke, Gneisse, Glimmerschiefer, Phyllite, Quarzite und der Gesteine der Cortland Series gewinnt Verf. zunächst auch die dem Leser sich aufdrängende Überzeugung, dass alle diese Gesteinsmassen derselben Formation angehören und gleiche Lagerungsstörungen erfuhren; indem er dieselben dann nach Streichen und Fall, nach Gesteinsbeschaffenheit und Gesteinsverband mit den, gleichfalls von Quarziten begleiteten Kalklagern von Dutchess County vergleicht, kommt er zum Schluss, dass beide identisch seien. Da nun diese durch ihre Fossilführung als metamorphe Äquivalente des Calciferous und Trenton erkannt worden sind, so müsse das Gleiche für die Formation des Westchester County und New York Island angenommen werden. Die beiderlei Kalke begleitenden Quarzite werden mit dem Potsdam-Sandstein parallelisirt. Einen ferneren Beweis für die Richtigkeit seines Schlusses sieht Verf. in der mehrfach deutlich erkennbaren discordanten Auflagerung der Westchester-Schichten auf den archäischen Gesteinen der Highlands des Hudson. Indem er dann die für die krystallinen Schiefer von Westchester und Dutchess County und von New York Island gewonnenen Resultate an die für nahe verwandte Gebiete früher schon ausgesprochenen Ansichten anknüpft, kommt er zu dem allgemeinen Schlusse, dass sämmtliche Kalke und die damit in concordanter Lagerung verbundenen krystallinen Schiefer der Green Mountains von Vermont bis

New York Island metamorphe Äquivalente von untersilurischen (resp. cambrischen) Schichten sind.

Die auffallende Erscheinung, dass die Gesteine der Cortland Series nicht allgemein verbreitet, sondern auf ein kleines Areal (25 englische Quadratmeilen) beschränkt sind, gerade dort, wo der Hudson aus einem einspringenden Winkel der archäischen Formation der Highlands heraustritt, glaubt Verf. damit erläutern zu können, dass hier in einer untersilurischen Bucht unter eigenartigen Verhältnissen eben Gesteine von so abweichendem Charakter entstehen konnten. Die Verschiedenheit des ursprünglichen Substrats der heute als Cortland Series ausgebildeten Gesteine lässt sich dadurch erklären, dass hier eine Zufuhr von archäischem Detritus allein, oder in Verbindung mit vulkanischem Material (als Lava oder lose Auswurfsmassen) oder endlich in Verbindung mit Stoffen aus dem Ocean (Mg und Na) stattfand. Welche dieser Annahmen die wahrscheinlichere sei, lässt er unentschieden, neigt sich aber anscheinend doch der letzteren zu. H. Rosenbusch.

A. E. Törnebohm: Mikroskopiska bergartsstudier. (Geol. Fören. i Stockholm Förh. Bd. VI. No. 5 [No. 75]. 185—204.)

XIII. Epidotgneiss. Gewisse graue deutlich geschichtete Gneisse, welche im mittleren und westlichen Wermland weit verbreitet sind, zeichnen sich — ganz unabhängig von der Art der Structur, Zusammensetzung und Lagerungsform — durch einen constanten und oft sehr reichlichen Gehalt an primärem Epidot aus. Derselbe tritt in isolirten Körnern, in Aggregaten und in allen Hauptgemengtheilen, sowie im Titanit als Gast auf, ist nicht selten als Zwilling ausgebildet und zeigt an kleinen Individuen Krystallformen. Als Einschlüsse kommen dem Epidot krystallographisch ähnliche und mit dem Wirth gleich orientirte Kryställchen vor, welche für Orthit gehalten werden. Die Gemengtheile des Epidotgneiss haben sich in folgender Reihenfolge gebildet: Zirkon, Apatit, Magnetit — kleine Krystalle von Epidot, Glimmer und Titanit, sowie wahrscheinlich Eisenkies — Quarz — grosse Individuen von Epidot, Glimmer, Granat, Titanit — Feldspathe, Hornblende.

XIV. Epidotfels. Der an mehreren Punkten beobachtete Epidotfels besteht der Hauptsache nach entweder aus Epidot allein, oder letzterer wird von einem glimmerartigen Mineral begleitet. Feldspath, Quarz, Hornblende, Titanit, Apatit, Zirkon, Rutil stellen sich accessorisch ein. Der Epidot zeigt bisweilen Zonarstructur und enthält öfters Einschlüsse von Epidot.

XV. Ett par skapolitförande bergarter. Törnebohm fand Skapolith als Gemengtheil in einer orthitreichen Varietät des Epidotgneiss von Brunsberg (Wermland), in einem hornblendeführenden Gneiss von Gottenvik (Ostgothland) und in einem Augit-Feldspath-Quarzgestein aus Granulit auf Ornö (im See Hemträsket). Der zu Brunsberg von Calcit und Analcim begleitete Skapolith ist selten klar und farblos, sondern meist in eine schmutzig gelbliche, feinfaserige Substanz umgewandelt und wird von concentrirter kalter Salzsäure recht stark angegriffen (in der Regel scheint der

Skapolith im Dünnschliff selbst von warmer Salzsäure nur schwach angegriffen zu werden. D. Ref.).

XVI. En egendomlig sandsten. Mit Tafel. In der Nähe des Sees Dagstorp (Section Trolleholm) fand Nathorst als losen Block einen eigenthümlichen Sandstein. U. d. M. erwies sich derselbe als ein unzweifelhaft klastisches Gestein mit eckigen Fragmenten von Quarz, Feldspath und Grünstein (Basalt?) als vorherrschenden, Hornblende, Augit, Epidot, Zirkon, Apatit, Glimmer, Turmalin, Granat, Flusspath, Rutil und Magnetit als untergeordneten Gemengtheilen. Während der Feldspath durchaus frisch ist, zeigt der Quarz constant eine bemerkenswerthe Veränderung. Jedes Korn ist von einer farblosen Zone umgeben, welche sich im gewöhnlichen Licht kaum merklich vom Quarz abhebt, im polarisirten Licht jedoch Aggregatpolarisation zeigt und mit scharfwinklig begrenzten Zacken in den Kern eingreift. Durch Erwägung aller Verhältnisse gelangt Törnebohm zu der Überzeugung, dass ein veränderter Quarz vorliegt, nicht etwa eine secundäre Ausfüllung von Hohlräumen und dass das Umwandlungsproduct höchst wahrscheinlich Feldspath und zwar Mikroklin sei. Derselbe wird öfters von einem glimmerartigen Mineral und von Göthit begleitet. Kleinere Quarzkörner sind bisweilen vollständig in Mikroklin umgewandelt.

E. Cohen.

Petiton: Sur les roches éruptives de la Cochinchine française. (Bull. soc. min. de Fr. V. No. 5. pg. 131—133. 1882.)

Es werden in den Gebirgsgruppen des nordöstlichen, nördlichen und norwestlichen Cochinchina, in den Bergen von Cambodja, in denen des Königreichs Siam und der Insel Poulo-Condor granitische Gesteine und Quarzporphyre in mehrfacher Strukturausbildung, Diorite, Diabase und Porphyrite als vorhanden angegeben, die den in Frankreich verbreiteten Typen durchaus entsprechen. — Von jüngeren Eruptivgesteinen wurde nur am Nui-Tac in Cochinchina ein Basalt gefunden, welcher den Auvergner Basalten durchaus glich. Der Feldspath dieses Gesteins ist Labrador.

H. Rosenbusch.

J. Roth: Zur Kenntniss der Ponza-Inseln. (Sitzungsber. d. K. Preuss. Akad. der Wiss. zu Berlin 1882. XXIX. 623—633.)

Verf. theilt Beobachtungen mit, die er während eines Besuches einiger der Ponza-Inseln anstellte und ergänzt dieselben durch das Studium der Gesteine, welche Abich auf den vom Verf. nicht besuchten Inseln sammelte. Den Ponza-Inseln fehlen Kratere, Fumarolen und andere Reste vulkanischer Phänomene; sie bestehen aus Tuffen, denen Eruptivgesteine in Form von Gängen und Decken untergeordnet sind.

Ponza selbst besteht z. g. Th. aus schwer zu trennenden liparitischen und trachytischen Tuffen, über welchen sich decken- und kuppenförmig der bläulichgraue Trachyt des Monte della Guardia erhebt. Nach der Beschreibung des Verf. ist die Zusammensetzung dieses Gesteins die normale der Trachyte mit holokrystalliner Grundmasse; seine Absonderung

bald prismatisch bald kuglig. — Gangförmig setzen in den Tuffen Liparite von durchweg porphyrischer Structur und meist prismatischer Absonderung auf, wobei die Prismenaxen in schmalen Gängen den Gangwänden parallel, in breiteren normal gestellt sind. Die Gänge ragen durch die raschere Erosion der Tuffe oft in freien Rippen hervor. Die Structur dieser Ganggesteine wechselt mannigfach, zumal oft ist sie sphärolitisch. Bei den grösseren Gängen ändert sich nach Farbe und Structur das Gestein gegen die Salbänder hin und Verf. glaubt, dass man in manchen Fällen nicht von einer Exomorphose in den Tuffen, sondern von einer Endomorphose in den Ganggesteinen sprechen sollte.

Zannone besteht aus Kalksteinen und Thonschiefern im NO, sonst aus Liparit mit Einsprenglingen von Sanidin-Zwillingen, Quarzkörnern, grünlichem Glimmer und verwitterten Säulchen von Amphibol (?) oder Augit (?). — Palmarola zeigt nach den Sammlungen Abich's die grösste Ähnlichkeit mit Ponza. — La Botte besteht z. Th. aus Trachyt, der demjenigen vom Monte della Guardia auf Ponza ähnlich ist, und z. Th. aus einer helleren, drusigen und grobkörnigen Varietät. — Ventotene zeigt unmittelbar über dem Meere Feldspathbasalt, welcher von Trachyttuffen allorts bedeckt ist, deren Zusammensetzung schichtenweise wechselt. — S. Stephano besteht aus einer Masse von Trachyt mit stellenweise prächtiger Eutaxitstruktur (ganz ähnlich dem Piperno von Pianura), über welchem conglomeratartige Trachyttuffe ausgebreitet sind.

Während demnach die östlichen Inseln La Botte, Ventotene, S. Stefano durch die Häufigkeit der Trachyte sich am meisten den phlegräischen Feldern anschliessen, bilden die westlichen Inseln Palmarola, Zannone, Ponza durch die Häufigkeit der Liparite ein eigenes System nach des Verf. Meinung, welcher angiebt, dass auf den Ponza-Inseln Liparit das älteste Gestein sei. Auf diesen folge Trachyt und dann vielleicht nochmals Liparit; der Basalt gehe einem Theile der Trachyte voraus. Leucitgesteine fehlen vollständig. **H. Rosenbusch.**

B. J. Harrington: On some of the diorites of Montreal. (Geol. Survey of Canada. Report on the minerals of some of the apatite bearing veins of Ottawa Cty. Q., with notes on miscellaneous rocks and minerals. 1878. Montreal 1879, pg. 42—46.)

In der Umgebung von Montreal in Canada durchsetzen zahlreiche Gänge dioritischer Gesteine die untersilurischen Kalke und stellenweise den von Hunt als Dolerit benannten Diabas des Mount Royal. Rundliche Stücke ganz ähnlicher dioritischer Gesteine finden sich eingeschlossen in den Lower Helderberg Conglomeraten von St.-Helen's Island, womit das Alter dieser Gesteine ziemlich genau fixirt wäre. Der Charakter dieser dioritischen Gänge ist ein sehr wechselnder, ihre Farbe ist hell- bis dunkelgrau, ihr sp. G. 2.75 bis über 3; ihre Structur mittel- bis feinkörnig und porphyrartig durch Einsprenglinge von schwarzer Hornblende. Sie bestehen wesentlich aus braundurchsichtiger Hornblende, Plagioklas und Titaneisen. Accessorisch erscheint Biotit oft so reichlich, dass sie als

Glimmerdiorite bezeichnet werden können; Augit findet sich seltener. Bei Mandelsteinstructur, die nicht eben häufig ist, treten in den Hohlräumen Zeolithe (Analcim), Carbonate und selten Epidot auf. Sie brausen mit Säuren und enthalten auch im compakten Gestein Carbonate und etwas Chlorit. Apatit ist allverbreitet. — Als Typus wird ein 2 Fuss mächtiger, dunkelgrauer, feinkörniger Gang in der Reservoir Extension bezeichnet, in welchem man mit blossem Auge Amphibolsäulen (braun in durchfallendem Licht) wahrnimmt. Das spec. Gew. war 2.927—3.005 in verschiedenen Proben. Die quantitative Analyse ergab:

SiO_2	40.95	
Al_2O_3	16.45	
Fe_2O_3	13.47	
MnO	0.33	(mit wenig Kobalt)
TiO_2	3.39	
CaO	10.53	
MgO	6.10	
K_2O	1.28	
Na_2O	4.00	
P_2O_5	0.29	
Glühverlust . .	3.84	
	100.63	

Der Glühverlust enthält nicht unbedeutende Mengen von CO_2, da mit Essigsäure 4.02 CaO und 0.67 FeO in Lösung gehen. Nach Behandlung mit kochender HCl und Glühen des ungelösten Rückstandes betrug dieser nur 51.80 %. Das Gestein muss also einen Feldspath aus der Anorthit- oder Bytownit-Reihe enthalten; darum schreibt Verf. den Alkali-Gehalt der Hornblende zu. Man denkt unwillkürlich an Teschenit, mit welchem auch Verf. selbst einen nur wenige Meter entfernten Gang ähnlichen Gesteins vergleicht, in welchem mit blossem Auge sichtbar reichlich Analcimkörner auftreten. Chemisch am nächsten verwandt sind die von Hawes beschriebenen Diorit-Gänge aus dem Glimmerschiefer von Campton, N. H.

H. Rosenbusch.

Arthur P. Coleman: The melaphyres of Lower Silesia. Inaug.-Diss. Breslau 1882. 8°. 55 S.

Nach einer historischen Einleitung über die Entwicklung unserer Kenntnisse von den niederschlesischen Melaphyren werden die Vorkommnisse aus der Gegend von Waldenburg und Lähn eingehend besprochen nach ihrem geognostischen Verbande, ihrer mineralogischen Zusammensetzung und ihrer Structur. Allenthalben bildet trikliner Feldspath, der in den dunklen, gern mandelsteinartigen Gesteinen auch mit dem blossen Auge meist sichtbar ist und welcher wahrscheinlich dem Oligoklas angehört, die Hauptmasse; ob neben ihm Orthoklas vorkommt, scheint Verf. zweifelhaft. Augit, stellenweise im Habitus sich dem Diallag nähernd, ist in allen frischen Gesteinen vorhanden; neben ihm ist ein rhombischer,

zu Bastit meistens umgewandelter, Pyroxen nicht selten. Braune Hornblende ist verbreitet in den Gesteinen der Gegend von Waldenburg; der Melaphyr von Guckelberg enthält wahrscheinlich auch Biotit. Der Olivin ist in den meisten Gesteinen, aber in wechselnden Mengen vorhanden und fehlt manchen (z. B. Hagendorf) ganz. Sehr glasreich ist ein Melaphyr von der Goldspitz bei Schönau (in der Specialbeschreibung wird Olivin nicht angegeben, trotzdem die Analyse 4.83% MgO und 10.99% Fe_2O_3 (einschliesslich FeO) angiebt); im Allgemeinen aber ist eine Basis nur untergeordnet als Zwischenklemmungsmasse vorhanden, fehlt auch wohl (Melaphyrzug SW von Lähn) ganz. — Der Melaphyr vom Rosenthal bei Johannisberg enthält rundliche Quarzkörner mit radialgestellten Kränzen von zersetzten Augit- und frischeren Amphibolsäulchen; Verf. hält diesen Quarz für einen wirklichen Gemengtheil; die Beschreibung erinnert auffallend an die Verhältnisse, wie sie mechanisch eingeschlossene Quarzkörner in basischen Eruptivgesteinen zeigen. Die Zersetzungserscheinungen sind die schon öfter beschriebenen. An neuen Analysen theilt Verf. solche vom Rosenthal bei Johannisberg (I), von der Goldspitze östlich von Unter-Schönau (II) und von Kunzendorf bei Hagendorf in der Gegend von Lähn (III) mit.

	I.	II.	III.
SiO_2	58.93	52.49	55.12
Al_2O_3	15.47	15.52	14.43
Fe_2O_3	7.71	10.99	—
FeO	—	—	9.11
CaO	5.84	7.26	6.60
MgO	3.14	4.83	5.88
K_2O	3.17	3.31	4.03
Na_2O	4.97	3.62	3.64
Glühverlust	2.34	3.36	1.85
Titan	—	Spur	Spur
Sa.	101.57	101.38	100.66
Sp. G.	2.7166	2.7492	2.7052

Die vom Ref. aufgestellte Classification in Melaphyre und Augitporphyrite (resp. Diabasporphyrite) nebst Unterabtheilungen hält Verf. nicht für anwendbar auf die niederschlesischen, permischen Melaphyrdecken; er classificirt dieselben vielmehr in 1) Glasigen Melaphyr (zur Hälfte wenigstens aus einer braunen Glasbasis bestehend, nur bei Schönau vorkommend). 2) Krystalline Melaphyre (nur wenig Glasbasis) mit den durch Übergänge verbundenen Abtheilungen der Augit-, Hornblende- und Bastit- (resp. Enstatit-) Melaphyre oder wie sie nach seiner eigenen Beschreibung jedenfalls richtiger heissen würden, Hornblende-führende und Bastit- (resp. Enstatit-) führende Melaphyre, da sie ja Augit stets im frischen Zustande führen. Accessorische Hornblende herrscht in der Gegend von Waldenburg, Bastit in dem Gebiet von Lähn; Hornblende und Bastit kommen zusammen nur im Gemeindebruch bei Ober-Falkenhain vor. —

In der Gegend von Waldenburg scheint der Melaphyr theils älter, theils jünger als der Porphyr zu sein. Bei Landeshut und Gross-Krinsdorf lassen sich deutlich 2 Melaphyrdecken übereinander, an ersterem Orte jede mit ihrer Mandelsteinkruste unterscheiden. — In der Lähn-Gegend ruht der Melaphyr mehrfach auf Schiefer und wird von Dyas bedeckt; nur an einer Stelle bei Schönau berührt sich der Melaphyr mit dem Porphyr und enthält nach J. Roth Einschlüsse desselben, so dass er also jünger wäre, als der Porphyr.

Zum Schluss werden die in den Mandeln und Klüften aufgewachsenen Mineralien der Melaphyre, Quarz, Calcit, Baryt, Fluorit, Laumontit, Chabasit, Desmin, Harmotom, Stilbit, Epistilbit, Kaolin, Göthit und Hämatit besprochen. An 2 Epistilbit-Krystallen, die erst nach Websky's Messungen an diesem Mineral vom Finkenhubel von der Breslauer Sammlung acquirirt wurden und die trotz ihrer Frische nur sehr mässige Bilder gaben (sie zeigten die Flächen des Prisma M, die Spaltfläche $(\infty P\breve{\infty})$ r, das Orthodoma t und das Klinodoma s), wurde durch Messung gefunden

$$M : M = 135^0\ 14'\ 30''$$
$$t : t = 112^0\ 7'\ 30''.$$

H. Rosenbusch.

Fr. Eichstädt: Skaanes Basalter mikroskopiskt undersökta och beskrifna. Mit einer Kartenskizze und zwei colorirten Tafeln. 69 S. (Sveriges geologiska undersökning. Ser. C. Afhandlingar och Uppsatser Nr. 51.) Stockholm 1882.

Da in neuerer Zeit mehrfach der Versuch gemacht ist (von Penck, Lang, Heinemann, Klockmann, Remelé, Geinitz), die erratischen Basaltblöcke des norddeutschen Diluvium auf ihre ursprüngliche Lagerstätte zurückzuführen, so wird die vorliegende ausführliche Beschreibung der schwedischen Basalte den Flachlandsgeologen ein sehr erwünschtes und höchst werthvolles Vergleichsmaterial liefern; dem Petrographen bietet dieselbe wenig neues, wie auch nach der grossen Zahl der bisher ausgeführten Basaltuntersuchungen kaum anders zu erwarten ist.

Basalte beschränken sich in Scandinavien auf den mittleren Theil der schwedischen Provinz Schonen (besonders auf die Sectionen Linderöd und Trolleholm) und kommen auch hier nur auf einem verhältnissmässig kleinen Gebiet von etwas mehr als 460° K. M. vor; um so grösser ist die Zahl der Kuppen, nämlich etwa 70. Dieselben setzen in dem vorwiegend aus Eisengneiss bestehenden Urgebirge auf, welches aber so stark von glacialen Bildungen bedeckt ist, dass die Art des Vorkommens, die Grenzen, etwaige Contacterscheinungen sich kaum irgendwo studiren lassen. Begleitende Tuffe sind nur von Djupadal bekannt*. Die einzelnen Vorkommnisse werden fast alle als isolirte Eruptionen gedeutet, nicht etwa als Reste einer oder einiger Decken, da weder in ihrer Anordnung, noch in der Vertheilung der zahlreichen Varietäten irgend welche Regelmässigkeit

* Vgl. dieses Jahrbuch 1882. I. -67-.

herrscht. Die Structur ist vorherrschend dicht; nur hie und da lassen sich Olivin, Augit oder Plagioklas makroskopisch erkennen oder treten Einschlüsse von Olivinfels, Mandeln mit Calcit, Zeolithen und delessitartigen Mineralien auf; je glasreicher der Basalt, desto vollkommener der muschelige Bruch; säulenförmige Absonderung ist nicht selten; doleritisches Korn, poröse oder schlackige Varietäten, eigentliche Mandelsteine fehlen ganz. Vielfache Zwillingsbildung tritt am Augit sehr häufig auf, besonders bei Anwesenheit einer farblosen Basis.

Der Verf. schliesst sich streng der Zirkel'schen Gruppirung an und unterscheidet demnach zunächst vier Hauptreihen: Feldspath-, Nephelin-, Leucit- und Glasbasalte (Limburgite), welche alle vertreten sind. Unter den Nephelinbasalten sind einige plagioklasführend (Nephelinbasanite). Des weiteren wird nach der Structur unterschieden.

Plagioklasbasalte mit rein krystallinisch-körniger Structur oder mit krystallinisch-körniger Grundmasse und porphyrischem Plagioklas kommen nur an je einem Punkte vor (Randsliderna, loser Block bei Bjerröd). Recht reichlich vertreten ist die Vitroporphyrstructur, bei welcher die individualisirten Gemengtheile in einer stark entwickelten Glasmasse mit Entglasungsproducten oder ohne solche liegen. Es werden zwei Abtheilungen unterschieden, eine mit dunklem und eine mit farblosem Glase, letztere meist biotitführend. Vereinzelt tritt spärlicher Nephelin auf, in echten Plagioklasbasalten wohl eine sehr seltene Erscheinung. Mehrfach wurden in nicht unbedeutender Zahl dunkelbraune, schwach pleochroitische Leisten oder sechsseitig begrenzte Blättchen beobachtet, die sich nicht bestimmen liessen. Als Gründe gegen die Auffassung als Biotit werden angeführt: das Fehlen von Spaltungsrissen und der Pleochroismus hexagonal begrenzter Blättchen; letzterer Grund ist selbstverständlich ohne jegliches Gewicht, da zweiaxiger Magnesiaglimmer sehr viel häufiger ist, als scheinbar einaxiger. Bei farbloser Basis scheint der Verf. zweifelhaft zu sein, ob dieselbe nicht z. Th. als Nephelin aufzufassen sei. Eine Reaction auf Natrium hätte doch in jedem Falle ausgeführt werden müssen; denn wenn Verfasser auch ganz richtig bemerkt, dass ein leicht zersetzbares Glas ebenfalls natriumhaltig sein könne, so würde doch ein fehlender oder sehr spärlicher Gehalt an Natrium beweisen, dass Nephelin nicht vorliegt. Zu einer neuen, in Schweden sehr häufigen Structurgruppe werden die Plagioklasbasalte mit „vitrokrystallinischer Porphyrstructur" vereinigt, welche sich von der vorigen dadurch unterscheiden, dass die grösseren Krystalle nicht in reinem Glase, sondern in Glas mit Mikrolithen von Augit, Plagioklas und Magnetit liegen. Daneben kommen auch grössere Partien von Glas vor ohne letztere, und nur diese Partien enthalten zuweilen gut ausgebidete Nepheline. Eine Abtheilung führt braunes, die andere farbloses Glas, letztere auch etwas Biotit und mikroskopische Zeolithmandeln. Die fünfte Gruppe (mit Intersertalstructur), in welcher die Basis als eine ganz untergeordnete Zwischenklemmungsmasse vorhanden ist, tritt nur an wenigen Punkten auf.

Die meisten Nephelinbasalte enthalten reichliches licht gelbbraunes

Glas und dann gut ausgebildete Nepheline; in dieser Abtheilung finden sich auch die Nephelinbasanite. Bemerkenswerth ist ein Einschluss von Gabbro, der in der Gegend anstehend nicht bekannt ist. Basisfreie Varietäten mit nicht individualisirtem Nephelin und mit etwas Plagioklas sowie Magnesiaglimmer beschränken sich auf eine Fundstätte (Bosjökloster).

Leucitbasalte kommen nur bei Sandaakra vor; sie sind um so ärmer an Leucit, je reichlicher Plagioklas auftritt, der übrigens local ganz fehlt, und führen Basis in sehr wechselnder Menge. Nach der Beschreibung scheinen hier Leucitbasalt und Leucitbasanit in einander überzugehen.

Reichlicher als die letzten beiden Reihen sind Limburgite (Glasbasalte) vertreten, hie und da mit etwas Plagioklas und mit farblosem Glase, welches in der Regel frei von Entglasungsproducten ist. Verf. spricht sich, wie es auch sonst in letzter Zeit mehrfach geschehen ist, gegen die den Limburgiten von Rosenbusch gegebene Stellung im petrographischen System aus. Indem er aber die „Glasbasalte" zu einer den Feldspath-, Nephelin- und Leucitbasalten äquivalenten Reihe vereinigt, trennt er sie thatsächlich im Rosenbusch'schen Sinne von jenen ab. Ref. kann auch keinen Grund einsehen, weshalb Basalte ohne feldspathartigen Gemengtheil nicht eine ebenso gute Gruppe bilden sollen, als solche, bei denen dieser verschiedener Art ist. Der Mangel absolut scharfer Grenzen würde sich gegen jede andere Gesteinsgruppe mit gleichem Recht anführen lassen.

Erwähnt mag noch werden, dass Fischer zuerst angegeben hat, Chromeisen sei durchscheinend, nicht Dathe oder Thoulet, welche der Verfasser allein citirt. E. Cohen.

E. Hussak: Über einige alpine Serpentine. (Mineral. und petrogr. Mittheil. herausgegeben von G. Tschermak. 1882. V. 61—81.)

Die untersuchten alpinen Serpentine sind z. Th. von Stache und Teller gesammelt worden, z. Th. identisch mit den schon von Drasche beschriebenen *. Die meisten Vorkommnisse erwiesen sich mit Sicherheit als umgewandelte augitreiche Schiefergesteine, denen sowohl die Maschenstructur der Olivinserpentine, als auch die charakteristischen accessorischen Gemengtheile Picotit und Chromit vollständig fehlen. Salit und Diallag sind die ursprünglichen Bestandtheile und haben nicht, wie Drasche annahm, Bastit geliefert, sondern Antigorit, der in der Regel von Talk begleitet wird **.

Der Antigorit ist optisch zweiaxig mit kleinem Axenwinkel, negativ, schwach doppelbrechend; Dispersion der Axen deutlich ($\rho > v$); Interferenzfarben blaugrau; Auslöschung parallel; Pleochroismus ziemlich kräftig (lauchgrün, wenn das Licht parallel, farblos, wenn es senkrecht zu den Spaltungsdurchgängen schwingt). Die Blättchen sind meist nach

* Vgl. dieses Jahrbuch 1872. 322.

** Vgl. auch die älteren Angaben von Becke über Drasche's Gruppe der serpentinähnlichen Gesteine. Dieses Jahrbuch 1879. 923.

zwei auf einander senkrechten Richtungen orientirt, wodurch charakteristische rechtwinklige Maschennetze entstehen.

Hierher gehören die Serpentine folgender Fundorte: Sprechenstein, Sattelspitz, Wurmthaler Jöchl bei Sterzing — Rother Kopf im Zillerthal — Mittersberg im Salzburgischen — Windisch-Matrey und Heiligenblut im Grossglockner-Gebiet — wahrscheinlich auch Gerölle von Innsbruck und Brixlegg.

Am besten liess sich der Verlauf der Veränderung an dem Sprechensteiner dichten Serpentin und an den letzteren einhüllenden grünen und blauen Schiefern studiren. Die Schiefer enthalten neben Antigorit noch reichlich Salit (geringer Gehalt an Thonerde und Eisen wurde chemisch nachgewiesen), ferner Chlorit, Magnetit, Diallag und Staurolith; im dichten Serpentin ist der Salit grösstentheils verschwunden, es tritt etwas Talk auf, Diallag und Staurolith fehlen.

Die Serpentine von Schloss Matrey und von Pfuns nahe bei Matrey sind entsprechend den Angaben von Drasche Olivinserpentine mit porphyrartig eingesprengten Krystallen eines vollständig in Talk mit etwas Serpentin und Magnetit umgewandelten Pyroxen. Doch wird das die Maschenstructur erzeugende Mineral als Magnesiaglimmer, nicht als Magnetit (Drasche) bestimmt. Andere serpentinähnliche Gesteine aus der Gegend erwiesen sich als Chloritgesteine.

Analysen wurden ausgeführt von dem grünen Serpentinschiefer von Sprechenstein (1), dem dichten Serpentin desselben Fundortes (2), dem durch die Thoulet'sche Lösung aus dem Schiefer isolirten Antigorit (3) und dem serpentinähnlichen Chloritgestein von der Brennerlinie (4). Die Analysen 1—3 stimmen sehr nahe überein mit den früher von Drasche mitgetheilten Analysen der Serpentine von Heiligenblut und von Windisch-Matrey*.

	1.	2.	3.	4.
Kieselsäure . .	40.90	40.55	41.14	29.62
Eisenoxyd . .	7.68	10.40	3.01	41.92
Thonerde . .	2.08	2.70	3.82	
Kalk	0.30	4.40	0.40	0.30
Magnesia . .	37.45	33.59	39.16	18.23
Wasser . . .	12.15	9.32	11.85	10.34
	100.56	100.96	99.38	100.41

E. Cohen.

L. Ricciardi: Composition chimique des diverses couches d'un courant de lave de l'Étna. (Compt. rend. XCIV. Nr. 25. 1657—1659. Juni 1882.)

In einem Steinbruch, genannt Botte dell' acqua, bei Catania wird der 18 m hohe Strom von 1669 abgebaut. Zuoberst schlackig (a), etwas tiefer zwei poröse Lagen (b und c), zusammen und mit der Schlackenkruste 3 m

---

* Dieses Jahrbuch 1872. 322 f.

mächtig, dann dicht und porenfrei in einer Mächtigkeit von 14 m (d), wird der Strom dann wieder nach unten feinblasig (e) und an der Basis schlackig (f). Jede dieser Abtheilungen wurde analysirt. Sie entwickeln keinen H_2S mit HCl, wie das die Vesuvlaven durchschnittlich thun sollen, wohl aber etwas Ammoniak bei Erwärmung mit Ätzkali; qualitativ wurde Chrom, Kobalt und Nickel nachgewiesen. Quantitativ wurde in den verschiedenen Niveaus des Stromes gefunden:

	a	b	c	d	e	f
SiO_2	49.54	49.25	49.81	49.27	49.18	49.74
TiO_2	0.63	0.72	0.66	0.75	0.81	0.68
SO_3	0.06	0.03	0.08	0.05	0.07	0.08
P_2O_5	1.19	1.27	1.28	1.21	1.26	1.17
Al_2O_3	16.53	16.49	16.24	16.33	16.01	16.30
Fe_2O_3 und Mn_2O_3	10.71	9.45	7.76	4.79	7.67	9.92
FeO	2.41	3.63	4.52	7.78	5.47	2.95
CaO	12.30	12.33	12.39	12.53	12.71	12.37
MgO	4.70	4.77	4.03	4.52	4.71	4.63
K_2O	0.66	0.71	0.63	0.79	0.62	0.58
Na_2O	1.63	1.52	1.72	1.65	1.57	1.73
Glühverlust . .	0.11	0.18	0.19	—	0.06	0.09
Sa.	100.47	100.62	99.31	99.67	100.14	100.24
sp. G. bei 22° .		2.765	2.766	2.839	2.810.	

Die Zusammensetzung ist also die gleiche in demselben verticalen Querschnitt. Da aber der Verf. früher und bei erneuter Untersuchung den Gehalt an P_2O_5 an verschiedenen Stellen des Stromes zwischen 2.84 und 1.17 schwankend fand, so zieht er daraus den Schluss, dass Laven ein und derselben Eruption an verschiedenen Stellen gesammelt, verschiedene chemische und mineralogische Zusammensetzung haben können. Ref. würde diesen Schluss aus der angeführten Thatsache nicht ziehen. **H. Rosenbusch.**

M. Bauer: Über die geologischen Verhältnisse der Seeberge und des Galberges bei Gotha, mit besonderer Berücksichtigung der Lagerungsverhältnisse. (Jahrb. d. Kön. Preuss. geolog. Landesanstalt und Bergakademie zu Berlin für 1881. 330. 2 Taf. Karte und Profile.)

Die Umgegend von Gotha ist durch das Vorkommen der sonst in Thüringen wenig verbreiteten Liasformation und durch complicirte Lagerungsverhältnisse ausgezeichnet. Schon frühzeitig hat sie daher die Aufmerksamkeit der Geologen auf sich gezogen und eingehend hat sich mit derselben der um die geologische Erforschung Thüringens so verdiente Heinr. Credner beschäftigt. Aus neuerer Zeit stammt eine Arbeit von Tegetmeyer. Dem Verf. selbst ist die Aufgabe zugefallen, die Gegend von Gotha geognostisch aufzunehmen und er hat schon einmal über interessante Funde von Versteinerungen berichtet. (Zeitschr. d. deutsch. geolog. Gesellsch. XXXI. 482. 1879.)

In der vorliegenden Arbeit werden zunächst die auftretenden Formationen beschrieben. Es ist Trias und Lias entwickelt. Von ersterer der mittlere und obere Muschelkalk in ähnlicher Ausbildung wie sonst in Thüringen, unterer Keuper (Lettenkohlengruppe), mittlerer Keuper (Gypskeuper und Steinmergelkeuper), oberer Keuper (Rhät). Das Rhät ist recht vollständig vorhanden und seine Schichtenfolge hat sich theils nach Angaben Credner's, theils nach Beobachtungen des Verfassers in den zahlreichen Sandsteinbrüchen genau feststellen lassen. Auch eine Anzahl Versteinerungen sind aufgefunden.

Unterer Lias (früher nicht vom Rhät getrennt) war schon länger bekannt. Bauer fand nun aber auch mittleren Lias auf, so dass im Ganzen folgende Horizonte erkannt wurden: Psilonotenschicht, Schichten des *Ammonites angulatus*, Schichten des *Am. Bucklandi*, Schichten des *Pentacrinus tuberculatus* (wahrscheinlich), Vertreter des Quenstedt'schen β, γ und δ. Diese letzten Abtheilungen konnten nur nach Erfunden von der Halde eines nicht mehr zugänglichen Stollens bestimmt werden. Dass zwischen diesen Vorkommen bei Gotha und anderen wie bei Eisenach, in Hessen und bei Göttingen einst ein Zusammenhang bestand, somit eine ausgedehnte Decke von Lias im mittleren Deutschland vorhanden war, ist nicht zu bezweifeln.

Ein zweiter Abschnitt schildert nun die zahlreichen Verwerfungen, welche besonders in der Umgebung der oben in der Überschrift genannten Berge bemerkbar werden. Wir verweisen auf die eingehende Beschreibung und besonders die Karte und die Profile.

Im letzten Abschnitt endlich kommt der Verf. auf die Ursachen der Störungen zu sprechen. Er verwirft die von Credner angenommenen Hebungen und die Hebung und Beckenbildung, wie sie Tegetmeier voraussetzt, um dann den Nachweis zu versuchen, dass alle die Störungen lediglich auf Einbrüche in Folge der Auswaschungen von Gyps zurückzuführen sind. Wir möchten unsererseits nur hinzufügen, dass Störungen in Folge von Auswaschungen allerdings sehr häufig stattgefunden haben. Sie werden keinem aufmerksamen Beobachter eines Triasgebietes entgangen sein. Nicht wahrscheinlich ist diese Erklärung aber für solche Gegenden — darunter auch von der Trias eingenommene — in denen sich ein auffallender Parallelismus der Verwerfungen zeigt. **Benecke.**

Enr. Abella Casariego: Memoria acerca de los criaderos auriferos del segundo districto de Mindanao, Misamis. (Über die goldführenden Sande des zweiten Distriktes von Mindanao, Misamis.) (Bol. de la Comision del Mapa geolog. de España. Tom. VI. Madrid. 1879. 46 p.)

Der genannte Theil der Insel Mindanao wird von alten Thonschiefern nicht näher bestimmten Horizontes und von marinen Miocän-Gebilden aufgebaut, welche von Alluvialmassen zweier verschiedener Altersstufen überlagert werden. In den älteren Diluvialablagerungen findet sich das Gold; der Goldgehalt des Sandes wechselt sehr und steigt stellenweise auf 4—5 gr im Cubikmeter. Goldhaltige Quarzgänge mit O—W-Streichen setzen am Cerro Pigholugan in den steil aufgerichteten NNW—SSO streichenden Thonschiefern auf. **J. Macpherson.**

Luiz N. Monreal: Datos geologicos acerca de la Provincia de Leon. (Zur Geologie der Provinz Leon.) (Ibidem Tom. VI. 1879. 10 p.)

Nach mehreren Mittheilungen über die Topographie und Geologie der Gebirge der Provinz Leon erwähnt Verf. den Fund von *Artrophycus Harlani* in den silurischen Quarziten des Cantabrischen Gebirges.

J. Macpherson.

Joaquin Gonzalo y Tarin: Reseña fisico-geologica de la Provincia de Badajoz. (Topographisch-geologische Skizze der Provinz Badajoz.) (Ibidem. Tom. VI. 1879. 24 pag.)

In der Provinz Badajoz, einer der umfangreichsten Spaniens, unterscheidet der Verfasser die folgenden Formationen: 1) Das krystalline Grundgebirge aus Gneiss, Amphibolit, Glimmerschiefer und körnigem Kalk; 2) Silur, welches in den östlichen Theilen der Provinz zuunterst aus Thonschiefern und Grauwacken, zuoberst aus Quarziten und stellenweise aus Thonschiefern mit *Calymene Tristani*, in den westlichen gleichfalls zuunterst aus Thonschiefern und Grauwacken, zuoberst aus mächtigen Kalksteinen und Thonschiefern aufgebaut wird, welche die Fortsetzung der *Archaeocyathus*-Schichten der benachbarten Provinz Sevilla darstellen; 3) Devon, welches nur in unbedeutenden Resten auftritt; 4) Carbon, gleichfalls nur in kleinen, noch unabgebauten Becken. Ausserdem werden tertiäre und quaternäre Ablagerungen, ferner zahlreiche Granitmassen, sowie Porphyr- und Diabas-Vorkommnisse erwähnt. J. Macpherson.

Lucas Mallada: Reconocimiento geologico de la Provincia de Cordoba. (Geologischer Überblick über die Provinz Cordoba.) (Ibidem. Tom. VII. 1880. 55 pag.)

Wie alle Provinzen des Guadalquivir-Thales, zerfällt auch Cordoba in zwei verschiedene Regionen, die des rechten Ufers, welche fast ausschliesslich aus paläozoischen Ablagerungen, und die des linken Ufers, welche aus mesozoischen und känozoischen Schichten aufgebaut wird. In der ersten Region, derjenigen der Sierra Morena, unterscheidet Verfasser 1) Krystalline Schiefer. 2) Glänzende Thonschiefer in grosser Mächtigkeit, welche er für cambrisch hält; im Contact mit Graniten werden sie vielfach Chiastolith-führend. 3) Silur. Alle diese Schichtencomplexe werden von gewaltigen Massen von Graniten, Porphyren und Diabasen durchbrochen. 4) Die Kohlenformation von Espiel und Belmez, das bedeutendste Becken des südlichen Spaniens, welches von NW nach SO die ganze Sierra Morena durchquert. — In der südlichen Region der Provinz werden in den Niederungen das Miocän und die Nummulitenformation, in den höheren Theilen die jurassischen Kalke und die Trias beschrieben. Am stärksten entwickelt sind die Juraschichten, in denen die *Terebratula diphya* herrscht. J. Macpherson.

Luis M. Vidal: Reseña fisica y geologica de las Islas de Ibiza y Formentera. (Topographische und geologische Skizze der Inseln Ibiza und Formentera.) (Ibidem. Tom. VII. 1880.)

Ibiza, die wichtigere der beiden Inseln, wird von den Schichten des unteren und oberen Neocom gebildet, neben denen vereinzelt und auf kleinen Räumen auch Oxford und Trias ansteht. Vielfach werden diese älteren Gebilde von oberflächlichen quaternären Ablagerungen und recenten Alluvionen bedeckt. An zahlreichen Punkten treten überdiess Ophite und Amphibol-Andesite zu Tage, die stets von Gyps und bunten Thonen begleitet werden.

Die Insel Formentera ist vollständig von jungen Sedimenten bedeckt; nirgends treten ältere Massen auf, als die quaternären Conglomerate und Kalke. J. Macpherson.

Joaquin Gonzalo y Tarin: Reseña fisica y geologica de la Provincia de Granada. (Topographische und geologische Skizze der Provinz Granada.) (Ibidem. Tom. VIII. 1881. 131 pag.)

Nach einem Überblick über die Orographie dieser Provinz, welche die bedeutendsten Erhebungen der Halbinsel umfasst und im Mulhacen der Sierra Nevada die Höhe von 3482 Meter erreicht, werden die in ihr auftretenden Formationen beschrieben. Dieselben zerfallen in zwei Zonen, eine südliche, welche die Sierra Nevada bildet, und eine nördliche, welche aus jener Gebirgsgruppe besteht, die sich mit dem Quellgebiet des Guadalquivir verbindet. — In der ersten Zone beschreibt Verf. die aus Glimmerschiefer und Phylliten bestehende archäische Schichtengruppe der Gebirgsaxe und die von ihm für silurisch gehaltenen kalkigen Thonschiefer und Kalke des äusseren Gürtels des Gebirges. Doch ist zu bemerken, dass Verf. selbst in der östlichen Fortsetzung dieses Schichtensystems in der Sierra de Gader Triasfossilien entdeckte. — Die nördliche Zone wird von Trias und Jura zusammengesetzt; in dem letztern unterscheidet Verf. Lias, mittleren Jura und Tithon. Ausserdem werden Kreide- und Nummuliten-Bildungen in geringer Ausdehnung, sowie das in dem centralen Theile der Provinz stark entwickelte marine und lacustrine Miocän und Pliocän besprochen. J. Macpherson.

Manuel Hernandez de Castro: Pruebas paleontologicas de que la Isla de Cuba ha estado unida al Continente americano y breve idea de su constitucion geologica. (Paläontologische Beweise für den früheren Zusammenhang der Insel Cuba mit dem amerikanischen Continente und kurzer Überblick über ihren geologischen Bau.) (Ibidem. Tom. VIII. 1881. 15 pag.)

Aus dem Auftreten gewisser fossiler Reste von Säugethieren (*Megaloenus rodens, Myomorphus cubensis* etc.) in den Miocänschichten Cuba's schliesst Verf. auf den Zusammenhang der Insel Cuba mit dem amerikanischen Continent in dieser Zeit. Vorher geht eine kurze Skizze über

die hauptsächlichsten Formationen der Insel, unter denen die paläozoischen, jurassischen, kretacischen und tertiären Schichten, sowie viele Massengesteine, Granite, Syenite, Serpentine, Diorite und Andesite genannt werden. J. Macpherson.

Carlos Castel y Clemente: Descripcion fisica, geognostica, agricola y forestal de la Provincia de Guadalajara. (Topographische und geognostische Beschreibung der Provinz Guadalajara mit Rücksichtnahme auf ihren Landbau und ihre Forstwirthschaft.) (Ibidem. Tom. VIII. 1881.)

Begrenzt von den Ausläufern der Sierra Carpetana, in denen die archäischen Granit- und Gneissmassen unter dem Flötzgebirge verschwinden und den aus mesozoischen Schichten aufgebauten Hochebenen, welche das Flussgebiet des Tajo von den Zuflüssen des Mittelmeers trennen, bildet das Centrum der Provinz Guadalajara ein grosses lakustres Tertiärbecken, eingefasst im Norden von den archäischen und silurischen Schichten der Cordillera central, im NO und O von den Trias-, Jura- und Kreide-Gebilden der mediterranen Wasserscheide. Nach eingehender topographischer Schilderung wird eine Beschreibung sämmtlicher auftretender Formationen (nur die Dyas fehlt) gegeben. J. Macpherson.

Felipe M. Donayre: Descripcion fisica y geologica de la Provincia de Avila. (Ibidem. Tom. VIII. 1881. 298 pag.) Mit 1 geolog. Karte und 5 Tafeln.)

Der Aufsatz zerfällt in drei Theile. In dem ersten Theile giebt Verf. eine eingehende Darstellung der Orographie und Hydrographie der Provinz Avila, deren südlicher Theil der Sierra Carpeto-Betonica zugehört, die in der Sierra de Gredos 2668 Meter Meereshöhe erreicht. — In dem 2., wesentlich geologischen Theile wird zunächst das grosse Granitmassiv der Provinz mit den untergeordneten Gneiss- und Glimmerschiefergebieten und den zahlreichen Durchbrüchen von Porphyr und basischen Massengesteinen besprochen, welches die Hauptmasse der Cordillere bildet. Davon trennt Verf. die Phyllite und Thonschiefer, welche in geringer Ausdehnung auftretend zum Cambrium gestellt werden. Den ganzen Norden der Provinz bedecken in weiter Verbreitung am Fusse der Cordillere quaternäre Gebilde. — Der dritte Theil der Arbeit bespricht die Verhältnisse des Ackerbaus und der Forstwirthschaft in der Provinz Avila. J. Macpherson.

Lucas Mallada: Reconocimiento geologico de la Provincia de Navarra con carta geologica de la misma en 1: 800000. (Ibidem. Tom. IX. 1882. pg. 1—64.)

Im Norden der Provinz und gewissermassen als Fortsetzung der Pyrenäenkette werden mehrere Granitinseln und ein ausgedehntes Gebiet von Silur- und Devonschichten beschrieben, auf welchen Trias, Jura und

Kreide ruhen. Die letztere bildet ausser zahlreichen isolirten Ablagerungen auf dem Gipfel des Gebirges ein breites Band am ganzen Südabhang der Pyrenäen. Mit diesem parallel verlaufen zwei Bänder von lakustrem Eocän und marinem Miocän, welche Formationen mit einzelnen Fetzen von quaternären Ablagerungen in den Thälern den ganzen Süden der Provinz einnehmen. — Ausserdem werden eine Anzahl von Ophitdurchbrüchen ausgezeichnet, die in allen älteren Formationen ohne Unterschied auftreten. Bei Salinas de Oro nimmt er an, dass der Ophit das lakustre Eocän durchbrochen habe. J. Macpherson.

Luis M. Vidal: Estudio geologico de Caldas de Malavella. (Ibidem. Tom. IX. pag. 65—91. 1882.)

Verf. beschreibt die topographischen und geologischen Verhältnisse des Badeortes Caldas de Malavella. Die Gegend besteht aus Granit mit einzelnen Basaltgängen und quaternären Ablagerungen. Die Quellen (alkalinische Säuerlinge), mit einer Temperatur von z. Th. 59° C., liegen im Granit. J. Macpherson.

Adan de Yarza: Edad de las ofitas. (Alter der Ophite.) (Ibidem. T. IX. pag. 93—96. 1882.)

Sich auf die zahlreichen Fälle stützend, in denen der Ophit gangartig die Kreideschichten durchbricht, behauptet Verf. für dieses Eruptivgestein ein postcretacisches Alter. J. Macpherson.

Joaquin Gonzalo y Tarin: Edad geologica de las calizas metaliferas de la Sierra de Gader en la Provincia de Almeria. (Geologisches Alter der erzführenden Kalksteine der Sierra de Gader in der Provinz Almeria.) (Ibidem. T. IX. pag. 97—111. 1882.)

Die Frage nach dem Alter der Kalksteinzone in der Sierra de Gader und um die Sierra Nevada scheint einer sicheren Lösung entgegenzugehen. Verf. fand an verschiedenen Stellen der genannten Sierra Versteinerungen, welche der mittleren Trias angehören. Darunter wurden bestimmt *Myophoria laevigata*, *Myophoria Goldfussi*, *Avicula Bronni*, *Hinnites*, *Monotis* etc. J. Macpherson.

A. Portis: Sui terreni stratificati di Argentera (valle della stura di Cuneo). (Mem. d. R. Accademia delle scienze di Torino. Ser. II. T. XXXIV. 1881.)

Die Arbeit zerfällt in zwei Theile. Der erste handelt von jenen dolomitischen Kalken, welche seit langem schon in weiterer Verbreitung auf der Südseite der westlichen Alpen bekannt waren und eine Anzahl schlecht erhaltener Versteinerungen geliefert haben. Michelotti und Gastaldi beschäftigten sich unter Anderem mit denselben. Der Verfasser hat im Sommer 1880 längere Zeit auf die Ausbeutung einiger Punkte im oberen Theil des Thales der Stura von Cuneo, nahe der französischen

Grenze, verwendet, und es ist ihm gelungen, eine grosse Anzahl von Versteinerungen zu erhalten, welche er eingehend bespricht. Der Erhaltungszustand ist allerdings ein mangelhafter, wie beinahe bei jeder Art hervorgehoben wird und die Altersbestimmung ist schliesslich mehr das Resultat verschiedenartiger und mühsamer Combination als directer Folgerung. Es werden nicht weniger als 118 Nummern aufgezählt, darunter 12 Foraminiferen (nur Gattungsnamen), 5 Pharetronen, 7 Echinodermen, 13 Bryozoen, 26 Coelenteraten mit den Gattungen *Thalaminia*, *Sphaeractinia* und *Ellipsactinia*, deren Bestimmung, so lange die Structur nicht sehr gut erhalten ist, wohl äusserst schwierig sein dürfte. Besser soll es mit den Mollusken (Cephalopoden, Gastropoden, Lamellibranchier und Brachiopoden) stehen. Hier scheint allerdings eine Fauna vorzuliegen, welche zum mindesten auf oberen Jura deutet und dass man da zuerst an Tithon denkt, wie Verfasser weiter ausführt, liegt auch nahe. Hoffentlich gelingt die Auffindung besser erhaltener Exemplare von Formen wie dem angeführten *Ammonites lithographicus*, um die von dem Verfasser mit so viel Mühe im Felde wie zu Hause betriebenen Studien zu einem ganz befriedigenden Abschluss zu führen. Abbildungen würden dann dem Verständniss sehr zu Hilfe kommen und ein sicheres Urtheil gestatten.

In dem zweiten Theil der Arbeit geht der Verfasser näher auf die Lagerungsverhältnisse ein. Es treten über dem Gneiss triadische Kalke mit Trochiten auf (Muschelkalk), welche von Gypsen überlagert werden. Eine weitere Abtheilung umfasst Lias und Dogger, welche die Unterlage des Tithon bilden, dessen Fauna im ersten Theil der Arbeit besprochen wurde. Von tertiären Schichten ist das Eocän durch Nummulitenkalk, Flysch und Macigno vertreten. Porphyre liegen unmittelbar auf dem Gneiss. Über Versteinerungen aus diesem Eocän haben wir bereits früher in diesem Jahrbuch 1881. I. -276- berichtet.

Eine geologische Karte und eine Profiltafel erläutern die ziemlich verwickelten Lagerungsverhältnisse. **Benecke.**

E. Kayser: Beiträge zur Kenntniss von Oberdevon und Culm am Nordrande des rheinischen Schiefergebirges. (Jahrbuch d. K. Preuss. geolog. Landesanstalt und Bergakademie zu Berlin f. d. J. 1881. 51.)

Die Anführung mehrerer Exemplare eines bis 2″ langen *Productus* aus devonischen Schichten der Grube Prinz Wilhelm bei Velbert nördlich Elberfeld in einer Arbeit des Herrn Matthias veranlasste den Verfasser, das für die Grenzbildungen zwischen Devon und Culm klastische Gebiet zwischen Düsseldorf und Iserlohn einer genaueren Durchforschung zu unterziehen. Die allgemeine Gliederung der Schichten ist hier nach von Dechen folgende:

Hangendes	Flötzleerer Sandstein.
Culm	Alaunschiefer, Posidonienschiefer, Kieselschiefer und Kalksteine.

Kohlenkalk	Obere Dolomitzone (Ratingen). Hellfarbiger, dickbankiger, halbkrystallinischer Kalkstein.
Oberdevon	Blaulichgraue bis grünliche Schiefer und Sandsteine mit schwachen Kohleneinlagerungen. An der Basis: schwärzliche, sandige Schiefer (Äquivalente des Flinz?).
Liegendes	Stringocephalenkalk.

Am schwankendsten ist die Ausbildung des Culm, ein Verhältniss, welches ja gerade für diese Gegend wiederholt hervorgehoben ist. Die Verbindung mit dem Kohlenkalk ist übrigens eine viel innigere als man bisher annahm. Nicht nur findet zwischen beiden Complexen das bekannte Wechseln der Mächtigkeit statt, auch petrographisch greifen dieselben so ineinander, dass mitten zwischen dem Kohlenkalk mehr oder minder mächtige Einlagerungen von Kieselschiefer oder schwarzem alaunschieferartigem Schiefer vorkommen. Im Oberdevon fällt die bedeutende Entwicklung des sog. Kramenzel gegenüber jener des Flinz auf.

Im Oberdevon von Velbert wurden 18 Arten gesammelt, darunter eine Anzahl Brachiopoden, so dass hier zum ersten Mal aus der oberen Abtheilung des rheinischen Oberdevon, der Clymenienstufe, eine reiche Brachiopodenfauna bekannt wird. Die Fauna von Velbert erinnert in dieser Beziehung an die Faunen des südlichen Belgiens, Nordfrankreichs und des nördlichen Devonshire's (Pilton- und Marwood-Schichten). Es werden von Brachiopoden angeführt: *Spirifer Verneuili* Murch.; *Spiriferina laminosa* M'Coy?; *Athyris concentrica* B.; *Rhynchonella pleurodon* Phill.; *Orthis bergica* n. sp. (verglichen mit der englischen oberdevonischen *O. interlineata* Sow. und der amerikanischen oberdevonischen *O. tioga* Hall, welch letztere sich nur durch einen zweitheiligen Schlossfortsatz unterscheidet); *Streptorhynchus umbraculum* Schl.; *Chonetes* sp.; *Strophalosia productoides* Murch.; *Productus praelongus* Sow. (diese Art vielleicht mit dem carbonischen *Pr. mesolobus* Phill. identisch); *Productus* sp.; *Crania trigonalis* M'Coy; *Cyathophyllum* sp.

Die aus 29 Arten bestehende Fauna des Culm von Aprath erregt insofern Interesse, als durch dieselbe ein ähnlich inniger Zusammenhang mit der Kohlenkalkfauna nachgewiesen wurde, wie bei der Fauna von Herborn (vergl. die Arbeit des Herrn von Koenen in diesem Jahrbuch 1879. 309). Die aufgefundenen *Cladochonus Michelini*, *Chonetes Buchiana*, *C. polita*, *C. Laguessiana*, *Strophomena analoga* und *Streptorhynchus crenistria* sind für Culm ungewöhnlich und stellen bekannte Kohlenkalkarten dar. **Benecke.**

C. E. Weiss: Die Steinkohlen-führenden Schichten bei Ballenstedt am nördlichen Harzrande. (Jahrb. d. Königl. Preuss. geologischen Landesanstalt und Bergakademie zu Berlin für 1881. 595. Holzschnitt.)

Am Rande des Harzes treten als älteste Glieder Rothliegendes und kohlenführende Schichten auf, welch letztere am bedeutendsten bei Ilfeld auf der Südseite des Gebirges entwickelt sind. Diese Ilfelder Schichten sind früher allgemein zur Steinkohlenformation gerechnet worden, später aber, beim Erscheinen der ersten Blätter der neuen geologischen Specialkarte, wurde sie zum Rothliegenden gezogen. In der vorliegenden Arbeit untersucht der Verfasser, welcher von diesen beiden Auffassungen der Vorzug zu geben sei und weiter, welches Alter den anderen steinkohlenführenden Ablagerungen am Harz, nämlich Grillenberg (Blatt Wippra) auf der Südseite und Meisdorf und Opperode (Blätter Pansfelde und Ballenstedt) auf der Nordseite zukommen.

Die älteren Listen der bei Ilfeld gefundenen Pflanzen von F. A. Roemer und Geinitz sprachen für eine Zugehörigkeit zur Kohle; wenn man später eine Zutheilung zur Dyas vorzog, so geschah dies der Lagerung wegen. Weiss bezeichnet eine Revision der Pflanzenliste als nothwendig, um ein definitives Urtheil zu gewinnen. Das gleiche gilt von dem anderen Punkte auf der Südseite, nämlich Grillenberg. Hier fand sich *Stigmaria ficoides* und einige andere Arten, welche bei Ilfeld vorkommen, so dass das definitive Urtheil über das Alter, es möge ausfallen wie es wolle, doch für Ilfeld und Grillenberg das gleiche sein wird.

Anders liegen die Dinge auf der Nordseite des Harzes. Weiss stellt in folgender tabellarischer Form die allerdings wenig zahlreichen Pflanzen von Meisdorf und Opperode zusammen:

	Obere Steinkohlenform.	Rothliegendes
Sigillaria Brardi	+	+
Sigillarienblätter	+	?
Sigillariostrobus	+	?
Asterophyllites equisetiformis	+	+
Macrostachya sp.	+	0
Pecopteris arborescens	+	+
P. abbreviata	+	+
P. oreopteroides	+	+
Sphenopteris germanica	0	+
S. erosa	0	+
Callipteris catadroma	0	+

Von Meisdorf beschreibt Weiss eine neue Art: *Sphenopteris Losseni*, welche wir in die Tabelle nicht aufgenommen haben. Das Stück kann mit *Sph. Naumanni* verglichen werden, unterscheidet sich aber hinreichend von dieser Art. Wir verweisen auf die Beschreibung und den neben wiedergegebenen Holzschnitt des Originals.

Wenn man in der obenstehenden Tabelle das Hauptgewicht auf solche Arten legt, wie *Sphenopteris erosa, Callipteris catadroma* und überhaupt solche, welche sich einerseits an *Callipteris conferta*, andererseits an *Sphenopteris Naumanni* anlehnen, so erhält man den Eindruck, dass die Floren von Meisbach und Opperode in das Rothliegende gehören. Ein

Vergleich zwischen Ilfeld und Grillenberg einer-, den eben genannten Localitäten andererseits führt aber zum Resultat, dass jene einen älteren

Fig. 1.
Callipteris catadroma.

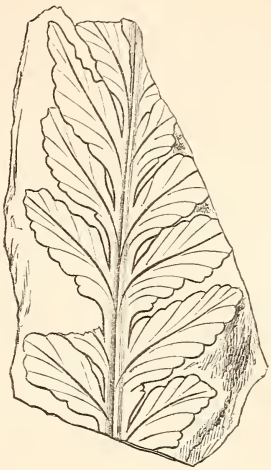

Fig. 2.
Sphenopteris Losseni.

Habitus haben, etwa den der Ottweiler Schichten, dass also eine grössere Verschiedenheit des Alters zwischen den Steinkohlenbildungen des nördlichen und südlichen Harzrandes besteht, als man gewöhnlich annimmt.

Benecke.

Sachse: Über die Entstehung der Gesteinsmittel zwischen Steinkohlenflötzen. (Zeitschr. für d. Berg-, Hütten- und Salinenwesen im Preuss. Staate, Bd. XXX. 1882. S. 271.)

Es ist eine merkwürdige Thatsache, dass der Zug der mächtigen liegenden Flötze von Oberschlesien im Osten bei Dabrowa in Russisch-Polen nur ein einziges 18 M. mächtiges Flötz aufweist, das nach Westen zu durch Verstärkung seiner Zwischenmittel sich in mehrere derart spaltet, dass der Reihe nach bei Rosdzin 2, bei Königshütte 3 und bei Zabrze 4 gesonderte Flötze entstanden sind, bei einer räumlichen Entfernung der beiden Endpunkte von 30 Kilometer (4 Meilen). In einer jüngeren Stufe der Steinkohlenformation, 2 Meilen südlich bei Orzesche zeigt das Leopoldsflötz ein weiteres Beispiel der Theilung in 2 Bänke in Begleitung von Umständen, welche den Verfasser zu besonderer Erklärung der Entstehung des zwischengelagerten Bergmittels geführt haben. — Sohle und Dach des Flötzes ist eine schwache Schieferthonschicht, fester Sandstein folgt im Liegenden und Hangenden. Der Flötzkörper wird aus 6 durch Schieferthonmittel getrennten Kohlenlagen von zusammen 1,9—2 M. Mächtigkeit gebildet, die Mittel 6—14 Cm. Diese Mittel wie die unterste Bank im Dach bestehen fast ganz

aus Pflanzenresten und zwar in der Hauptsache aus platt gedrückten Sigillarien, welche in ungeheurer Masse und bis zu gewaltiger Grösse (bis mehr als 10 M. Länge bei 60—80 Cm. Breite) bei meist recht guter Erhaltung der Rinde zusammenliegen und einen umgeworfenen Wald darstellen. Das zweitunterste Bergmittel nun ist es, welches in der Grube „Vereinigte Friedrich und Orzesche" durch Verstärkung das Flötz in eine Unter- (1 M.) und Oberbank (0,9 M.) trennt. Die Zunahme ihres Abstandes beträgt bei 150 M. Entfernung 6 M. und steigt nach Westen auf mehr als 12 M. Diese eingeschaltete Schicht zeigt zuunterst 10—12 Cm. Schieferthon als Dach der Niederbank mit denselben Eigenschaften wie die vorher genannten, und besteht im Übrigen aus thonigem, grobschiefrigem Gestein mit selteneren Pflanzenresten, darunter schiefstehende Stammstücke, auch grosse Calamiten. Im Hangenden und Liegenden der zu Ober- und Unterbank getrennten Flötze befinden sich unverändert dieselben Schichten wie da, wo beide noch vereinigt waren.

Der Verfasser sucht hieraus die wahrscheinliche Bildung dieser zu Schichten verstärkten Mittel abzuleiten. Als Ursache für das Umlegen der Wälder, wie sie hier im Dach der Flötzbänke so auffallend beobachtet werden, könnten nur Stürme oder Wasserfluthen herangezogen werden. Da die ersteren andere Erscheinungen ergeben haben würden, bleiben nur die letzteren übrig und es fragt sich, ob es Meeres- oder Süsswasserfluthen waren, welche hier spielten. Gerade in Oberschlesien hat man zwar Spuren der Meeresthätigkeit in dem Vorkommen mariner Reste in den tieferen Schichten der Flötzablagerung (Sattelflötzzug und darunter), allein weiter aufwärts fehlen dieselben und Überschwemmungen durch das Meer würden nur bei seichtem Wasser die Bäume umlegen und nicht auch zugleich fortführen, würden jedoch nicht genug thoniges Material zur Bedeckung liefern können, vielmehr nur sandiges, da das erstere tieferes und ruhiges Wasser erfordert. So gilt es dem Verfasser als ausgemacht, dass nur Süsswasserfluthen von Flüssen das Umlegen der Sigillarienwälder und den Absatz der Schichten bewirkt haben können. Namentlich Rückstauungen von Flusswassern in der Nähe ihrer Mündungen, die durch Versandungen daselbst hervorgerufen werden können, oder kleine Seebecken, in die der Fluss mündet, werden bei starken Wasserzugängen Überschwemmungen und Niederlegen der Wälder herbeiführen, aber gleichzeitig nur feinste Mineraltheile, Thon, zum Absatz bringen statt sandiger oder Geröll-Massen. Eintritt und Begrenzung, Unterbrechung und Wiederholung solcher Stauungen und Fluthen lassen sich leicht vorstellen, ihre Dauer wird sehr verschieden gewesen sein und nach jeder Überfluthung eines Moores konnte die selbe Moorbildung sich weiter fortsetzen. Dann tritt später ein Flötz mit thonigem Zwischenmittel auf. Beendet wurde die Moorbildung dagegen durch Hochfluthen bei Durchbrüchen des Flusses über seine Ufer, und dann war auch die Flötzbildung damit zunächst abgeschlossen. Hochfluthen brachten sandige und conglomeratische Massen zum Absatz, seichte Wasser dagegen thonige Schichten. — Was das Leopoldflötz anlangt, von dem die Betrachtung ausgeht, so glaubt der Verfasser sogar Spuren eines Flussbettes

erkennen zu können. Sein Erklärungsversuch ist besonders bemerkenswerth, weil die zahlreichen Senkungen und Hebungen, welche man gewöhnlich für die Herleitung der Zwischenmittel der Flötze wie für die Absätze zwischen den Flötzen annimmt, damit unnöthig werden, die Möglichkeit der Durchführung dieser andern Erklärung durch Stauungen von Flusswassern vorausgesetzt. Das Auskeilen oder Verschwinden einzelner Mittel- oder Zwischenschichten zwischen den Flötzen zu erklären, hat bei Sachse'scher Annahme ebenfalls keine besondere Schwierigkeit. Weiss.

Kusta: Zur Kenntniss des Nyrschaner Horizontes bei Rakonitz. (Sitzungsber. d. k. böhm. Ges. d. Wiss. zu Prag 1882. 9. Juni.)

Der Verf. liefert weitere Belege für die geologische Gleichheit der beiden weit von einander entfernten Kohlenablagerungen von Nyrschan und Lubna (s. dies. Jahrb. 1881. II. -76-). Zunächst werden petrographische Analogieen geltend gemacht und mehrere Leitschichten nachgewiesen. Über die Flora des Hangendschiefers der Lubnaer Kohle giebt Verf. an, dass er 71 Pflanzenarten gefunden habe, deren häufigste sind: *Calamites Suckowi*, *Asterophyllites equisetiformis*, *Sphenophyllum saxifragaefolium*, *Stachannularia*, *Sphenopteris acutiloba*, *Alethopteris Serli*, *Pecopteris Pluckeneti* oder *Odontopteris bifurcata*, *Oligocarpia dentata*, *Hawlea pulcherrima*, *Dictyopteris Brongniarti*, *Neuropteris gigantea*, *Lepidophloios laricinus*, *Lepidodendron rimosum*, *Lepidophyllum horridum* O. F., *Lepidostrobus variabilis*, *Stigmaria ficoides*, *Carpolites coniformis*, *Cordaites borassifolius*. Diese Flora stimmt mit der von Nyrschan ziemlich überein. Das Lubnaer Kohlenflötz wurde früher für beträchtlich älter gehalten (liegender Flötzzug oder etwa Radnitzer Schichten); Spuren liegender Flötze glaubt aber K. jetzt entdeckt zu haben. Die Plattelkohle von Nyrschan ist bei Lubna ein bituminöser Brandschiefer; Cannelkohle ist an beiden Orten vorhanden; rothe Porphyrtuffe sind dem Lubnaer Horizont eigenthümlich. In einer sehr detaillirten Tabelle aller „charakteristischen Schichten des Rakonitzer Steinkohlenbeckens" mit daneben gestellten „identischen oder analogen Vorkommen in den andern carbonpermischen Gegenden Mittelböhmens", die wir leider nicht reproduciren können, wird der Versuch gemacht, eine vollständige Übersicht der sämmtlichen Schichten des Rakonitzer Beckens und der verwandten anderer Orte zu geben. Es finden sich danach bei Rakonitz die 4 Kohlenhorizonte, welche man in Böhmen unterscheidet (von oben nach unten); 1. Kounower, 2. Lubnaer, 3a. Obere Radnitzer, 3b. Untere Radnitzer Schichten. Das Lubnaer Kohlenflötz der „Lubnaer Schichten" hat sein Analogon im Nyrschaner Kohlenflötz des Pilsener Beckens, einschliesslich der Cannelkohle und Gaskohle (Plattelkohle Nyrschan, Brandschiefer Lubna). Weiss.

E. E. Schmid: Das ostthüringische Röth. (Jahrb. d. Kön. Preuss. geolog. Landesanstalt und Bergakademie zu Berlin für 1881. 92.)

Die Kartenaufnahmen in Thüringen, zumal im östlichen Theil dieses Landes, gaben dem Verfasser Gelegenheit zu sehr eingehender Untersuchung der Buntsandsteinformation. In der vorliegenden Arbeit wird eine ausführliche Darstellung des Röth, besonders in petrographischer Hinsicht entworfen.

Mittlerer und oberer Buntsandstein sind in Thüringen, wie anderswo nicht schwer zu trennen. Anders steht es mit dem unteren Buntsandstein, wenn demselben bezeichnende Einlagerungen, wie die Harzer Rogensteinbänke fehlen, oder derselbe eine dem mittleren Buntsandstein ähnliche Beschaffenheit annimmt. Welche Bänke bei der Kartenaufnahme als Grenzbildungen festgehalten werden konnten, wird zunächst auseinandergesetzt.

Als Bestandtheile des Röth führt der Verfasser auf: Glimmer und seine Abkömmlinge, Feldspath und seine Abkömmlinge, Mikroschörlit, Mikrozirkon (diese beiden jedoch nur nach äusserer Formähnlichkeit so benannt), Mikrolithen, Quarz und Chalcedon, Dolomite, Malachit, Gyps, Bittersalz, Cölestin, Apatit, Steinsalz, Ferrit, Rothkupfererz, Schwefelkies, Kupferkies, Kupferglanz, Bleiglanz, Schwefel, Gagat, Bitumen. Für die eingehenden, bei jedem Mineral gemachten Mittheilungen verweisen wir auf die Arbeit selbst.

Wie die Mineralien werden dann in gleich ausführlicher Weise die an der Zusammensetzung der Röthgruppe theilnehmenden Gesteine besprochen: Mergel, Letten, thonige Dolomite, Dolomite, oolithischer Dolomit mit Quarz, sandige Dolomite, Sandsteine, Hornsteindolomit, Hornsteine, Gyps und Gypsmergel. Einige Analysen sind beigegeben.

Folgende organische Reste sind im ostthüringischen Röth aufgefunden worden:

Saurier; Fische cf. *Gyrolepis*; *Goniatites tenuis* Seeb.; *Natica gregaria* Schl. sp.; *N. Gaillardoti* Schl.; *N.* sp; *Corbula* sp.; *Myophoria costata* Zenk.; *M. elongata* Gieb.; *M. laevigata* Schl. sp.; *M. vulgaris* Schl. sp.; *M. orbicularis* Br.; *Cucullaea nuculaeformis* Zenk.; *Modiola triquetra* Seeb.; *Gervillia socialis* Schl. sp.; *G. costata* Schl. sp.; *Pecten Albertii* Goldf.; *Discina* sp.; *Lingula* cf. *L. tenuissima* Br., *calcarea* Zenk. und *keuperea* Zenk.; *Rhizocorallium jenense* Zenk.; unbestimmbarer Pflanzenstengel.

Einige genaue Profile der Schichtenfolge des Röth machen den Schluss der Arbeit aus. **Benecke.**

J. Starkie Gardner: Suggestions for a revised Classification of the British Eocenes. (Geol. Magazine 1882. October. S. 466.)

Starkie erklärt mit Recht die ältere Gliederung des englischen Eocän für ganz willkürlich und künstlich und schlägt nun für den Fall der Annahme der Oligocän-Abtheilung folgende Eintheilung des Eocän vor:

Ober-Eocän	Ober-Bagshot*
	Mittel-Bagshot (= Bracklesham, Boscombe und Bournemouth)
Mittel-Eocän	Unter-Bagshot (= Pfeifenthon von Alum-bay etc.)
	London Clay

* Gewöhnlich wird der Barton-clay = Ober-Bagshot gestellt.

Unter-Eocän { Oldhaven Series / Woolwich und Reading Series / Thanet Series

Der Barton-Thon soll dann mit zum Oligocän gerechnet werden, weil die Fauna zwischen diesen und den älteren Schichten einen grossen Wechsel zeigen soll. Letzteres kann Referent freilich nicht zugeben, zumal wenn die gleichalterigen belgischen und französischen Faunen mit berücksichtigt werden, und es erscheinen die von Starkie sonst hervorgehobenen Bedenken am besten durch Annahme der Paleocän-Abtheilung beseitigt, welche dann Alles umfasst, was unter dem London-clay resp. den Sables inférieurs (Cuise-Lamotte) liegt, so dass dann das Eocän enthält:

Ober-Eocän = Barton-clay und glass-housesand (Sables moyens — gypse marin).
Mittel-Eocän = Bracklesham-Bournemouth (Calcaire grossier).
Unter-Eocän = London-clay und Lower-Bagshot (Sables inférieurs).

v. Koenen.

Lebesconte: Note stratigraphique sur le bassin tertiaire des Environs de Rennes [Ille-et-Vilaine]. (Bull. Soc. géol. de France. III. sér. t. VII. S. 451 ff. Okt. 1880.)

Verfasser beschreibt eingehend die Lagerung der Tertiärbildungen der Gegend von Rennes, besonders bei Lormandière, Chausserie und Chartres, über den Cambrischen Schichten. Da auf einer Seite des Dioritganges, welcher den Bleiglanz und Blende-führenden Gang von Pontpéau begleitet, die Cambrischen Schichten zu Tage stehen, auf dessen anderer Seite aber erst unter 140 Meter thoniger Sande anstehen, und da die letzteren sich in den Gang hineinziehen, glaubt Lebesconte, der Gang sei erst nach Ablagerung der Tertiärschichten (Miocän) entstanden.

(Daubrée bemerkt dazu Seite 464, dass ganz alte Gangspalten sich oft in jüngerer Zeit wieder öffneten, während G. v. Trommelin anscheinende Unregelmässigkeiten in der Lagerung der Tertiärschichten eher durch Auswaschungen, als durch Verwerfungen erklärt wissen will.)

Ferner werden genaue Profile der Steinbrüche von „la Chausserie“ und „Lormandière, sowie einer Anzahl kleinerer Aufschlüsse mitgetheilt, woraus sich ergiebt:

unter 4 Meter Diluvium
3 M. Faluns. Miocän,
13,7 M. brackische und Süsswasser-Thone und Kalke,
ca. 16 M. Kalke
5—9 M. hydraulische Kalke
4—8 M. Thon z. Th. mit Kalkknollen } Mittel-Oligocän mit *Natica crassatina* etc.

Das Eocän ist im Dép. Ille-et-Vilaine noch nicht nachgewiesen, und würde nur etwa nahe den Flussmündungen zu erwarten sein.

v. Koenen.

Hébert: Sur le groupe nummulitique du Midi de la France. (Bull. Soc. géol. de France. 3 série. t. X. 1882. S. 364—391. No. 6 u. 7.)

Hébert bemerkt, dass die Nummuliten-Bildungen im südlichen Frankreich 4 verschiedene Typen zeigen: 1. den der Chalosse, bes. bei St.-Sever (Landes), beschrieben von Delbos, 2. den der Haute-Garonne und Arriège; aufgeschlossen besonders bei Aurignac, Ausseing, Mas d'Azil und Lavelanet, untersucht von Leymerie und Pouech, 3. den der Corbières und der Montagne Noire, vielfach bekannt gemacht durch d'Archiac, Leymerie und Mathéron, 4. den der Gegend von Nizza, welcher noch am wenigsten bekannt ist, und auch jetzt nicht besprochen werden soll.

Von den 4 Etagen Leymerie's: 1. (zuunterst) Milioliten-Kalk, 2. Alveolinenkalk, 3. Mergel mit Operculinen und Nummuliten, 4. Conglomerat von Palassou hatte d'Archiac, da die unterste derselben in den Corbières nur rudimentär entwickelt ist, diese mit der folgenden verbunden. In den mittleren Pyrenäen sind die Nummulitenschichten am vollständigsten entwickelt, und beschreibt deshalb Hébert zuerst aus diesem Profile, und zwar a. zwischen Saint-Jean-de-Verges und Varilhes (bei Foix); b. von Fabas nach Norden; c. nördlich von Lavelanet. Alle 4 Profile enthalten die 4 Etagen Leymerie's, aber noch specieller gegliedert, und das erste zeigt darüber noch Conglomerate, welche die Basis des Miocän darstellen. Die 3 unteren Etagen haben im Profil c. eine Mächtigkeit von 370 Metern. Von Fossilien werden besonders die Echiniden angeführt. Der schon vergebene Gattungs-Name *Neolampas* wird in einer kurzen Anmerkung durch *Oriolampas* Munier-Chalmas ersetzt.

Sodann wird ein Profil vom rechten Ufer des Louts, zwischen Louer und Préchacq in der Chalosse näher beschrieben, welches schon Tournouër (Bull. Soc. Géol. de France 2 sér. t. XVII. S. 504) bekannt gemacht hatte. Die 4 von Tournouër unterschiedenen Etagen: 1. zuunterst, Schichten mit Krebsen und *Ostrea rarilamella*, 2. Mergel mit *Serpula spirulaea* und *Ostrea subvesicularis*, 3. Kalke mit *Nummulites perforata* etc., 4. Asterien-Kalk mit *Natica crassatina*. Hébert bemerkt zunächst, dass auf dem Gebiete von Montaut und St. Aubin die obersten, mergeligen Kreideschichten die grossen *Orbitoïdes gensacica* und *O. socialis* enthalten, dass hierauf an der Brücke von Louer 8—10 Meter Kalke mit *Oriolampas Michelini* folgen, und dann, 300—400 Meter weiter hin 25—30 Meter Mergel und Mergelkalke mit zahlreichen Versteinerungen, *Xanthopsis Dufouri* (nicht aber *Ostrea rarilamella*), weiter hinauf mit *Nummulites complanata*, *Orbitoïdes* und *Conoclypus Leymerianus*, Cotteau, *Serpula spirulaea* hat Hébert nicht gefunden. Die Kalke mit *Nummulites perforata* sah Hébert nicht aufgeschlossen, wohl aber weiterhin am Moulin-de-Pelette den Ostreenkalk mit zahlreichen *Macropneustes* und Gastropoden, und nach Préchacq zu Mergel und Kalke mit *Serpula spirulaea* und *Orbitoïdes sella*, und Austern, so dass Hébert hier folgendes Profil annimmt: 1. Kalk mit *Oriolampas Michelini*, 2. Mergel mit *Xanthopsis Dufouri*, 3. Kalk mit *Nummulites complanatus* und Echiniden, 4. Mergel mit *Serpula spirulaea*. Drittens werden aus den Corbières und der Mon-

		Pariser Becken.	Montagne noire und Corbières.	Pyrénées centrale.	Chalosse und westliche Pyrenäen.	Vicentin.
Ober-Eocän		Gyps mit *Palaeotherium*.	Kalk mit *Palaeotherium* von Mas-Saintes-Puelles.	Poudingue de Palassou.	Sandsteine mit *Eupatagus* von Biarritz.	3. Korallenkalk von Crosara. 2. Mergel von Priabona.
		Mariner Gyps.	Molasse von Castelnaudary.		Mergel mit *Serpula spirulaea* von Biarritz und Préchacq.	1. Schichten m. *Cerith. Diaboli*.
Untere Etage des Mittel-Eocän	Obere Etage	Kalk von St. Ouen, Sande von Beauchamp.	*Lophiodon*-Sandsteine von Issel. Kalk von Ventenac.	Fehlt.	Fehlen resp. noch nicht genügend untersucht.	Kalk von Ronca mit *Corbis major*.
		Oberer Calc. grossier.	Blaue Mergel mit *Operculina granulosa*.	Mergel mit *Operculina granulosa*.		Cerithien-Schichten von Ronca.
	Unterer Calc. grossier	Obere Zone mit Milioliten.	Kalk mit Alveolinen und *Amblypygus dilatatus*.	Oberer Kalk mit Echiniden und Alveolinen.	Kalk mit *Conoclypus conoïdeus* und *Nummulites perforata*.	Schichten von San-Giovanni-Ilarione.
		Mittlere Zone mit *Cerithium giganteum*.	Milioliten-Kalk (rudimentär).	Milioliten-Kalk.	Mergel mit *Xanthopsis Dufouri*.	Lignite von Monte-Pulli.
		Untere Zone mit *Nummulites laevigata*.	Fehlt.	Unterer Echiniden-Kalk mit *Oriolampas Michelini*.	Kalk mit *Oriolampas Michelini*.	Kalk von Brusa-Ferri und Kalk von Monte-Postale.
?		Lücke.	Lücke.	Lücke.	Lücke.	Schichten von Monte-Spilecco mit *Rhynchonella polymorpha*.

tagne-Noire Profile mitgetheilt, und zwar A. von Capendu nach dem Mont Alaric, grösstentheils schon von D'Archiac beschrieben; B. am Südabhang des Mont Alaric; C. von Moussoulens nach Montolien, 101 m SO fast nur Kalke mit Alveolinen überall reich an *Nummulites atacica* Yoly et Leym. und *N. Ramondi* Arch. (im Vicentinischen und den Basses-Pyrénées tritt dafür in demselben Echiniden-Horizont *N. complanata* und *perforata* auf), und auch an Echiniden nach oben mit mehreren Bänken von *Ostrea stricticostata*; D. bei Conques; dort ist der Miliolitenkalk sehr schwach entwickelt, der Alveolinenkalk dagegen mächtig und besonders reich an Echiniden: *Conoclypus conoïdeus*, *C. Leymerianus* Cott., *C. marginatus* Desor, *Amblypygus dilatatus* Ag., *Echinantus Cottaldi* Héb. (*E. testudinarium* Cott. non Brong.), *E. scutella* Lam. sp., *E. Delbosi* Des., *E. Oosteri* Loriol, *E. Wrighti* Cott., *E. Rayssacensis* Cott., *Cassidulus ovalis* Cott., *Echinolampas Leymeriei* Cott., *Hemiaster Alarici* Tallav., *Periaster obesus*? Leym., *P. Orbignyanus* Cott., *P. Raulini* Cott., *Schizaster Beloutschistanensis* Haimes, *Prenaster alpinus* Des., *Pericosmus Leymeriei* Cott., *Cyphosoma atacicum* Cott., *C. Noguesi* Cott.; dann die Mergel mit *Operculina granulosa* mit *Rhabdocidaris Pouechi* Cott., *Porocidaris pseudoserrata*, *Cidaris spirigera* Dames, *Leiopedina Tallaviosi*, und der Süsswasserkalk von Ventenac, dieser liegt unter den Schichten mit *Lophiodon*.

Bei Issel finden sich als älteste Tertiärbildungen 24 M. röthliche Sande, Conglomerate und Thone, etwas höher ca. 24 M. Molasse (M. de Carcassanne mit Geröllelagen und Knochen von *Lophiodon* und Krokodil. Darüber folgt, 50—60 Meter mächtig, die weiche sandige Molasse von Castelnaudary, in welcher vom „canal du Midi" bis Ricaud Gyps gebrochen wird, während bei Ricaud Sandsteine mit Palmenresten (oberer Theil der Molasse de Carcassanne) gewonnen werden. Die Ebene von Mas-Saintes-Puelles liegt auf mergeligem Gyps, welcher, 6 Meter mächtig, nahe dem Bahnhofe ausgebreitet worden und Cyclostomen etc. enthält. Die Hügel daneben bestehen aus mindestens 21,5 Meter röthlicher oder heller Kalke, Thone und Mergel, welche hier und bei Villeneuve-la-Comptal nach Noulet ausser einigen 20 Land- und Süsswasserschnecken, z. Th. dem Calc. gross. von Provins angehörig, *Palaeotherium magnum*, *P. medium* und *P. minus* Cuv., *Pterodon dasyuroïdes* Bl., *Chaeropotamus parisiensis* Cuv. und *Dichobune leporinum* Cuv. enthalten und somit dem oberen Gyps des Pariser Beckens entsprechen.

Diese Süsswasserbildung erstreckt sich längs der Westseite der Montagne-Noire über Saint-Paulet bei Tréville in das Becken von Castres. Hieraus stellt Hébert dann das auf voriger Seite wiedergegebene Schema zusammen, indem er seine alte Gliederung des Eocän beibehält.

Carez bemerkt hierzu (S. 391), dass das Profil von Foix ganz dem von ihm in Spanien (Lérida etc.) untersuchten gleicht. **von Koenen.**

Torcapel: Le plateau des Coirons (Ardèche) et ses alluvions sous-basaltiques. (Bull. Soc. géol. de France. 3 série. t. X. No. 6. S. 406.)

Die Kette von Coirons erstreckt sich in gerader Linie von der Rhône bis zum Mont-Mézenc, in den Cevennen und trägt oben einzelne Basalt-Kuppen und Wälle, vermuthlich die Reste einer früheren ausgedehnteren Decke. Eine solche ist auf 17 Kilom. Länge vom col d'Escrinet bis zur Rhône noch vorhanden, dabei bis zu 13 Kilom. breit. Die Mächtigkeit wird auf bis zu 200 M. taxirt. Der Basalt ist meist dicht, dunkel, sehr hart, säulenförmig abgesondert, zeigt gelegentlich Labrador- und Augit-Krystalle und selten kleine Olivin-Körner. Dergleichen wechselt aber mit feldspathreicheren Strömen und tuffartigen Massen. In zahlreichen Schluchten sieht man, dass der Basalt auf sehr verschiedenen Schichten liegt, bei l'Escrinet auf Trias, auf Oxfordien, auf oberem Jura-Kalk, Neocom etc., und endlich bei Rochemaure etc. auf Eocän-Mergeln und Conglomeraten, letztere 300 Meter mächtig, wesentlich nur Brocken von Kreidegesteinen enthaltend. Eine Reihe von Verwerfungen, welche die Kette quer durchsetzen, sind vorbasaltisch.

Am ganzen Südrande des Plateaus, bei Mirabel, Saint-Jean-le-Centenier, Saint-Pons, Buy-d'Aps, Aubignas und Chénavari liegen nun unter den ersten Basalttuffen des Randes Fluss-Ablagerungen, Quarz-Sande und Kies, von dem Granit, Gneiss, Quarz etc. der Cevennen herrührend, nebst einzelnen Basaltgeröllen.

Dalmas (Itinéraire du géologue de d'Ardèche) hatte schon bei Mirabel gefundene Knochen und Zähne von *Mastodon* und *Machairodon* erwähnt. Jetzt sind nun in einer Schlucht bei dem Dorfe Aubignas Tuffe mit Brocken einheimischer Gesteine und fossilen Holzes, Früchten von *Terminalia* und Euphorbiaceen, *Helix Chaixi* Mich., sowie, nach Bestimmungen A. Gaudry's, Reste von *Machairodus cultridens* und *?M. megatherion*, *Hyaenarctos?*, *Ictitherium*, Nagethier, *Rhinoceros Schleiermacheri*, *Hipparion gracile*, *Sus major? Tragocerus amaltheus*, *Cervus Matheroni*, *Dremotherium Pentelici*, *Testudo* gefunden worden. Diese Schichten seien demnach Ober-Miocän (richtiger Pliocän), nach Gaudry gleichaltrig mit denen von der Croix-Rousse bei Lyon, Argeliers (Aude), Mont Lébéron (Vaucluse), Pikermi, Baltavar in Ungarn, Concud in Spanien. Hierdurch wird die Anfangszeit dieser Basalteruption festgestellt. **von Koenen.**

P. Cogels und E. van den Broeck: Observations géologiques faites à Anvers à l'occasion des travaux de creusement des nouvelles cales sèches et de prolongement du bassin de Kattendyk. (Ann. Soc. R. malacologique de Belgique. t. XIV.)

Die Ausgrabungen haben nur den obersten Theil der Sande mit *Isocardia cor* erreicht, welche hier hell-grünlich-grau waren und zahlreiche Reste von *Balaenoptera musculoides* Van Ben., *B. borealina* V. Ben., *B. rostratella* V. Ben., *Balaenula balaenopsis* V. Ben., sowie einige für Belgien resp. für diesen Horizont neue Mollusken lieferten. Die Mächtigkeit der Schicht war nicht zu ermitteln, vermuthlich aber bedeutend, da der dar-

unter liegende Sable noir schnell nach Norden einfällt. In einem Bohrloche bei Utrecht betrug die Mächtigkeit dieser Schicht über 130 Meter!

Darüber folgen die Sande mit *Fusus contrarius (Trophon antiquum)* zuunterst ca. 0,30 m grauer, sandiger Thon mit dicht angehäuften Geröllen, abgerollten Knochen und Conchylien, besonders *Pecten*-Arten. Austern und Cyprinen, dann glaukonitische Sande, 1,5—2 m mächtig, nach oben hin in Folge von Zersetzung des Glaukonits gelblich oder röthlich gefärbt, mit vielen Muschelfragmenten und vereinzelten, aber zweischaligen *Pecten, Tellina* etc.

Darüber folgen 0,50 m Sand, ganz erfüllt von zahllosen zerbrochenen oder ganzen resp. selbst zweischaligen Muscheln, diese oft verdrückt. Darin fanden sich weiter Holzstücke und abgeriebene Knochen und Zähne und ein Steinkern von *Schizaster Scillae* Des Moul. Die obersten Tertiärschichten waren grünlichgraue oder röthliche thonige Sande, höchstens 1 m mächtig, ziemlich arm an Conchylien. Überdeckt wurden die Pliocän-Schichten von jungen Quartärbildungen, und zwar 1) grobe Sande und Kies mit umgelagerten und abgeriebenen Tertiär-Knochen und Muscheln; 2) mehr oder minder grobe Quarzsande, mit unregelmässigen Einschlüssen von grünem Thon, nach oben in feinen grauen, deutlich geschichteten Sand übergehend, 2—2,5 m mächtig; 3) dunkler Schlamm oder Torf, oft über ein Meter mächtig, mit zahlreichen herbeigeschwemmten Baumstämmen; 4) Polder-Thon mit Flussmuscheln, über seiner Mitte aber auch mit einer dünnen Schicht mit Hydrobien und *Cardium*.

In einem Profile am Bassin des Kattendyck waren in einer tiefen Auswaschung z. Th. der Torf und alle darunter liegenden Schichten bis incl. der obersten Tertiärsande fortgeführt, und deren Stelle jetzt von Kies Sand, dunkelem Schlamm, hellem Sande, schwarzem Schlamm mit *Valvata* ausgefüllt. Hierüber folgte dann erst der Polder-Thon, das jüngste Schelde-Alluvium.

Ein Situationsplan und 3 Tafeln mit Profilen machen alle diese Verhältnisse sehr anschaulich.

Besonders werthvoll wird die Arbeit noch durch genaue Listen der Versteinerungen, welche in den einzelnen Tertiär- und Quartär-Schichten, resp. an den verschiedenen Stellen gefunden wurden. v. Koenen.

E. van den Broeck: Note sur les levés géologique de MM. van Ertborn et Cogels. (Ann. Soc. R. Malacologique de Belgique 1882.)

Verfasser hat im Verein mit Rutot die 18 bisher von O. van Ertborn und Cogels fertig gestellten und publicirten Blätter der geologischen Karte des nördlichen Belgiens revidirt, und zwar mit tieferen Bohrlöchern, als jene sie ausführen konnten, und bemerkt nun, dass die im Untergrunde unter dem Campinien etc. angeführten Eocän-, Oligocän-, Miocän- resp. Pliocänschichten grössentheils noch Quartärschichten sind, dass dagegen die als Quaternaire fluviatile angeführten Bildungen auf dem südlichen Theile von Blatt Lille dem oberen Scaldisien angehören u. dergl. mehr.

v. Koenen.

E. van den Broeck: Exposé sommaire des observations et découvertes stratigraphiques et paléontologiques faites dans les dépots marins et fluvio-marins du Limbourg pendant les années 1880—81. (Annales de la Soc. roy. Malacologique de Belgique 1882.)

Bei den geologischen Aufnahmen für die geol. Karte Belgiens hat v. d. Broeck gefunden, dass zwischen Tongern und Bilsen das Oligocän auf den weissen Mergeln des Heersien liegt, und dass das marine Tongrien inf. auch weiter nach Westen (bei Butiel) Formen wie *Ostrea ventilabrum* enthält, allerdings nur in Abdrücken, dass es aber, wie van Ertborn und Cogels schon angegeben haben, nach oben ohne deutliche stratigraphische Grenze in die brackischen Schichten des Tongrien supérieur überzugehen scheint.

Zu diesem werden alle brackischen und Süsswasserbildungen des Oligocän jener Gegend gerechnet und darin 3 Zonen unterschieden, 1. Sande mit Cyrenen und Cerithien etc., besonders gut entwickelt zwischen Löwen und Tirlemont, 2. grüne und schwärzliche Thone (Argile de Hénis), z. Th. sandig resp. mit Sandschichten. Besonders in diesen *Cytherea incrassata*, Cerithien, Melanien, Neritinen, Planorben, Cyrenen etc., 3. mehr oder weniger sandige Thone mit Cyrenen oder Cerithien (Vieux-Jonc und Klein-Spauwen gut entwickelt im eigentlichen Limburg). Dem Rupélien werden nur die marinen Schichten, vom Kies und Sand mit *Pectunculus* an, zugerechnet. In diesem finden sich oft aus dem Tongrien ausgewaschene brackische Formen. Der *Nucula*-Thon ist als eine lokale Einlagerung darin anzusehen.

Ein oder zwei Geschiebe-Lagen in den Sanden werden als Grenze des Rupélien inf. und Rupélien sup. angesehen, so dass Letzteres mit Sanden beginnt, dann schiefrige Thone und darüber stellenweise wieder thonige Sande enthält. Die Sande des Boldérien beginnen mit Gerölle-Lagen, die auch Verfasser an einer Reihe von Stellen beobachtet hat, und die ihm an zwei Stellen schwer bestimmbare Abdrücke mariner Bivalven lieferten. (Vielleicht sind dies oberoligocäne Formen, wie sie Referent, nach Analogie von Elslos, seit langen Jahren in diesem Horizont erwartet.)

Dem Système Anversien werden jetzt die oberen Schichten des Bolderberg zugerechnet, und hat van den Broeck über der altbekannten Schicht mit Geröllen und zerbrochenen resp. abgeriebenen Schalen noch eine versteinerungsreiche Schicht gefunden. Die Sande des Diestien mit *Terebratula grandis* erklärt er mit einigem Vorbehalt für Littoralzone der Sande mit *Isocardia cor* (Scaldisien inférieur). von Koenen.

E. van den Broeck: Diestien, Casterlien et Scaldisien. (Ann. Soc. R. Malacologique de Belgique t. XVII 1882.)

Verfasser hat auf den aus Diestien bestehenden Hügeln bei Heys-op-den-Berg und Beersel, 30 Kilom. südwestl. Antwerpen, gefunden, dass auf der Höhe der Hügel eigenthümliche ca. 5 Meter mächtige Schichten liegen,

nämlich helle Glimmersande, wechselnd mit festen, dichten, violetten oder fleisch- bis lachsfarbenen Letten, welche von Cogels und van Ertborn für Quaternaire moyen resp. fluviatile gedeutet worden waren. Durch Bohrlöcher von mehr als 8 Meter Tiefe ergab sich jedoch, dass diese Schichten allmählich in Diestien übergehen.

Ähnliche Schichten fanden sich aber auch in dem tiefen Einschnitte der Bahn von Hérenthals nach Turnhout über dem Diestien. In den neuen Bassins von Antwerpen hatte Cogels schon 1874 eine Zwischenzone zwischen dem Sand mit *Isocardia cor* und dem Diestien mit *Terebratula grandis* angenommen. Gerölllagen oder Auswaschungen fehlen zwischen diesen beiden Zonen, sind aber stets über den Sanden mit *Isocardia cor* und unter denen mit *Fusus contrarius (Trophon antiquum)* vorhanden, so dass erstere weniger eng mit den letzteren als mit dem Diestien verbunden sind.

van den Broeck bezeichnet nun die Sande mit *Isocardia cor* als „Casterlien", ev. als obere Abtheilung des Diestien.

Dumont hatte aber unter Casterlien Verschiedenerlei verstanden, so dass dieses neue Casterlien als C. (van den Broeck) anzuführen wäre.

von Koenen.

Bucca: Appunti geologici sui monti del Gargano in provincia di Capitanato. (Bolletino Com. Geol. 1881. 556.)

Am Monte Gargano lassen sich von den jüngeren zu den älteren Bildungen fortschreitend, nachstehende Formationsglieder unterscheiden.

1. Röthlicher oder gelblicher Thon, ohne Fossilien, örtlich entwickelt wahrscheinlich eocän.

2. Nummulitenkalk, dicht, bisweilen unmittelbar auf Hippuritenkalk liegend und dann petrographisch kaum von demselben zu unterscheiden.

3. Weisser kreidiger Kalkstein mit zahlreichen Echinodermen, bisweilen vollständig von dem Aussehen der weissen Kreide.

Schizaster Archiaci	*Echinolampas affinis*
„ *vicinalis*	*Porocidaris Veronensis*
„ *globulus*	*Pseudodiadema Susseri*
Echinopsis Gacheti	Unteres Eocän.

4. Hippuritenkalk.

5. Plattige Mergelkalke mit Schichten und Knollen von Feuerstein. Hie und da Nester von *Rhynchonella peregrina* (Neocomien).

6. Dichter Kalkstein mit Kalkspathadern, Nerineen, *Diceras Escheri*, *Natica immanis* (Tithon).

8. Schwarzer krystallinischer und dichter „gelber Kalkstein" ohne Fossilien, wahrscheinlich tiefere Glieder des Jura repräsentirend.

Fuchs.

Molon: I Colli Berici del Vicentino. (Boll. Com. Geol. d'Italia 1882.)

Der Verf. gibt eine kurze Übersicht über die geologische Gliederung des Vicentinischen Gebietes und der Colli Berici, wobei er sich jedoch nicht auf

neue eigene Untersuchungen stützt, sondern nur ein kurzes Resumé auf Grundlage der bisherigen Literatur gibt. Im Anhang findet sich eine kleine topographische Karte des Gebietes und eine Tafel mit einem idealen Profil.

Fuchs.

Meli: Le marne plioceniche del Monte Mario. (Boll. Com. geol. Italia 1882. 91.)

Beiläufig 2 Kilometer unterhalb Rom am Tiber wurde in neuerer Zeit ein grosser Ziegelofen angelegt und zur Gewinnung des dazu nothwendigen Thones der blaue Mergel, der die Basis des Monte Mario bildet, in grossem Maassstabe aufgeschlossen. Der Mergel enthielt ziemlich viel Petrefakten, und zwar konnten unter denselben bisher constatirt werden.

Pholadomya Vaticana Ponzi (sehr ähnlich der durch die neueren Tiefseeforschungen im Mittelmeer aufgefundenen *Ph. Loveni*).
Tellina longicollis.
Nucula sulcata.
Malletia transversa.
Amussium duodecim-lamellatum.
Ostrea cochlear.
Lunatia fusca.
„ *bivaricosa.*
Argonauta sp. (*biarmata*?).
Dentalium elephantinum.
Hemiaster canaliferus.
Cidaris remiger.
Cleodora pyramidata.
Balantium Ricciolii.
Creseis acicula.
Diacria trispinosa.

Mit Ausnahme von *Ostrea cochlear* wurden alle diese Fossilien auch in den Pteropoden-Mergeln des Vatican gefunden, wodurch die Identität dieser Bildungen erwiesen erscheint.

Fuchs.

Tournouër: Sur les rapports de la Molasse de Cucuron avec les Molasses de l'Anjou et de l'Armagnac. (Bull. Soc. géol. VII. 1879. 229.)

Der Verf. sucht auf Grundlage der vorliegenden paläontologischen Daten das Verhältniss näher festzustellen, in welchem die Molasse von Cucuron zu den Mergeln von Cabrières, sowie zu andern bekannten Miocänablagerungen steht. Er kommt dabei zu dem Resultate, dass die Mergel von Cabrières ihrem Alter nach nicht wesentlich verschieden von der Molasse von Cucuron seien, ja dass man auch die tieferen Schichten bis inclusive der Molasse von Saint-Paul-Trois-Chateaux demselben geologischen Horizont zurechnen müsse. Dieser ganze vielfach gegliederte Schichtencomplex ist jünger als die Faluns von Saucats und Léognan und älter als der Falun von Salles. Er nimmt mithin genau dieselbe Stelle ein, wie die Faluns der Touraine, die Molasse von Armagnac (und die Grunder Schichten im Wiener Becken. Ref.), ein Horizont, der vom Verfasser als Miocène moyen bezeichnet und an die Basis der zweiten Mediterranstufe gestellt wird.

Älter als dieser Horizont und den Schichten von Léognan, sowie den Hornerschichten des Wiener Beckens entsprechend, sind im Rhonethal nur

die Miocänbildungen von Carry bei Marseille und von Foncaude bei Montpellier.

Eine kleine synchronistische Tabelle erläutert diese Verhältnisse.

Referent kann sich den Ansichten des Verfassers nur anschliessen und möchte bemerken, dass dieselben neuester Zeit auch von Fontannes, dem genauesten Kenner der Tertiärbildungen des Rhonethales, im Wesentlichen acceptirt worden sind. **Fuchs.**

Tournouër: Sur la Molasse miocène de Forcalquier (Basses-Alpes). Étude paléontologique. (Bull. Soc. géol. VII. 1879. 237.)

Der Verfasser giebt ein Verzeichniss einer Suite von Fossilien aus der miocänen Molasse von Forcalquier nordöstlich von Cucuron, von denen übrigens in Folge des mangelhaften Erhaltungszustandes viele nur annähernd bestimmt sind.

Auffallend ist die Verschiedenheit der Fauna von derjenigen von Cabrières und Cucuron, sowie das zahlreiche Auftreten solcher Arten, die gewöhnlich nur in den Schichten von Saucats und Léognan gefunden werden. — Es scheint daraus hervorzugehen, dass diese Schichten thatsächlich älter sind als diejenigen von Cucuron und vielleicht bereits dem Falun von Saucats entsprechen.

Von den Arten, die auf die ältere Stufe hinweisen, sind namentlich zu erwähnen:

Pereiraea sp.?
Pyrula cornuta.
Natica Burdigalensis.
Turritella terebralis.
„ *gradata.*
Turritella Doublieri.
Pecten palmatus?
Cardium Burdigalium?
Crassatella? sp.

Fuchs.

Fontannes: Note sur la position stratigraphique des couches à Congéries de Bollène (Vaucluse) et des marnes à lignites de Hauterives (Drôme). Lyon 1881. 8°.

Fortgesetzte Studien, sowie die eigens zu diesem Zwecke unternommene Abteufung einiger Schächte in der Umgebung von Bollène, haben den Verf. genöthigt, in zwei nicht unwesentlichen Punkten seine Ansicht über die Altersfolge der Schichten zu ändern. Es sind die folgenden:

Die Congerienschichten von Bollène liegen nicht, wie der Verfasser bisher (allerdings mit einiger Reserve) annahm, über den pliocänen Ablagerungen, sondern vielmehr an der Basis derselben und nehmen daher im Rhonethal dieselbe Stellung in der Schichtenfolge ein, wie in Italien. Während dieselben sich jedoch in Italien hinsichtlich ihres Auftretens und ihrer Verbreitung enger an die Miocänschichten anlehnen, findet hier das umgekehrte Verhältniss statt, indem sie hier ohne allen Zusammenhang mit dem Miocän in enger Verbindung mit dem Pliocän auftreten und daher auch vom Verfasser als tiefstes Glied der pliocänen Schichtenreihe aufgefasst werden.

Die Lignite von Hauterives mit der bekannten von Michelin beschriebenen und namentlich durch *Helix Chaixi* und *Collongeoni* ausgezeichneten Molluskenfauna, werden nicht nur vor einer Bank mit *Ostrea Bariensis*, sondern auch von den pliocänen Mergeln mit *Nassa semistriata* unterteuft und müssen daher selbst ebenfalls dem Pliocän zugezählt werden. Es muss jedoch hervorgehoben werden, dass dies bloss für die Lignite von Hauterives im engsten Sinne, d. h. für jene des Schlossberges von Hauterives gilt. Die übrigen in der Umgebung von Hauterives vorkommenden Lignite gehören einem tieferen Horizont, nämlich dem Horizont mit *Helix Delphinensis* an, der im Rhonethal weit verbreitet stets unmittelbar über den marinen Miocänschichten (Schichten von Tersanne und Visan) auftritt und nach Ansicht des Verfassers noch dem Miocän zuzuzählen ist. Die blätterführenden Kalktuffe von Meximieux, welche ebenfalls die Molluskenfauna von Hauterives führen, wurden bereits vor längerer Zeit von Saporta auf Grundlage der Flora für pliocän erklärt, eine Anschauung, die nun auch durch die Verhältnisse von Hauterives bestätigt wird. Demselben pliocänen Süsswasserhorizont gehören ferner noch an die Lignite von Drilles bei Chabreuil (Drôme), diejenigen von Tersanne, sowie schliesslich die Schichten mit *Potamites Basteroti* von Visan, Montpellier und Thiziers.

Diese beiden Beobachtungen sind jedenfalls von grosser Wichtigkeit und kann man dem Verfasser nur dankbar sein für die Freimüthigkeit mit welcher er selbst frühere irrthümliche Ansichten corrigirt, nachdem er durch Thatsachen davon überzeugt worden. Es werden durch diese neuere Anschauung zahlreiche frühere scheinbare Widersprüche beseitigt allerdings andererseits wieder mancherlei neue Schwierigkeiten geschaffen. Unter diesen möchte ich namentlich auf einen Punkt hinweisen.

Bei der Anlage der Dampf-Rampe auf Croix-rouge in Lyon wurden eine Reihe von Tertiärschichten aufgeschlossen, welche nach den äusserst genauen Aufzeichnungen der dabei beschäftigten Ingenieure von unten nach oben folgende Reihenfolge zeigen.

1. Marine Sande mit der Fauna von Tersanne (Miocän).
2. Süsswassermergel mit der Fauna von Hauterives (?).
2. Braune eisenschüssige Sande mit der Säugethierfauna von Cucuron. *Hippotherium gracile*, *Tragoceras amaltheus* etc.

Hier würde demnach die Säugethierfauna von Cucuron und Pikermi über den Süsswasserschichten von Hauterives auftreten und müsste demnach wohl auch dem Pliocän zugerechnet werden.

Es ist wohl zu erwarten, dass durch die unermüdlichen Untersuchungen Fontannes' und der übrigen Lyoner Geologen auch dieser Punkt in Bälde aufgeklärt werden wird. **Fuchs.**

Fontannes: Les terrains tertiaires de la région Delphino-Provençale du Bassin du Rhone. Lyon 1881. 8°.

Die vorliegende Publication hat nicht sowohl den Zweck neue Thatsachen bekannt zu machen, als vielmehr ein gedrängtes Resumé über die bisherigen Arbeiten des Verf. zu geben. Da wir nun diese Arbeiten in

dieser Zeitschrift stets eingehend gewürdigt haben, können wir uns bei Vorliegendem um so kürzer fassen.

Eocäne Ablagerungen sind in dem vom Verfasser untersuchten Gebiete mit Sicherheit noch nicht nachgewiesen worden. Die Tongrische und Aquitanische Stufe sind nur durch Süsswasserbildungen vertreten. Zu letzterer werden die Süsswasserkalke mit *Helix Ramondi* im Becken von Crest gezählt.

Die marinen Miocänschichten werden trotz der grossen Anzahl untergeordneter Glieder sammt und sonders mit Einschluss der Ancillarienmergel von Cabrières dem Helvetien zugerechnet.

Die weitverbreiteten Süsswasserbildungen mit *Helix Delphinensis*, *Helix Christoli* und *Melanopsis Nargolina,* der eigentlichen Hippotherienhorizont, werden dem Tortonien zugetheilt.

Im Pliocän werden von unten nach oben folgende Glieder unterschieden:

1. Congerienschichten von Bollène mit *Congeria subcarinata* und *Cardium Bollense.*

2. Marine Mergel und Sande mit *Nassa semistriata*, *Cerithium vulgatum, Ostrea Bariensis* etc.

3. Brackische und Süsswasser-Schichten mit *Potamites Basteroti, Helix Chaixi, Helix Colongeoni* etc.

Die Hauptabtheilungen sowohl als auch die einzelnen untergeordneten Glieder sind durch ausführliche Petrefactenverzeichnisse charakterisirt.

Am Schlusse findet sich eine übersichtliche und ausführliche synchronistische Tabelle. **Fuchs.**

Hilber: Über die Gegenden um Zolkiew und Rawa in Ostgalizien. (Verh. Geol. Reichsanst. 1881. 244 u. 299.)

Das untersuchte Gebiet liegt nördlich und nordwestlich von Lemberg und gehört theils dem tertiären Hügellande, theils der podolischen Tiefebene an.

Das Hügelland zeigt als tiefstes Glied sandige Senon-Mergel mit *Belemnitella mucronata.* Auf demselben liegen petrefaktenleere grüne und weisse Sande, grüne Thone und Lignitflötze, darüber Sande und Nulliporenkalke mit den charakteristischen Fossilien der zweiten Mediterranstufe.

Das Diluvium besteht aus erratischen Bildungen (Geschiebesand, Geschiebelehm und zerstreute Blöcke) und darüber aus Löss.

Der Geschiebelehm, der Geschiebegruss und ein Theil des Geschiebesandes gehören der Grundmoräne eines nordischen Gletschers an. Die Geschiebesandhügel mit den zahlreichen grossen Blöcken sind Stirnmoränen und treten meist an dem südlichen oder östlichen Ende der erratischen Bildungen auf.

Unter den Geschieben finden sich am häufigsten verschiedenartige Sandsteine und Quarzite, seltener rother nordischer Granit, rother Quarzporphyr, Hornblendeschiefer, Feuerstein und Hornstein, sowie verkieseltes Holz. Die Geschiebe sind häufig geschliffen, jedoch selten gekritzt.

Störungen des Untergrundes der Geschiebeformation konnten nicht in dem Grade nachgewiesen werden, wie dies in Norddeutschland gelungen ist.

Die grösste Höhe bis zu welcher erratische Ablagerungen angetroffen wurden, beträgt 368 Meter über dem Meer. Dies dürfte beiläufig die Höhe des Inlandeises gewesen sein. Fuchs.

Rzehak: Über die Gliederung und Verbreitung des Oligocäns in der Gegend südöstlich von Gross-Sulowitz in Mähren. (Verhandl. Geol. Reichsanst. 1881. 211.)

Es werden nachfolgende Schichten unterschieden und näher geschildert:

1. Blauer Thon von Nikolschitz mit zahlreichen Vaginellen, sehr ähnlich dem Schlier, jedoch mit einer Foraminiferenfauna, welcher derjenigen des Kleinzeller Tegels entspricht, *Schizophora haeringensis, Pleurostomella eocaena, Cristellaria gladius.*

Jünger als dieser ist:

2. der grünliche Thon mit rundlichen braunen, manganreichen Concretionen.

Unter den Foraminiferen zahlreiche kieselige Formen: *Cornuspira polygyra, Trochammina, Haplophragmium.* Nodosarien und Rotalideen sind selten, Cristellarien und Miliolideen scheinen ganz zu fehlen.

3. Menilitschiefer. Man kann eine untere aus weissen, festeren Mergeln und eine obere aus dunkelbraunen blätterigen Schiefern bestehende Abtheilung unterscheiden. Letztere enthält vorwiegend den „Schieferopal" (Menilitopal). Von Thierresten kommen fast nur Fische, diese aber in ziemlich grosser Menge vor.

Lepidopides h.
Megalolepis sp.
Thynnus sp.
Mene cf. *M. rhombea* Agass.
Clupeiden hh. (*Meletta, Melettina* gen. nov.)
Zwischenformen zwischen Clupeen und Salmoniden.
Cyprinoiden. (Schuppen von 2 Barbusarten.)
Gadoiden (*Molva* oder *Lota*).
Ophidoiden *(Brotula?).*
Percoiden *(Servanus?).*
Berycoiden.
Oxyrhina sp.

Von Pflanzenresten fanden sich:

Sequoia Langsdorfii.
Cinnamomum lanceolatum.
Pinus palaeostrobus.
Cystoseirites communis.
Banksia cf. *longifolia.*

Im Hangenden der Menilitschiefer und allmählig aus denselben sich entwickelnd finden sich

4. Mürbe Sandsteine mit untergeordnetem blauem Mergel, der neogenen Tegel sehr ähnlich ist. Der blaue Mergel enthält bisweilen Foraminiferen. (Globigerinen, Rotaliden, Nodosarien.) (Aquitanien?)

Die Neogenablagerungen liegen discordant auf den vorerwähnten Bildungen. **Fuchs.**

Hilber: Die Stellung des Ostgalizischen Gypses und sein Verhältniss zum Schlier. (Verh. Geol. Reichsanst. 1881. 123.)

In Ostgalizien treten namentlich 4 Schichten in nähere Beziehungen zum Gypse. Es sind folgende:

1. Schichten mit *Pecten scissus* (= Baranower- und Kaiserwalderschichten). Sand und Sandsteine mit zahlreichen *Pecten*-Arten und Steinkernen von Bivalven.

Pecten scissus allgemein verbreitet.	*Panopaea Menardi.*
„ *denudatus* h.	*Thracia ventricosa.*
„ *Koheni* h.	*Isocardia cor.*
„ div. sp.	*Cardium* sp.

2. Gyps-Tegel. Grünlicher Tegel mit kleinen Individuen von *Pecten Lilli* Pusch. (= *P. scabridus* Reuss non Eichw.)

3. Ervilienschichten. Dichter, mikrokrystallinischer Kalkstein oder auch Sand und Sandstein, in Westgalizien und Schlesien auch blauer Gypsmergel. Die Fauna besteht hauptsächlich aus dichtgehäuften Steinkernen kleiner Bivalven *(Ervilia Modiola)*, und zeigt eine grosse habituelle Ähnlichkeit mit der sarmatischen Fauna, mit welcher sie früher bisweilen auch verwechselt wurde, doch sind die Arten durchgehends verschieden:

Ervilia pusilla hh.	*Trochus patulus.*
Modiola Hörnesi hh.	*Cardium* cf. *obsoletum*
Nucula nucleus.	*Modiola* nov. sp.
Cerithium deforme.	*Pectunculus pilosus.*
Turritella turris.	*Pecten Lilli.*
Calyptraea chinensis.	

4. Dichter Kalkstein, vom Ansehen eines mesozoischen Kalksteines, ohne Fossilien, häufig als Süsswasserkalkstein bezeichnet, jedoch ohne hinreichenden Grund.

Die *Scissus*-Schichten liegen bis Holubica und Lahodow über marinen Ablagerungen der 2ten Mediterranstufe, andererseits aber stets im Liegenden des Gypses.

Der Gypsmergel tritt theils innerhalb theils im Hangenden der Gypsflötze auf.

Die Ervilienschichten kommen unter und über dem Gyps vor.

Der dichte Kalkstein (Süsswasserkalk autorum) bildet gewöhnlich die Decke der ganzen Schichtengruppe.

Die *Scissus*-Schichten entsprechen ihrer Fauna nach dem Schlier, da sie aber einerseits unter dem Gypse, andererseits über Ablagerungen der zweiten Mediterranstufe liegen, so folgt daraus, dass die westgalizische

Gypsformation und wenigstens ein Theil des Schliers der zweiten Mediterran stufe angehört.

Der Verfasser sucht diese Ansicht auf Grundlage der Literatur über den Schlier ausführlicher zu begründen und gelangt schliesslich zu nachstehenden Schlussfolgerungen:

1. Im galizisch-podolischen Plateau treten die Begrenzungsschichten des Gypses mit einer Schlierfauna über Schichten der zweiten Mediterranstufe auf. Der podolische Gyps fällt in die zweite Mediterranstufe.

2. Die oberen Theile der subkarpathischen Salzthonbildung mit ihrem Hangendgypse, gehören wahrscheinlich in die zweite Mediterran-Stufe.

3. Der Schlier vertritt wahrscheinlich verschiedene Theile der ersten und zweiten Mediterranstufe, ein Theil gehört sicher der oberen Abtheilung der zweiten an. **Fuchs.**

Uhlig: Aus dem nordöstlichen Galizien. Reisebericht. (Verh. Geol. Reichsanst. 1881. 248.)

Das untersuchte Gebiet schliesst sich östlich an das vorhergehende an.

Im Süden umfasst es ein Stück des podolischen Plateaus, dasselbe besteht aus petrefaktenleerer weisser Kreide, und darüber aus Nulliporenkalk und Löss.

Der grösste Theil wird jedoch vom podolischen Tieflande eingenommen, in welchem sich von Süden nach Norden folgende 3 Zonen unterscheiden lassen.

1. Zone des Flugsandes.

2. Zone der Senonkreide. Dieselbe ist ebenfalls als Schreibkreide entwickelt, aber arm an Petrefakten und enthält keine Feuersteine. Zwischen den einzelnen Kreiderücken finden sich Diluvialablagerungen. Dieselben bestehen theils aus erratischen Bildungen, theils aus geschichtetem Lehm mit zahlreichen Süsswasserconchylien (Pisidien, Unionen? Anodonten?) und verschiedenartigen Sanden, die fluviatilen Ursprungs zu sein scheinen.

3. Zone des Löss. In der Tiefe der Lössschluchten kommt hie und da ebenfalls die senone Kreide zum Vorschein, die hier indessen mehr der Lemberger Mergelkreide ähnelt und ziemlich reich an Versteinerungen ist. — Darüber folgt in der Regel eine erratische Geschiebeschichte und zuoberst Löss. **Fuchs.**

Lóczy: Geologische Ergebnisse der Baggerungen im Donaubette bei Promontor. (Földtani Közlöny 1881. 255.)

Bei den Donauregulirungsarbeiten bei Promontor unterhalb Budapest wurde die Aushebung einer 100 Meter breiten und 2.85 Klafter tiefen Cunette nothwendig und stellte es sich heraus, dass hier eine Reihe tertiärer Schichten in regelmässiger Folge in sehr geringer Tiefe den Grund des Donaubettes bilden. Es wurden angetroffen: Kleinzeller Tegel, erste und zweite Mediterranstufe, Sarmatische Stufe und Congerienschichten.

Fuchs.

v. Roth: Geologische Aufnahme im Leytha-Gebirge. (Földtani Közlöny. 1881. 286.)

Das aufgenommene Gebiet umfasst den nordöstlichen Theil des Leithagebirges oder die Umgebungen von Donnerskirchen, Purbach, Breitenbrunn, Kaisersteinbruch.

Auf einem Kern von Urgesteinen und paläozoischen Quarziten lagern Leythakalke, sarmatische und Congerienschichten. Die sarmatischen sowohl als die Congerienschichten treten vielfach als Kalke, Sandsteine und Conglomerate auf und da dieselben überdies an vielen Punkten in grosser Menge Nulliporen, sowie auch marine Conchylien eingeschwemmt enthalten, so sind sie bisweilen auf den ersten Blick gar nicht von Leythakalk zu unterscheiden. **Fuchs.**

G. Berendt: Die Sande im norddeutschen Tieflande und die grosse diluviale Abschmelzperiode. (Jahrbuch der K. preuss. geolog. Landesanstalt und Bergakademie für 1881. 482. Mit Profilen im Text.)

Man war bisher gewohnt in der norddeutschen Ebene Diluvium und Alluvium in der Weise scharf zu trennen, dass man nach der Trockenlegung des Meeresbodens die Bildung der Thäler beginnen liess. Alluvial nannte man Alles, was nachweislich nach dem Beginn der Thalfurchung abgesetzt wurde. Da man zwei Flusssysteme unterschied, das jetzige und ein älteres, so bekam man entsprechend ein Altalluvium und ein Jungalluvium. Das im höheren Niveau eine ausgeprägte Thalsohle bildende altalluviale Material war der steinfreie Sand und der ostpreussische und schleswig-holsteinische Haidesand. Diluvial und zwar jungdiluvial war im Gegensatz zu Thalsand und Haidesand der Geschiebesand und die Geröllbestreuung.

Neuere Untersuchungen des Verfassers und anderer Geologen, welche mit Kartenaufnahmen in der norddeutschen Ebene beschäftigt sind, haben aber dahin geführt, dass die oben angegebene Unterscheidung nicht durchführbar ist. Thalsand und Geschiebesand gehen vielfach in einander über und sind nicht in der bisher angenommenen Weise in verschiedenem Niveau gelagert. Berendt sieht dieselben vielmehr als gleichzeitige Bildungen an. Eine Grenze zwischen Diluvium und Alluvium kann nach denselben nicht gezogen werden.

Natürlich entsteht nun aber die Frage, wie sich diese veränderte Auffassung des Alters mit der bisherigen Annahme über die Entstehung der Ablagerungen in Einklang bringen lässt. Der Verfasser verwirft denn auch jetzt, wie wiederholt schon früher, die ganze Drifttheorie und findet in der Inlandeistheorie ein Mittel die gleichzeitige Entstehung von Geschiebesand und Thalsand zu erklären, ja die Gleichzeitigkeit der Bildung wird zur Nothwendigkeit, wenn man eine ausgedehnte Eisbedeckung annimmt.

Die altalluvialen Bildungen der bisherigen Bezeichnungsweise beschränken sich (als Haidesand) auf eine die Nordsee und Ostsee umsäumende Zone (Holland, Holstein, Ostpreussen), ferner (als Thalsand) auf die Sohle

der in das Meer mündenden Hauptthäler (unteres Elb- bez. Berliner Hauptthal u. s. w.). Die beim Schmelzen der mächtigen Eisdecke sich ergebenden Wassermassen schlemmten nun einerseits das Material der Grundmoräne aus und der Rückstand mischte sich mit dem im Gletscher enthaltenen und beim Schmelzen frei werdenden Material und so entstanden Geschiebesande. Das Wasser furchte aber auch Thäler aus und in diesen wird je nach der Stärke des Stromes verschieden grobes oder feines Material abgelagert sein. In breitem, ruhig hinfliessendem Strome und nahe am Meer sank der feinere Sand zu Boden. So erklärt sich dessen Vorkommen in der Nähe des Meeres und in den breiten Thälern, in letzteren in der Nähe und in Verbindung mit Geschiebesanden.

Die seit 1863 unterschiedene Altersstufe des Decksandes (Geschiebesandes, Geschiebedecksandes) erfährt also in der Weise eine Erweiterung, als ihr nun auch geschiebefreie Sande in grösserer Menge zugetheilt werden.

Benecke.

Hj. Gylling: Bidrag till kännedom af vestra Finlands glaciala och postglaciala bildningar. Mit 9 Tafeln. (Bidrag till kännedom af Finlands Natur och Folk. Heft 35. 1881. 74 S.)

Gylling theilt die glacialen und postglacialen Bildungen im westlichen Finnland auf Grund seiner Untersuchungen längs der im Bau begriffenen Wasa-Bahn in folgender Weise ein:

I. Glacialperiode
  1. Supramarine Bildungen
     Unterer Krossteingrus
     Oberer Krossteingrus (Interglacialer Sand)
  2. Suprasubmarine Bildungen
     Rollsteingrus (Kern der Aasar)
     Rollsand — Oberer Rollsteingrus (Schale der Aasar)
  3. Submarine Bildungen
     Glacialsand und Glaciallehm

II. Postgläciale Periode
     Schwarzer Thon, Ackerlehm
     Heidesand
     Sumpftorf.

Ursprüngliche Seiten-, Mittel- und Endmoränen lieferten das Hauptmaterial zur Bildung der Aasar, indem die eckigen Stücke bei der Umlagerung der Moränen zu Rollsteinen umgebildet wurden. **E. Cohen.**

C. Paläontologie.

Report on the scientific results of the voyage of H. M. S. Challenger during the years 1873—1876. Prepared under the superintendence of Sir C. Wyville Thomson. Zoology, Vol. I—III.

Von dem grossen Werke, welches die Ergebnisse der Challenger-Expedition zu veröffentlichen bestimmt ist, sind bis jetzt drei starke Quartbände zoologischen Inhaltes erschienen. Kann es auch nicht Aufgabe des Jahrbuches sein, über zoologische Arbeiten eingehend zu berichten, so ist doch die Wichtigkeit dieser Werke für Paläontologie und Geologie so gross, dass eine möglichst kurze Besprechung der für unser Gebiet bedeutendsten Punkte nothwendig scheint.

Bd. I. Wyville Thomson, general introduction to the zoological series of the report.

Enthält die Schilderung der Einrichtung des Challenger und seiner Vorgänger, der geleisteten Arbeiten, sowie die Mittheilung einiger besonders interessanter Resultate, die jedoch vom Verfasser schon in seinen früheren Publicationen besprochen sind.

Thomas Davidson, report on the Brachiopoda.

Die Ausbeute an Brachiopoden ist eine verhältnissmässig sehr geringe und umfasst nur 9 neue Arten, welche sich auf folgende Gattungen vertheilen: *Terebratula* (2), *Terebratulina* (2), *Waldheimia* (1), *Terebratella* (1), *Magasella* (1), *Megerlea* (2). Von besonderem Interesse ist *Terebratula Wyvillei*, eine typische Nucleate (*Pygope*), die von gewissen mesozoischen Formen kaum zu unterscheiden ist; da diese Art in 1035—2900 Faden Tiefe vorkömmt, so stellt sie einen der sog. alterthümlichen Tiefseetypen dar.

Von Wichtigkeit sind die Angaben über das Vorkommen; Brachiopoden sind im allgemeinen selten, da unter 361 Schleppnetzzügen nur 38 oder 39 überhaupt Repräsentanten der Classe heraufbrachten; die grösste Tiefe, in welcher Exemplare gefunden wurden, beträgt 2900 Faden. Von 107 Brachiopodenarten, deren Fundorte genau bekannt sind, finden sich 98 zwischen der Küste und 100 Faden, 16 zwischen 100 und 500 Faden, 6 zwischen 500 und 1500 Faden, 4 zwischen 1500 und 2000, 3 zwischen 2000 und 2900. Diese letzten sind *Terebratula Wyvillei*, *Waldheimia Wyvillei* und *Discina atlantica*. *Lingula* ist nie tiefer als 10 Faden gefunden.

A. v. Kölliker, Report on the Pennatulidae.

Bietet wenige Beziehungen zu unserem Gegenstand.

G. Stewardson Brady, Report on the Ostracoda.

Über 200 Arten, die grosse Mehrzahl neu, werden meist nur nach äusseren Schalenmerkmalen beschrieben, ein Vorgang, gegen welchen vielleicht vom zoologischen Standpunkte aus mehr einzuwenden ist als vom paläontologischen. Als neue Gattungen werden aufgestellt: *Plyctenophora*, *Bythocypris* und *Crossophorus*. In grossen Meerestiefen sind die Ostracoden selten, nur 52 Arten gehen unter 500, 19 Arten unter 1500 Faden.

William Turner, Report on the bones of Cetacea.

Abgesehen von der Beschreibung einiger vollständigerer Skelettheile bespricht dieser Aufsatz namentlich die Walfischknochen, welche an vielen, jedoch durchwegs südlich vom Äquator gelegenen Punkten aus grossen Tiefen aufgefischt wurden. Die Knochen waren alle mit einer braunen Kruste von Mangansuperoxyd und Eisenoxyd bald dünn, bald überaus massig überzogen; es waren in der Regel die sehr festen Pauken- und Felsenbeine, neben denen andere Reste nur in Fragmenten auftraten. In grosser Menge finden sich diese Vorkommnisse nur in grossen Tiefen fern vom Lande, wo die Sedimentbildung ausserordentlich langsam vor sich geht; hier treten sie oft in ungeheurer Menge auf; an einer Stelle unter 33° 29′ S. B. und 133° 22′ W. L. von Greenwich, also südlich vom Archipel der niedrigen Inseln, wurden einmal 90 Stück Bulla tympani von verschiedenen Cetaceen (*Balaenoptera*, *Ziphius*, *Mesoplodon*, *Kogia* und *Delphinus*) auf einen Zug heraufgebracht.

Mit den Cetaceenknochen kommen Haifischzähne vor, welche *Carcharodon*, *Lamna* und *Oxyrhina* angehören und sämmtlich mit tertiären, nicht mit lebenden Formen übereinzustimmen scheinen. Bei den Cetaceen ist die Frage schwieriger zu entscheiden, doch scheinen auch hier einige ausgestorbene Typen vorzuliegen.

William Kitchen Parker, Report on the development of the Green Turtle (*Chelone viridis*).

Behandelt die Embryonalentwicklung des Schädels; namentlich der Schluss enthält auch paläontologisch wichtige Bemerkungen.

Albert Günther, Report on the Shore Fishes.

Zahlreiche neue Arten von Fischen aus den Küstengewässern.

Bd. II. H. N. Moseley, Report on certain Hydroid, Alcyonarian and Madreporarian Corals.

Die Resultate dieser Untersuchungen sind grossentheils schon früher bekannt geworden, namentlich diejenigen über *Millepora*, *Heliopora* und Stylasteriden; bei Besprechung der Verwandtschaft von *Heliopora* mit fossilen Formen spricht sich der Verfasser entschieden für die Zugehörigkeit von *Heliolithes*, *Favosites* und *Chaetetes* zu den Alcyonarien aus.

Den Schluss bildet die Beschreibung der in mehr als 50 Faden Tiefe lebenden Madreporarier, unter welchen Turbinoliden und Fungiden sehr stark, Astraeen und Oculiniden sehr schwach vertreten sind; weitaus die meisten sind Einzelzellen, die auftretenden Colonieen sind durchweg von

geringer Grösse. Von neuen Gattungen sind beschrieben: *Odontocyathus, Stephanotrochus, Cyathoceras, Pleurocyathus, Neohelia, Bathelia, Sphenophyllia, Bathyactis, Leptopenus.* Interessant ist die Darstellung der Entwicklung von *Flabellum*, welches erst allmälig seine comprimirte Gestalt annimmt.

Ph. L. Sclater, Report on the Birds.

Verschiedene Vögel werden beschrieben.

Bd. III. Alexander Agassiz, Report on the Echinoidea.

Referent hat schon in einem besonderen Aufsatze auf denjenigen Abschnitt dieses Werkes aufmerksam gemacht, welcher die Vertheilung der einzelnen Formen in der Tiefe behandelt. Hier soll nur auf einige der wichtigsten unter den anderen Resultaten dieses Aufsatzes hingewiesen werden, welcher nebst demjenigen von Moseley unter allen bisher erschienenen die grösste Bedeutung für Geologie und Paläontologie besitzt. Als besonders wichtige Abschnitte sind hervorzuheben derjenige über *Phormosoma* und *Asthenosoma*, deren nahe Verwandtschaft zu den Diadematiden nachgewiesen wird; ferner über die Ananchytiden und die ihnen verwandten Formen der Tiefsee. Das meiste Interesse beansprucht jedoch die individuelle Entwicklung des *Hemiaster cavernosus*, eines ächten Spatangiden mit peripetaler Fasciole. In der Jugend haben diese Formen centralen, fünfeckigen Mund, bandförmige Ambulacra, grosse Stachelwarzen wie ein *Echinus;* auch der After liegt nahe dem Centrum, innerhalb der schon vorhandenen peripetalen Fasciole. Allmälig nimmt das Thier nun im Verlaufe des Wachsthums alle Spatangidencharaktere an, wobei speciell die Veränderungen in der Lage des Afters und die dadurch bedingte Modification der Fasciolen merkwürdig ist. Indem der After von der Oberseite nach hinten und unten rückt, zieht er auch die Peripetalfasciole nach abwärts, welche nun die fünf Petaloidien und den in die bleibende Lage gerückten After umschliesst; nun bildet sich ein neues Stück Fasciole, welches den After von der Ambulacralrosette trennt, wodurch der nach abwärts gezogene Theil der ursprünglichen Peripetalfasciole nun Lateralfasciole wird; wir haben also vorübergehend eine Form mit peripetaler und lateraler Fasciole, etwa wie *Linthia* oder *Schizaster*; endlich verschwindet die Lateralfasciole und es bleibt nur die Peripetale zurück.

P. P. C. Hoeck, Report on the Pycnogonida.

Zahlreiche zum Theil sehr seltsame Formen dieser bizarren Thiere werden beschrieben.

Es ist das in Kürze der Inhalt der ersten drei Bände, welche bis jetzt erschienen sind und denen noch 11—12 weitere folgen werden; Wyv. Thomson, dem Organisator der Challengerexpedition, war es nicht mehr gegönnt, selbst thätig an der Einzelbearbeitung dieser Materialien Theil zu nehmen, oder die Vollendung des Werkes zu erleben, aber trotzdem wird dieses stets ein ehrendes Denkmal seines Namens bleiben.

M. Neumayr.

G. Omboni: Dei fossili triasici del Veneto che furono descritti e figurati dal Prof. P. A. Catullo. (Atti d. R. Istituto veneto di scienze, lettere ed arti. Vol. VIII. Ser. V. Venezia 1882.)

Die geologische Universitätssammlung in Padua bewahrt eine Anzahl von Stücken auf, welche deshalb ein besonderes Interesse beanspruchen, weil sie den Angaben Catullo's zu Grunde liegen. Omboni, der jetzige Director der Sammlung, hat es unternommen, die Catullo'schen Bestimmungen einer Revision zu unterziehen und bespricht in vorliegender Arbeit zunächst Vorkommnisse der Trias. Die Resultate zu denen er gelangt, stimmen mit dem Eindruck überein, welchen Geologen von diesseits der Alpen beim Besuch der Sammlung von Padua erhielten, insofern es sich herausstellte, dass manche Verwechselungen untergelaufen sind, theils indem Fossilien anderer Formationen als triadische aufgeführt wurden, theils indem Catullo Stücke vorlagen, welche aus deutscher Trias stammen. Die Angaben Omboni's werden späteren Besuchern der Gegend von Nutzen sein. Wenn wir recht verstehen, nimmt Omboni an, dass *Ammonites nodosus* im Zoldianischen vorkomme. Dies dürfte jedoch noch sehr der Bestätigung bedürfen. Referent sah in Padua Exemplare des *A. nodosus*, welche unzweifelhaft deutscher Herkunft sind. Auch die Angabe, dass Trochiten aus dem Venetianischen zu *Encrinus liliiformis* gehören, entbehrt der sicheren Begründung. **Benecke.**

Parona: Sopra due piani fossiliferi del Lias nell' Umbria. (Rendiconti del R. Istituto Lombardo. Ser. II. Vol. XV. Fasc. XI.)

Der Verfasser gibt eine vorläufige Notiz über einige von A. Verri entdeckte Liaslocalitäten in Umbrien. In der Gegend von Cesi enthält ein weisser Oolith eine Zwergfauna, welche vorwiegend aus Gastropoden, vor allem Cerithien und Neritinen, besteht; etwa die Hälfte der Arten stimmt mit Formen jener merkwürdigen Fauna des unteren Lias von Sicilien überein, mit deren Beschreibung Gemellaro eben beschäftigt ist*. — Von mittlerem Lias liegen Cephalopodenablagerungen und Brachiopodenkalke mit der Fauna der Zone der *Terebratula Aspasia* aus der Gegend von Cesi und Terni vor; die letzteren enthalten unter anderem Reste von Leptaenen und Thecidien, ferner einige neue Arten von *Terebratula* und *Rhynchonella*, von welchen eine, *Ter. Canavarii*, beschrieben und abgebildet wird. **M. Neumayr.**

V. Uhlig: Über die Fauna des rothen Kellowaykalkes der penninischen Klippe Babierzówka bei Neumarkt in West-Galizien. (Jahrb. d. geolog. Reichsanst. Bd. XXXI. 1881.) 3 Tafeln.

Schon früher hatte der Verf. Mittheilungen über die Fauna eines rothen Kalksteins von der Klippe Babierzówka gemacht und letztere mit

---

* G. Gemellaro, Sui fossili del calcare cristallino delle Montagne del Casale e di Belampo. Vergl. dies. Jahrbuch 1880. I. -126-, 1882. II. -281-

einigem Vorbehalt als dem Callovien zugehörig bezeichnet (Jahrb. geol. Reichsanst. XXVIII. 641). Neuerdings sind nun durch Herrn Kamienski der geologischen Reichsanstalt neue Sendungen von Fossilien der genannten Localität zugegangen, deren Untersuchung gestattete, das früher nur vermuthete Alter des Kalksteins mit grösserer Sicherheit festzustellen.

Es lagen 62 Arten vor, die allerdings nicht alle bestimmbar waren. Ein Theil derselben ist gemeinsam mit Arten der Klausschichten, ein anderer gehört dem Kelloway an. Da die auf Klausschichten weisenden Arten (*Sphenodus longidens* Ag.; *Phylloceras mediterraneum* Neum.; *Ph. disputabile* Zitt.; *Ph. tortisulcatum* Orb.; *Ph. subobtusum* Kud.; *Lytoceras Adeloides* Kud.; *Haploceras ferrifex* Zitt.; *Pleurotomaria granulata* Sow.; *Lima semicircularis* Gldf.; *Posidonomya alpina* Gras.; *Terebratula curviconcha* Opp.) zahlreicher sind, als die Kellowayformen (*Perisphinctes curvicosta* Opp.; *Harpoceras punctatum* Stahl; *H. lunula* Zitt.; *Oekotraustes auritulus* Opp.; *Reineckia Greppini* Opp.), so könnte man auf den ersten Blick meinen, man habe es an der Klippe Babierzówka mit Klausschichten zu thun. Allein die genannten Fossilien, die für letztere zu sprechen scheinen, gehören vorzugsweise Arten mit grosser vertikaler Verbreitung an, während die Kellowayformen grosse Neigung zur Mutation haben, also bezeichnender sind. Daher verdienen denn letztere bei Bestimmung des Alters den Vorzug. Specieller ist ein Vergleich mit den Anceps-schichten, dem unteren Kelloway, gestattet.

Sieht man von den Vilser Schichten ab, so kennt man im Mediterrangebiet Kellowayschichten aus dem Brielthale, von Rocca di parra bei Calatafimi in Sicilien und bei Eszter im Fünfkirchner Gebiete. Stets handelt es sich da um älteres Kelloway. Die häufigeren Vorkommen von Kellowayschichten der Westalpen sind von den älteren Schichten noch nicht hinreichend gesondert, um ihr Alter genauer festzustellen.

Für Faunen des Mediterrangebietes ist überhaupt die häufig vorhandene Ähnlichkeit bei sehr verschiedenem Alter eine bezeichnende Eigenthümlichkeit. Von Interesse ist folgende von Uhlig mitgetheilte Zusammenstellung einiger Arten der Klippe Babierzówka mit älteren Vorkommnissen. Es entspricht:

Amberleya carpathica Uhl. (Callov.) der *Amberleya alpina* Stol. (Hierlatz),
Discohelix Neumayri Uhl. (Callov.) der *Discohelix orbis* Reuss (Hierlatz),
Neritopsis Haueri Uhl. (Callov.) der *Neritopsis elegantissima* Hörn. (Hierlatz),
Pleurotomaria n. f. ind. (Callov.) der *Pleurotomaria Sturi* Neum. (Planorbissch.),
Rimula inaequalicostata n. f. (Callov.) der *Rimula austriaca* Hörn. (Hierlatz),
Lima rupicola n. f. (Callov.) der *Lima Deslongchampsi* Stol. (Hierlatz),
Arca perplana n. f. (Callov.) der *Arca aviculina* Schfh. (Hierlatz),
Astarte subterminalis n. f. (Callov.) der *Astarte Partschi* Stol. (Hierlatz),
Terebratula curviconcha Opp. (Callov.) der *T. Aspasia* Meneghini (Hierlatz).

Eine mikroskopische Untersuchung des rothen Kalkes liess zahllose Foraminiferen, besonders Globigerinen erkennen, was an die von Peters beschriebenen triadischen Dachsteinkalke erinnert.

Wir verweisen auf die Beschreibung und Abbildung der einzelnen Arten in der Arbeit und beschränken uns auf Anführung der neuen, specifisch benannten oder mit bekannten Arten verglichenen Formen: *Perisphinctes* n. f. cf. *Cottaldi* Héb. et Deslong.; *Stephanoceras* n. f. cf. *Brogniarti* Sow.; *Brachytrema acanthicum* n. f.; *Onkospira Zitteli* n. f.; *Nerita* cf. *ovula* Buv.; *Neritopsis obsoleta* n. f.; *Chrysostoma carinatum* n. f.; *Ch. intermedium* n. f.; *Ch. lateumbilicatum* n. f.; *Vitrinella perampla* n. f.; *Trochus* (*Carinidea*) *rhombifer* n. f.; *Trochus* (*Tectus*) *circumspinatus* n. f.; *Trochus disputabilis* n. f.; *Rimula inaequalicostata* n. f.; *Rimula texata* n. f.; *Lima (Plagiostoma) rupicola* n. f.; *Isoarca fimbriata* n. f.; *Is. subtransversa* n. f.; *Arca perplana* n. f.; *Astarte subterminalis* n. f.; *Terebratula (Pygope) tenuiplicata* n. f.; *Rhynchonella defluxoides* n. f.; *Rh. rectecostata* n. f.; *Rh.* cf. *Etalloni* Opp.; *Rhynchonella (Acanthothyris)* n. f. cf. *subechinata* Opp. **Benecke.**

Robert Etheridge: On the Analysis and Distribution of the British Jurassic Fossils. (Quarterly journal of the geological society, 1882. Anniversary adress of the president. Proceedings pag. 59—236.)

Wie im vorigen Jahr über die paläozoischen, so gab Etheridge heuer in seiner Jahresadresse als Präsident der geologischen Gesellschaft eine eingehende Übersicht über die jurassischen Ablagerungen Gross-Britanniens und deren Fossilien. Den Beginn des Aufsatzes bilden eingehende Referate über die wichtigsten in den letzten Decennien in Englaud erschienenen Arbeiten über diese Formation, wobei namentlich die Werke von Wright, Sharp, Judd, Hudleston und Blake hervorgehoben werden. Dann folgt für jede einzelne der grösseren Abtheilungen des Jura eine eingehende Besprechung der Gliederung und genaue Zahlenangabe der bisher bekannten Formen an Pflanzen und aus den einzelnen Classen des Thierreiches, denen noch zahlreiche Daten über viele der wichtigeren Gattungen und Arten beigefügt sind. Es ist ganz unmöglich, hier auf die grosse Menge der Einzelheiten einzugehen, welche um so interessanter sind, als genaue Zusammenstellungen dieser Art über jurassische Fossilien nur in sehr beschränktem Maasse vorliegen. Nur aus der Schlusstabelle mag hervorgehoben werden, dass aus dem britischen Jura 4488 Arten bekannt sind, welche sich auf verschiedene Abtheilungen folgendermassen vertheilen:

	Gattungen	Arten
Pflanzen	63	191
Spongien	5	11
Rhizopoden	23	100
Cölenteraten	38	175
Echinodermen	47	216
Anneliden	3	45
	179	738

	Übertrag	179	738
Crustaceen		24	64
Brachiopoden		16	275
Bryozoa		19	51
Monomyarier		25	444
Dimyarier		70	924
Gastropoden		76	1015
Ammonites		1	477
Ancyloceras		1	1
Nautilus		1	21
Belemnites		1	115
Teuthiden		5	6
Fische		61	219
Reptilien		30	132
Säugethiere*		4	6
		513	4488

Sehr deutlich geht aus den Zusammenstellungen hervor, um wie viel reicher die tieferen Partieen des Jura in England entwickelt sind, als die höheren; Lias und Untercolith enthalten weit über die Hälfte der Arten, während auf dem Festland genau das Gegentheil stattfindet.

Den Schluss bildet eine Darstellung der neueren Eintheilung der Ammoniten in verschiedene Gattungen. **M. Neumayr.**

L'abbé Bardin: Etudes paléontologiques sur les terrains Tertiaires miocènes du Département de Maine-et-Loire. 1 Fascicule. Angers 1881.

Bardin giebt hier eine mit Hülfe von Hörnes, Bellardi, Tournouër etc. aufgestellte Liste von 305 Mollusken-Arten, welche der grossen Mehrzahl nach nur bei Genneteil und nur in einzelnen oder doch sehr wenigen Exemplaren gefunden wurden. Die Übereinstimmung mit den Faunen der Touraine (Pontlevoy etc.), welche ohne Zweifel aus demselben Meere abgelagert wurden, scheint eine fast vollständige zu sein. Interessant ist eine verhältnissmässig grosse Zahl von *Auricula*-Arten. **von Koenen.**

C. A. White: Contributions to Paleontology. 1. (Extracted from the eleventh annual Report of the Survey for the year 1877.) Washington 1879.

C. A. White: Contributions to Paleontology. No. 2—8. (Extracted from the twelfth annual Report of the Survey for the year 1878.) Washington 1880.

Zu der Zeit als Hayden noch Director der amerikanischen geologischen Aufnahme war, wurde der Plan gefasst, eine Reihe paläontologischer

* Die Portlandbildungen sind nicht einbezogen.

Publikationen in verschiedener Form herauszugeben, in welchen ausser den rein paläontologischen die geologischen und zoologischen Beziehungen eingehend berücksichtigt werden sollten. Die nach Hayden's Rücktritt veränderten Verhältnisse hinderten die Ausführung des Unternehmens in dem beabsichtigten Umfang, es war nur möglich, Beschreibungen einer Anzahl von Formen ohne weitere Ausführungen zu geben.

Aber auch in dieser Beschränkung bieten die Contributions, welche sämmtlich White zum Verfasser haben, des Interessanten viel. Ältere amerikanische Arbeiten erhalten eine wesentliche Ergänzung, da nicht nur neue Arten, sondern besonders auch solche beschrieben und abgebildet wurden, welche bisher nur unvollkommen bekannt oder gar nur benannt waren. — Es liegen 8 solcher Contributions aus verschiedenen Formationen vor, von denen wir diesmal die ersten 4 besprechen wollen. Zeit und Stelle der Publikation sind oben näher angegeben worden.

1. Versteinerungen aus der Kreideformation der westlichen Staaten und Territorien (Colorado, Wyoming, Utah, Montana, Texas, N. Mexico mit 10 Taf.). Folgende Arten werden beschrieben und abgebildet: *Caryophyllia Joannis* n. sp.; *C. Egeria* n. sp. Gattung etwas zweifelhaft, jedenfalls aber *Caryophyllidae*. Aus Schichten vermuthlich vom Alter der Fort Pierre- und Fox Hills-Gruppe. — *Ostrea quadriplicata* Shum, Texas* (*? O. crenulo-margo* Roem.); *O. (Alectryonaria) bellaplicata* Shum., Texas; *O. (Alectr.) sannionis* White, Fox Hills-Gr., Utah; *Exogyra Valkeri* n. sp., Texas; *Placunopsis Hilliardensis* n. sp., Fox Hills-Gr., Wyoming; *Plicatula hydrotheca* White, vermuthlich vom Alter der Colorado-Gr., Utah; *Pteria Parkensis* White (*Avicula*), vermuthlich vom Alter der Fox Hills-Gr., Colorado; *Pteria (Oxytoma?) gastrodes* Meek, Utah; *Pteria* (*Pseudoptera*) *propleura* Meek, Utah; *Inoceramus Howelli* White, Utah; *I. Gilberti* White, vermuthlich vom Alter der Fox Hills-Gr. Utah; *I. oblongus* Meek, Utah; *Barbatia coalvillensis* White, Obere Colorado- oder untere Fox Hills-Gruppe, Utah; *Crassatella Cimarronensis* n. sp., vermuthlich vom Alter der Fox Hills-Gruppe, Neu-Mexico; *Tancredia? coelionotus* n. sp., Fox hills-Gr., wahrscheinlich Colorado; *Cyrena securis* Meek, Fox Hills-Gr., Wyoming; *C. inflexa* Meek, Montana; *C. nematophora* Meek, Utah; *Cardium pauperculum* Meek, Fort Benton-Gr., Wyoming; *Cardium trite* n. sp., vermuthlich untere Colorado-Gr., Utah; *C.* sp.; *Trapezium truncatum* Meek, Utah; *T.? micronema* Meek, Wyoming; *Baroda Wyomingensis* Meek, Fox Hills-Gr., Wyoming; *B. subelliptica* n. sp., Fox Hills-Gr., Colorado; *Mactra? Holmesi* Meek, vermuthlich Fox Hills-Gr.; *M. cañonensis* Meek, Colorado; *Pachymya Austinensis* Shum., Fox Hills-Gr., Colorado; *Glycimeris Berthoudi* n. sp., vermuthl. Fort Pierre-Gr., Colorado; *Parapholas sphenoideus* White, vermuthlich Colorado-Gr., Utah; *Paliurus pentangulatus* n. sp., vermuthlich Fox Hills-Gr., Colorado; *Anisomyon centrale*, Fox Hills-Gr., Colorado; *Actaeon Worsteri* n. sp., Fox Hills-Gr.,

* Wenn keine genauere Bestimmung des Lagers gegeben ist, wird im Original nur Kreide angegeben.

Colorado; *Actaeonina prosocheila* n. sp., Fox Hills-Gr., Colorado; *Turbonilla (Chemnitzia) coalvillensis* Meek, Utah; *Physa Carletoni* Meek, Utah; *Physa* sp., Utah; *Neritina pisum*, Utah; *Neritina incompta* n. sp., Fox Hills-Gr., Wyoming; *N. (Velatella) patelliformis* Meek, Utah; *N. (Velat.) patelliformis* var. Weberensis n. v., obere Colorado- oder untere Fox Hills-Gr., Utah; *Euspira coalvillensis* White, obere Colorado- oder untere Fox Hills-Gr., Utah; *Anchura Haydeni* n. sp., vermuthlich Fort Pierre-Gr., Colorado; *A. (Drepanocheilus) ruida* White, Utah; *A. (Drepan.) mudgeana* n. sp., Texas; *A. (Drepan.) prolabiata*, vermuthlich Colorado-Gr., Utah; *Turritella Marnochi* n. sp., Texas; *T. coalvillensis* Meek, Utah; *T. (Aclis?) micronema* Meek, Utah; *Eulimella? funicula* Meek, Utah; *Fusus (Neptunea?) Gabbi* Meek, Utah; *Admetopsis rhomboides* Meek, Utah; *A. subfusiformis* Meek, Utah.

2. Fortsetzung des eben besprochenen Aufsatzes mit 8 Tafeln. Folgende Arten werden beschrieben und abgebildet: *Chaetetes?? dimissus* White; *Beaumontia? solitaria* n. sp., beide vom Alter der Fox Hills-Schichten, Colorado. So weit der Erhaltungszustand ein Urtheil gestattet, hat man es mit wirklich paläozoischen Formen zu thun, wenn auch die generischen Bestimmungen unsicher sind. Die Thatsache, diese oder verwandte Gattungen in mesozoischen Schichten anzutreffen, würde natürlich von höchstem Interesse sein und ein Seitenstück zu dem Vorkommen von *Uintacrinus* liefern. *Ostrea soleniscus* Meek, durch die ganzen Kreideschichten von Utah und Wyoming hindurch gehend; *O. anomioides* Meek, Montana; *O. (Alectryonaria) Blackii* White, Texas; *Exogyra Winchelli* White, Texas und wahrscheinlich Alabama; *E. forniculata* White, Texas; *Anomia propatoris* n. sp., Utah; *Pteria?? stabilitatis* n. sp., Texas; *Pteria (Oxytoma) salinensis* White, Dakota-Gruppe, Kansas; *Gervillia Mugdeana* White, Dakota, Kansas; *Pinna Lakesii* White, Colorado; *Volsella (Brachydontes) multilinigera* Meek, Utah; *Barbatia barbulata* n. sp., vermuthlich Alter der Fox Hills-Gruppe, Neu-Mexico; *Cyrena Carletoni* Meek, Utah; *Pharella? Pealei* Meek, Montana; *Tapes Hilgardi*, Shum., Texas; *Pachymya? compacta* White, Texas; *Thracia myaeformis* White, Texas; *Melampus? antiquus* Meek, Utah; *Melampus?; Neritina Bannisteri* Meek, Utah; *N. pisiformis* Meek, Utah; *Velatella* Meek (Ann. Rep. U. S. Geol. Survey Terr. for 1872), unterschieden von *Dostia* durch vollkommen bilaterale Symmetrie und kleinen Apex, von *Velates* durch den immer nach dem hinteren Rande gebogenen Apex; *Neritina (Velatella) bellatula* Meek, Utah; *N. (Velatella) carditoides* Meek, Utah; *Euspira Utahensis* White (früher Ann. Rep. U. S. Geol. Sur. Terr. 1877 irrthümlich als *E. coalvillensis* beschrieben), Utah; *Tessarolax Hitzii* n. sp., Fort Pierre-Gruppe, Montana; *Lispodesthes? obscurata* n. sp., vermuthlich Fox Hills-Gruppe und vielleicht Wyoming; *Turritella spironema* Meek, Utah; *Eulimella? chrysallis* Meek, Utah; *E.? inconspicua* Meek, Utah; *Valvata nana* Meek, Utah; *Fusus? Utahensis* Meek, Utah; *Fasciolaria (Piestocheilus) Alleni* n. sp., Montana; *Pryonocyclus* (Diagnose dieser Ammonitengattung und der Untergattung *Prionotropis* s. U. S. Geol. Survey Vol. IX. 452—455);

Pr. Wyomingensis Meek, vermuthlich Colorado-Gruppe, Wyoming; *Paramithrax? Walkeri* White, Texas. Anhangsweise werden noch Abbildungen folgender von Shumard in Trans. S. Louis Acad. und Proc. Boston Society Nat. hist. benannten, aber nicht abgebildeten Arten nach hinterlassenen Zeichnungen Shumard's gegeben: *Cidaris hemigranosus, Gervillia gregaria, Nucula bellastriata, Nucula Haydeni, Cardium Choctawense, Cytheria Lamarensis, Ancyloceras annulatum* (non Desh.!), *Scaphites vermiculus, Ammonites Graysonensis, A. Svallovii.*

3. Einige tertiäre Mollusken von Colorado, Utah und Wyoming. Alle hier beschriebenen Arten stammen aus der Wahsatch-, Green River- und Bridger-Gruppe, welche zusammen der älteren Tertiärzeit angehören. Eine stratigraphische Trennung der Gruppen ist durchaus am Platze, es muss aber im Auge behalten werden, dass mehrere Arten zweien, einige sogar allen drei Gruppen gemeinsam sind. Es fand eine continuirliche Ablagerung der Schichten statt und die Existenzbedingungen für die Fauna können nicht sehr verschieden gewesen sein. Es handelt sich ausschliesslich um Formen des süssen Wassers. Die beschriebenen und abgebildeten Arten sind: *Unio Shoshonensis* White, Green River-Gr., doch schon älter und auch jünger, Colorado und Wyoming; *U. Washakiensis* Meek, vermuthlich Green River; *Unio Meekii* White, Wyoming; *Planorbis cirratus* White, obere Wahsatch- oder untere Green River-Gr., Wyoming; *Physa Bridgerensis* Meek, Wyoming; *Succinea (Brachyspira) papillispira* White, Gr. Riv.-Gr., Wyoming; *Pupa arenula* White, Gr. Riv.-Gr., Wyoming; *Pupa atavuncula*, Gr. Riv.-Gr., Wyoming; *P. (Leucocheila) incolata* White, Gr. R.-Gr., Wyoming; *Bythinella gregaria* Meek, Wyoming.

4. Versteinerungen der Laramiegruppe. Die Laramiegruppe hat wegen ihrer ganz eigenthümlichen paläontologischen Verhältnisse Veranlassung zu vielen Discussionen über ihr Alter gegeben. Theils hat man dieselbe für cretacisch, theils für tertiär, theils endlich für eine Übergangsbildung erklärt. [Dana sagt in der neuesten Auflage seines Manual of Geology p. 454: It (die Laramiegruppe) is allied to the Cretaceous in its Dinosaurs, and to the Tertiary in its fossil plants, and is thus intermediate in its life between the Cretaceous and Tertiary. It is placed beyond in the Tertiary, but is as rightly made Nr. 4 (über der als Nr. 3 bezeichneten Fox Hills-Gruppe) of the Cretaceous as done by many geologists.]

White hat sich seit Jahren eingehend mit der Fauna der Laramiegruppe beschäftigt und es ist sehr zu bedauern, dass seine Absicht, dieselbe in einer ausführlichen Monographie zu bearbeiten, unter den veränderten Verhältnissen der Aufnahme nicht zur Ausführung kommen soll. Seine Ansichten über die Lagerung hat er in dem Ann. Report für 1877 p. 255—256 und in dem Artikel XXXVI des Bulletin der Survey auseinandergesetzt. Er kommt jetzt kurz auf dieselben zurück. Die Schichten der Laramiegruppe bedecken eine Fläche von nicht weniger als 50000 □Meilen (englisch). Die nördliche Grenze derselben liegt in den britischen Besitzungen, die südliche nicht nördlicher als das südliche Utah und nördliche Neumexico, die westliche, so weit bekannt, im Meridian

der Wahsatch-Kette, doch in südwestlicher Richtung bis in die südwestliche Ecke von Utah reichend, die östliche im Gebiet der grossen Ebene östlich des Felsengebirges unter jungen Bildungen versteckt. Das Felsengebirge hob sich erst nach Ablagerung der Laramieschichten heraus. Die Fox Hills-Gruppe, welche die Laramiegruppe unterlagert, gilt allgemein als ein zeitliches Äquivalent der jüngsten europäischen Kreideschichten, die Wahsatch-, Green River- und Bridger-Gruppe sind eocänen und zwar nach allgemeiner Annahme alteocänen Alters, somit kann man die Laramiegruppe nur als eine Zwischenbildung auffassen.

Die Fauna wirbelloser Thiere der Laramiegruppe besteht beinahe nur aus brakischen, Süsswasser- und Landmollusken. Dieselben kommen entweder mit einander gemengt oder in besonderen Schichten vor. Marin ist nur eine *Axinaea*, eine *Nuculana* und eine oder zwei *Odontobasis*, doch haben diese aus salzigem Wasser stammend, sich der Lebensweise in brakischem Wasser accommodirt. Alle in der Laramiezeit existirenden Süsswasser- und Landformen verschwanden zugleich mit den für diese Gruppe bezeichnenden brakischen Formen, wenn auch andere Süsswasser- und Landformen auf dieselben gefolgt sein mögen. Wo Brakwasserformen aufhören, da kann man die obere Grenze der Laramieschichten annehmen. Paläontologisch hat die Laramiegruppe einen ihr durchaus eigenthümlichen, von dem der tieferen Fox Hills-Gruppe ebensowohl als dem der auf dieselben folgenden eocänen Süsswassergruppen sich unterscheidenden Character.

White hält es jetzt, im Gegensatz zu seiner früheren Ansicht, für nicht unwahrscheinlich, dass die Bear River-Schichten im südwestlichen Wyoming und deren paläontologische Äquivalente eine besondere Abtheilung der Laramiegruppe, oder gar eine selbstständige Gruppe darstellen, da dieselben von den Wahsatch-Schichten durch eine Discordanz getrennt sind, während zwischen ächten Laramieschichten und den untersten Eocänschichten, wenigstens nach der Annahme von White, Concordanz besteht. Auch kommen in den Bear River-Schichten eine Anzahl diesen eigenthümliche Versteinerungen vor, welche auf Taf. XXX des vorliegenden Aufsatzes dargestellt sind. Zur Laramiegruppe gehören unzweifelhaft die Judith River- und Fort Union-Schichtenreihe der oberen Missouri-Region, die lignitische Schichtenreihe des Felsengebirges in Colorado und den anliegenden Gebieten und die Bitter Creek-Schichtenreihe und ihre Äquivalente westlich des Felsengebirges in Wyoming und Colorado, welche sämmtlich früher als selbstständige Gruppen angesehen wurden.

Zweifelhaft ist das Verhältniss dreier gleich zu nennender Schichtenreihen zur Laramiegruppe. White begnügt sich daher mit einer Aufzählung der in denselben gefundenen Arten:

1. Kohlenführende Schichten von Evanston, Wyoming:

Pisidium saginatum White; *Bulinus disjunctus* White?; **B. subelongatus* Meek u. Hayd.; **B. longiusculus* M. u. H.; *Helix Evanstonensis* White; *Macrocyclis spatiosa* M. u. H.; *Columna teres* M. u. H.;

Hydrobia recta White. Die hier und unten mit einem Stern bezeichneten Arten wurden ursprünglich in ächten Laramie-Schichten gefunden.

2. Schichten von Upper Kanab, Utah.

Unio gonionotus White; **Corbula undifera* Meek var. subundifera White; *Planorbis* (*Bathyomphalus*) *Kanabensis* White; *Physa Kanabensis* White; *Helix Kanabensis* White.

3. Kohlenführende Schichten von Wales, Utah.

Unio mendax White (früher mit *U. vetustus* Meek vereinigt); *Goniobasis nebrascensis* M. u. H.; *G. tenuicarinata* M. u. H.; *Viviparus?*

Die unter 1 und 2 aufgeführten *Bulinus disjunctus* und *Unio gonionotus* sind in dieser Arbeit Taf. 20 und 23 aufgenommen.

In der folgenden Liste sind nun nur Versteinerungen ächter Laramieschichten (inclus. der Bear River-Schichten) aufgeführt. Nur ein Theil derselben ist ausführlicher beschrieben und abgebildet (mit einem Stern bezeichnet), ein anderer Theil ist aber mit Hinweisen auf diejenigen Stellen versehen, wo Beschreibungen und Abbildungen zu finden sind. Mit Ausnahme einiger Ostracoden und eines Vorkommens von Insecteneiern (*Corydalites fecundum* Scudder, Bull. U. S. Geol. Surv. Terr. Vol. IV. 537—540. 1878) sind es nur Mollusken. Es bedarf keines Hinweises darauf, wie werthvoll diese Synopsis einer interessanten in den verschiedensten Werken behandelten Fauna ist.

Conchifera: *O. glabra* M. u. H.; **Anomia gryphorhynchus* Meek; **A. micronema* Meek; * *Volsella* (*Brachyodontes*) *regularis* White; * *V.* (*Brachyodontes*) *laticostata* White; **Axinea Holmesiana* White; **Nuculana inclava* White; **Anodonta propatoris* White; **A. parallela* White; * *Unio Aldrichi* White; * *U. goniambonatus* White; * *U. brachyopisthus* White; **U. Conesi* White; * *U. propheticus* White; * *U. proavitus* White; * *U. Endlichi* White; * *U. Holmesianus* White; * *U. Danae* M. u. H.?; * *U. gryptorhynchus* White; * *U. senectus* White; * *U. primaevus* White; *U. priscus* White; *U. subspatulatus* M. u. H.; *U. Deweyanus* M. u. H.; *U. vetustus* Meek; *U. belliplicatus* Meek; * *U. gonionotus* White; *Sphaerium planum* M. u. H.; *S. recticardinale* M. u. H.; *S. formosum* M. u. H.; *S. subellipticum* M. u. H.; **Corbicula obesa* White; **C. cardinaeformis* White; **C. Cleburni* White; * *C. cytheriformis* M. u. H.; *C. nebrascensis* M. u. H.; **C. occidentalis* M. u. H.; **C.* (*Leptesthes*[1]) *fracta* Meek; **C.* (*Leptesthes*) *planumbona* Meek; **C.* (*Leptesthes*) *macropistha* White; *C.* (*Leptesthes*) *subelliptica* M. u. H.; *C.* (*Veloritina*[2]) *Durkeei* Meek, *Corbula subtrigonalis* M. u. H.; *C. pernudata* M. u. H.; *C. crassatelliformis* Meek; *C. tropidophora* Meek; *C. mactriformis* M. u. H.; **C. undifera* Meek; **C. undifera* var. subundifera White; *C. pyriformis* Meek.

Gastropoda: *Rhytophorus*[3] *priscus* Meek; **R. Meeki* White; *Acro-*

[1] Diagnose: U. S. Geol. Surv. Terr. (4⁰ ser.) Vol. IX. p. 161.
[2] Diagnose: U. S. Geol. Surv. Terr. (4⁰ ser.) Vol. IX. p. 121.
[3] Diagnose: U. S. Geol. Surv. 4⁰th Parallel (King) p. 175.

lexus minutus M. u. H.; *Planorbis convolutus* M. u. H.; *P.* (*Bathyomphalus*) *amplexus* M. u. H.; *P.* (*Bathyomphalus*) *planoconvexus* M. u. H.; *Limnea nitidula* Meek; *L.* (*Pleurolymnaea*[1]) *tenuicostata* M. u. H.; **Acella Haldemani* White; **Physa felix* White; **P. Copei* White; *P.?*; **Bulinus atavus* White; **B. disjunctus* White; *B. longiusculus* M. u. H.; *B.? rhomboideus* M. u. H.; *B. subelongatus* M. u. H.; *Vitrina? obliqua* M. u. H.; *Hyalina? occidentalis* M. u. H.; *H.? Evansi* M. u. H.; *Helix vetusta* M. u. H.; *Thaumastus limnaeiformis* M. u. H.; *Columna teres* M. u. H.; *C. vermicula* M. u. H.; **Neritina volvilineata* White; **N. naticiformis* White; **N.* (*Velatella*[2]) *baptista* White; *Cerithidea* (*Pirenella*) *nebrascensis* M. u. H.; **Goniobasis Cleburni* White; **G. chrysallis* Meek; **G. chrysalloidea* White; **G. Endlichi* White; **G. macilenta* White; *G. gracilenta* M. u. W.; *G. convexa* M. u. W.; *G. invenusta* M. u. H.; *G. sublaevis* M. u. H.; *G.? omitta* M. u. H.; *G.? subtortuosa* M. u. H.; *G. nebrascensis* M. u. H.; *G. tenuicarinata* M. u. H.; **Melania? insculpta* Meek; **M. Wyomingensis* Meek; *Pyrgulifera*[3] *humerosa* Meek; *Cassiopella turricula* White; *Hydrobia Anthonyi* M. u. H.; *H. Warrenana* M. u. H.; *H. subconica* M. u. H.; *H.? eulimoides* M. u. H.; *Mycropyrgus*[4] *minutulus* M. u. W.; **Viviparus plicapressus* White; **V. prudentius* White; **V. Couesi* White; *V. Leai* M. u. H.; *V. retusus* M. u. H.; *V. peculiaris* M. u. H.; *V. trochiformis* M. u. H.; *V. Reynoldsianus* M. u. H.; *V. Leidyi* M. u. H.; *V. Conradi* M. u. H.; **Tulotoma Thomsoni* White; *Campeloma retula* M. u. H.; *C. multistriata* M. u. H.; *C. multilineata* M. u. H.; **C. macrospira* Meek; *Valvata subumbilicata* M. u. H.; *V. parvula* M. u. H.; *V.? montanensis* Meek; **Odontobasis buccinoides* White; **O.? formosa* White.

Über Contributions 5—8 berichten wir demnächst. **Benecke.**

W. M. Gabb: Descriptions of Caribbean Miocene fossils. (Journal of the Academy of Natural Sciences of Philadelphia. Vol. VIII. 2. ser. part IV. 333. 1881.)

Diese und die folgende Arbeit wurde nach dem Tode von Gabb von S. W. Tryon herausgegeben. Letzterer macht darauf aufmerksam, dass es ihm nicht möglich war, die von Gabb jedenfalls beabsichtigten weiteren Ausführungen hinzuzufügen.

Die kurz beschriebenen und meist abgebildeten Arten stammen aus Centralamerika (Costa Rica, Panama-Eisenbahn u. s. w.). Es sind folgende: *Nautilus* sp.; *Styliola bicostata; Drillia militaris* Hds.; *Phos inornata; Oliva ispidula* L.; *Malea ringens* Wood; *Natica Milleri*; *Lunatia eminuloides*, *L. sculpturata*; *Sigaretus multilineatus*, *S. numismalis; Terebra dislocata* Say, *T. Evansi; Strombus pugilis* L.; *Turritella antilirata* Conr., *T. Gatunensis* Conr.; *Trochita Collinsii*; *Kuphus incrassatus*; *Corbula*

[1] Diagnose: U. S. Geol. Surv. (4⁰ ser.) Vol. IX. p. 533.
[2] Diagnose: s. oben p. 292.
[3] Diagnose: U. S. Geol. Surv. 4⁰th Parallel (King) p. 176.
[4] Diagnose: U. S. Geol. Surv. 4⁰ ser. Vol. IX. p. 574.

Lavaleana Orb.; *Tellina Dariena* Conr.; *Meretrix Sopitensis*; *Callista maculata* L.; *Cyclina cyclica* Guppy; *Clementia Dariena* Conr.; *Cardium Newberryanum*, *C. Dominizense* Gabb, *C. Milleri*; *Lucina* sp.; *Crassatella mactropsis* Conr.; *Pinna seminuda* Lamk.; *Arca grandis* Brod. a. Sby., *A. Oronleusis; Axinaea pectinata* Lamk.; *Nuculana Milleri; Pecten? rudis* Sby., *P. paranensis* Orb.; *Janira sorex* Gabb; *Pleuronectia Lyonii; Lima papyracea; Ostrea Tryoni; Schizaster Scherzeri.* Die nicht mit dem Namen eines Autors versehenen Arten sind neu. **Benecke.**

W. M. Gabb: Descriptions of New Species of Fossils from the Pliocene Clay Beds between Limon and Moen, Costa Rica, together with Notes on previously known Species from there and elsewhere in the Caribbean Area. (Journal of the Academy of Natural Sciences of Philadelphia Vol. VIII. 2. ser. part IV. 349. 1881.)

Viele der aufgeführten Arten kommen noch lebend an der Küste von Cuba vor. Der Verfasser vermuthet, dass nach Durchforschung der westindischen Inseln sich überhaupt noch eine ganze Anzahl nur fossil bekannter Formen noch als lebend herausstellen werden.

Es werden aufgezählt:

Unbestimmbare Krabbe; *Atlanta ammonitiformis; Murex recurvirostris* Brod., *M. calcitrapa* Lamk.; *Fusus Henekeni* Sby.; *Melongena melongena* L.; *Turris militaris* Hds.; *Metula cancellata* Gabb; *Drillia Moenensis*; *Mangelia elongata* Gabb, *M. lata; Tritonium tritonis* L., *T. femorale* L., *T. lineatum* Brod., *T. lanceolatum* Kien.; *Distortis simillimus* Sby.; *Bursa nana* Sby., *B. cruentata* Sby.; *Nassa Caribaea*; *Oliva recticularis* Lamk.; *Fasciolaria tulipa* L.; *Latirus infundibulum* Gmel.; *Vasum muricatum* Born.; *Voluta musica* L.; *Marginella avena* Val., *M. chrysomelina* Rodf., *M. minor* Adams, *M. ovuliformis; Columbella varia* Sby.; *Strombina Limonensis*, *S. exilis; Cassis flamea* Lamk.; *Cassidea granulosa* Brug.; *Cassidaria laevigata* Sby.; *Morum oniscus* L.; *Natica canrena* L.; *Mamilla mamillaris* Lamk.; *Scalaria Candeana* Orb, *S. Leroyi* Guppy; *Ringicula semistriata* Orb.; *Turbonilla turris* Orb.; *Aclis microsculpta; Eulima crassilabris* Gabb; *Architectonica bisulcata* Orb., *A. granulata* Lamk.; *Conus leoninus* Hwass, *C. consobrinus* Sby., *C. regularis* Sby.; *Strombus bituberculatus* Lamk., *S. pugilis* L.; *Cypraea cinerea* Gmel., *C. carneola* L.; *Trivia pediculus* L.; *Cyphoma gibbosa* L.; *Cerithium Moenensis, C. biseriatum, C. limonensis*, *C. Caribaeum, C. triseriale, C. Collineii, C. Lordlyi, Bittium modestum* Orb., *B. dubium*; *Triforis turris-Thomae* Chemn.; *Modulus catenulatus* Küst.; *Rissoa tuberiana* Orb.; *Caecum crassicostatum, C. annulatum* Gabb; *Vermetus lumbricalis* L.; *Siliquaria sculpturata; Xylophora agglutinans* Lamk.; *Hipponyx crepidula*; *Adeorbis simplex, A. infracarinata*; *Calliostoma Guppyana; Gibbula tuberculosa* Orb.; *Margarita tricarinata; Vitrinella parva* C. B. Ad., *V. truncata, V. obliquestriata, V. crassicosta, V. pentagona* Gabb; *Parkeria* (neue Gattung; der Name ist übrigens schon vergeben) *vitrea* Gabb, *P. diaphana* Orb. sp., *P. in-*

conspicua; Fissurella nodosa Born; *Lucapina alternata* Say; *Dentalium dentale* L.; *Cylichna sulcata* Orb.; *Tornatina recta* Orb.; *Volvula acuta* Orb.; *Bulla striata* Brng.; *Operculatum indicum* L.; *Martesia striata* L.; *Tagelus lineatus; Corbula contracta* Say, *C. disparilis* Orb., *C. lavaleana* Orb.; *Tellina alternata* Say, *T. polita* Say, *T. appiusa*; *Donax Moenensis*; *Semele variegatum* Lamk.; *Venus rugosa* Gmel., *V. paphia* L.; *Callista maculata* L.; *Meretrix discoidea*; *Psephis cancellata; Caryatis Lordlyi, C. Guppyana, C. Petitianum* Orb., *C. muricatum* L., *C. serratum* L.; *C. medium* L., *C. declive, C. callopleurum*; *Papyridea bullata* L.; *Chama macrophylla* Chemn.; *Mysia orbella* Gld.; *Astarte meridionalis*; *Gouldia Guadalupensis* Orb.; *Cardita Conradiana*; *Lithophaga incurva*; *Crenella (Modiolaria) translucida; Pinna rudis* L.; *Arca imbricata* Brug., *A. Deshayesi* Hanley, *A. consobrina* Sby., *A. grandis* Brod. u. Sby.; *Axinaea sericata* Bre.; *Nucula Limonensis, N. Moenensis; Pecten exasperatus* Sby.; *Janira media* Lamk., *J. laevigata*; *Spondylus americanus* Lamk.; *Ostrea virginica* Gmel., *O. borealis* Lamk.; *Anomia ephippium* L.

Wo kein Autor hinter dem Speciesnamen genannt ist, ist die Art neu.

Benecke.

August Böhm: Über einige tertiäre Fossilien von der Insel Madura nördlich von Java. Mit 4 Tafeln und 2 Holzschnitten. (Denkschrift d. Math.-Naturw. Classe der Kais. Akad. d. Wissenschaften in Wien. Band XLV. pag. 359—372. 1882.)

Dr. Fr. Schneider, welcher auch die s. Z. von Beyrich bearbeiteten Kohlenkalk-Petrefacte von Timor sammelte, sandte an Suess eine Anzahl von tertiären Fossilien von Madura, welche durch Böhm untersucht sind. Es sind meist Echinoideen, unter denen sich folgende neue Formen fanden: *Hipponoë Schneideri* n. sp., *Echinolampas depressus* n. sp., *Echinolampas elevatus* n. sp., *Brissomorpha Mojsvari* n. sp., *Brissopatagus Sundaicus* n. sp., *Hemipatagus Madurae* n. sp., *Spatangomorpha eximia* n. gen. Die letztgenannte neue Gattung gehört in die Reihe *Eupatagus, Maretia, Hemipatagus*.

Nur eine Form konnte mit einer bereits bekannten identificirt werden, nämlich *Pleurechinus javanus* Mart., und dies Vorkommen ist insofern von höherer Bedeutung, als genanntes Fossil zu den Leitfossilien von tertiären Kalkbänken des östlichen Java gehört. Es kommt in Kalkbänken bei Podjok in der Residenzschaft Kediri, bei Wirosari in der Nähe von Grobogan in der Residenzschaft Samarang und in Djokdjokarta vor (vgl. Martin: Tertiär-Versteinerungen vom östlichen Java; Sammlungen d. geolog. Reichs-Museums in Leiden. Bd. I. p. 129). Da die betreffenden Kalkbänke bis jetzt noch nicht näher ihrem Alter nach bestimmt werden konnten, so wäre es sehr wünschenswerth zu erfahren, ob der von Madura angeführte *Pl. javanus* mit den übrigen von Böhm beschriebenen Petrefacten aus einer Schicht abkünftig ist.

Es sind ferner zwei neue *Spondylus*-Arten, *Sp. ornatissimus* n. sp. und *Sp. minor* n. sp. beschrieben und abgebildet, sowie zwei nicht näher be-

stimmte *Terebratula* spec. und eine *Waldheimia* sp. Ausserdem werden noch folgende Fossilien von Madura namhaft gemacht: *Stylophora digitata* Pallas., *Ostrea hyotis* L., *Ostrea lingua* Sow. (?), *Pecten Leopardus* Reeve, *Clementia papyracea* Gray, *Teredo arenaria* Lam. und *Conus striatellus* Jenkins (ist gleich *C. Lorvisii* Kien. — Ref.) — sämmtlich Arten, welche auch aus den jungmiocänen Ablagerungen von Java bekannt sind. Referent wies gleichzeitig mit Böhm nach, dass auch die altmiocänen Kalke von Java sich auf Madura wiederfinden (vergl. Neue Fundpunkte von Tertiär; Sammlungen . . . pag. 148).

Von besonderer Bedeutung erscheint das Resultat der Untersuchung Böhm's, „dass sich keine wesentliche, innere Verschiedenheit der damaligen Fauna von der heutigen erkennen lässt", dass auf Madura ebensowenig wie früher auf Java Petrefacte gefunden wurden, welche mit solchen aus europäischen und benachbarten Tertiär-Ablagerungen hätten identificirt werden können. Dies hat sich bis jetzt noch stets bestätigt, wenn, wie auch Böhm that, alle schlecht erhaltenen Petrefacte bei der Untersuchung ausgeschieden wurden, während man in Steinkerneu bisweilen europäische Arten wiederzuerkennen glaubte. Eine sehr erklärliche Ausnahme bilden nur die Kosmopoliten, unter ihnen Haifische, denn *Carcharodon megalodon* Ag. und *Hemipristis serra* Ag. sind dem Ref. aus dem Tertiär von Java (von Ngembak) bekannt, woselbst sie neben zahlreichen anderen Fossilien durch van Dyk gesammelt wurden. Erstere Art wurde auch schon von Everwyn bei Selatjan auf Java gefunden (Jaarboek van het Mynwezen in Nederl. Oost-Indië 1873. I. pag. 120).

Es möge erlaubt sein, hier schliesslich noch darauf hinzuweisen, dass Böhm sich im Irrthume befindet, wenn er eingangs sagt, dass die vom Ref. herausgegebenen Petrefacte von Java durch Herklots bestimmt seien. Letzterer hat nur die vom Ref. später revidirten Echiniden bestimmt.

[Der Autor dieser Arbeit hat uns ersucht, gelegentlich unseres Referates mitzutheilen, dass bei der Zeichnung des Diagramms von *Spatangomorpha* auf Tab. IV insoferne ein Irrthum unterlaufen ist, als das unpaare Ambulacrum, dessen Tafel-Anordnung in Folge des Erhaltungszustandes an keinem der beiden Stücke zu beobachten ist, nur mit wenig feinen Strichen skizzirt sein sollte, durch ein Missverständniss des Zeichners zu kräftig erscheint, was bei der Correctur leider übersehen wurde. Es sollte durch die leise Andeutung dieses Ambulacrums lediglich die Vollständigkeit des Bildes als solches gewahrt, keineswegs aber die unbekannte Anordnung der einzelnen Täfelchen dadurch erläutert werden. — Der Name *Echinolampas depressus* wurde schon früher von Gray einer in Florida lebenden Art beigelegt. Red.] K. Martin.

Ameghino: L'antiquité de l'homme dans la Plata. Vorgelegt von Gaudry in d. Sitzg. d. Soc. géol. d. France v. 25. April 1881. (Bull. soc. géol. France. 1880—1881. Ser. 3. T. 9. Paris. S. 370.)

Ameghino vertritt, wie schon früher Cope, die Ansicht, dass die Pampas-Formation pliocänen Alters sei. (Vergl. das Referat in dies. Jahrbuch 1882.

Bd. I. -275-.) Da nun zugleich, und zwar im Gegensatze zu Burmeister, vom Verf. behauptet wird, dass der Mensch ein Zeitgenosse jener bekannten Pampas-Fauna gewesen sei — so folgt, dass, nach Ameghino, dem Genus *Homo* in Süd-Amerika ein (sogar mittel-) pliocänes Alter zukommen würde.

In Betreff des Für und Wider in dieser Frage verweist Ref. auf das bereits in seinem oben angezogenen Referate Gesagte. In ausführlicherer Weise hat sich Ref. auch in seiner, im Folgenden angeführten Arbeit über diese Frage ausgesprochen. (Foss. Säugeth. v. Panin b. Riobamba. Paläontolog. Abhandl. herausg. v. Dames u. Kayser. Berlin 1882. Bd. I. Heft 2.) Derselbe will hier nur wiederholen, dass jene Pampas-Fauna wohl zweifellos der pliocänen Fauna Europas äquivalent ist, d. h. ein derselben gleichwerthiges Entwicklungsstadium darbietet. Dass aber damit noch keineswegs der Beweis geliefert ist, dass beide Faunen auch gleichaltrig seien.

Nach Ameghino ist die Reihenfolge der Faunen in Süd-Amerika die Folgende:

Historische Epoche: Hausthiere.

Neolithische Epoche: Gegenwärtige, eingeborene Fauna.

Meso- und paläolithische Epoche = Quartär. **Menschliche Reste,** *Palaeolama mesolithica, Lagostomus diluvianus, Auchenia diluviana, Cervus diluvianus.*

Pliocän (Terrain pampéen).

Ober-Pliocän. **Menschliche Reste,** *Lagostomus fossilis, Canis Azarae fossilis, Canis cultridens, Cervus pampaeus, Toxodon Platensis, Mastodon.*

Mittel-Pliocän. **Menschliche Reste,** *Smilodon, Arctotherium, Lagostomus angustidens, Canis vulpinus, Doedicurus, Macrauchenia.*

Unter-Pliocän. *Typotherium cristatum, Hoplophorus cristatus, Protopithecus Bonariensis, Ctenomys latidens.*

Miocän (Terrain patagonien). *Megamys, Toxodon Platensis, Nesodon, Homalodontotherium, Saurocetes.* **Branco.**

---

1) H. Burmeister: Description physique de la république argentine. T. 3ème. Animaux vertébrés. 1ère partie. Mammifères vivants et éteints. Avec atlas. Buenos-Ayres 1879; Halle bei Anton; Paris bei Savy. 8°. 55 S.

2) Henri Gervais et Florentino Ameghino: Les mammifères fossiles de l'Amérique du Sud. Buenos-Ayres. Paris bei Savy. 1880. 8°. 225 S.

Wohin soll es, so möchte Ref. ausrufen, mit unserer Wissenschaft der Paläontologie kommen, wenn nicht Bücher wie die vorliegenden entstehen? Bücher, wie diese, welche ein grösseres oder kleineres Formengebiet voll umfassen und das allenthalben zerstreute Material sammeln — sie sind bereits heute zu einer unabweisbar dringenden Nothwendigkeit geworden. Geringer vielleicht mag man den Vortheil schätzen, welchen sie dem Fach-

genossen durch Zeitersparniss gewähren. Unumgänglich nothwendig aber sind sie geworden, wenn bei jener sinnverwirrenden Fülle fossiler Gestalten noch ein correctes Arbeiten möglich bleiben soll.

Der Dank und die Anerkennung der Fachgenossen werden einstimmig solch Unternehmen begleiten. Aber freilich, dasselbe erweckt auch weitere Wünsche: Möchte doch das, was hier an der gesammten fossilen Säugethierfauna Süd-Amerikas geschieht, auch in der nördlichen Hälfte jenes Continentes einen Widerhall finden. Möchte auch dort ein Mann erstehen, der, wie die Verf., uns einen Überblick über die unübersehbare Menge von Formen giebt, welche in rastlosestem Eifer seit einigen Jahrzehnten beschrieben wurden!

Die in der Überschrift zuerst genannte Arbeit von Burmeister bildet eine Fortsetzung seiner bekannten Description physique. Sie behandelt die Säugethiere der Argentinischen Republik und zwar lebende wie fossile. Genera und Arten sind ausführlich beschrieben und z. Th. auch abgebildet.

Anders jenes zweitgenannte Buch von H. Gervais und Ameghino. Dieses beschäftigt sich nur mit den fossilen Säugern, giebt jedoch eine Übersicht über die gesammte fossile Säugethierfauna Süd-Amerikas. Aber die Verf. verheissen uns noch mehr. Das vorliegende Buch soll nämlich nur eine Art von Prodrome bilden, zu einem grossartig angelegten Werke, welches in eingehender Weise dasselbe Thema behandeln wird. Das Buch enthält daher noch keine Abbildungen, sondern giebt nur die Liste der fossilen Formen, deren jede einzelne kurz beschrieben ist. Diese Liste aber nennt nicht weniger als 300 Arten, unter denen sich an 70 neue befinden. Letztere werden am Schlusse des Referates aufgeführt werden. Dagegen ist es natürlich nicht möglich, den beschreibenden Inhalt der beiden Arbeiten hier wiederzugeben. Nur auf Eines möchte Ref. näher eingehen, weil es, obgleich von den Verff. nicht vom geologischen Standpunkt aus betrachtet, doch für eine in dieses Gebiet schlagende Frage von Wichtigkeit erscheint.

Vor nicht langer Zeit wurde die ja allbekannte fossile Säugethierfauna der Pampas-Formation von Cope für pliocänen Alters erklärt (vergl. das Referat in diesem Jahrbuch 1882. Bd. I. -275-). Und auch Ameghino wie Gaudry theilen diese Ansicht (vergl. d. vorige Ref.). Burmeister dagegen erachtete sie stets als dem Diluvium angehörig. Doch will er eine untere Abtheilung, welcher vorzugsweise die ausgestorbenen Geschlechter angehören, von einer oberen unterschieden wissen, welche mehr durch jetzt noch lebende Arten charakterisirt ist. Nur dieser letzteren Abtheilung, die etwa unserer postglacialen Zeit entspricht, sollen nach Burmeister die Reste des Menschen entstammen. Dem gegenüber behaupten nun aber H. Gervais und Ameghino, nicht nur in tiefen, noch unberührten Lagen der Pampas-Formation bei Mercedes menschliche Skelet-Theile mit solchen von *Glyptodon* etc. zusammenliegend gefunden, sondern auch Feuersteinsplitter und mit Einschnitten versehene Knochen jener ausgestorbenen Thiere an anderen Orten entdeckt zu haben. Das aber wäre, wenn es zweifellos sein sollte, von grosser Wichtigkeit. *Homo sapiens* ist in Europa entschiedenes Leitfossil für diluviale Schichten; denn alle vermeintlich tertiären Erfunde sind zweifelhafter Natur.

So lange aber *Homo sapiens* nur in den oberen Schichten der Pampas-Formation nachgewiesen war, konnten die unteren Lagen immerhin dem Pliocän angehören. Liegt er jedoch sicher bereits in den unteren Schichten, so müssen auch diese — wie Burmeister will — noch dem Diluvium zugerechnet werden, falls eben der Mensch auch jenseits des Oceanes nur dem Pleistocän angehört! Und in dieser Voraussetzung liegt das Bedenkliche, welches uns der Gefahr, einen Zirkelschluss zu begehen, aussetzt.

Die neuen Arten sind folgende:

Propithecus Bonaeriensis	Primates.
Conepatus Mercedensis	Carnivora.
Canis Azarae fossilis	
„ *cultridens*	
„ *protojubatus*	
Hydrochoerus magnus	Rodentia.
Kerodon major	
„ *minor*[1]	
* *Microcavia typus*	
„ *robusta*	
„ *intermedia*	
„ *dubia*	
Lagostomus fossilis	
Myopotamus priscus	
Ctenomys latigens	
Reithrodon fossilis	
Typotherium pachygnathum	Typotheridae
Toxodon Gervaisii	
„ *gracilis*	
Equus rectidens	
Auchenia gracilis	Ruminantia.
„ *frontosa*	
Palaeolama major	
„ *Owenii*	
„ *mesolithica*	
* *Hemiauchenia paradoxa*	
Cervus dubius	
„ *tuberculatus*	
„ *brachyceros*	
Antilope Argentina	
* *Platatherium magnum*	
Megatherium Gervaisii	Edentata.
„ *Lundii*	
Scelidotherium Taryense	
„ *Capellinii*	

[1] Die neuen Genera sind mit * versehen.

Mylodon Sauvagei
„ *Wienerii*
„ *Zeballozii*
* *Pseudolestodon Reinhardtii*
„ *Morenii*
„ *debilis*
„ *bisulcatus*
„ *trisulcatus*
Lestodon Bravardii
„ *Gaudryi*
„ *Bocagei*
„ *Blainvillei*
Doedicurus Urugayensis
„ *Poucheti*
* *Euryurus rudis*
Hoplophorus imperfectus
„ *perfectus*
„ *Burmeisteri*
Glyptodon principale
* *Thoracophorus elevatus*
Chlamydotherium typus
Euphractus aff. *villosus*
Tolypeutes aff. *conurus*
Proapus aff. *hibridus*

} Edentata.

Didelphys incertus } Marsupialia.

Otaria Fischeri } Phocidae.

Ausserdem noch mehrere unbenannte neue Genera und Arten.

Branco.

R. Lydekker: Note on some Gondwana Vertebrates. (Records Geol. Surv. of India. Vol. XIV. p. 174.)

Die Beschreibung von Wirbelthier-Resten aus Gondwana-Ablagerungen wird immer bis zu einem gewissen Grade dadurch behindert, dass Huxley für zwei Vorkommnisse dieser Schichten zwar Namen gegeben und dieselben publicirt hat, allein die Beschreibungen dieser Thiere bis heute noch nicht veröffentlicht sind.

In dem vorliegenden Aufsatze wird zunächst ein Unterkiefer erwähnt, der einem Labyrinthodonten angehört und wahrscheinlich eine vollkommen neue Gattung darstellt. Die verwandtschaftlichen Verhältnisse werden aber nicht näher erörtert.

Weiters werden Crocodil-Reste beschrieben, die nahe verwandt sind sowohl mit *Praenchus Hislopi* als auch mit *Belodon*, sich jedoch wohl von beiden unterscheiden lassen. Ein Name wird indessen dafür nicht eingeführt.

Die im vorliegenden Aufsatze am ausführlichsten besprochenen Reste sind Kieferstücke eines *Hyperodapedon*, die mit *Hyperodapedon Granti* Hux. verglichen werden, sich aber sehr wohl davon unterscheiden lassen und für die der Name *H. Huxleyi* Lyd. vorgeschlagen wird. **Waagen.**

C. Grewingk: Über fossile Säugethiere von Maragha in Persien. (Verhandl. k. k. geol. Reichs-Anstalt. 1881. S. 296. N. 15.)

Schon früher war von Maragha durch Brandt und Abich eine Anzahl fossiler Säugethiere bekannt geworden, welche dem Fundort ein diluviales Gepräge verliehen (*Rhinoceros tichorhinus*, *Elephas primigenius, Bos bison, Cervus elaphus*, *Equus caballus, Asinus onager*). Neuerliche Erfunde aus derselben Gegend haben nun eine ganz andere Fauna geliefert: *Hipparion*, *Rhinoceros* sp. (non *tichorhinus*), *Mastodon?, Helladotherium*, *Tragoceros*. Verf. irrt wohl nicht, wenn er der Ansicht ist, dass beide Faunen verschiedenen Schichten entstammen werden. **Branco.**

Landois: Über die Reduction der Zehen bei den Säugethieren durch Verkümmerung und Verschmelzung. (Correspondenzblatt naturhist. Ver. f. Rheinland und Westphalen 1881. S. 125—129.)

Bei den Wiederkäuern beruht die Reduction der Zehenzahl vornehmlich auf Verschmelzung. Bei den Einhufern aber nur auf Verkümmerung. Sieht man ab von *Hyaemoschus*, so sind bei lebenden Wiederkäuern die Metapodien zwar verwachsen, die Zehen jedoch noch getrennnt. Ein lebendes Kalb indessen, welches Verf. untersuchte, zeigt auch an den Zehen bereits dieselbe Tendenz zur Verschmelzung, welche an den Metapodien die Regel ist. Denn an dem Mittelfusse sind die, sonst ja getrennten, Gelenkköpfe schon etwas miteinander verwachsen. Die beiden ersten Phalangen sind vorn zwar noch getrennt, hinten aber zu einem einzigen Knochen verschmolzen; und ebenso verrathen die zweiten und dritten Phalangen ihre Zusammensetzung aus zwei Knochen nur noch durch geringe Anzeichen.

Branco.

R. Hoernes: Säugethier-Reste aus der Braunkohle von Göriach bei Turnau in Steiermark. (Jahrbuch k. k. geol. Reichs-Anstalt. 1882. Bd. 32. Heft 1. S. 153—164. Taf. II und III.)

R. Hoernes: Säugethierreste (*Mastodon* und *Dicroceros*) aus der Braunkohle von Göriach in Steiermark. (Verhandl. k. k. geol. Reichs-Anstalt. 1882. N. 3. S. 40 u. 41.)

R. Hoernes: Säugethierreste aus der Braunkohle von Göriach bei Turnau. (Verhandl. k. k. geol. Reichs-Anstalt. 1881. N. 17. S. 329—331.)

Die mittelmiocäne Kohle von Göriach im Turnauer Tertiärbecken hat die folgenden Säugethierreste geliefert:

1. *Felis Turnauensis* n. f. Eine kleine Katzenform, welche desswegen interessant ist, weil bisher nur weit grössere *Felis*-Arten bekannt geworden sind.

2. *Rhinoceros* aff. *Austriacus* Peters. Ein Prämolar des Oberkiefers, kleiner als der entsprechende Zahn der von Peters aufgestellten Art und auch mit geringer entwickeltem Basalwulste versehen. Aus letzterem Grunde also weniger zu *Aceratherium* hinüberweisend, als dies bei dem echten *Rh. Austriacus* der Fall ist.

3. *Dicroceros fallax* n. f. H. v. Meyer legte auf das sogen. *Palaeomeryx*-Wülstchen bei der Diagnose dieser Gattung entscheidenden Werth. Der Verf. neigt sich jedoch der, auch von französischen Autoren vertretenen Ansicht zu, dass dasselbe kein untrügliches Merkmal sei. Denn es scheine an den vorderen Molaren sogar ganz fehlen zu können und verschwinde überhaupt an tief abgekauten Molaren, so dass H. von Meyer in Folge des letzteren Umstandes mit der Bestimmung *Dorcatherium* selber in einen Irrthum verfallen sei. Daher zieht Verf. den Namen des *Dicroceros* vor.

(Wenn man die starke Variabilität der Basalpfeiler an Zähnen lebender Wiederkäuer in Erwägung zieht, so dürfte a priori Gleiches auch von fossilen Formen wahrscheinlich sein. Gibt es doch selbst von Tylopoden, die, was Ausstattung mit basalen Verstärkungen anbetrifft, weit hinter *Bos* und *Cervus* zurückzustehen pflegen, Gebisse, welche mit langen *Bos*-ähnlichen Basalpfeilern versehen sind. Ref.)

4. *Hyotherium Sömmeringi* H. v. Meyer. Ein letzter Molar des Unterkiefers, wegen weniger complicirteren Baues vermuthlich einem weiblichen Thiere angehörig.

5. *Chalycomis Jägeri* H. v. Meyer non Kaup, denn die durch Meyer von Turnau beschriebene Form hält Verf. nicht für ident mit der Kaup'schen. Es ist dies der dritte Erfund eines biberartigen Thieres aus mittelsteirischen Schichten.

6. *Mastodon* sp. *(angustidens?)*, nur in Fragmenten vorhanden.

Branco.

R. Hoernes: Vorlage von Säugethierresten aus den Braunkohlen-Ablagerungen der Steiermark. (Verhandl. k. k. geol. Reichs-Anstalt. 1881. N. 17. S. 336—339.)

Von Eibiswald und Wies stammende Reste. Besonders interessant ist ein Unterkiefer von *Mastodon angustidens*, an welchem vertikal unter zwei Milchzähnen durch Wegpräpariren des Kiefers die beiden Ersatzzähne sichtbar gemacht wurden. Branco.

Pouech: Sur un ossement fossile supposé appartenir a un mammifère, trouvé dans les gris crétacés du Mas-d'Azil (Ariège.) (Bullet. soc. géol. France. 1880—81. Sér. 3. T. 9. 22. Nov. 1880. S. 88—90.)

Wer den Titel obiger Arbeit liest, wird die ausserordentliche Wichtigkeit ermessen, welche dem hier in Frage stehenden fossilen Knochen zu-

kommen würde, wenn er wirklich einem Säugethiere angehörte. Denn derselbe entstammt den obersten Schichten der Kreideformation (Ariège), welche der Mastrichter Kreide äquivalent sein sollen.

Es handelt sich um ein rechtes Hüftbein, welches ungefähr demjenigen eines grossen Pachydermen gleicht. Die Maasse sind angegeben, leider aber fehlt eine Abbildung, so dass ein Urtheil nicht möglich ist.

Branco.

---

1) Bose: Undescribed fossil Carnivora from the Siwalik Hills in the British Museum. (Quarterly Journal Geological Soc. Lond. Vol. XXXVI. p. 119. Pl. VI.)

2) Lydekker: Note on some Siwalik Carnivora. (Records Geol. Surv. of India. Vol. XIV. p. 57.)

3) Bose: Undescribed fossil Carnivora from the Siwalik Hills in the British Museum. (Records Geol. Surv. of India. Vol. XIV. p. 263.)

In den vorliegenden Abhandlungen wird ein ziemlich heftiger Streit ausgefochten, der durch den Inhalt des unter Nr. 1 angeführten Aufsatzes hervorgerufen wurde. In diesem Aufsatze hatte H. Bose nicht nur folgende Raubthiere:

Canis curvipalatus Bose — *Machaerodus palaeindicus* Bose
Hyaena felina Bose — *Felis grandicristata* Bose

neu beschrieben, sondern auch in der Einleitung sich des Längeren über das Alter der Siwalik-Schichten, die er für miocän erklärt, verbreitet.

Gegen beide Theile von Bose's Arbeit wendet sich H. Lydekker. In einer sehr interessanten und eingehenden Erörterung wird von ihm nochmals das neogene Alter der Siwalik-Schichten begründet. Es wird betont, dass die Siwalik-Schichten ein seit dem Ende der Nummuliten-Zeit abgelagertes und bis in die post-pliocäne Zeit hereinreichendes ununterbrochenes Schichtensystem darstellen, und es so natürlicher Weise nicht möglich ist, das ganze System mit irgend einer der Europäischen Schichtenabtheilungen gleichzustellen, dass aber auch die in diesem Schichtensystem enthaltene Säugethier-Fauna nothwendiger Weise zu demselben Schluss führe, dass sowohl miocäne als auch pliocäne Typen hier vertreten seien, das ganze System also nur als Neogen angesprochen werden könne. Daraus aber, dass eine ausschliesslich aus älteren Typen zusammengesetzte Fauna sich nur in den tieferen Lagen findet, während in den höheren Lagen viele ältere Typen neben jüngeren vorkommen, glaubt Lydekker den Schluss ziehen zu dürfen, dass in den Siwalik-Schichten gewissermassen Zwischenbildungen vertreten seien, die, während einer Periode ungestörter Entwicklung abgelagert, das Herüberreichen älterer Typen in jüngere Ablagerungen ermöglichten.

Von Bose's Arten wird:

Hyaena Felina B. identificirt mit *H. Sivalensis* Falc. u. Cautl.
Machairodus palaeindicus B. „ „ *M. Sivalensis* Falc. u. Cautl.
Felis grandicristata B. „ „ *F. cristata* Falc. u. Cautl.

während *Canis curvipalatus* Bose als ungenügend begründet hingestellt wird.

Bose in seiner Entgegnung erklärt sich zunächst bezüglich des Alters der Siwalik-Schichten einverstanden mit den Ausführungen Lydekker's und gibt in diesem Punkte seine frühere Ansicht auf. Bezüglich der von ihm aufgestellten Arten aber glaubt er wenigstens den *Canis curvipalatus* als hinreichend begründet und *Hyaena Felina* als sicher verschieden von *H. Siwalensis* Falc. u. Cantl. festhalten zu müssen. Auch *Machairodus palaeindicus* dürfte wahrscheinlich von *M. Siwalensis* verschieden sein, doch bedarf diese Verschiedenheit noch einer auf ausreichendes Material gestützten Begründung. *Felis grandicristata* wurde vom Autor bereits bei Aufstellung des Namens als zweifelhaft hingestellt. **Waagen.**

---

1) John W. Judd: On the occurrence of the remains of a Cetacean in the Lower oligocene strata of the Hampshire basin. (Quarterly journal of the geolog. soc. 1881. V. 37. S. 708—709.)

2) H. G. Seeley: Note on the caudal vertebra of a Cetacean discovered by prof. Judd in the Brockenhurst beds, indicative of a new type allied to *Balaenoptera*. (Quarterly journal of the geolog. soc. 1881. Vol. 37. S. 709—712.) 3 Holzschnitte.

Das ältere Tertiär Englands ist ausserordentlich arm an Meeres-Säugethieren. Dem bisher einzigen Erfunde eines solchen, und zwar eines *Zeuglodon Wanklyni* aus dem Barton clay, reiht sich nun ein zweiter, hier beschriebener an. Es ist ein Schwanzwirbel, welcher in unteroligocänen, also etwas jüngeren Schichten zu Roydon gefunden wurde. Eine generische Präcisirung lässt sich nun allerdings auf Grund eines Schwanzwirbels nicht vornehmen. Doch besitzt derselbe ein Interesse dadurch, dass er von den entsprechenden aller lebenden und fossilen Geschlechter abweicht, also jedenfalls ein neues Geschlecht repräsentirt. Dieses zeigt sich dem Genus *Balaenoptera* näher verwandt als demjenigen der *Balaena*.

Branco.

Owen: Description of part of the femur of *Nototherium Mitchelli*. (Quarterly journal of the geolog. soc. London. Vol. 38. Aug. 1. 1882. N. 151. S. 394—396. Taf. 16.)

Das distale Ende eines Femur, aus Queensland in Australien stammend, wird vom Verf. dem Genus *Nototherium* zugeschrieben und auf die Species *N. Mitchelli* bezogen. An der Hand einer Tafel werden die Unterschiede des Knochens von dem entsprechenden der *Phascolomys* und des *Diprotodon* dargelegt. **Branco.**

R. Owen: A Monograph of the fossil Reptilia of the liassic formations. (Palaeontogr. soc. London 1861—1881.)

Das nach langen Unterbrechungen im Jahre 1881 zu Ende geführte Werk zerfällt in 3 Theile:

I. u. II. *Scelidosaurus Harrisoni*, ein Dinosaurier aus dem unteren Lias von Charmouth, Dorsetshire. — Schon im Jahre 1858 wurden die

ersten Reste in Gestalt von Femur und Tibia entdeckt, welche schon damals den Verfasser veranlassten, dieselben wegen ihrer Ähnlichkeit mit *Iguanodon* zu den Dinosauriern zu stellen. Seitdem sind die Skelettreste in grosser Zahl gefunden und zudem ein fast vollständiger Schädel, so dass *Scelidosaurus* zu den am genausten gekannten Dinosauriern gehört. Wir lernen in ihm ein Thier kennen mit kräftigen Hinterfüssen, die jedoch verhältnissmässig schlanker waren, als bei *Iguanodon,* mit schwachen Vorderfüssen, 6 oder 7 Halswirbeln, 16 Rückenwirbeln, einem (keine Rippen tragenden) Lendenwirbel, 4 Sacralwirbeln und mehr als 45 (so viel sind beobachtet) Schwanzwirbeln. Der Kopf ist *Iguanodon* ähnlich, auch in der Bezahnung; letztere zeigt jedoch auch Analogieen mit *Hylaeosaurus* und namentlich *Echinodon* aus dem Purbeck, welchen Verf. als kleinen oder jungen Dinosaurier ansehen möchte. Die Bezahnung ist thecodont. Der Körper war mit Knochenplatten bedeckt, welche namentlich auf den oberen Dornfortsätzen der Schwanzwirbel aufliegend gefunden wurden, aber auch die Seiten des Thieres scheinen z. Th. damit bedeckt gewesen zu sein, wie einzelne Schilder andeuten. — Der Hinterfuss war vierzehig mit stumpfen Endphalangen, vorn scheinen dieselben spitzer und krallenartiger gewesen zu sein.

III. Der dritte Theil zerfällt in drei Abschnitte, welche *Plesiosaurus, Dimorphodon* und *Ichthyosaurus* behandeln.

Plesiosaurus wird in 4 Arten beschrieben; zunächst der am längsten bekannte *Plesiosaurus dolichodeirus* aus dem unteren Lias, von welchem drei fast vollständige Skelette vorlagen; ferner *Plesiosaurus homalospondylus* aus den Schichten mit *Ammonites heterophyllus,* welcher von allen Arten den Plesiosauren-Charakter, nämlich die Länge des Halses und die Kleinheit des Kopfes am meisten ausgeprägt zeigt. Taf. VIII stellt das prachtvoll erhaltene Skelett von Whitby dar, welches im Museum der philosophischen Gesellschaft von York aufbewahrt wird. Eine dritte Art ist *Plesiosaurus rostratus* aus dem unteren Lias von Charmouth. Namentlich charakterisirt ihn die eigenthümliche, an *Pistosaurus* des Muschelkalks erinnernde Form des Kopfes. Die Schnauze verschmälert sich nämlich vor den Orbiten plötzlich schnabelartig, ist fast ebenso lang als der übrige Schädel und verbreitert sich vorn um ein geringes. Der Hals ist verhältnissmässig kurz, die Hinterfüsse etwas grösser, als die Vorderfüsse, der Schwanz von der gewöhnlichen Dimension bei Plesiosauren. Die vierte Art heisst *Plesiosaurus rugosus* und stammt aus dem unteren Lias mit *Ammonites stellaris* von Granby in Leicestershire, ähnlich *dolichodeirus,* aber durch grössere Concavität aller, aber namentlich der Schwanzwirbel von den übrigen Arten wohl unterschieden. — Eine fünfte Art, *Plesiosaurus Hawkinsii,* ist im Text nicht ausführlich beschrieben, sondern nur mit einer kurzen Bemerkung auf der Tafelerklärung in zwei Schädeln auf Taf. XVI abgebildet. Es geht aus ihnen hervor, dass diese Art in Bezug auf Ausdehnung des Schnauzentheils ungefähr in der Mitte zwischen *dolichodeirus* und *rostratus* steht.

Der zweite Abschnitt behandelt die Pterosaurier-Gattung *Dimorpho-*

don in der einzigen bisher bekannten Art *D. macronyx*. Die osteologischen Untersuchungen sind auf Taf. XX in der Reconstruction des Skelettes und in der verkleinerten idealen Skizze des lebenden Thieres zusammengefasst. Zunächst fällt am Kopf von *Dimorphodon* die Grösse mit den 3 grossen seitlichen Öffnungen, dem Nasenloch, dem mittleren Durchbruch und der Augenöffnung auf, welche zunächst an *Pterodactylus crassirostris* erinnern. Vorn stehen einzelne grosse Zähne, hinten im Unterkiefer eine Reihe viel kleinerer. 7 Halswirbel, 13 Rückenwirbel, 4—5 Sacralwirbel und 30 Schwanzwirbel setzen die Wirbelsäule zusammen. Der Schultergürtel ist durchaus Pterodactylen-ähnlich, ebenso die Vorderextremität, die durch gewaltige Ausdehnung des Flugfingers auffällt. Der Beckengürtel ist im Wesentlichen auch Pterodactylen-ähnlich, aber besonders durch die Scheibenform und Grösse der Ischia ausgezeichnet, die Ilia dehnen sich prae- und postacetabular (vogelähnlich) aus, das Os pubis ist vorn auch scheibenartig verbreitert. Alle 3 Knochen nehmen muthmaasslich an der Begrenzung des Acetabulum Theil. Der Hinterfuss hat fünf Zehen, von denen I—IV in Krallen enden, V dagegen mit verlängerten Phalangen, ohne Krallenendigung, versehen ist, so dass die Flughaut auch wohl an diesem eine Stütze fand. So stellt ihn auch die ideale Skizze dar, an welcher die Flughaut sogar bis zur Schwanzspitze reichend gedacht wird. Sehr beachtenswerth sind die Betrachtungen, welche Verf. der Beschreibung von *Dimorphodon* bezüglich der Lebensweise, muthmaasslichen Warmblütigkeit, Verwandtschaft mit Vögeln (wobei auch *Archaeopteryx* mehrfach zur Erwähnung kommt) und Reptilien anfügt. Der Abschnitt schliesst mit einer — wie es scheint, bisher völlig übersehenen — Notiz über einen *Rhamphorhynchus* von Pappenheim, der mit *Rh. Gemmingi* die grösste Ähnlichkeit hat, aber durch verschiedene Grössenverhältnisse in den einzelnen Theilen der Hinterextremität unterschieden ist. Verf. nennt die Art *Rhamphorhynchus Meyeri*. Besonders wichtig ist die Entdeckung eines 5. Fingers an dem Hinterfuss, welcher ähnlich gestaltet ist, wie bei *Dimorphodon* und wohl auch hier die Flughaut stützte*.

Die Beschreibung der liassischen Ichthyosauren nimmt, wie erwähnt, den dritten Abschnitt ein. Er beginnt mit einer historischen Einleitung und einer allgemeinen Osteologie dieser Thiere, welche im Wesentlichen Bekanntes übersichtlich zusammenfasst, aber namentlich durch den stets durchgeführten Vergleich mit anderen Reptilien-Ordnungen äusserst anziehend und belehrend ist. — Die Gattung ist durch folgende Arten

* Marsh hat in einer später zu besprechenden Arbeit eine mit Flughaut erhaltene Art *Rhamphorhynchus phyllurus* genannt und gibt als Unterschied von *Gemmingi* u. A. auch das Vorhandensein eines fünften Fingers am Hinterfuss an. Er hat sicher die Owen'sche Notiz übersehen, sonst würde er den Vergleich mit *Rh. Meyeri* Owen nicht ausgelassen haben. Es wird auf diese Marsh'sche Arbeit und die hier angedeuteten Charaktere der Pterosaurier zurückzukommen sein, wenn eine über diesen Gegenstand von Herrn Zittel in nächster Zeit zu erwartende Arbeit erschienen sein wird. W. D.

vertreten: 1. *Ichthyosaurus breviceps*, aus unterem Lias mit *Ammonites Bucklandi* von Brownish in Somersetshire, mit kurzem gedrungenem Schädel und Zähnen, welche an der Basis stark aufgeschwollen sind. 2. *Ichthyosaurus communis*, mit längerer Schnauze und kleineren, aber immer noch recht kräftigen Zähnen. 3. *Ichth. intermedius* und. 4. *Ichth. platyodon*, welche durch andere Dimensionen der Schädeltheile unter einander und von den beiden ersten abweichen. Von *platyodon* ist 5. *Ichth. conchyodon* durch kleinere und schlankere Zähne unterschieden. Ferner werden genannt: 6. *Ichth. longifrons* aus oberem Lias mit *Ammonites bifrons* der Cotteswold Hills. 7. *Ichth. latifrons*, schon 1825 von König beschrieben, von Lyme Regis. 8. *Ichth. acutirostris* mit langer, spitzer, vogelartiger Schnauze, welche bei 9. *Ichth. tenuirostris* noch länger und spitzer wird und in 10. *Ichth. longirostris* das Maximum von Dünne und Länge erreicht. 11. *Ichth. latimanus*, verwandt mit *communis*, aber durch relativ kleinere Hinterextremität unterschieden. 12. *Ichth. brachyspondylus* basirt auf Wirbeln, deren Centren im Vergleich zur Höhe und Breite kürzer sind, als bei anderen Arten. Im Schluss des Abschnittes führt Verf. aus, dass bei der Fischähnlichkeit der Wirbel doch die beiden Querfortsätze (Di- und Parapophysen) auf 2köpfige Rippen hinweisen und damit auf die Fähigkeit, den Rumpf auszudehnen und zusammenzuziehen und damit wieder auf das Vorhandensein von lufthaltenden Organen im Innern des Rumpfes, also auf Luftathmung. Nicht sicher ist für den Verf. die Warmblütigkeit, er neigt eher zur Annahme des Gegentheils. Zuletzt wird die zur Erkennung der Beute in Nähe und Ferne ausgezeichnete Beschaffenheit der Augen hervorgehoben. — Instructive Abbildungen der verschiedenen Skeletttheile, von Individuen mit Jungen im Leibe, durch deren Beobachtung Verf. die Ichthyosauren mit Seeley u. A. für ovovivipar anspricht, und von Resten der Körperhaut, die auch die Füsse umzog, begleiten die Monographie. **Dames.**

J. Leidy: Remarks on *Bathygnathus borealis*. (Journal of the Academy of Natural Sciences of Philadelphia. Vol. VIII. 2. ser. Part IV. 449. 1881.) 1 Holzschnitt.

Im Jahre 1854 beschrieb Leidy im Journal der Akademie von Philadelphia ein Fossil aus rothem Sandstein der Prince Edwards-Insel, welches er *Bathygnathus borealis* nannte. Das Stück, eine Kieferhälfte mit Zähnen, liegt jetzt in der Sammlung in Philadelphia. Owen rechnete *Bathygnathus* (Qu. Journ. 1876, 360) zu seinem Theriodontia. Indem nun Leidy in der vorliegenden Mittheilung auf einige nicht richtige Deutungen hinweist, welche seine Abbildung erfahren hat, kommt er zu dem Schluss, dass *Bathygnathus* nicht sowohl mit *Lycosaurus* und anderen Theriodonten, sondern vielmehr mit *Megalosaurus* und *Teratosaurus* verwandt sei.

Benecke.

H. G. Seeley: The Reptile Fauna of the Gosauformation preserved in the geological Museum of the University of Vienna. With a note on the geological horizon of the fossils at Neue Welt, west of Wiener Neustadt by E. Suess. (Quart. journ. geol. soc. Bd. XXXVII, 1881, pag. 620—707, taf. XXVII—XXXI.)

Die an der im Titel genannten Localität gesammelten Reptilreste sind vor 11 Jahren in den Abhandlungen der k. k. geol. Reichsanstalt zuerst von Dr. E. Bunzel bearbeitet worden. Seit dieser Zeit ist manches neue dazu gekommen und Verf. hat sich, einer Einladung des Herrn E. Suess entsprechend, der Arbeit unterzogen, das gesammte, alte und neue Material einheitlich darzustellen. Dabei ist denn eine grosse Zahl von Differenzen in den Ansichten der beiden Autoren zu Tage getreten, welche im ersten Theil der Arbeit aufgezählt werden. So z. B. sind die auf der 4. Tafel der Bunzel'schen Abhandlung dargestellten Objecte vom Verf. vielfach anders gedeutet: was dort unter Fig. 1 u. 2 als Knochenschild eines Crocodils angesehen ist, hält Verf. für das eines grossen Dinosauriers; Fig. 3 nach Bunzel ein rechtes Ilium von *Iguanodon Mantelli* ist nach Seeley ein Coracoid eines grossen Dinosauriers und die auf derselben Tafel dargestellten und *Scelidosaurus* zugeschriebenen Schwanzwirbel stellt Seeley zu derselben Gattung, welcher das Coracoid angehört. Die Fig. 11 u. 12 (nach Bunzel Crocodil-Phalangen) werden als Metacarpalia und Metatarsalia eines Dinosauriers betrachtet, zu dem auch die Endphalanx (Fig. 4, 5) gehören soll, welche Bunzel zu *Scelidosaurus* gestellt hatte. Dies nur als Beispiel. So geht es in der Kritik über alle anderen Tafeln fort. Die Resultate Seeley's sind nun folgende: Die zahlreichsten Reste gehören zu einem carnivoren Dinosauriergeschlecht *Crataeomus*, welches in vieler Beziehung *Scelidosaurus* gleicht. Ausserdem kommen noch folgende Dinosauriergeschlechter vor: *Struthiosaurus* (vielleicht in *Crataeomus* aufgehend), *Hoplosaurus*, *Oligosaurus*, *Rhadinosaurus*, *Ornithomerus*, *Megalosaurus*, *Doratodon* (vielleicht mit *Rhadinosaurus* ident) und *Mochlodon*, (also mit Ausserachtlassung des fraglichen *Struthiosaurus* und *Doratodon*) sieben Dinosauriergattungen. Weiter ist je eine Gattung von Crocodilen, Eidechsen und Pterodactylen beobachtet. Die Schildkröten sind durch 2 Gattungen und 5 Arten vertreten, von denen jedoch nur 2 beschrieben wurden. Verf. nimmt an, dass damit die Fauna keineswegs erschöpft ist. — Aus der grossen Zahl der Detailbeschreibungen sei nur einzelnes, besonders Wichtiges hervorgehoben. *Mochlodon Suessi* (Bunzel) ist aufgestellt auf einen rechten Unterkiefer eines Sauriers, der mit *Iguanodon* Ähnlichkeit besitzt, aber sich durch die vorn spitz zulaufende Schnauze genügend unterscheidet. Dazu werden mehrere, sehr an *Iguanodon* erinnernde Zähne, ein Parietale und eine Scapula gerechnet. —

Struthiosaurus austriacus Bunzel wird von Neuem beschrieben; das auffallend vogelähnliche Hinterhauptfragment wird mit *Acanthopholis horridus* verglichen, von dem Verf. eine genauere Beschreibung nach einem, schon von Huxley kurz besprochenen Stück von Folkestone gibt. — Die

Gattung *Crataeomus*, welche, wie erwähnt, die Hauptmasse der Reptilreste geliefert hat, ist zunächst mit *Scelidosaurus* verwandt. Wir lernen in ihm einen Dinosaurier mit wohlentwickeltem Hautskelett kennen; die grossen, über den Schwanzwirbeln liegenden Schilder sind comprimirt und endigen nach oben in einen scharfen, messerähnlichen Rand; auch die flachen, den Rippen aufliegenden Rückenschilder waren gekielt. Ausserdem sind kiellose Schilder mit tiefen Gefässgruben gefunden, die als Bauchschilder betrachtet werden. Aus der Schultergegend stammen muthmasslich Schilder, welche an den Enden in starke Stacheln auslaufen und auf der Mitte eine Anzahl conischer Ossificationen tragen. Endlich ist ein ochsenhornförmiger Schild gefunden, welcher auch zur Vorderextemität gehören könnte. In Rippen und Wirbeln sind nahe Beziehungen mit *Polacanthus* und *Acanthopholis* vorhanden, doch aber wiederum bestimmte Abweichungen. Im Gebiss steht *Crataeomus* denselben Gattungen nahe, aber am besten ist er von jenen durch die Extremitäten unterschieden. Das Schulterblatt ist säbelartig gekrümmt, hat einen kräftigen Acromialfortsatz; der Humerus ist kräftig und weist auf ein Thier mit starken Vorderextremitäten hin, deshalb auch wohl carnivor; denn herbivore Dinosaurier haben schwache Vorderbeine. Das Femur entbehrt des äusseren Trochanter am proximalen Ende, der den Iguanodonten zukommt, und ist ebenso kräftig entwickelt. Die Tibia ist bezeichnend durch ihre stark comprimirte Gestalt und stark nach vorwärts entwickelte Cnemialcrista. Die Fibula ist sehr vogelähnlich und ziemlich ebensogross als die Tibia. Die Metatarsalien und die Phalangen, welche wahrscheinlich hierher gehören, zeigen einen mehr flachen Fuss mit eher breiten als scharfen Klauen. Die Reste von *Crataeomus* werden in zwei Arten getheilt: *Crataeomus Pawlowitschi* Seeley und *lepidophorus* Seeley, welche letztere namentlich durch geringere Dimensionen und feinere anatomische Merkmale im Bau von Scapula, Humerus, Femur und Wirbeln unterschieden ist. — Als *Megalosaurus pannoniensis* Seeley werden 2 Zähne abgebildet, die sich von den bisher bekannten durch Kleinheit, feinere Kerbung und Kürze und Breite der Krone unterscheiden. — *Ornithomerus gracilis* wird das distale Femurende eines Dinosauriers genannt, welches Bunzel als Mitteltheil einer Eidechsenrippe gedeutet hatte. Es ist nur ein Fragment von 5,5 cm Länge, zeigt aber deutlich den inneren Trochanter der Dinosaurier. — *Doratodon carcharideus* Bunzel wird in die Dinosaurier gestellt, nicht, wie der erste Autor es wollte, zu den Crocodilen. *Rhadinosaurus alcimus* Seeley ist wiederum auf eigenthümlich geformte Femora gegründet, zu welchen mit Vorbehalt einige Humeri und Wirbeln gerechnet werden. Da von *Doratodon* nur Kopftheile, von *Rhadinosaurus* nur andere Skelettheile bekannt sind, lässt Verf. die Möglichkeit zu, dass beide Gattungen zusammengehören können. Noch wenig gekannt sind *Oligosaurus adelus* (Scapula, Humerus, Femur, Wirbel), *Hoplosaurus ischyrus* (Humerus, Scapula, Wirbel, Hautschilder, letztere durch eine bemerkenswerthe rhombische Sculptur, wie ein starkes Gewebe anzusehen), deren Merkmale nur im Vergleich mit anderen Formen und in Abbildungen klargelegt werden

können. Von einem Crocodil (*Crocodilus proavus* Seeley) sind zahlreiche Reste, auch Zähne, aufgefunden; die Wirbel sind procoel. Auch eine kleinere Art ist durch einen nicht näher beschriebenen Femurkopf angedeutet. Die beiden Schildkröten sind *Pleuropeltus Suessi* und *Emys Neumayri* genannt. Die Reste, auf denen sie basiren, sind recht dürftig; doch erkennt Verf. noch drei andere, von ihm aber nicht näher beschriebene Arten in denselben. Ein Lacertenwirbel wird als *Araeosaurus gracilis* Seeley, die unzureichenden Pterodactylenreste werden als *Ornithocheirus Bunzelii* Seeley besprochen, aber nicht abgebildet. — Die Abhandlung schliesst mit der im Titel bezeichneten Note von Suess. Die Gosau-Ablagerungen haben sich in praeexistirenden Thälern der triassischen und rhätischen Theile der nordöstlichen Alpen abgelagert und später eine grosse Zahl von Dislocationen und Faltungen erlitten. Sie bilden gewöhnlich grüne Abhänge am Fuss der mauerartig aufsteigenden triassischen und rhätischen Kalke. Bei Hallstatt im Gosauthal bieten mehrere Wasserrisse gute Aufschlüsse, die bei der „Neuen Welt" bei Wiener Neustadt durch mehrere Kohlengruben gewonnen sind, trotzdem die Schichten sehr gestört sind. Im Grossen und Ganzen ist zwischen beiden Localitäten keine sehr grosse Verschiedenheit. Folgendes ist die Schichtenfolge:

Zuunterst eine kalkige Breccie von verschiedener Dicke, der verfestigte Schutt der ringsum gelegenen Berge. Darauf folgen Süsswasserablagerungen, Sandsteine, Mergel und wenig Kohle mit *Melanopsis, Dejanira, Boysia, Tanalia, Cyclas, Unio* und Pflanzen, Palmen und Farne, wie *Pecopteris Zippei, Microzamia, Cunninghamites* und Dicotyledonen, ähnlich *Magnolia*, also eine Mischung des jüngeren dicotyledonen Typus mit einer Anzahl überlebender älterer Typen. Dies ist der Reptilienhorizont.

Nun beginnen brakische Ablagerungen mit *Cerithium, Omphalia* und *Actaeonella* z. Th. noch mit den vorigen, bisweilen auch mit wahren marinen Schichten mit *Hippurites organisans* und *Nerinaea bicincta* wechsellagernd. Dann folgen lockere Kalkmergel und Mergelkalke mit riffbauenden Corallen und massenhaften Hippuriten, wie *Hippurites cornu-vaccinum, Hippurites sulcatus, Caprina Aguilloni, Sphaerulites organisans* und zahlreichen, reichverzierten Gastropoden. Dies ist die echte französische Turon-Zone mit *Hippurites cornu-vaccinum.* Darüber liegen Schichten von lockern grauen Mergelsandsteinen, auch sehr fossilreich. Die riffbauenden Korallen und Hippuriten sind verschwunden oder sehr selten, die Corallen sind repräsentirt durch wenige Arten von *Cyclolites*, durch *Diploctenium lunatum* und namentlich durch *Trochosmilia complanata.* Hier erscheinen die ersten Ammoniten. Einige der charakteristischsten Fossilien sind *Natica bulbiformis, Cardium productum, Protocardia Hillana, Trigonia limbata* und *Janira quadricostata.* Diese als Zone der *Trochosmilia complanata* zu bezeichnende Schichtenreihe wird an einigen Stellen anscheinend von einem rosenfarbenen Kalk mit *Orbitoides* und kleinen Decapoden überlagert. Der letzte Complex besteht aus lockeren Sandsteinen, welche ausser *Inoceramus Cripsii* in grosser Individuenzahl

keine Petrefacten führen. Verf. schliesst mit den Worten: Ich kann daher nicht positiv aussprechen, dass das Alter der Reptilien, welche Sie zu bearbeiten so freundlich waren, genau das Ihrer Phosphatlager von Cambridge ist; aber sicher ist es, dass sie älter sind als die echten Turonablagerungen und speciell die Zone mit *Hippurites cornu-vaccinum*.

Dames.

H. G. Seeley: On *Neusticosaurus pusillus* Fraas, an amphibious reptile having affinities with the terrestrial Nothosauria and with the marine Plesiosauria. (Quart. journ. geol. soc. Bd. XXXVIII, 1882, pag. 350—366, Taf. XIII.)

Die beiden Exemplare eines kleinen plesiosaurenartigen Thieres, welche Fraas als *Simosaurus pusillus* (cfr. dies. Jahrb. 1882 I, -287-) beschrieben hatte, sind durch den früheren Besitzer, Julius Hoser, nach England geschickt, vom Verfasser untersucht und schliesslich vom British Museum angekauft worden. — Der Name *Neusticosaurus*, also die generische Abtrennung von *Simosaurus*, wird damit begründet, dass die Unterseite des Schädels zwischen Palatinen und Pterygoiden, und anscheinend auch zwischen Palatinen und Maxillen grosse Durchbrüche zeigt, welche bei *Nothosaurus* und *Simosaurus* fehlen. Weiter wird in der verschiedenen Ausbildung der Vorder- und Hinterextremitäten eine besonders interessante Thatsache erblickt. Während die Vorderfüsse nämlich plesiosauren-ähnliche Schwimmfüsse darstellen, in welchen allerdings Radius und Ulna viel länger und dünner sind als bei *Plesiosaurus*, so stellt das Hinterextremitätenpaar Füsse eines auf dem Lande lebenden Thieres dar. Das Femur ist lang und schmal, ebenso Tibia und Fibula. Einige wenige (2) Tarsalknochen und 4 oder 5 mit schmalen langen Metatarsalien und Phalangen versehene Füsse haben wenig Ähnlichkeit mit *Plesiosaurus*, vielmehr mit Landsauriern, namentlich Crocodiliern. Es wird daraus geschlossen, dass die Plesiosaurier Vorläufer gehabt haben müssen, welche Landthiere waren, und erst später sich zu schwimmenden Thieren umgestalteten. In solchen Thieren sieht Verf. den Elterntypus der grossen Saurierabtheilung, welche Meyer *Palaeosauria* genannt hat und in welche hier *Crocodilia*, *Rhynchocephalia*, *Chelonia*, *Ichthyosauria*, *Plesiosauria*, *Anomodontia* und *Dinosauria* einbegriffen werden; ihnen gegenüber stehen die *Cainosauria*, welche *Lacertilia* und *Ophidia* umfassen. [Diese Gruppirung befremdet insofern, als z. B. die Lacertilier unzweifelhaft schon paläozoisch waren, während die Chelonier erst im oberen Jura auftreten. Ref.] — Die Abweichungen, welche *Nothosaurus*, *Neusticosaurus* und Verwandte in der Extremitätenbildung von den typischen Plesiosauriern aufweisen, bedingen die Unterscheidung in zwei Unterordnungen, von denen die erste als *Nothosauria* bezeichnet wird, da der Meyer'sche Name *Macrotrachelia* auch auf die echten Plesiosauren passt. Dames.

W. H. Twelvetrees: On soma reptilian teeth from the upper permian cupriferous sandstones of Kargalinsk, near Orenburg, Russia. (Geol. mag. vol. IX. 1882. pag. 337—339. taf. VIII.)

Es werden drei Zähne abgebildet, von denen der erste einem weiter noch nicht bekannten theriodonten Reptil zugeschrieben wird und *Cynodraco major* Owen in der Form nahesteht, jedoch am hinteren Rande feiner gekerbt ist. Der zweite Zahn stellt einen Schneidezahn von *Deuterosaurus biarmicus* Eichwald dar, und der dritte stellt einen am Vorder- und Hinterrande fein gekerbten, gekrümmten, seitlich comprimirten, säbelförmigen Zahn dar, welcher fraglich einem Dinosaurier zugeschrieben wird. Dames.

W. Dames: Über den Bau des Kopfes von *Archaeopteryx**. (Sitzungsbericht d. k. preuss. Ak. d. Wiss. 1882. S. 817—819.)

Bei der Untersuchung der im Besitz des hiesigen königlichen mineralogischen Museums befindlichen *Archaeopteryx*, deren Resultate in einer ausführlichen, von Abbildungen begleiteten Beschreibung dargelegt werden sollen, ist durch Blosslegen der bisher noch von Gesteinsmasse bedeckt gewesenen Skelettheile zunächst eine genauere Einsicht in den Bau des Kopfes erlangt worden.

Als das Exemplar für die hiesige Sammlung erworben wurde, sah man auf der freiliegenden rechten Seite des Schädels zwei grosse Öffnungen, von denen die hintere, unter dem Schädeldach gelegene, unschwer als Augenöffnung erkannt werden konnte, und zwar um so leichter, als in derselben ein wohlerhaltener, knöcherner Augenring liegt, der aus einzelnen, schuppenartig übereinanderliegenden Plättchen besteht, ganz so, wie bei sehr vielen der lebenden Vögel. Der vordere Rand dieser Augenöffnung wird durch einen schmalen Knochen gebildet, der, etwas nach hinten gewendet, bis zur Basis des Schädels hinabreicht. Dieser Knochen, der nunmehr als das Lacrimale zu deuten ist, bildet zugleich die hintere Begrenzung einer zweiten, grossen und gerundet-dreieckigen Öffnung, in deren Mitte ein zerquetschtes, aus dem natürlichen Zusammenhange mit den übrigen Schädeltheilen gerissenes Knochenstück liegt. Diese Öffnung ist von denjenigen Autoren, welche über den Kopf der *Archaeopteryx* Mittheilungen gemacht haben, als Nasenloch gedeutet worden, so von C. Vogt** und von O. C. Marsh***. — Es zeigte sich nun, dass der vordere Theil des Schädels noch unter der Gesteinsmasse verdeckt lag, und erst durch sehr sorgfältiges Entfernen derselben ist der Schädel nunmehr in seinen Contouren völlig freigelegt. Hierbei ergab sich das wichtige Resultat, dass vor der bisher als Nasenloch gedeuteten noch eine vordere, dritte Öffnung liegt, welche, schief zur Längsaxe des Schädels gestellt, eine spitz-elliptische Form und eine Länge von 9 mm besitzt. Sie ist hinten durch eine schmale Knochenbrücke von der

* Mit Erlaubniss des Verfassers im Wortlaut wiedergegeben.
** Revue scientifique, 2e Série, XVII. 1879. p. 242.
*** British Association for the Advancement of Science at York. 1881.

mittleren Öffnung getrennt, oben und vorn von einem sehr schmalen Knochen (Theilen des Zwischenkiefers) begrenzt und erreicht die Spitze des Schädels nicht: vor ihr liegt noch ein circa 4 mm langer, gleichseitig-dreieckiger Knochentheil, welcher die Spitze des Schnabels bildet. Diese Öffnung ist es, welche als Nasenloch anzusprechen ist und ganz vom Zwischenkiefer umschlossen wird. Durch die Auffindung derselben ist nun eine viel grössere Ähnlichkeit mit dem Schädel lebender Vögel hervorgetreten, als man bis jetzt zu erkennen vermochte. Wie beim Vogel liegen drei Öffnungen auf der Seite des Schädels, eine hintere — Augenöffnung — eine mittlere, umschlossen vom Lacrimale hinten und Zwischen- und Oberkiefer vorn und unten, eine vordere — Nasenöffnung — ganz im Zwischenkiefer. Durch diese Analogie mit dem Schädel der lebenden Vögel ist aber auch das Studium der übrigen Schädeltheile wesentlich erleichtert. So wird das zerquetschte Knochenstück in der mittleren Öffnung als der innere, aufsteigende Theil des Oberkiefers anzusehen sein und ein langer, an der Schädelbasis hinlaufender, durch den Augenring zum Theil verdeckter Knochen als Theil des Vomer, resp. der Gaumenbeine. Weiter ist das Quadratbein, wenn auch seiner genaueren Gestalt nach nicht mehr zu erkennen, doch deutlich sichtbar, und dicht vor ihm ein kleiner, nur wenig aus dem Gestein hervorstehender Knochen, der seiner Lage nach nur das Pterygoid sein kann. Vom Schädeldach ist wenig erhalten, abgesehen von der mit Kalkspath ausgefüllten Gehirnhöhle eigentlich nur Bruchstücke der Frontalia. Das Hinterhaupt fehlt.

Ein weiteres durch die Entfernung der Gesteinsmasse erzieltes Resultat betrifft die Bezahnung. Zwei kleine, unter der mittleren Öffnung stehende Zähnchen waren schon vor der Blosslegung deutlich sichtbar. Nach derselben sind nun im Ganzen zehn Zähne zu erkennen, welche im Kieferrande stehen. Der vorderste von ihnen ist etwa 2 mm von der Schnabelspitze entfernt; jedoch sind Anzeichen dafür da, dass vor ihm noch ein oder zwei Zähne gestanden haben, die Bezahnung also bis zur Spitze des Schnabels reichte. Die Zähne selbst sind circa 1 mm lang, zuckerhutförmig, sehr spitz und — soweit sich das an einzelnen kleinen Stellen mit wohlerhaltener Oberfläche erkennen lässt — glänzend glatt, ohne senkrechte Furchen oder Streifen. Zwischenräume von kaum 1 mm Länge trennen die einzelnen Zähnchen von einander. Marsh nahm l. c. an, dass die Zähne nur im Zwischenkiefer ständen, da der letzte noch unter dem Nasenloch befindlich sei. Nachdem aber der Nachweis beigebracht ist, dass die bisher als Nasenloch betrachtete Öffnung in der That die mittlere der drei auf einer Schädelseite befindlichen ist, ist vielmehr anzunehmen, dass die Bezahnung sich nicht auf den Zwischenkiefer beschränkte, sondern auch auf den Oberkiefer, wenigstens den vorderen Theil desselben, erstreckte. Ferner hat Marsh die Vermuthung ausgesprochen, dass die Zähne in einer Rinne standen; aber auch dafür hat die bisherige Untersuchung keine Beweise oder Anhaltspunkte geliefert: es scheint vielmehr, dass jeder Zahn in einer besonderen Alveole steht. — Der Unterkiefer ist noch in seiner natürlichen Lage, d. h. in seiner Gelenkung am Quadratbein und mit dem oberen Rande dicht am

Schädel anliegend erhalten. Er zeigt einen postarticularen, nach hinten gewendeten Fortsatz, ähnlich wie er z. B. bei der Gattung *Anser* vorhanden ist. Die Lage des Unterkiefers, also die des geschlossenen Schnabels, verhindert zu beobachten, ob auch im Unterkiefer Zähne stehen, was ich mit Marsh für wahrscheinlich halte. Unter dem Unterkiefer liegt ein Theil eines nadelförmigen Zungenbeinhornes, wie solches bei lebenden Vögeln in ganz gleicher Ausbildung gekannt ist. — Die vielen sehr wichtigen Beziehungen, welche die *Archaeopteryx* im Schädelbau auch zu den Pterosauriern zeigt, werden in der ausführlichen Beschreibung derselben zur Erörterung kommen.

Schliesslich sei noch erwähnt, dass die noch nicht beendete Blosslegung des Schultergürtels bis jetzt ergeben hat, dass derjenige Theil, welchen C. Vogt* als Coracoïden deutet, sich bei genauerer Untersuchung nicht als Knochen, sondern als Gesteinsmasse erwiesen hat, so dass erst nach Entfernung derselben der Bau des Schultergürtels, soweit die Erhaltung es erlaubt, erkannt werden kann. Alle Folgerungen, welche aus der Beschaffenheit dieser Skelettheile auf die Beziehungen der *Archaeopteryx* zu Vögeln und Reptilien gezogen werden können, werden sich somit noch ergeben müssen.

J. W. Hulke: Note on the Pubis and Ischium of *Ornithopsis eucamerotus*. (Quart. journ. geol. soc. Vol. XXXVIII. 1882. p. 372—376. taf. XIV.)

Die beiden Knochen des Beckengürtels zeigen eine auffallende Übereinstimmung mit den betreffenden von *Atlantosaurus*. Im Os pubis befindet sich im erweiterten proximalen Theile das auch bei der amerikanischen Gattung beobachtete Loch, das distale Ende ist in ähnlicher Weise verbreitert; der Unterschied besteht eigentlich nur darin, dass der vordere Rand bei *Ornithopsis* convex, bei *Atlantosaurus* concav ist. Noch grösser ist die Übereinstimmung der Ischia, nur dass die Berührungsfläche mit dem Ilium bei *Ornithopsis* breiter und flacher ist als bei *Atlantosaurus*. Eine Übersicht über die Literatur von *Ornithopsis* schliesst den Artikel.

Dames.

H. Credner: Die Stegocephalen aus dem Rothliegenden des Plauen'schen Grundes bei Dresden. II. (Zeitschr. d. d. geol. Ges. Bd. XXXIII. 1881. p. 574—603. Taf. XXII—XXIV.)

Dieser zweite Theil enthält die Beschreibung einer zweiten Art von *Branchiosaurus*, *Br. amblystomus*, welche sich durch grosse Nasalia, durch gleichschenklig-dreieckige Postorbitalia, kürzere Jugalia, das Vorhandensein eines Sclerotikalpflasters, anscheinendem Mangel von Kiemenbögen, grössere Wirbelanzahl (25), schlankere Wirbelsäule, einen kräftigen Schup-

---

* l. c. S. 242, Fig. 18.

penpanzer auf der Bauchfläche von *Branchiosaurus gracilis* und den anderen Arten unterscheidet. Trotz dieser Differenzen hält es Verf. für wahrscheinlich, dass die hier beschriebene Art den ausgewachsenen Zustand von *Branchiosaurus gracilis* (Larvenzustand) darstellt. Da dieses Verhältniss der beiden zu einander nur vermuthungsweise angedeutet ist, sind sie nicht zu einer Art zusammen gezogen. Zahlreiche, vortreffliche Zeichnungen des Verfassers erläutern, auf 3 Tafeln zusammengestellt, den Text.

Dames.

J. V. Deichmüller: Über einige Blattiden aus den Brandschiefern der unteren Dyas von Weissig bei Pillnitz. Mit einer Tafel. Sämmtliche Abbildungen sind Schemata in dreifacher Vergrösserung. (Sitzungsberichte der naturwissenschaftlichen Gesellschaft Isis zu Dresden 1882. S. 33 ff.)

Weissig hatte, wie aus den Arbeiten von E. Geinitz bekannt, eine Reihe interessanter Blattidenreste geliefert. Verf. beschreibt ein Prachtstück der Freiberger Sammlung als *Etoblattina flabellata* Germ. sp. var. Stelzneri. Es sind daran beide Vorderflügel, Fragmente der Hinterflügel, das Halsschild und die beiden hinteren Beinpaare erhalten, auch die Lage des vorderen Beinpaares durch wulstförmige Erhöhungen angedeutet. Die Schenkel waren kantig, jedoch ohne Stacheln, die Schienen der Hinterbeine dagegen sind mit deutlichen, in Reihen ziemlich regelmässig angeordneten Dornen besetzt. So scheint sich also auch durch die Beine die Verwandtschaft mit den lebenden Gattungen *Blabera* und *Monachoda* zu bestätigen.

Von einem zwar vollständigen, aber schlecht erhaltenen Exemplare einer auf dem Rücken liegenden Blattine, dem Dresdener Museum gehörig, erschien nur die rechte Seite zur Beschreibung und Abbildung geeignet. Das Stück wird als „*Etoblattina? carbonaria* Germ. var." bezeichnet, aus dem Texte geht hervor, dass die von Weissig beschriebene var. Deichmülleri E. Gein. gemeint ist. Zur selben Form soll trotz etwas beträchtlicherer Grösse und trotz einiger Verschiedenheiten des Geäders ein Hinterflügel von Weissig in der Sammlung des H. W. Schmitz-Dumont in Dresden gehören.

Als „*Oryctoblattina oblonga*" n. sp. wird schliesslich ein vom Verf. gefundener und dem Dresdener Museum überwiesener Vorderflügel dargestellt, der freilich ein so eigenthümliches Randfeld, ungetheilte Externomedianader, einfache Vena internomediana und ein von Längsadern freies Analfeld besitzt, dass er wohl besser einer anderen Reihe von Orthopteren als den Schaben zuzurechnen wäre.

K. v. Fritsch.

H. B. Geinitz: Ein fossiler Pseudoscorpion aus der Steinkohlenformation von Zwickau. (Sitzungsber. u. Abh. der naturw. Ges. Isis in Dresden 1882. S. 31 und Zeitschr. d. Deutsch. geol. Gesellschaft 1882. Bd. 34. S. 238 u. Tb. 14.)

In den tieferen Schichten der Sigillarienzone bei Grube Morgenstern zu Reinsdorf bei Zwickau hat der Herr Cassirer Bley einen Pseudoscorpion entdeckt, welchen Geinitz beschreibt, abbildet und *Kreischeria Wiedei* nennt. Es ist ein gegen 50 mm langes Thier (ohne Kiefertaster und Füsse). Der parabolische Cephalothorax nimmt 15 mm, der Hinterleib 35 mm der Länge ein; letzterer erscheint 28 mm breit. Die gesammte, ursprünglich wohl hornige Körperoberfläche ist mit ungleichen rundlichen Höckern dicht bedeckt. Der Cephalothorax zeigt vorn ein fünfseitiges Mittelschild, an dessen schnabelförmigem Vorderende jederseits eine kleine ovale „Augenhöhle" liegt; daneben zwei kleine Seitenschilder. Eine tiefe umgekehrt T-förmige Mittelfurche hinter dem Mittelschilde scheidet zwei grössere Brustschilder von einander und von dem hinteren Brustringe. Es sind Randplatten der Brustringe vorhanden, an welche sich die 4 Paare grosser, mindestens viergliederiger Füsse befestigen. Der elliptische Hinterleib besteht aus acht Ringen, welche aus Mittelplatten und Randplatten zusammengesetzt, „in ihrer Mitte sattelförmig nach vorn, überhaupt aber etwas wellenförmig gebogen sind". Die hintersten Randplatten enden mit einem kurzen seitlichen Stachel. **K. v. Fritsch.**

H. Woodward: On a series of phyllopod crustacean shields from the upper Devonian of the Eifel; and on from the Wenlock shale of S. Wales. (Geol. mag. vol. IX. 1882. pag. 385—390. taf. IX.)

Bei einem Besuch von Büdesheim, welchen Verf. 1878 mit E. Lee unter Führung von F. Roemer ausführte, wurde er aufmerksam auf dunkle zweilappige Eindrücke, von den „Natives" Tintenflecken genannt, welche er nunmehr als Phyllopodenreste beschreibt. Er vertheilt dieselben in zwei Gattungen, *Cardiocaris* und *Pholadocaris*. — *Cardiocaris* stellt herzförmige Schilder dar, mit tiefem vorderen Ausschnitt, welcher in einigen Exemplaren durch ein dreieckiges Schild ausgefüllt ist, so dass dann der ganze Körper oval erscheint. Verf. nimmt an, dass das häufige Fehlen dieses Theiles darauf zurückzuführen ist, dass bei den Phyllopoden sich die Muskeln der Schwimm-Antennen, die Maxillen und die Kaufüsse an dem vorderen Theil des Kopfschildes befestigen und dass bei der Verwesung dieser vordere Theil sich vom hinteren leicht löste, als schwerer schneller zu Boden fiel und so getrennt von dem blattartigen leichteren Hinterschilde, der länger im Wasser umhergetrieben wurde, zur Ablagerung kam. Die nach verschiedenen Dimensionen und kleinen Formunterschieden aufgestellten, nach den Abbildungen zu urtheilen, jedoch schwer zu trennenden Arten werden *Cardiocaris Roemeri, veneris, lata* und *bipartita* genannt. *Pholadocaris* ist bei allgemein ähnlicher Form dadurch unterschieden, dass vom Centrum zwei divergirende Furchen nach hinten verlaufen und dass der von ihnen begrenzte Raum durch 12 feine Streifen, welche den Furchen parallel laufen, resp. fächerförmig stehen, eingenommen wird; die einzige Art ist *Pholadocaris Leei* genannt. — Schliesslich wird *Aptychopsis Salteri* nov. sp. aus dem Wenlock-

Shale von Pencarreg (oder Penkerrig) in Caermarthenshire abgebildet und besprochen. — [Die vom Verf. dargestellten Formen sind meines Wissens noch nicht genauer beschrieben, aber den deutschen Paläontologen sehr wohl bekannt. Ihre Deutung als Phyllopoden muss mit grossem Vorbehalt aufgenommen werden; abgesehen von einer ganz oberflächlichen Ähnlichkeit mit manchen Phyllopodenschildern ist für die Ansicht des Verfassers kaum eine Stütze da. Vielmehr würde man an Aptychen von Goniatiten denken können*, wofür jedenfalls der Umstand von Bedeutung ist, dass sie stets da vorkommen, wo Goniatiten häufig sind, ohne deren Begleitung aber noch nicht bekannt geworden sind. Ausser von Büdesheim sind sie z. B. auch von Bicken in unseren Sammlungen vertreten. — Ref.] **Dames.**

H. Woodward: Note on *Ellipsocaris Dewalquei*, a new phyllopod crustacean shield from the upper Devonian of Belgium. (Geol. mag. vol. IX. 1882. p. 444—445 und 4 Holzschnitten.)

Ein ovales, mit concentrischen Linien versehenes, vorn halbkreisförmig ausgeschnittenes Schild wird zu den Phyllopoden gerechnet und mit obigem Namen belegt. Es wurde bei Comblain-la-Tour, in der Provinz von Lüttich, in den „schichtes de Frasnes", also im Unteroberdevon gefunden. — Verf. fügt eine durch Holzschnitte erläuterte Übersicht der verwandten Gattungen hinzu, welche lautet:

Aptychopsis Woodw.
- a. Schild längs der Mittellinie durch eine Dorsalnaht getheilt.
- b. Nackennaht rechtwinklig.

Discinocaris Woodw.
- a. Schild ganz, keine Dorsalnaht.
- b. Nackennaht rechtwinklig.

Peltocaris Salter.
- a. Schild längs der Mittellinie durch eine Dorsalnaht getheilt.
- b. Nackennaht halbkreisförmig.

Ellipsocaris gen. nov. H. Woodw.
- a. Schild ganz, keine Dorsalnaht.
- b. Nackennaht halbkreisförmig.

[Über die zoologische Stellung vergl. die Bemerkung bei vorstehendem Referat. Ref.] **Dames.**

Fr. Noetling: Über *Lituites lituus* Montf. (Zeitschr. d. deutsch. geol. Ges. XXXIV. 1882. p. 156—194. Mit zwei Tafeln.)

Der erste Abschnitt der Arbeit behandelt das Gehäuse, das sich bekanntlich aus einem gekammerten aufgerollten und einem gekammerten ge-

---

* cfr. Graf Keyserling: Reise in das Petschoraland, p. 286. Taf. 13. Fig. 3—7.

streckten Theil, sowie aus der geraden Wohnkammer zusammensetzt. Der aufgerollte Theil besteht aus etwa 4 eng aneinanderliegenden, ein wenig in einander greifenden Windungen von ovalem Querschnitt. Der gestreckte gekammerte Theil bildet einen sehr spitzen Kegel von ziemlich constant bleibendem Wachsthumscoëfficienten und hat einen anfangs ebenfalls noch ovalen, sich aber später immer mehr dem kreisrunden nähernden Querschnitt. Die Höhe der Kammern nimmt zwar im Allgemeinen immer zu; indess sind nicht selten jüngere Kammern (besonders die der Wohnkammer unmittelbar voraufgehenden) beträchtlich niedriger als die älteren. Mit Recht wird daher hervorgehoben, dass die Kammerhöhe keinen specifischen Werth besitzt.

Sehr interessant sind die Beobachtungen an der Wohnkammer. Vom Mundrand wird sehr wahrscheinlich gemacht, dass derselbe mit im Ganzen 4 ohrenförmigen Verlängerungen oder Lappen versehen war, 2 längeren ventralen und zwei kürzeren dorsalen. Jedes Ohr liegt über einem Sattelvorsprung der Anwachswurzeln, während der zwischen je 2 Ohren liegende Ausschnitt mit einer Rückbiegung der Wachsthumsstreifen zusammenfällt. Am tiefsten ist der zwischen den beiden Ventralohren gelegene Ausschnitt. Im Jugendzustande waren wahrscheinlich nur 2 Ohren vorhanden.

Die Wachsthumswurzeln bilden auf Bauch, Rücken und beiden Seiten einen Sinus, während sich zwischen ihnen flache Sättel erheben. Diese Biegungen sind in der Jugend schwächer und erlangen ihre normale Gestalt erst da, wo das Gehäuse sich zu strecken beginnt.

Die Schale besteht von aussen nach innen 1. aus der fein quergestreiften Deckschicht, 2. aus der fein chagrinartig aussehenden punktirten Schicht und 3. aus der blättrigen glatten Schicht. Diese 3 Lagen entsprechen ganz denen des lebenden *Nautilus pompilius*, und zwar 1. der Porcellanschicht, 2. der schwarzen Schicht, 3. der blättrigen Perlmutterschicht.

Bei Besprechung des Sipho wird im Gegensatz zu Lossen und Remelé dessen excentrische Lage hervorgehoben.

Ein weiterer Abschnitt der Arbeit behandelt die Lage des Thiers in der Schale. Schon Quenstedt hatte die Analogie der Schalenskulptur von *Lituites lituus* mit derjenigen von *Nautil. pompilius* wahrgenommen und aus derselben auf eine gleiche Lage des Thiers bei beiden geschlossen. Der Verf. zeigt an den aufgewickelten Wachsthumsstreifen beider Formen, wie gross diese Ähnlichkeit ist. Man muss daraus auf eine analoge Configuration des Mundrandes und aus dieser auf eine übereinstimmende Lage des Thiers schliessen: Bei allen Nautiliden bezeichnet der tiefste Ausschnitt des Mundrandes die (convexe) Bauchseite, der gegenüberliegende flachste Ausschnitt aber die (concave) Rückenseite, der Sipho ist auf die ganze Länge des Gehäuses dem Rücken genähert.

Von Interesse sind weiter auch die Beobachtungen über eigenthümliche Verticallamellen im Innern der Luftkammern. Dieselben stellen sich da ein, wo das Gehäuse die Spirale verlässt, werden dann allmählig stärker, um bald wieder abzunehmen und plötzlich zu verschwinden. Die Unter-

suchung hat ergeben, dass diese Lamellen Verlängerungen einer innersten (noch auf der oben als 3 bezeichneten, glatten Schicht liegenden) krystallinischen Schicht in dem Innenraum der Kammern darstellen. Sie werden als sekundäre Ausscheidungen des Mantels angesehen, die eine Verstärkung des Gehäuses bedingen sollten.

Der letzte Abschnitt der Arbeit endlich enthält Bemerkungen über die Begränzung der Gattung *Lituites* und die Entwickelungsgeschichte von *Lituites lituus*. In sehr künstlicher Weise wurden bis jetzt die beiden Gruppen der perfecten und imperfecten Lituiten unterschieden. Beide zeigen aber in der Mehrzahl der Merkmale so grosse Abweichung, dass es dem Verf. unbedingt geboten erscheint, beiden den Rang zweier verschiedenen gleichwerthigen Gattungen einer Familie der Lituiten zuzugestehen. Den Namen *Lituites* will der Verf. für die perfecten Formen beibehalten sehen.

Dass beide Gattungen trotz ihrer grossen Unterschiede nahe verwandt sein müssen, lehrt die Entwickelung von *Lituites lituus*. Man kann für denselben unterscheiden:

1) Das *Nautilus*-Stadium, wo das Gehäuse ganz einer sehr evoluten *Nautilus*-Schale glich. Mundrand damals wahrscheinlich nur zweilappig.

2) Das Stadium der imperfecten Lituiten, als das Gehäuse zuerst in gerader Richtung zu wachsen begann. Die um diese Zeit mit *L. teres* und *applanatus* bestehende Ähnlichkeit ist unverkennbar, und in der That neigt Verf. zur Annahme, dass *L. applanatus* nur das in Rede stehende Stadium von *L. lituus* darstelle.

3) Das Stadium der perfecten Lituiten, als das Thier die dorsale Einbiegung des Gehäuses im untersten Theil des gestreckten Arms überwunden hatte und stetig in gerader Richtung weiterbaute.

Mit dieser Entwicklungsfolge steht in Harmonie, dass die imperfecten Lituiten in der That früher aufgetreten zu sein scheinen, als die perfecten.

E. Kayser.

L. Würtenberger: Studien über die Stammesgeschichte der Ammoniten, ein geologischer Beweis für die Darwin'sche Theorie. (Darwinistische Schriften Nr. 5. Leipzig 1880. Mit 4 Stammtafeln und 110 Seiten.)

Im Jahre 1873 veröffentlichte der Verfasser im „Auslande“ einen sehr bemerkenswerthen und interessanten Aufsatz, worin er vornehmlich ein biogenetisches Entwicklungsgesetz darlegte, zu welchem er durch das Studium der zu diesem Zwecke besonders geeigneten Ammoniten geführt wurde. Wenn nämlich eine für eine ganze Gruppe wesentliche Veränderung an den Skulpturen oder an den übrigen Charakteren der Ammonitenschale zum ersten Male auftritt, so ist dieselbe nur auf einem Theil des letzten Umgangs angedeutet. Bei den nachfolgenden Generationen schiebt sich dieselbe nach und nach immer weiter gegen den Anfang des spiralen Gehäuses fort, bis sie den grössten Theil der Windungen beherrscht, nur die innersten Windungen widerstehen oft mit grosser Beharrlichkeit diesen Veränderungen.

Es beginnt also die Ammonitenschale mit einem älteren Formentypus und nimmt dann jene Veränderungen in derselben Reihenfolge vor, wie dieselben bei der geologischen Entwicklung der betreffenden Gruppe in langen Zeiträumen aufeinanderfolgten. Wir sehen uns auf diese Weise in den Stand gesetzt, Ontogenie und Phylogenie an demselben Organismenrest zu verfolgen und gewinnen die nachhaltigsten Beweise für das biogenetische Grundgesetz, dass die Ontogenie nur eine kurze Wiederholung der Phylogenie darstelle. Dieses hochwichtige und fruchtbare Gesetz wurde seither schon von mehreren Forschern beachtet und mit Erfolg in Anwendung gebracht. Das vorliegende Buch soll dasselbe im einzelnen erörtern und erhärten und führt uns daher die Entwickluugsgeschichte mehrerer Ammonitenstämme des Jura im Detail vor.

In den ersten 5 Capiteln wird der Armaten- oder Aspidoceren-Stamm, über welchen wir namentlich Neumayr ausführliche Studien verdanken, eingehend abgehandelt. Würtenberger weicht in seiner Darstellung mehrfach von der Neumayr's ab. Während letzterer die Wurzel der Aspidoceren in den Perisphincten des Doggers sucht, betrachtet ersterer die sogen. Liasplanulaten (gen. *Coeloceras*), wie *A. communis* als Stammtypen und sieht in *A. athleta* ein wichtiges Bindeglied zwischen den letzteren und den eigentlichen Perarmaten des Malm, wieder im Gegensatz zu mehreren Autoren, welche mit Quenstedt die innige Verwandtschaft des *Am. athleta* mit *Am. annularis* (*Peltoceras*-Stamm) als erwiesen betrachten. Die Entwicklung der Perarmaten durchläuft folgende Hauptstadien: Auftreten der äusseren Stachelreihe, Auftreten der inneren Stachelreihe und Zurücktreten der Rippen, Aufblähen der Windungen, Verschwinden der äusseren Stachelreihe, gewöhnlich verbunden mit Engerwerden des Nabels, Verschwinden der inneren Stachelreihe.

Im 6. Capitel wird die Stammesgeschichte der Nachkommenschaft des *Am. annularis* besprochen. Auch hierin geht Würtenberger von den Anschauungen Neumayr's, Waagen's u. A. vielfach ab, namentlich bezüglich der Einreihung des *Am. biplex*, sowie des *Am. contortus*, *Venetianus* etc. *(Simoceras)* in diesen Stamm.

Das 7. und 8. Capitel ist der Stammesgeschichte der Planulaten oder Perisphincten, das 9. der einiger Nachkommen der Coronaten gewidmet. Unter den letzteren sind verstanden die *Uhlandi*-Reihe, die *Strauchianus*-Gruppe, die *Anceps mutabilis*-Reihe und der *Jason*-Zweig, — eine Zusammenstellung, die ebenfalls mit den gangbaren Anschauungen in Widerspruch steht.

Das 10. Capitel, welches von jedem Paläontologon und Biologen mit grossem Nutzen und Vergnügen gelesen werden wird, bespricht den Speciesbegriff in der Paläontologie, gesetzmässige Abänderungen der Schalenskulpturen, das Gesetz der Anpassung im reiferen Lebensalter und das Gesetz der frühzeitigen Vererbung. Sodann wird auf den Nutzen einiger Abänderungen bei den Ammoniten, auf ammonitische Nebenformen und endlich auf den einstämmigen oder vielstämmigen Ursprung der Ammonitengruppen eingegangen. In letzterer Hinsicht wird betont, dass der Ursprung natürlicher Gruppen stets ein monophyletischer ist.

Da der Verfasser demnächst eine mit Abbildungen ausgestattete Monographie in Aussicht stellt, so dürften die voranstehenden Zeilen als vorläufige Inhaltsangabe genügen. **V. Uhlig.**

A. Remelé: Über einige gekrümmte untersilurische Cephalopoden. (Zeitschr. d. Deutsch. geol. Ges. 1882, p. 116. Mit einer Tafel.)

Es werden hier zunächst beschrieben und abgebildet zwei Arten der vom Verf. unlängst (vergl. dies. Jahrb. 1882. I. -300-) aufgestellten, zu *Lituites* gehörigen Untergattung *Strobolituites* [= *Ancistroceras* (Boll) Dewitz], nämlich *Str. undulatus* Boll sp. und *Bollii* n. sp., beide aus Geschieben von Orthoc renkalk bei Eberswalde und Neubrandenburg.

Sodann werden beschrieben und z. Th. illustrirt 7 Arten einer neuen Gattung *Rhynchorthoceras*. Es sind das eigenthümliche Orthoceren-artige rasch an Dicke anwachsende Formen, deren unterstes Ende schwach bogenartig gekrümmt ist. Kammerwände sind ziemlich nahestehend, flachgewölbt, Suturen geradlinig. Oberfläche mit kräftigen, mehr oder minder undulirten Querstreifen. Verf. sieht den fraglichen Typus als Mittelglied zwischen den regulären Orthoceren und den perfecten Lituiten an. Mit Rücksicht auf die Biegung der Spitze und besonders auf die Beschaffenheit der Schalenskulptur möchten wir für unsern Theil eine innigere Beziehung zu den Lituiten annehmen. Die Gattung scheint ganz auf den oberen Theil des Orthocerenkalks, Fr. Schmidt's Echinosphäritenkalk beschränkt zu sein. Die 7 beschriebenen Arten sind: *Rh. Breynii* Boll. sp., *Beyrichii* n. sp., *Zaddachii* n. sp., *Damesii* Dewitz sp., *Oelandicum* n. sp., *Angelinii* Boll sp., *tenuistriatum* n. sp. *Oelandicum* stammt aus anstehenden Schichten von Öland, die übrigen Arten wurden als Geschiebe an verschiedenen Punkten des norddeutschen Diluviums gefunden. **E. Kayser.**

B. Lundgren: Om en Belemnit fraan Preobraschenie-ön. (Öfversigt af Kongl. Vetenskaps-Akademiens Förh. Stockholm 1881. Nr. 7. 3—7.)

Durch die Vega-Expedition wurde von der Insel Preobraschenie das Fragment eines Belemniten mitgebracht, welchen Lundgren meint zur Gruppe der Acuarien d'Orbigny's stellen zu sollen, obschon sich die Art nicht mit Sicherheit bestimmen liess. Nach einem specielleren Vergleich mit einer Anzahl allerdings recht verschiedenartiger Belemniten gelangt der Verf. zu dem Resultat, dass das vorliegende Exemplar nur dem Dogger oder Malm entstammen könne. **E. Cohen.**

Godwin-Auster: On a fossil Species of *Camptoceras*, a Freshwater Mollusk from the Eocene of Sheerness-on-Lea. (Quart. Journ. Geol. Soc. XXXVIII. 2, No. 150, S. 218, Taf. V.)

In einer Septarie innerhalb der obersten 150 Fuss des London-clay der Insel Sheppey (Kent) hatte Shrubsole eine Anzahl kleiner links

gewundener Gastropoden mit freien Windungen, bis zu 6,5 mm lang und 1,5 dick, gefunden, welche zu der ostindischen Süsswasser-Gattung *Camptoceras* gestellt und als *C. priscum* beschrieben werden. von Koenen.

Tournouër: Sur une nouvelle espèce de coquille de smarnes de Gaas (étage tongrien) voisine des Tridacna. (Bull. Soc. géol. de France. 3 série t. X, No. 4, Taf. VI.)

Tournouër beschreibt von Larrat bei Gaas (Oligocän) die einzige bekannte sehr defekte rechte Klappe als *Byssocardium Andreae*. Dieselbe ist dreieckig, gekielt, vorn stark klaffend, hat einen länglichen Schlosszahn und hinten zwei Seitenzähne. Er rechnet die Gattung *Byssocardium* zu den Tridacnaceen und meint, dass sie sonst durch *Lithocardium* sich den Cardiaceen näherte. von Koenen.

Munier-Chalmas: Sur le genre *Byssocardium*. (Bull. Soc. géol. de France. 3me série t. X, 1882, No. 4, S. 228.)

Die Gattung *Byssocardium* wird aufgestellt für das *Lithocardium emarginatum* der Sables moyens von Anvers und eine neue Art (*B. Andreae* Tournouër) von Gaas. Es sind dies Lithocardien, welche dicht vor den Wirbeln einen weiten Byssus-Ausschnitt haben. Die Ränder desselben sind ähnlich wie bei Tridacna gefaltet, der vordere Muskeleindruck ist sehr schwach und liegt unter dem hinteren Schlosszahn.
von Koenen.

A. Halfar: Über ein grosses *Conocardium* aus dem Devon des Oberharzes. (Zeitschr. d. Deutsch. geol. G. 1882, p. 1.) Mit einer Tafel.

Die fragliche Form, die den Namen *C. Bockbergense* erhält, stammt aus einem ausgelaugten kalkigen Grauwackenschiefer, welcher die Basis der *Calceola*-Schichten bildet. Sie zeichnet sich besonders durch ihre gigantischen Dimensionen aus, wie solche wohl bei carbonischen Species nicht selten sind, bei devonischen und silurischen aber bisher unbekannt waren.

Die Art besitzt eine ausgezeichnete Schleppe, d. h. der vordere und der hintere Schalentheil — wohl mit vollem Recht deutet der Verf. (ebenso wie Woodward) das abgestutzte Ende als das hintere — stossen in einem schneidigen, schleppenförmigen Kiel zusammen, der den abgestutzten Klappentheil in Gestalt zweier krummflächiger Sicheln umrahmt.

Interessant und neu, wenn auch ihrer Bedeutung nach noch unerklärt, ist eine röhrenförmige Durchbohrung des tiefsten, dicksten und breitesten Theils der Schleppe. Einen ähnlichen „Canal" hat Verf. auch beim carbonischen *C. hibernicum*, sowie bei *Pleurorhynchus trigonalis* J. Hall beobachtet. E. Kayser.

Th. Davidson: Monograph of British fossil Brachiopoda. Vol. V, part I: Devonian and Silurian Supplements. (Palaeontograph. Soc., 1882.)

Supplement to the Devonian Brachiopoda. 62 Seiten und 3 Tafeln.

Dieser Nachtrag bildet eine beträchtliche Erweiterung unserer Kenntniss der englischen Devonbrachiopoden. Wir finden nicht nur die Beschreibungen zahlreicher neuer Arten (besonders aus dem Mitteldevon von Torquay), sondern auch mehrfache Berichtigungen in der Nomenclatur schon bekannter Arten, sowie Änderungen in der generischen Classification verschiedener Species. Diese letzteren betreffen besonders die Spiral-tragenden Formen und sind zum grössten Theil den bewunderungswürdigen Präparaten des Reverend N. Glass zu verdanken, deren schon früher Erwähnung geschehen (dies. Jahrb. 1881, II, R. 258).

Im Ganzen nimmt Davidson jetzt etwa 100 gut begründete Arten von englischen Devonbrachiopoden an. Dieselben vertheilen sich auf 30 Gattungen. Mit der Eifel (und zwar ganz überwiegend mit den mitteldevonischen Schichten jenes Gebietes) hat England nach den bisherigen Ermittelungen nicht weniger als 46 Arten gemein.

Aus der speciellen Artenbeschreibung heben wir Folgendes heraus:

Die kleine *Terebratula juvenis* Sow. und ebenso eine andere, früher als Varietät von *Terebr. sacculus* betrachtete Form werden auf Grund einer langen in ihrem Inneren aufgefundenen Schleife bei *Waldheimia* classificirt.

Phillips *Terebr. virgo* wird nach der Beschaffenheit ihrer Schleife zu der in Europa bisher noch nicht nachgewiesenen Billing'schen Gattung *Centronella* gestellt.

Phillips *Terebr. lens*, die von verschiedenen Autoren bei *Atrypa*, *Spirigerina* und *Retzia* classificirt worden war, wird auf Grund des zum ersten Male völlig klargelegten eigenthümlichen Baues ihres Spiralapparates zur Gattung *Kayseria* erhoben.

Ebenso wird für die bekannte kleine *Terebr. lepida* Gf. die neue Gattung *Bifida* aufgestellt. Der Name spielt auf einen gabelförmigen Fortsatz des die beiden Spiralen verbindenden Schleifenstückes an. Ausser der oben genannten wird zu der fraglichen Gattung noch eine zweite, neue Art *B. Huntii*, gerechnet.

Von *Uncites gryphus* werden zwei prächtige, die eigenthümliche innere Structur vollständig klarlegende Abbildungen gegeben, die übrigens bereits im Geological Magazine (April 1881) bekannt gemacht worden waren.

Eine andere, ebenfalls bereits im Geol. Magazine aufgestellte spiraltragende Gattung ist *Glassia*. Während von derselben bis jetzt nur 2 silurische Arten bekannt waren, lernen wir hier jetzt auch einen devonischen Vertreter kennen.

Interessant ist die Entdeckung der kleinen, vom Ref. früher als *Mystrophora areola* beschriebenen Eifeler Form auch im englischen Mitteldevon. Der Name *Mystrophora* muss dem älteren, dem Ref. unbekannt

gebliebenen Hall'schen Gattungsnamen *Skenidium* weichen. Derselben Gattung gehört auch die obersilurische *Orthis Lewisii* an.

Supplement to the Silurian Brachiopoda. S. 63—134, Taf. IV—VII (Schluss noch ausstehend!).

Dieser Nachtrag beginnt mit Mittheilungen über die Gliederung des Silur in England überhaupt und Shropshire insbesondere. Der Verf. verfehlt bei dieser Gelegenheit nicht, sich gegen den Vorschlag von Lapworth auszusprechen, die überall eingebürgerte Bezeichnung „Untersilur" durch den neuen Namen „Ordovicisches System" zu ersetzen.

Die darauffolgende Artenbeschreibung beginnt mit zwei Waldheimien. Dies ist desshalb bemerkenswerth, weil man bis vor Kurzem das Hinabsteigen der Terebratuliden ins echte Obersilur noch nicht kannte.

Sodann folgt ein längerer, den spiraltragenden Brachiopoden gewidmeter Abschnitt. Der Verf. nimmt für dieselben zur Zeit 31 Gattungen an, die er in vier Familien eintheilt. Die Gruppirung und die zeitliche Verbreitung dieser Gattungen ist aus der folgenden Tabelle (S. 334) ersichtlich.

Weiter folgt ein Bericht des Rev. N. Glass über die von ihm befolgte Methode behufs Blosslegung der inneren Structur bei paläozoischen Brachiopoden.

Daran schliesst sich sodann die Beschreibung einer Reihe spiraltragender Brachiopoden aus dem englischen Silur, wobei Verf. zur Vervollständigung seiner Mittheilungen über die Eintheilung der spiraltragenden Brachiopoden auch einzelne nicht englische (besonders amerikanische) Arten bespricht.

Wir heben aus diesem Abschnitt Folgendes hervor:

Dayia. Typus dieser Gattung ist Sow.'s *Terebratula navicula.*

Whitfieldia. Typus ist *Atrypa tumida* Dalm.

Glassia. Typus ist *Atrypa obovata* Sow.

Alle 3 Gattungen wurden bereits im Geological Magazine (1881) charakterisirt. [Vergl. dies. Jahrb. 1881, II. -258- u. -423-; auf der letztgenannten Seite Holzschnitte des inneren Apparates von *Dayia* und *Whitfieldia*!]

Anazyga. Typus dieser neuen Gattung ist *Atrypa reeurvirostris* Hall. Richtung der Spiralkegel wie bei *Zygospira.* Dieselben bestehen aus etwa 5 locker aufgerollten Umgängen und werden durch eine halbkreisförmige, ihre convexe Seite dem Wirbel zukehrende Schleife verbunden.

Hindella. Typus: *Athyris umbonata* Bill. Die aus etwa 6 locker aufgerollten Umgängen bestehenden Spiralen sind nach auswärts gerichtet. Ihre beiden Hauptäste sind an der Schlossplatte befestigt und werden durch ein gabelförmiges, zwischen den beiden Spiralkegeln liegendes Schleifenstück verbunden. Diese sowie die vorige Gattung sind bis jetzt nur aus dem nordamerikanischen Silur bekannt.

Ambocoelia. Typus dieser schon vor längerer Zeit von Hall aufgestellten Gattung ist *Orthis umbonata* Conr. Hall rechnet hierher auch den devonischeu *Spirifer Urei*, von welchem Davidson glaubt, dass er vom carbonischen *unguiculus* und vom permischen *clannyanus* nicht zu trennen sei.

Gattungen.	Silur.	Devon.	Carbon.	Perm.	Trias.	Lias.
1) Familie der Spiriferiden King, 1846.						
1. Gruppe *Spirifera* Sow., 1815	—	—	—	—	—	
1. Gruppe *Ambocoelia* Hall, 1860	..	—	—	—		
1. Gruppe *Cyrtia* Dalm., 1828		—	—			
1. Gruppe *Syringothyris* Winchell, 1863	..	..	—			
2. Gruppe *Cyrtina* Dav., 1858		—	—			
3. Gruppe *Spiriferina* d'Orb., 1847			—	—	—	—
3. Gruppe *Suessia* Desl., 1854	..	..	..	..	..	—
4. Gruppe *Reticularia* M'Coy, 1844	..	—	—			
2) Familie der Nucleospiriden Dav., 1881.						
1. Gruppe *Nucleospira* Hall, 1839		—				
1. Gruppe *Retzia* King, 1850			—	—	—	
1. Gruppe *Meristina* Hall, 1867	—					
1. Gruppe *Hindella* Dav., 1882	—					
? Trematospira Hall, 1857	—					
2. Gruppe *Dayia* Dav., 1881	—					
3. Gruppe *Uncites* Defr., 1825	..	—				
3) Familie der Athyriden Phill., 1841.						
1. Gruppe *Athyris* M'Coy, 1844		—	—	—	—	
1. Gruppe *Kayseria* Dav., 1882	..	—				
1. Gruppe *Whitfieldia* Dav., 1881	—					
1. Gruppe *Bifida* Dav., 1882	..	—				
2. Gruppe *Meristella* Hall, 1859		—	—			
2. Gruppe *Merista* Suess, 1851		—	—			
4) Familie der Atrypiden Dall, 1877.						
1. Gruppe *Atrypa* Dalm., 1828		—	—			
1. Gruppe *Coelospira* Hall, 1863	—					
2. Gruppe *Thecospira* Zugmayr, 1880	..	..	..	..	—	
2. Gruppe *Anoplotheca* Sandb., 1855	..	—				
2. Gruppe *Koninckina* Suess, 1853	..	..	..	..	—	
2. Gruppe *Koninckella* Mun.-Chalm., 1880	..	..	..	..	..	—
2. Gruppe *Davidsonia* Bouch., 1847	..	—				
Glassia Dav., 1881		—	—			
Zygospira Hall, 1862		—	—			
Anazyga Dav., 1882	—					

Vereinfacht hat sich die Classification der spiraltragenden Brachiopoden durch die zahlreichen neuen vorstehend genannten Gattungen nicht. Man könnte vielleicht sogar fragen, ob die generische Scheidung nicht etwas zu weit getrieben sei. Der Nachweis von Spiralen und auch die Ermittlung der Richtung derselben werden fortan noch nicht genügen um einen spiraltragenden Brachiopoden richtig zu classificiren. Es wird dazu vielmehr eine vollständige Erforschung seines inneren Baues nöthig zu sein. Aber es ist nicht zu läugnen, dass schon die blosse Thatsache, dass bei einer ganzen Reihe spiraltragender Brachiopoden der innere Apparat in grösster Vollständigkeit klargelegt worden ist, einen wesentlichen Fortschritt darstellt. Auch hat gerade dieser Fortschritt sehr wesentlich zur Erkenntniss der natürlichen Verwandtschaftsverhältnisse der spiraltragenden Brachiopoden beigetragen, wie solche in der obigen Gruppirung ihren Ausdruck finden.

E. Kayser.

L. Szajnocha: Ein Beitrag zur Kenntniss der jurassischen Brachiopoden aus den Karpathischen Klippen. (Sitzungsber. d. Wien. Akad. Bd. LXXXIV. 1881.) 2 Taf.

Aus den jurassischen Klippen der Karpathensandsteinzone des östlichen Theiles Nord-Ungarns sind nach und nach eine Anzahl Brachiopoden in die Sammlungen der geologischen Reichsanstalt gelangt, welche der Verfasser untersuchte. Sie stammen aus den Grenzschichten zwischen mittlerem und oberem Jura, welche in der sog. Hierlatzfacies entwickelt sind. Die Klippe Dalha ist der Hauptfundort. Folgende Arten werden besprochen und die mit einem * versehenen abgebildet:

* *Terebratula hungarica* Suess M. S. mit *T. dorsoplicata* non Balin, *T. ovoides* aus englischem Unteroolith und *T. Tychaviensis* aus dem Stramberger Kalk verglichen.

* *Terebratula Dalhae* n. f. Biplicate Form.

* *Terebratula gravida* n. f. *Ter. Trigeri* ähnlich.

* *Terebratula subcarpathica* n. f. Nähert sich der *T. carpathica* Zitt.

* *Pygope vicaria* n. f. Soll die Vertreterin der *T. bifrons* aus Vilser Schichten sein.

* *Waldheimia orba* n. f. Mit liasischen Formen, wie *T. Lycetti* verwandt.

Rhynchonella trigona Qu.

Rhynchonella plicatella Orb.

Rhynchonella sublacunosa Szajn.

Aus den aufgeführten Arten, insbesondere *Rh. trigona, Rh. plicatella* und *Pygope vicaria* wird geschlossen, dass die röthlichen Crinoidenkalke und die weissen krystallinischen Kalke der Klippe Dalha ein Äquivalent der Vilser Kalke darstellen, also in das obere Callovien gehören.

Benecke.

Adolf Engler: Versuch einer Entwicklungsgeschichte der Pflanzenwelt, insbesondere der Florengebiete seit der

Tertiärperiode. II. Theil: Die extratropischen Gebiete der südlichen Hemisphäre und die tropischen Gebiete. 1882. 386 Seiten mit einer pflanzengeographischen Erdkarte. (Dies. Jahrb. 1880. II. -259-)

Nach einer Übersicht über die ziemlich spärlichen phytopaläontologischen Untersuchungen in den Tropen und auf der südlichen Halbkugel erwähnt Verf. p. 11, dass Ochsenius bei Coronel im südlichen Chile (etwa 36° s. Br.) eine wahrscheinlich miocäne Braunkohlenfauna entdeckt hat, welche F. Kurtz bearbeitet. Letzterer erwähnt *Sequoia* cfr. *Tournalii* Sap., *Pteris* cfr. *eocenica* Ett. u. Gardner und Lauraceenblätter; Proteaceen und Myricaceen fehlen.

Cap. 15 nimmt Engler an, dass in der Tertiärperiode 4 Florenelemente auf der Erde existirt haben: 1. Das arcto-tertiäre Element mit zahlreichen Bäumen und Sträuchern, besonders Coniferen, wie sie jetzt in Nordamerika und dem extratropischen Ostasien herrschen; es fand sich damals rings um den Pol und war südlich etwa durch die Verbreitungslinie der Palmen begrenzt. Coniferen waren besonders zahlreich im nördlichen Grönland, auf Spitzbergen, am Mackenzie; weiter südlich waren sie seltener. An der Südgrenze vermischte sich dieses Element im Eocän und Oligocän mit dem paläotropischen. 2. Das paläotropische Element, ausgezeichnet durch die in den Tropen der alten Welt dominirenden Familien und das Fehlen gewisser Gruppen aus dem arcto-tertiären Gebiete. Es erstreckte sich in der Tertiärperiode vom südlichen England bis Japan, von Westafrika bis Neuguinea, Neucaledonien, Nord- und Ostaustralien. 3. Das neotropische oder südamerikanische Florenelement, jetzt in Brasilien und Westindien vertreten. 4. Das altozeanische Element, jetzt in Australien und den ozeanischen Inselgebieten, besonders der südlichen Hemisphäre. **Geyler.**

C. D. Walcott: On the Nature of *Cyathophycus*. (The American Journal of Science. 3 ser., vol. XXII, No. 131, November 1881, p. 394, 395.)

Nach des Autors Untersuchungen soll das früher als Alge unter dem Namen *Cyathophycus* (*reticulatus* und *subsphaericus*) beschriebene Fossil ebenso wie *Dictyophyton* ein Kieselschwamm aus der Verwandtschaft von *Euplectella* sein. **Steinmann.**

R. Zeiller: Notes sur la flore houillère des Asturies. (Mémoirs de la Soc. géolog. du Nord, tome I, Lille 1882, p. 1—22.)

Der Verf. berichtet über eine Sammlung von Steinkohlenpflanzen aus Asturien, welche Herr Barrois mitgebracht hat. Schon die Commission der Mapa geologico de España (Boletin, t. II, 1875) hatte eine Sinopsis de las especias fossiles que se han encontradon en España und in t. III u. IV Abbildungen publicirt, die jedoch zum Studium nicht genügen, da letztere aus andern Werken entlehnt sind. 1877 gab Grand'Eury (Flore carbonif. du dép. de la Loire etc. p. 431) eine Liste der Arten von Langreo und schloss daraus: „dass das grosse Kohlenmassiv von Asturien im Allgemeinen der

mittlern Abtheilung zugehöre, nicht dem Kohlenkalke", wie man angenommen hatte. Durch Arten von Mieres wurde dies später von ihm bestätigt (Ann. des Mines, VII sér., t. XII, 1877, p. 372); indessen würden die Lager von Arnao, nördl. Oviedo, wohl der obern Steinkohlen-Abtheilung angehören, was auch schon aus den von Geinitz (dies. Jahrb. 1867, S. 283) von dort mitgetheilten Pflanzen folgt.

Von den Punkten, von welchen Barrois Material lieferte, liegen 7 im bassin central, im Osten oder Norden: Onis, Santo-Firme nördl. Oviedo, wozu Arnao und Ferroñes kommen, im Südwesten und Westen: Quiros, Lomes, Tineo, im Süden: Cordal de Leña westlich Pola de Leña. Zur obern Abtheilung der Steinkohlenformation gehörig erweisen sich: Tineo, Lomes, Arnao, Ferroñes, letztere 2 wahrscheinlich noch ein wenig höher als die ersteren; zur mittlern Abtheilung zählen: das ganze bassin central und Santo-Firme, letzteres wohl etwas tiefer als die andern Orte; endlich würde Cordal de Leña zur untern Abtheilung oder dem Culm gehören. Das Alter der kleinen Becken von Quiros und Onis lässt sich nicht näher fixiren. Die Bestimmung des Culm basirt nur auf dem Vorkommen von *Sphenopteris distans*. Nachstehend geben wir die Verbreitung der gefundenen Pflanzen tabellarisch an. Es bedeutet darin

\+ Vorkommen nach der Sammlung von Barrois.

× Vorkommen nach Angabe von Geinitz (Arnao). Hier giebt G. ausserdem noch an: *Calamites cannaeformis, Neuropteris gigantea (?), Odontopteris Brardi, Sigillaria Brardi, S. cyclostigma, S. Knorri (?), S. Dournaisi (?), S. mamillaris.*

* Vorkommen nach einer Sammlung im Muséum d'Hist. nat. (Ferroñes), nach Zeiller, wo ausserdem sich findet: *Odontopteris Brardi, Pecopteris unita, Sphenopteris* cf. *goniopteroides* Lesq., *Pecopteris arguta (?).*

(s. Tabelle S. 338.)

NB. *Neuropteris tenuifolia* (der Tabelle). Hierzu rechnet Zeiller *Odontopteris neuropteroides* Röm. vom Piesberg und *Odontopteris britannica* Gein.

Neuropteris Scheuchzeri Hoffm. umfasst nach Zeiller *N. angustifolia, acutifolia* Brg., *cordata* L. H., *hirsuta* Lesq., *Dictyopteris Scheuchzeri* Röm., non Röhl, *Dict. cordata* Röm., Röhl (pars).

Walchia piniformis. Die hier gefundene Art bezeichnet Zeiller näher *piniformis* verwandt als irgend einer andern. **Weiss.**

Johannes Felix: Studien über fossile Hölzer. Inaugural-Dissertation. Leipzig 1882. 82 Seiten mit 1 Taf.

Die Arbeit liefert wichtige Beiträge zur Kenntniss der fossilen Hölzer, insbesondere auch von aussereuropäischen Fundorten. Bei Bestimmung dieser Hölzer treten grosse Schwierigkeiten entgegen. Die Coniferen sind verhältnissmässig gut bekannt; am sichersten werden hier noch die Gattungen *Cupressoxylon* und *Cedroxylon* unterschieden. Für die im Bau unterschiedenen Wurzel-, Stamm- und Asthölzer schlägt Felix, ähnlich

	Cordal de Leña	Santo-Firme	Bassin central							Tineo	Lomes	Arnao	Ferroñes	Onis
			Mieres	Felguera	Olloniego	Sama	Ciano	Santa-Ana	Mosquitera					
Calamites Suckowi Brgn.			+		+	+			+		×			+
C. Cisti Brgn.		+		+		+								
Asterophyll. equisetiformis Schl. sp.							+							
Annularia microphylla Sauveur								+						
A. sphenophylloides Zenk. sp.						+							*	
A. stellata Schl. sp. (*longif.* Brgn.)										+			*	
Sphenophyllum cuneifolium Stb. sp.						+	+							
S. saxifragaefolium Stb. sp.						+								
S. emarginatum Brgn.				+			+	+	+					
S. oblongifolium Germ.										+				
S. angustifolium Germ.										+				
Sphenopteris formosa Gutb.						+								
Sph. cf. *chaerophylloides* Brg.										+				
Sph. distans Stbg.	+													
Sph. latifolia Brg. (*Mariopt.* Zeill.)							+							
Neuropteris tenuifolia Schl. sp.						+	+	+						
N. Scheuchzeri Hoffmann				+		+	+							
Dictyopteris sub-Brongniarti Gr. E.			+	+	+	+	+	+	+					
Taeniopteris jejunata Gr. E.										+				
Alethopteris lonchitica Schl. sp.		+												
Pecopteris arguta Brongn.										+				
P. oreopteridia Schl. sp.										+			*	
P. arborescens Schl. sp.										+				
P. Cyathea Schl. sp.											+			
P. abbreviata Brg.						+	+							
P. dentata Brg.							+	+		+		×	*	
P. polymorpha Brg.										+	+		*	
P. Bucklandi Brg.										+				
P. Pluckeneti Schl. sp.										+		×		
Lepidodendron aculeatum Stb.			+											
Lepidostrobus variabilis L. H.		+												
Sigillaria transversalis Brgn.		+												
S. Schlotheimi Brg.		+												
S. Candollei Brg.			+											
S. conferta Boul.		+												
S. hexagona Brg.		+												
S. tessellata Brgn.			+											
Cordaites borassifolius Stb. sp.			+									×		
Walchia piniformis Schl. sp.										+				

wie Conwentz, z. B. bei *Cupressoxylon* die Namen *Rhizo-*, *Cormo-* und *Cladocupressoxylon* vor. Schwieriger ist die Untersuchung der Laubhölzer, da hier eine Masse von Typen, viele noch gar nicht untersucht, existiren. Nach dem Bau des Holzes lässt sich kein System begründen, doch ist der Bau für gewisse Familien in den meisten Fällen characteristisch.

Es werden folgende Arten näher besprochen:

A. Hölzer aus Europa. I. aus Galizien: 1. *Araucarioxylon Schrollianum* Kr. (dieses wird in einer zweiten Arbeit des Verf. über versteinerte Hölzer von Frankenberg in Sachsen mit *A. Saxonicum* pr. p. vereinigt) und 2. *A. Rollei* Kr. (beide aus der Dyas am zahlreichsten zwischen Chrzanow und Alwernia); 3. *Cedroxylon Jurense* Kr. (Jura von Oklesnia südlich von Alwernia); 4. *Cupressoxylon Ucranicum* Göpp. (aus den Wernsdorfer Schichten — Urgon — bei Lipnik und Grodischt); 5. *Rhizocedroxylon Hoheneggeri* Fel. (aus dem Eocän von Saypusch = Zywiec an der Sola); ferner die Laubholztypen: 6. *Ornoxylon fraxinoides* Fel., 7. *Salicinium populinum* Ung., 8. *Betulinium diluviale* Fel., 9. *Helictoxylon Roemeri* Fel. (von Tarnow in Galizien; unter *Helictoxylon* werden solche Hölzer zusammengefasst, welche den Bau des Lianenholzes erkennen lassen), 10. *Stephanoxylon dubium* Fel. — II. aus dem nordwestlichen Theile Sachsens und den angrenzenden Gebieten Preussens, sowie Holzopale Ungarns. Die erstern stammen entweder aus Braunkohlenlagern (Oligocän) oder den überlagernden diluvialen Sanden und Kiesen; die Hölzer der Braunkohlenlager sind bald bituminös, bald verkieselt, bald in Markasit verwandelt, die der diluvialen Schichten sind verkieselt. Sie gehören sämmtlich als Wurzel-, Stamm- oder Astholz zu *Cupressoxylon Protolarix*. Von dieser Art unterscheidet Felix *C. Pannonicum* Fel. (= *Peuce Pannonica* Ung. pr. p.) aus Ungarn. Noch findet sich unter den ungarischen Holzopalen ein zweites Coniferenholz *Pityoxylon Mooquense* Kr. und aus Bosnien wird noch von dieser Gattung *P. Pachtanum* angeführt. — III. Hölzer aus Bayern: *Sapotoxylon Gümbelii* Fel. (von Wagenhofen bei Neuburg), *S. taeniatum* Fel., *Rhizocedroxylon Hoheneggeri* Fel. (von Kressenberg in Oberbayern).

B. Fossile Hölzer aus Asien. I. von Tiruvicary und Pattacary bei Pondicherry in wahrscheinlich tertiären Schichten: *Araucarioxylon Schmidianum* Fel. — II. von Java aus der Preanger Residency: *Helictoxylon Schenkii* Fel. — III. aus Japan aus dem Tertiär von Bibai auf Jesso: *Rhizocedroxylon Goepperti* Fel.

C. Fossile Hölzer aus Amerika. I. von Antigua: 1. *Taenioxylon varians* Fel., 2. *T. irregulare* Fel. (unter dem neuen Genus *Taenioxylon* fasst Felix Hölzer vom allgemeinen Bau der Leguminosen zusammen), 3. *Helictoxylon speciosum* Fel., 4. *H. tenerum* Fel., 5. *Cassioxylon anomalum* Fel., 6. *Anacardioxylon spondiaeforme* Fel., 7. *Ebenoxylon diospyroidos* Fel., 8. *Schmiedeliopsis Zirkelii* Fel., 9. *Zittelia elegans* Fel.; dann die Palmenhölzer: 10. *Palmoxylon Antiguense* Fel., 11. *P. Kuntzii* Fel. und *P. molle* Fel. — II. von Cuba: *Palmoxylon Cottae* Fel. und

von unbestimmtem Fundort noch *P. lacunosum* Fel. — III. aus Brasilien: *Taenioxylon ingaeforme* Fel.

D. Fossiles Holz aus Australien vom Illawarra-See, südlich von Sydney in Neusüdwales: *Araucarioxylon angustum* Fel.; erinnert sehr stark an *A. Tschihatcheffianum* oder *A. ambiguum* und gehört wohl wie diese der Kulmformation an. Geyler.

Joh. Felix: Beiträge zur Kenntniss der fossilen Coniferenhölzer. (Adolf Engler, Botan. Jahrbücher 1882. Bd. II. Heft 3. p. 260—80.) Mit 1 Taf.

Ausser einer Anzahl fossiler Hölzer, welche auch in Felix, Studien über fossile Hölzer, besprochen wurden, werden hier auch einige dort unberücksichtigt gebliebene Species erwähnt. Diese sind: *Cladrocedroxylon Auerbachii* Fel. aus dem unteren Kimmeridge von Mniowniki; *Pityoxylon Sandbergeri* Kr., ausgezeichnet durch seine zahlreichen grossen Harzgänge, welche am Anfange des Herbstholzes einen förmlichen Kranz bilden (dieses Holz, das aus dem fränkischen Keuper stammen soll, gehört nach Felix zum Tertiär, da es in eine Art Halbopal umgewandelt ist, Holzopale aber nicht tiefer, als im Tertiär beobachtet wurden); *Rhizotaxodioxylon palustre* Fel., Wurzelholz von *Taxodium* (bei einem Exemplar auch die Rinde erhalten). Geyler.

Mor. Staub: Prähistorische Pflanzen aus Ungarn. (Adolf Engler, Botanische Jahrbücher 1882. Bd. III. Heft 3. p. 281—287.) Mitgetheilt aus dem Werke des Baron E. Nyáry: „Az aggteleki barlang mint öskori temetö“ (Die Aggteleker Höhle als urweltlicher Friedhof), herausgegeben von der ungarischen Akademie der Wissenschaften; Budapest 1881.

Die Tropfsteinhöhle „Baradla“ bei Aggtelek im Gömörer Comitate in Ungarn, wohl die grösste europäische Höhle, liegt im Triaskalke; sie hat in ihren Verzweigungen eine Gesammtlänge von 7963 Meter. In der „Knochenkammer“ findet sich eine etwa 1½ Meter mächtige Culturschicht und in dieser Topfscherben, Bronzegegenstände und Thierknochen. Auch menschliche Schädel und Skelette wurden gefunden. Die Bewohner dieser Höhle haben sich hauptsächlich von Pflanzenkost genährt; neben jedem Skelette stand am Kopfende ein mit Getreide gefülltes Gefäss. Es wurde also schon in der Steinzeit bei Aggtelek Feldwirthschaft getrieben; doch mögen die Ackergeräthe von höchst primitiver Beschaffenheit gewesen sein. Prof. Deininger unterschied die Samen von folgenden Culturpflanzen:

Triticum sativum (*vulgare*) in grösster Menge; die Samen gleichen nicht den von Heer aus den Pfahlbauten beschriebenen Weizensamen, unterscheiden sich aber wohl nicht von der jetzt cultivirten gewöhnlichen Art.

Triticum vulgare. Die sehr kleinen, tief gefurchten Körner stimmen mit Heer's *Triticum vulgare antiquorum* aus den Pfahlbauten überein. Sie sind selten und scheint die Cultur die vorige Art schon hervorgebracht

zu haben, zumal zwischen beiden Körnersorten sich noch eine intermediäre Form fand.

Triticum monococcum, das Einkorn, fand sich nur in wenigen Körnern vertreten. Es unterscheidet sich nicht von der jetzt noch dort gebauten Art, doch sind die recenten Samen etwas länger und breiter.

Panicum miliaceum. Die Körner der Hirse waren sehr zahlreich, doch meist schon zermahlen; sie zeigten sich etwas kleiner, als die der Pfahlbauten und stimmten besser mit der recenten Art. Die Körner gehören nach Deininger nicht zur grauen oder schwarzen Varietät, da an der Palea inferior die 7 Rippen fehlen, sondern auch ihrer mehr kugligen Gestalt wegen wohl eher zur weissen oder gelben Varietät. Die Samen hatten zum Theil schon gekeimt und war dann der Keim herausgefallen. — Das Vorkommen der Hirse verweist auf ein dem jetzigen ähnliches Klima.

Hordeum spec., nackte Gerste. Die Spelzen fehlen. Obgleich das Korn etwas kleiner ist, als das Robenhausener, so stimmt es doch gut mit Heer's *Hordeum hexastichum sanctum* überein. Ob die Gerste 6zeilig gewesen ist, bleibt fraglich; doch findet sich nach Vogt in den ältesten menschlichen Niederlassungen nur 6zeilige Gerste; die 2zeilige sei ein Product der neueren Zeit.

Lathyrus sativus. Die Samen der Platterbse finden sich in grösster Anzahl, doch sind sie kaum halb so gross, als die der jetzt gewöhnlich cultivirten Form; nur bei Sevilla in Spanien wird eine Platterbse gebaut, welche kaum grösser ist, als die Aggteleker.

Vicia Faba Celtica, die Saubohne, kommt seltener vor. Sie stimmt mit der Art aus den Pfahlbauten von Montalier, doch ist sie kleiner. Unter den 40 aufgefundenen Samen zeigen 10 (= 25%) die Spuren des Erbsenkäfers (*Bruchus*). Dieser Käfer war also schon in jener Zeit häufig und ist also nicht, wie wohl behauptet wurde, im vorigen Jahrhundert aus Amerika eingewandert.

Pisum sativum. Von der Erbse fanden sich nur wenige Körner; diese sind aber nicht kuglig, sondern etwas länglich und auch kleiner, als die kleinste, jetzt cultivirte Art. Auch hier waren einige von *Bruchus* angegriffen worden.

Ervum Lens. Die Samen der Linse waren selten. Sie waren der der cultivirten kleinen schwarzen Linse ähnlich, doch noch kleiner; kleiner selbst noch, als die Linse aus der Bronzezeit von der Insel Peter.

Camelina sativa, der Leindotter, war in einer grösseren Anzahl von Samen vertreten, doch waren dieselben etwas kleiner, als die jetzt cultivirten Samen des gewöhnlichen Leindotters.

Noch wurden die Samen der folgenden Unkräuter gefunden: *Setaria viridis* Beauv., *Sideritis montana* L., *Rumex obtusifolius* L., *Polygonum Convolvulus* L., *P. lapathifolium* L., *Chenopodium hybridum* L., *Hibiscus Trionum* L., *Galium Aparine* L., *G. verum* L., *G. palustre* L., *Amaranthus retroflexus* L., *Sambucus Ebulus* L., sowie noch etwas fraglich von *Salvia pratensis* L. und *Plantago lanceolata* L. Dagegen fehlen die

Samen der Kornrade (*Agrostemma Githago*) und der Kornblume (*Centaurea Cyanus*), welche bei Robenhausen gefunden wurden. Diess deutet auf eine spätere Einwanderung dieser beiden Arten.

Neben diesen Funden zeigte sich auch ein faustgrosses Stück verkohltes Brod, wohl Weizenbrod, welches von einer etwa 1,5—2 Centimeter dicken Rinde von Leindottersamen umgeben war, die beim Backen ihren Ölgehalt in das Mehl eindringen liessen. In anderen Brodkrumen fand Deininger noch vollständig erhaltene Hirsekörner. Auch Heer beobachtete in Robenhausen ähnliche Brode und in diesen Weizenkörner und Leinsamen eingestreut. Die ungarischen Samen, welche kleiner und unvollständiger sind, als die Robenhausener oder Moosseedorfer Reste deuten nach Deininger darauf hin, dass diese ersteren höheren Alters sind.

Noch wurden in Ungarn und Siebenbürgen eine Reihe anderer Fundstätten entdeckt: Bei Magyarád im Honter Comitate fand Nyáry eine Wohnstätte aus der Steinzeit und in dem Lehmmörtel der Gebäude eingemengte Weizenspelzen. — Sofie Torma beobachtete in Siebenbürgen zahlreiche Mahlsteine und im Lehm der Feuerheerde Weizenspelze eingemengt. — Bei Aszakürt im Neograder Comitate fand man 1877 in einem Thongeschirre verkohlte Hirse. — Czetneki entdeckte bei Tószeg 4—5 Reihen von Feuerheerden, welche aus gestampfter Erde und Lehm, untermischt mit Rohrstücken, Gras und Stroh, erbaut waren. In der Mitte eines Hügels, bei etwa 1,5 Meter Tiefe, fanden sich ausgedehnte, aus verkohlten Weizensamen bestehende Fruchtschichten. Die Weizenkörner von Tószeg gehören sämmtlich zu *Triticum monococcum*. Es zeigten sich aber auch 2 Gerstenkörner, welche im Gegensatz zu den bei Aggtelek und Felsö Dohsza gefundenen noch in ihre Spelzen eingeschlossen waren. — Ähnlichen Fund machte F. Szilágyi bei Felsö Dobsza. Hier bestimmte Deininger folgende Samen: *Triticum vulgare*, *Triticum vulgare antiquorum* Heer, *Tr. monococcum*, *Hordeum* spec. (nackte Gerste) und *Ervum Lens*. — Durch Fotinyi werden sogar von Szihalon im Borsoder Comitate Kürbiss- und Gurkensamen (?) bestimmt. — Endlich bestimmte Deininger aus dem Szádelöer Thale noch: *Triticum sativum* L., *Hordeum* spec. und *Secale cereale* L., und zwar fand sich der Roggen, welcher bis jetzt nur aus der Bronzezeit bekannt war, in überwiegender Anzahl. Geyler.

Herm. Conwentz: Fossile Hölzer aus der Sammlung der Kön. geologischen Landesanstalt zu Berlin. (Separat-Abdruck aus Jahrb. d. Kön. preussischen geolog. Landesanstalt für 1881. Berlin 1882. p. 144—171.)

Es werden hier folgende fossile Hölzer besprochen:

I. Hölzer aus der Quartärformation.

(Diese sind mit Ausnahme von den unter a und b aufgezählten Nummern älteren Formationen, als dem Diluvium zuzuzählen.)

a. Alluviales Rollholz (Flottholz).

Alnus sp. (No. 1 aus den Küstenwatten von Büsum), *Fraxinus* sp. cfr. *excelsior* (No. 2 von Holstein).

b. Diluviales Rollholz.

Laubholz sp. (No. 3 aus dem Cyprinenthon von Succase bei Elbing).

c. Diluviale Geschiebehölzer.

Cupressinoxylon sp. (No. 4 vom Kreuzberge bei Berlin; No. 5 aus Alt-Rottstock; No. 8 von Stolpe; No. 10 von Beuchlitz; No. 11 von Gross-Allmerode; No. 12 von Sossenheim bei Soden im Taunus), cfr. *Cupressinoxylon* sp. (No. 6 und 7 aus Oderberg; No. 9 aus Mecklenburg), *Cupressinoxylon pachyderma* Göpp. (No. 13 aus altem Diluvium von Sondershöved in Jütland), *Cupressinoxylon* cfr. *pachyderma* Göpp. oder *Pinites* cfr. *ponderosus* Göpp. (No. 14 aus Dorf Garden), *Rhizocupressinoxylon* Conw. (No. 16 von Gardelegen), *Rhizocupressinoxylon* cfr. *opacum* Göpp. (No. 15 aus Holstein), Coniferenhölzer (No. 20 von Niederlöhme; Nr. 21 von Danndorf bei Vorsfelde), unbestimmbares Holz (No. 22 von Mittenwalde), Laubholz (No. 23 von Brostau), *Cornoxylon erraticum* Conw. nov. sp. (No. 17 und 18 wahrscheinlich aus Holstein), *Cornoxylon Holsatiae* Conw. nov. sp. (No. 19 von Öster-Borstel in Holstein). Endlich wurden von Stenzel noch 2 Baumfarnstücke als zu *Psaronius* sp. (Sectio *Helmintholithus*) gehörig bezeichnet und 2 neue Palmenstämme: *Fasciculites convertus* und *F. germanicus* Stenz. nov. sp. beschrieben.

II. Tertiäre und ältere Hölzer.

a. Braunkohlenhölzer.

Cupressinoxylon fissum Göpp. (No. 3 von Weisdorf bei Schurgast in Niederschlesien), *C.* cfr. *pachyderma* Göpp. (No. 4 von Ginsel in den Vogelsbergen, Kreis Fulda), *Rhizocupressinoxylon subaequale* Göpp. (No. 1 von Kranichfeld in Thüringen), *Rhizocupr.* cfr. *subaequale* Göpp. (No. 2 von Dorfeld in Hessen), *Glyptostrobus tener* Kr. (No. 5 von Salzhausen bei Nidda), Coniferenholz (No. 6 von Schossnitz).

b. Ältere Hölzer.

Cfr. *Araucarites* (No. 7 aus dem Posidonomyenschiefer des oberen Lias von Wenzen in Braunschweig), *Araucarioxylon latiporosum* (Cramer) Kr. (No. 8 aus dem mittleren Lias vom Gallberge bei Salzgitter, Hannover).

Geyler.

Neue Literatur.

Die Redaction meldet den Empfang an sie eingesandter Schriften durch ein deren Titel beigesetztes *. — Sie sieht der Raumersparniss wegen jedoch ab von einer besonderen Anzeige des Empfanges von Separatabdrücken aus solchen Zeitschriften, welche in regelmässiger Weise in kürzeren Zeiträumen erscheinen. Hier wird der Empfang eines Separatabdrucks durch ein * bei der Inhaltsangabe der betreffenden Zeitschrift bescheinigt werden.

A. Bücher und Separat-Abdrücke.

1881.

M. Baretti: Aperçu géologique sur la chaine du Mt-Blanc en rapport avec le trajet probable d'un tunnel. 3 pl. 38 p. Turin.

A. Fircket: La construction des coupes géologiques par H. Martyn Chance — Trad. (Extrait de la revue universelle des Mines etc. t. X, p. 576.) 1 pl. 8 p. Liège.

— — Carte de la production par communes des carrières de la Belgique pour l'année 1878. D'après les documents recueillis par Jochams. Bruxelles.

— — Notice sur la carte de la production, de la circulation, de la consommation des Minerais et de la production des métaux en Belgique pendant l'annés 1878. Bruxelles.

* Hanamann: Mittheilungen aus der Fürst zu Schwarzenbergischen agronomischen Versuchsstation Lobositz. (Vereinsschrift für Forst-, Jagd- und Naturkunde.)

* A. Saitz: Beschreibung der Excursionstour des böhmischen Forstvereines innerhalb des Domaušicer Forstbezirkes. Mit 3 Karten. Prag.

* — — Beschreibung des Domaušicer Forstbezirkes. Mit geolog. Profiltafel. Prag.

1882.

* Gust. Angelbis: Das Alter der Westerwälder Bimssteine. (Verhdl. des naturhist. Ver. der preuss. Rheinlande.) Bonn.

* Guido Bodländer: Über das optische Drehungsvermögen isomorpher Mischungen aus den Dithionaten des Bleis und des Strontiums. Inaug.-Diss. Breslau.

* Bulletin du Musée Royal d'histoire naturelle de Belgique. Tome I. No. 1 et 2. Bruxelles.

A. Chèvremont: Les mouvements du sol sur les côtes orientales de la France et particulièrement dans le Golfe Normanno-Breton. 14 pl. 478 p. Paris.

H. B. Cornwall: Manual of Blowpipe Analysis, qualitative and quantitative, with a complete system of determinative Mineralogy. New-York.

* J. S. Diller: The geology of Assos. (Papers of the Archaeological Institute of America. I. pg. 166—179. Boston.)

* — — Notes upon the geology of the Troad. (Ibidem. pg. 180—215.)

E. Geinitz: V. Beitrag zur Geologie Mecklenburgs. (Archiv des Vereins der Freunde der Naturgeschichte in Mecklenburg. Heft XXXVI.)

* Goeppert: Über die sogenannten Meerbälle. (Schles. Gesellsch. f. vaterl. Cultur. 8. Nov.)

A. Grandidier: Les cartes et les appareils de géographie et de cosmographie, les cartes géologiques et les ouvrages de météorologie et de statistique. 747 p. Paris. (Exposition universelle de 1878 à Paris, groupe II, Cl. 16.)

(T. Gutzeit) Über das gleiche ferhältnis, in dem eins mit dem andern stet, und ergebnisse daraus. Dazu eine tafel mit misgeburten, eine tafel mit gewäxen, und fir tafeln mit gedahten gestalten des steins. Es ligt alles ganz nahe, aber es wirt fon keinem gefunden.

* Handwörterbuch der Mineralogie, Geologie und Paläontologie. Dritte Lieferung. (Aus Encyklopädie der Naturwissenschaften. Breslau.)

H. W. Harkness: Footprints found at the Carson state prison. (Proceed. Californic Acad. of Science. Aug.)

R. A. Hehl: Das Brasilianische Küstenland zwischen dem 21.° und 23.° S. Br. Eine geographisch-geologische Skizze. (Petermann's Mittheil. Bd. 28. Heft XII.)

* G. Jennings Hinde: On Annelid remains from the Silurian strata of the Isle of Gotland. Pl. I—III. (Bihang till K. Svenska Vet.-Akad. Handlingar. VII. No. 5.)

* Th. Kjerulf: Om gang-gjennemskjaeringer ved Ekersund. (Nyt Magazin for Naturvid. XVII. 4. Christiania.)

* W. Kohlrausch: Das electrische Leitungsvermögen der Schwefelsäure und Pyroschwefelsäure und die Dichtigkeit der concentrirten Schwefelsäure. (Annalen der Phys. u. Chemie N. F. B. XVII.)

* — — Das electrische Leitungsvermögen von Chlorsilber, Bromsilber und Jodsilber. (Annalen der Phys. u. Chemie N. F. Bd. XVII.)

* Kuśta: Notiz über den Fund eines Arachnidenrestes im Carbon bei Petrovic. (Sitzungsber. der böhmischen Gesellschaft der Wissenschaften.)

* A. von Lasaulx: Der Erdball als Ganzes und seine Beschaffenheit. — Die Erdbeben. (Encyklopädie der Naturwissenschaften. Breslau.)

* J. Lehmann: Über den Pfahl des Bayerischen Waldes. (Sitzungsber. der niederrhein. Ges. f. Natur- u. Heilkunde.)

Loriol: Description des Echinides des environs de Camerino (Toscane) précédée d'une notice stratigraphique par Canavari. (Mém. d. l. Soc. de Physique et d'histoire naturelle de Genève. T. XXVIII. 3. Genève.)

* Martin: Neue Fundpunkte von Tertiär im Indischen Archipel. (Martin und Wichmann, Beiträge zur Geologie Ostasiens und Australiens. 4. Heft.) Leiden.
* Mittheilungen der Aargauischen naturforschenden Gesellschaft. III. Heft. Aarau.
* Fr. Obermayer: Morphologische Studien am Hyalophan und Labradorit. (Zeitschr. für Krystallographie u. Mineralogie. VII. 1.)
* Raph. Pumpelly: First annual report of the Northern Transcontinental Survey. New-York.
* A. Purgold: Die Meteoriten des Königl. mineralog. Museums in Dresden. (Abhandl. der Gesellschaft Isis.)
* Rapport du Jury adressé à M. le Ministre de l'Intérieur. Concours quinquiennal des sciences naturelles (1877—1881). Moniteur Belge. 1 Déc. No. 335.
* E. Reyer: Monte Catini. (Berg- und Hüttenmännische Ztg. No. 34.)
— — Änderungen der venetianischen und toskanischen Alluvialgebiete in historischer Zeit. (Zeitschr. d. Ges. für Erdkunde. XVII.)
* — — Ansichten über die Ursachen der Vulkane. (Jahrb. K. K. geolog. Reichsanst. XXXII. 2.)
* — — Neptunisch oder plutonisch? (Ibid.)
* F. Roemer: Über ein Vorkommen von Glimmerschiefer bei Gross Peterwitz bei Canth unweit Breslau. (Schles. Gesellsch. für vaterländische Cultur. 8. Nov.)
* W. C. Röntgen: Über die durch elektrische Kräfte erzeugte Änderung der Doppelbrechung des Quarzes. (XXII. Ber. Oberh. Ges. f. Natur- und Heilkunde.)
* H. E. Roscoe: Chemie. Deutsche Ausgabe, besorgt von F. Rose. (Naturwissenschaftliche Elementarbücher.) 3. Aufl. Strassburg.
* Schenk: Die Perfossus-Arten Cotta's. (Bot. Jahrb. III. Bd.) Mit einer Figur.
* G. Seligmann: Mittheilungen über Vitriolbleierz von der Grube Friedrich bei Wissen an der Sieg und mineralogische Beobachtungen, gesammelt auf einer Reise durch Dauphiné und Schweiz. (Corresp.-Bl. d. naturh. Vereins von Rheinland, Westphalen.)
* W. Staedel: Druckregulator für Destillationen und Siedepunktsbestimmungen. (Zeitschrift für Instrumentenkunde, November.)
* F. M. Stapff: Das Verhältniss des Granites zum Gneiss am Gotthard. — Einige Resultate der Temperaturbeobachtungen im Gotthardtunnel. — Ein im Glacialthon bei Lavorgo gefundenes eingekerbtes Stück Kiefernholz. (Tageblatt No. 7 der 55. Versamml. deutsch. Naturf. u. Ärzte zu Eisenach.)
* J. Szabó: Mon voyage en Amérique du Nord. (Bull. de le Soc. hongr. de Géographie. Budapest.)
* Transactions of the Seismological Society of Japan. Vol. I—IV. 1880—1882.
* J. H. L. Vogt: Olivinstenen i indre og söndre Söndmöre. (Nyt Magazin for Naturvid. XVII. 2. Christiania.)
A. K. Wach: Mittheilungen über isometrische Krystallformen. Pilsen.

* M. Websky: Über eine Methode, den Normalenbogen, um welchen eine Krystallfläche von einer ihr sehr naheliegenden Zone absteht, und ihre krystallographische Lage zu bestimmen. (Sitzungsber. Kön. Akad. Wiss. Berlin. XLIV. 967—978.)
* C. A. White: Progress of invertebrate Palaeontology in the United States for the year 1881. (American Naturalist. Novemb.)
* A. Wichmann: Gesteine von Timor. (Aus: Sammlungen d. geol. Reichsmuseums in Leiden. 1. Beiträge zur Geologie Ost-Asiens und Australiens. Leiden.)

1883.

* Ant. d'Achiardi: I metalli, loro minerali e miniere. Vol. I. 8°. 400 p. Pisa.
* A. de Lapparent: Traité de géologie. Fasc. VII et VIII. Fin. Paris.

B. Zeitschriften.

1) Zeitschrift der deutschen geologischen Gesellschaft. 8°. Berlin. [Jb. 1883: I. -154-]

Bd. XXXIV. Heft 3. Juli—September 1883. S. 461—680. T. XX—XXVII. — Aufsätze: *M. Neef: Über seltenere krystallinische Diluvialgeschiebe der Mark. 461. — *H. Credner: Über die Genesis der granitischen Gänge des sächsischen Granulitgebirges. 500. — *F. M. Stapff: Geologische Beobachtungen im Tessinthal (T. XX). 511. — F. Karsch: Über ein neues Spinnenthier aus der schlesischen Steinkohle und die Arachniden der Steinkohlenformation überhaupt (T. XXI). 556. — *Fel. Wahnschaffe: Über einige glaciale Druckerscheinungen im norddeutschen Diluvium. 562. — *G. Boehm: Über die Beziehungen von Pachyrisma zu Megalodon, Diceras und Caprina (T. XXII und XXIII). 602; — *Zur Kritik der Gattung Praeconia (T. XXIII—XXVII). 618. — *Hamm: Beobachtungen im Diluvium der Umgegend von Osnabrück. 629. — Briefliche Mittheilungen: G. Berendt: Über das Diluvium der Gegend von Osnabrück und Halle a. S. 637. — O. Heer: Über Sigillaria Preuiana Roemer. 639. — C. W. Gümbel: Über die Bildung der Stylolithen und über Fulgurite. 642. — Verhandlungen: E. Weiss: Über fossile Pflanzen von Meisdorf bei Ballenstedt, Alsenz in der Rheinprovinz und Merzdorf bei Lähn in Schlesien. 650. — Remelé: Über Rhynchorthoceras Angelini Boll sp.; über Fenestellenkalkgeschiebe. 651. — G. Berendt: Abgeschliffene und geschrammte Oberfläche von Septarienthon bei Joachimsthal. 658. — K. A. Lossen: Über die Abhängigkeit der Ausfüllungsmassen der Unterharzer Erz-, Fluss- und Quarzgangspalten von der Lage dieser Spalten zu dem Granitstock des Ramberges und seiner Contactzone. 660. — M. Neumayr: Saurierreste aus den Raibler Schichten von Windisch-Bleiberg. 663. — C. Struckmann: Ausgrabungen in der Einhornhöhle bei Scharzfeld. 669. — E. E. Schmid: Walkerde von Rippersroda und Dienstedt. 672. — Loretz: Älteste Versteinerungen des Thüringischen Schiefergebirges. 673. — Beyrich: Dolomitisirung des Wellenkalkes an Verwerfungsspalten bei Kissingen. 673. Waagen: Über Richthofenia. 674. — Pröscholdt: Über die Thalbildung des

Bibrabaches bei Rentwertshausen. 674. — E. Weiss: Gesteinsgänge bei Liebenstein. 677. — K. A. Lossen: Über den Quarz des Quarzporphyrganges im Glimmerschiefer am SO-Fuss des Spitzinger Steins bei Thal (Heiligenstein). 678.

2) Zeitschrift für Krystallographie und Mineralogie unter Mitwirkung zahlreicher Fachgenossen des In- und Auslandes herausgegeben von P. Groth. 8°. Leipzig. [Jb. 1883. I. -155-]

Bd. VII. Heft 4. S. 321—432. T. VI—VII. — L. Fletcher: Über die Zwillingsverwachsungen des Kupferkieses (T. VI). 321. — *A. Arzruni und C. Bärwald: Beziehungen zwischen Krystallform und Zusammensetzung bei den Eisenarsenkiesen. 337. — Hj. Sjögren: Über ein neues Vorkommen von Humit (Typus I) und über die chemischen Formeln des Humit, des Chondrodit und des Klinohumit (T. VII). 344. — E. S. Dana: Über den Monazit von Alexander County, Nordcarolina. 362. — S. L. Penfield: Über das Vorkommen und die Zusammensetzung einiger amerikanischer Monazitvarietäten. 366. — *O. Korn: Untersuchungen am Vesuvian von Kedabék in Kaukasien. 371. — P. Groth: Beiträge zur Kenntniss der natürlichen Fluorverbindungen (I). 375. — A. Brun: Mineralchemische Notizen. 389. — A. Schrauf: Analyse des Danburit von Scopi. 391. — *C. Bodewig: Chemische Zusammensetzung des Danburit aus der Schweiz. 391. — Auszüge. 392.

3) Palaeontographica. Herausgegeben von W. Dunker und K. A. Zittel. 4°. Cassel. [Jb. 1883. I. -156-]

XXIX. Bd. oder dritte Folge. V. Bd. 3. Lief. December 1882. — M. Canavari: Beiträge zur Fauna des unteren Lias von Spezia (T. XV bis XXI). 127—192.

4) Mittheilungen aus dem naturwissenschaftlichen Verein von Neu-Vorpommern und Rügen in Greifswald. [Jb. 1880. I. -309-]

XII. Jahrg. 1880. — Th. Marsson: Die Cirripedien und Ostracoden der weissen Schreibkreide der Insel Rügen (mit 3 Tafeln). 1.

XIII. Jahrg. 1882. — Scholz: Über die geologische Beschaffenheit der Gegend von Stralsund und einige der dortigen Trinkwasserverhältnisse. 1. — H. Schwanert: Vorkommen grosser Krystalle von Ammon-Magnesiumphosphat in einem über etwa 100 Jahre alten Harn. 19. — W. Holtz: Natürliche und künstliche Tromben (mit 1 Tafel). 26. — W. Weitzel: Einige Worte zu Falb's Theorie der Erdbeben und Vulcanausbrüche. 85. — F. A. Nobert: Die höchste Leistung des heutigen Mikroskops und seine Prüfung durch künstliche und natürliche Objecte. 92.

5) Schriften des Naturwissenschaftlichen Vereins für Schleswig-Holstein. [Jb. 1879. -466-]

Bd. III. 2. Heft. Kiel 1880. — A. Karsten: Meteorologische Beobachtungen aus Pelotas in Süd-Brasilien. 17. — J. Heinemann: Die krystallinischen Geschiebe Schleswig-Holsteins. 61.

6) Verhandlungen der K. K. geologischen Reichsanstalt. 8°. Wien. [Jb. 1883. I. -157-]

1882. No. 14. S. 253—284. — Heinrich Wolf †. — Eingesendete Mittheilungen: R. Handmann: Zur Tertiärfauna des Wiener Beckens (II). 255. — F. Toula: Einige neue Wirbelthierreste aus der Braunkohle von Göriach in Steiermark. 274; — Oberkiefer-Backenzähne von Rhinoceros tichorhinus. 279. — E. Fugger und C. Kastner: Die geologischen Verhältnisse des Nordabhanges des Unterberges bei Salzburg. 279. — Literaturnotizen. 282.

7) Sitzungsberichte der K. K. Akademie der Wissenschaften zu Wien. [Jb. 1881. I. -329-]

Jahrg. 1880. 81. Band. I. Abthlg. Wien 1880. — Fuchs: Über einige tertiäre Echiniden aus Persien (mit 1 Tafel). 97. — Klönne: Die periodischen Schwankungen des Wasserspiegels in den inundirten Kohlenschächten von Duca in der Periode vom 8. April bis 15. September 1879 (mit 4 Tafeln). 101. — Boué: Über den ehemaligen und jetzigen Stand der Geologie und Geogenie und die Untersuchungen und Methoden in diesen Richtungen. 148. — Burgerstein und Noë: Geologische Beobachtungen im südlichen Calabrien (mit 1 Karte und 1 Tafel). 154. — Toula: Geologische Untersuchungen im westlichen Theile des Balkan und in den angrenzenden Gebieten. IX. Von Ak. Palanka über Niš, Leskovač und die Rui Planina bei Tru nach Pirot (mit 6 Tafeln und 9 Holzschnitten). 188. — Fitzinger: Geschichte des K. K. Hofmineraliencabinetes. IV. Abtheilung. 267.

81. Band. II. Abthlg. Wien 1880. — Hann: Untersuchungen über die Regenverhältnisse von Österreich-Ungarn. 45. — Tornöe: Über den Salzgehalt des Wassers im norwegischen Nordmeere, nach den Resultaten der norwegischen Nordmeer-Expedition (mit 3 Tafeln). 924. — Finger: Uber den Einfluss der Rotation des Erdsphäroids auf terrestrische Bewegungen, insbesondere auf Meeres- und Windströmungen. II. Theil. 1248.

Jahrg. 1881. 82. Band. I. Abthlg. Wien 1881. — Woldřich: Diluviale Fauna von Zuslawitz bei Winterberg im Böhmerwalde (mit 4 Tafeln). 7. — Sieber: Zur Kenntniss der nordböhmischen Braunkohlenflora (mit 5 Tafeln). 67. — Bieber: Über 2 neue Batrachier der böhmischen Braunkohlenformation (mit 3 Tafeln). 102. — v. Ettinghausen: Beiträge zur Erforschung der Phylogenie der Pflanzenarten. 2. Folge, III—VIII. 133. — Tschermak und Sipöcz: Beitrag zur Kenntniss des Zoisits (mit 1 Tafel und 4 Holzschnitten). 141. — Hussak: Beiträge zur Kenntniss der Eruptivgesteine der Umgegend von Schemnitz (mit 2 Tafeln). 164. — Fitzinger: Geschichte des k. k. Hof-Naturalien-Cabinets in Wien. V. Abtheilung. 279. — Březina: Vorläufiger Bericht über neue oder wenig bekannte Meteoriten. 343. — v. Hochstetter: Vierter Bericht der prähistorischen Commission der math.-naturw. Classe der k. k. Akademie der Wissenschaften über die Arbeiten im Jahre 1880 (mit 3 Tafeln und 4 Holzschnitten). 401.

8) Mittheilungen der naturforschenden Gesellschaft in Bern. [Jb. 1880. II. -268-]

1879. No. 962—978. Bern 1880. — Bachmann, Isidor: Neue Acquisitionen der mineralogischen Sammlung des städtischen Museums. 56; — Vorweisung eines Cap-Diamanten (Sitzungsber.). 11; — Vorweisung eines Reliefs des Gletschergartens in Luzern von Amreintroller. 12; — Vorweisung von Lava und Aschenproben des Ätna, begleitet mit Auszügen aus einem Briefe von Hrn. Dr. Uhlmann. 15. — v. Fellenberg, Ed.: Geologische Mittheilungen über das Lötschenthal und Umgebung. 8.

1880. No. 979—1003. Bern 1881. — Bachmann, Isidor: Verwerfungen in einer Kiesgrube bei Bern und neu entdeckte verkieselte Hölzer im Gletscherschutt. 79; — Notizen über die Entstehung der Bohnerzlager im Felsbergerthale. 22; — Neues Vorkommen von Schwerspath bei Thun. 93. — von Fellenberg, Edm.: Die Kalkkeile am Nord- und Südrande des westlichen Theiles des Finsteraarhornmassivs (mit 2 lithogr. Tafeln). 127. — Quiquerez: Notice sur quelques produits observés dans la démolition des hauts-fourneaux du Jura bernois. 109. — Studer: Über Theilung und Knospung bei Madreporarien (mit 8 Holzschnitten). 3; — Beitrag zur Fauna der Steinkorallen von Singapore (mit 18 Holzschnitten). 15; — Über den Fund von Resten der Gemse in der Pfahlbaustation Lattrigen. 97.

9) The Mineralogical Magazine and Journal of the Mineralogical Society of Great Britain and Ireland. 8°. London. [Jb. 1882. II. -326-]

Vol. V. No. 23. November 1882. pg. 49—114. — Joh. Lorenzen: On some minerals from the Sodalite-Syenite in Julianehaab-District, South-Greenland. 49. — Heddle: The geognosy and mineralogy of Scotland. Sutherland, continued. 71. — M. Guyot: Description of a crystal of Euclase, belonging to my collection. 107. — Reviews etc. 109.

10) The Geological Magazine, edited by H. Woodward, J. Morris and R. Etheridge. 8°. London. [Jb. 1883. I. -159-]

Dec. II. Vol. IX. No. 222. Dec. 1882. pg. 529—535. — P. Herbert Carpenter: Notes on Oreaster bulbiferus from the Upper Chalk, Bromley, Kent (pl. XII). 529. — T. Rupert Jones: On the sudden destruction of marine animals. 533. — R. H. Traquair: Notice on new fish-remains from Borough Lee. 540. — J. S. Gardener: The permanency of continents. 546. — E. B. Tawney: Woodwardian Laboratory notes. 548. — H. H. Howorth: Traces of a great postglacial flood. 5. Evidence of the marine drift. 553. A. Irving: The Permian and Trias. 559. — Ch. Lapworth: Discovery of cambrian rocks near Birmingham. 563. — Notices etc. 566.

Dec. II. Vol. X. No. 223. Jan. 1883. pg. 1—48. — H. Woodward: On a new genus of fossil Calamary (pl. I). 1. — Thom. Davidson: On Scottish silurian Brachiopoda. 5. — H. H. Howorth: Traces of a great postglacial flood. 9. — E. B. Tawney: Woodwardian laboratory notes. 17. — W. Whitaker: The red chalk of Norfolk. 22. — *A. G. Nathorst: On silurian „plants“ of Wales. 33. — Notices etc. 35.

11) The Annals and Magazine of natural history. 8°. London. 5the series. [Jb. 1883. I. -159-]

Vol. X. No. 59. Nov. 1882. — R. Häusler: Additional Notes on the Trochamminae of the Lower Malm of the Canton Aargau, including Webbina and Hormosina. 349—357. (pl. XV.) — Rup. Jones: Notes on the palaeozoic bivalved Entomostraca. No. XV. A carboniferous Primitia from South Devon. 358—360.

Vol. X. No. 60. Dec. 1882. — J. Young: On the Identity of Ceramopora (Berenicea) megastoma M'Coy, with Fistulipora minor M'Coy. 427—431.

Vol. XI. No. 61. Jan. 1883. — T. Fuchs: What is to be understood by the Term „Deep-sea Fauna“ and by what Physical Conditions is its Occurrence governed? 1—15. — H. J. Carter: Further Observations on the so-called „Farringdon-Sponges“ (Calcispongiae Zittel) followed by a Description of an Existing Species of a like Kind. 20—37. (Pl. I.)

12) The Transactions of the Royal Irish Academy. [Jb. 1881. I. -161-]

Vol. XXVIII. 1881—1882. — Francis Alex. Tarleton: On Chemical Equilibrium. 1. — Edward Perceval Wright: On a New Genus and Species of Sponge with supposed Heteromorphic Zooids (1 Taf.) 13. — Edw. Perc. Wright: On Blodgeltia confervoides of Harvey, forming a new Genus and Species of Fungi. (T. II). 21. — On a new genus and species of unicellular Algae, living on Filaments of Rhizoclonium Casparyi. (T. II.) 27. — Sanuel Haughton: New Researches on Sun-heat and Terrestrial Radiation, and on Geological Climates. (Part I a. II). 47.

13) The American Journal of Science and Arts. 3rd Series. [Jb. 1883. I. -159-]

Vol. XXIV. No. 144. December 1882. — J. W. Spencer: Terraces and beaches about Lake Ontario. 409. — B. F. Koons: High terraces of the rivers of Eastern Connecticut. 425. — J. D. Dana: Note on the former discharge of Lake Winnepeg. 428. — S. Haughton: Excentricity and perihelian Longitude of the Earth's orbit as a cause of change of climate. 436. — B. W. Frazier: Crystals of Axinite from a locality near Bethlehem, Penn., with remarks upon the analogy between the crystalline forms of Axinite and Datolite. 439. — Charles Darwin †. 453.

Vol. XXXV. No. 145. January 1883. — F. D. Chester: On Bowlder drift in Delaware. 18. — W. W. Dodge: Relations of the Menevian argillites and associated rocks at Braintree and vicinity, in Massachusetts. 65.

14) Transactions of the Seismological Society of Japan. 8°. „Japan Gazette“ Office.

Vol. I. April—June 1880. — J. Milne: Seismic science in Japan. 3. — J. A. Ewing: A new form of Pendulum Seismograph. 38. — G. Wagner: On a Seismometer. 54. — T. Gray: On a Seismometer and a Torsion Pendulum Seismograph. 44. — T. C. Mendenhall: On a determination of the acceleration due to the force of gravity at Tokio. 52. — J. Milne: The earthquake in Japan of February 22nd 1880. 1.

Vol. II. July—Decemb. 1880. — J. Milne: Notes on the recent earthquakes of Yedo plain and their effects on certain buildings 1. — T. C. Mendenhall: On pendulum experiments on the summit of Fujiyama for the purpose of ascertaining the force of gravity of that point. 39. — H. M. Paul: The effect of railroad trains in transmitting vibrations through the ground. 41. — J. A. Ewing: On a new seismograph for horizontal motion. 56. — J. Milne: The Peruvian earthquake of May 9th 1877. 50.

Vol. III. Jan.—Dec. 1881. — Th. Gray: On steady points for earthquake measurements. 1. — J. Milne: Experiments in observational seismology. 12. — Notes on the great earthquakes of Japan. 65. — J. Perry: Note on the rocking of a column. 103. — Observation of the nature of the earthquake of July 25th 1880 by means of Dr. G. Wagner's Seismometer. 107. — J. A. Ewing: On the observation of an earthquake at three or more stations to determine speed and direction of transit. 111; — On the records of three recent earthquakes. 115; — The earthquake of March 8th 1881. 121. — J. Milne: Notes on the horizontal and vertical motion of the earthquake of March 8th 1881. 129. — Th. Gray: On a seismograph for registering vertical motion. 132. — J. A. Ewing: A seismometer for vertical motion. 140. — Th. Gray: A seismograph for large motions. 143; — On a method of compensating a pendulum so as to make it astatic. 145. — H. S. Palmer: A note on earth vibrations. 148. — M. Kuwabara: The hot springs of Atami. 151.

Vol. IV. Jan.—June 1882. — J. Milne: The distribution of seismic activity in Japan. 1. — Wada Tsunashiro: Notes on Fujiyama. 31. — E. Abella y Casariego: The earthquake of Nueva Biscaya (Philippine Islands) in 1881. 38. — J. Milne: Utilization of the earth's internal heat. 61. — J. A. Ewing: Note on the earthquake of March 11th, 1882. 73. — Patr. Doyle: Note on an Indian earthquake. 78. — J. Milne: Suggestions for the systematic observation on earthquakes. 85.

15) Comptes rendus hebdomadaires des séances de l'Académie des sciences. 4°. Paris. [Jb. 1883. I. -161-]

T. XCV. No. 19. 6 Nov. 1882. — de Lesseps: Le tremblement de terre de l'Isthme de Panama. 817.

T. XCV. No. 20. 13 Nov. 1882. — H. Debray: Note sur la reproduction des osmiures d'iridium. 878. — Jacques et Pierre Curie: Déformations électriques du quartz. 914. — Stan. Meunier: Contribution à l'histoire géologique du fer de Pallas. 938.

T. XCV. No. 21. 20 Nov. 1882. — Ed. Jannettaz: Note sur l'étude du long rain et la mesure de la schistosité dans les roches schisteuses, au moyen de leur propriétés thermiques. 996. — Dieulafait: La lithine, la strontiane et l'acide borique dans les eaux minérales de Contrexeville et de Schinznach (Suisse). 999. — Lemoine: Sur deux Plagiaulax tertiaires recueillis aux environs de Reims. 1009.

T. XCV. No. 23. 4 Décembre 1882. — A. Gaudry: Les enchaînements du monde animal dans les temps primaires. 1130. — Stan. Meunier: Histoire géologique de le syssidère de Lodran. 1176.

T. XCV. No. 24. 11 Décembre 1882. — Ch. Brongniart: Sur un nouvel insecte fossile de l'ordre des Orthoptères, provenant des terrains houillers de Commentry (Allier). 1228.

T. XCV. No. 25. 18 Décembre 1882. — Bourgeat: Note orographique sur la région du Jura comprise entre Génève et Poligny. 1302.

T. XCV. No. 26. 26 Décembre 1882. — Plauchud: Sur la réduction des sulfates par les sulfuraires, et sur la formation des sulfures métalliques naturels. 1363. — Stan. Meunier: Analyse minéralogique de la roche empâtée dans la syssidère d'Atacama. 1384.

16) Bulletin de la Société minéralogique de France. 8°. Paris. [Jb. 1883. I. -161-]

T. V. 1882. No. 8. p. 253—296. — Em. Bertrand: Propriétés optiques de la Variscite de l'Arkansas. 253; — Sur le mimetèse de Schneeberg. 254; — Sur l'arséniosidérite de Schneeberg. 255. — *Er. Mallard: De l'action de la chaleur sur la Heulandite. 255. — Daniel Klein: Sur l'isomorphisme de masse. 260. — F. Gonnard: Note sur une observation de Fournet, concernant la production des zéolithes à froid. 267; — Note sur la tourmaline de Roure (Pontgibaud). 269; — Note sur les pegmatites d'Autezat-la-Sauvetat et de la Grande-Côte, près de Saint-Amant-Tallende (Puy-de-Dôme). 270. — G. Wyrouboff: Sur la dispersion tournante de quelques substances orthorombiques. 272. — Ed. Jannettaz: Analyse d'un pyroxène vert des mines diamantifères du Cap. 281. — C. Friedel et J. Curie: Sur la pyroélectricité du quartz. 282.

17) Annales des Sciences géologiques publiées sur la direction de M. Hébert et de M. Alph. Milne-Edwards. Tome XIII (avec 6 Cartes). Paris 1881. [Jb. 1882. I. -174-]

G. Vasseur: Recherches géologiques sur les terrains tertiaires de la France occidentale. Stratigraphie. 1—425.

18) Mémoires de la Société géologique de France. 3ième sér. Tome II. Paris 1882. 4°. [Jb. 1882. I. -439-]

Terquem: Les Foraminifères de l'Eocène des environs de Paris. (20 Pl.) 193. — Sauvage: Recherches sur les Reptiles trouvés dans le Gault de l'Est du bassin de Paris. (5 Pl.) 41.

19) Bulletin de la Société de Géographie. Paris.

6e série. T. XIX. 1880. — de Chancourtois: De l'unification des travaux géographiques et géologiques. 35—54.

6e série. T. XX. 1880. — L. Bert: Récents phénomènes volcaniques observés à l'ile Dominique (antilles anglaises). 69—75. — A. Daubrée: Examen des poussières volcaniques tombées le 4 Janvier 1880 à la Dominique et de l'eau qui les accompagnait. 72—75. — Ch. Vélain: Notices

géologiques sur la Hte. Guyane française d'après les explorations du Dr. Crevaux. 520—528. — A. Daubrée: Descartes, l'un des créateurs de la cosmologie et de la géologie. 556.

7e série. T. I et II. 1881. — A. Marche: Le tremblement de terre de Luçon. 164—170.

20) Journal de conchyliologie. [Jb. 1882. II. -440-]

3e serie. t. XXI. Paris 1881. — L. Morlet: Description de coquilles nouvelles. 342—347.

21) Bulletin de la Société philomatique.

No. 1—2. 1881—1882. — Filhol: Observations relatives à un nouveau gisement de mammifères fossiles de l'Eocène supérieur. 118—120; — Note sur la présence du genre Oxyhyaena parmi les mammifères fossiles du Quercy; description d'une nouvelle espèce de Plesictis découvert à St. Gerand-le-Puy (Allier). 120—122; — Remarques sur l'Hyaenodon Laurillardi. 122—123; — Note relative à une nouvelle espèce de sus fossile trouvée dans les argiles à Dinotherium de Valentine (Hte. Garonne). 123—125; — Description d'une nouvelle espèce de mammifère fossile. 125; Description d'une nouv. espèce de mammifère fossile du genre Hyracodontherium. 125; — Description d'une nouvelle espèce de mammifère fossile appartenant au genre Amphimoeryx. 126—127; — Description d'un nouveau genre de Reptile fossile. 127; — Note sur une nouvelle espèce de reptile fossile du genre Plisitodon. 127—128.

22) La Nature. Revue des sciences. Journal hebdomadaire illustré red. G. Tissandier. Paris. Masson.

No. 449—495 (Janvier—Novembre 1882). — No. 449, A. Gaudry: Sur un gisement de rennes auprès de Paris. 91—92; — No. 450, Durée probable des gisements de houille en Angleterre. 99. — No. 452, L. Green: Eruption du Mauna-Loa. 135—138. — Ch. Vélain: Les laves du Mauna-Loa. 138. — No. 454, V. Tidesche de Ercole: Phénomènes volcaniques dans la mer Jonienne. 174. — No. 457, A*** et de Foutereau: Secousses de tremblements de terre dans la Somme. 222. — No. 458, G. Tissandier: L'Amiante et ses applications industrielles. 225—226; — No. 461, Densité de la terre. 276. — No. 462, Ch. Vélain: L'Archipel Hawaïen et ses volcans. 290—295; — No. 464, ditto. 323—326. — No. 466, L. Olivier: Reptile lignifié de Matto Grosso. 365—366. — S. Meunier: Le Gastornis. 353—354. — No. 467, Ch. Vélain: L'Archipel Hawaïen et ses volcans (suite). 374—375. — No. 470, Widemann: Découverte préhistorique dans le diluvium rhénan en Alsace. — G. Rolland: Les grandes dunes du Sahara. 1—6. — No. 474, Marc. Dechevrens: Perturbations magnétiques et tremblements de terre en Chine. 70. — No. 475, G. Rolland: Les grandes dunes du Sahara. 82—86. — No. 478, Ch. Rabot: Glaciers de la Laponie. 139—142. — No. 479, A. Gaudry: Le rôle de Darwin. 150—152. — No. 485, Ch. Vélain: Volcan des iles Hawaï, étude des laves 250—255; — No. 486, Tremblements de terre dans les Vosges. 266; —

No. 489, Grotte de Stalactites en Sardaigne. 299. — G. de Saporta: Les variations morphologiques d'un type de plantes. p. 299—302. — No. 492. St. Meunier: Les lignites de Dinmont. 363—364. — Tissandier: Le tremblement de terre de Panama du 6 Sept. 1882. 338.

Décembre 1882. — No. 496. R. Vion: La période humaine en géologie.

23) Bulletin de la Société botanique de France. Paris.

2e série. T. XXVIII. T. III. 1881. — R. Zeiller: Note sur des stomates en étoile observés chez une plante fossile. 210—214. — van Tieghem: Remarques sur l'état où se trouvent les graines silicifiées dans le terrain houillier de St. Etienne. 243—245. — L. Bureau: De la Nomenclature des plantes fossiles à l'occasion du prochain congrès géologique de Bologne. 8—10. — R. Zeiller: Note sur la situation des stomates dans les pinnules du Cycadopteris Brauniana Zigno. 23—28. — L. Bureau: Sur la géologie des environs de Fontainebleau au point de vue de la géographie botanique. VII. XV.

24) Annales de la Société d'Agriculture, histoire naturelle et Arts utiles de Lyon. [Jb. 1883. I. -162-]

3e série. t. IV. 1881. — Fontannes: Diagnose d'espèces nouvelles des terrains tertiaires du bassin du Rhône et du Roussillon. 29—35; — Note sur la position stratigraphique des couches à Congeries de Bollène (Vaucluse) et des marnes à Lignites d'Hauterive (Drôme). 181—189; — Les terrains tertiaires de la région delphino-provençale du bassin du Rhône. 189—269. — A. Locard: Constitution géologique du sous-sol de la ville de Lyon consideré au point de vue du régime hydrographique. 737—757.

25) Bulletin de la Société géologique de Normandie. Le Havre 1882.

T. VII. 1880. — E. Savalle: Note sur l'état de la falaise du Havre à Bléville pendant l'hiver 1878—1879; — Note sur les écoulements et les valinses pendant l'hiver 1878—79; — E. Savalle et F. Prudhomme: Note sur un affleurement de la craie sénonienne à Sandouville. — Ch. Beaugrand: Note sur un bloc erratique recueilli dans les sables aptiens d'Octeville. — G. Drouaux: Note sur un dépot tertiaire reconnu à Manneville-sur-Risle (Eure). — J. Skrodsky: Note sur la signification de l'étage et des bancs-limites. — Abbé Deshayes: Gisement de silex préhistoriques à Manneville-sur-Risle et aux environs de Pont-Andemer. — G. Lennier: Mémoire pour servir à l'étude d'un projet de tunnel sous-marin destiné à relier les 2 rives de la Seine à son embouchure; — Observations géologiques et zoologiques faites dans la baie de la Seine.

26) Bulletin de la Société d'histoire naturelle d'Angers.

11. et 12. Année 1882. — E. Préaubert: Observations sur le terrain silurien des environs d'Angers. VI—VII. 2 pl. 126—133. — D. Oehlert: Note sur le calcaire de Montjean et Chalonnes (Maine et Loire). — A. Lucante: Essai géographique sur les cavernes de la France et de l'étranger. 25—14.

27) Annales de la Société d'Emulation des Vosges. Epinal et Paris.

Vol. de 1882. — A. Benoit: Un Minéralogiste vosgien au siècle dernière. 349—354.

28) Bulletin de la Société des sciences de l'Yonne. Auxerres 1882.

35e vol. année 1882. — J. Lambert: Note sur l'Etage Turonien dans le département de l'Yonne. 2 pl., table explicative et coupes. 14—183.

36e vol. Année 1882. — G. Cotteau: Note sur les Echinoconus turoniens de la carrière de Dracy. 131—143.

29) Journal d'histoire naturelle de Bordeaux et du Sud-Ouest. Bordeaux 1882.

No. 1, 2, Benoist: Les puits artesiens des docks à Bordeaux. 9—10; Découverte d'une dent d'éléphant à Miramont. 22. — No. 3, Benoist: Histoire des progrès de la géologie girondine depuis 1855 jusqu'en 1882. 28—31. No. 4, 5, Benoist: Histoire de la géologie girondine (suite). 60—63. — H. Benlyae: Excursion géologique à Léognan. 69—70. — No. 6, 7, 8, 9, E. Benoist: L'homme primitif dans le département de la Gironde. 121—124. — No. 10, 11, E. Benoist: Histoire des progrès de la géologie girondine (suite). 128—130.

30) Annuaire du club alpin français. 1880. Paris 1882. [Jb. 1882. II. -441-]

A. Daubrée: Etudes expérimentales sur l'origine des cassures terrestres et sur leur coordination réciproque au point de vue des accidents du relief du sol. 351—393. — V. Deshayes: Note sur les richesses minérales des Alpes Valaisannes. 435—448.

31) Annuaire du club alpin français. Section du Jura. Annuaire de 1882.

A. Girardot: Le terrain à Chailles dans le Doubs et la Hte. Saône. 111—119. — A. Vézian: Sur les mouvements du sol, qui se produisent actuellement dans le Jura. 123—128. — N. Cavaroz: Des phénomènes glaciaires dans le Jura. 135—144.

32) Bulletin du Musée Royal d'histoire naturelle de Belgique. Bruxelles. 8°.

1882. Tome I. No. 1. — *A. Renard: Les roches grenatifères et amphiboliques de la région de Bastogne. Pl. I—III. 1—54. — L. Dollo: Note sur l'ostéologie des Mosasauridae. Pl. IV—VI. 55—80.

1882. T. I. No. 2. — E. Dupont: Terrain devonien de l'Entre-Sambre-et-Meuse. — Les îles coralliennes de Roly et de Philippeville. Pl. VII—VIII. 89—160. — L. Dollo: Première note sur les Dinosauriens de Bernissart. Pl. IX. 161—180. — E. Ludwig et A. Renard: Analyses de la vésuvienne d'Ala et de Monzoni. 181—184.

33) Bolletino del R. Comitato geologico d'Italia. 8°. Roma. [Jb. 1883. I. -162-]

1882. 2. ser. Vol. III. No. 9. 10. Settembre e Ottobre. — D. Zaccagna: I terreni della Val di Nievole fra Monsummano e Montecatini. 235—260. — R. Meli: Ulteriori notizie ed osservazioni sui resti organici rinvenuti nei tufi vulcanici della provincia di Roma. 260—280. — Notizie bibliografiche. 280—287. — Notizie diverse. 287—288. — Carta geologica dell' Europa. 289—305.

34) Atti della R. Accademia dei Lincei, Memorie. Roma. [Jb. II. -175-.]

Ser. III. Vol. IX. 1881. — Ponzi: I tufi vulcanici della Tuscia romana, loro origine, diffusione ed età. 17. — Capellini: Resti di Tapiro nella lignite di Sarzanello (con una tav.). 76. — Seguenza: Le Ringicole italiane ovvero ricerche speciologiche e stratigrafiche intornoalle Ringicole raccolte negli strati terziari d'Italia (con due tav.). 344.

Ser. III. vol. X. 1881. — Cossa: Sopra la composizione dialcune roccie della Valtellina. 105. — Terrigi: Le formazioni vulcaniche del Bacino romano considerate nella loro fisica costituzione e giacitura (con tre tav.). 389.

35) Atti della Società italiana di scienze naturali Milano. [Jb. 1880. I. -448-]

Vol. XXII. 1880. — G. B. Villa: La dolomia a gastrochene nell' Apennino centrale. 303. — P. Polli: Su di un nuovo giacimento di molibdenite. 305. — A. Verri: Alcune note sui terreni terziari e quaternari prese negli ultimi viaggi sul bacino del Tevere. 329. — G. Mercalli: Contribuzioni alla geologia della Isole Lipari. 367.

Vol. XXIII. 1880—1881. — E. Spreafico: Osservazioni geologiche nei dintorni del Lago d'Orta e nella Val Sesia. 102. — C. F. Parona: I fossili degli strati a Posidonomya alpina di Camporovere nei Sette Comuni. 244. — P. Polli: Notizie sulla grafite di Brissago. 278. — A. Verri: Seguito delle note sui terreni terziari e quaternari del bacino del Tevere. 281. — A. Stoppani: L'êra neozoica in Italia. 297.

36) Bulletino del Vulcanismo Italiano. Roma.

Bd. VIII. 1881. — M. S. de Rossi: Il terremoto di Casamicciola del 4 Marzo 1881. 5. — G. Grablovitz: Sulle relazioni fra le altezze barometriche ed i moti microsismici. 33. — O. Silvestri: Intenzioni del R. Governo per lo sviluppo degli studi vulcanologici nella provincia di Catania, e fenomeni sismici a Mineo. 35. — P. Bertelli: Nuovo avissatore sismico ed osservazioni relative alle indicazioni sismometriche. 74. — Quadri grafici e statistici dei fenomeni endogeni italiani del 1877—78—79—80. 101. — Connessione fra le grandi burrasche atmosferiche e le sismiche, lett. del prof. P. Fagioli e nota di M. S. de Rossi. 105.

Anno IX. 1882. fasc. 1—5. — Note delgi Osservatorii dell' attività endogena in Italia. 11. Antichi tentativi di studi sui terremoti in Roma. 13. — Terremoti e meteorologia nel paese di Bàri nel' Africa. 14. —

Corrispondenza per le notizie e la descrizione dei fenomeni. — A. Goiran: Nebbie secche e bituminifere ed altri fenomeni endogeni nel Veronese nel Luglio ed Agosto 1881. 17. — F. Taramelli: Eruzione della Salsa di Querzola ai 24 Giugno 1881. 23. — S. Medichini: Terremoto di Celleno nel Viterbese. 24. — R. Remiddi: Fenomeno luminoso in Terracina. 24. — G. Mercalli, A. Picone: Eruzione di Stromboli ai 18 Ottobre. 25. — P. Cecchi, A. Goiran, G. Grablovitz. P. Monte: Fenomeni sismici diversi. 26. — O. Silvestri: Eruzione di sabbia e cenere all' Etna. 26. — L. Palmieri: Attività del Vesuvio ai 29 Decembre 1881. 26. — M. S. de Rossi: Periodo sismico singolare in Velletri nel Decembre 1881. 27. — S. Medichini: Attività del sistema vulcanico dei Cimini. 27. — A. Malvasia: Riassunto delle osservazioni sismiche di Bologna, Luglio, Decembre 1881. 28. — Riviste sismiche mensili. 31. — Quadri sinotici e cronologici dei fenomeni endogeni. 47. — Miscellanea di notizie avvisi ed osservazioni. 78.

Fasc. 6—9. — Fr. Gatti: Sulle relazioni tra alcuni fenomeni lunisoluri e gli endogeni terrestri. 81. — E. Brassart: Nuovi apparecchi sismici. 92. Quadri sinottici e cronologici dei fenomeni endogeni. 100. — Corrispondenza delle notizie e le descrizione dei fenomeni. — E. Semmola: Relazioni sullo stato dell' attività Vesuviana. 134. — O. Silvestri: Eruzione Stromboliane dell' Etna. 139. — C. Toscani: Scosse di Terra in Siena, Luglio 1882. 141. — A. Picone, E. Rodriguez: Fatti di Stromboli, Vulcano e Panaria. 142. — Miscellanea. 143.

37) Atti dell' Accademia Gioenia di Scienze Naturali in Catania. 4°. [Jb. 1881. I. -166-]

Ser. III. tomo XVI. 1882. — L. Ricciardi: Ricerche chimiche su' depositi di tufi vulcanici nella provincia di Salerno. 107; — Ricerche sulla composizione chimica di alcune marne argillifere di Ogliaria in provincia di Salerno. 115; — Ricerche chimiche sopra una lignite e alcuni scisti bituminiferi di Giffoni Valle e Piana in prov. di Salerno. 123. — G. Basile: Sulla presenza del quarzo con inclusioni di magnetite in una trachite dell' Etna. 155. — L. Ricciardi: Ricerche chimiche sulle rocce calcaree della prov. di Salerno. 167; — Sulla composizione chimica delle pomici vesuviane raccolte sul Monte Sant' Angelo. 184. — O. Silvestri: Ricerche chimiche sulla composizione dell' acqua minerale acidulo-alcalino-magnesiaco-ferruginosa detta del fonte maimonide e volgarmente la grassa delle sorgenti idrogassose di Paternò alla base S.-O. dell' Etna. 189.

Berichtigungen.

Jahrb. 1883. I. -29- Zeile 16 von oben lies Batugol statt Bagoutal.

„ 1883. I. -29- Zeile 18 von oben und Zeile 11 von unten lies Nephrit statt Jadëit.

„ 1883. I. -43- Zeile 19 von unten lies *Orthis Monnieri* statt *Orthis Munieri.*

Referate.

A. Mineralogie.

Er. Mallard: Sur les propriétés optiques des mélanges cristallins de substances isomorphes et sur l'explication de la polarisation rotatoire. (Annales des Mines. T. XIX, p. 256—313 Mars—Avril 1881. Referat: s. Groth: Zeitschr. f. Krystallogr. u. Mineral. Bd. VI. p. 612—626. 1882.)

Diese Abhandlung ist gleichzeitig mit derjenigen desselben Verfassers erschienen, welche, denselben Gegenstand behandelnd, im „Bulletin de la Société minéral. de France", T. IV. Nr. 3. p. 71—79. 1881 veröffentlicht ist. (Referat darüber: s. dieses Jahrbuch 1882. Bd. I. Heft 1. p. 3.)

Der Verf. löst in diesen Arbeiten folgende Aufgabe: Gegeben ist eine beliebige Anzahl planparalleler Platten krystallinischer Medien, deren Dicke aber so gering ist, dass sogar das Verhältniss derselben zur Wellenlänge des Lichts eine kleine Grösse ist, deren Quadrat vernachlässigt werden kann. Die Orientirung der einzelnen Platten gegen die optischen Achsen ist beliebig, aber doch so, dass die Richtung der Achsen in benachbarten Platten nur um eine kleine Grösse verschieden ist. Diese Platten seien auf einander geschichtet, und es falle senkrecht auf dieselben eine ebene Welle homogenen linear polarisirten Lichts. Das durchgegangene Licht ist dann im Allgemeinen elliptisch polarisirt. Der Verf. gibt die Formeln für die Grösse und Richtung der grossen Achse dieser Ellipse und die Gleichung für den Mittelwerth der Fortpflanzungsgeschwindigkeit des durch ein solches Packet von Lamellen hindurchgehenden Lichtes. Diese Resultate sind in dem Referate in Bd. I. Heft 1. p. 4 bereits angegeben.

Die Bedeutung der erwähnten Aufgabe scheint mir durch die folgende mehr analytische Formulirung noch klarer hervorzutreten: In einem krystallinischen Medium seien die Richtungen der optischen Achsen, sowie die Geschwindigkeiten des Lichts längs der Hauptschnitte nicht für alle Punkte gleich gross, sondern stetige Functionen des Ortes, aber so, dass sie nur von einer Coordinate abhängen, also in einer Ebene senkrecht

zu derselben ungeändert bleiben. Auf einen solchen Körper fällt senkrecht zu diesen Ebenen eine ebene Welle homogenen linear polarisirten Lichtes. In den Gleichungen für das durch einen solchen Körper hindurchgegangene Licht würden, statt der in den Formeln des Verf. stehenden Summen, bestimmte Integrale auftreten.

Streng genommen, müsste der Verf. die Lösung der eben genannten Aufgabe benützen zu den Anwendungen, die er von seinen Formeln auf die optischen Eigenschaften von Krystallgemischen und auf die Circularpolarisation macht. Auch dieser Anwendungen ist in dem obigen Referate bereits Erwähnung gethan. **Karl Schering.**

---

1. H. Laspeyres: Über Stauroskope und stauroskopische Methoden. (Zeitschr. f. Instrumentenkunde 1882. Januar- und Februarheft.)

2. H. Laspeyres: Über Lampen für monochromatisches Licht. (Ebendaselbst 1882. Märzheft.)

3. H. Laspeyres: Über stauroskopische Anomalien. Mit einer Tafel. (Zeitschr. f. Kryst. u. Min. VI. 5. 1882.)

4. Th. Liebisch: Ableitung der Formel, welche zur Correction von Stauroskopmessungen dient. (Zeitschr. f. Kryst. und Min. VII. 3. 1882.)

Bei der Wichtigkeit, welche genaue Bestimmungen der Hauptauslöschungsrichtungen des Lichts gegen die krystallographischen Elemente in planparallelen Krystall-Platten haben, muss jedes Bestreben, uns in den Stand zu setzen, diese Erkenntniss so genau als möglich zu erlangen, freudig begrüsst werden. Von diesem Standpunkt berichten wir über die oben erwähnten Arbeiten, die bezwecken, jene Bestimmungen sicherer, vollkommener und zum Theil leichter als seither erreichen zu lassen und bemüht sind, auf das, was bei diesen Ermittelungen besonders zu beachten ist, aufmerksam zu machen.

1. Im Eingang seiner Arbeit bespricht Prof. Laspeyres zunächst die jetzt im Gebrauch befindlichen Stauroskope, zumal das von Fuess nach Groth-Calderon hergestellte. Dieser Darstellung schliesst sich eine geschichtliche Entwickelung an, die bis auf unsere Tage reicht und vorzüglich die Darlegung dessen zum Gegenstande hat, was bei der Stauroskopuntersuchung allmählig verbessert worden ist. Wir kommen bezüglich der Einstellungsverfahren von dem an, was von der Verdunkelung des Gesichtsfeldes vermittelst gekreuzter Nicol Gebrauch macht, zu jenen, die die Kobell'sche Kalkspathplatte, Brezina'sche Doppelplatte, Bertrand'sche Doppelquarzplatte bis zu dem Calderon'schen Halbschattenapparat, der sog. Calderon'schen Doppelplatte, verwenden.

Ein dieser Einleitung sich anschliessender Abschnitt ist der Prüfung und Justirung des Stauroskops gewidmet.

Verfasser fasst die an ein gutes Instrument zu machenden Anforderungen wie folgt zusammen:

a. Limbus und Nonius dürfen keine merkbaren Theilungs- und Excentricitätsfehler haben.

b. Die optische Axe des Collimator- und des Beobachtungsrohrs müssen eine gerade Linie, normal zur Theilkreisebene, bilden.

c. Die Calderon'sche Platte und der Krystallträger müssen normal zur optischen Axe des Beobachtungsrohrs sich befinden.

d. Die Trennungsfuge der Calderon'schen Platte muss zusammenfallen mit der Normalebene durch den Mittelpunkt und Nullpunkt des feststehenden Limbus, resp. Nonius.

e. Die Innenkante der Stahlschiene des Objecttisches muss parallel oder normal zu derselben Normalebene sein.

f. Der Hauptschnitt des Polarisators muss parallel der Trennungsfuge der Calderon'schen Platte sein.

g. Die Hauptschnitte des Polarisators und Analysators müssen normal zu einander stehen.

Überblickt man diese Erfordernisse, so sind sie alle selbstverständlich, ebenso selbstverständlich ist es, dass das Instrument richtig ausgeführte Nicols und Calderon'sche Platte haben müsse. — Kein arbeitender Forscher wird, ohne ein Instrument zu prüfen, den Resultaten desselben Zutrauen schenken; so wird es auch hier der Fall sein. Bei der Prüfung aber werden die, welche in solchen Sachen weniger erfahren sind, der vom Verfasser gegebenen Winke sich mit Erfolg bedienen können. Am wenigsten zweckentsprechend erscheint dem Referenten die Prüfung des Erfordernisses b mit auf die Rohre aufzusetzenden centrisch durchbohrten Kappen zu sein.

Mit einem genau justirten Instrumente erforschte sodann Verfasser unter Zuhülfenahme der Formel, welche zur Correction von Stauroskopmessungen dient*, an einer Baryt- und an einer Calcitplatte den Grad der Genauigkeit, den Messungen der Neigungen von Hauptauslöschungsrichtungen gegen die krystallographischen Elemente erreichen können.

Es ergab sich, dass mit dem mit Calderon'scher Doppelplatte versehenen Instrumente am besten im weissen Licht operirt werden kann. Fast eben so gut waren die Resultate bei Anwendung von Natriumlicht; die anderen homogenen Lichtquellen lieferten für den Halbschattenapparat zu wenig intensive Beleuchtung. Dispersionsbestimmungen sind daher misslich.

Empfehlenswerth bleibt immer öfteres Wiederholen der Einstellung und Mittelnehmen aus den erhaltenen Werthen; ebenso ist ein Umlegen der Platten und Beobachtung auf Ober- und Unterseite erforderlich.

Die an den beiden genannten Platten angestellten Ermittelungen, wegen deren Detail wir auf die Abhandlung verweisen, lieferten für den rhombischen Baryt, sowie für den hexagonal-rhomboëdrischen Calcit den Beweis, dass die Hauptauslöschungsrichtungen des Lichts in Strenge die Lage haben, welche die Theorie für sie fordert und dass dies Verhalten

* Vergl. dies. Jahrb. 1881. II. p. 6.

mit sorgfältig justirten Instrumenten unter Anbringung der nöthigen Vorsichtsmassregeln vollkommen scharf nachweisbar ist. (Grösster Fehler im Mittel aller Beobachtungen kaum eine Minute.)

2. Von grosser Wichtigkeit für Stauroskop- und ähnliche Untersuchungen ist lichtstarke monochromatische Beleuchtung.

Verf. beschreibt zu diesem Zwecke eine etwas veränderte Bunsen'sche Lampe (die auch Referent seit 1869 in der Hauptsache in ähnlicher Art verwendet).

Das Gas tritt durch einen schlitzförmigen Breitbrenner, dessen Kappe man aus Platin fertigen lassen kann, aus, und man vermag vor die Flamme einen in der Höhe verstellbaren Schirm anzubringen, der die vom in die Flamme zu bringenden, glühenden Platin ausgehenden Strahlen abhält. Ein unter dem Schlitz an der Lampe angebrachter Teller ist dazu bestimmt, herabtröpfelnde Metallsalze aufzunehmen.

Die färbenden Salze: Chlornatrium, Lithium- und Thalliumsulfat werden bezüglich der ersteren in Hohlcylindern von Platindrahtgaze, bezüglich des letzteren vermittelst eines getränkten Asbestbündels in die heissesten Theile der Flamme gebracht. Die sie hereinführenden Vorrichtungen sind in gewissen Abständen von einander auf einer um die Lampe drehbaren Axe angebracht, so dass rascher Wechsel in der Beleuchtung stattfinden kann.

Schliesslich empfiehlt der Verf. noch Vorrichtungen zum Abhalten des störenden Seitenlichts und zum Abzug der schädlichen Dämpfe der Metallsalze.

3. Man sollte nach dem Vorgeführten nun erwarten, dass man in der Lage wäre, sehr sichere Messungen ohne Weiteres an dem zu untersuchenden Material vornehmen zu können. Leider zeigt es sich aber, dass häufig Resultate erhalten werden, welche mit der Theorie nicht in Einklang zu bringen sind, so dass diese Verhältnisse, die Verf. unter dem Namen der stauroskopischen Anomalien zusammenfasst und durch ausführliche Messungsdaten eingehend darlegt, noch näherer Studien bedürfen.

Genannte Anomalien geben sich kund, wenn man die Krystalllamellen durch stauroskopische Bestimmungen in allen vier Quadranten der Theilung prüft und die Resultate an der Oberseite der Platten für sich und ebenso die an der Unterseite für sich darstellt. Untersucht wurden Topas, Glimmer, Gyps. Von ersterem Mineral sind durch Figuren die Resultate besonders übersichtlich dargelegt. Während bei dem rhombischen Topas die Elasticitätsaxen für alle Farben mit den Krystallaxen coincidiren sollten, bildeten auf der Oberseite einer basischen Topasplatte die den krystallographischen Axen a und b entsprechenden Elasticitätsaxen Winkel von

89° 4,7′ Gelb — 90° 15,6′ Blau.
89° 59,8′ Weiss — 90° 20,5′ Roth.

Dagegen auf der Unterseite in demselben (jetzt bezüglich der ersteren Stellung verwendeten) Theile

90° 49,5′ Gelb — 89° 48,3′ Blau.
90° 0,1′ Weiss — 89° 33,8′ Roth.

Aus dem Angeführten folgt, dass die Abnormitäten für Weiss am geringsten sind, für die anderen Farben, obwohl vorhanden, doch durch Mittelnehmen der Resultate von Ober- und Unterseite sich nahezu aufheben.

Wie Topas verhält sich ähnlich ein untersuchter Kaliumglimmer vom Ural.

Beim Gyps wird angegeben, dass die in der Symmetrieebene liegenden Elasticitätsaxen sich bei Temperaturänderungen nicht so in ihrer Lage ändern, dass sie für jede Farbe untereinander noch rechte Winkel bilden.

Um den Grund der hier und bei vielen anderen Mineralien in ähnlicher Weise vorkommenden Abnormitäten aufzufinden, hat Verf. zunächst nochmals die Apparate eingehend geprüft und dieselben (bis auf die Nicol'schen Prismen und Calderon'schen Platten, die er noch besonders untersuchen will), in gehöriger Ordnung befunden und zwar so, dass normale Platten in genannten Apparaten auch normale Resultate gaben. Er glaubt auch, dass, da die zur Untersuchung gekommenen abnormen Platten bei der Prüfung im Mikroskop rein und einschlussfrei befunden worden waren, den Grund des abnormen Verhaltens nicht in der Substanz suchen zu müssen. Vielmehr scheint es ihm, als ob die Plattendicke und angewandte Lichtart besonderen Einfluss habe, und er ist demnach folgender Meinung:

„Jedes Stauroskop scheint danach mit einem specifischen optischen Fehler behaftet zu sein, der bei derselben Substanz für verschieden Plattendicken und Lichtarten verschieden ist und auch bei bestimmtem Verhältnisse zwischen Plattendicke und Wellenlänge gleich Null werden kann."

Jedenfalls lehren die Untersuchungen zunächst für die Praxis, dass es dringend nöthig ist, das Mittel aus den Beobachtungen an der Ober- und Unterseite der Platten zu nehmen. Nach seinen Erfahrungen möchte Referent hinzufügen, dass es ihm doch vorkommt, als ob in der Substanz selbst, etwa in deren gestörtem optischen Bau, mit ein Grund der Erscheinungen u. A. zu suchen sei. Mikroskopische Prüfung an dicken Platten, wie man sie meistens, wegen der Einstellung beim Stauroskop braucht, nützt nicht viel; dieselbe kann eigentlich nur am Dünnschliff Erfolg haben, und da wird man auch sicherer als beim dicken Schliff sein, eine einheitliche Schicht vor sich zu haben.

Dünnschliffe sind aber im oben geschilderten Stauroskop nicht untersuchbar, weil namentlich nicht genau einzustellen, und man ist dann auf das Mikroskop angewiesen, das man mit Calderon'scher Platte im Ocular oder mit Bertrand'scher Doppelquarzplatte versehen kann. — Die Feinheit der Einstellung ist hier geringer als beim eigentlichen Stauroskop, dafür hat man grössere Garantie für die Einheitlichkeit der Substanz.

4. Wie in diesem Jahrbuch schon erwähnt und im vorliegenden Referat zu Eingang erörtert, ist bei der Stauroskopuntersuchung eine Correctionsformel von Bedeutung, welche erlaubt, den Fehler des Ausweichens der Krystallkante von der Normalrichtung, zu der die von den Haupt-

auslöschungsrichtungen des Lichts gebildeten Winkel gemessen werden sollen, in Rechnung zu ziehen.

Prof. Liebisch gibt von dieser Formel eine ebenso einfache, wie elegante Herleitung, welche hauptsächlich eine sphärische Projection und die durch die Daten der Beobachtung in derselben gegebenen Punkte, sphärische Dreiecke bildend, benutzt. Wie gewöhnlich wird das Nächstliegende, eben weil es meist das Einfachste ist, zuletzt erkannt. Man kann sich dieser anschaulichen und überaus lehrhaften Ableitung nur erfreuen.

C. Klein.

Des-Cloizeaux: Note sur l'existence anomale de la dispersion tournante dans un cristal du système orthorhombique. (Bull. de la Soc. Min. de France. T. V. p. 58—60.)

E. Mallard: Observation. (Ibid. p. 70—71.)

Des-Cloizeaux: Nouvelles observations sur divers échantillons de Prehnite. (Ibid. p. 125—130.)

E. Mallard: Sur les anomalies optiques de la Prehnite. (Ibid. p. 195—213.)

Schon in seinem Handbuch der Mineralogie theilte Des-Cloizeaux Beobachtungen über ein ungewöhnliches optisches Verhalten von Spaltungsblättchen des Prehnit von Farmington in Connecticut mit, welche eine Theilung in drei optisch verschiedene Felder mit schwankendem Achsenwinkel zeigten. Mit Hülfe des zur Erzeugung von Interferenzbildern eingerichteten Mikroskops wurde das Verhalten von Krystallen des genannten und anderer Fundorte neuerdings eingehender untersucht.

Farmington (Des-Cl. und Mall.). Die Spaltungsblättchen werden seitlich durch $\infty\breve{P}\infty$ (010), ∞P (110), $\infty\bar{P}\infty$ (100) begrenzt und zerfallen in drei Felder (vergl. die nebenstehende Figur). Das $\infty\bar{P}\infty$ (100) anliegende schmale Mittelfeld zeigt in parallelem Licht verschiedenfarbige Streifen, die parallel der Querachse verlaufen; weniger deutliche kurze Streifen erscheinen zuweilen in der auf der genannten senkrechten Richtung. Das ganze Feld besitzt meist eine einheitliche Auslöschung parallel der Kante $oP/\infty\bar{P}\infty$ (001/100). In convergentem Licht zeigt es ein zweiachsiges Interferenzbild mit positiver Bissectrix bei kleinem, aber sehr schwankendem Achsenwinkel. In einer bestimmten Platte wurde z. B. gefunden: in der Nähe des äusseren Randes des schmalen Mittelfeldes äusserst kleiner Achsenwinkel, $\rho > v$, Achsenebene für Roth $\perp \infty\bar{P}\infty$ (100), für Blau // dieser Fläche. Mehr nach der Mitte des Feldes war der Achsenwinkel grösser ($2E_r = 17^0$ ca.), $\rho < v$, und die Ebene der optischen Axen lag für alle Farben // $\infty\bar{P}\infty$ (100). In der

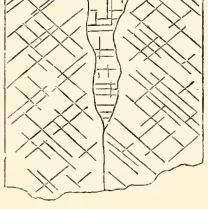

Fig. 1.

schmalsten inneren Spitze des Feldes zeigte sich die optische Axenebene wieder $\perp$ zu $\infty\bar{P}\infty$ (100) mit $\rho > v$.

Die beiden grösseren seitlichen Felder zeigen unter dem Mikroskope zwei Streifensysteme, die sich unter 82—83° schneiden und merklich parallel den Prismenflächen liegen. Diese Felder löschen in keiner Lage aus und jeder Punkt derselben ändert seine Farbe, wenn die Platten zwischen gekreuzten Nicols gedreht werden. Im convergenten Licht zeigt sich ein stets mehr oder weniger deformirtes zweiachsiges Interferenzbild, welches sich von Punkt zu Punkt der Platte ändert. Die Lage der Achsenebene ist nicht senkrecht zur Querfläche, sondern weicht von ihr nach rechts in dem rechten Felde, nach links in dem linken Felde ab, und zwar im Allgemeinen um so mehr, je weiter der untersuchte Punkt von der inneren Grenze der beiden Seitenfelder abliegt. Das Auffallendste ist aber das Auftreten deutlicher gekreuzter Dispersion; die Lage der Achsenebene ist in einem und demselben Punkte für verschiedene Farben verschieden. Mallard mass an einer Stelle z. B. den Winkel der optischen Achsenebene mit der Brachydiagonale = 48° für rothes, = 58° für blaues Licht. Auch die Grösse des Achsenwinkels ist sehr variabel; sie nimmt im Allgemeinen ab mit der Annäherung der Achsenebene an die Lage des Brachypinakoids. Von Platte zu Platte wechselnd, ergab sich bald $\rho > v$, bald $\rho < v$.

Arendal (Mallard). Spaltungsplatten aus grünen Krystallen dieses Fundorts zeigten den oben mitgetheilten ganz ähnliche Erscheinungen. Die beiden seitlichen Felder verdrängen fast ganz das keilförmige Mittelfeld und zeigen ebenfalls gekreuzte Dispersion, die um so stärker ist, je mehr sich die Achsenebene aus der Lage der Längsfläche entfernt.

Kilpatrik, Schottland (Des-Cl.). Kleine grünliche, nach der Brachydiagonale verlängerte Krystalle waren homogen und zeigten die den rhombischen Krystallen in normalem Zustande zukommenden optischen Eigenschaften.

Oisans (Des-Cl.). Durch beigemengten Chlorit fast undurchsichtig. In sehr dünnen Platten konnten ebenfalls die normalen Erscheinungen constatirt werden. Grosser Achsenwinkel. Dispersion unmerklich.

Fassa (Des-Cl.). In parallelem Licht zeigt sich ein homogenes Mittelfeld und zwei breite Seitenfelder mit je zwei Streifensystemen parallel den Prismaflächen. Die Ebene der optischen Achsen ist in den Seitenfeldern nur um 2—3° gegen die Achsenebene des Mittelfeldes gedreht. Der ziemlich grosse Winkel der optischen Achsen ist an allen Punkten einer Platte derselbe. Dispersion war nicht zu bemerken.

Ratschinges, Tyrol (Des-Cl.). Homogene Platten mit normalen optischen Eigenschaften. Kleine weissliche Krystalle lieferten ein gut spiegelndes Prisma zur Bestimmung des mittleren Brechungsexponenten: $\beta = 1{,}626$ für Na-Licht.

Pyrenäen und Chamonix. Die Spaltungsblättchen zerfallen häufig in parallelem Licht in 2 oder 4 Sectoren, deren etwas unregelmässige

Grenzen ungefähr in die Diagonalen der Basis fallen. Die Lage der optischen Achsenebene ist theils parallel der Längsfläche, theils bildet sie einen Winkel von 2—5° damit. Der Achsenwinkel ist stets ein grosser: $2H_r = 72—74°$. Keine merkliche Dispersion.

Barèges (Des-Cl.). Die homogenen Platten zeigten die Ebene der optischen Axen parallel dem Brachypinakoid, aber nicht wie gewöhnlich die erste, sondern die zweite Mittellinie ergab sich senkrecht zur Plattenebene, so dass der 156° überschreitende Achsenwinkel selbst in Öl nicht gemessen werden konnte.

Cap der guten Hoffnung (Des-Cl.). Eine Platte zeigte die Feldertheilung, wie sie am Prehnit von Farmington oben beschrieben worden ist, doch war das schmale Mittelfeld homogen und optisch normal. Die parallel dem Prisma gestreiften beiden Seitenfelder hatten einen sehr grossen Winkel der optischen Achsen, ohne merkliche Dispersion. Die optische Achsenebene wich nur um 3—4° von der Längsfläche ab. Ausser diesen drei Feldern traten aber an den beiden Rändern der Platte, die von Prismaflächen gebildet werden, ziemlich breite Streifen von verworrener Structur mit sehr kleinem Achsenwinkel auf. Überdies zeigte sich die Lage der optischen Axenebene hier raschem Wechsel unterworfen (14 bis 54° mit dem Brachypinakoid bildend) und es war deutliche und starke gekreuzte Dispersion wahrnehmbar.

Ein dünnes Spaltungsblättchen von einer andern Stufe zeigte das durch beistehende Figur wiedergegebene Bild. Der Haupttheil der Platte besteht aus einem rechtwinkligen Gitterwerk von schmalen Bändern parallel den Diagonalen der Basis und bietet einen Anblick, der an Mikroklin erinnert.

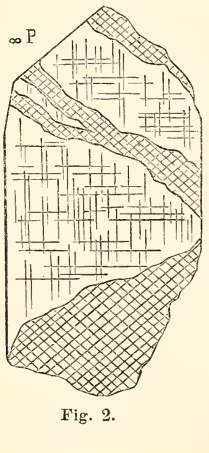

Fig. 2.

Dieser Theil der Platte wird von Adern unregelmässig durchzogen, welche eine feine Doppelstreifung parallel den Prismaflächen erkennen lassen. In der Mitte des erstgenannten Theiles der Platte wurde gefunden $2E_r = 66$ bis 70° mit starker Dispersion $\rho > v$. Nach den Rändern zu fiel der Achsenwinkel, für Blau fast auf Null. In den schräg gestreiften Adern war die Interferenzfigur mehr oder weniger gestört, der Achsenwinkel höchst schwankend ($2E_r = 22—62°$), die Lage der Achsenebene sehr verschieden und starke gekreuzte Dispersion bemerkbar.

Aus der Gesammtheit der Erscheinungen zieht Des-Cloizeaux den Schluss, dass der Prehnit dennoch dem rhombischen Krystallsystem angehöre und dass die optischen Anomalien desselben auf einen complicirten Aufbau aus unendlich dünnen, nach verschiedenen Richtungen orientirten Lamellen zurückzuführen sei.

Mallard leitet in der letzten der oben genannten Arbeiten aus seinen bekannten theoretischen Voraussetzungen die Art dieses Aufbaues her. Danach würden die optisch anomalen Stellen der Prehnitkrystalle aufgebaut zu denken sein aus Lamellen parallel der Basis in 4 Lagen. Ausser der normalen Lage ist ein um 60° nach links, ein anderes um ebensoviel nach rechts um die Hauptachse gedrehtes vorhanden, und diese Schichten werden von einem vierten System senkrecht durchschnitten, welches um die Querachse um 90° gedreht ist. Die Möglichkeit dieser vierfachen Gruppirung innerhalb eines geometrischen Individuums wird zurückgeführt auf eine pseudohexagonale Symmetrie des Prehnits (ein Prisma $\infty\breve{P}2$ (120) mit einem Winkel von 118° 29′ nähert sich dem hexagonalen Prismenwinkel) und auf die Annäherung in der Länge der Achsen a und c. Bezüglich der Einzelnheiten der theoretischen Darlegungen Mallard's muss auf die Originalarbeit verwiesen werden. **F. Klocke.**

A. Michel-Lévy: Sur les noyaux à polychroïsme intense du mica noir. (Compt. rend. 1882. XCIV. No. 17. 1196—1198.)

Oberhalb des Weilers Lativelet zwischen Mesvre und Autun setzen im Granit der Berge von Mont-Yeu Gänge und Trümmer auf, welche wesentlich aus schwarzem Glimmer mit sehr kleinem Axenwinkel gebildet werden, dem accessorisch weisse Glimmerblättchen und Granat beigemengt sind, während der Apatit stellenweise bis zu 40% der Gangmasse ausmacht. Der Glimmer enthält mikroskopische Zirkonkryställchen und Eisenglanztäfelchen. Um die Zirkone findet man im Glimmer sehr stark pleochroitische Höfe, wie das bei den Glimmern der granitischen Gesteine so häufig der Fall ist. Diese Höfe sind nur local mit dem Zirkon verbunden; die Absorptionsmaxima derselben sind durch die optische Orientirung des Wirths bedingt. Die Höfe verschwinden nicht durch Glühen, wie im Cordierit und Andalusit, und auch kochende HCl zerstört diese Höfe erst dann, wenn der Glimmer selbst angegriffen wird. Verf. nimmt daher an, dass diese Höfe hier durch eine Concentration oder Modification des den Glimmer selbst pigmentirenden Eisengehalts bedingt seien. Der Zirkon wurde isolirt und nach sp. G. = 4.66 und mikrochemischen Reactionen bestimmt. **H. Rosenbusch.**

W. G. Hankel: Elektrische Untersuchungen. XVI. Abhandlung. Über die thermoëlektrischen Eigenschaften des Helvins, Mellits, Pyromorphits, Mimetesits, Phenakits, Pennins, Dioptases, Strontianits, Witherits, Cerussits, Euklases und Titanits. (Abh. der kgl. sächs. Gesellsch. der Wissensch. math.-phys. Klasse. Bd. XII. 1882. pag. 552—595, mit 3 Tafeln.)

Helvin. Die von zwei Tetraëdern begrenzten Krystalle desselben stellen nach des Verf. Ansicht hemimorphe Gestalten vor. An dem von Schwarzenberg sind die grossen Tetraderflächen glänzend, die kleinen matt. Elektrische Spannungen (hier und sonst, wo nicht besonders das

Gegentheil bemerkt ist, bei der Erkaltung gemessen) sind hier schwach; drei grosse Flächen sind in der Mitte +, auf der vierten, mit welcher der Krystall aufsass, ist keine Elektrizität zu beobachten. Auf den kleinen Flächen und an allen Kanten ist — Elektrizität.

Mellit ist trotz des hohen Wassergehalts ein Nichtleiter. Ein Krystall zeigte nach dem Erhitzen auf 70° an der Hauptaxe und in deren Umgebung +, an den Seitenkanten und deren Umgebung — Elektrizität. Ein anderer kleiner Krystall zeigte gar keine Spannung.

Pyromorphit. Alle untersuchten Krystalle sind von Zschopau und haben die Flächen: ∞P $(10\bar{1}0)$; oP (0001); P $(10\bar{1}1)$; $\infty P2$ $(11\bar{2}0)$. Auf oP ist + Spannung, aber am einen Ende etwas stärker, als am andern; die Prismenflächen sind —, am stärksten in der Mitte, also ganz wie beim Apatit.

Mimetesit. Die Endflächen an Krystallen von Johanngeorgenstadt sind +, die Prismen und die Pyramiden —, ausgenommen solche, mit welchen die Krystalle aufgewachsen sind, diese zeigen + Spannung und gleichen darin dem Beryll. Übrigens haben die Anwachsstellen auch sonst grossen Einfluss auf die Vertheilung der Elektrizität. Hemimorph ist der Mimetesit nicht, die so beschriebenen Krystalle von Almodovar del Campo (Prov. Murcia) in Spanien sind es nur scheinbar.

Phenakit. Ein Krystall von Framont, zweifelhaft ob ein Zwilling, zeigt an beiden Enden der Hauptaxe und den sie umgebenden Pyramidenflächen schwache +, auf den Prismenflächen schwache — Spannung. Ein Krystallbruchstück vom Ural mit einer grossen Bruchfläche zeigt an beiden Enden der Hauptaxe stärkere + Elektrizität, doch ist in Folge von Bildungshemmnissen die Vertheilung derselben sehr gestört. Die grosse Bruchfläche ist ebenfalls +, die andern Stellen —. Zwei Krystalle aus den Smaragdgruben bei Katharinenburg ergaben nicht mit Sicherheit die Lage der Pole.

Pennin. Der Pennin ist trotz des Wassergehalts ein Isolator und giebt theils sehr starke, und bei andern Krystallen desselben Fundorts auch z. Th. sehr schwache Spannungen. Die Krystalle haben meist an einem Ende eine natürliche Basis, welche stets + Elektrizität zeigt, die sich auch noch eine Strecke weit über die sonst — elektrischen Rhomboëderflächen herunter zieht; selten ist einmal eine Rhomboëderfläche bis zum entgegengesetzten Ende, dann aber in der Stärke abnehmend +. Das andere Ende ist stets ein Blätterbruch und diese sind theils +, theils —, je nachdem sie der Basis des einen Endes näher oder ferner liegen, so dass die positive Spannung nach unten hin immer mehr abnimmt und zuletzt in eine — Spannung übergeht. Selten ist der Blätterbruch am untern Ende sehr stark +, und greift diese + Elektrizität noch sehr stark auf die Rhomboëderflächen über. Ebenso selten ist es, dass über die Rhomboëderfläche nach der Mitte hin eine schmale + Zone sich hinzieht.

Dioptas. Die zwei Enden der Hauptaxe sind —, die Prismenflächen +, zuweilen mit Ausnahme einer oder der andern Fläche, besonders solcher, welche in ihrer Bildung gehemmt sind. Zuweilen zieht sich die

— Elektrizität der Rhomboëderflächen noch eine Strecke weit über die sonst + Prismenflächen herunter. Zuweilen kommen Unregelmässigkeiten in der Vertheilung der Elektrizität vor, welche nicht näher erklärt werden können. Abgebrochene Enden sind stets +, regelmässig ausgebildete —.

Strontianit. Untersucht wurden drei Krystallbruchstücke von Drensteinfurt. Es sind an den zwei Enden der Brachydiagonale +, an denen der Makrodiagonale — Pole. Die frei ausgebildeten Enden der Verticalaxen sind +, ebenso meist auch das abgebrochene Ende. Die Verhältnisse sind also ganz ähnlich wie beim isomorphen Aragonit, man kann aber nicht allgemein schliessen, dass bei gleich gebildeten Krystallen aller isomorphen Substanzen die pyroëlektrische Vertheilung dieselbe sein muss.

Witherit. Die bekannten, scheinbar hexagonalen Krystalle. Die zwei Enden der Vertikalaxe sind +, die Mittelkanten und ihre Umgebungen —. Bruchflächen an sonst — Stellen sind +. Diese Verbreitung der elektrischen Spannungen steht mit der üblichen Annahme einer Sechslingsbildung für jene Krystalle im Widerspruch, wonach zwar auch die Enden der Vertikalaxe +, aber auch die Seitenecken + und die Seitenkanten — (jedesmal mit den umgebenden Flächenstücken gedacht) sein müssten. Der Verf. denkt sich daher den Witherit aus 7 Individuen verwachsen. „Nehmen wir z. B. ein Prisma mit dem Winkel von 118° 30′ am Ende der Brachydiagonale, also mit dem spitzen Winkel von 61° 30′ an den Enden der Makrodiagonale und lassen um den Scheitel dieses Winkels als Mittelpunkt sich jederseits drei eben solche Individuen mit ihrem spitzen Winkel anlegen, so entsteht, wenn wir die äussere Hälfte jedes Individuums mittelst einer durch die Brachydiagonale gelegten Ebene abschneiden, eine Art Sechseck, auf dessen einer Seite sich jedoch ein einspringender Winkel von 189° befinden müsste."

Cerussit (Weissbleierz). Nur die Krystalle von Wolfach in Baden zeigen Spannungserscheinungen und zwar ziemlich starke. Ein Krystall ist wie beim Witherit an beiden Enden der Verticalaxe +, an den Seitenkanten und den anstossenden Theilen der Pyramidenflächen —. Auf mehreren Eckpunkten der Basis und der Endkanten ist +, auf andern Eckpunkten der Basis tritt schwache —, oder gar keine Elektrizität auf, was mit einer ähnlichen Zwillingsverwachsung zusammenhängt, wie sich beim Witherit der Verf. dieselbe denkt.

Euklas. Einige stark zerbrochene Krystalle von Brasilien, aus deren Verhalten sich das eines normal gebildeten Krystalls schliessen lässt. Die Enden der Vertikalaxe und der Klinodiagonale sind +, die der Orthodiagonale —. Diese normale Vertheilung wird durch den Bruch zuweilen gestört.

Titanit (Sphen). Ist nicht, wie Haüy vermuthete, hemimorph. Der Verf. hat dieses Mineral schon 1840 untersucht, jetzt aber eine sehr grosse Anzahl von Krystallen (58) der Prüfung unterworfen, welche meist fast vollständig erhalten waren. Einfache, ringsum ausgebildete Krystalle (die Aufstellung von Naumann vorausgesetzt) zeigen eine solche Vertheilung der

Elektrizität, dass die Enden der Vertikalaxe und der Orthodiagonale +, die der Klinodiagonale — sind. Die Enden der Orthodiagonale erscheinen bei den „flach tafelförmigen Krystallen von rhombischer Gestalt“ (vergl. Naumann-Zirkel, 11. Aufl., pg. 691, fig. 1, Flächen l, p, x, y) nur schwach +; entsteht aber durch das Auftreten von s = 4P4 (141) eine lange Kante am Ende der Orthodiagonale (l. c. fig. 9 u. 10), so ist eine starke + Spannung vorhanden. Die Vertheilung der Elektrizität auf den Flächen ist bei verschiedenen Krystallen etwas verschieden. Die Flächen p und zum Theil x sind —, die anderen in der Hauptsache +; die genannten Flächen s sind stets sehr stark +, doch sind die von s im klinodiagonalen Hauptschnitt gebildeten Kanten —. An dieser Vertheilung wird auch bei Zwillingsbildungen im Allgemeinen nichts geändert, doch treten auch zuweilen Störungen ein, deren Detail bei den im Text ausführlichst gegebenen Beschreibungen der einzelnen Krystalle nachzusehen ist, wo der Titanit allein einen Umfang einnimmt, der den für die andern vorher genannten Mineralien bestimmten beinahe erreicht. Die erwähnten Verhältnisse zeigen sich bei Erwärmung bis zu 100°. Ueber 100° treten zuweilen Umkehrungen ein, wie beim Boracit. Ein Krystall, bis 210° erhitzt, gab unmittelbar nach dem Aufhören der Erwärmung an den Kanten p/x positive und auf den Flächen y negative Elektrizität, entgegengesetzte Spannungen konnten an diesen Stellen nicht beobachtet werden; dagegen zeigen die Krystalle, an welchen die Flächen s vorkommen, eine solche Umkehrung an beiden Enden der Orthodiagonale von — durch Null zu + sehr deutlich und zwar tritt diese Umkehrung ungefähr bei 112° ein. Auch hier treten bei Zwillingen zuweilen Anomalien auf. **Max Bauer.**

Arnaldo Corsi: Due esemplari di Tormalino e Berillo dell' isola d'Elba. (Revista scientifico-industriale. Jahrg. XIV. pag. 18—22, vom 15. Febr. 1882. Mit 2 Tafeln.)

Diese beiden besonders schönen Stücke stammen aus den Gruben von Grotta d'Oggi bei S. Piero in Campo. Das erste ist ein granitisches Gangstück, 0,30 m lang und 0,18 m breit, über und über mit Krystallen von Turmalin, Beryll, Zirkon, Orthoklas, Albit und Quarz bedeckt. Hierunter ist das wichtigste der Turmalin, der in 50 grossen (bis 62 mm lang und 12 mm dick) und schön ausgebildeten Krystallen vorhanden ist, welche unten dunkel bouteillengrün, oben nach scharfer Grenze lichtölgrün und durchsichtig sind. Sie sind oben von 2 Rhomboëdern begrenzt: $-\frac{1}{2}R\,(01\bar{1}2)$ und $\frac{1}{4}R\,(10\bar{1}4)$. Von Beryllen ist ein leicht rosa gefärbter und ein wasserheller Krystall vorhanden. Der einzige Zirkon ist erbsengrün. Das zweite Stück ist noch etwas grösser und von einem wahren Wald von Turmalinen mit Beryllen, Zirkonen, Albiten, Orthoklasen und Quarzen bedeckt. Die Turmaline sind ebenfalls sehr gross, bis 28 mm lang und 10 mm dick, gefärbt und krystallisirt wie oben, ebenso die Berylle, z. Th. mit vielen Flächen. Die Zirkone bilden kleine grüne glänzende Krystalle auf Albit und Turmalin.

Die Mineralien, welche bis jetzt in den Gängen von Grotta d'Oggi

gefunden wurden, sind: Quarz, Biotit, Lepidolith, Orthoklas, Albit, Oligoklas, Turmalin, Beryll, Rosterit, Granat, Pollux, Zinnstein, Zirkon, Mikrolith. **Max Bauer.**

A. Purgold: Über einige Kalkspathkrystalle. (Abhandlungen der naturw. Gesellschaft Isis. 1881. pag. 59—61. 2 Holzschnitte.)

I. Drei Kalkspathe von Island.

1) Das Exemplar von Hessenberg (cfr. Mineralog. Notizen, Heft 7 u. 8).

2) Ein Spaltungsstück mit dem Rhomboëder $-\frac{1}{4}R$ $(01\bar{1}4)$ an der Endecke, welche mit feinen Zickzacklinien bedeckt ist, und mit dem Rhomboëder $\frac{2}{5}R$ $(20\bar{2}5)$ und mit einem nicht näher bestimmbaren Skalenoëder.

3) Eine Endkante des Spaltungsrhomboëders ist durch eine Fläche $-\frac{1}{2}R$ $(01\bar{1}2)$ abgestumpft, welche aber eine Gleitfläche ist; das Stück enthält die von G. Rose beschriebenen Kanäle. An einer Ecke ist muschliger Bruch zu sehen.

II. Kalkspath von der Knappenwand.

Kalkspath ist der jüngste der Begleiter des dortigen Epidot. Es kommen Haupt- und nächst stumpferes Rhomboëder vor, die Flächen des letzteren durch Auflagerung von Schalen auf die Hauptrhomboëderflächen gebildet, welche zuweilen ihrerseits wieder von kleinen Rhomboëderchen zusammengesetzt werden. Dieser Aufbau liefert auch linsen- und sattelförmige, ja mit Zwillingsbildung zusammen eigenthümliche stab-, birnen- und keulenförmige Gestalten. **Max Bauer.**

W. J. Lewis: Krystallographische Notizen. (Zeitschr. für Krystallographie etc. Bd. VII. 1882. pag. 181—186 mit 5 Holzschnitten aus: Phil. Mag. V. ser. Nro. 86. Aug. 1882. Crystallographic Notes pag. 119—123 mit 1 Tafel.)

1. Pseudobrookit. Auf einer Apatitstufe von Jumilla (Murcia, Spanien) sassen kleine schwarze Kryställchen, die sich als Pseudobrookit erwiesen. Es waren rhombische säulenförmige Kryställchen: $m = \infty P$ (110); $a = \infty P\bar{\infty}$ (100); $e = \frac{1}{3}P\bar{\infty}$ (103). Die Winkel stimmten gut mit den von Koch gemessenen: $a/m = 154^0\ 11'—14\frac{1}{2}'$; $a/e = 110^0\ 58'$; $e/e' = 138^0\ 3'$; $m/e = 108^0\ 52\frac{1}{2}'$; $m/e, = 71^0\ 18'$ und daraus: $a : b : c = 1 : 2{,}067 : 1{,}150$; Eisen und Titan wurden qualitativ nachgewiesen.

2. Ludlamit. Auf den Seitenflächen einer Höhlung einer grünlichgrauen Masse von Stösgen bei Linz am Rhein sitzen kleine blassgrüne durchsichtige Kryställchen mit der für den Ludlamit charakteristischen dreiflächigkeilförmigen Gestalt der freien Endigungen der Ludlamitkrystalle. Messungen sind nicht möglich, in einer Richtung geht ein deutlicher Blätterbruch.

3. Idokras. (Vesuvian ist die ältere Werner'sche Benennung und daher dem von Haüy ganz überflüssiger Weise eingeführten und in höchst gezwungener Weise gebildeten Namen Idokras vorzuziehen. Der Ref.) Ein Krystall von Zermatt zeigte kleine Flächen in der Nähe der Basis von der Form $\frac{1}{7}P$ (117). Es fand sich: $001 : 117 = 173^0\ 49\frac{1}{5}'$ und $117 : 1\bar{1}7 = 171^0\ 17\frac{1}{2}'$.

4. Zoisit. Hellgrüne Zoisitkryställchen waren in Kalkspath eingewachsen. Sie hatten 4 rauhe und gestreifte Pyramidenflächen ω, welche nur ungenaue Messungen gestatteten. Es ist aber genügende Übereinstimmung mit anderen, besonders den Brögger'schen Messungen am Zoisit vorhanden und es greift die Vermuthung Platz, dass die in die Handbücher übergegangene Angabe von Brooke: $\measuredangle$ ω/k = 123° 30′ auf Irrthum beruht; es ist dies wahrscheinlich $\measuredangle$ ω/s. Beobachtete Formen nach der Bezeichnung von Brooke: a (?); k; ω. Einige gemessene Winkel sind: b/s = 121° 50½′; s/k = 165° 24′; s/s, = 116° 25′; b/ω = 106° 49½′; s/ω = 123° 7½′; ωω„ = 113° 46′; a/ω = 117° 6′; ω/ω$_3$ = 124° 55′.

5. Quarz. Zwei Krystalle zeigten das Rhomboëder $\psi = 50 . \bar{1}9 . \bar{1}9 = (23 . 0 . \bar{2}3 . 4)$ $\frac{2}{4}\frac{3}{}$R*. Am ersten, grösseren, linken waren die Formen: b = $2\bar{1}\bar{1} = \infty$R (10$\bar{1}$0); r = 100 = R (10$\bar{1}$1); z = 22$\bar{1}$ = —R (01$\bar{1}$1); $\psi = 50 . \bar{1}9 . \bar{1}9 = \frac{2}{4}\frac{3}{}$R (23 . 0 . $\bar{2}\bar{3}$. 4)*, φ = 8 . $\bar{1}\bar{3}$. 8 = (7$\bar{7}$01) —7R; s = a (4$\bar{2}$1) = $\frac{2P2}{4}$ l (2$\bar{1}\bar{1}$1); x = 4$\bar{2}$1 = $\frac{6P\frac{6}{5}}{4}$ l (6$\bar{1}\bar{5}$1); $\mu = 6 . 17 . \bar{1}2 = -\frac{\frac{2}{11}P\frac{2}{1}\frac{9}{8}}{4}$ r ($\bar{1}\bar{1}$. 29 . $\bar{1}\bar{8}$. 11) oder 5 . 14 . $\bar{1}0$ = — $\frac{\frac{8}{3}P\frac{8}{5}}{4}$ r ($\bar{3}\bar{8}\bar{5}3$) = π Des-Cl.; λ = N$_1$ Des-Cl. = 3 . 10 . $\bar{6}$ = — $\frac{\frac{1}{7}\frac{6}{}P\frac{1}{9}\frac{6}{}}{4}$ r — (7 . 16 . $\bar{9}$. 7). An dem zweiten kleineren Krystall war ψ weniger gut entwickelt, daneben von den genannten Flächen: b, r, z, s, x; ferner: r = 16 . $\bar{5}$. $\bar{8}$ = $\frac{8P\frac{8}{7}}{4}$ r ($\bar{7}\bar{8}$11) und eine undeutliche Fläche in der Nähe von φ.

Ein Krystall des britischen Museums zeigte die Formen: b, r, z, s, x, $\rho = 32\bar{4} = -\frac{7P\frac{7}{6}}{4}$ l (16$\bar{7}$1)*; $\tau = 53\bar{6} = -\frac{\frac{11}{2}P\frac{11}{9}}{4}$ l (2.9.$\bar{1}\bar{1}$.2); s, = 72$\bar{4}$ = $-\frac{\frac{11}{6}P\frac{11}{5}}{4}$ l (5 . 6 . $\bar{1}\bar{1}$. 5); $\chi = \bar{1}5 . 8 . 8 = -$ 23R ($\bar{2}\bar{3}$. 0 . 23 . 1)*.

Die Formen ψ, ρ, τ, s, scheinen neu zu sein, s, ist aber etwas zweifelhaft.

Ist b die unter der Hauptrhomboëderfläche r gelegene Prismenfläche, b″ die rechts und b′ die links von b gelegene Fläche desselben Prisma's und liegt r″ und z″ an b″, r′ und z′ über b′, so liegt ψ in der Zone [x b″] und ρ und τ in der Zone [b″ s]. Die gemessenen Winkel sind die folgenden: r/ψ = 149° 36½′ gr. Kryst. u. 149° 39½′ kl. Kryst.; z/x = 143° 59′; r′/s = 151° 7′; r′/λ = 146° 3′; r′/μ = 142° 8′; (beide nicht gut) b″/ρ = 169° 44′; b″/s′ = 145° cca.; b/φ = 127° 17′; b/τ (53$\bar{6}$) = 129° 31′; b/s, = 140° 49½′; z/τ = 149° 31½′; z/s′ = 152° 0′; (s, = 72$\bar{4}$ hier und beim Winkel b/s,).

Max Bauer.

G. Seligmann: Mineralogische Notizen II. M. 1 Tafel. (Zeitschrift f. Kryst. u. Min. VI. 3. 1882.)

---

* Die Gestalten $\psi = 50 . 1\bar{9} . \bar{1}9$; $\rho = 3 . 2 . \bar{4}$; $\chi = \bar{1}\bar{5} . 8 . 8$, deren Zeichen in der Zeitschr. f. Kryst. lauten: 23R (23 . 0 . $\bar{2}\bar{3}$. 1); $-\frac{8P\frac{8}{7}}{4}$ l (1 . 7 . $\bar{8}$. 1) und — $\frac{2}{3}\frac{3}{}$R ($\bar{2}\bar{3}$. 0 . 23 . 3), sind wie obenstehend zu schreiben. D. Ref.

Turmalin.

Durch das Krantz'sche Mineraliencomptoir erhielt Verf. hellbraune, graulichweisse und ganz durchsichtige Krystalle von Dekalb, St. Lawrence Co., New-York, einem Fundort, von welchem Rammelsberg schon früher schwarze Krystalle analysirt hatte.

Die hellbraunen Krystalle sind von einfachen Combinationsverhältnissen, die graulichweissen erinnern durch Vorwalten von R5 (32$\bar{5}$1) an die bekannten von Gouverneur, die hellen stellen die interessantesten, in der Abhandlung näher beschriebenen, dar. Sie sind rundum ausgebildet, in Kalkspath eingewachsen und es kommen blaugrüner Apatit, Skapolith und hellgraue Hornblende mit ihnen vor.

Ausser der Schilderung dieser Krystalle und, wie später erwähnt werden wird, solcher von Brasilien, bemüht sich dann Verf., die vorhandenen Angaben über die am Turmalin vorkommenden Formen kritisch zu prüfen und zu verbessern. Die Zusammenstellung sämmtlicher am Turmalin bekannten Gestalten liefert nach der zu Gebote stehenden Literatur* die nachfolgende Reihe:

oR (0001),	$\frac{1}{4}$R (10$\bar{1}$4),	$\frac{1}{2}$R (10$\bar{1}$2),	R (10$\bar{1}$1),	
$\frac{7}{4}$R (70$\bar{7}$4),	$\frac{3}{2}$R (50$\bar{5}$2),	4R (40$\bar{4}$1),	10R (10.0.$\bar{1}$0.1	
$-\frac{1}{2}$R (01$\bar{1}$2),	−R (01$\bar{1}$1),	$-\frac{3}{4}$R (05$\bar{3}$4),	−2R (02$\bar{2}$1),	
$-\frac{3}{2}$R (05$\bar{5}$2),	$-\frac{7}{2}$R (07$\bar{7}$2),	$\frac{5}{4}$R (0.15.$\bar{1}$5.4)	$-\frac{9}{2}$R (09$\bar{9}$2),	
−5R (05$\bar{5}$1),	−10R (0.10.$\bar{1}$0.1)	−11R (0.11.$\bar{1}$1.1),	R2 (31$\bar{4}$2),	
R3 (21$\bar{3}$1),	R5 (32$\bar{5}$1),	$-\frac{1}{2}$R3 (12$\bar{3}$2),	$-\frac{1}{2}$R5 (23$\bar{5}$2),	
$-\frac{1}{2}$R9 (45$\bar{9}$2),	$-\frac{3}{4}$R$\frac{9}{3}$ (27$\bar{9}$4),	-2R$\frac{6}{5}$ (1.11.$\bar{1}$2.5),	-2R$\frac{4}{3}$ (17$\bar{8}$3),	
-2R2 (13$\bar{4}$1),	-2R3 (24$\bar{6}$1),	∞R (10$\bar{1}$0),	∞P2 (11$\bar{2}$0),	
∞P$\frac{3}{4}$ (41$\bar{5}$0),	∞P$\frac{7}{5}$ (51$\bar{7}$0).			

Hinzutreten würden hier noch Dana's $\frac{6}{5}$R3**, dessen Vorzeichen nicht ermittelt werden kann.

---

* Wie auch dem Verf. nachträglich bekannt geworden (briefl. Mittheilung a. d. Referenten), hat schon im Jahre 1871 Jeroféjew in den Verhandl. der Kais. Russ. Min. Gesellschaft, 2. Serie, B. 6, eine Abhandlung über Turmalin in russischer Sprache geliefert, aus der nunmehr nachfolgende Formen, der Raumersparniss wegen nur mit Naumann'schen Zeichen, angeführt werden sollen: oR, $+\frac{1}{2}$R, $+\frac{1}{4}$R, $+\frac{3}{4}$R, +R, $+\frac{7}{4}$R, $+\frac{3}{2}$R, +4R, $-\frac{1}{2}$R, $-\frac{3}{2}$R, −2R, $-\frac{7}{2}$R, $-\frac{9}{2}$R, −5R, −11R, +R2, +R3, +R5, $-\frac{1}{2}$R3, -2R$\frac{6}{5}$, -2R$\frac{4}{3}$, -2R2, $-\frac{1}{2}$R5, $-\frac{5}{7}$R2, P2, $-\frac{3}{2}$R3, $-\frac{6}{5}$R3, ∞R, ∞P2, ∞P$\frac{3}{4}$, ∞P$\frac{7}{5}$, ∞P$\frac{3}{2}$, ∞P$\frac{4}{5}$, ∞P$\frac{8}{7}$, ∞P$\frac{11}{10}$, ∞P$\frac{14}{13}$, ferner drei Formen, deren Zeichen Jeroféjew als Rhomboëder der dritten Art wie folgt gibt: $+\frac{r}{l}\frac{\frac{4}{3}P8}{4}$, $+\frac{r}{l}\frac{\frac{6}{5}P\frac{9}{2}}{4}$, $-\frac{r}{l}\frac{\frac{12}{7}P6}{2}$, die aber, von der Art ihres Auftretens ganz abgesehen, in der üblichen Naumann'schen Schreibweise (Zeichen mPn mit $n > 1 < 2$ jedenfalls $\frac{4}{3}$P$\frac{8}{7}$, $\frac{6}{5}$P$\frac{9}{7}$, $\frac{12}{7}$P$\frac{6}{5}$ heissen müssten. — Gegenüber der Tabelle des H. Seligmann ist die vorliegende um die von Marignac 1848 angegebenen Formen: $+\frac{3}{4}$R, $-\frac{3}{4}$R, P2 und $-\frac{3}{2}$R3 vermehrt; es treten ferner die von Jeroféjew beobachteten Gestalten: $+\frac{1}{2}\frac{1}{2}$R, $-\frac{9}{2}$R, ∞P$\frac{3}{2}$, ∞P$\frac{13}{5}$, ∞P$\frac{5}{7}$, ∞P$\frac{11}{10}$, ∞P$\frac{14}{3}$, sowie die oben erwähnten drei, nach Ver-

Bei Aufstellung dieser Tabelle ist von dem gewöhnlich als Grundform gewählten Rhomboëder ausgegangen worden, dessen Polkantenwinkel an Krystallen von Dekalb sich aus der Messung des Polkantenwinkels von $-2R\ (02\bar{2}1) = 102^0\ 39'$, zu $132^0\ 46'$ berechnet. Axenverhältniss $a : c = 1 : 0{,}4513005$,

Ein Vergleich dieser Tabelle mit der in der Anmerkung von Jeroféjew aufgeführten lehrt, dass bei Seligmann die Gestalten:

$\frac{1}{2}R$, 10R, —R, $-\frac{5}{4}R$, $-\frac{5}{2}R$, $-\frac{15}{4}R$, —10R, $-\frac{1}{2}R9$, $-\frac{3}{4}R\frac{9}{5}$, —2R3, vorkommen, die Jeroféjew nicht namhaft macht.

Von diesen sind: $\frac{1}{2}R$ und —R durch Haüy angegeben, letzteres an den Krystallen von Dekalb durch den Autor wieder aufgefunden.

$-\frac{3}{2}R$ erscheint bei Dana, der eine andere Grundform annimmt, Min. 1868. p. 366 als $\frac{5}{4}$; ebenso —10R als 5.

$-\frac{1}{2}R9$ ist von Levy eingeführt. Druckfehler bei ihm und Dufrénoy machen das Zeichen etwas unsicher.

$-\frac{5}{4}R\frac{9}{5}$ ist von Des-Cloizeaux, Manuel de Min. 1862. p. 505 gegeben. Jeroféjew fasst dies Skalenoëder $= d\frac{1}{3}$, $d\frac{1}{5}$, $b\frac{1}{4}$ mit $d\frac{1}{5}$, $d\frac{1}{9}$, $b\frac{1}{7}$ zusammen, welch letzterem $-\frac{3}{7}R2$ entspricht.

Die übrigen Formen und zwar:

—2R3, an Krystallen von Dekalb,

$-\frac{5}{4}R$, $-\frac{15}{4}R$, $-\frac{3}{2}R$ (schon von Jeroféjew bestimmt), und 10R an Krystallen aus Brasilien sind vom Verf. neu beobachtet.

Was das Vorkommen von Dekalb anlangt, so gilt für dasselbe das oben erwähnte Axenverhältniss.

Die hellen flächenreichen Krystalle zeigen:

An dem einen Ende: R $(10\bar{1}1)$, 4R $(40\bar{4}1)$, $-\frac{1}{2}R$ $(01\bar{1}2)$, —R $(01\bar{1}1)$, —2R $(02\bar{2}1)$, R2 $(31\bar{4}2)$, R3 $(21\bar{3}1)$, R5 $(32\bar{5}1)$, $-\frac{1}{2}R3$ $(12\bar{3}2)$, —2R2 $(13\bar{4}1)$, —2R3 $(24\bar{6}1)$, oR (0001).

An dem anderen Ende: R $(\bar{1}01\bar{1})$, $-\frac{1}{2}R$ $(0\bar{1}1\bar{2})$.

In der Prismenzone: ∞R $(10\bar{1}0)$, $\infty P2$ $(11\bar{2}0)$ und $\infty P\frac{5}{4}$ $(41\bar{5}0)$.

Verf. bezeichnet die Enden als oberes und unteres Ende. Auf pyroelectrisches Verhalten sind aber die Krystalle nicht untersucht, daher nicht mit Sicherheit anzugeben, welches der analoge und welches der antiloge Pol ist. Man könnte höchstens einen Schluss nach Analogie der Entwicklung an den bekannten Turmalinen von Gouverneur auf die vorliegenden Krystalle machen.

Von den genannten Gestalten beansprucht besonderes Interesse das schon von Haüy angeführte Rhomboëder —R $(01\bar{1}1)$. Verfasser konnte es sicher constatiren und fand:

---

fasser als Rhomboëder der dritten Art ausgebildeten Formen hinzu. — Wegen $-\frac{3}{7}R2$ vergl. oben den Text.

Von den durch Seligmann als neu angeführten Rhomboëdern ist daher $-\frac{3}{2}R$ schon durch Jeroféjew nachgewiesen.

** In der Tabelle von Jeroféjew erscheint diese Gestalt mit negativem Vorzeichen.

oR : —R = 152° 23¾—31′ gem. — 152° 28′ 31″ ber.
—2R : —R = 161° 20′ „ — 161° 20′ 24″ „

Das neue Skalenoëder —2R3 (24$\bar{6}$1) wurde ein Mal beobachtet. Es liegt in Zone —2R2 : ∞P2.

—2R : —2R3 = 151° 13½′—15′ gem. — 151° 17′ 1″ ber.
—2R2 : —2R3 = 170° 35′ „ — 170° 37′ 2″ „
∞P2 : —2R3 = 157° 28½′ „ — 157° 23′ 29″ „

Im Übrigen stimmen gemessene und aus dem neuen Axenverhältniss für die anderen Gestalten berechnete Winkelwerthe befriedigend überein.

Die Erscheinungsweise der Krystalle ist kurz säulenförmig, am flächenreichen Pol ist —½R rauh und parallel der Combinationskante mit —R gestreift, alle anderen Formen sind glänzend. Am flächenarmen Pol sind die Gestalten häufig verkümmert. — Die Grösse der Krystalle geht bis zu einem Centimeter.

An den brasilianischen Krystallen fand Verfasser:

R (10$\bar{1}$1), —2R (02$\bar{2}$1), —5R (05$\bar{5}$1), —½R3 (12$\bar{3}$2), R3 (21$\bar{3}$1), R5 (32$\bar{5}$1), ∞P2 (11$\bar{2}$0), ∞R (10$\bar{1}$0), oR (0001), sowie die schon oben erwähnten vier Rhomboëder, von denen drei neu sind.

Die Farbe der Krystalle ist, senkrecht zur Hauptaxe gesehen, in dünnen Platten zwischen grün und braun; dickere Krystalle sehen wie schwarz aus. Die Krystalle sind säulenförmig und nur mit einem Ende ausgebildet, an dem das Stammrhomboëder herrscht.

Zur Bestimmung der erwähnten neuen Rhomboëder wurden folgende Ermittelungen angestellt:

∞R : 10R = 169° 15′ gem. — 169° 3′ ber.*
„ : —$\frac{5}{4}$R = 123° 4′, 21′ } „ — 122° 52′ „
122° 59′ }
„ : —$\frac{3}{2}$R = 156° 18½′ „ — 156° 44′ „
„ : —$\frac{5}{4}$R = 153° 2½′ „ — 152° 43′ „

Verfasser gibt danach noch einige andere Winkel bekannter Gestalten und bespricht die Flächenbeschaffenheit der in Rede stehenden Krystalle eingehend.

Zum Schlusse werden einige Erforschungen des Herrn Des-Cloizeaux, angestellt an mit Gyps verwachsenen braunen Turmalinen aus den Pyrenäen mitgetheilt. Da die Resultate hier zum Theil wenig sicher gestellte zu sein scheinen, so glauben wir in Erwartung fernerer Mittheilungen von Seiten des französischen Forschers zunächst auf die Abhandlung des Herrn Seligmann verweisen zu müssen.

Svanbergit.

Verf. konnte die Stufen der Stockholmer Sammlung von dem Vorkommen Horrsjöberget und Westanå untersuchen. Die Svanbergite sind an ersterem Fundort in Glimmer eingewachsen und von Eisenglanzblättern begleitet, an dem zweiten umschliesst sie ein quarziges Gestein.

* Hierbei ist von +R Polk. 133° 8′, also a : c = 1 : 0,447675 nach Des-Cloizeaux ausgegangen worden.

Der Polkantenwinkel von +R (10$\bar{1}$1) wurde mit Sorgfalt gemessen und ergab im Mittel 90° 47′, während Dauber 90° 36′ fand. Die Mittelkante von +4R (40$\bar{4}$1) folgte mit wenig Abweichungen an verschiedenen Krystallen zu 117° 6′, woraus sich a : c = 1 : 1,23652 ergibt und die Polkante von +R zu 90° 22′ berechnet. Fernerhin konnte die Neigung von +R : 4R = 154° 55½′ sehr genau an einem Kryställchen gemessen werden, der berechnete Winkel stimmt hiermit genau, so dass dadurch das Axenverhältniss als der Wirklichkeit entsprechend sich darstellt, was auch die nachfolgenden Messungen darthun:

R : 5R	= 152° 56½′ 152° 51′	gem.	—	152° 58′ ber.
4R : 5R	= 178° 0′	„	—	178° 2½′ „
anliegend				
4R : 5R	= 117° 31′	„	—	117° 38′ „
unten oben				
4R : —2R	= 150° 30′	„	—	150° 46′ „
unten oben				
R : —2R	= 125° 0′ ca.	„	—	125° 11′ „
benachbart.				

Von den sonach beobachteten Formen: +R (10$\bar{1}$1) — 2R (02$\bar{2}$1). 4R (40$\bar{4}$1), 5R (50$\bar{5}$1) sind —2R und 5R für den Svanbergit neu.

Im Dünnschliff zeigte das Mineral Schüppchen von Eisenoxyd eingelagert und gab im Übrigen die schon von Des-Cloizeaux erkannten Eigenschaften: Einaxigkeit bei positivem Charakter der Doppelbrechung zu erkennen.

Jodsilber von Grube Schöne Aussicht bei Dernbach.

von Lasaulx erwähnt bei der Beschreibung des Jodobromit kleine hexagonale Prismen, die er für Greenockit hält. Nach Verf. liegt hier hexagonales Jodsilber vor, das zuweilen in sehr schönen Krystallen gefunden wird. Dieselben sitzen mit Jodobromit auf Brauneisenstein, von dem sie schwer unverletzt abzunehmen sind, auf.

Eine genauere Betrachtung lehrt, dass die Krystalle hemimorph sind. An dem einen Ende der Krystalle erscheinen: P (10$\bar{1}$1), 2P (20$\bar{2}$1), 4P (40$\bar{4}$1) und oP (0001), an dem anderen 2P (20$\bar{2}$1) und oP (0001), in der Säulenzone findet sich ∞P (10$\bar{1}$0) mit ziemlich grossen Flächen.

Die zur Constatirung der genannten Formen angestellten Messungen stimmen annähernd mit den aus den Axenverhältnissen von v. Zepharovich und Des-Cloizeaux berechneten Werthen überein.

Eine öfters vorkommende Neigung der Jodsilberkrystalle von gewissen Pyramiden drei Flächen vorwaltend und drei untergeordnet ausgebildet zu zeigen, hält der Verf. für eine Neigung zur Hemiëdrie.

Jodsilber von San Francisco, Chañarcillo, Chile.

Verf. bestimmte folgende Formen: ⅔P (30$\bar{3}$2), 2P (20$\bar{2}$1), 3P (30$\bar{3}$1), ∞P (10$\bar{1}$0), oP (0001). — Hiervon sind ⅔P und 3P neu.

Zur Ableitung der neuen Formen und Constatirung der alten wurden folgende Winkelwerthe bestimmt

oP : 3P	=	109° 28⅔′	gem.	—	109° 31′ ber.*
„ : ⅗P	=	125° 16½′	„	—	125° 20′ „
„ : 2P	=	118° 6½′	„	—	118° 0′ „
∞P : 3P	=	160° 31½′	„	—	160° 29′ „
„ : 2P	=	151° 59′	„	—	152° 0′ „
„ : ⅗P	=	144° 40½′	„	—	144° 40′ „
3P : 2P	=	171° 33½′	„	—	171° 31′ „
2P : ⅗P	=	172° 39½′	„	—	172° 40′ „

Hemimorphismus wurde nicht beobachtet.

Turnerit (Monazit).

Aus den krystallinischen Schiefern, dicht beim Örtchen Mti. Camperio, an der Luckmannierstrasse, etwa 2¾ Kilometer östlich von Olivone, stammen** schön ausgebildete Turneritkryställchen, die die Flächen:

v = P (1̄11), r = —P (111), i = 2P2̄ (2̄11),
z = 3P3̄ (3̄11), x = P∞̄ (1̄01), w = —P∞̄ (101),
e = P∞̇ (011), M = ∞P (110), a = ∞P∞̄ (100),

zeigen. — Die Entwickelung ist säulenförmig nach v, Zwillingsbildung nach ∞P∞̄ (100) findet sich häufig. Die Kryställchen kommen durchaus nicht vereinzelt, sondern zahlreich, ja vollständig Krusten bildend vor. Der Name Monazit ist also hier nicht passend. Begleitende Mineralien sind: Rutil, Chlorit, Quarz.

Ein zweiter Fundort ausgezeichneter Turnerite ist in der Nähe der Hüttengruppe Perdatsch im Val Nalps. Die Krystalle erreichen eine Grösse von 3—4 Mm. und sind prächtig orangegelb gefärbt. Die Flächen glänzen edelsteinartig.

An Formen sind beobachtet:

a = ∞P∞̄ (100), l = ∞P2̄ (210), M = ∞P (110)
b = ∞P∞̇ (010), n = 2P∞̇ (021), e = P∞̇ (011)
x = P∞̄ (1̄01), w = —P∞̄ (101), v = P (1̄11)
r = —P (111), z = 3P3̄ (3̄11), c = oP (001).

Die Krystalle sind ausgedehnt nach a. Als begleitende Mineralien kommen Rutil, Albit, Apatit, Kalkspath, Quarz und in Brauneisen verwandelte Rhomboëder, anscheinend von Dolomit, vor. Das Muttergestein ist ein talkiger, durch Eisenocker gelb gefärbter Gneiss. **C. Klein.**

G. Seligmann: Mineralogische Mittheilungen, gemacht bei Gelegenheit der Herbstversammlung des naturhist. Vereins für Rheinland-Westphalen 1882.

---

* Nach dem Axenverhältniss von Des-Cloizeaux. Ann. de Chimie et de Physique 3e série. T. XL.

** Der genaue Fundort ist dem Verf. erst nach Abfassung seiner Abhandlung bekannt geworden; vergl. das folgende Referat.

Vitriolbleierz von der Grube Friedrich bei Wissen an der Sieg.

Es sind ausgezeichnete Krystalle, z. Th. wasserhell und bis zu 3 Cm Grösse gefunden worden. Die an denselben beobachteten Formen sind die gewöhnlichen; die Krystalle zeigen sich nach der c-Axe der von Lang'schen Stellung, aber zuweilen auch nach den beiden anderen Axenrichtungen, säulenförmig entwickelt. An einem kleinen Krystall konnten vorzüglich spiegelnde vicinale Flächen u. A. das Doma $\frac{1}{94}P\bar{\infty}$ (1 . 0 . 94) nachgewiesen werden; Neigung zur Basis fast 179°.

In Drusen von Brauneisenstein kommen auf derselben Grube vor, z. Th. in schönen Krystallen: Malachit, Rothkupfererz, Kupferindig, Weissbleierz, Pyromorphit, Schwefel. Das Muttergestein umschliesst Bleiglanz und zersetzte Kiese.

Mineralien aus dem Binnenthale.

Zinkblende. Die Krystalle von bekannter Ausbildung zeigen grosse Flächen von $\frac{202}{2}$ κ (211)*.

Rutil, aus Dolomit stammend, in glänzenden Kryställchen. Ein selteneres Vorkommen.

Leider ist die mit grösseren Kosten wieder in Betrieb gesetzte Dolomitgrube durch schlechte Witterungsverhältnisse unzugänglich geworden.

Auf der Alp Lercheltiny ist im Jahre 1882 nicht sehr viel gefunden worden. Verfasser erhielt schöne Exemplare der in Form von Eisenglanz gruppirten Rutile, die dadurch noch besonders merkwürdig werden, dass Magneteisen-Oktaëder regelmässig zur Eisenglanzform verwachsen sind: O (111) des Magneteisens liegt parallel oR (0001) des Eisenglanzes und die Kanten ersterer Fläche parallel den Kanten oR (0001) : $\frac{4}{3}$P2 (22$\bar{4}$3) des Eisenglanzes. Auf der oberen und unteren Seite der Gruppe (Basis des ehemaligen Eisenglanzes) sind daher die Oktaëder zu einander in Zwillingsstellung.

Anatas. Es findet sich derselbe auch an anderen Stellen als der Alp Lercheltiny. So wurde ein Kryställchen des Typus f (vergl. d. Jahrb. 1881 II. 269 und 1882 II. 281) auf chloritischem Gestein sitzend und als vom Ofenhorn kommend, erworben. — Durchsichtige braune Anatase mit $\infty P\infty$ (100) und $\frac{1}{3}$P (113) stammen von der Wyssi-Turben Alp; sie sitzen auf Gneiss. — Andere Anatase von der Combination P (111), oP (001), in auffallendem Licht schwarz, in durchfallendem blau, werden wohl von demselben Fundort sein.

Xenotim. Derselbe kommt auf Turmalin sitzend, begleitet von Albit, Adular auf strahliger Hornblende ebenfalls von der Turben Alp vor. Ebendaher stammen, seit längerer Zeit bekannt, vorzügliche Rutile. Die Xenotime sind höchstens $\frac{1}{2}$ Mm. gross und zeigen die von Hessenberg an Tavetscher Krystallen beobachteten Formen: ∞P (110), P (111), 3P3 (311) und 3P (331); die Ausbildung der Krystalle ist so, wie sie Hessenberg aus

* Vergl. dies. Jahrb. 1872 p. 898 und 899 und Groth. Min. Samml. d. Kais. Wilh. Univ. Strassburg 1878 p. 27.

dem Tavetsch schildert. Den Schluss der Mittheilung bildet die genaue Fundortsangabe des Turnerits von Olivone, über den wir im vorigen Referat berichteten. **C. Klein.**

F. Klockmann: Die Zwillingsverwachsungen des Orthoklases aus dem Granitit des Riesengebirges. (Zeitschrift für Krystallographie. Bd. VI. pag. 493—510, mit 2 Tafeln.)

Der Verf. erweitert und berichtigt hier eine frühere Arbeit*. Das Material stammt in der Hauptsache aus gangartigen Apophysen des Granititzuges zwischen Cunnersdorf und Schwarzbach bei Lomnitz. Es sind theils einfache Krystalle, theils Zwillinge. Zahlreiche mikroskopische Albitschnüre sind parallel der Querfläche eingewachsen, auch makroskopische Plagioklase sieht man zuweilen darin eingeschlossen. Die beobachteten Flächen sind: P = oP (001); M = $\infty P\infty$ (010); n = $2P\infty$ (021); y = $2P\infty$ ($\bar{2}01$); T = ∞P (110); z = $\infty P3$ (130); o = P ($\bar{1}11$), welche fast stets alle mit einander combinirt sind. Nie beobachtet sind die sonst häufigen k = $\infty P\infty$ (100) und x = $P\infty$ ($\bar{1}01$). Die Winkel der 1—8 cm grossen, selten grösseren Krystalle sind nicht genauer messbar.

A. Einfache Krystalle sind wenig vorhanden. Meist bilden P und M stark entwickelte rektanguläre Prismen, an welchen noch y gross ausgebildet ist, während T und z und noch mehr n und o stark zurücktreten. Solche Individuen finden sich auch bei den Bavenoër und Manebacher Zwillingen. Nach M tafelförmige Individuen finden sich selten einzeln, bei den andern, als den 2 genannten Zwillingsgesetzen regelmässig. Bei ihnen ist im Gegensatz zu vorhin n und o von beträchtlicher Ausdehnung.

B. Zwillinge werden nach 7 Gesetzen beschrieben.

1. Zwillinge nach Pinakoidflächen.

1) Zwillingsfläche k (Karlsbader Gesetz). Die Hälfte der Krystalle sind nach diesem Gesetz zusammengesetzt. Die Individuen sind meist dünn tafelförmig nach M, seltener dick prismatisch nach P und M. Zuweilen findet die Verwachsung wiederholt statt und sodann einige Male so, dass die 2 Individuen auch nach k verwachsen sind. Auch sind wohl kleinere Krystalle in grösseren in der Stellung dieses Gesetzes eingeschlossen. Ebenso kommt es vor, dass die verwachsenen Krystalle selbst wieder Zwillinge nach demselben Gesetze sind, welche dann in der Richtung der Axe a hinter oder in der Richtung der Axe c über einander verwachsen sind.

2) Zwillingsfläche P = oP (001) (Manebacher Gesetz). Ist bei circa 5 % der Krystalle vertreten. Am häufigsten verwachsen einfach zwei verkürzte Individuen nach P, seltener sind die beiden nach dem Gesetz verwachsenen Krystalle schon Zwillinge nach dem Karlsbader oder Bavenoër Gesetz. Einmal sind zwei Bavenoër Zwillinge mit ihren gleichen Enden nach einer Drehung um 180° um eine Normale zu P mit einander verwachsen, wobei aber die Rauhheit der Flächen nicht gestattet zu constatiren, ob genau diese Verwachsung vorliegt, oder eine andere ähnliche.

* Zeitschr. d. deutsch. geolog. Gesellsch. 1879, pg. 421.

3) Zwillingsfläche y = 2P∞ (201). Meist sind Karlsbader Zwillinge noch einmal nach y verwachsen, einmal auch ein Karlsbader mit einem Bavenoër Zwilling. Die Axen c zweier so verwachsener Individuen sind unter 71° 30′ geneigt. Gemessen wurde: 71° 15′; 70° 30′; 70° 0′.

II. Zwillinge nach Prismenflächen.

4) Zwillingsfläche n = 2P∞ (021). (Bavenoër Zwillinge) sind häufig, aber seltener als Karlsbader Zwillinge. Sehr häufig ist die Zwillingsfläche auch Verwachsungsebene und die Krystalle sind nach Axe a ausgedehnt. Zuweilen ist die Verwachsungsebene senkrecht zu n. Ebenfalls häufig ist, dass Karlsbader Zwillinge von der gewöhnlichen Ausbildung sich nach dem Bavenoër Gesetz durchdringen. Selten sind Krystalle, welche man sich so vorstellen kann, dass eine Hälfte eines Bavenoër Zwillings gegen die andere um die Kante P/M um 180° verdreht ist. Diese können als Durchkreuzungszwillinge oder als Vierlinge aufgefasst werden.

5) Zwillingsfläche o = P (1̄11). Solche Zwillinge sind ziemlich häufig und zwar sind die nach dem Gesetz verwachsenen Krystalle stets Karlsbader Zwillinge, welche sich unter 53° 24′ durchkreuzen. Gemessen wurde 52° 21′ mit dem Anlegegoniometer.

6) Zwillingsfläche T = ∞P (110). Diese Verwachsung ist ebenfalls zahlreich und auch hier sind die verwachsenen Krystalle Karlsbader Zwillinge, welche aber nie vollkommen durchkreuzt sind, so dass diese Zwillinge vielfach ziemlich unsymmetrisch gebaut erscheinen. Die Winkelverhältnisse bringen es mit sich, dass die Zwillinge nach T ziemlich ähnlich sind denen nach z, doch giebt der Verf. ein Mittel an, beide auch ohne Messung leicht und sicher zu unterscheiden.

7) Zwillingsfläche z = ∞P3 (130). Doppelzwillinge von zwei Karlsbadern, deren Flächen M sich unter 59° 16′ schneiden.

Sonstige Aggregationsformen. Nicht selten treten Einzelindividuen zu Sammelzwillingen zusammen, in welchen sich bis zu vier regelmässige Verwachsungen nachweisen lassen. Auch ganz unregelmässige Gruppirungen kommen vielfach vor.

Bemerkenswerth ist die grosse Zahl der Verwachsungen von Individuen mit gemeinsamer Orthoaxe b. Hierher gehören die Zwillinge nach den Pinakoidflächen: k, P, y. Aber daneben kommen auch noch vielfach Neigungen der Vertikalaxen der Individuen vor, welche zwischen 40° und 52° schwanken und auf noch andere Gesetze, als die genannten, deuten. Einmal ist sogar genau der Winkel beobachtet, unter welchem sich die Vertikalaxen c beider Individuen schneiden müssten, wenn x Zwillingsebene wäre.

Auch Verwachsungen mit gemeinsamer Kante P/M kommen nicht nur so vor, dass M/M = 90°, wie bei den Bavenoërn, sondern so, dass die Flächen sich unter verschiedenen Winkeln schneiden, welche aber auf sehr complicirte Indices für etwaige Zwillingsflächen führen würden und ebenso ist es bei Verwachsungen mit gemeinsamer Kante M/o und T/T.

Scheinbare Regelmässigkeiten werden dadurch hervorgebracht, dass zuweilen die mit einander verwachsenen Individuen zwar Flächen gemein haben, sich aber nicht durch eine Drehung um 180°, sondern um einen beliebigen anderen Winkel in die Parallelstellung drehen lassen, oder dass Zonen mit ähnlichen Winkeln in der Art zusammenfallen, dass zwar ungleiche, aber ähnliche Winkel bildende Flächen beider Individuen mit einander parallel werden. Max Bauer.

F. Klockmann: Beitrag zur Kenntniss der granitischen Gesteine des Riesengebirges. Mit 3 Tafeln. (Inaug.-Dissert. der Univ. Rostock und Z. d. deutschen geol. Ges. 1882. p. 373—426.)

Die vorliegende Arbeit beschäftigt sich mit den im Bereich des Hirschberger Thales im Riesengebirgsgranitit aufsetzenden Ganggraniten. Sie will einen Beitrag liefern zur Erklärung der Genesis der Ganggranite und zwar auf Grund des geognostischen Vorkommens, der Structurmodification und der Mineralführung.

Die analogen Verhältnisse anderer Granitmassive, so besonders die des Granulitgebietes Sachsens und die Elba's, finden eine gebührende Berücksichtigung.

Die Ganggranite setzen auf im Granitit. Der Orthoklas des Granitits ist reich an albitischen Einlagerungen, Plagioklas findet sich in relativ reichlicher Menge, oft von der Masse des Orthoklas umhüllt (u. d. M.), der Orthoklas als Einsprengling zeigt vielfache Zwillingsbildung (Zwillingsflächen: k, P, y, n, o, T, z), titanhaltige Mineralien treten als accessorische Gemengtheile auf.

Ohne ein bestimmtes Streichen einzuhalten, in wechselnder Mächtigkeit und ohne Störung der Lagerungsverhältnisse des Nebengesteins durchschwärmen die Ganggranite den Granitit, seltener den Gneiss und Glimmerschiefer. Die wesentlichen Gemengtheile des Ganggranits sind Orthoklas, Albit, Quarz und Biotit. Ausser in der gewöhnlichen Form findet sich der Orthoklas noch in cubikfussgrossen, leicht spaltbaren, blättrigen Massen. Die mikroskopische Untersuchung dieses Feldspaths lieferte folgende Resultate: durchaus homogen, abgesehen von Flüssigkeitseinschlüssen, sind die ganz frischen Partieen; ist das Material weniger frisch, so erscheinen dicht gedrängte feine Linien, welche bei fortschreitender Umwandlung des Feldspaths an Breite zunehmen, unregelmässige äussere Umrisse erhalten und sich in Schliffen parallel der Basis in einzelne Zwillingsleisten gliedern und so erscheinen wie die Albitschnüre in den Perthiten, zum Schluss bilden sich grosse linsenförmige Einlagerungen von Albit.

Unter Annahme der Isodimorphie der Feldspathe führt der Verf. die Ausscheidung des Albits in polysynthetischen Zwillingen des asymmetrischen Systems und die Herausbildung der Perthite auf eine paramorphe Umwandlung der monoklinen Modification der Albitsubstanz in die trikline zurück.

In Schliffen parallel der Basis von bereits stark angegriffener Substanz beobachtet man eine allmählige Entstehung von Gitterstructur, ohne dass es möglich ist, die Mikroklinnatur der Gitter nachzuweisen.

Wenn der Verf. verlangt, die optischen und physikalischen Eigenschaften des Orthoklas als die Folge von Zwillingsverwachsungen des asymmetrischen Feldspaths hinzustellen und nicht wie Michel-Lévy das Umgekehrte zu thun, so muss bemerkt werden, dass M.-L. genau derselben Ansicht ist, wie der Verf. und dieser M.-L.'s Ansicht wohl nur irrthümlich auffasst. M.-L. sagt ausdrücklich (Bull. Soc. Min. de France 1879, p. 136) . . . il ne reste plus qu'à déduire les propriétés optiques de l'orthose, en partant de celles du microcline, pour conclure que le microcline et l'orthose ne sont qu'un seul et même minéral (vergl. auch Min. micrographique, p. 238; dies. Jahrbuch 1880, I, p. 174 u. 175 d. Referate). Ein weiteres auf Schnitten parallel oP (001) sichtbares, auf Schnitten senkrecht zu diesen nicht bemerkbares Liniensystem, welches durch verschiedenes optisches Verhalten sich von den Albiteinlagerungen unterscheidet, dürfte wohl als durch Spannungsverhältnisse hervorgerufen, anzusehen sein. Makroskopisch giebt es sich durch parallel der Kante P/T verlaufende Risse kund, scheint aber mit dem auf einer Fläche, von der ungefähren Lage von k, auftretenden Schiller in keinem ursächlichen Zusammenhang zu stehen.

Das Vorkommen des Mikroklin beschränkt sich ausschliesslich auf Drusenräume; wenn in denselben aufgewachsene Krystalle noch in die Gesteinsmasse hineinreichen, sollen diese Theile Orthoklas sein; an der Grenze der Drusenräume gegen das Gestein hin treten Feldspath und Quarz gern in schriftgranitartige Verwachsung.

Nach Besprechung des mikroskopischen Verhaltens des Mikroklin und des ihm eingeschlossenen Albits kommt der Verf. zu dem Schluss: „dass eine Durchdringung unter irgend welchem Winkel von zwei Systemen polysynthetischer Zwillingsreihen, wodurch die characteristische Gitterstructur des Mikroklin bedingt wird, bei den besprochenen Krystallen nicht statt hat."

Die Mineralcombination Orthoklas, Quarz, mit regellos körniger Structur geht allmählich in die Albit, Quarz, mit schriftgranitartiger Structur, über.

Der Quarz gehört einer älteren und einer jüngeren Formation an. Die Krystalle beider sind reich an Flüssigkeitseinschlüssen, die der letzteren zeigen noch Einschlüsse von kirschrothem Granat (202 . (211)) und seltener von Rutil in etwa 6 mm langen nadelförmigen Zwillingen.

Als Structurformen lassen sich an den Ganggraniten unterscheiden: die schriftgranitartige, die pegmatitische, die sphäroidale, bei dieser die Granophyrstructur schon mit blossem Auge sichtbar, und eine symmetrisch lagenförmige.

Die eingelagerten Kugeln bestehen aus einem Kern von Feldspath oder einem Aggregat von Feldspathzwillingen, ungewiss ob Orthoklas oder Mikroklin, p. 400 (p. 408 wird dieser Kern als aus Mikroklin bestehend aufgeführt), um diesen lagert sich eine zweite concentrische Zone, ein

körniges Gemenge von Oligoklas und Biotit, welches in der dritten Zone in ein schriftgranitartiges Gemenge von Quarz und Orthoklas mit spärlichem Biotit übergeht.

Nach einer kurzen Übersicht ähnlicher Ganggebilde und Zusammenstellung ihrer übereinstimmenden Merkmale wendet sich der Verf. zur Entstehungsfrage derartiger Gebilde und führt solche Gründe auf, welche der Annahme eines eruptiven Ursprungs widersprechen und solche, welche eine wässerige Bildung wahrscheinlicher erscheinen lassen sollen, als eine feurigflüssige.

Diese Gründe scheinen nun für die Genesis der Ganggranite nur die Erklärung der Auslaugung des Nebengesteins zuzulassen. Und dem stände nichts im Wege, wenn die kugeligen Absonderungen nicht wären, deren Entstehung nur durch die Annahme eines gleichzeitigen Entstehungsactes bequem sich erklären lässt und so lange diese auch an anderen Orten nicht sicher als durch hydrochemische Processe entstanden erkannt sind, müssen sie als ein Einwurf gegen die wässerige Bildung der besprochenen Ganggranite aufgefasst werden.

Die krystallographische Untersuchung des Mikroklin lieferte folgende Formen:

oP	(001) = P;	,P,$\breve{\infty}$	($\bar{1}$01) = x;	2,P,$\breve{\infty}$	($\bar{2}$01) = y
3,P,$\breve{\infty}$	($\bar{3}$01) = h;	∞P$\breve{\infty}$	(100) = k;	∞P$\breve{\infty}$	(010) = M
∞'P	(0$\bar{1}$0) = T;	∞P'	(110) = l;	∞'P$\breve{3}$	(1$\bar{3}$0) = z
∞P'$\breve{3}$	(130) = f;	P,	($\bar{1}\bar{1}$1) = o;	,P	($\bar{1}$11) = p
2,P	($\bar{2}$21) = g;	$\frac{4}{3}$,P	($\bar{4}$43) = σ.		

Als Fundamentalwinkel wurden gemessen:

P/M = 90° 7′; P/e* = 135° 13′ 30″
P/x = 129° 15′; P/y = 99° 27′
M/x = 90° 8′.

Daraus ergeben sich die krystallographischen Constanten:

a : b : c = 0,6495 : 1 : 05546
α = 89° 55′, β = 64° 10′, γ = 90° 5′.

Zwillingsverwachsungen kommen vor nach dem Carlsbader, dem Bavenoër und nach dem Basisgesetz.

Der Albit findet sich in 3 verschiedenen Ausbildungsformen: als Gemengtheil der Ganggranite, in Drusenräumen und in gesetzmässiger Verwachsung mit dem Mikroklin, welch' letzteren Verhältnissen, da hier die Verwachsung zweier unsymmetrischer Feldspathe vorliegt, Verfasser besondere Aufmerksamkeit zuwendet. An letzterer Art des Vorkommens konnten genauere krystallographische Messungen vorgenommen werden und wurden folgende Flächen beobachtet:

* e ist als Fläche nicht beobachtet; die Neigung P : e entstammt der Hälfte der Neigung P : P eines Bavenoër Zwillings.

o P	(001)	= P ;	,P,$\breve{\infty}$	($\bar{1}$01)	= x ;	$\frac{4}{3}$,P,$\breve{\infty}$	($\bar{4}$03) = r
2,P,$\breve{\infty}$	(201)	= y ;	∞P$\breve{\infty}$	(010)	= M ;	∞P'$\frac{\breve{7}}{2}$	(270) = a*
∞P'$\breve{3}$	(130)	= f ;	∞P'	(110)	= l ;	∞P'$\bar{\frac{4}{3}}$	($\bar{4}$30) = β*
∞'P$\frac{\bar{5}}{3}$	(5$\bar{3}$0)	= δ*;	∞'P$\frac{\bar{4}}{3}$	(4$\bar{3}$0)	= ε*;	∞'P	($\bar{1}\bar{1}$0) = T
∞'P$\bar{2}$	($\bar{1}\bar{2}$0)	= η*;	∞'P$\breve{3}$	($\bar{1}$30)	= z ;	∞'P$\bar{4}$	($\bar{1}\bar{4}$0) = S*
∞'P$\breve{5}$	($\bar{1}$50)	= t*;	∞'P2$\breve{0}$	(1 . $\bar{2}\bar{0}$. 0)	= κ*;	2,P'$\breve{\infty}$	(021) = e
2'P,$\breve{\infty}$	(0$\bar{2}$1)	= n ;	$\frac{1}{4}$P'	(114)	= λ*;	$\frac{1}{2}$P,	($\bar{1}\bar{1}$2) = g
P,	($\bar{1}\bar{1}$1)	= o ;	$\frac{1}{2}$,P	($\bar{1}$12)	= γ ;	,P	($\bar{1}$11) = p
20,P2$\breve{0}$	($\bar{1}$.20.1)	= ρ*;	8,P$\breve{8}$	($\bar{1}$81)	= σ*;	P,$\bar{4}$	($\bar{4}\bar{1}$4) = τ*
$\frac{8}{3}$,P'$\breve{\infty}$	(085)	= φ*;	16P'$\frac{\breve{16}}{15}$	(15.16.1)**	= ψ*.		

Nach dem Verf. sind die mit einem Stern versehenen Flächen bisher nicht beobachtet.

Aus den 5 gemessenen Winkeln: P/M = 93° 37′ 45″; P/y = 97° 57′50″; P/T = 110° 51′; M′/T = 119° 37′ 20″; T/n = 128° 23′ berechnen sich:

a : b : c = 0,6330 : 1 : 0,5558

a = 85° 55′ 31″, β = 63° 29′ 32″, γ = 88° 8′ 40″.

Tabellen gerechneter und gemessener Winkel schliessen sich an.

K. Oebbeke.

Gorceix: Sur les gisements diamantifères de Minas-Géraës (Brésil). (Bull. de la Soc. Min. de France. t. V. No. 1. p. 9—13.)

Die Diamant-Lagerstätten der brasilianischen Provinz Minas-Geraës*** sind theils Anschwemmungen jüngsten Alters, theils metamorphische, zur paläozoischen Gruppe gehörende Felsarten. Die ersteren „Cascalhos“ genannt, sind wesentlich Quarzgeröll-Schichten und zeigen an den verschiedenen Fundorten sehr gleichförmige Beschaffenheit, wie in Minas-Geraës so auch in Matto-Grosso, Coyaz, Parana und Bahia. Ausgebeutet werden sie bei Diamantina, Grao-Mogol, Abaeté, Bagagem und Cocaës. Die den Diamanten begleitende Mineralien sind zahlreich; aus den Cascalhos des Jequitinhonha bei Diamantina zählt der Verf. folgende auf: Quarz, Rutil, Anatas, Arkansit, Titaneisen, Turmalin, Fibrolith, wasserhaltige Chlorophosphate, Lazulith, Psilomelan, Disthen, Rotheisenstein, Martit, Eisenkies in Brauneisenstein umgewandelt, Braun- und Magneteisenerz, Eisenglanz, Markasit, Feuerstein, Jaspis, Granat, Talk, Glimmer, Staurolith, Titanit, Gold, Euklas. Sämmtliche Bestandtheile dieser Ablagerungen tragen deutliche Spuren von Abrollung.

Die Mehrzahl dieser Mineralien findet sich in den metamorphischen Felsarten, aus deren Zerstörung die Cascalhos hervorgegangen sind, wieder, und auch der Diamant selbst ist in jenen nachgewiesen. Der Verf. berichtet

---

** Der Verfasser gibt 15$\breve{P}\frac{5}{16}$ = (15 . 16 . 1) an. Diese beiden Zeichen entsprechen sich nicht und es erfordert das Miller'sche die Form 16P$\frac{\breve{16}}{15}$, welche oben angeführt ist.

*** Vergl. auch dies. Jahrb. 1881. I. p. 11 der Referate.

über zwei Fundorte. Der erste liegt in der Nähe der Stadt Grao-Mogol, etwa 700 Kilometer nördlich von Ouro-Preto. Die den Diamant führende Felsart ist hier ein Quarzit von ungleichem Korn, welcher theils regellos in ihm zerstreuten, theils dünne Lagen bildenden grünen Glimmer enthält. Gut ausgebildete Quarzkrystalle kommen darin vor. Schon mit blossem Auge zu erkennende eingewachsene Diamanten zeigen keinerlei Spuren von Abreibung und können nach der Ansicht des Verf. sehr wohl gleichzeitig mit dem begleitenden Glimmer und krystallisirten Quarz entstanden sein.

Die andere Lagerstätte liegt bei Sao-Joao da Chapada, 30 Kilometer westlich von Diamantina. Der schon seit 1833 dort gewonnene Diamant findet sich in Schichten von Thon, welcher aus der Umwandlung von Schiefern hervorgegangen ist, die mit stark zersetzten, körnigen, glimmerhaltigen Quarziten wechsellagern. Dieselben sind gleichalterig mit den ähnlichen Topas-Lagerstätten von Boa-Vista. Die diamanthaltigen Schichten weisen einen dreifachen Habitus auf. Die eine Art derselben stellt einen bläulich-schwarzen, mit Eisenoxyd, sowie mit Rutil und Anatas imprägnirten Thon dar; die zweite Art besteht aus Steinmark und enthält Quarzkrystalle; die dritte und wichtigste, über 1½ Meter mächtig, wird von einer Reihe bunter Thonschichten zusammengesetzt. Die dem Quarzit parallele Schichtung derselben ist noch deutlich sichtbar und zeigt Faltungen wie die benachbarten unzersetzten Schiefer. Die Thone enthalten Einschlüsse von letzterem und werden von schmalen Adern von körnigem oder deutlich krystallisirtem Quarz, Rotheisenstein und Rutil durchsetzt, an denen keinerlei Spuren von Abreibung sichtbar sind. Die hier gefundenen Diamanten unterscheiden sich durch scharfe Kanten, rauhe Flächen und eine leicht grünlich blaue Färbung von den auf secundärer Lagerstätte vorkommenden. Exhalationen von Wasserdampf neben solchen von Chlor, Fluor und Bor wird der tiefgreifende Metamorphismus dieser Felsarten zugeschrieben. **F. Klocke.**

Ch. Uph. Shepard: On a new Meteoric Iron, of unknown locality, in the Smithsonian Museum. (Am. Journ. of Science. 1881. vol. XXII. pag. 119.)

Nach einer Analyse von C. U. Shepard jr. hat das Eisen die Zusammensetzung: Fe = 92,923, Ni = 6,071, Co = 0,539, Schreibersit = 0,562 — Summa 100,095 mit Spuren von Kupfer und Zinn. Spec. Gew. = 7,589.

Die polirte Oberfläche ist weisser als von irgend einem künstlichen Eisen, ihr Aussehen weicht aber von denen aller anderen bekannten Meteoreisen ab, sowie sie geätzt wird. Lässt man sie spiegeln, so blitzen bei einem bestimmten Einfallswinkel des Lichtes über die ganze Fläche kleine Schuppen auf, ähnlich wie dies beim Sonnenstein der Fall ist, und es scheint demnach die Krystallisation durch das ganze Stück eine einheitliche zu sein. Ausserdem erscheint die Oberfläche aber noch durch schwach concave, sehr glänzende Eindrücke wie punktirt.

C. A. Tenne.

A. S. Herschel: Notice of the fall of an aërolite near Middlesbrough, Yorkshire on the 14th of March 1881 and brief account of some of the particulars of the occurrence. York. Printed by Ben Johnson & Co., Micklegate.

Der in Rede stehende Fall ereignete sich Montag den 14. März um 3 Uhr 35 Min. Nachmittags auf dem als „Pennyman's Siding" bekannten Territorium in der Umgegend von Middlesbrough. Nach vorausgegangenem brausendem Geräusche in der Luft schlug ein Stein in den Boden ein, der beim Anfühlen noch lauwarm war.

Bei näherer Betrachtung ist der Meteorit von flachpyramidaler Gestalt, 5—6 Zoll lang und 3 Zoll hoch; Gewicht 3½ Pfund. Das Ansehen im frischen Bruch ist grau und tuffartig, der letztere tritt nur hie und da zu Tage, meist zeigt sich äusserlich eine dünne schwarze Rinde.

Anfangs für eine ausgeschleuderte werthlose Schlacke gehalten, kam der Stein, Dank der Aufmerksamkeit und Fürsorge der Herren Ellinor, W. J. Cudworth und Jas. J'Anson dem Verf. zu Händen, der ihn seinem wahren Werth nach erkannte. Man hofft den Meteoriten dem zu gründenden Museum in York einverleiben zu können. **C. Klein.**

A. Brezina: Über die Meteoreisen von Bolson de Mapimi. (Sitzber. d. k. Akad. d. Wissensch. zu Wien B. LXXXIII. 1881.)

Es ist wahrscheinlich, dass die unter den Namen: Bolson de Mapimi, Santa Rosa, Bonanza, Cohahuila, Hacienda di Venagas u. s. f. beschriebenen Eisen, von denen etwa 4500 Kgr. gesammelt wurden, einem Falle angehören, weil sie nämlich sämmtlich bei der Ätzung keine Widmannstädten'schen Figuren, sondern schalige Structur nach den Oktaëderflächen, wie das Braunau-Eisen, darbieten.

Über die näheren Verhältnisse der Ätzung, besonders das Auftreten der von Neumann erforschten Linien u. s. w. berichtet Verf. an anderem Orte, worüber später referirt werden wird. Hier kommen nur einige die Eisen von Bolson de Mapimi besonders auszeichnende Punkte zur Sprache.

Gesetzmässige Verwachsung von Troilit und Daubréelith. Bisher kannte man das Schwefeleisen der Eisenmeteorite und Pallasite nur derb. Seine Zusammensetzung ist FeS. — Das Schwefeleisen der Steinmeteorite erforschte G. Rose krystallographisch und fand vollkommene Identität mit Magnetkies, daher für dieses Schwefeleisen die Zusammensetzung zu Fe_7S_8 angenommen ward.

Im Eisen von Bolson de Mapimi fand nun Verf. den Troilit krystallisirt und zwar einen Krystall von 12 Mm Höhe und Breite in einem Drusenraume des sonst compacten Eisens. Die sich darbieteude Combination war 2P (20$\bar{2}$1), oP (0001), bezogen auf eine Grundform mit a : c = 1 : 0,870.

Es wurden für den Polkantenwinkel besagter Pyramide gefunden:

128° 30′ Brezina gemessen, Grenzw. 124½°—132½°.

Damit werden folgende Daten verglichen:

127° 25′, 126° 49′ G. Rose gemessen
126° 49′ G. Rose gerechnet
126° 50′ Miller für Magnetkies.

Der gemessene Krystall zeigt deutliche Spaltbarkeit und starke Streifung nach der Basis, parallel dieser Fläche sind mehrere dünne, verworren krystallinische Platten von Daubréelith eingewachsen.

Dieselbe Erscheinung beobachtete Verf. dann auch an zahlreichen anderen im Eisen eingeschlossenen Troiliten, so dass eine gewisse Regelmässigkeit der Verwachsung dadurch zu Tage tritt.

Aus dem Vorgeführten geht (unter der Annahme, dass das vom Verf. untersuchte Schwefeleisen, besonders der eine Krystall, Troilit ist. Der Ref.) hervor, dass Troilit und Magnetkies Formengleichheit zeigen. Verf. nimmt einen Isomorphismus beider an, bei dem dem FeS, rein im Troilit enthalten, als formgebendes Element in der Constitution des Magnetkies eine Hauptrolle zufällt.

Die Frage, ob das Schwefeleisen der Steinmeteoriten nicht auch FeS sei, konnte leider nicht entschieden werden, da das zur Analyse bestimmte Material verloren ging. —

Höfe um die Reichenbach'schen Lamellen. Diese letzteren sind im Eisen von Bolson de Mapimi besonders schön entwickelt. Bei mässig starker Ätzung werden sie von einem 1 bis 1,5 Mm breiten Hof umgeben, innerhalb dessen die gewöhnlichen Ätzlinien aussetzen, um einer körnigen Absonderung Platz zu machen. Ähnliche Erscheinungen (wie die vorigen auch am Claiborne-Eisen beobachtet) bemerkt man um Troilit-Einschlüsse herum; nach Verf. rühren sie von der lebhaften Wirkung der Säure an den Troiliten her, die bewirkt, dass die diesen zunächst liegenden Stellen etwas von der Einwirkung verschont werden.

Eisencylinder. Schon vor der Ätzung erkennt man im Eisen von Bolson de Mapimi Cylinder mit scharf absetzender Mantelfläche. Nach der Ätzung zeigen diese Cylinder ein feinflimmeriges Ansehen und unterscheiden sich dadurch und durch leichtere Löslichkeit von der anderen Eisenmasse.

Ein Stückchen des aus der Smithsonian Institution stammenden Eisens von Cohahuila, das 1850—1854 gefunden wurde, zeigt eine der eben geschilderten ähnliche Beschaffenheit, gehört daher vielleicht einem solchen Cylinder an. — Dr. Berlandier beobachtete von der Hacienda di Venagas einen Meteoreisencylinder von 91,4 Cm Länge auf 26,4 Cm Durchmesser, vielleicht aus einem grossen Eisenblocke stammend. C. Klein.

A. Brezina: Bericht über neue oder wenig bekannte Meteoriten. III*. (Sitzber. d. k. k. Ak. d. Wiss. zu Wien. B. LXXXIV. 1. Abth. Juli-Heft 1881.)

* Der erste Bericht ist in diesem Jahrb. 1881. B. II. p. 342 u. 343 besprochen; er umfasst die Nummern 1—6; der zweite Bericht ist im vorangehenden Referat behandelt, ihm würde No. 7 zukommen, da der hier vorzuführende die Nummern 8—12 enthält. D. Referent.

8. Veramin, Teheran, Persien, gefallen April 1880.

Durch H. Baron Gödel-Lannoy ist ein Stückchen dieses in den Gärten des Schah aufbewahrten, ca. 20—25 Kgr. schweren Steins dem Verf. übergeben worden, der es der Sammlung des Hofmineraliencabinets einverleibt hat.

Der Meteorit gehört zu der Gruppe der Mesosiderite. Er ist dadurch besonders merkwürdig, dass er noch Rinde zeigt, die glanzlos, körnig, von dunkelgrauer bis brauner Farbe ist und an vielen Stellen mit Schmelzstriemen bedeckt erscheint. — Die meisten der Mesosiderite entbehren in den aufgefundenen Stücken der Schmelzrinde.

Auf dem frischen Bruche bemerkt man eine hochkrystallinische Grundmasse, in der namentlich zahlreiche Olivinkrystalle deutlich hervortreten, sonst stimmt der in Rede stehende Meteorit sehr genau mit dem von Newton Co. überein.

9. Duel Hill, Madison Co., North Carolina. U. S. N. A., gefunden 1873.

Nach Burton, der dieses Eisen bekannt machte, zeigt es undeutliche Widmanstädten'sche Figuren mit gesetzlos eingestreuten Schreibersiteinschlüssen. Ein vom Verf. untersuchtes Exemplar schliesst sich an das Eisen von Szlanicza (Arva) 1840 an und lässt in der Mitte der groben Kamacitplatten Einlagen, also im Durchschnitte Rippen von löcherigem Schreibersit erkennen. Bei der Ätzung bemerkt man auf den Kamaciten zuerst eine kleinkörnige Absonderung, sodann sehr deutlich einen orientirten Schimmer hervortreten. — Das Fülleisen kommt nicht sehr stark zur Entwickelung, da Zwischenfelder selten und mit Kämmen dicht erfüllt sind.

10. Lick Creek, Davidson Co., North Carolina U. S. N. A., gefunden 19. Juli 1879.

Über diesen Erfund ist bereits dies. Jahrb. 1881. B. II von uns berichtet und der daselbst durch einen Druckfehler irrig angegebene Autorname später, vergl. 1882. II. p. 332 in Hidden verbessert worden.

Das von Hidden abgebildete Stück gelangte in den Besitz des Hofmineralienkabinets. Man erkennt bei der Ätzung die von Neumann am Braunau-Eisen erforschten Linien, sonach gehört es dieser Gruppe an. Sehr eigenthümlich ist die lockere, poröse Beschaffenheit des Eisens an vielen Stellen, besonders in der Nachbarschaft einzelner in Magnetit verwandelter Partien; an diesen Stellen ist das Eisen nur schwer vor Rost zu bewahren.

Wie im Eisen von Cohahuila, kommt auch im vorstehend beschriebenen Troilit mit regelmässig eingelagertem Daubréelith vor. Sehr ausgezeichnet sind die Rhabdite entwickelt und messen 0,5—0,7 Mm. in der Breite bei 4 Mm. Länge.

11. Chulafinnee, Cleberne Co., Alabama U. S. N. A., gefunden 1873.

Einige Mittheilungen über dieses Eisen sind ebenfalls schon in diesem Jahrb. 1881. II. p. 180 enthalten.

An dem in das Wiener Hofmineraliencabinet gelangten Stück sind zunächst viele offene, in das Innere dringende Sprünge zu bemerken Brandrinde ist vielfach noch deutlich zu erkennen, an zwei Stellen zeigt sie auch schöne Schmelzstreifen, aus deren Verlauf gegen den Rand des Stücks hin die Flugrichtung erschlossen werden kann.

Bei der Ätzung zeigt sich das Eisen der Hauptmasse nach zu den schwer angreifbaren gehörig: der Kamacit lässt beim Beginn ersterer zunächst nur ein wirres fleckiges Geflimmer und erst später die sogenannten Feilhiebe erkennen. Eine einzige kleine Stelle der Platte wird dagegen sofort energisch angegriffen. — Die Widmanstädten'schen Figuren sind fein und von der Breite der Figuren des Eisens von Elbogen. — Die im Eingang erwähnten Sprünge gehen, wie bei der Ätzung hervortritt, verschiedenen Oktaëderlamellen parallel; ein Eindringen von Eisenglas in diese Klüfte findet aber nicht statt. Graphiteinschlüsse sind reichlich vorhanden, Troilit ist denselben nur sparsam beigemengt.

12. Natürliche Trennungsfläche an Bolson de Mapimi.

Verfasser beobachtete eine solche Trennungsfläche an dem Blocke des im vorangehenden Referat geschilderten Eisens. Die Theile waren noch durch die Reichenbach'schen Lamellen verbunden, die Eisenmäntel dagegen schon getrennt. Letztere zeigen eine mit den Neumann'schen Streifen zusammenhängende Fältelung. — Für die Beurtheilung der äusseren Form der Meteoriten sind solch angedeutete Kluftflächen, nach denen in späteren Stadien der Zusammenhalt völlig aufgehoben wird, von Interesse.

C. Klein.

Stan. Meunier: Détermination lithologique de la météorite d'Estherville, Emmet County, Jowa (10. Mai 1879). (C. R. T. XCIV. 1. Sem. 1882, p. 1659.)

Zum Zwecke der Einreihung dieses Meteoriten in die Sammlung des „Muséum" hat Verf. an demselben Studien vorgenommen, die ihn zu der Ansicht führten, besagter Meteorit gehöre dem von ihm aufgestellten Typus der Logronite zu, welchem er, ausser dem Meteoriten von Logrono, Spanien, gef. 4. Juli 1842, auch die bekannteren Massen von Sierra de Chaco zurechnet.

Auf den ersten Blick gibt sich diese Zugehörigkeit zwar nicht zu erkennen. Nach Verf. sollen aber die Eisentheile des in Rede stehenden Meteoriten, die mehr oder weniger kugelförmig gebildet sind, durch ein Gewebe feiner Metalladern mit einander verbunden sein und letztere in vieler Hinsicht recht eigentlich das Zusammenhaltende der Silicat-Bestandtheile darstellen.

Das hellere Ansehen des Meteoriten von Estherville gegenüber dem von Sierra de Chaco und Logrono wird durch die verschieden lange Einwirkung der Atmosphärilien erklärt.

Von in die Zusammensetzung des Estherviller Meteoriten eingehenden Mineralien und Verbindungen beobachtete der Verfasser: Olivin, Bronzit, Magnetkies, Schreibersit, Magneteisen, Nickeleisen. Ausserdem fand er

das von Smith (vergl. dies. Jahrb. 1881. I. p. 31 der Referate) als Peckhamit eingeführte Mineral wieder. Dasselbe wurde auch ähnlich im Meteoriten von Sierra de Chaco bemerkt. Eine nähere Untersuchung zeigte den Peckhamit aus Lamellen aufgebaut, die nicht gleichmässig auf das polarisirte Licht wirken. Mit Säuren behandelt, geben sich feine Lösungsstreifen zu erkennen. Aus diesen Gründen ist es nicht unwahrscheinlich, dass eine sehr feine lamellare Verwachsung von Bronzit und Olivin vorliegt und das neue Mineral kein selbstständiges ist. — Bei der Smith'schen Beschreibung ward namentlich schon von uns der Mangel einer Angabe des Verhaltens dieses Minerals gegen Säuren vermisst (l. c. pag. 31).

Das total verschiedene Ansehen der zu Estherville gefallenen Stücke: die einen fast rein metallisch, die anderen wesentlich aus Silicaten bestehend, noch andere von gemischter Zusammensetzung, gibt dem Verfasser zu der Vermuthung Veranlassung, es möchten hier, ähnlich wie bei seinen künstlichen Reproductionen, Verkittungen jener extremen Gebilde dadurch zu Stande gekommen sein, dass Metalldämpfe die Masse durchdrangen und dann innerhalb derselben condensirt wurden. **C. Klein.**

F. J. Wiik: Mineralogiska meddelanden VII. 30. Mikroskopisk undersökning af naagra paa universitetets mineralkabinett befintliga meteoriter. (Mineralogische Mittheilungen. 30. Mikroskopische Untersuchung einiger im Mineraliencabinet der Universität befindlichen Meteoriten.) (Finska Vet.-Soc. Förh. XXIV. 1882. 5 S.)

Wiik hat — veranlasst durch die bekannten Publicationen von Hahn — einige Chondrite (von Hessle, Pultusk, Chantonnay, Nellore) mikroskopisch untersucht und spricht sich — wohl in Übereinstimmung mit allen Fachgenossen — gegen die organische Natur der Chondren aus. Der sog. Meteorit* von Igast in Livland erwies sich zusammengesetzt aus grösseren Krystallen von Quarz (mit Flüssigkeitseinschlüssen), Orthoklas und Plagioklas und aus einer feinkörnigen durch Magnetit dunkel gefärbten Grundmasse. Ausserdem wurden kleine farblose säulenförmige Mikrolithe und in Reihen angeordnete Kryställchen beobachtet, welch letztere als Chlorammonium gedeutet werden. Bezüglich des Howardit von Luotolaks in Finnland bestätigt Wiik die Deutung von Arppe, dass nämlich ausser den metallischen Substanzen Anorthit, Augit (graulichviolett, schiefe Auslöschung, deutliche Spaltungsdurchgänge, Einschlüsse langgestreckter schwarzer Mikrolithe gleich denen im Diallag und Hypersthen) und Olivin (mit kleinen unregelmässig gestalteten Hohlräumen) vorhanden seien. Den Schluss bildet ein Verzeichniss der im Mineraliencabinet der Universität befindlichen Meteoriten: 13 Steine und 6 Eisen. Unter ersteren ist der Howardit von Luotolaks, ein Stück von 654.3 gr Gewicht bemerkenswerth.

E. Cohen.

* Obwohl der Stein von Igast in manchen Catalogen, z. B. in dem des British Museum von 1881 und dem des Muséum d'Histoire Naturelle von 1882 als Meteorit angeführt wird, so dürfte doch dessen meteorische Natur in hohem Grade zweifelhaft sein. D. Ref.

B. Geologie.

A. de Lapparent: Traité de Géologie. 1261 pg. 610 gravures dans le texte. Paris 1883.

Das vorliegende Werk, dessen letzte Lieferung gegen Ende 1882 ausgegeben wurde, bildet einen Band der unter dem Titel Cours complet d'histoire naturelle von der Verlagshandlung von Savy in Paris herausgegebenen Reihe von Handbüchern. Der Verfasser hebt zu Anfang seines Vorworts die auffallende Erscheinung hervor, dass Frankreich gegenüber anderen Ländern so wenige Lehr- und Handbücher der Geologie besitzt. Es schien ihm jetzt der Zeitpunkt gekommen, die Lücke auszufüllen. Es lag dabei nicht in seiner Absicht, irgend einer bestimmten Richtung der Geologie besonders Rechnung zu tragen, er wollte im Gegentheil möglichst objectiv das gewaltig angeschwollene Material in übersichtlicher Form zusammenstellen. Das ist ihm denn auch in ausgezeichneter Weise gelungen und wenn oft mit Recht den französischen Autoren (und ihnen nicht allein) der Vorwurf gemacht wird, dass sie sich um Alles nicht in ihrer Sprache geschriebene zu wenig kümmern, so finden wir hier im Gegentheil eine sehr sorgfältige Berücksichtigung der geologischen Litteratur überhaupt. Freilich war das bei dem langjährigen Mitherausgeber der Revue de géologie nicht anders zu erwarten.

Dieser unbestritten grosse Vorzug des Werkes schliesst nun nothwendiger Weise den Nachtheil in sich, dass bei der Auswahl des Stoffes und der Kritik desselben hier und da etwas zu liberal verfahren werden musste. Diese Klippe ist aber heutigen Tages bei einem Werk über alle Theile der Geologie überhaupt kaum zu umgehen, da keiner, auch nicht der universellste Kopf, Alles beherrschen kann.

Wir geben im folgenden kurz die Anordnung des Stoffes:

I. Theil. Erscheinungen der Gegenwart.

Erstes Buch. Morphologie terrestre.

Behandelt in 2 Abschnitten und 6 Capiteln (30—133), betitelt Morphologie proprement dite und Physiographie, Gestalt und Dimensionen der Erde, überhaupt die Haupteigenschaften des Erdsphäroides, Vertheilung von Land und Wasser, Relief der Oberfläche des Landes und des Meeresgrundes u. s. w., Temperaturverhältnisse der Erdoberfläche und des Meeres, Erdmagnetismus, Vertheilung der Organismen auf dem Lande und im Wasser.

Zweites Buch. Dynamique terrestre externe.

1. Abschnitt. 5. Capitel (134—307). Thätigkeit der Atmosphäre, des Meeres, der Strömungen, Circulation des Wassers, Thätigkeit des Eises.

2. Abschnitt. 2. Capitel (308—323). Chemische Vorgänge im salzigen und süssen Wasser.

3. Abschnitt. 2. Capitel (324—341). Thätigkeit der Land- und Meeresorganismen.

Drittes Buch. Dynamique terrestre interne.

1. Abschnitt. 2. Capitel (366—390). Geothermische Verhältnisse und warme Mineralquellen.

2. Abschnitt. 2. Capitel (391—472). Vulkanismus.

3. Abschnitt. 2. Capitel (473—495). Solfataren, Geysirs, heisse Quellen, Salsen und Moffetten.

4. Abschnitt. 2. Capitel (496—529). Erdbeben und sog. säculare Veränderungen der Erdoberfläche.

II. Theil. Eigentliche Geologie.

Erstes Buch. Zusammensetzung der Erdrinde.

1. Abschnitt (530—611). „Eléments des formations d'origine interne.“ Enthält die Grundzüge der Petrographie, soweit es sich um eruptive Bildungen handelt. Diese theilt der Verfasser in roches acides, roches neutres und roches basiques. Mikro- und makroskopische Verhältnisse werden berücksichtigt. Ein Anhang ist den Meteoriten gewidmet.

2. Abschnitt (612—641). Ursprüngliche Erdrinde oder Primärbildungen. Darstellung des Grundgebirges.

Zweites Buch. Description des formations d'origine externe ou sédimentaire (642—1115).

Dieser in 5 Abschnitte zerfallende Theil enthält die Lehre von den Sedimentformationen. Hier wird der Leser, dem nicht eine umfängliche Litteratur zur Verfügung steht, ausserordentlich viel Belehrung schöpfen. Gerade in Frankreich ist in der Untersuchung der Sedimentärformationen sehr viel geschehen, eine Zusammenfassung fehlte aber. Indem der Verfasser die Gegenden, in denen eine Formation besonders entwickelt ist, getrennt behandelt, Profile, Tabellen u. s. w. mittheilt, giebt er eine Zusammenstellung, in welcher man unmittelbar auf die Quellen zurückgeführt wird.

Drittes Buch. Formations d'origine interne ou éruptives.

1. Abschnitt (1116—1166). Enthält allgemeines über die Eruptivbildungen (Bestimmung des Alters u. s. w.), sowie die geographische Verbreitung derselben mit Anführung zahlreicher Beispiele.

2. Abschnitt (1166—1192). Erzlagerstätten.

Viertes Buch.

1. Abschnitt (1193—1238). Störungen der Erdrinde. Enthält zahlreiche Beispiele des Aufbau's der Gebirge.

2. Abschnitt (1239—1259). Geogenetische Theorien.

Diese Übersicht mag eine Vorstellung des vom Verfasser verfolgten Gedankenganges bei Anordnung des Stoffes geben, zugleich erhellt aus der-

selben die Reichhaltigkeit des Inhaltes. Wir zweifeln nicht, dass das Werk in weiten Kreisen belehren und anregen wird, um so mehr, als es den Vorzug vieler französischer Bücher, den der Billigkeit hat. Ein Buch von 1200 Seiten und mit 600 Abbildungen würde bei uns kaum für 24 Fr. hergestellt werden. Benecke.

A. Geikie: Text-Book of Geologie. With illustrations. 928 pp. London. 1882. 8°.

Im Gegensatz zu Frankreich ist England reich an allgemeineren Werken geologischen Inhaltes. De la Bèche und Lyell sind auf dem Continent beinahe so gut gekannt, wie in England. Woodward's Geology of England and Wales erschien 1876, Ramsay's physical geology and geography of great Britain erlebte 1878 die zweite Auflage, einer Anzahl anderer Arbeiten aus neuerer Zeit nicht zu gedenken. Wenn nun noch Geikie mit einem immerhin umfänglichen Werk hinzutritt, so liefert das einen neuen Beweis von dem ungemein regen Antheil, den in England weitere Kreise der Geologie entgegenbringen. Würden wir den auf den vorigen Seiten besprochenen Traité von Lapparent als ein Handbuch bezeichnen müssen, so will Geikie ausgesprochener Maassen ein Lehrbuch liefern. Seine Vorträge an der Universität zu Edinburgh und der bei denselben erzielte Erfolg waren die nächste Veranlassung zur Abfassung des Werkes. Als ein bestimmtes in der Vorrede hervorgehobenes Ziel wird bezeichnet, ausserenglischen, continentalen und besonders amerikanischen Verhältnissen mehr Rechnung zu tragen, als das in der Regel seitens englischer Autoren — apt to be somewhat insular in their conceptions nennt sie der Verfasser — geschieht. In der That gewinnt das Buch dadurch eine viel allgemeinere Bedeutung, dass neben den nahe liegenden englischen Beispiele herbeigezogen werden, wie sie die sonst für den Geologen so klassische Insel nicht bietet, also den Alpen, dem Westen Amerikas oder den Steppen Asiens entlehnte.

Wir müssen uns mit einer kurzen Angabe der behandelten Gebiete, insbesondere der Reihenfolge derselben und des jedesmaligen Umfang's der einzelnen Abschnitte begnügen.

Erstes Buch. Kosmisches (7—29): Die Erde im Sonnensystem, Gestalt und Grösse der Erde, durch die Bewegung der Erde bedingte Erscheinungen (Stellung der Erde, Stabilität und Veränderlichkeit der Erdstellung, Anziehung durch Sonne und Mond, Klima).

Zweites Buch. Geognosie — Untersuchung des Materials, aus dem die Erde aufgebaut ist.

1. Theil. Allgemeine Beschreibung der Theile der Erde (30—56). Atmosphäre, Oceane, fester Theil, Oberfläche und Inneres der Erde, geothermische Verhältnisse, vermuthlicher Zustand des Erdinnern, Alter der Erde und geologisches Zeitmass.

2. Theil. Zusammensetzung der Erdrinde. Mineralien, Gesteine (56—194). Chemische Zusammensetzung der Erdrinde, gesteinsbildende Mineralien, makroskopische und mikroskopische Verhältnisse, Classification und Beschreibung der Gesteine (Eintheilung in krystallinische und klastische Ge-

steine). Ein besonderer Abschnitt behandelt die Methoden der Bestimmung der Gesteine, die bei derselben in Anwendung kommenden Hülfsmittel sowohl im Laboratorium wie im Felde.

Drittes Buch. Dynamische Geologie (195—473).

In diesem ausführlich und mit Vorliebe behandelten Theil werden in einem ersten Abschnitt Vulkanismus, Erdbeben, säculare Hebungen und Senkungen, Einflüsse „hypogener" Ursachen auf Veränderung der Textur, Structur und Zusammensetzung der Gesteine (hohe Temperatur, erhitztes Wasser, Druck, Metamorphismus), in einem zweiten die Luft und das Wasser (Eis) in ihren mannigfaltigen Einflüssen (chemisch, mechanisch, zerstörend, ablagernd u. s. w.) besprochen. Darstellung der zerstörenden, erhaltenden und neu bildenden Thätigkeit der Organismen macht den Schluss dieses Buches aus.

Viertes Buch. Geotektonik (474—602).

Form und Art des Vorkommens der Gesteine, geschichteter wie massiger, krystallinische Schiefergesteine als metamorphische Bildungen (Contact- und regionaler Metamorphismus), Erzlagerstätten, Discordanz.

Fünftes Buch. Paläontologische Geologie (603—630).

Bedingungen unter denen Versteinerungen gebildet werden, Versteinerungsmittel, Bedeutung der Versteinerungen für die Geologie (Altersbestimmung u. s. w.), Unvollständigkeit des geologischen Berichts, Beziehung der Paläontologie zur Evolutionstheorie, Kolonien.

Sechstes Buch. Stratigraphische Geologie (631—909).

In einer jeden Formation werden immer zunächst die allgemeinen Verhältnisse besprochen, dann eine Anzahl Beispiele des Vorkommens angeführt.

Siebentes Buch. Physiographische Geologie.

Gestalt der Erdoberfläche unter dem Einfluss geologischer Agentien.

Wäre der Umfang des vortrefflichen Buches ein etwas geringerer, so hätte es wohl unter allen ähnlichen Werken am meisten Aussicht, der englische „Credner" zu werden. **Benecke.**

W. C. Brögger: Die silurischen Etagen 2 und 3 im Kristianiagebiet und auf Eker, ihre Gliederung, Fossilien, Schichtenstörungen und Contactmetamorphosen. Universitätsprogramm für das 2. Semester 1882. Kristiania 1882. gr. 8° 376 S. XII Taf. und 1 Profil- und geol. Karte.

Für den paläontologisch-stratigraphischen Theil (S. 1—175) dieses inhaltsreichen, bereits im April 1882 erschienenen Buches müssen wir unsere Leser auf einen uns zugesagten und demnächst mitzutheilenden selbständigen Artikel des Herrn F. Schmidt in Petersburg vertrösten und beschränken uns daher auf einen kurzen Auszug aus denjenigen Kapiteln, welche die Geologie der eruptiven Massen im Silurbecken von Kristiania und ihre Beziehungen zu den Sedimenten behandeln.

Gewissermassen verknüpfend zwischen diesen und den paläontologisch-stratigraphischen Theil hat Verf. ein Kapitel eingeschoben, welches die La-

gerungsstörungen und die Erosion der zu den Etagen 2 und 3 gehörigen Schichten des Kristiania-Silurs zum Gegenstand hat. Ohne auf die Einzelheiten dieses interessanten Abschnittes, die ohne Kartenskizzen und Profile kaum mittheilbar wären, einzugehen, wollen wir nur hervorheben, dass die Untersuchungen Brögger's vielfach die zuletzt von Heim formulirten Anschauungen über dynamische Vorgänge bestätigen und dass die Erscheinungen (Faltungen, Faltenverwerfungen, Verschieburgen etc.) auf einen von NNW kommenden Druck weisen, von welchem ebensowohl das Grundgebirge, wie die sämmtlichen silurischen und ? devonischen Schichten erfasst wurden. In sehr durchsichtiger Darstellung wird das verschiedene Verhalten des Grundgebirges und des paläozoischen Schichtensystems, sowie jeder Schicht in dem letzteren gegenüber diesem Druck geschildert.

Wir wenden uns direkt zu demjenigen Theile des Buches, der den im Silurgebiet zwischen Mjösen und Langesundfjord auftretenden Eruptivmassen gewidmet ist (S. 245—323), welche als Massive, Decken und Gänge geordnet werden. — Unter den stockartig auftretenden Eruptivgesteinen werden zwei Hauptgruppen unterschieden: I. Meist rothe, titanitführende Hornblendegranite, Syenite, Granitite und Glimmersyenite, welche, in 3 Hauptmassen (zwischen dem Südende des Mjösen und Kristiania, um Drammenfjord und Svelviksfjord und zwischen Eker und Skiensthal) gesondert, die Silurschichten in mehrere isolirte Fetzen trennen. Der Feldspath dieser Gesteine ist vorwiegend ein rother (auch gelber und selten grauer) Orthoklas, neben welchem Mikroklin und Plagioklas in wechselnder Menge erscheinen. Mikroklin wird stellenweise häufiger als Orthoklas. Hornblende (grün, seltener braun durchsichtig) und Glimmer (braun, seltener grün durchsichtig) sind stets in geringen und in wechselnden Mengen vorhanden. Der im Allgemeinen reichliche Quarz fehlt local nahezu ganz, ohne dass damit in der sonstigen Zusammensetzung des Gesteins ein Wechsel gesetzmässig verknüpft wäre. Trotz dieser wechselnden Zusammensetzung, wonach also das Gestein bald als Amphibolgranit, bald als Granitit, oder aber als Syenit und Glimmersyenit entwickelt ist, sind diese Vorkommnisse als geologische Einheit aufzufassen. Titanit, Apatit, Magnetit (resp. Ilmenit) sind in kleinen Quantitäten allverbreitet. Dagegen ist Zirkon makroskopisch nie, mikroskopisch im Ganzen selten in den Gesteinen wahrzunehmen. Für alle Vorkommnisse ist eine kleindrusige Structur mit eckiger Gestalt der kleinen Hohlräume, die zumal zwischen den Feldspathkrystallen liegen, in hohem Grade charakteristisch. In den Drusen finden sich stellenweise Krystalle von Hornblende, Epidot, Glimmer, Quarz, Orthoklas (gern mit Albit überrandet), selten Orthit und Titanit, einmal auch Zirkon, und als jüngere Ausfüllung Calcit und Fluorit. Auch Zeolithe, namentlich Harmotom, wurden darin manchmal wahrgenommen. — II. Graue zirkonführende Augit-Syenite und Eläolithsyenite. Über die Verbreitung, die Zusammensetzung und die gegenseitigen Beziehungen dieser von Hausmann als Zirkonsyenite in die Petrographie eingeführten, aber auch von ihm schon mit den rothen Syeniten und Graniten confundirten Gesteine herrschen so vielfach irrige und schiefe Auffassungen, dass

eine eingehendere Darlegung des Inhalts der auf diese Gesteine bezüglichen Kapitel nothwendig erscheint. Die Verwirrung rührt wesentlich davon her, dass man diese schönen Gesteine theils mit denen der ersten Gruppe, deren Titanit vielfach für Zirkon gehalten wurde, zusammenwarf, theils sie mit den durch ihren Mineralreichthum berühmten und daher vorzugsweise in den Handel gebrachten grobkörnigen gangartigen Massen verwechselte, welche nach Art der Pegmatitgänge in den Graniten, so hier in der Umgebung von Laurvig und Brevig etc. im Augitsyenit aufsetzen. Die Gruppe dieser grauen Augitsyenite und Eläolithsyenite (Verf. nennt die Gesteine Nephelinsyenite, behält aber für den namengebenden Gemengtheil die Bezeichnung Eläolith fast ausschliesslich bei *), beschränkt sich in ihrem Vorkommen wesentlich auf einen ziemlich schmalen Küstensaum zwischen dem Kristianiafjord und dem Langesundfjord, der nach N hin etwa von einer Linie Bollärene, Nötterö-Tönsberg, Säm, Sörby, Kodals Kirche, Gogsjö, Odberg im Lougenthal, Farrisvand, Stemdal bis in die Gegend zwischen Porsgrund und Skien begrenzt wird, welche dann von hier über den Eidangerfjord und die Inseln des Langesundfjord nach S verlaufen würde. Vereinzelte Vorkommnisse treten auch ausserhalb dieser Grenzlinie auf, so in Narefjeld, Skrimfjeld südl. von Kongsberg, Kirchspiel Tuft nahe der Brücke über den Lougen, zwischen Holmestrand und Kongsberg u. s. w. In diesem Gebiete herrscht das als Augitsyenit bezeichnete Gestein bedeutend vor gegenüber dem Eläolithsyenit; dasselbe besteht zum weitaus grössten Theile aus einem als Natronorthoklas, resp. Natronmikroklin bezeichneten Feldspathe, neben welchem ein Plagioklas nur selten und spärlich vorkommt, aus Diallag (selten Aegirin), Biotit, arfvedsonitartigem Amphibol, Olivin, Magnetit, Apatit und Zirkon, der nur selten in einiger Menge auftritt. Die Structur ist eine eigenthümlich porphyrartige bei typischer Ausbildung, indem nämlich dicht gedrängte Krystalle von Feldspath mit der Begrenzung durch T, l und y, also mit rhombischen und rhomboidischen Spaltflächen wie in den Rhombenporphyren, von einer kleinkörnigen Grundmasse von Feldspath und den übrigen Gemengtheilen verkittet werden. Selten wird die Structur regellos körnig. Der im frischen Zustand perlgraue, selten dunkelgraue, bei Verwitterung röthliche Feldspath, ausgezeichnet durch einen blauen, auf k (100) austretenden Lichtschein, lässt wegen nicht vollständigem Parallelismus der Flächentheilchen auf den Hauptspaltflächen den Winkel P: M nicht vollkommen genau bestimmen. Doch scheint dieser nicht von 90° abzuweichen, wenn aber, dann ist die Abweichung sehr klein, etwa wie bei Mikroklin. Im Schnitte nach P und aus der Zone P : k ist die Auslöschung gerade, auf M, soweit sie genau feststellbar war, 10°—11°, wie schon Des Cloizeaux fand. Das Verhalten des Feldspaths ist demnach das eines mono-

* Bekanntlich braucht auch v. Wervecke u. A. die Bezeichnung Nephelinsyenit; solange man aber den orthotomen Feldspath der Granite Orthoklas, den der Trachyte und Liparite Sanidin nennt, wird man auch, und mit Recht, zwischen Eläolith und Nephelin unterscheiden, und da kann man doch nicht ein Gestein, welches Eläolith enthält, nach dem Nephelin nennen. Ref.

klinen Feldspathes und dieses Verhalten ist das bei weitem verbreitetste. In einigen Vorkommnissen aber (Leuchtthurm von Svenör und Madhullet bei Frederiksvärn, Stadt Laurvik, Ono bei Farrisvand, Nötterö bei Tönsberg, Skudesundsskjär bei Barkevik, Skrimfjeld bei Kongsberg und in einigen Eläolith-Syeniten verhält sich der Feldspath der Augitsyenite, bei unveränderter krystallographischer Ausbildung in Habitus und Winkeln, optisch wie ein trikliner Feldspath, und zwar genau wie derjenige der Rhombenporphyre. Der sich monosymmetrisch verhaltende Feldspath des Augitsyenit von Byskoven bei Laurvik (vom Verf. Natronorthoklas genannt) wurde von Kjerulf analysirt und ergab die Zusammensetzung I, der sich asymmetrisch verhaltende, sonst ganz gleiche, vom Verf. als Natronmikroklin bezeichnete Feldspath ergab bei der Analyse durch J. Vogt* die Zusammensetzung II.

	SiO_2	Al_2O_3	Fe_2O_3	CaO	MgO	K_2O	Na_2O	Sa.	sp. G.
I.	62.42	22.68	0.58	3.23	0.22	4.42	6.48	100.03	2.623
II.	61.35	22.37	Spur	4.66	0.04	4.97	6.59	99.98	2.63.

Das wäre die Zusammensetzung eines durch seinen Gehalt an K_2O und sein niedriges sp. G. auffallenden Oligoklases, und dabei wäre ein chemischer Unterschied zwischen diesem Natronorthoklas und Natronmikroklin nicht vorhanden. Als Einschlüsse enthält der Feldspath alle mit ihm vorkommenden Gesteinsgemengtheile, aber im Ganzen spärlich, ferner langnadelförmige schwarze bis braune Mikrolithe. — Nächst dem Feldspath ist der Diallag der häufigste Gemengtheil (cf. Phys. d. mass. Gest. pg. 118, wo das Vorkommen dieses Gesteins irrthümlich als ein gangförmiges bezeichnet ist); er findet sich bei Lillegarden unfern Porsgrund regelmässig verwachsen mit Aegirin, der auch selbständig vorkommt und in Skudesundsskjär bei Barkevik den Diallag verdrängt. — Der Arfvedsonit, der bei brauner Farbe im durchfallenden Lichte auf $\infty P\bar{\infty}$ eine 15° nicht übersteigende, bei grüner Farbe eine darüber hinausgehende Auslöschungsschiefe hat, sowie der Biotit (sehr oft den Magnetit in radialgestellten Blättchen umrandend) kommen neben Diallag und mit diesem in regelmässiger Verwachsung vor. — Der Olivin bildet unregelmässige Körner. Der Magnetit, der oft schon makroskopisch erkennbar ist und gut nach O spaltet, ergab bei der Analyse 15.2 % TiO_2. Der Zirkon ist nur bei Sundsasen reichlich, sonst nicht regelmässig vorhanden und makroskopisch sogar selten. Titanit fehlt den typischen Varietäten ganz, kommt in kleinen Krystallen der Form $\frac{3}{3}P\dot{2}.P\bar{\infty}$ bei Madhullet, Frederiksvärn, vor. Accessorisch sind endlich Eläolith und Sodalith in schon makroskopisch erkennbaren Körnern weit verbreitet; doch ist ihre Menge gering. Der Eläolith, meist etwas röthlich gefärbt, zeigt oft Krystallbegrenzung nach einigen Richtungen, spaltet nach ∞P recht gut und enthält seine Interposition gern nach diesen Flächen geordnet. Der farblose bis graue Sodalith zeigt keine Krystallbegrenzung, spaltet gut

* Nach Aussage des Analytikers ist wahrscheinlich der Gehalt an SiO_2 zu niedrig, der an Na_2O zu hoch ausgefallen.

nach ∞O und zersetzt sich leichter als Eläolith unter Zeolithbildung, seltener unter Aufnahme von Carbonaten. Nirgends zeigen die Augit-Syenite und ebensowenig die Eläolith-Syenite die kleindrusige Structur der Gesteine der Gruppe I. — Feinkörnige Varietäten nehmen granitisch körnige Structur an und treten theils gangförmig, theils in grössern Partieen im normalen Augit-Syenit auf; sie zeigen vielfach die Neigung in Eläolith-Syenite überzugehen.

Innerhalb des Gebietes des eläolithführenden, seltener wohl ganz eläolithfreien Augitsyenits tritt zwischen dem Lougenthal und Farrisvand auf einer Strecke von Lunde-Ono im S bis Kvelle Kirche im N der Eläolithsyenit auf und bildet hier im südlichen Theil der Region zwischen Lunde, Bjerke, Delsand und Ono eine compakte über 15 □km sich erstreckende Masse. Ausserhalb des genannten Gebietes kommt Eläolith-Syenit nur sehr spärlich, z. B. auf Bratholmen im Langesundfjord vor. Die Ausbildung der Eläolith-Syenite wechselt nach Korn, Structur und Zusammensetzung mehr, als das bei den Augit-Syeniten der Fall ist, doch unterscheidet sich die Hauptmasse derselben vom Augit-Syenit wesentlich nur durch den Reichthum an Eläolith und Sodalith, durch die grössere Häufigkeit von Titanit, sowie vielleicht durch Fehlen des Arfvedsonit und vielleicht des Zirkon, der indessen in andern Varietäten schon makroskopisch wahrnehmbar ist. — In einem grobkörnigen Eläolith-Syenit von Bjerke zeigen Eläolith und Sodalith (beide reich an Fluidaleinschlüssen in der Form des Wirthes) deutliche Krystallform. — Feinkörnige, durch ihren Reichthum an Titanit ausgezeichnete Gesteine dieser Gruppe finden sich bei Brathagen, Gjona und Kvelle. Der Feldspath derselben ist in Karlsbader Zwillingen mit M (nicht k, wie im normalen Gestein) als Verwachsungsfläche ausgebildet und hat daher auch Leistenform; er ist nach seinem optischen Verhalten ganz oder nahezu ausschliesslich Natronmikroklin. — Im Gestein von Bratholmen, feinkörnig granitisch, ist der Feldspath Natronorthoklas; statt des Aegirin tritt reichlich Arfvedsonit ein und Sodalith ist nur spärlich neben viel Eläolith vorhanden.

Was nun die Beziehungen zwischen den nach Structur und Zusammensetzung so nahe verwandten Augit-Syeniten und Eläolith-Syeniten anbetrifft, so gehen sie z. Th. geradezu direkt in einander über, indem bei dem Augit-Syenit zumal peripherisch eine Anreicherung an Eläolith und Sodalith stattfindet. Jedoch kommt andererseits den oben erwähnten Vorkommnissen des Eläolithsyenits zweifellos eine geologische Selbständigkeit zu, indem z. B. der grobkörnige Eläolithsyenit zwischen Farrisvand und Lougenthal nach der dem Verf. wahrscheinlichsten Annahme den noch nicht ganz erstarrten Augitsyenit durchbrach, während die feinkörnigen Eläolithsyenite von Brathagen-Gjona etc. den grobkörnigen Eläolithsyenit, derjenige von Bratholmen im Langesundfjord den eläolithführenden Augitsyenit als mächtige Gangmassen in gewöhnlicher Weise durchsetzen.

Die im Silurgebiet in gewaltigen Massen und über weite Strecken ausgedehnten Deckengesteine werden von Kjerulf als Quarzporphyre, Augitporphyre und Feldspathporphyre unterschieden. Von diesen stehen durch

ihre Zusammensetzung die sog. Quarzporphyre den rothen Graniten sehr nahe und sind wohl nur holokrystalline porphyrische Ausbildungen dieser. Die Augitporphyre sind grösstentheils Olivindiabase, resp. Melaphyre. — Die Feldspathporphyre, deren Feldspath z. gr. Th. Natronorthoklas oder öfter Natronmikroklin ist, werden nach Verf. z. gr. Th. als porphyrische Augitsyenite zu betrachten sein.

Bei den im Silurgebiet aufsetzenden Ganggesteinen werden wiederum zwei Gruppen unterschieden, je nachdem sie sich nach Habitus und Zusammensetzung an die stockförmigen rothen Granite und die deckenförmigen Quarzporphyre oder aber an die stockförmigen grauen Augitsyenite und die deckenförmigen Feldspathporphyre anlehnen. Aus der ersten Abtheilung der Ganggesteine werden der porphyrartige Glimmersyenit und seine Abarten von Bygdö, Killingen, Huk, Väkkerö und manchen anderen Lokalitäten (Analyse von Kjerulf, cf. Roth Gesteinsanalysen 1861, pg. 17, No. 4), sowie die dichten bis porphyrartigen, im Kristiania-Gebiete sehr verbreiteten, früher als Eurit, quarzfreier Felsitporphyr benannten Vorkommnisse (Pipersviksbakken, Oslo am Ekeberg, Enerhougen etc.) beschrieben. — Unter den sich an die grauen Augitsyenite anlehnenden Ganggesteinen findet zunächst der Rhombenporphyr von Tyveholmen eingehende Besprechung. Von L. von Buch wurde der Name Rhombenporphyr zuerst auf gewisse deckenförmige „Feldspathporphyre“ des südlichen Norwegens angewandt (dahin gehören die aus der mikroskopisch-petrographischen Literatur bekannten Gesteine von Skoumsås, Strömstad, Bärum, Tönsberg, Ringeriket, Holmestrand und ein vom Ref., Physiogr., II, pg. 134, als von Tyveholmen stammend, beschriebenes Gestein, dessen Fundort nach Verfassers Ansicht nicht richtig sein kann. Kjerulf hat namentlich in seinen späteren Arbeiten den Namen Rhombenporphyr für ein Gestein gebraucht, das in mächtigen Gängen im Kristiania-Gebiet auftritt und als dessen Typus das Vorkommen von Tyveholmen-* Vettakollen anzusehen wäre. Diesem Typus gehören an aus der vorliegenden Literatur das vom Ref. beschriebene Gestein von „Kristiania“, das von Törnebohm beschriebene von Tyveholmen und die von Mügge besprochenen von Tyveholmen, Lille Frogner und Vettakollen. Gänge desselben Gesteins finden sich am Abhange des Ekebergs bei Kverner, auf den Inseln des Bundefjords, in den Kirchspielen Asker und Röken. Die im frischen Zustande tiefviolettgrauen Gesteine werden bei Verwitterung röthlich; schon für das blosse Auge holokrystallin wird das Gestein der mächtigen Gänge gegen die Salbänder hin dicht, oft pechsteinartig und arm oder frei von Einsprenglingen. Die Feldspathe dieser Gesteine zeigten dem Verf. dieselben Eigenschaften, wie sie auch Mügge fand; die wechselnden und für Feldspath zu grossen Werthe des Winkels T : l erklärt Ref. durch unvollkommene Ausbildung der zumal nach der Peripherie der Vorkommnisse hin immer spitzer werdenden und sich zu kaulquabbenähnlichen Formen verzerrenden

---

* Das Gestein von Tyveholmen breitet sich indessen auch deckenartig über die Schichtköpfe von Etage 4 aus und wird von Gängen von Diabas, ebenso wie die Schichten, durchsetzt.

Krystalle. Die Deutung der goniometrischen ($P : M = 90^0$ oder doch nur wenig davon in gewissen Fällen abweichend), sowie der optischen Beobachtungen (auf oP Auslöschungsschiefe $= 0^0$ oder bei sehr feiner Zwillingslamellirung $= 1^0$—2^0, auf Schnitten senkrecht zu P und $M = 0^0$, resp. 22.5^0 oder Zwischenwerthe, auf $M = 5\frac{1}{2}$—$6\frac{1}{2}{}^0$, bei Mügge 3^0) ist indessen bei Brögger eine durchaus andere. Indem er mit der von Mügge publicirten Analyse Fischer's eine solche von Kjerulf vergleicht, welche mit demselben Material (Krystalle aus dem Gange von Lille Frogner) angestellt wurde und

$Si O_2$	=	58.18
$Al_2 O_3$	=	22.89
$Fe_2 O_3$	=	4.58
$Ca O$	=	4.61
$Mg O$	=	0.71
$K_2 O$	=	4.17
$Na_2 O$	=	2.97
$H_2 O$	=	0.96
		99.07

ergab, kommt er zu dem Schlusse, dass hier ein eigener Feldspath vorliege, den er bei monosymmetrischem Verhalten Natronorthoklas, bei asymmetrischem Natronmikroklin nennt und knüpft daran die Entwicklung seiner eigenen Anschauungen über die Beziehungen der Feldspathe zu einander. Da die Oligoklas-Natur dieser Feldspathe in den Augit-Syenit- und Rhombenporphyren chemisch wohl nicht zu bestreiten ist, so lässt sich die Brögger'sche Auffassung kurz dahin formuliren, dass auch die Oligoklas-Mischung bei gewissem Gehalt an $K_2 Al_2 Si_6 O_{16}$ mit den Eigenschaften des Orthoklas und mit denen des Mikroklin krystallisiren könne. Das Vorhandensein derartiger Feldspathe scheint ihm auch in anderen Gesteinen, Augit-Syenit des Monzoni, Ditroit, Foyait von Portugal etc. nicht unwahrscheinlich. Er glaubt nun, dass man die Gesteine mit solchen Feldspathen ebensowenig von den Orthoklas-Gesteinen trennen solle, wie man das bei Mikroklin-reichen Gesteinen thue und betrachtet daher die besprochenen Rhombenporphyre als holokrystalline Augitsyenitporphyre, wie das auch Ref. gethan hatte. Auf die bei dieser Gelegenheit entwickelte Ansicht des Verf. über die Feldspathgruppe wird es angemessen sein, an anderer Stelle zurückzukommen. — Zu den porphyrischen Äquivalenten der Augitsyenite zählt Verf. dann auch die in mächtigen Decken über den unteren Silurschichten ausgebreiteten, von ihm als Närsnäsporphyr bezeichneten Vorkommnisse von den Hövikscheeren, Ramtonholmen, Mobergholmen und von Närsnäs im Kirchspiel Röken und ein durch gelbe Feldspatheinsprenglinge charakterisirtes, dunkelchokoladefarbiges Gestein, welches am Wege von Skien nach Slemdal am See Heivandet gangförmig den Granitit durchbrechendes Gestein. Die Grundmasse hat aber hier nicht, wie bei den echten Rhombenporphyren diabasähnliche, sondern granitisch körnige Struktur, wie das auch bei Einschlüssen von Rhombenporphyr im Granit von Tonsenås (Mügge beschrieb einen solchen) der Fall ist. Das Gestein von Heivandet enthält

übrigens weder Augit noch Olivin. — Zum Schluss wird eine Anzahl der in grosser Menge auftretenden, jüngsten Grünsteingänge des Silurterrains beschrieben, die zum grossen Theil Diabase, resp. Proterobase sind.

Für die Altersfolge der in grossen Massen als Stöcke und Gänge auftretenden Eruptivgesteine stellt Verf. zum grossen Theil nach Kjerulf's Vorgang in aufsteigender Reihe folgendes Schema als das höchst wahrscheinlich richtige fest: 1) Quarzporphyr, 2) „Augitporphyr" (porphyrartige Olivindiabase), 3) Augitsyenite, 4) Eläolithsyenite, 5) rothe, titanitführende Hornblendegranite, Granitite, Syenite etc., 6) „Feldspathporphyre" (porphyrartige Augitsyenite). Für die Gänge ist diese Altersfolge nicht eine so absolute, sondern hier scheinen Ausnahmen vorzukommen. Da aber die jedenfalls ältesten Eruptiva, die Quarzporphyrdecken, über die gefalteten Silurschichten ausgebreitet sind, so sind sämmtliche genannte Eruptiva nicht nur jünger, als die Silurschichten, sondern auch jünger als der Akt ihrer Faltung.

Der letzte Abschnitt (S. 324—372) beschäftigt sich mit der Untersuchung der Veränderungen, welche die Silurschichten der Etage 2 und 3 im Contact mit den eruptiven Stöcken erfahren haben. Dabei fanden die vom Ref. gelegentlich seiner Studien über die gleichen Phänomene am Steigerschiefer der Vogesen und verwandter Vorkommnisse aufgestellten wichtigsten Sätze eine neue Bestätigung. So erwiesen sich auch hier die Contactproducte unabhängig vom Eruptivgestein (sie sind die gleichen am Langesundfjord, bei Eker und Sandvär und bei Kristiania, so lange die Schicht dieselbe bleibt), aber bedingt durch die stoffliche Natur des der Metamorphose unterworfenen Sediments. Die Intensität der Metamorphose nimmt innerhalb jeder Schicht mit Annäherung an das Eruptivgestein zu, aber wegen der jedem Sediment anhaftenden verschiedenen Veränderungsfähigkeit in sehr verschiedenem Grade*. Nirgends findet eine Verschmelzung von Eruptivgestein und Sediment statt; die Grenze zwischen beiden bleibt scharf. — Auch die Contactproducte erwiesen sich in Norwegen analog denen an anderen Localitäten und Schieferhornfelse und Kalksilikathornfelse zeigen vielfach dieselben Charaktere, wie in anderen Contactzonen. Eine der wichtigsten und interessantesten unter den neuen von Brögger an den von ihm untersuchten Contactbildungen festgestellten Thatsachen ist die Häufigkeit der Feldspath- und zwar vorherrschend, wenn nicht ausschliesslich der Plagioklasbildung; so finden sich Plagioklase in den Kalksilikathornfelsen der Stinkkalkellipsoide der Alaunschiefer und anderer Etagen, in den Schieferhornfelsen des Ceratopygenkalkes, 3a γ, des Expansusschiefers 3c β

* Wie sehr sich diese verschiedene Qualification eines Sedimentes zur Metamorphose auch bei den regionalmetamorphen Processen bemerkbar macht, dafür citirt Verf. mit Recht die schon 1875 und 1877 von ihm festgestellte Thatsache, dass der ganz besonders veränderungsunfähige Dictyograptus-Schiefer sich auch in der ungeheuren regionalmetamorphen Hochgebirgsformation Norwegens bei Hulberget allein fossilführend und beinahe unverändert unter dem Blauquarz, den Phylliten und der ganzen Serie der metamorphen krystallinen Schiefer wiederfindet.

und des Ogygiaschiefers 4a α. Sonst sind die Mineralien der Schieferhornfelse und Knotenschiefer, wie an anderen Orten, Magnesia- und Kaliglimmer und Chiastolith in erster Linie, die der Kalksilikathornfelse sind Granat, Vesuvian, Wollastonit, Malakolith, Aktinolith, Titanit u. a. m.; auch hier findet sich neben der Bildung von Kalksilikathornfelsen diejenige von körnigen Kalken mit mehr oder weniger Silikateinsprenglingen. — Das grosse Verdienst des Verf.'s ist es, die Contactmetamorphose nicht nur in grossen Zügen, sondern an jeder Schicht der so mannichfachen Sedimente verfolgt zu haben, die ihm vorlagen. Ref. muss es sich leider versagen, auf das reiche Detail dieses Theiles einzugehen und hebt nur noch einen für das metamorphe Silur des Kristiania-Gebietes so charakteristischen Punkt, nämlich die Häufigkeit der Fossilerhaltung, hervor. Allerdings sagt Verf., dass die Zerstörung der fossilen Reste bei den Contactmetamorphosen die Regel sei, ihre Erhaltung eine Ausnahme, aber eine häufige. Sie fand nach seiner Auffassung vorzüglich dann statt, wenn die Substanz der Fossilien ungewöhnlich erhaltungsfähig war (Graptolithen der Alaunschiefer), oder wenn die Schalen derselben schon vor der Metamorphose, resp. bei dieser von Mineralsubstanz verdrängt wurde (verkieste Trilobiten im Alaunschiefer, verkalkte Trilobiten im Expansusschiefer, Orthocerasschalen im Orthocerenkalk), oder endlich, wenn Hohlräume der Fossilien mit erhaltungsfähiger Mineralsubstanz vor oder bei der Contactmetamorphose erfüllt wurden, wie durch Pyrit bei den Graptolithen des Phyllograptusschiefers, durch Kalksilikate und zum Theil durch Magnetkies bei den Trilobiten und Brachiopoden der Expansusschiefer. — Der ganze Vorgang der Contactmetamorphose wird auch hier vorwiegend als eine molekulare Umlagerung im Sediment ohne wesentliche Zufuhr von Stoffen angesehen, wenn man von Einzelfällen (Bildung der Kalksilikathornfelse, Zufuhr von Pyrit in manchen Alaunschiefern, vielfach von TiO_2 etc.) absieht. **H. Rosenbusch.**

C. Dölter: Die Vulkane der Capverden und ihre Produkte. Mit 3 lithogr. Taf., einer geolog. Karte und 4 Profiltafeln in Holzschnitt. 8°. 171 S. Graz 1882.

Verf. hat sich die Aufgabe gestellt, den kleinen Archipel der Inseln des grünen Vorgebirges geologisch und petrographisch zu durchforschen und theilt die Resultate seiner Untersuchungen auf den Inseln* S. Antâo, S. Vicente, S. Thiago und Mayo mit. Das Buch zerfällt in einen topographisch-geologischen Theil (p. 3—63) und einen petrographisch-mineralogischen (p. 67—171). Die Darstellung in dem ersten Theile leidet sehr

---

* Leider sind eine Anzahl von geographischen Bezeichnungen im Text und auf den Karten unrichtig geschrieben. So lese man Antâo statt Antao, Vicente statt Vincent, Ponta do Sol st. Punto do Sol, Ribeira do Paul st. Ribeira da Paule, Povoaçâo st. Povaçao, Alta mira st. Alto mira, Valle dos Orgâos st. V. das Orgaos. Fast allgemein ist da (Genitiv des bestimmten Art. fem. gen.) statt der Präposition de und des Gen. masc. gen. do gesetzt worden.

unter dem Mangel guter und ausführlicher kartographischer Darstellungen, der sich auch dem Verf. bei seinen Studien in schlimmer Weise fühlbar machte. Es ist kaum möglich, der eingehenden topographischen Schilderung der interessanten Verhältnisse auf den Inseln S. Antâo und S. Thiago, welche Verf. giebt, zu folgen und Ref. muss sich begnügen, die hervorspringendsten Punkte aus der Darstellung des Verf. mitzutheilen. — Der Bau der Insel S. Antâo wird wesentlich beherrscht durch die sich bis zu 2253 m nach der englischen Seekarte (2100 m nach Dölter, 2075 m nach v. Barth) erhebende Kraterruine des Topo da Corôa, an welche sich in WNW.-Erstreckung ein langer Rücken anschliesst, auf dessen Ende der Cova-Krater (1586 m) aufsitzt. Auf diesem Rücken ist sehr bemerkenswerth die flach eingesenkte, elliptische Ebene (1 km lang, 2—3 km breit), der Chada lagoa mit ihren 30—50 kleinen, 3—12 m hohen Schlacken- und Lavakegeln, welche vielleicht als alter Kraterboden zu deuten ist. Spuren einer älteren Sedimentformation liess diese Insel nicht beobachten, ausser in Auswürflingen und Geröllen; von jüngsten Sedimenten fand sich in einer Ausdehnung von kaum 20 m an der Ponta do Sol eine 4 m mächtige Schicht marinen Kalksteins mit Resten von *Patella* und *Trochus*, die noch heute an der Küste leben. — Sehr einfach ist der Bau von S. Vicente, welches ein vulkanisches Ringgebirge darstellt, das aus zahlreichen, 1—10 m mächtigen Lavaströmen mit spärlichen und unbedeutenden Tuffschichten aufgebaut ist, die sich vom Ringwall mantelartig nach dem Meere senken und an den Steilabstürzen nach den tieferen centralen Theilen der Insel im Querschnitt von zahllosen Gangbildungen durchsetzt erscheinen. Die höchste Erhebung auf dem peripherischen Kraterwall bildet der Monte Verde mit 707 m, von ihm ab senkt sich die Umwallung nach S. und N. um etwa 100 m. Gegenüber dem bimssteinreichen S. Antâo ist S. Vicente sehr arm an losen Auswurfsmassen. Der alte Continent, auf welchem die vulkanischen Gebilde der Inselgruppe des grünen Vorgebirges ruhen, tritt auf S. Vicente in Form niedrigerer (3 m) und höherer (40—60 m) Kuppen in der Umgebung von S. Pedro hervor, die aus dem bekannten Foyait, aus syenitischen, dioritischen und diabasähnlichen alten Eruptivgesteinen bestehen und von den vulkanischen Massen bald gangförmig durchsetzt, bald stromartig überflossen werden. Ferner erscheinen zwischen dem Hafen von S. Vicente und der Salamassa-Bucht Spuren dieses alten Continentes in Form von Kalksteinschollen in den vulkanischen Gesteinen eingeschlossen. Vielfach an den Gehängen verbreitete jüngere Bildungen von Kalkstein und Kalktuff weisen auf eine Hebung der Vulkaninsel seit ihrer Entstehung hin. — Die Insel S. Thiago ist durch einen grossen kegelförmigen Vulkan, den Pico de Antonio (2254 m nach der Seekarte, 1357 m nach v. Barth, 1810 m nach Verf.) gebildet worden, der auf einer Hochebene (1530 m) aufsitzt, die möglicherweise als ein alter Kraterboden aufzufassen ist. Die Laven dieses Vulkans bedecken den ganzen Süden der Insel und dringen nach N. etwa 6—7 Meilen vor, ältere vulkanische Bildungen theils bedeckend, theils umfliessend, wie z. B. die Phonolithkuppen des Monte Gracioso und der Umgebungen von Praya. Nördlich vom Hauptvulkan bildete sich durch Ver-

legung des Eruptionspunktes ein Kesselthal, die Chada Falcâo, welches vielleicht analog dem Val di Bove am Ätna aufzufassen ist. Kleinere Nebenvulkane sind auf S. Thiago, wie auf S. Antâo und S. Vicente zahlreich vorhanden. Von dem älteren Untergrunde erscheinen auf S. Thiago, zwischen dem Charco- und dem Barca-Thal Schollen eines phyllitischen Gesteines und eines blauen Kalksteines, der vielfach in Marmor durch den Einfluss der basaltischen Laven umgeändert wurde. Neben diesen Sedimenten findet sich auch ein älteres, Foyaitartiges Massengestein. An jüngeren Schichten beobachtet man am Strande verbreitet die schon von Darwin (Vulkan-Inseln, 1. Kapitel) beschriebene Kalksteinschicht, welche jünger ist als die ältesten Laven des Pico de Antonio. An dem Contact mit den darüber hingeflossenen jüngeren Laven ist diese Kalksteinschicht bis auf 25 cm körnig und stellenweise grosskrystallinisch geworden. — Am deutlichsten und in zusammenhängenden, beträchtlichen Massen treten die Reste des alten Continentes, der die jungvulkanischen Bildungen trägt, auf der Insel Mayo auf, von welcher eine Kartenskizze im Massstab von 1 : 280 000 mitgetheilt wird. Die Gesteine dieses alten Massivs sind Gneisse und Schiefer, sowie Kalksteine in unverändertem und z. Th. in dolomitisch verändertem Zustande, und Foyaite und Diabase in bedeutenden Massiven zumal bei Figueira secca an der Ostküste. Rund um den centralen gebirgigen Theil der Insel erscheinen tertiäre Kalke nicht genau bestimmbaren Alters, unter denen an der Küste deckenartig ausgebreitete Basaltmassen erscheinen. Als ältestes Eruptivgestein der vulkanischen Periode wird der Phonolith genannt, während man nach Beschreibung und Karte das basaltische Liegende der Tertiärschichten als älteste Eruptionen anzunehmen geneigt wäre. Die Tertiärschichten sind um 15—30 m gehoben und manche der Eruptionen müssen submarin gewesen sein, da man auf der Höhe einzelner Ausbruchspunkte (Monte S. Antonio) dünne Kalkschichten mit tertiären oder recenten Fossilien antrifft.

Als das wichtigste Ergebniss dieser Untersuchungen ist wohl der Nachweis des alten Continentes zu betrachten, auf dem die Vulkangruppe der Inseln aufsitzt. Es ist sehr zu bedauern, dass man über die Beziehungen der einzelnen Inseln zu einander keinen Aufschluss, etwa durch Mittheilung der Meerestiefen zwischen den Inseln erhält.

Der petrographisch-mineralogische Theil des Buches beginnt mit einer Darlegung der vom Verf. benützten Untersuchungsmethoden und einer Prüfung ihrer Anwendbarkeit, sowie seiner Anschauungen über Classification und Bezeichnung von Gesteinen und wendet sich alsdann zu den Einzelbeschreibungen. Es gelangen dabei von den älteren Eruptivgesteinen Foyait, Syenit, Diorit und Diabas zur Besprechung. Eingehend wurde der grobkörnige Foyait SW. des Hafens von S. Vicente untersucht, welcher zu beinahe 80 % aus Orthoklas nebst etwas Plagioklas und Eläolith in gleichen Mengen besteht, während demnächst ein Pyroxen, in geringerer Menge auch Hornblende und Magnetit das Gestein zusammensetzen. In kleinen Drusenräumen wurde Analcim beobachtet. Titanit fehlt, ebenso fehlen die Mineralien der Hauyngruppe, da weder Chlor noch Schwefel-

säure nachgewiesen werden konnte. Verf. nennt den pyroxenischen Gemengtheil des Gesteins Augit (über seine optische Orientirung wird nichts gesagt), trotzdem eine Separatanalyse desselben (cf. unten) 8.70 % Na_2O ergab, was doch wohl nicht zulässig ist. Sehr zu bedauern ist es, dass Verf., trotzdem in anerkennenswerthester Weise die Gemengtheile der Gesteine mechanisch isolirt wurden, über das sp. G. derselben so sehr selten Mittheilung macht. — Weitere Eläolith-Gesteine von S. Thiago und Mayo liessen nach Auftreten und mineralogischer Zusammensetzung Eigenschaften wahrnehmen, welche in überraschender Weise an Verhältnisse der gleichen Gesteine in der Serra de Monchique erinnern.

Die Bauschanalyse des Gesteins ergab die unter I, der Feldspath die unter II (beide von Kertscher ausgeführt), der Pyroxen die unter III mitgetheilte Zusammensetzung.

	I	II	III	IV	V	VI	VII	VIII
SiO_2 . .	55.76	67.82	41.08	39.64	50.41	49.66	56.36	47.99
Al_2O_3 . .	21.61	16.99	9.11	16.98	29.00	21.19	27.01	13.30
Fe_2O_3 . .	1.65	1.03	17.18	6.61	—	4.91	0.17	11.32
FeO . .	4.09	—	15.99	9.31	—	5.37	—	10.39
CaO . .	2.26	0.19	6.09	10.58	13.41	6.78	8.57	5.14
MgO . .	0.74	—	2.29	6.65	—	2.59	—	6.16
K_2O . .	5.34	7.89	—	3.09	6.57	0.81	0.67	—
Na_2O . .	6.94	4.11	8.70	5.95		7.02	8.11	6.60
H_2O . .	3.49	1.75	—	1.32	0.61	1.32	—	—
Sa.	101.88	99.78	100.44	100.13	100.00	99.65	100.89	100.90

Als Diabase werden dunkle, mehr oder weniger grosskörnige, sehr augitreiche Gesteine aus dem Gebiet SW des Hafens von S. Vicente beschrieben. Der in Körnern auftretende, nelkenbraun oder rosa durchsichtige Augit enthält Einschlüsse von Magnetit und Apatit und bildet gern Zwillinge; als Vertreter desselben erscheint lichtbraune Hornblende und häufig brauner Glimmer. Der Feldspath erscheint in rektangulären oder länglich hexagonalen, gut auskrystallisirten Individuen, wird nach seiner Auslöschungsschiefe für Anorthit gehalten, soll aber wegen erkennbar verschiedenem sp. G. der einzelnen Körner eher mehreren Mischungsverhältnissen angehören, erwies sich in allen untersuchten Körnern als leicht durch HCl zersetzbar, das sp. G. bewegte sich um 2.7; er bildet etwa 55—60 % des Gesteins und hat die unter V mitgetheilte Zusammensetzung, in welcher die Alkalien aus der Differenz bestimmt wurden. Olivinkörner sind in frischem Erhaltungszustand accessorisch vorhanden und „die Gegenwart des Orthoklases ist mit Sicherheit nachzuweisen“. Die von Kertscher ausgeführte Bauschanalyse steht oben unter IV. Wie diese mit der Beschreibung des Gesteins in Einklang zu setzen ist, vermag Ref. nicht abzusehen. Die Analyse deutet offenbar auf ein Nephelin-haltiges Gestein, auf einen normalen Teschenit, an den auch manche Angaben aus der Beschreibung des Gesteins erinnern.

Aus derselben Hügelreihe wurde noch ein als Diorit bezeichnetes Gestein untersucht, das bei lichter Farbe aus einem kleinkörnigen Gemenge

	I	II	III	IV	V	VI	VII	VIII	IX
SiO_2 . . .	48.46[1]	38.22	41.76	53.80	47.56	43.99	38.15	62.42	56.09
Al_2O_3 . .	21.81	13.08	17.81	23.59	25.17	14.01	25.96	18.99	22.22
Fe_2O_3 . .	2.17	9.29	2.01	3.57	2.11	2.09	11.08	Spur	4.08
FeO . . .	3.75	9.14	7.47	1.88	—	8.84	6.17	—	—
CaO . . .	4.58	14.80	19.47	2.26	2.96	19.42	4.53	1.52	0.69
MgO . .	0.68	11.73	8.01	0.87	0.84	10.88	1.99	Spur	Spur
K_2O . . .	5.86	—	—	4.77	4.07	—	—	8.16	7.21
Na_2O . .	8.41	4.32	3.72	9.05	12.41	1.09	7.91	8.66	9.16
SO_3 . . .	2.97	—	MnO	Spur	Spur	0.30	4.97	—	—
Cl	0.13	—	—	—	—	—	—	SO_3	Spur
Glühverl.	2.08	—	—	1.50[3]	4.88[2]	—	—	—	1.09[3]
Sa.	100.90	100.58	100.25.	101.29	100.00	100.62	100.76	99.75	100.54

	X	XI	XII	XIII	XIV	XV	XVI	XVII	XVIII
SiO_2 . . .	50.05	39.96	47.44	37.20	43.07	43.09	42.65	42.15	48.88
Al_2O_3 . .	20.98	16.91	23.71	16.93	16.11	17.45	15.35	21.51	28.92
Fe_2O_3 . .	2.12	3.42	6.83	15.07	15.42	18.99	6.46	3.79	1.52
FeO . . .	4.05	8.86	3.53	3.55	—	—	8.19	9.43	—
CaO . . .	4.12	15.94	6.47	14.81	10.87	9.76	11.96	12.28	11.29
MgO . . .	1.65	6.03	1.95	6.89	5.71	4.63	7.14	7.55	1.01
K_2O . . .	6.19	—	3.34	—	2.67	1.81	1.47	—	0.61
Na_2O. . .	8.43	9.01	6.40	5.06	4.49	5.02	5.02	2.98	6.79
Glühverl.	4.35	—	1.73[3]	—	2.97	0.33[3]	1.28[3]	—	—
Sa.	101.94	100.13	101.40	99.51	101.41	101.08	99.52	99.69	99.02

	XIX	XX	XXI	XXII	XXIII	XXIV	XXV	XXVI	XXVII
SiO_2 . . .	45.14	41.83	41.09	46.95	40.13	29.37	40.81	42.69	40.28
Al_2O_3 . .	8.15	18.60	18.35	21.59	16.17	—	14.24	14.14	18.18
Fe_2O_3 . .	5.25	16.11	14.89	8.09	5.71	—	7.89	15.86	17.07
FeO . . .	5.20	—	—	—	8.89	20.79	5.95	—	—
CaO . . .	19.57	11.83	8.79	7.97	10.99	—	16.01	11.59	13.53
MgO. . .	14.76	4.98	1.78	2.49	7.05	26.56	14.35	9.06	5.32
K_2O . . .	—	2.47	3.14	2.04	1.22	—	—	1.75	1.43
Na_2O . .	1.46	4.70	8.79	8.93	4.10	—	0.61	3.12	4.38
SO_3 . . .	—	—	2.11		CO_2 5.97	20.52	—	—	—
Cl	—	—	0.45	—	—	—	—	—	—
Glühverl.	—	0.91	1.26[3]	2.09	0.97[3]	2.68[3]	—	1.71[3]	1.20
Sa.	99.53	101.43	100.65	100.15	101.20	99.92	99.86	99.92	101.39

	XXVIII	XXIX	XXX	XXXI	XXXII	XXXIII	XXXIV	XXXV	XXXVI
SiO_2 . . .	41.12	46.94	39.33	40.95	42.91	44.49	45.04	47.03	51.61
Al_2O_3 . .	10.17	5.67	1.24	24.19	24.06	22.94	16.04	11.62	24.72
Fe_2O_3 . .	2.60	6.18	—	9.51	11.26	7.90	7.10	18.85	1.10
FeO . . .	9.82	5.43	15.63	—	—	6.14	8.23	—	—
CaO . . .	14.90	17.83	—	10.99	12.10	5.75	10.19	11.17	0.49
MgO . .	13.34	14.18	43.88	5.11	2.01	2.96	4.46	2.57	Spur
K_2O . . .	2.27	—	—	1.89	1.92	2.10	2.85	2.17	7.89
Na_2O . .	6.61	1.83	—	5.69	4.89	5.36	6.11	4.21	8.35
SO_3 . . .	—	—	—	Spur	Spur	—	—	—	Spur
Glühverl.	0.67	—	—	1.62[3]	0.85[2]	3.03	0.33[3]	2.38[2]	5.62
Sa.	101.50	98.06	100.08	99.95	100.00	100.67	100.35	100.00	99.78

[1] Spuren von TiO_2.
[2] Aus der Differenz bestimmt.
[3] Wasser.

von Plagioklas (Analyse VII, 66—68 %) und Pyroxen (nach der Analyse VIII dem Akmit nahe stehend, 11—13 %, pleochroitisch zwischen nelkenbraun, rosa, lichtgrün ohne Angabe der Orientirung des Pleochroismus), 7—8 % Biotit und 15 % Magnetit besteht. Accessorisch wurde Titanit und Apatit beobachtet. Die Bauschanalyse ergab die unter VI stehenden Zahlen. In Spuren war Titan und Phosphorsäure nachweisbar. Der Plagioklas gehört wahrscheinlich mehreren Mischungsverhältnissen an. Das Gestein ordnet sich keiner bekannten Gruppe nach Ansicht des Ref. unter und wäre entweder als ein biotithaltiger Akmit-Diabas zu bezeichnen, oder den Kersantiten als eine Abart unterzuordnen; darüber müsste die Struktur entscheiden. — Ein dem beschriebenen ähnliches, aber durch Einsprenglinge von rothbraun durchsichtiger Hornblende, Biotit und Augit charakterisirtes Gestein, sowie ein aus vorwaltendem Plagioklas und Orthoklas mit wenig röthlichem Augit und etwas Biotit bestehendes Gestein tritt gleichfalls in dem alten Massiv von S. Vicente auf.

Unter den jüngeren Eruptivgesteinen werden Leucitite, Phonolithe, Tephrite, Basanite, Basalte, Nephelinite, Nephelinbasalte, Limburgite und Pyroxenite unterschieden.

Der Leucitit bildet als lichtgraues, rauhporöses, lockeres Gestein den Kraterwall des Siderâo und tritt als dichtes, sehr festes, blauschwarzes Gestein unter den Strömen des Siderâo und des äusseren Topo-Kraters auf S. Antâo auf. Die Zusammensetzung ist bei beiden Vorkommnissen die gleiche und die Gesteine bestehen aus Leucit als dem herrschenden Mineral, nebst Hauyn in bedeutender Menge (bis 33 %), wenig und unsicher nachgewiesenem Nephelin, spärlich accessorischem Plagioklas, natronhaltigem Augit in Einsprenglingen und in der Grundmasse, stets gut auskrystallisirt, und zu Zwillingsbildungen neigend. Die Form ist ∞P (110), $\infty P\breve{\infty}$ (100), $\infty P\breve{\infty}$ (010) herrschend, $P\breve{\infty}$ ($\bar{1}01$), oP (001). Ferner erscheint Magnetit in geringer Menge, Titanit und Biotit accessorisch und eine Glasbasis, welche saurer ist, als die der ausgeschiedenen Mineralien. Die Bauschanalyse von Kertscher (I), die Analyse eines Augiteinsprenglings (II) und der Augite der Grundmasse (III) siehe in der vorstehenden Tabelle auf S. 400.

Die auf allen untersuchten Cap verde-Inseln sehr verbreiteten Phonolithe werden unterschieden in die bald mehr Feldspath-, bald mehr Nephelin führenden herrschenden Augit-Phonolithe und die seltenen Hornblende-Phonolithe. Die Augit-Phonolithe sind oft porphyrartig struirt durch Augit- oder Feldspath-Einsprenglinge, bald ganz dicht. Von den porphyrartigen Varietäten gelangt ein stromartiges Vorkommen von Praya (S. Thiago) mit Einsprenglingen von Sanidin, Augit und spärlich von Biotit zur genaueren Untersuchung. Die Zusammensetzung ist die normale, doch fehlt dem Gestein der Hauyn gänzlich. Die Bauschanalyse (IV), die Analyse des in Salzsäure löslichen Theils des Gesteins (V), von Kertscher, der Augit-Einsprenglinge (VI), der Augite der Grundmasse (VII), sowie der Feldspathe (VIII), von Kertscher, siehe oben. — Die dichten Phonolithe sind z. Th. stromartig ausgeflossen, z. Th. bilden sie Gänge und zeigen dann oft (zumal am

Cova-Krater) eigenthümliche Flecken, welche durch gröberkrystalline Ausscheidungen von Hornblende, Nephelin und Sanidin bedingt sind, eine sehr interessante, bei allen Eruptivgesteinen wiederkehrende Erscheinung ältester Krystallisation im Magmazustande. Auch hier ist der Hauyngehalt nicht constant, stets gering, und auch der Augitgehalt pflegt nur unbedeutend zu sein. Die Ausbildung ist meist holokrystallin. Es finden hier, wie bei den porphyrartigen Phonolithen, Übergänge in Tephrite statt. Ein sanidinreicher, augitarmer gefleckter Phonolith vom Cova-Krater ergab die Zusammensetzung unter IX. — Die vom Verf. als Hornblende-Phonolithe bezeichneten Gesteine, welche aber auch Augit führen, kommen nur auf der Insel Mayo in einiger Ausdehnung vor; ein genauer untersuchtes Vorkommen von dem Monte Batalha, mit langen Amphibolsäulchen, ohne Hauyn, ergab bei der Bauschanalyse (Kertscher) die sub X mitgetheilten Zahlen, die aus dem Gestein isolirte Hornblende hatte die Zusammensetzung unter XI.

Die Tephrite, welche auf den Inseln des grünen Vorgebirges seltener sind als auf den canarischen, gehören alle zu den Nephelintephriten und besitzen zumeist einen phonolithischen Habitus bei grauer Farbe und klein poröser Textur. Zusammensetzung und Structur (letztere fast stets holokrystallin) sind die normalen. Neben dem Augit, dessen Separat-Analyse aus einem Gestein der Cova-Gruppe auf S. Antão sub XIII ausgeführt wurde, tritt rothbraune Hornblende selten, dunkler Glimmer öfter als Einsprenglinge auf. Hauyn als accessorischer Gemengtheil ist meistens vorhanden, Titanit recht selten. Die Bauschanalyse eines solchen Tephrits von Kertscher ergab die Zahlen unter XII. Übergänge der Tephrite in Phonolithe sind deutlich wahrzunehmen. — Erwähnenswerth ist wegen seiner gut auskrystallisirten Nepheline und wegen seiner Einschlüsse von Hauyn in den Bisilikaten ein gangförmiger, nephelinreicher Tephrit von der Ribeira das Patas auf S. Antão. — Die selteneren basaltähnlichen Tephrite sind im Allgemeinen reicher an Augit; bald waltet in ihnen der Plagioklas, bald der Nephelin vor; Hauyn wird nicht genannt oder als fehlend angegeben, die Hornblende tritt zurück, wenngleich Gesteine mit reichlichem Amphibol (Praya auf S. Thiago mit accessorischem Olivin) vorkommen; die Structur ist meist holokrystallin und nur ausnahmsweise wird in einiger Menge eine Glasbasis erwähnt (braun in einem Tephrit der Ribeira dos Orgãos auf S. Thiago). Die Analyse eines den Foyait auf S. Vicente gangförmig durchsetzenden sehr dichten schwarzen Tephrits ergab Kertscher die Zahlen unter XIV.

Die Basanite schliessen sich ihrem ganzen Habitus nach eng an die Basalte, nicht an die Phonolithe an; sie unterscheiden sich nicht nur durch ihren Olivin-Gehalt von den Tephriten, sondern auch dadurch, dass ihnen der Hauyn ganz fehlt und dass neben Augit nur selten (S. Vicente) Biotit, Hornblende nach den Beschreibungen nie auftritt. Verf. unterscheidet bei den auf allen Inseln, zumal auf S. Thiago verbreiteten Basaniten zwei Gruppen, die plagioklasreichen und die nephelinreichen. Ein olivinarmer Repräsentant der letzteren von einem Gipfelstrome des Pico de Antonio auf S. Thiago ergab bei der Analyse die Zahlen unter XV.

Die Basalte treten gang- und stromförmig in weitester Verbreitung auf; ihre Zusammensetzung ist die normale, seien sie makroskopisch körnig, porphyrartig oder dicht ausgebildet. Doch erwähnt Verf., dass stellenweise neben Augit auch Biotit in mikroskopischen zerfetzten Blättchen erscheint. Hornblende fehlt ganz. Über das Mengenverhältniss der Plagioklase (saurere als Labrador kommen nicht vor) zu dem Augit wird auf pag. 109 gesagt, dass in vielen der Plagioklas herrsche, in manchen dagegen der Pyroxen, während auf pag. 112 mitgetheilt wird, dass der Pyroxen überall herrsche. Die Structur ist meist holokrystallin; wo eine Glasbasis auftritt, ist sie spärlich. Die Bauschanalyse eines dichten Basaltes aus dem oberen Valle dos Picos auf S. Thiago durch Kertscher lieferte die Zahlen unter XVI, der Augit (XVII) und der durch Olivin und Augit etwas verunreinigte Plagioklas (XVIII) wurden vom Verf. analysirt. — Seltener als die dichten sind die doleritischen Basalte; aus einem solchen der Insel S. Vicente analysirte Kertscher den Augit (XIX). Dadurch dass der Feldspath zurücktritt, bilden sich Annäherungen der Basalte an die Limburgite (S. Vicente); durch die Abnahme des Feldspaths und das Verschwinden des Olivins entstehen Zwischenformen nach den Pyroxeniten hin (Ribeira funda am Pico da Cruz und Rio das Patas auf S. Antâo). Die Bauschanalyse eines solchen Gesteins vom letztgenannten Fundorte ergab Kertscher die Zahlen unter XX.

Die Nephelinite treten in ziemlicher Verbreitung auf und zerfallen in eine nephelinreiche, meist holokrystalline, und eine nephelinarme, dann gern reichlich glashaltige Gruppe. Neben dem Augit erscheint nur selten Hornblende oder Glimmer. Manche der Gesteine enthalten reichlich und auch makroskopisch erkennbare Hauyne in den Formen von ∞O (110), selten O (111). Die Zusammensetzung der Hauyne der Cap verden-Gesteine ist eine sehr schwankende, man vergleiche dieses Jahrbuch 1883. I. -191-. Chemisch untersucht wurde ein poröser, gelblichgrauer Nephelinit mit reichlichem Hauyn vom Covâo, S. Antâo (XXI) und ein solcher mit etwas accessorischem Plagioklas südlich der Povoaçâo auf derselben Insel (XXII). — In manchen dichten, durch Augit-Einsprenglinge porphyrartigen Nepheliniten tritt der Nephelin innerhalb der augitreichen Grundmasse stets in localer Anhäufung auf, so z. B. an der Ribeira de Joâo Affonso und das Patas auf S. Antâo und auf S. Vicente; dann erscheint auch gern Biotit neben Augit in kleinen Fetzen. — Die nephelinarmen Nephelinite gehen vielfach in Pyroxenite über.

Auch die Nephelinbasalte sind weit verbreitete, dunkle und dichte, gern durch Olivin und Augit porphyrartige Gesteine; durch Zurücktreten des Nephelin und Vorherrschen einer Glasbasis finden Annäherungen an die Limburgite statt. Neben Augit enthalten sie stellenweise Hornblende und Biotit. Analysirt wurde ein Nephelinbasalt von der Ribeira das Patas auf S. Antâo (XXIII), und der daraus isolirte Olivin durch Kertscher (XXIV), der Augit des Gesteins durch den Verf. (XXV).

Die auf allen Inseln des grünen Vorgebirges häufigen Limburgite enthalten in einer meist lichtbraunen oder lichtgelben, seltener farblosen,

im Ganzen untergeordneten Glasbasis vorwiegend Augit und spärlichen Olivin, Glimmer tritt nur selten, Hornblende nie auf. Die Glasbasis wird von concentrirter Salzsäure bald unter Gelatination, bald unter Abscheidung von pulveriger $Si O_2$ zerstört und scheint bald eine dem Nephelin, bald eine dem Feldspath, bald die einem Gemenge dieser beiden Mineralien entsprechende Zusammensetzung zu haben. Das sind Verhältnisse, die vielfach an die von Bücking aus dem Gebiet der Rhön und zwischen der Rhön und Thüringer Wald beschriebenen Limburgite erinnert. Accessorisch erscheint Hauyn in einem Limburgit vom Monte Silva auf S. Antão. Mit dem geringen Gehalt dieser Gesteine an einer Glasbasis dürfte auch wohl der geringe Wassergehalt der Analysen zusammenhängen. Ein Limburgitstrom des Tarrafal, S. Antão, hatte die Zusammensetzung unter XXVI; ein solcher aus dem Valle dos Orgãos auf S. Thiago ergab Kertscher die Zahlen unter XXVII, ein durch Plagioklas- und vielleicht durch Nephelin-Gehalt sich den Basaniten nahe stellender Limburgit wurde ebenfalls von Kertscher analysirt XXVIII), sowie auch der daraus isolirte Augit (XXIX) und Olivin (XXX).

Als Pyroxenite bezeichnet Verf. jüngere Eruptivgesteine, die wesentlich aus Augit und Magnetit in einer bald gefärbten (braun bis gelb), bald farblosen Glasbasis bestehen. Solche Gesteine entsprächen also im Wesentlichen den auch von Youyovitch (dies Jahrb. 1881. II. -58-) mit dem gleichen Namen belegten Andengesteinen. Nun wird aber derselbe Name von Dana und anderen amerikanischen Geologen für gewisse Glieder der Formation der krystallinen Schiefer, von Sterry Hunt ebenfalls theils für solche, theils für gewisse Modificationen der von ihm Dolerit genannten Eruptivgesteine von Mount Royal in Canada gebraucht und es wäre zu wünschen, dass man sich über eine andere Benennung dieser basischen jüngeren, feldspath- und olivinfreien Eruptivgesteine verständigte*. — Die braune Glasbasis der Augitite ist bald von HCl zersetzbar, bald widersteht sie diesem Reagens kräftig; die Augite bilden nur selten grössere Einsprenglinge, meistens treten sie als regelloses Gewirr sehr kleiner Krystallsäulen auf. Accessorisch finden sich bisweilen Hauyn, auch Eisenglimmer, Biotit, Feldspathleistchen, Nephelin, Apatit. Wo die Basis farblos ist, erweist sie sich angreifbar durch HCl und enthält reichlich Alkalien mit herrschendem Natron, woraus Verf. schliesst, dass dieselbe die Elemente des Nephelins allein oder dieses Minerals und eines Feldspathes enthalte. Wir theilen in der Tabelle die vom Verf. und Kertscher ausgeführten Analysen mit: XXXI die Bauschanalyse, XXXII die Analyse des in HCl löslichen Theils (32 %) eines Augitits vom Madeiral, S. Vicente, XXXIII Bauschanalyse des Augitits vom Monte Penoso, Mayo, von welchem 84 % in conc. HCl löslich waren mit einem Gehalt von 5.29 Na_2O und 1.04 K_2O, XXXIV die Bauschanalyse und XXXV (Kertscher) die Analyse des in HCl löslichen Theils (68 %) eines Augitits aus dem Picosthale, S. Thiago.

Die Tuffbildungen der Cap verden werden verhältnissmässig kurz be-

* Verf. wird nach freundlicher brieflicher Mittheilung künftig diese Gesteine Augitite nennen und Ref. wird diesem Beispiele folgen.

handelt. Wir heben daraus hervor, dass die Bimssteine der Insel S. Antão nach einer unter XXXVI mitgetheilten Analyse zu den Phonolithbimssteinen gehören; es fehlen denselben alle krystallinen Ausscheidungen. — Verbreiteter als die eigentlichen Tuffe sind Krystallsande, zumal Olivinsande und Augitsande, dann Auswürflinge, wie Olivinbomben, körnige Aggregate von Hauyn und Augit mit wenig Olivin und Magnetit am Pico da Cruz, S. Antão, solche aus Augit, Hornblende, Biotit, Magnetit und Titanit ebendaselbst, ferner an dem gleichen Fundorte Blöcke eines grobkörnigen Aggregates aus Augit, Hauyn, Titanit und Magnetit. Feldspathreiche Auswürflinge z. Th. mit reichlichem Granat finden sich auf dem Hochplateau des Topo da Coroa, S. Antão; Verf. hält diese Auswürflinge für Tiefenausscheidungen aus den eruptiven Magmen und nicht für fremde Massen.

Ein kurzer Abschnitt ist auch den Contactbildungen an der Grenze der Eruptivgesteine gegen die Kalke hin gewidmet; neben der Umwandlung der dichten Kalke in körnige findet vielfach eine Dolomitisirung derselben, stellenweise auch die Bildung von Granat und Magnetit, sowie Epidot in ihnen statt.

Als Neubildungen treten Zeolithe (Analcim, Natrolith), Calcit und Eisenvitriol in den Gesteinen der Capverden auf; auf Klüften der Laven von S. Antão findet man mehrorts ein krustenförmig ausgebildetes Salz, dem Verf. den Namen Dumreicherit gegeben hat. Dasselbe besteht aus 36.65 SO_3, 7.14 Al_2O_3, 11.61 MgO, 45.01 H_2O. Sa. 100.41, woraus die Formel $4\,MgO\,SO_3 + Al_2O_3\,(3\,SO_3) + 36\,H_2O$ berechnet wird. Die Krusten bestehen aus stenglig aggregirten Leisten mit einer zur Längsrichtung etwas schiefen Auslöschung. Das Mineral löst sich leicht in Wasser, schmeckt adstringirend und schmilzt im Krystallwasser. Künstliche, durch Lösung erhaltene Kryställchen hatten monoklinen Habitus.

Ref. möchte nicht von dem Werkchen scheiden, ohne auf das wichtigste Resultat aufmerksam gemacht zu haben, welches die fleissigen chemisch-petrographischen Studien des Verf. ergeben haben, auf die Abhängigkeit des chemischen Bestandes der Gesteinsgemengtheile von demjenigen des Gesteinsmagmas, wie sich dieselbe zumal aus den Pyroxen-Analysen deutlich ergiebt. Es wäre zu wünschen, dass nach dieser Richtung hin mehr und mehr zuverlässiges Material gesammelt würde. **H. Rosenbusch.**

Lorenz von Liburnau: Die geologischen Verhältnisse von Grund und Boden, für die Bedürfnisse der Land- und Forstwirthe dargestellt. Mit 228 Holzschnitten. Wien 1883.

Das 328 Seiten umfassende Werk zerfällt in zwei Abtheilungen, deren erste eine „gedrängte Übersicht geologischer Grundlehren" enthält, während die zweite „Agronomische Anwendungen der Geologie" oder, wie es in der Überschrift auch heisst: „die natürlichen agronomischen Beziehungen in Grund und Boden" bringt.

Aus vollem Herzen unterschreibt man schon das Vorwort des Verfassers, das den Standpunkt, den Zweck und die Nothwendigkeit dieser so verdienst-

vollen Arbeit am besten erkennen lässt. „Dass geologische Kenntnisse zu den Grundlagen der Wissenschaft vom Landbau gehören", heisst es da wörtlich, „und den praktischen Land- und Forstwirth wesentlich unterstützen können, wird schon längst nicht mehr bestritten; aber die Anwendung dieser Erkenntniss lässt offenbar noch viel zu wünschen übrig. Man räumt einigen Kapiteln der Geologie zwar ziemlich allgemein eine gewisse Wichtigkeit für die Bodenkunde ein, und seit zehn Jahren ist kein wichtiges pedologisches Werk erschienen, welches diesen Standpunkt nicht ausdrücklich betont hätte; aber die verschiedenen anderweitigen Beziehungen zwischen dem geologischen Bau eines Stückes Erde und den darauf liegenden Grundstücken finden gewöhnlich wenig Beachtung und es scheint gewissermassen eine Brücke zwischen land- und forstwirthschaftlichen Berufskenntnissen einerseits und der Geologie andrerseits zu fehlen."

Da der Verfasser nun seit nahezu dreissig Jahren gerade diesen Beziehungen viel Aufmerksamkeit zugewendet und einen nicht unbedeutenden Vorrath einschlägiger Daten gesammelt habe, heisst es dann weiter, wage er den Versuch, seiner Auffassungsweise dieses Gegenstandes durch das gegenwärtige Werk Ausdruck zu geben.

Gedacht ist dabei zunächst an Lehranstalten, in denen die Hauptfächer der Bodenkultur mit naturwissenschaftlicher Begründung gelehrt werden, aber auch an bereits praktisch thätige Land- und Forstwirthe, denen nicht die Gelegenheit geboten war, geologische Studien in der Richtung auf ihre praktische Verwerthung zu betreiben, oder denen die einschlägigen Lehren wieder entschwunden sind.

Das Buch bringt denn auch, seinem ausgesprochenen Zwecke gemäss, nichts geologisch Neues, bietet vielmehr in gedrängter Kürze nur die wichtigeren Grundlehren der Geologie und zwar immer mit Hinblick darauf, was für die praktische Beurtheilung von Grund und Boden (nicht etwa nur der Bodenarten allein) von Wichtigkeit erscheint. Es ist daher und will auch kein Ersatz sein für ein vollständiges Lehrbuch der Geologie. Die Absicht des Verfassers war hauptsächlich auf dasjenige gerichtet, was die zweite Abtheilung des Werkes enthält, nämlich die Beziehungen des geologischen Baues zu Grund und Boden. Die erste (geologische) Abtheilung sollte nichts Anderes enthalten, als was zur Begründung der zweiten Abtheilung erforderlich ist. Demnach fehlen in der geologischen Abtheilung manche Kapitel, welche sonst mit vollstem Rechte eine hervorragende Stelle in geologischen Lehr- und Handbüchern einnehmen. So fehlt die ganze Paläontologie, ebenso eine ausführlichere Formationslehre; es fehlt die Lehre von den Vulkanen, von Gletscherwirkungen, von Korallenbauten u. s. w. Dagegen ist mit grösserer Ausführlichkeit dasjenige behandelt, was die Formen und den Inhalt nutzbarer Gebiete klar zu machen geeignet ist. Es ist dabei auf die Darstellung möglichst vieler Profile Werth gelegt, in der richtigen Überzeugung, dass man über den Bau selbst der oberen Schichten irgend eines grösseren oder kleineren Areales erst dann ein klares Urtheil besitzt, wenn man dieses durch ein Profil darstellen kann. Aber auch die Abschnitte, welche vom Boden handeln, bilden gleichfalls keine vollständige

Pedologie, sondern erstrecken sich hauptsächlich auf jene Theile derselben, die mit der Geologie in Verbindung zu bringen sind. Das beweist schon die Haupteintheilung dieses ganzen zweiten Theiles unter die folgenden Überschriften:

1) Die Bodenarten und ihre Eigenschaften.

2) Die Wasserführung des Bodens.

3) Die Gestalten von Grund und Boden und deren Abhängigkeit vom innern Bau.

4) Beziehungen der Geologie zur Bonitirung und Kartirung des Bodens.

Das in Rede stehende Werk gehört also seiner ganzen Anlage nach zu denjenigen, die man, wie der Verfasser selbst hervorhebt, von mancher Seite mit dem Schlagworte „zugestutzte Wissenschaft“ zu bezeichnen liebt.

Diese geringschätzige Bezeichnungsweise hat den Verfasser jedoch in seiner Auffassung nicht irre gemacht. Die Wissenschaftlichkeit hängt eben nicht von der Ausdehnung des Stoffes, sondern von der Methode der Behandlung ab und diese letztere kann für eine Gruppe ausgewählter Kapitel, ja sogar für einen einzelnen Lehrsatz von einem Autor in höherem Grade wissenschaftlich gestaltet werden, als der gesammte Lehrstoff eines Faches von einem anderen Autor. Hier nun handelt es sich überhaupt nicht um ein fachwissenschaftliches Originalwerk mit selbstständigen Forschungsresultaten, sondern um die richtige Anwendung und gegenseitige Beziehung zweier Wissenszweige auf einander und von diesem Gesichtspunkte gebührt dem Verfasser in vollem Maasse der Dank aller Betheiligten.

G. Berendt.

C. Grewingk: Geologie und Archäologie des Mergellagers von Kunda ist Estland. Mit 3 Tafeln. Dorpat 1882.

In einer zur Glacialzeit durch eine von NNW—SSO gerichtete Gletscherbewegung ausgefurchten flachen Rinne des silurischen Gebirges, die nach dem Rückzug der Gletscher einen Landsee darstellte, der sich später einen Abfluss nach der See zu verschaffte, gelangten zunächst Sande und kalkhaltige Lehme und Thone (Mergel) zum Absatz, die das Auswaschungsprodukt der die Gehänge des Sees bildenden Grundmoräne waren. Gleichzeitig schwängerte das Wasser sich mit kohlensaurem Kalke, der unter Mitwirkung von Schalthieren sich ausschied. Durch den tiefer sich einschneidenden Abfluss wurde der See mehr und mehr entwässert und bedeckte sich der ehemalige Boden desselben mit einer Pflanzendecke, die schliesslich ein Torflager bildete.

So zeigt denn gegenwärtig das zur Cementfabrikation abgebaute Lager das folgende Profil:

1 Fuss Moorerde.
Bis 2 „ 4 Zoll mächtigen hellgelben oder weissen Mergel.
„ 3 „ hellblaugrauen Mergel.
„ 10 „ dunklen, bläulichgrauen Lehm oder Thon.

Bis 3 Fuss feinen Sand } in wechselnder Mächtigkeit und zuweilen
„ 3 „ Geschiebelehm } fehlend.

Geröllagen, die nicht durchsunken wurden.

Die organischen Reste sind auf die beiden oberen Mergelschichten beschränkt, in der untersten, hier als Lehm oder Thon bezeichneten, nach der Analyse sich jedoch als Thonmergel ergebenden, fanden sich nur im obersten Theile einige Süsswasserconchylien. Knochenreste fanden sich von

Equus caballus,
Bos taurus,
Cervus alces,
Cervus capreolus.
Cervus tarandus,
Sus scrofa,
Canis familiaris,
Bos primigenius.

Von letzteren fanden sich von Menschenhand bearbeitete Knochen. Fische sind vertreten durch die Skelette von bis 1,25 m grossen Hechten.

An Conchylien wurden gefunden:

Anodonta cellensis,
Pisidium obliquum,
Lymnaea ovata,
„ *stagnalis,*
Planorbis marginatus,
Planorbis carinatus,
„ *vortex,*
Valvata piscinalis,
Bythinia tentaculata.

Ausserdem enthält der Mergel zahlreiche Waffen und Werkzeuge aus Knochen und Feuerstein, mit deren Beschreibung und Deutung, sammt Folgerungen auf die Urbevölkerung Esthlands sich der grösste Theil der interessanten Arbeit beschäftigt.

Die Ergebnisse seiner Untersuchungen fasst der Verfasser, soweit sie die einst am Mergelsee von Kunda lebende prähistorische Bevölkerung Esthlands betreffen, folgendermassen kurz zusammen:

In einer Periode, die dem zweiten nachchristlichen Jahrhundert vorausging, waren von Finnland oder Schweden her der Seefahrt kundige Vertreter eines muthmasslich ugrischen Stammes an die Küste Esthlands gekommen und mochten in der Bucht von Kunda einen besseren Landungsplatz gefunden haben. Ihrer Landung folgte ein längerer bleibender oder periodisch wiederkehrender Aufenthalt in der bezeichneten Gegend. Hier fanden sie ein Jagdrevier, das reicher war an Thieren als jetzt und sowohl den ganz ausgestorbenen Ur als die dort gegenwärtig nicht mehr existirenden Wildschweine, Rehe, Renthiere und wohl auch Biber und Hirsche aufwies, ausserdem aber auch die in diesem Areal gegenwärtig nicht sehr zahlreich vertretenen Elennthiere, Bären, Füchse, Fischottern etc. in grösserer Anzahl beherbergte. Wie diese Einwanderer den Ur, das Elenn und Wildschwein nachweislich erlegten, so werden sie es auch mit den übrigen, oben erwähnten Thieren gethan haben. Sie waren aber nicht allein Seefahrer und Jäger, sondern auch gewandte Fischer. Ein grösserer, nur 3 Werst oder Kilometer vom Meere entfernter, durch Mergelausscheidung ausgezeichneter Landsee, der viel wilden Enten, Gänsen und Schwänen zum Aufenthalte diente und an dem das oben genannte Hochwild nicht selten erschien, übte, als reiche Nahrungsquelle, ganz besondere Anziehungskraft

auf sie aus. An ihm, d. i. in etwa 59° 29′ Br. und 24° 28′ L. von Paris, hielten sie sich, wie es scheint, vornehmlich im Winter auf und mögen den See erst dann aufgegeben haben, als er in Folge fortschreitender Mergelbildung zu klein und flach geworden, um grössere Fische zu bergen.

Die prähistorischen Kundaer Fischer, Jäger und Seefahrer bildeten ein Naturvolk, das auf keiner hohen Stufe der Kultur stand. An ihren Werkzeugen und Waffen vermisst man die Verwerthung von Metallen und befanden sie sich daher in der als Steinalter bezeichneten Kulturepoche. Zu ihren Jagdgeräthen gehörten starke, aus Ur- und Elennknochen angefertigte, mit Schäften versehene Stoss- und Stechinstrumente, die auch zur Herstellung von Eislöchern dienen mochten. Ihre Fischereigeräthe waren sowohl Wurfharpunen mit knöcherner, an einer Leine hängender, gezahnter Spitze, als Pfeil und Bogen. Ausserdem bedienten sie sich der Krummmesser aus Eberhauern und der Gradmesser, Fischschaber, Meissel und auch der Schmucksachen aus Knochen.

In der Herstellung ihrer Geräthe besassen sie viel Erfahrung und Fertigkeit und gehörten daher in das jüngere Steinalter oder die neolithische Zeit. Die für das Geräthe bestimmten Knochen wurden von ihnen mit muthmasslich steinernen Instrumenten gesägt, gespalten und geschliffen, seltener zugeschnitten. Zu den Haken ihrer Harpunenpitzen verwendeten sie auch Feuersteinspähne, die mit Pech aus Birkentheer befestigt wurden. Die Technik dieser Flintharpunen lässt ihre Beziehungen zu Skandinavien kaum bezweifeln. Wie nahe sie den benachbarten Kahnbeilbesitzern und den Muschelessern am Bustnecksee gestanden haben, ist noch nicht genau zu bestimmen. Vom Hund, Rind und Pferd wurden sie nicht begleitet, ein Umstand, auf den man bei Seefahrern kein zu grosses Gewicht zu legen hat.

Beigegeben sind auf 2 Tafeln 2 Profile, sowie eine specielle Kartenskizze des Mergellagers von Kunda, sowie endlich noch eine dritte Tafel mit 33 Abbildungen von Knochengeräthen aus dem Mergel.

G. Berendt.

B. Lotti: Sopra una piegha con rovesciamento degli strati paleozoici e triassici fra il M. Corchia e la Pania della Croce presso Mosceta. (Bollet. del R. Comitato geol. d'Italia. Vol. XII. 1881. S. 85.)

Die Schichtfolge in den apuanischen Alpen ist nach den älteren Arbeiten und den Studien des Verfassers und Zaccagna's von unten nach oben folgende (vergl. die Referate in dies. Jahrbuch 1883. I. S. 84): 1) Zone der Centralschiefer, aus Glimmer- und Talkschiefer, Gneiss, Cipollin, Kalkschiefer mit paläozoischen Orthoceren und Actinocrinen bestehend: 2) Zone der compacten und breccienförmigen Kalke (grezzoni) nach de Stefani mit *Turbo solitarius* oder *Trochus Songavatii* Stop. und anderen Fossilien von triadischem Gepräge; 3) Zone der Marmore; 4) Zone der oberen Schiefer, Sandstein und Thonschiefer, Cipolline, Kalksteine mit Hornsteinen. Der geologische Bau der genannten Gegend wird an 5 Durchschnitten erläutert, welche in je ein Kilometer Entfernung von einander durchgelegt

sind. Glückliche Fossilfunde und genaue Detailstudien führen den Verfasser zu der Ansicht, dass hier eine nach Westen überschobene Anticlinale vorliege, an welche sich westlich eine ebensolche Mulde anschliesst. Den Muldenkern derselben bildet die Marmormasse des Mte. Corchia, nach Süden treten die Schiefer der oberen Schieferzone in seine Zusamensetzung ein. Nach Süden nimmt die Überschiebung bis zur Bildung eines liegenden Gewölbes zu, bis dann wieder einfachere Verhältnisse herrschend werden. Im nördlichsten Durchschnitt des Mte. Corchia (1677 m) ist der westliche Flügel der Anticlinale durch den Infralias und die Liaskalke der Pania della Croce (1859 m) zum Theil verdeckt. Die Glieder des Mittelschenkels sind an Mächtigkeit stark reducirt. Die Mulde des Mte. Corchia entspricht derjenigen des Mte. Altissimo, nur ist die Anticlinale Corfigliano-Falcovaia nicht nach Westen, sondern nach Osten überstürzt.

V. Uhlig.

B. Lotti: La doppia piega d'Arni e la sezione trasversale delle Alpi Apuane. (Bollet. Com. geol. di Italia, Roma. Vol. XII. 1881. p. 419.)

Der Verfasser bespricht zwei Durchschnitte durch die apuanischen Alpen, wovon der eine von der Meeresküste über das Arnithal und den Mte. Sumbra (1765 m) bis zum Serchioflusse reicht, während der nördlichere über den Mte. Tambura, das Arnetolathal und den Mte. Pallerina gelegt ist. Beide Durchschnitte wurden grösstentheils schon früher von Lotti und Zaccagna geschildert und die Schichtfolge besprochen; der wesentliche Unterschied in der Auffassung ist der, dass die über dem Cipollin des Arnithales östlich aufruhenden hornsteinreichen Schichten und die westlich darüber folgenden Schiefer und Sandsteine der oberen Schiefergruppe als stellvertretende Facies betrachtet und daher mit einander in Verbindung gebracht werden. Da nun die Falten westlich vom Arnithal nach Osten, die östlichen Falten aber nach Westen überstürzt sind, so ergibt sich daraus das Bild der Doppelfalte, deren Vorhandensein der Autor schon in der vorhergehenden Arbeit andeutete. Der Mulde des Arnithales, in welcher die Schichten verkehrt fächerförmig gestellt sind, entspricht die des Arnetolathales, während aber im nördlichen Durchschnitte die westliche Gebirgshälfte stärker entwickelt ist als die östliche, ist im südlichen Durchschnitte das Gegentheil der Fall. Die Mulden des Arni- und Arnetolathales in tektonischer Beziehung die Mittelpunkte des Gebirges, stehen daher weit ausserhalb der äusseren Erhebungsaxe desselben. An die aus paläozoischen und triadischen Bildungen bestehenden Falten legt sich östlich und westlich eine Hülle von jüngeren, jurassischen, cretacischen und tertiären Bildungen an, die ebenfalls bereits beschrieben worden sind.

Auf der Hochebene des Campo Catino liegen diluviale Geröllbildungen von wahrscheinlich glacialem Ursprung. Die Schiefer der oberen Schieferzone enthalten stellenweise Kupfererze. **V. Uhlig.**

---

de Stefani: La zona marmifera delle alpi apuane secondo gli studi dell' ufficio geologico e secondo i miei. (Processi verbali della Soc. Tosc. di Sc. Naturali. Pisa. vol. III. 1881. p. 3.)

de Stefani: I profili geometrici dell' Ufficio geologico d'Italia nelle Alpi Apuane. Ebendaselbst p. 8.

de Stefani: Carta e sezioni geologiche delle Alpi Apuane in grande scala. Ebendaselbst p. 21.

B. Lotti e Zaccagna: Seguito e chiusura, per parte nostra della polemica col dott. C. de Stefani. Ebendaselbst p. 77.

C. de Stefani: Sui nuovi profili geometrici delle Alpi Apuane pubblicati dell' Ufficio geologico. Ebendaselbst p. 80.

C. de Stefani: Rassegna del mio lavoro intitolato „Considerazioni sopra le rocce piu antiche delle Alpi Apuane e del Mte. Pisano". Roma 1874—75. Ebendaselbst p. 81.

C. de Stefani greift die vom k. ital. geol. Aufnahmsamte durchgeführten Arbeiten und Studien in den apuanischen Alpen in heftiger Weise an, unter Hervorhebung der Verdienste der älteren Autoren und seiner eigenen Arbeiten. Er behauptet, dass die beim internationalen Congresse in Bologna vom geol. Aufnahmsamte ausgestellten Karten mit den ursprünglich verfertigten nicht übereinstimmen, sondern nach seinen im Jahre 1881 gemachten Angaben geändert worden seien. Er wirft den Aufnahmsgeologen eine Reihe von Fehlern vor, die er schliesslich in 12 Sätze zusammenfasst (p. 80), und zwar sollen die Geologen die einzelnen Gesteinsgruppen ungenau unterschieden und das geol. Alter ungenau bestimmt haben; sie sollen aber auch ganze Gruppen unterdrückt und andere untergestellt haben. Ferner sollen sie Beobachtungsfehler bezüglich der Fallwinkel und der Concordanz der Schichten und falsche lithologische Bestimmungen gemacht haben. Bestehende Falten sollen übersehen, nicht bestehende angenommen worden sein, wie z. B. die Doppelfalte. Die Anordnung der Falten und die ganze Tektonik sei nicht ganz richtig aufgefasst worden; die geologische Karte selbst sei in vielen Theilen ganz hypothetisch.

Dem entgegen verwahren sich Lotti und Zaccagna auf das entschiedenste gegen die Behauptung, dass an den beim Congresse in Bologna ausgestellten Karten vorher Correcturen nach de Stefani's Angaben gemacht worden seien, und weisen dieselben als unrichtig mit Entrüstung zurück. Sie halten an den von ihnen gemachten Angaben der Hauptsache nach fest und zeigen, dass de Stefani den Werth seiner Arbeiten für die Geologie der apuanischen Alpen bedeutend überschätze. Besonders in tektonischer Beziehung erfahre man aus seinen Arbeiten nicht mehr, als dass die apuanischen Alpen eine einfache Anticlinale bilden, wie dies schon Savi ausgesprochen hatte. Erst die Arbeiten der Aufnahmsgeologen hätten den geol. Bau als einen viel complicirteren erkennen lassen.

Ein näheres Eingehen in diese Polemik halten wir nicht für geboten. Solche Vorwürfe, wie die von de Stefani erhobenen bedürfen zu ihrer Be-

gründung einer genaueren Darlegung, als sie bisher gegeben wurde; in der gegenwärtigen Form können sie auf Berücksichtigung kaum Anspruch erheben. **V. Uhlig.**

D. Zaccagna: Una escursione nella regione marmifera del Carrarese. (Bollet. Com. geol. d'Italia. Roma. XII. 1881. p. 476.)

Von den 4 in den apuanischen Alpen unterschiedenen Schichtgruppen haben im Gebiete von Carrara die beiden oberen die grössere praktische und theoretische Bedeutung. Der Hauptmarmorzug streicht vom Mte. Sagro in südöstlicher Richtung bis nach Saineto, wo er unter den Schiefern verschwindet; im Mte. Maggiore erreicht er seine grösste Mächtigkeit mit mehr als 1000 m. Die Zone der oberen Schiefer ist durch graue Kalke mit Hornsteinen, durch Marmor und „grezzone" vertreten, die eigentlichen Schiefer sind nur sehr spärlich entwickelt. Die Mächtigkeit dieses oberen Marmors kann bis zu 300 m steigen. Die eigentlichen älteren Marmore lassen sich in eine obere und eine untere Partie scheiden. In der ersteren walten graublaue Marmore („Bardiglio"), schwarz und violett geaderte und gewöhnliche weisse und graue Marmore vor, während die untere das Hauptlager des werthvollen Statuenmarmors bildet. Derselbe enthält häufig Einschlüsse eines ockerigen, gelben Kalkes und eines Talk- und Glimmerschiefers, welche den Marmor im Sinne der Schichtung durchsetzen und Muttermale („madrimacchie") heissen. Die älteren Autoren erblickten darin die bei der Krystallisation des Marmors ausgeschiedenen Verunreinigungen, während sie de Stefani als urprüngliche Bildungen betrachtete. Der Verfasser tritt der letzteren Ansicht bei, für die er mehrere Gründe vorbringt, so das Auftreten dieser Muttermale in parallelen Bänken, das stete Zurückbleiben kleiner Verunreinigungen, den Mangel von solchen Muttermalen in den unreineren, aber doch ausgezeichnet krystallinischen gemeinen Marmoren. Er hält aber die Mitwirkung späterer molekularer Veränderungen bei der Krystallisation nicht für ausgeschlossen. Das Gebiet von Carrara gehört dem Westflügel der apuanischen Alpen an, die Schichten fallen also nach Süd-Westen dem Meere zu. Auf die triadischen Bildungen folgt der Infralias und Lias, der Macigno und das Diluvium. Die Ausführungen des Verfassers werden durch 3 Profile erläutert. **V. Uhlig.**

R. Lehmann: Neue Beiträge zur Kenntniss ehemaliger Strandlinien in anstehendem Gestein in Norwegen*. (Separatabdruck aus der Zeitschrift für die ges. Naturwissenschaften. Jahrg. 1881.)

Norwegen ist das klassische Land für das Studium der Verschiebungen des Verhältnisses von Land und Meer; wohl nirgends in der Welt reden die früheren Meeresstände in so zahlreichen deutlichen Schriftzeichen zu dem Forscher als hier. Die alten Strandlinien im anstehenden Gestein spielen hierbei eine ganz besondere, eigenartige Rolle. Soweit bekannt,

* Über die erste Abhandlung Lehmann's über diesen Gegenstand ist berichtet in Bd. I des Jahrganges 1880 dies. Jahrb. S. 53.

sind sie nirgends auch nur annähernd in der Weise und Fülle vorhanden, als in Norwegen. Wer daher überhaupt mit der so wichtigen Frage der Niveauveränderungen sich beschäftigen will — einer Frage, welche neuerdings wieder in den Vordergrund des geologischen und physisch-geographischen Interesses zu treten beginnt — darf jene nicht ausser Acht lassen. Man wird sie eingehender und allgemeiner als bisher studiren müssen. Hierzu wollen die obigen Beiträge als Wegweiser dienen, indem sie Stellen angeben, wo man etwas Einschlägiges zu näherer Untersuchung finden kann. Verfasser giebt nun eine eingehende Beschreibung der äusseren Erscheinungsform, der absoluten Höhe, der Längenausdehnung und des gegenseitigen Verhaltens einer Anzahl von Strandlinien, die er auf einer Reise durch das von zahlreichen, tief eingeschnittenen Fjorden zerrissene Küstengebiet zwischen Bergen und Christianssand beobachtete.

Diese Untersuchungen zeigen, dass auch das südliche Norwegen an ehemaligen Strandlinien in anstehendem Gestein so arm nicht ist, als man glaubte und weiteres Forschen in dem auf solche Erscheinungen noch gar nicht untersuchten Gebiete, namentlich des Skjärgaard, werden sicherlich noch weiteres Material liefern.

Eines scheint schon jetzt festzustehen: so wohl erhalten als im nördlichen Theile des Landes (auf welches sich die Pettersen'schen Untersuchungen beziehen) sind die alten Strandlinien hier im Süden nicht, und je weiter draussen und je regenreicher die betreffende Stelle ist, desto stärker scheinen die Züge im einzelnen verwischt zu sein.

In einer Tabelle stellt Verfasser 51 im südlichen Norwegen bis incl. Trondhjem hinauf theils von ihm selbst, theils von Kjerulf neu mitgetheilte Strandlinien in anstehendem Fels kurz zusammen mit Angabe ihrer Höhe über dem Meeresspiegel, ihrer Länge und Deutlichkeit.

G. Berendt.

K. Pettersen: Terrassen und alte Strandlinien. Mit Karte und Profilen *. Aus dem Norwegischen übersetzt von Dr. Richard Lehmann, Oberlehrer an der Realschule I. C. in Halle a. S. (Separatabdruck aus der Zeitschrift für die gesammten Naturwissenschaften. Bd. LIII. 1880. Heft 6.)

Pettersen beschreibt in dieser Arbeit die in den Sunden und Fjorden der Umgegend von Tromsoe in einem 80 Kilometer langen und ebenso breiten Gebiete vorkommenden, aus Schotter gebildeten Terrassen und in festem Gesteine eingeschnittenen Strandlinien. Er zieht aus seinen Untersuchungen eine Anzahl Schlüsse, die er am Ende seiner Ausführungen folgendermassen zusammenfasst.

1. Strandlinien und Terrassen sind im Grossen und Ganzen nicht an bestimmte Niveaus gebunden.

---

* Die ursprüngliche Abhandlung Pettersen's ist in Tromsoe Museums Aarshefter, III, Tromsoe, 1880, erschienen. Zwei frühere Arbeiten desselben Verfassers über diesen Gegenstand wurden im Archiv for Mathematik og Naturvidenskab. (Kristiania) Bd. III u. IV (1878 u. 1879) veröffentlicht. S. a. das Referat in dies. Jahrb. 1880. II. -192-.

2. Von Strandlinien und Terrassen treten einige mehr lokal und bruchstückweise auf, andere ziehen sich dagegen meilenweit hin.

3. Diese letzteren, welche in der Regel am meisten typisch ausgebildet sind, sind mehr an bestimmte Niveaus gebunden und als solche im nördlichen Norwegen auf weite Strecken hin nachzuweisen.

4. Jede einzelne von den im anstehenden Fels eingeschnittenen Strandlinien bewahrt überall einen nahezu horizontalen Lauf, mag sie sich nun in einer mit den Küstenstrichen mehr oder minder gleichlaufenden Linie oder in der Richtung von der Küste nach innen zu erstrecken.

5. Dagegen treten die verschiedenen Stufen gewissermassen treppenartig in der Richtung von der Küste nach dem Binnenlande zu in immer höheren Niveaus auf. Die höchst gelegenen Strandlinien sind demgemäss in den inneren Sundläufen oder tiefer eingeschnittenen Fjorden zu finden.

6. Die Bedingungen für die Strandlinienbildung scheinen hiernach in der Richtung von innen nach aussen zur Küste immer später eingetreten zu sein.

7. Die Strandlinien ebenso wie auch die Terrassenstufen sind in der Strandzone entstanden.

8. Ausser der scheuernden und brechenden Thätigkeit des Meeres scheinen auch andere scheuernde Kräfte bei der Strandlinienbildung wirksam gewesen zu sein.

9. Die Bildung der stärker ausgeprägten und mehr an bestimmte Niveaus geknüpften Strandlinien ist wahrscheinlich zum Theil durch verschiedene periodische klimatologische Wechsel bedingt gewesen.

10. Die Strandlinienbildung hat am obersten Rande der Stosslehne begonnen und die Ausgrabung ist demgemäss von oben nach unten vor sich gegangen, während sich gleichzeitig das Land langsam im Verhältniss zum Meeresspiegel hob.

11. Das Aufsteigen des Landes muss in den Niveaus von dem jetzigen Meeresspiegel bis zu einer Höhe von mindestens 200′ über demselben langsam und gleichmässig vor sich gegangen zu sein.

12. Die während der postglacialen Zeit in den Küstenstrichen des nördlichen Norwegens in dem gegenseitigen Verhältnisse von Land und Meer vorgegangenen Niveauveränderungen lassen sich am leichtesten durch die Annahme eines veränderlichen Meeresstrandes erklären. **G. Berendt.**

K. Pettersen: Scheuerungserscheinungen in der gegenwärtigen Littoralzone. (Skuringsfaenomener i det nuwaerende strandbelte. Tromsö Museums Aarshefter II. Tromsö p. 65—97.) Aus dem Norwegischen übersetzt von Dr. Richard Lehmann, Oberlehrer an der Realschule in Halle a. d. S.

Der Verfasser beschreibt eine Anzahl verschiedenartiger auf Tromsö und in der Nachbarschaft beobachteter Fälle von Glättung und gleichzeitiger Schrammung des Felsbodens im, unter und über dem heutigen Meeresspiegel, welche er aber als allgemeine Typen betrachtet und aus-

drücklich (S. 278) mit den Scheuerungserscheinungen „wie sie in so reichem Maasse längs der Westküste Norwegens und in dem Skjärgaard Schwedens und Finnlands hervortreten“ gleichstellt. Wenn Pettersen nun als erste Schlussfolgerung den Satz hinstellt: „Die sogenannten Scheuerungserscheinungen, nämlich die Abrundung und Abglättung der Felsflächen, die Scheuerungsrinnen und Schrammen (striber, Streifen) sind nicht immer von unbedingt glacialem Ursprung“, so kann sich jedermann damit einverstanden erklären. Auch die folgenden zum Schluss aufgestellten Sätze sind äusserst reservirt ausgedrückt, entsprechen aber wenig den in der Abhandlung selbst gezogenen Schlüssen und aufgestellten Behauptungen. Hier kommt Verfasser vielmehr schliesslich zu dem Resultate (S. 272), dass Abglättung wie Scheuerungsschrammen „im wesentlichen innerhalb der Littoralzone entstanden und also von postglacialem Ursprung sein müssen“. Es heisst dann wörtlich weiter: „Während dies wohl als sicher betrachtet werden darf, wird es sich dagegen als schwieriger erweisen den Bildungsprocess selbst auf eine vollständig befriedigende Weise zu erklären.“

Obwohl Pettersen nun selbst seine Versuche zu einer Erklärung zum Theil nur „als lose Andeutungen“ bezeichnet, misst er doch andererseits zum Schluss den aus seinen Beobachtungen gezogenen Schlüssen eine solche Bedeutung zu, dass er glaubt, die „sogenannte Glacialtheorie“, nach welcher „die gewöhnlichen Abglättungs- und Scheuerungserscheinungen im Grossen und Ganzen als Ergebnisse glacialer Wirkungen angesehen worden sind“ und nach welcher namentlich über den glacialen Ursprung der Scheuerungsrinnen (Schrammen) die unbedingteste Übereinstimmung geherrscht habe, wesentlich erschüttert zu haben. Die Mittheilung einer solchen noch ganz besonders der Beachtung empfohlenen Folgerungsreihe dürfte daher um so weniger zu umgehen sein, als sie für die Art der Beweisführung überhaupt charakteristisch ist.

Der Verfasser beschreibt unter b und c eine Art von Rinnen, von denen er selbst sagt, dass sie „übrigens nicht mit den eigentlichen Scheuerfurchen (skuringsrender) zusammenzustellen sind, obschon sie mit diesen allerdings einige Ähnlichkeit haben können“. An das Ausgehende der steilgestellten secundären Absonderungsflächen gebunden, sind sie durch Verwitterung und Auswaschung längs dieser Linien entstanden. Häufig wurden nun gerade nach diesen Verwitterungslinien gruppirt lange Reihen einer häufigen *Balanus*-Art beobachtet.

Diesen Umstand benutzt Pettersen um hernach die eigentlichen, stärker ausgeprägten Scheuerungsrinnen oder Schrammen, von denen er ausdrücklich sagt, dass sie sich „vielleicht schwerer direct auf Structurverhältnisse des Gesteins zurückführen lassen“ und dass sie oft die starken Windungen der Schichtenstellung „unter stark hervortretenden Winkeln schneiden, ohne dass dieses Verhältniss übrigens irgendwie störend auf den regelmässigen Verlauf der Rinnen eingewirkt zu haben scheint“, in umgekehrter Weise entstehen zu lassen. Auf Grund der weiteren Beobachtung nämlich, dass der *Balanus* sich nicht bloss mit seinen weichen Körpertheilen an

die Oberfläche des Felsens anheftet, sondern sich auch in dieselbe hineinätzt, macht er (S. 274) den weiteren Schluss: „Wenn eine grössere Anzahl von *Balanus*-Individuen sich so in einer geraden Linie über die Kalksteinfläche hin gruppiren, so wird hierdurch vielleicht eine mehr oder minder ausgeprägte Furche hervorgebracht werden können.“ —

In ganz ähnlicher Weise benutzt der Verfasser die Beobachtung, dass die an die Oberfläche des Kalksteinfelsens gehefteten Bedeckungen von Tangarten und Mollusken „durch eine gemeinsame Arbeit mechanischer und chemischer Kräfte nothwendiger Weise zerstörend auf die Felsoberfläche einwirken,“ glättend und ätzend wie er sich später ausdrückt. Er bemerkt ferner, dass die Glättung am wenigsten hervortritt wo angeheftete Tangarten und Mollusken den Kalksteinfelsen bedecken und in dieser Weise zerstörend auf seine Oberfläche einwirken, dass dagegen die zwischen solchen Bedeckungen liegenden freien kleinen Flecken weit stärker geglättet sind. Er hebt endlich hervor, dass auf Bergarten von härterer Textur, auf deren Oberfläche, wie er selbst sagt, eine solche eingrabende Wirkung kaum zu spüren sein wird, die Abglättung schon unter der Tangbedeckung stark hervortritt.

Statt aber daraus den nahe liegenden Schluss zu ziehen, dass doch wahrscheinlich die Glättung und die nach eigener Anschauung (S. 265) in nahem Zusammenhange mit derselben stehende Schrammung älteren Datums ist, als die Bedeckung mit Tang und vor derselben noch reiner hervorgetreten und deutlicher im Zusammenhange gewesen sei, wie denn auch „in der Regel die Abglättung immer schärfer hervortritt, je höher man in diesem Niveau hinaufkommt,“ wo nach der Einleitung die Felsoberfläche gewöhnlich von Tangbedeckung frei bleibt, kommt Pettersen umgekehrt zu der Deutung, dass

1) an den von Tang bedeckten Stellen auf Kalkstein die Ätzung (chemische Einwirkung) die Abglättung (mechanische Einwirkung) überwiege,

2) auf härterem Gestein die Glättung die Ätzung überwiege und

3) die jetzt freien geglätteten Flecken gerade durch frühere Bedeckung für die jetzige so schöne Glättung vorbereitet seien. **G. Berendt.**

Kayser: Über das Spaltensystem am SW.-Abfall des Brockenmassivs insbesondere in der Gegend von St. Andreasberg. (Jahrb. d. K. Preuss. geolog. Landesanstalt und Bergakademie für 1881. 412.) Mit 2 Karten.

Über die so ungemein interessante Gegend von St. Andreasberg am Harz, insbesondere die formalen Verhältnisse der dortigen Gänge und deren Mineral- und Erzausfüllung, hat H. Credner im Jahre 1865 (Zeitschr. d. Deutsch. geolog. Ges. XVII. 163) eine Arbeit veröffentlicht, welche auch heute noch, so weit es sich um die damals zu stellenden Anforderungen handelt, ihrer Aufgabe gerecht wird. Ganz unklar aber waren in jener Zeit noch die allgemeinen geologischen Verhältnisse des Gebietes; man

kannte nicht, wie heute in Folge der mühsamen Untersuchungen der preussischen Landesgeologen die Gliederung des älteren Harzer Schiefergebirges, man war vor allem nicht in der Lage den geologischen Bau der Andreasberger Gegend aus dem allgemeinen Gesichtspunkt der Architectur des gesammten Harzgebirges zu beurtheilen.

Eine Ergänzung der Credner'schen Untersuchungen in der letzteren Richtung zu geben, ist der Zweck der vorliegenden Arbeit, welche eine Ausführung eines früher einmal gehaltenen Vortrags des Verfassers giebt. (Zeitschr. der deutsch. geolog. Ges. XXXIII. 1881. 348.)

Kayser selbst hat einen Theil des Harzes geologisch kartirt, für einen andern konnte er sich auf die Arbeiten Lossen's stützen, dessen Gesamtkarte des Harzes vollendet ist und demnächst erscheinen wird, es standen ihm ausserdem die Beobachtungen von Groddeck's zur Verfügung, dessen Untersuchungen für die Verfolgung gewisser in der Arbeit weiter ausgeführter Verhältnisse den ersten Anstoss gaben, er benutzte schliesslich mündliche Mittheilungen der Bergbeamten und Aufzeichnungen in den Acten verschiedener Behörden.

Bedingt schon dies beschriebene Gebiet ein besonderes Interesse, so wird dasselbe noch erhöht durch die Art der Untersuchung und Behandlung. Man hört nicht selten ein Bedauern darüber aussprechen, dass geologische Kartenaufnahmen einförmiger Gebiete ein so grosses Quantum von Intelligenz gewissermassen brach legen. Da nun aber geologische Verhältnisse nur selten bei Untersuchung eines eng begränzten Gebietes allseitig richtig verstanden werden können, so bleibt eben nichts übrig als ausgedehnte zeitraubende Aufnahmen. Unter allen Umständen können ausgezeichnete Arbeiten von der Art der vorliegenden nicht anders als durch mühsames, schrittweises Untersuchen, welches zu Beachtung auch der scheinbar unwesentlichsten Aufschlüsse zwingt, zu Stande gebracht werden. Das mag die oft Jahre lang scheinbar resultatlose Arbeit rechtfertigen.

Wir wollen uns in unserem Referat kurz fassen, da ein volles Verständniss der Arbeit nur unter Berücksichtigung der beiden schönen Karten, einer grösseren, das Gebiet zwischen dem Meridian von Braunlage im Osten und der Gegend von Zellerfeld und Wildermann im Nordwesten, des Gebirgsrandes bei Herzberg im Südwesten umfassenden (1 : 100 000) und einer kleineren, aber in grösserem Massstabe (1 : 25000), die nähere Umgebung von St. Andreasberg darstellend, möglich ist. Wir müssen insbesondere von einer ins Einzelne gehenden Wiedergabe der verschiedenen Spaltensysteme absehen und uns beschränken einige allgemeine Resultate hervorzuheben.

Geologische Verhältnisse. In dem zu betrachtenden Gebiete, welches dem Südwestabfall des granitischen Brockenmassivs angehört, sind folgende, ausschliesslich dem Unterdevon angehörige Ablagerungen zu unterscheiden:

Die Tanner Grauwacke, nach oben plattenförmig abgelagert (Plattenschiefer des Ostharzes), ohne Versteinerungen.

Die Wieder Schiefer. Die untere Abtheilung derselben besteht aus Wetz- und Kieselschiefern, hier und und da kalkigen Gesteinen. Auch hier fehlen Versteinerungen, doch handelt es sich um gleichzeitige Niederschläge der die hercynische Fauna in andern Theilen des Harz einschliessenden Kalke.

Über der unteren Abtheilung folgen beinahe ganz reine Thonschiefer mit zahlreichen Einlagerungen von Diabas (Zone der körnigen Diabase).

Die obere Abtheilung der Wieder Schiefer beginnt mit der Zone des Hauptquarzits, in welchem bereits von F. A. Roemer und dann in neuester Zeit von Kayser Versteinerungen nachgewiesen sind, welche auf ein hohes Niveau des Unterdevon weisen. Im Niveau des Hauptquarzites oder etwas tiefer liegen ausserordentlich verschieden entwickelte Porphyroide. Jüngere Sedimentbidungen fehlen.

Mannigfaltig sind die eruptiven Gesteine. Die sehr mächtigen Diabasmassen sind nicht gang- oder stockförmige Massen sondern, wie alle Harzer Diabase, eruptive Lager. Als Contactbildungen treten die fleckschieferartigen Spilosite und die flintähnlichen, zuweilen gebänderten Adinolgesteine, die Desmosite auf. Der Granit auf der West- und Südseite des Brockenmassivs ist ein meist mittelkörniger Biotitgranit, der an den Rändern feinkörnig bis fast dicht wird und nur einzelne grössere Feldspathkrystalle eingeschlossen enthält. Am äussersten Rande gegen den Hornfels und in schmalen Apophysen verschwinden auch die Feldspathkrystalle und es bleibt ein felsitisch aussehendes, glimmerarmes, aber häufig turmalinreiches Gestein übrig. Die Neigung zur Apophysenbildung und das Auftreten von Turmalin, Flussspath und Granat u. s. w. in denselben ist überhaupt bezeichnend für diesen Granit.

Von hohem Interesse sind die, wenigstens z. Th. schon lange bekannten Contactbildungen des Harzer Granits. Dieselben lassen sich an Thonschiefern, Grauwacken, kalkigen Gesteinen, Quarziten, Diabasen, also überhaupt an allen Gliedern des Schiefergebirges, beobachten. Die Schiefer werden in Knotenschiefer und unmittelbar am Contact in den dunklen, splittrigen, basaltartig aussehenden Hornfels umgewandelt. Die Grauwacken verlieren bei der Metamorphose ihre Schichtung und werden zu harten, klingenden, scheinbar gleichartigen Gesteinen.

Kalke gehen in zuckerkörnigen, krystallinischen Kalk mit eingewachsenen Silicaten oder in verschieden hell gefärbte Kalksilicate, die Kalkhornfelse, über. Quarzitische Gesteine werden am wenigsten verändert, sind aber durch das Auftreten von Turmalin ausgezeichnet.

Die Diabase werden hart, splittrig, dunkel gefärbt. Der Feldspath wandelt sich in Epidot um, die Kalkspathmandeln in Grossular. Auf der Karte Taf. XI ist die äussere Grenze der Metamorphose durch eine Linie bezeichnet.

Nur ein Quarzporphyrgang ist bekannt, der bei nur wenige Meter Breite sich über 1 km Länge verfolgen lässt. Das Gestein zeigt in der Mitte des Ganges die grosskörnige Beschaffenheit des Lauterberger Porphyrs, an den Rändern wird es dicht und sphärolithisch. Auch von Melaphyr ist nur ein Gang bekannt.

Diluvial mögen die wallartigen Schuttanhäufungen sein, welche der Verfasser als Reste alter Moränen deutete (dies. Jahrb. 1882. II. -398-). Alluvial sind die Absätze in den Thalsohlen.

Die Schichten stellen ein System von SW nach NO streichender, überkippter Falten dar, deren Flügel fast ausnahmslos nach SO einfallen. Dies Verhalten zeigen sowohl die im SW des Brockenmassivs liegenden Unterdevonbildungen, wie die auf der Nordwestseite desselben liegenden Culmbildungen der Klausthaler Gegend. Sattelfalten und Muldenfalten wechseln also miteinander. Der Verfasser schildert die Hauptfalten, welche auf der Karte deutlich hervortreten und macht noch auf die vielfachen Specialfaltungen und Zertrümmerungen aufmerksam, welche eine bezeichnende Eigenthümlichkeit des ganzen Gebietes sind.

Der genaue Verlauf der Spaltensysteme muss auf der Karte verfolgt werden. Wir begnügen uns darauf hinzuweisen, dass zunächst zwei grosse Spalten zu unterscheiden sind, welche mit den Namen der Oder- und der Ackerspalte bezeichnet werden. Das Vorhandensein der ersteren wies Herr v. Groddeck zuerst nach, später wurde sie und die letztgenannte Spalte von Lossen, Kayser und von Groddeck in ihrem weiteren Verlauf festgestellt. Beide Spalten beginnen in der Gegend des Andreasberger Rinderstalles, divergiren aber dann, indem die Oderspalte ziemlich nordsüdlich streicht, die Ackerspalte aber nach NW ungefähr in der Richtung nach Clausthal sich erstreckt. Quarz, stellenweise mit andern Mineralien und Erzen, bildet die Gangmasse. Von grossem Interesse ist es, dass nicht nur die geschichteten Massen, sondern auch der Granit durch diese Spalten verworfen werden.

Abgesehen von weniger bedeutenden Parallelspalten tritt ein ganzes System von Spalten westlich, ein anderes östlich der Oderspalte auf. Alle diese Spalten stellen Querzerreissungen dar, welche die Schichten verwerfen und Gangmineralien, vor allem Quarz führen. Das Streichen ist allgemein NW in hercynischer Richtung.

Eine Reihe südlich von Andreasberg liegender Gänge streicht meist ebenfalls in hercynischer Richtung. Das Hauptgangmineral ist hier aber Schwerspath daneben Eisen- und Kupfererze.

Für das Andreasberger Gangnetz sind von der grössten Bedeutung die Ruscheln (faule Ruscheln), d. h. sehr mächtige, mehrere bis 30 m breite Spalten, die mit einem mehr oder weniger thonigen, mürben bis bröckeligen, an Rutschflächen und Harnischen reichem dunkelfarbigem Material ausgefüllt sind. Lange bekannt sind die beiden Hauptruscheln, die Neufanger im Norden, die Edelleuter im Süden, letztere mit zwei kürzeren Nebenruscheln, der Silberburger und der Abendröther. Der genaue Verlauf der Hauptruscheln, welche ein nach Osten offenes Dreieck bilden, wird, z. Th. nach Untersuchungen der jüngsten Zeit, geschildert. Innerhalb der Ruscheln setzten die eigentlichen Andreasberger Gänge auf, welche theils einer ostwestlichen, den Ruscheln ungefähr parallelen, theils einer nordwestlichen, der Ackerspalte parallelen Richtung folgen. Während die Ruscheln steil nach S einfallen, fallen die Gänge nach N resp. NO

ein. Letztere sind sämmtlich edel, sie enthalten neben Kalkspath und anderen Mineralien und Arsen-, Antimon-, Blei-, Zink-, Kupfer- etc. Erzen auch Silbererze. Keiner der Gänge reicht über die Gangruscheln hinaus, alle stellen sie nur unbedeutende Spalten dar, während die Gangruscheln das Gebirge verwerfen.

Schliesslich finden noch die in der Umgebung des Oderthales unterhalb des Andreasberger Rinderstalles und im S und SW von Braunlage auftretenden kleineren Bruchlinien und Erzgänge eine Besprechung.

Die Arbeit giebt zur Zusammenstellung folgender Resultate Veranlassung. Die Mehrzahl der im W und SW des Brockenmassivs auftretenden Gänge streicht in einer der Gebirgsaxe nahezu parallelen Richtung. Nur einige, wie die Oderspalte, streichen NNW bis N. Alle diese Spalten sind Querspalten. Eine Gruppe anderer Bruchlinien und Gänge, deren wichtigste die Andreasberger Ruscheln sind, haben eine ungefähr ostwestliche Richtung und sind Diagonalsprünge. Ganz untergeordnet treten Längsverwerfungen auf.

Alle genannten Spalten sind Verwerfer und durchsetzen auch den Granit. Dieser letztere ist also nicht, wie oft geschehen, mit dem Aufreissen der Spalten in Beziehung zu bringen. Dies gilt wie für die Andreasberger in gleicher Weise für die in naher Beziehung zu denselben stehenden Clausthaler Gänge.

Alle Spalten sind wahrscheinlich nahezu gleichzeitig entstanden, wenn auch kleine Altersdifferenzen vorhanden sein mögen.

Was die Zeit der Spaltenbildung betrifft, so lässt sich aus den Gesammtverhältnissen der den Harz und die Randbildungen desselben zusammensetzenden Massen folgern, dass das Aufreissen erst einige Zeit vor Anfang der Dyaszeit stattfand, also in der jüngeren Carbonzeit. Über die ältere Dyaszeit gieng die Spaltenbildung aber nicht hinaus.

Eine sehr auffallende Erscheinung bildet die Verschiedenheit in der Ausfüllung der Andreasberger Spalten. Das Material der edlen Andreasberger Gänge zwischen den Ruscheln könnte nach dem Verfasser in Beziehung zu den Diabasen stehen, denn diese führen wie jene Zeolithe. Der Quarz- und Eisengehalt der Gänge nördlich von Andreasberg könnte aus dem Granit stammen. Zweifelhaft ist die Herkunft des Schwerspaths der Lauterberger Ganggruppe. Im Auge zu behalten ist, dass diese überwiegend in der Tanner Grauwacke liegt.

Der Nachweis, wie die auffallende Form einiger Gesteine bei ihrem Zutagetreten sich als eine Folge der Verwerfungen ergiebt, beschliesst die inhaltreiche Arbeit. **Benecke.**

James Geikie: The Intercrossing of Erratics in Glacial Deposits. (Separatabdruck aus dem „Scottish Naturalist". Part 1. 1882.)

Der Verfasser will in dieser Abhandlung den Nachweis liefern, dass der letzte von den Anhängern der Drifttheorie gegen die neuere Anschauung über das Wesen der Diluvialablagerungen erhobene Einwand, das Zusammenvorkommen von Wanderblöcken von verschiedenem Heimathsgebiet

betreffend, ein nichtiger sei, ja dass die scheinbar entgegenstehenden Thatsachen nur unsere heutige Auffassung bestätigen helfen. — Schon vor einigen Jahren lenkte Verfasser (Great ice age. p. 609) die Aufmerksamkeit auf einen das mittlere Schottland quer durchziehenden Gürtel, in dem sich nördliche und südliche Findlinge mit einander vermischen, während nord- und südwärts desselben eine solche Vermischung nicht stattgefunden hat. Diese Erscheinung wird daraus erklärt, dass je ein von N. und ein von S. kommender Gletscher in diesem Gürtel zusammenstiessen und nun gezwungen waren, nach rechts und links auszuweichen. Ein Gleiches wiederholt sich innerhalb des silurische Schichten überlagernden Geschiebemergels an der Basis des schottischen Hochlandes. Man findet daselbst an einigen Stellen einen graublauen Geschiebemergel, der nur silurische Gesteinsfragmente enthält und als die Ablagerung eines von W. kommenden Gletschers betrachtet werden muss, während derselbe an anderen Orten durch die reichliche Einmengung von Blöcken des Old Red Sandstone röthlich erscheint und auf einen östlichen oder südöstlichen Ursprung hindeutet. Ausserdem stellt sich heraus, dass der blaugraue Geschiebemergel den röthlich gefärbten unterlagert. Die Erklärung hierfür stimmt überein mit der von Croll für analoge Glacialphänomene von Caithness und den Shetlandsinseln gegebenen. Der tiefer gelegene blaue Mergel wurde zu einer früheren Zeit abgelagert, als das schottische Inlandeis noch unbehindert nach O. und SO. vordringen konnte, dagegen gehört der rothe Mergel der Folgezeit an, wo das grosse skandinavische Eismeer den schottischen Gletscher bei Seite drängte und ihm eine nordöstliche Richtung verlieh. — Weitere hierher gehörige Beobachtungen über das Durchkreuzen von Geschiebebahnen in Verbindung mit verschiedenartiger Gletscherschrammung sind neuerdings von Peach und Horne „Glaciation of Caithness. Proc. Royal Physical Society. Edinburgh 1881" beschrieben worden und können nur durch Inlandeis, nicht durch strandende Eisberge erklärt werden.

Verf. wendet sich nunmehr zu entsprechenden Erscheinungen auf dem Continent.

Die Hügellandschaft Ostfrankreichs ist einstmals von Eismassen bedeckt gewesen, die durch Vereinigung des grossen Rhone-Gletschers mit denen aus Savoyen und der Dauphiné entstanden sind. Daneben gab es auch Localgletscher, die ihren eigenen Thälern nachgingen. Nun aber schneiden sich die durch die alpine und die locale Vergletscherung indicirten Gletscherschuttbahnen unter allen möglichen Winkeln, ja dieselben laufen sich sogar entgegen. Verf. belegt das durch verschiedene Beispiele, indem er sich auf die Untersuchung von Falsan und Chantre stützt, welche Geologen in ihrem Werk „Die alten Gletscher und Schuttablagerungen im Rhonebassin" (Jb. 1881. II. -93-) eine sehr einfache Erklärung dafür geben. Lange bevor die den Alpen entstammenden ausserordentlichen Eismassen die Hügellandschaft des östlichen Frankreichs, der Dauphiné und Savoyens überflutheten, gab es auf dessen höher gelegenen Punkten besondere Firnfelder und Gletscher, die ihren Schutt in eigenen Thälern verbreiteten. Als dann später das alpine Gletschermeer weiter nach W. und SW. drang,

wurden die Lokalgletscher entweder überstiegen oder bei Seite gedrängt; beim Schwinden des ersteren traten natürlich letztere wieder in ihre Rechte. Daher auch hier, wo doch schwimmende Eisberge gänzlich ausgeschlossen sind, das Gemisch von Geschieben aus verschiedenen Ursprungsrichtungen und die häufig zu beobachtende Thatsache, dass der verschiedenartige Moränenschutt einander überlagert.

Auch aus dem norddeutschen Flachlande kennt man ganz dieselben Verhältnisse. In Sachsen vorkommende Geschiebe weisen auf eine Gletscherrichtung von NNO. nach SSW. hin. Aber eben dieselben Findlinge kommen auch in Dänemark und Holland vor und fordern einen früheren Gletscherstrom von NO. nach SW. und W. Ebenso wird gothländisches Gestein bei Gröningen, solches von Oeland bei Faxö gefunden und finnisches Material bei Hamburg. Die Anschauung von einer doppelten und zeitlich verschiedenen Gletscherstromrichtung ist daher die natürliche Folge. Zu Anfang der allgemeinen Vergletscherung, als noch das Ostseebecken die Grenzen der nordischen Eismassen bestimmte und selbst dann noch, als bereits ein beträchtlicher Theil Preussens invadirt war, musste das Inlandeis beim Vorschreiten der baltischen Depression folgen und auf lange Zeit hinaus konnten aus Finnland, den baltischen Inseln und dem östlichen Schweden stammende Blöcke nur in südwestlicher und westsüdwestlicher Richtung verschleppt werden. Als jedoch das Inlandeis sich weiter nach S. und O. ausdehnte, mussten ganz naturgemäss die vorbezeichneten Gesteinsblöcke nach SSO., S. und SSW. ablenken. Und wiederum mussten beim Abschmelzen des Inlandeises die alten Verhältnisse eintreten und die südwestliche Richtung die vorherrschende werden.

In der Folge wendet Verf. sich zu einer eingehenden Kritik der von Mackintosh zu Gunsten der Eisbergtheorie aus seinen Beobachtungen über die Richtung und Verbreitungsgrenzen der Geschiebe im westlichen England und südlichen Wales gezogenen Schlüsse. Aus diesem polemischen Theil der Abhandlung wollen wir nur die Hauptpunkte hervorheben Mackintosh' Einwände bilden das Zusammenvorkommen der Geschiebe verschiedenen Ursprungs; die Geschiebe derselben Heimath nehmen an ihrem Ende eine grössere Breite ein als an ihrem Anfang und die von ihnen eingehaltenen Bahnen divergiren in den verschiedensten Richtungen. Das alles kann nur unter Annahme einer Bedeckung des Meeres erfolgt sein, auf dem mit Schutt beladene Eisschollen nach jeder Richtung hin verschlagen werden konnten; und für den Absatz des Geschiebemergels spricht auch die gelegentliche Andeutung einer „Stratification". Das plötzliche Aufhören nördlicher Geschiebe an einzelnen Stellen, wie z. B. in der Nähe von Wolverhampton, wird bedingt durch die Intervention eines warmen Meeres-, resp. Luftstroms.

Mit Recht fragt demnach Geikie, wo dann die fossile Fauna zu finden sei, die doch bei dem Absatz des Geschiebemergels unter Meeresbedeckung nothwendigerweise vorausgesetzt werden müsse? Aber was bisher davon gefunden ist, sowohl die bei Caithness als auch im „Blocklehm" Preussens erhaltenen Schalreste deuten, nicht anders wie die in den Ablagerungen

des Rhonegletschers und aus der Nähe des Luganer Sees, auf deren Wesen als Geschiebe hin, denn Meeres- und Süsswassermuscheln, solche aus seichten und tiefen Gewässern und wiederum aus kaltem und gemässigtem Klima kommen durch einander gemischt vor. Die Andeutung einer rohen Schichtung ist eine Wirkung des intensiven Drucks, die die ausserordentliche Eislast auf ihre Grundmoräne ausüben musste und die übrigen von Mackintosh erhobenen Einwürfe sind aus dem Gesichtspunkt zu erklären, dass die Vergletscherung Englands sich ganz allmälig herausgebildet hat, dass die Richtung der anfänglich bestehenden lokalen Gletscherströme beeinträchtigt und abgelenkt ist durch die spätere Invasion der gewaltigen Eismassen, die aus dem Bassin der irischen See von W. und aus der Nordsee von O. in England eindrangen. G. Berendt.

L. Bucca: Appunti geologici sui monti del Gargano in prov. di Capitanata. (Boll. Com. geol. Ital. Roma 1881. XII. p. 556.)

Der Mte. Gargano bildet eine Gruppe mehrerer 800—1055 Met. hoher Bergkuppen, welche mit der appenninischen Hauptkette nur durch eine Reihe niedriger, aus Pliocänbildungen bestehender Hügel zusammenhängt, so dass sie von weitem betrachtet den Eindruck einer dem Festland genäherten Insel hervorruft. Nach Süden und Osten ist der Abfall steil, nach Norden flach. Der Gargano besteht vorwiegend aus mesozoischen Kalken, nur die jüngsten Schichten gehören dem Eocän (s. über dieses Jahrb. 1883. I. 274) an, welches durch einen röthlichen oder gelblichen Thon, Nummulitenkalk und zerreiblichen Kalk mit Echiniden vertreten wird. Das letzte Glied unterlagert den Nummulitenkalk, erinnert in der petrographischen Beschaffenheit zuweilen an die weisse Senonkreide und führt zahlreiche Seeigel, welche dessen Zugehörigkeit zu der Pariser Stufe erweisen. Die Kreideformation wird gebildet durch massigen Hippuritenkalk und darunter liegende, wohlgeschichtete Kalkmergel mit Knollen oder Bänken von Hornstein. Stellenweise findet sich im letzteren die *Rhynchonella peregrina,* die auf neocomes Alter weist; namentlich im valle dell' Incoronata ist eine bis zu 10 Met. mächtige Bank fast ausschliesslich aus Schalen dieser Rhynchonelle zusammengesetzt. Die Juraformation besteht aus hellem, compaktem Kalke mit Nerineen, *Diceras Escheri* Lor. und *Natica immanis* Gemm. tithonischen Alters. Darunter liegt ein bituminöser, schwarzer Kalk und endlich ein gelber, compakter Kalk, beide ohne Fossilien. Der letztere gleicht petrographisch dem Kalk mit *Am. fallax* der Centralappenninen. Zwei Durchschnitte dienen zur Erläuterung der beschriebenen Verhältnisse. V. Uhlig.

W. Frantzen: Die Störungen in der Umgebung des grossen Dollmars bei Meiningen. (Jahrb. d. k. Preuss. geolog. Landesanstalt und Bergakademie für 1880. 106.)

Der grosse Dollmar ist eine triadischen Schichten aufgesetzte Basaltkuppe zwei Stunden nordöstlich von Meiningen gelegen, welche sich zu der beträchtlichen Höhe von 1964' erhebt und daher als Aussichts-

punkt einen grossen Ruf hat. In der Umgebung dieses Berges treten eine Anzahl Störungen auf, welche Herr Frantzen, der liebenswürdige und unermüdliche Führer auf den Excursionen gelegentlich der Jahresversammlung der deutschen geologischen Gesellschaft im Herbst 1882 in Meiningen, zum Gegenstand eingehender Untersuchung gemacht hat. Die Arbeit mit der Karte ($\frac{1}{25000}$) und den beigegebenen Profilen wird jedem Besucher der Meininger Gegend ein zuverlässiges Orientirungsmittel abgeben.

Die Verwerfungen auf der Südseite des Thüringer Waldes machen sich auf der Oberfläche häufig als Gräben bemerkbar, was daher rührt, dass zwischen parallelen Sprüngen jüngere Schichten längs der älteren eingesunken sind. Die Ränder der gegen einander verworfenen Theile zeigen in vielen Fällen ein eigenthümliches Verhalten, indem sie nicht, wie bei gewöhnlichen Verwerfungen, einfach aufgebogen sind, sondern beide Theile sich hakenförmig krümmen, so dass die Convexität dieser Haken gegeneinander gekehrt ist. Diese Art der Biegung deutet nach dem Verfasser auf einen seitlichen Druck bei starker undulatorischer Erschütterung. Die Profiltafel zeigt eine ganze Anzahl interessanter Darstellungen des Verhaltens der Gebirgsmassen an den Spalten, wegen deren wir unsere Leser ebenso wie wegen Schilderung des Verlaufs der Spalten und ihres Zusammenhanges mit denen benachbarter Gebiete auf das Original verweisen. Die Frage nach der Entstehung der Spalten lässt der Verfasser offen, doch scheint er geneigt, dabei dem Basalt eine Rolle zuzuweisen. **Benecke.**

A. Helland: Versuch einer geologischen Discussion. (Arch. for Math. och Naturvidensk. 1881. pg. 171—327. Christiania.)

Die Arbeit ist wesentlich polemischer Natur und bekämpft z. kl. Th. auf Grund eigener Beobachtungen, z. gr. Th. auf Grund einer Discussion der Beobachtungen von Kjerulf und anderen norwegischen Geologen die von Kjerulf vertretenen Anschauungen über den geologischen und topographischen Bau dieses Landes. Die Discussion der fraglichen Punkte würde entschieden dabei gewonnen haben, wenn Verf. derselben nicht einen so persönlichen Ton gegeben hätte. **W. C. Brögger.**

L. Meinich: Tagebuch von einer Reise im Trysil im Sommer 1879. (Nyt Mag. f. Naturv. B. XXVI. p. 12—26. Kristiania 1881.)

L. Meinich: Über das Verhältniss der Kvitvola-Etage zum Quarzit und zu den Sandsteinen des Trysilgebirges. (Ebend. p. 27—33.)

Der geologische Bau des betreffenden Landstücks sollte nach dem Verfasser dieser sein: Über dem rothen Sparagmit zuerst 1) eine 970—1050′ mächtige Ablagerung von Quarzit mit glänzenden Schiefern (Phylliten?); 2) Kalksandstein mit Thonschiefern und kleineren Einlagerungen von Dolomit, 350—460′; 3) der obere Quarzit und Quarzsandstein, die höchsten

Gipfel bildend, ung. 770—1000′; gesammte Mächtigkeit also ung. 2090—2510′. Silurische Schichten, Orthoceraskalk, finden sich an mehreren Stellen, namentlich bei Högberget; der Verfasser fasst dieselben als Ausfüllungen rinnenförmiger Vertiefungen in den unterliegenden älteren Sparagmit- und Quarzitgesteinen auf, eine Auffassung, der der Referent nicht beitreten kann. Eine an der Ostseite des Thales zwischen dem Trysil-Kirchspiel im Süden und „Lille Engersö“ im Norden auftretende Granitmasse sieht der Verf. als jünger als die dieselbe überlagernden Quarzite etc. an („Fussgranit“); der Referent hält diese Ansicht vorläufig für ungenügend begründet. **W. C. Brögger.**

Fr. Müller: Einige Nickelvorkommnisse auf Ringeriket. (Mit 1 Karte in 6 zusammengehörenden Holzschnitten. Ibid. p. 34—43.)

Der Verfasser beschreibt kurz die Verhältnisse an einer Reihe von Nickel-Erzvorkommnissen, wesentlich von nickelhaltigem Magnetkies auf den Langdals-, Skougs-, S. Skougs- und Gjälde-Gruben. In den meisten derselben tritt das Erz entweder in kleinen Gabbromassen an ihrer Grenze oder ganz in der Nähe solcher, in ein paar Fällen (bis jetzt) nur als Imprägnation in krystallinischen Schiefern auf (S. Skougs-Grube). In der Gjälde-Grube zeigte sich das Vorkommen zuerst nur als Imprägnation in den Schiefern, welche aber gegen die Teufe hin, wo bald Gabbro gefunden wurde, allmählig reicher wurde. — Die kleine Abhandlung liefert eine neue, werthvolle Bestätigung der schon durch so viele Beispiele bewiesenen, ursprünglich von dem verstorbenen J. Dahll aufgestellten Theorie von der innigen Verknüpfung des nickelhaltigen Magnetkieses mit kleinen im Grundgebirge auftretenden Gabbromassen. **W. C. Brögger.**

J. H. L. Vogt: Wismuthglanzvorkommen an der Südostspitze von N. Sandö. (Ibid. p. 67—68.)

Einige bis 1 Meter mächtige Quarzgänge setzen durch Granit an beiden Seiten eines dunklen Ganggesteins (Augitporphyr?); sie führen ausser Wismuthglanz noch Eisenkies (∞O∞), dunkelbraune Zinkblende, Magneteisen, Kaliglimmer und Flussspath. **W. C. Brögger.**

Hans H. Reusch: Torghatten und Kinnekloven. (Ibid. p. 69—92.)

Der Verfasser liefert eine von zahlreichen Zeichnungen begleitete Beschreibung der bekannten Höhle in Torghatten (in Helgeland) und von „Kinnekloven“ (N. Bergenshus Amt) und sucht den Beweis zu liefern, dass ihre Bildung auf die Arbeit der Meeresbrandung zurückzuführen ist, indem sie die vorhandenen Spalten erweitert und das Gestein wegspült. Dann wird im Anschluss an frühere Arbeiten des Verfassers über denselben Gegenstand eine Anzahl von Höhlen beschrieben („Store Byrgehilleren, Lithe Byrgehilleren und andere auf der Insel Kin, Trollhole auf der Insel Reksten, Ovnen und Storhelleren auf der Insel Batalden, die Bremsnashöhle auf Averö, die Harebakhöhle auf Stoksund, N. Trondhjems Amt).

Der Verfasser meint, dass Höhlen, Tunnels (wie Torghatten), Klüfte (wie Kinnekloven), gewisse „Skor“ (Schlucht) und „Sund“ einzelne Stadien in den Wirkungen der Meeresarbeit repräsentiren. Für die von der Meeresbrandung gebildeten Höhlen charakteristisch ist nach dem Verfasser: das Vorkommen in Felswänden, welche mehr oder weniger unmittelbar der Einwirkung der Wellen des offenen Meeres ausgesetzt sind oder früher ausgesetzt waren, ursprünglich vorhandene Spalten, eigenthümlich abgeglättete Wände, welche der Verfasser als „polstret fjeld“ bezeichnet, Dimensionen, welche in der Regel nach innen abnehmen, oder vielmehr stets wenn nicht jüngere Abbröckelungen das ursprüngliche Verhältniss änderten. Was die Form der Höhlen betrifft, so unterscheidet der Verfasser 2 Typen: 1) mit mehr oder weniger triangulärem Querschnitt der Öffnung; 2) mit rektangulärem Querschnitt, je nachdem das Meer vorzugsweise längs einer einzigen oder mehreren sehr benachbarten Spalten, die als eine einzige wirken konnten, oder längs mehreren hinreichend entfernten parallelen Spalten arbeiten konnte. **W. C. Brögger.**

Hans H. Reusch: Ein Besuch in den Silbergruben Svenningdalens. (Ibid. p. 171—176.)

In der Nähe eines grösseren Gebiets von eigenthümlichem gestreiftem Granit treten kleine erzführende Gänge in steilfallenden wechselnden Kalksteinen und krystallinischen Schiefern (Hornblendeschiefern) auf. Die Gangmasse besteht in dem grössten, ung. 1.5 m mächtigen Gang aus derbem, weissem Quarz mit weissem Feldspath und Chlorit, daneben in kleinen Nestern Bleiglanz, Zinkblende, Kupferkies, Arsenkies, Eisenkies, Geokronit (?). Der Bleiglanz soll ung. 0.6 Proc., die Zinkblende 0.6—0.7 Proc. Silber enthalten. **W. C. Brögger.**

O. N. Hagen: Reisen für die geol. Landesuntersuchung, 1880. (Nyt Mag. f. Naturv. B. XXVII p. 55—76.)

Es werden mitgetheilt: 1) Tagebuchsnotizen von Holtefjeld, von Randsfjord's und Sperillens Umgebungen; 2) Profile aus der Gegend bei Grunelien (Stavenässet).

J. H. L. Vogt: Geschichtete Moränen. (Kristiania Vid. Selsk. Forhandlingar 1881. No. 8. p. 1—4.)

Enthält einige Beobachtungen von dem bekannten „Ra“, einer zwischen Moss und Tistedalen in Smålenene östlich vom Kristianiafjord ausgedehnten, ca. 65 Kilometer langen, alten Moräne. Dieselbe zeigte sich in allen vom Verf. untersuchten Durchschnitten in ihrer ganzen Mächtigkeit geschichtet. In den von Björnstad bei Fredrikshald mitgetheilten Zeichnungen sieht man, dass die Schichten der Moräne stark zusammengepresst sind, was Verf. dadurch erklärt, dass die einmal hinter der Moräne sich ausbreitende Masse des Binnenlandeises dieselbe gegen einen vorliegenden Felsen aufgestaut habe. **W. C. Brögger.**

J. H. L. Vogt: Einige Bemerkungen über den Granit. (Ibid. No. 9. p. 1—30.) Mit 2 lithographirten Karten und mehreren Holzschnitten.

Verf. hat eingehende Beobachtungen über die Tektonik (nicht Structur, wie Verf. es nennt) des alten Fredrikshaldgranits, wie mehrerer jüngeren Granite und Syenite gemacht; dieselben werden von erläuternden Karten über die Verhältnisse der Bankung aus dem Syenitgebiete nördlich von Kristiania, aus dem Granit des Drammenfjords, aus dem Augitsyenit Bollärenes und aus dem Granitgebiet bei Fredrikshald begleitet. Überall wird es nachgewiesen, dass die jetzige Oberfläche im Grossen von der Bankung des Granits etc. abhängig ist. Wenn aber Verf. noch weiter schliesst, „dass die jetzige Oberfläche in den erwähnten jüngeren Granit- resp. Syenitgebieten nur unbedeutend unter der ursprünglichen liegt", dass also die Erosion hier nur ganz unbedeutend gewesen wäre, dann scheint die Begründung dieser Behauptung schwach und stimmt nicht mit anderen bekannten Beobachtungen. **W. C. Brögger.**

Th. Kjerulf: Fortgesetzte Bemerkungen über Reliefverhältnisse. (Ibid. No. 1. p. 1—22.)

Verf. stellt hier die Meinung auf, dass die prallen Mauerlinien der Silurformation etc. (mit den überlagernden Sandsteinen und Porphyrdecken) auf den Linien: Modum—Tyrifjord, Holsfjord—Stensfjord, Sandsvär—Eker, Skiensthal etc. nicht durch Erosion gebildet, sondern „relativ ursprünglich gegeben" wären. Zur Erläuterung der Anschauung Verf.'s über die Bildung der Seen und Thäler werden ferner im Anschluss an seine frühere Abhandlung über denselben Gegenstand Beobachtungen über die Tiefenverhältnisse im Ekernsee, im Randsfjord (zwischen Onsberget und Sölosberg), im Mjösen (bei Furuberget und Helgö), von Karten in Holzschnitten begleitet, mitgetheilt, ferner auch eine Karte über die „Störenenge" im Gulthal. **W. C. Brögger.**

A. Blytt: Die Theorie von wechselnden kontinentalen und insulären Klimaten auf die Hebung Norwegens angewandt. (Ibid. No. 4. p. 1—16.)

Verfasser hat in einer früheren Reihe von Abhandlungen für seine sinnreiche Hypothese über die Abwechselung von regenreichen und trockenen Perioden nach der Eiszeit besonders aus den pflanzengeographischen Verhältnissen Norwegens, ferner aus seinen umfassenden Untersuchungen über eine grosse Anzahl von dessen Torfmooren Beweise zu erbringen gesucht. In der richtigen Erkenntniss, dass so durchgreifende Änderungen, wie die durch längere Zeitläufte hindurch sich mehrfach wiederholenden Wechsel von trockenem und regenreichem Klima, auch in den Oberflächenverhältnissen zur Erscheinung gelangen und auch auf andere Weise sich kundgeben müssten, hat Verfasser in der vorliegenden Abhandlung mehrere Reihen hieher gehöriger bekannter Thatsachen in den Bereich seiner Unter-

suchung hineingezogen, um zu prüfen, wie dieselben mit seiner aus ganz anderen und unabhängigen Beobachtungsreihen abgeleiteten Hypothese stimmen können. Dass die alten Moränen, wie sie die Karte von Kjerulf zeigt, sich in Reihen ordnen, erklärt Verf. in Übereinstimmung mit seiner Hypothese so, dass während der Abschmelzung des Eises in den feuchten Perioden eine Unterbrechung in dem Zurückschreiten des Eisrandes eintreten müsste, wodurch eine Moränenreihe abgelagert werden konnte. Nach der Eiszeit hat sich Norwegen, wie bekannt, im südlichen Theil ca. 600′, im nördlichen Theil weniger, ung. 300′, gehoben. Über die Art, in welcher diese Hebung stattgefunden hat, sind, wie bekannt, die Anschauungen der Forscher verschieden; Verf. schliesst sich der Ansicht Sexe's an, nach welcher die Hebung langsam, ununterbrochen, ohne dazwischentretende Ruhezustände vor sich gegangen sei. Während dieser Hebung sind nun Muschelbänke („Skjälbanker"), Terrassen und Strandlinien gebildet. Diese Bildungen müssen dann auch in Übereinstimmung mit der Hypothese Verf.'s erklärt werden können.

Die Muschelbänke kommen im südöstlichen Norwegen in zwei getrennten Niveaus zwischen 50′ und 200′ und zwischen 350′—540′ ü. d. M. vor; zwischen 200—350′ ist bis jetzt in diesen Gegenden keine einzige gefunden. In der naheliegenden schwedischen Landschaft Bohuslän sollen dagegen nach Olbers Muschelbänke in allen Höhen bis 540′ ü. d. M. bekannt sein. Verf. erklärt nun dies auffallende Verhältniss so: die Torfmoore scheinen zu beweisen, dass in Norwegen, als das Land ca. 350′—150′ tiefer als jetzt lag, ein kontinentales Klima herrschte; während eines solchen musste wahrscheinlich die Eisdecke der inneren Theile der Fjorde die Erhaltung der gebildeten Muschelbänke verhindern, indem dieselben, sobald sie bei der stätig fortdauernden langsamen Hebung bis zum Niveau der Meeresoberfläche gehoben wurden, jeden Winter der Zerstörung durch das Fjordeis ausgesetzt werden mussten. In dem dem offenen Meere zugewandten Bohuslän dagegen konnte wahrscheinlich die Eisbildung selbst während der Perioden mit einem kontinentalen Klima nicht so bedeutend sein, weshalb die einmal gebildeten Muschelbänke hier nicht bei der langsamen ununterbrochenen Hebung (wofür ja das Vorkommen derselben in allen Höhen bis 540′ ü. d. M. spricht) wieder zerstört wurden.

In Bezug auf die Terrassen hebt Verf. hervor, dass sie in naheliegenden Thälern oft in verschiedener Höhe liegen und nicht in gleicher Anzahl vorkommen; diese Beobachtungen sollen nach Verf. nur unter der Annahme einer langsamen ununterbrochenen Hebung, wobei durch die verschieden starke Schuttführung der Flüsse und Bäche in abwechselnden regenreichen und trockenen Perioden die Terrassenbildung (und nicht die Bildung einer ununterbrochenen schrägen Ebene) überhaupt ermöglicht wurde, zu erklären sein. Unter der Annahme einer sprungweisen Hebung dagegen müssten auch die Terrassen in naheliegenden Thälern genau in gleicher Höhe ü. d. M. belegen sein, was aber nach den Beobachtungen kaum der Fall ist.

Betreffs der Strandlinien macht Verf. darauf aufmerksam, dass sie nur auf solchen Strecken der norwegischen Küste bekannt sind, wo ein bedeutender Unterschied zwischen Ebbe und Fluth stattfindet, ferner nicht nach dem offenen Meer zu, sondern in den inneren Theilen enger Fjorde und Sunde, endlich dass bei weitem die meisten nördlicher als der Polarkreis beobachtet wurden. Im Ganzen kommen sie also an solchen Lokalitäten vor, wo ein relativ kontinentales Klima mit strenger Winterkälte vorausgesetzt werden kann. Verf. denkt sich nun die Strandlinien während der ununterbrochenen Hebung wesentlich in Perioden mit kontinentalem Klima auf die Weise gebildet, dass die während der Fluth unter strenger Winterkälte überschwemmten Strandfelsen durch die Ebbe blossgelegt und der sprengenden Kraft des in Spalten und Poren eingedrungenen, zu Eis gefrorenen Wassers ausgesetzt wurden. Diese im Wesentlichen neue Erklärung der Strandlinienbildung scheint viel besser als die bis jetzt aufgestellten mit den Beobachtungen übereinzustimmen.

Indem Verf. sich also der Sexe'schen Auffassung der Hebung des Landes, als langsam ununterbrochen, anschliesst, findet er, dass die Hypothese von abwechselnden kontinentalen und insulären Klimaten am besten unter einem gemeinsamen Gesichtspunkt die Beobachtungen über die geographische Verbreitung der norwegischen Flora, über die Torfmooren, über die Muschelbänke, die Terrassen und die Strandlinien erklären kann: „Die kontinentalen Perioden hinterliessen an günstigen Stellen ihre Merkzeichen durch Strandlinien in festem Felsen, durch den Mangel der Muschelbänke, durch die in den Torfmooren auftretenden Waldschichten, vielleicht auch durch (gewisse) Terrassen. Die insulären Perioden sind durch weit von dem offenen Meere entfernte Muschelbänke, durch Terrassen und durch Torfschichten ausgezeichnet." **W. C. Brögger.**

O. E. Schiötz: Das Sparagmit-Quarz-Gebiet im östlichen Theil von Hamar Stift. (Nyt Mag. f. Naturv. Bd. XXVII. p. 154—216.) Kristiania 1882. Mit einer Karte und mehreren Holzschnitten.

Der Verfasser zeigt in ausführlicher Darstellung auf Grund neuer und älterer Beobachtungen, dass die von L. Meinich (siehe oben -424-) aufgestellte Erklärung der Schichtfolge bei Högberget nicht richtig sein kann. Nach seiner Auseinandersetzung scheint es zur Zeit am wahrscheinlichsten, dass die schon früher von ihm angenommene Überlagerung der Kvitvolaquarzetage über dem silurischen Orthocerenkalk (Et. 3, Kjerulf), als eine jüngere, mächtige Suite von Sparagmiten, Quarziten etc., welche nach Schweden hin fortsetzt, anzuerkennen wäre. Auch wird vom Verf. eine Zusammenstellung mit den angrenzenden schwedischen Ablagerungen versucht. **W. C. Brögger.**

O. E. Schiötz: Über einige untersilurische Überbleibsel im südlichen Theil des Sparagmit-Quarzgebiets. (Ibid. p. 261—66.)

Beschreibt genauer die Verhältnisse bei Brumundkampen, bei den „Brensaeter" und auf Kletten. **W. C. Brögger.**

H. Loretz: Beitrag zur geologischen Kenntniss der cambrisch-phyllitischen Schieferreihe in Thüringen. (Jahrbuch der Preuss. geolog. Landesanstalt, 1881, S. 175—257. Mit 1 geolog. Karte.)

H. Loretz: Über Transversalschieferung und verwandte Erscheinungen im Thüringischen Schiefergebirge. (Ebenda, S. 258—306. Mit 1 Tafel.)

Die beiden Arbeiten enthalten im Wesentlichen die Resultate der geologischen Aufnahmen des Verfassers in der südwestlichen Partie des Thüringischen Schiefergebirges. Der Umstand, dass die in der ersten Arbeit besprochenen Schichten zum Theil bereits in früheren Arbeiten von Heinr. Credner, Richter u. A. ausführlicher erwähnt sind, dann auch eine ausserordentliche Analogie mit den gleichalterigen von Gümbel in seiner geognostischen Beschreibung des Fichtelgebirges sehr genau geschilderten Zonen besitzen, und der weitere Umstand, dass der Verf., wie er selbst betont, sich wesentlich auf die Mittheilung seiner Beobachtungen in der Natur beschränkt, ohne seine petrographischen Angaben durch mikroskopische oder chemische Analysen näher zu begründen, — eine Aufgabe, welche der Verf. sich wohl bis zum endgültigen Abschluss seiner geologischen Aufnahmen vorbehält, — rechtfertigt die gleichmässige Kürze des folgenden Auszugs.

Ein Profil, etwa in südöstlicher Richtung über Steinheid und Steinach durch das Schiefergebirge gelegt, durchschneidet an seinem nördlichen Ende in der Nähe von Masserberg eine Phyllitzone, die als eine sattelförmige Erhebung der jüngsten Glieder der archäischen Formation zu betrachten ist. Auf diese folgen nach SO. hin jüngere Schichten, zunächst cambrische, dann silurische und devonische und schliesslich bei Steinach Culmschichten, die sämmtlich zwar Faltungen zeigen, aber von solcher Kleinheit, dass dieselben sich innerhalb der einzelnen von einander unterscheidbaren Schichtencomplexe vollziehen und nirgends in Wiederholungen grösserer Schichtenreihen sich bemerklich machen.

Die Schiefer der phyllitischen Zone werden wegen ihrer vielen Analogien mit den echten Phylliten von den eigentlichen cambrischen Schichten getrennt und den krystallinischen Schiefern als jüngstes Glied zugerechnet. Sie sind theils echte Phyllite, reich an Quarz, welcher in dünn interponirten Lamellen oder in Knauern und Linsen und in diesen dann mit Feldspath, Chlorit und Muscowit vergesellschaftet vorkommt, theils Varietäten des Phyllits, welche als Quarzphyllit, Phyllitquarzit, Phyllit-Quarzitschiefer und Kalkphyllit unterschieden werden. Fast durchweg zeigen die Schichtflächen eine feine Fältelung; die Transversalschieferung tritt weniger hervor.

An die Phyllite schliesst sich, gleichsam den Übergang zu den cambrischen Schichten vermittelnd, aber doch letzteren näher stehend als den Phylliten, eine Zone „eigenthümlicher, anscheinend feldspathhaltiger“ Schiefer, welche dadurch ein klastisches an Grauwacken erinnerndes Aussehen erhalten, dass in einer „phyllitischen“ Grundmasse kleine oder grössere Partikel von Quarz und einer felsitischen Substanz, sowie Trümer von Quarzit und einem feldspathführenden Gestein eingebettet liegen. Das Vorkommen ganz ähnlicher „halbkrystallinischer“ Schiefer, wie sie sich in

dieser „halbphyllitischen“ Zone finden, sowohl in dem Bereich der Phyllite als auch der cambrischen Thonschiefer, wird ganz besonders betont; sie werden dort meist mit dem Namen der Schieferporphyroide bezeichnet.

Für die Hauptmasse des cambrischen Schichtensystems, den graugrünen, strichweise auch dunkeler gefärbten Thonschiefer wird oft, namentlich in seiner oberen Abtheilung, den eigentlichen Phycodenschiefern, eine wulstige an die Erscheinung der ripple marks erinnernde Beschaffenheit der Schichtflächen charakteristisch. Von besonderer Wichtigkeit für die Gliederung der mächtigen Schiefermassen, deren Trennung in unter- und obercambrisch in dem früheren Sinne für unhaltbar erklärt wird, sind die Einlagerungen von Quarzit, da diese zuweilen eine solche Entwicklung und Verbreitung besitzen, dass sie als wesentliche Glieder des cambrischen Systems erscheinen. Zu ihnen gehört auch der Quarzit von Siegmundsburg, dessen Petrefactenführung bereits in dies. Jahrb. 1881, I. -431- besprochen worden ist. Der cambrische Thonschiefer nähert sich in seinen oberen Schichten bereits sehr dem untersilurischen Griffelschiefer, ist aber von diesem durch die wichtige Eisenstein führende Turingitzone getrennt, welche auch von Gümbel als Basis des Silurs angesehen wird.

Aus der cambrisch-phyllitischen Schichtenreihe werden zum Schluss noch eine Reihe von Gesteinen namhaft gemacht, die normale schichtige Einlagerungen sowohl in den Phylliten als in dem cambrischen Thonschiefer bilden. Es sind dies Kieselschiefer und Alaunschiefer, die hauptsächlich in den Phylliten verbreitet sind, dann reine Quarzmassen, amphibolische Gesteine, die bald dem Diorit, bald dem Hornblendeschiefer sich nähern, und gneiss- und granitartige Einlagerungen, die durch Lagerung und Gesteinsübergänge mit den umgebenden Schiefern auf das Innigste verbunden sind. Am interessantesten sind die Porphyroide, denen bald ein massiger, bald ein schieferiger Habitus eigen ist, und die zum Theil Übergänge in Sericitgneiss, körnig-flaserigen Sericitquarzit und Sericitquarzitschiefer bilden. Ausser den schon bekannten Vorkommnissen sind noch Porphyroide vom Jagdschirm und Katzethal, sowie vom Hirschgrund bei Böhlen ausführlich beschrieben.

Bezüglich der Bildung der phyllitisch-cambrischen Schieferreihe ist Verf. der Ansicht, dass für dieselbe in weiter Erstreckung sehr ähnliche bis gleiche Ablagerungsbedingungen in einem gemeinschaftlichen oder einheitlichen Bildungsraum angenommen werden müssen, und zwar für das cambrische System wegen der an die ripple marks erinnernde Oberflächenbeschaffenheit der Schiefer, der öfter wiederkehrenden discordanten Parallelstructur und der klastischen Beschaffenheit einzelner Theile gewisser Schichten eine Ablagerung in wenig tiefem, mässig bewegtem Wasser. Wegen der sehr bedeutenden Mächtigkeit der Schichten wird zugleich eine fortgesetzte allmähliche Senkung des gesammten zusammengehörigen Bildungsraumes für wahrscheinlich gehalten. Der Absatz der aus sehr homogenem und feinem Material zusammengesetzten untersilurischen Schichten, der Griffelschiefer, mag in tieferem, ruhigeren Wasser vor sich gegangen sein.

Auch bezüglich der amphibolischen, gneissartigen und porphyroidischen Schichten huldigt der Verf. der diagonetischen Auffassung Gümbel's, indem

er sie nicht als metamorphische, sondern als ursprünglich gebildete Einlagerungen ansieht.

In der zweiten Arbeit bespricht Verf., der schon früher (vgl. dies. Jahrb. 1881, I. -373-) eine übersichtliche Darstellung der Schieferung und verwandter Structurverhältnisse in Schicht- und Massengesteinen gegeben hat, die im südwestlichen Theil des Thüringer Schiefergebirges bekanntlich so ausgezeichnet auftretende Transversalschieferung und die mit derselben im engsten Zusammenhang stehenden und auf gleiche Ursachen zurückzuführenden Erscheinungen. Er findet, dass die Transveralschieferung erst nach der Aufstauung und Zusammenfaltung der Schiefer eingetreten sein kann, weil sie durch alle Falten der Schichten durchschneidet und dass auch gewisse das Gestein durchziehende Ablösungsflächen, welche ihrerseits ebenfalls nur von Seitenpressungen abgeleitet werden können, schon vor der Schieferung dagewesen sein müssen. Die Art und Weise, wie die Transversalschieferung in den verschiedenen Gliedern des Thüringischen Schiefergebirges auftritt, wird unter Aufführung zahlreicher Einzelbeobachtungen erläutert; es sei nur das Resultat hervorgehoben, dass die Schieferung zwar durch das ganze Schiefergebirge verbreitet, doch bei den einzelnen Formationen und deren Gliedern zu einer sehr ungleichen Ausbildung gelangt ist, die von völliger Abwesenheit bis zur grössten Vollkommenheit geht, und dass eine solche, wenn auch minder grosse, und örtlich oder regional sich äussernde Ungleichheit sogar bei den einzelnen Abtheilungen besteht, — eine Erscheinung, die auf ungleich starke oder lokal und regional ungleich vertheilte seitliche Pressungen zurückgeführt wird.

Durch eine Reihe deutlicher Abbildungen illustrirt sind die mehrorts beobachteten Verschiebungen in der Richtung der Transversalschieferung, welche besonders deutlich in den oberdevonischen Knollenkalken von Steinach, aber auch in den unterdevonischen Tentaculitenknollenkalken von Gräfenthal an der gegenseitigen Verschiebung der einzelnen Kalkknollen zu sehen sind und an einzelnen Stellen bei Steinach und Hämmern geradezu als Verwerfungen bezeichnet werden können.

Was die Structur der Griffelschiefer anlangt, die bekanntlich durch ein Zusammenwirken von Schichtung und Transversalschieferung zu Stande kommt, so glaubt der Verf. aus verschiedenen Ursachen, insbesondere aus dem häufigen Vorkommen von stets parallel der Griffelrichtung faserigem Quarz und Gümbelit, als Hülle um Schwefeleisenknollen, sowie aus dem Auftreten der in der Richtung der Griffellage gestreckten und in ihren einzelnen Theilen gegen einander verschobenen Trilobiten im untersilurischen Griffelschiefer von Steinach, wenigstens für den untersilurischen Griffelschiefer Thüringens auch eine lineare Streckung in der Richtung der Griffellage, und zwar eine von Theilchen zu Theilchen verschieden starke und daher auch eine Verschiebung benachbarter Theilchen gegen einander hervorrufende Parallelbewegung annehmen zu müssen und aus der Annahme zweier Druckkräfte, eines Lateraldrucks, der zugleich die Transversalschieferung erzeugt und eines normal zur Schichtenlage

wirkenden Drucks erklären zu können. Für die anderen im Culm und Unterdevon auftretenden Griffelschiefer, glaubt Verf., seien die Streckungsvorgänge zwar nicht immer nöthig gewesen, um die griffelige Ablösung zu bewirken, wohl aber hält er sie für höchst wahrscheinlich, da nur so gewisse locale Erscheinungen sich erklären lassen. Auch die feine Fältelung mancher Schieferungsflächen möchte der Verf. (mit Naumann) als eine leichte unvollkommene Streckung erklären.

Die Parallelklüftung der Schiefer wird sehr genau besprochen und bezüglich ihrer Entstehung die Behauptung ausgesprochen, dass sie erst an völlig festem und versteiftem Material entstanden sei, welches die Faltungs- und Schieferungsvorgänge schon durchgemacht habe.

H. Bücking.

Van den Broeck: Sur le mode de formation des minérais de fer. (Bull. Soc. géol. de France, 3te série, T. VIII (Juni 1882 erschienen), p. 616.)

Verfasser äussert die Ansicht, dass ein Theil der jurassischen und dem Wealden angehörigen Eisensteinflötze durch die fortgesetzte Einwirkung des Regenwassers und der Atmosphärilien gebildet sein dürfte.

Durch das Eindringen des Sauerstoff und Kohlensäure enthaltenden Wassers wird eine Auflösung und Oxydation des Gesteines bedingt und durch derartige Einwirkungen können z. B. Eisensilikate (glaukonitische Gesteine) in Eisenoxydhydrat umgewandelt werden, welches dann förmliche Flötze bildet. — Das Verschwinden der Schale bei den Fossilien ist wahrscheinlich durch diese auflösende Kraft des meteorischen Wassers bedingt.

W. Kilian.

A. Briart: Sur la stratification entrecroisée. (Bull. soc. géol. de France, 3te série, T. VIII. p. 587. Juni 1882.)

Es wird hier die Frage der discordanten Parallelstructur erörtert und Briart glaubt diese Erscheinung dem Einflusse des Windes zuschreiben zu können; es handele sich um Reste grossartiger Dünenformationen. Ein Beispiel davon ist im Landénien des Hennegau's zu beobachten. Es gibt jedoch in älteren Sedimenten ähnliche Erscheinungen (Trias der Vogesen); das Vorkommen grösserer Kiesel in denselben erlaubte uns nicht, hier an Sandwehen zu denken. Bei einer näheren Untersuchung soll sich in diesen Fällen immer eine constante Schichtungsrichtung (Stratification principale), was bei Dünenbildungen unmöglich ist, beobachten lassen.

W. Kilian.

S. A. Tullberg: Förelöpande redogörelse för geologiska resor paa Oeland. (Geol. Fören. i Stockholm Förh. Bd. VI. No. 6 [No. 76]. 1882. 220–236.)

Auf Grund seiner im Jahre 1882 gemachten Untersuchungen und unter Mitberücksichtigung der von Linnarsson und von Schmalensee ge-

wonnenen Resultate stellt Tullberg für die Insel Oeland die untenstehende Altersfolge der Schichten auf.

Cambrischer Sandstein, die Unterlage der Silurformation bildend.

Grauwackeschiefer mit *Olenellus Kjerulfi*, noch nicht nachgewiesen, aber wahrscheinlich vorhanden.

Graugrüne Schiefer mit *Paradoxides oelandicus*.

Sandsteinschiefer mit *Paradoxides Tessini*, aus 4 verschieden entwickelten Lagen bestehend.

Alaunschiefer.

Glaukonitschiefer (von Linnarsson und Dames mit dem Ceratopygekalk vereinigt).

Ceratopygekalk.

Unterstes Lager des Orthoceraskalk, entspricht dem unteren rothen Kalkstein in Westgotland.

Unterer grauer glaukonitführender Kalkstein.

Oberer rother Orthoceraskalk.

Oberer grauer glaukonitfreier Orthoceraskalk.

Echinosphäritenkalk.

Jüngerer Chasmopskalk, meist nur aus losen Blöcken bekannt.

Bei der Besprechung der einzelnen Abtheilungen werden die beobachteten Versteinerungen und die Fundstätten angegeben; auch enthält die Einleitung eine Übersicht zur Orientirung für solche, welche eine wissenschaftliche Reise nach Oeland auszuführen beabsichtigen. Glaciale Bildungen kommen an verschiedenen Punkten vor; im südlichen Theil der Ostküste laufen die Gletscherstreifen in der Richtung Nord-Süd mit 10—15° östlicher Abweichung.

Beobachtungen zu Humlenäs bestätigten im wesentlichen die Angaben von Linnarsson*; es konnten dieselben Schichten constatirt werden, welche an der Westküste von Oeland auftreten, allerdings nur an losen Blöcken.

E. Cohen.

H. Grebe: Über das Ober-Rothliegende, die Trias, das Tertiär und Diluvium der Trier'schen Gegend. (Jahrb. d. königl. preuss. geolog. Landesanstalt für 1881. 455. Taf. XII [geogn. Karte].)

Der Verfasser, welcher den südwestlichen Theil der preussischen Rheinprovinz im Anschluss an die Aufnahmen von Weiss im Saarbrückenschen im Massstabe $\frac{1}{25000}$ geologisch kartirt, gibt in der vorliegenden Arbeit eine Übersicht der Verbreitung und Lagerungsart der in dem Gebiet zwischen Bittburg—Wittlich—Bernkastel im Norden, Perl—Tholey im Süden auftretenden Formationen. Eine Übersichtskarte, auf welcher 41 Signaturen vertreten sind, dient zur Erläuterung.

Auf Unterdevon und Unterrothliegendes näher einzugehen lag keine Veranlassung vor, wenn diese Formationsabtheilungen auch einen grossen

---

* Vgl. dieses Jahrbuch 1880. I. -74-.

Raum auf der Karte einnehmen. Eingehender wird das Oberrothliegende besprochen, welches eine nicht unbeträchtlich grössere Verbreitung hat, als man früher annahm.

Folgende Gliederung des Oberrothliegenden ist im Nahegebiet festgestellt worden:

Untere Abtheilung (Untere Söterner Schichten)	Unterer Thonstein.
	Oberer Thonstein.

Zwischen beiden Thonsteinen häufig eine Decke von basaltischem Melaphyr und Melaphyrmandelstein (Grenzmelaphyr).

Mittlere Abtheilung (Obere Söterner Schichten)	Melaphyr- und Quarzitconglomerat, oft auch mit Porphyrstücken.
	Geröllegruppe, ohne Melaphyr.
Obere Abtheilung	Monzinger Schichten, feinkörnige, rothe Schieferthone mit Conglomeraten.
	Kreuznacher Schichten, feinkörnige rothe Sandsteine.

Diese Eintheilung ist in der Hauptsache nach auch auf das Moselgebiet anwendbar. Wie die Verbreitung der einzelnen Glieder sich daselbst gestaltet, wird ausführlich nachgewiesen. Sandig-dolomitische Schichten werden als Grenzbildung gegen den concordant aufliegenden Buntsandstein angesehen.

Die Trias tritt in ihren drei Gruppen auf. Die weitere Gliederung des Buntsandstein und des Muschelkalk kann nach den Arbeiten von Weiss als bekannt vorausgesetzt werden. In einzelnen Punkten, wie z. B. dem Auftreten der Conglomeratbänke des „Vogesensandsteins", findet ein anderes Verhalten wie in den Vogesen statt und wäre ein schärfer durchgeführter Vergleich von Interesse. Der Keuper schliesst sich durchaus der lothringischen Entwicklung an, mittlerer und oberer Keuper sind aber weniger mächtig und in allen Abtheilungen nur nahe an der luxemburgischen und preussischen Grenze vorhanden.

Ein Hauptresultat der neueren Kartenaufnahmen in der südwestlichen Rheinprovinz wie in Luxemburg und Lothringen war der Nachweis einer ausserordentlich grossen Anzahl von Verwerfungen, die vorwaltend in der Richtung von SW nach NO streichen. Die Grebe'sche Karte verzeichnet deren eine grosse Menge auf der linken Seite der Saar und der Mosel von Konz abwärts. Das Bild der Trias auf der Karte gestaltet sich daher auffallend mannigfaltiger als jenes des Rothliegenden und des Devon. Die Verwerfungen sind auch in französisch Lothringen noch sehr zahlreich (Jb. 1880. I. 222) und hier von Daubrée als Belege theoretischer Speculationen über die Entstehung der Verwerfungen überhaupt angeführt worden.

Von Interesse sind die Mittheilungen Grebe's über das Tertiär. Zu dieser Formation werden mächtige Ablagerungen von Quarzgeröllen, von weissem Thon und Sand, sowie einzelne Blöcke von Braunkohlenquarzit gerechnet, welche in ca. 300 bis gegen 400 m Höhe auf den Plateaus eine

weite Verbreitung haben. Braunkohle ist weiter nördlich von Eckfeld bei Manderscheid bekannt, in dem auf der Karte dargestellten Gebiet fehlen aber direkte, etwa aus Versteinerungen zu entnehmende Beweise der tertiären Natur der Ablagerungen. Gewöhnlich bezeichnet man das, was hier als tertiär aufgeführt wird, als diluvial, ohne Rücksicht darauf, dass Gerölle, Sande u. s. w. ebensogut schon zur Tertiärzeit entstanden sein können. Was man davon schliesslich in dem einzelnen Fall als tertiär, was als diluvial anzusehen hat, ist freilich oft ausserordentlich schwer zu entscheiden.

In den zweifellos diluvialen Ablagerungen der Mosel und Saar soll das Material sich nicht unwesentlich von dem der tertiären Ablagerungen unterscheiden, indem die gerundeten Quarzgerölle mit Sand- und Thonlagen fehlen, oder doch nur eingeschwemmt vorkommen, während Lehm mit eckigen Geröllen aus Quarzit, stark gefärbtem Quarz, Grauwacke und Buntsandstein vorherrschen. Diese Bildungen liegen hauptsächlich in den Thälern und deren Seitenterrassen. Die Terrassen stehen bis 150 m hoch über der jetzigen Thalsohle an und es haben sich nach dem Auftreten derselben noch mehrfach alte Flussläufe wiedererkennen lassen.

Benecke.

B. Lundgren: Om förhaallandet mellan lagret med *Nilssonia polymorpha* Schenk och det med *Mytilus Hoffmanni* Nilss. (Geol. Fören. i Stockholm Förh. Bd. VI. No. 6 [No. 76]. 236—240.)

Auf Grund neuerer Beobachtungen hat Lundgren zu Grafvarne sicher nachweisen können, dass die Bank mit *Nilssonia polymorpha* (Flora bei Paalsjö) unter der Mytilusbank (mit *M. Hoffmanni*) liegt, während dies in den älteren Arbeiten als fraglich angegeben werden musste*. Wahrscheinlich liegt eine Verwerfung zwischen dem nördlichen und südlichen Theil der Ablagerungen zu Grafvarne.

Bezüglich der früher angenommenen Überlagerung der Mytilusbank durch die Cardinienbank** (mit *C. Follini*) macht Lundgren darauf aufmerksam, dass auch das umgekehrte Lagerungsverhältniss möglich, ja ebenso wahrscheinlich sei, wenn man dort, wo zwischen beiden Lagern anstehendes Gestein fehlt, eine etwa Ost-West streichende Verwerfung annehme.

E. Cohen.

Ed. Pellat: Le terrain jurassique moyen et supérieur du Bas-Boulonnais. (Bull. soc. géol. de France. 3e série. t. VIII. p. 647. Réunion extraordinaire à Boulogne, 9—18 Sept. 1880.) Erschienen im Juni 1882.

---

* Vgl. d. Jahrb. 1882. II. -280-.
** Vergl. d. Jahrb. 1879. 974; u. 1882. II. -280-.

Verfasser, welcher den Mitgliedern der Société géologique de France im September 1880 als Führer bei mehreren Ausflügen im Boulonnais gedient hat, gibt uns hier ein vollständiges Bild der mittleren und oberen Juraablagerungen des nördlichsten Frankreichs. Bemerkenswerth ist die geringe Mächtigkeit der einzelnen Glieder und der grosse Wechsel der petrographischen Beschaffenheit und der paläontologischen Einschlüsse. Jede Schicht wird eingehend besprochen und die Reihenfolge und Faciesentwickelung in folgender Tabelle (s. S. 438—440) dargestellt (von oben nach unten).

Die Benennung Corallien wird von Pellat für No. 7 und No. 8 beibehalten; es ist aber diese Etage im Boulonnais durch 2 Facies vertreten. Wie aus der Tabelle folg. SS. erhellt, sind zwei Horizonte mit *Cidaris florigemma* und Korallen nachgewiesen worden und zwar sind diese „Episodes coralliens“ nur lokal entwickelt. Das untere dieser Riffe ist in den Kalken des Mont-des-Boucards eingelagert und birgt eine Fauna, die Verf. als derjenigen des Oxfordien sehr nahestehend betrachtet. Der oberste Calcaire à Polypiers de Brucdale enthält Formen, welche ein höheres Niveau anzudeuten pflegen und überlagert die Calcaires du Mont-des-Boucards.

Einen Anhaltspunkt bieten uns die Thone mit *Ostrea subdeltoidea* No. 9), welche beide genannte Korallenfacies bedecken. Bekannt ist das Vorkommen solcher Mergel im unteren Theile des Kimmeridien von Le Hâvre, sowie des englischen Kimmeridge Klay's. In den Ardennen bilden dieselben das Liegende des Calcaire à Astartes. Es ist daher dieser Horizont ein weitverbreiteter, um den sich die lokalen Vorkommnisse des Boulonnais leicht gruppiren lassen.

Bemerkenswerth ist hier auch die Vertheilung der Brachiopoden, *Zeilleria Egena* ist, wie Douvillé für andere Lokalitäten des Pariser Beckens nachgewiesen*, so auch bei Boulogne für das unterste Astartien (Oolithenkalk von Hesdin-l'Abbé) charakteristisch, während *Zeilleria humeralis* eine Leitform des untersten Ptérocérien und obersten Astartien ist**.

W. Kilian.

H. E. Sauvage: Excursions dans le terrain bathonien du Boulonnais et Etudes sur sa constitution. (Bull. soc. géol. de France, 3. série, T. VIII, p. 557. Erschienen im Juni 1882.)

---

* Douvillé: Note sur le Jurassique moyen du bassin du Paris et le corallins en particulier. Bull. soc. géol. de France, 3e série, IX, p. 463.

** Vorliegendem Aufsatz mögen folgende, in demselben Bande erschienenen Berichte als Ergänzungen dienen: E. Pellat: Compte rendu de l'excursion du 18 Septembre à Ecaux. Bull. soc. géol. de France, 3e série, t. VIII, p. 639; —, Compte rendu du 17 Septembre au Mt. Lambert, p. 635; —, Compte rendu du 16 Septembre entre Wimèreux et Boulogne, p. 609; —, Compte rendu du 13 Septembre au Mt. des Boucards, p. 575; —, Compte rendu du 14 Septembre a Sâmér, p. 579. A. de Lapparent: Compte rendu du 15 Septembre au Blanc-Nez, p. 607.

Oberes Portlandien.	Portlandstone.	28	P^4 Schichten des Crèchegipfel mit *Cypris* und *Astarte socialis* . . . . . 2,50 m	
		27	P^3 Kieselkalke der Küstenwand von Wimereux mit *Cerithium Manselli* und *Cardium dissimile* = Schichten mit *Cyrena Pellati* von Wimille und Eisenerz von Ecaux und Rupembert mit Cyrenen 2,50 m	
	Purbeck.	26	P^2 Sande und Sandstein von Alpreck mit *Natica elegans, N. Ceres, Trigonia gibbosa* . 4,00 m Sande und kalkhaltige Knollensandsteine von Alpreck mit *Cardium Pellati, Trigonia radiata, Serpula coacervata* . . . . . 3,00 m	
Mittleres Portlandien.	Oberer Theil d. Kimmeridgeclay und Portland-Sand. Zonen des *Cardium morinicum* und der *Ostrea expansa*.	25	O^2 Mergel und glaukonitische, grünlich-schwarze Kalke mit *Perna Bouchardi* (zwischen la Crèche und Wimereux) . 13,00 m	
		24	O^1 Mergel und schwärzliche Kalke mit *Cardium morinicum* (zwischen la Crêche und Wimereux) . . 15 m	
Unteres Portlandien.	Zone der *Cyprina Brongniarti*	23	N^4 Sandstein mit *Pteroceras Oceanis, Trigonia bononiensis, Hemicidaris purbeckensis* von Ningle und La Crèche . . . . . N^3 Sande von Terlincthun mit *Natica Marcousana* und *Perna rugosa* = Kalke von Gouverain-Moulin. N^2 Conglomerat mit *Trigonia Pellati* von Chatillon = Sandsteine mit *Trigonia Micheloti* und Trigoniensande	10 m
	Zone des *Ammonites portlandicus*	22	N^1 Thone und „bleuettes“ * mit Pflanzenresten, Sandsteine von Chatillon mit *Am. portlandicus* = Bunte Sande und Sandsteine von Terlincthun mit *Am. portlandicus* 7,00 m	
		21	M^2 Schiefer und obere sandige Kalke der Küstenwand von Chatillon mit *Hemicidaris purbeckensis*, *Am. portlandicus* . . . . . 17,00 m	

* Bleuettes nennt Pellat bläuliche Mergel mit eingelagerten kieselhaltigen Kalkplatten.

Kimmeridien.

Zone des *Am. Erinus*

20 M¹ Schiefer und untere Kalke der Küstenwand von Chatillon mit *Am. pseudomutabilis*, *A. Erinus*, *Ostrea subdeltoidea* . . . . . 12,00 m

19 L Sande und Sandsteine von Andrecelles und des oberen Theils der Küstenwand von Moulin Hubert mit *Pygurus* und *Trigonia variegata* . . . 4,50 m

Zone des *Am. Caletanus*

18 K Thone und obere Kalke der Küstenwand bei Moulin Hubert mit *Am. Caletanus*, *Am. Eumelus*, *Trigonia Rigauriana* und häufigen *O. virgula* . . 18,00 m

17 J Sande und Sandsteine von Conninckthun = Sande u. schwarze Sandsteine von Moulin Hubert 2,00 m

Zone des *Am. orthoceras*

16 I Thone und untere Kalke der Küstenwand bei Moulin Hubert mit *Am. orthoceras*, *Ostrea subdeltoidea* und häufigen *Ostrea virgula* . . . . . 22,00 m

Astartien.

15 H 13 Bänke und kleine Bänke von Bréquerecque mit *Phol. hortulana*. *Ostrea virgula* klein und selten 15,00 m

14 G Sande und Sandsteine von Wievigne mit *Pygurus jurensis* und *Pygaster umbrella* . . . . 5,00 m

13 F³ Weisser Mergel, Oolith und sandiger Kalk von Bellebrune mit *Natica Rupellensis*, *Anisocardia Ligayi*, *W. humeralis* . . . . . 4,00 m

12 F² Thone mit *O. subdeltoidea* und weisse Kalke mit Lithodomen . . . . . 2,00 m

11 F¹ Pisolith von Herdin-l'Abbé mit *Nerinea Goodhalii*, *Waldheimia Egena* . . . . . 6,00 m

10 E Braunrother Kalk von Echingen mit *Astarte Morini*, *Trigonia Bronni* 1—2 m = Sande und Sandsteine von Brunembert mit *Trigonia Bronni*, *Ammonites Lothari* . . . . 5,00 m

9 D Thone des Lianethals mit *Ostrea subdeltoidea* = Thone des Mont des Boucards mit Sphaeroxyderitknollen und *O. subdeltoidea* . . 10,00 m

Corallien.

8 A' Korallenkalk des Lianethals mit *Cid. florigemma* = 20 m — Fehlt im nördlichen Theil des Boulonnais in Folge einer Hebung oder ist durch den oberen Theil von C oder dem unteren von D vertreten . . . . . 20 m

7 C, B, A. Mergel mit Eisenkies und Kalke der Bohrlöcher im Lianethal. Im Süden des Boulonnais 50 m = Kalke von Mont-des-Boucards. C Isocardienkalk; B Terebratulakalk; A Korallenkalk mit *Cid. florigemma* — 50 m

Kelloway-Oxfordien.

Zone des *Am. Martelli*

6 (a) Bank von Houllefort mit *Pseudomelania heddingtonensis* und *Opis* . . . . . 1,00 m
Thone und Kalkblöcke des oberen Theils der Liégette mit *Am. Martelli, Ostrea dilatata* (var. major) und Spongiten . . . . . 1,50 m

Zone der *Waldheimia impressa*

5 Thone mit *Waldheimia impressa* und *Millericrinus*, Mitte des Liégette-Hügels . . . . . 5,00 m

Zone des *Am. Renggeri*

4 Thone des nördlichen Wast (Coquillot) mit *Am. Renggeri* . . . . . 6,00 m

Zone des *Am. Lamberti*

3 Splitterige Mergelkalke des südlichen Wast mit *Am. Lamberti* . . . . . 2,00 m

Zone des *Am. Duncani*

2 Thone und sandige Kalke des südlichen Wast mit *Am. Duncani, Serpula vertebralis* . . . . . 6,00 m

Zone des *Am. Galilaei*

1 Eisenhaltige Thone von Belle mit *Am. Galilaei, Waldh. umbonella* . . . . . 5,00 m

(Cornbrash) Gesammtmächtigkeit circa 250 m

Einem Excursionsbericht folgt in dieser Notiz die eingehende Beschreibung des Bathonien von Boulogne.

Diese Etage ruht hier auf dem obersten Kohlenkalk; alle Zwischenglieder fehlen.

Wie Verf. 1866 bereits gezeigt, zerfällt das Bathonien in folgende 5 Glieder (von oben nach unten):

1. Kieselhaltige Kalke mit *Rhynch. Morieri.*

(Cornbrash, Dalle nacrée, Mergel mit *Ter. lagenalis* und *Rh. badensis* der Ardennen, Oolith von Conlie [Normandie], Schichten von Luc und Langrune mit *T.* [*Eudesia*] *Cardium* z. Th.)

Leitend sind hier: *Terebratula (Zeilleria) lagenalis* Sch., *Ter. (Zeilleria) sublagenalis* Dav., *Ter. intermedia* Sow., *Rhynchonella Morieri* Dav., *Pecten Bouchardi* Opp. (*P. rusdenensis* Lyc.), *Lima gibbosa* Sow., *Cypricardia caudata* Lyc., *Avicula echinata* Sow., *Trigonia arduenna* Buv., *Gervilia tortuosa* Sow., *Isocardia minima* Sow., *Opis Leckenbyi* Lyc., *Myacites securiformis* Phill., *Pholadomya lyrata* Sow., *Trochus strigosus* Lyc.

Terebratula (Zeilleria) digona ist nicht vorhanden; wichtig ist das Vorkommen des *Am. (Oppelia) aspidoïdes,* — bisher wurde allerdings nur 1 Exemplar gefunden.

2. Mergelkalk mit *Rhynch. elegantula.*

(Entspricht dem Forest-marble, den „Couches profondes de Ranville", den Schichten mit *Nucleolites clunicularis* des Sarthe-Departements und der Zone der *Rh. elegantula* in den Ardennen.)

Sie enthalten vorzugsweise: *Rh. elegantula* Bouch. (*Rh. concinnoïdes* d'Orb.), *Eulima communis* M. L., *Astarte minima* Phil., *Corbula involuta* Münst., *Acrosalenia Lamarckii* Des.

3. Oolith mit *Rhynch. Hopkinsii* (Oolith von Marquise).

(Ist mit den 3 folgenden Gliedern der Oolithe miliaire *[Lucina Bellona, Phol. Vezelayi, Ter. maxillata]* der Normandie, den Schichten von Séez mit Nerineen und *Perpuroïdes minax* gegenüberzustellen.)

Diese Unterabtheilung ist aus einem 8—10 m mächtigen oolithischen Kalke mit Bänken von 50—80 cm und bei le Wast aus blauen Thonen und Kalken (3 m) gebildet.

Im Oolith sind die organischen Reste selten, doch kommen vor: *Rh. Hopkinsii, Lucina Bellona, Pecten lens, Hinnites abjectus, Lima cardiiformis, Hemicidaris Bravenderi* Wr., *Clypeus Mülleri* Wr.

Verf. macht auf ähnliche Bildungen bei Enslow-Bridge unfern Kirtlington (Oxfordshire) aufmerksam, welche direkt vom Forest-Marble überlagert sind und mit den Thonen von le Wast als ein Äquivalent des Marquiser Ooliths betrachtet werden können.

4. Thonkalke von Hydrequent mit *Rh. concinna.*

(Schichten mit *Clypeus Plotii* und *O. acuminata* der Ardennen, Fuller's earth.)

Gelbliche, leicht verwitternde oolithische Kalke (5—7 m) mit *Clypeus*

Plotii Kl., *Holectypus depressus* Des., *Echinobrissus Woodwardi* Ws., *Rh. concinna*, *Pecten vagans*, *Corbis boloniensis*, *Nerinea Scharmanni*, *Anabacia*.

Bemerkenswerth sind lokale Horizonte mit *Polycyphus normannianus* Des., *Ceritella pupa* R. S.

5. Mergelkalke mit *Ostrea Sowerbyi*.

Arm an Fossilien: *Ostrea Sowerbyi*, *O. acuminata* (selten), *Ter. maxillata*.

Andeutungen eines Strandes und Löcher von Bohrmuscheln wurden an der obersten Bank des Bathonien, dicht unter dem Callovien und an der Grenzschichte zwischen der 2. (Z. d. *Rh. elegantula*) und 3. (Z. d. *Rh. Hopkinsii*) Zone beobachtet.

Es ist für den Stratigraphen nicht leicht, Tiefseeformationen mit Küstenablagerungen scharf zu parallelisiren; Verf. verzichtet daher darauf, die einzelnen Glieder des Bathonien im Jura mit den von ihm aufgestellten Zonen in genauere Übereinstimmung zu bringen; nach den von Douvillé gelieferten Angaben glaubt Sauvage jedoch folgendes annehmen zu dürfen:

1. Der weisse Oolith der Ardennen stimmt mit den Hopkinsii-Schichten des Boulonnais überein.

2. Das obere Bathonien mit *Rh. Morieri* kann als Äquivalent des thonigen Horizontes der Ardennen mit *Ter.* (*Zeilleria*) *lagenalis* und *Rh. badensis*, sowie der Dalle nacrée des Jura betrachtet werden.

3. Die Schichten mit *Clypeus Plotii* und die Thone mit *Ostrea Sowerbyi* des Boulonnais entsprechen dem Oolith mit *Clypeus Plotii* und den Mergeln mit *Ostrea acuminata* Lothringens.

Ferner findet sich *Rhynch. elegantula* im Boulonnais und in den Ardennen in gleichalterigen Schichten, sowie *Anabacia orbulites* und *Anabacia Bouchardi* (Boulogne). *Genabacia stellifera* kommt in beiden Gebieten vor.

Die nun folgende Besprechung der paläontologischen und biologischen Verhältnisse bestätigt die von E. Hébert ausgesprochene Ansicht, dass die Hebungen, welche am Rande des Pariser Beckens während der Juraperiode vielfach stattfanden (Boulogne), in der allgemeinen Senkung des Bassins keinen Stillstand bewirkten. **W. Kilian.**

Bleicher: Recherches sur le Lias supérieur et l'oolithe inférieure de la province d'Oran. (8° Extr. Ass. fr. pour l'avanc. des sc. 1881.)

Über den oberen Lias und Dogger in Algier war bisher wenig bekannt und es enthält dieser Aufsatz die erste eingehendere Untersuchung der genannten Schichtenreihen.

Bleicher hat in der Provinz Oran folgendes Profil des unteren Jura aufstellen können:

1. Röthlich blaue Knollenmergel oder schiefrige Kalke mit *A. bifrons* Brug., *A. Raquinianus* d'Orb., *A. complanatus* Brug., *A. Thoarsensis* d'Orb., *A. insignis* Schübl., *A. variabilis* d'Orb., *A. Calypso* d'Orb. in dünnen Lagen.

2. Thonschiefer mit *Posidonia Bronni* Voltz, wenig mächtig.

3. Steinmergelbänke mit *A. Holandrei* d'Orb., 3 m.

4. Thonschiefer, Schiefer und dünne Sandsteinplatten mit *Posidonia Bronni* Voltz, *Am.* cf. *niortensis* d'Orb., *Am. crassus* Phil., *Am.* cf. *Brogniarti* Sow.

Cancellophycus cf. *scoparius* Sap., 120—150 m.

Diese Schicht ist von dem mittleren Dogger schwer zu trennen.

5. Auch die Zone des *Am. torulosus* scheint hier vorhanden zu sein; Bleicher nennt aus derselben folgende Arten: *Trochus duplicatus* Sow., *Leda Doris* d'Orb., *Astarte Voltzii* Hoen., *Thecocyathus mactra* Edw. Daneben wurden Hamiten und *Toxoceras* gefunden. Der Übergang zur folgenden Etage (Oolithe inférieure der Franzosen) wird durch Dolomitbänke gebildet.

Es werden angeführt:

6. Gelbe krümelige Mergel und Kalke mit Fossilien: *Opis*, *Arca*, *Ostrea*, *Rhyneh. subtetraëdra* Dav., *Arcrosalenia* sp., *Galeropygus* cf. *Baugieri* d'Orb.

Die Thone mit *Rh. subtetraëdra* bilden einen guten Horizont.

7. Dolomitische Kalke mit Oolithbänken.

8. Graue, glitzernde Dolomite mit *Isastrea, Nerinea, Cardium* etc.

In darüber folgenden Schichten hatte bereits der verstorbene Bayan am Ufer des Oued-Saïda eisenhaltige Gesteine mit Vorkommnissen des Callovien entdeckt; leitend sind dort: *Am. refractus* Haan, *A. Baugieri* d'Orb., *A. hecticus* Rein., *A. Puschi* Opp., *A. Manfredi* Opp., *A. Backeriae* Sow.

W. Kilian.

Gosselet: Etude sur la partie supérieure du Bathonien dans le département de l'Aisne. (Ann. soc. géol. du Nord. T. IX. pag. 132.)

Der Verfasser hat im Dep. Aisne folgende Gliederung im oberen Bathonien beobachtet:

5. Weisse, thonige Kalke mit *Pholadomya ovulum* (marnes de Buccilly).

4. Compacte Kalke mit *Lima cardiiformis*.

3. Feinkörniger, fossilarmer Oolith mit *A. Backeriae*.

2. Thonige, bisweilen oolithische Kalke mit *Nerinea anonensis, Rhynchonella elegantula*.

1. Weisse Kalke mit *Ner. Archiacina, Rhynchonella decorata*.

Die Beschreibung dieser Horizonte und deren geographische Verbreitung bilden den Inhalt des kurzen Aufsatzes. **W. Kilian.**

Blake: Note sur l'âge des grès de Chatillon. (Bull. soc. géol. de France. 3e série. T. VIII. p. 641.)

Verf. glaubt die Sandsteine von Chatillon bei Boulogne, welche von E. Pellat als dem unteren Portlandien angehörig angesehen werden, mit dem Purbeck oder Wealden vereinigen zu müssen. Spärlich vorkommende Pflanzenreste sprechen einigermassen für seine Ansicht.

Ein Profil ist beigegeben und veranschaulicht Blake's Deutung.

W. Kilian.

E. Pellat: Sur l'âge des grès de la falaise de Chatillon. (Bull. soc. géol. de France. 3e série. T. VIII. p. 643.)

Blake's Ansicht über das Alter des Sandsteines von Chatillon wird hier von Pellat angefochten; Verfasser behauptet nämlich, die genannten Schichten seien unteres Portlandien und ihre höhere Stellung im Profil wäre durch eine Verwerfung zu erklären. Diese Meinung theilte bei einem Ausfluge der Société géologique nach Chatillon die Mehrzahl der Mitglieder.

Die Fauna der begleitenden Schichten erwies sich als eine echt jurassische.

W. Kilian.

Toucas: Synchronisme des Etages Turonien, Sénonien et Danien dans le Nord et dans le Midi de l'Europe. (Bull. soc. géol. de France, 3e série, t. X, p. 154—217.)

In diesem ausgezeichneten Aufsatze gibt uns Toucas ein vollständiges Bild der oberen Kreideablagerungen im Süden von Frankreich und versucht diese Schichten mit gleichalterigen Formationen in Nord-Europa schärfer zu parallelisiren, als es bisher gethan worden.

Im ersten Theile seiner Arbeit sind die Ergebnisse der neuesten Untersuchungen des Verfassers in den Corbières und der Provence enthalten. Es folgt dann ein vergleichender Überblick über die oberen Kreidebildungen in Nord-Europa und Afrika, deren Gliederung Verfasser mit der von ihm im ersten Theile aufgestellten zusammenstellt.

Erster Theil.

I. Neue Beobachtungen in den Corbières und der Provence.

Toucas giebt folgende Eintheilung der oberen Kreide in den genannten Gebieten:

Danien
1. Kalke und Conglomerate mit Nerineen. *Physa, Paludina, Cyrena garumnica.*
2. Rothe Gypsmergel ohne Fossilien.
3. Sandsteine von Alet mit *Pecten, Cardium,* Alveolinen.

Sénonien
1. Mergel, Sandsteine und Glimmersandsteine mit Belemnitellen, *O. vesicularis*; Bank mit *Hippurites bioculatus, dilatatus.*
2. Blaue Mergel und Kalke mit *Am. texanus*, *Inoceramus digitatus.*
3. Kalke und Sandsteine mit *Micraster brevis*, *Micr. Héberti, Am. texanus.*
4. Kalke mit *Cyphosoma Archiaci, Rh. petrocoriensis, Ceratites.*

Turonien
1. Eisenhaltiger Sandstein mit seltenen Rudisten.
2. Graue compacte Kalke mit *Hipp. organisans, Hipp. cornu-vaccinum.*
3. Eisenhaltige Sandsteine mit *Natica Requieni, Ostrea eburnea.*
4. Kalke und Sandsteine, *Ditrupa deformis* und *Ostrea columba* enthaltend.

Verfasser wendet besonders seine Aufmerksamkeit dem Senon zu, dessen unterste mergelige Kalke *Ceratites* cf. *Robini* d'Orb. bergen und in Soulage typisch entwickelt sind. Darüber folgen Echinidenschichten; *Am. texanus*, *A. subtricarinatus*, *Ostrea proboscidea* sind darin leitend nebst *Micraster brevis*, *Cidaris Jouanneti*. Die nun folgenden Thone von Sougraigne und Rennes mit *Micraster cor-testudinarium*, *Micr. cor-anguinum* und *Inoceramus digitatus* werden von dem Thonsandstein von Sougraigne überlagert, welcher die durch d'Archiac bereits bekannt gemachte Fauna des 2. Hippuritenniveau's einschliessen. Wir finden da viele Arten der Belemnitellenkreide: *O. vesicularis* in grossen Exemplaren, *Dentaliumplanicostatum*, *Turritella multistriata* etc. (cf. Toucas, Bull. soc. géol., 3e série, t. IX, p. 385).

Dies zweite Hippuritenlager wird von einigen Bänken gebildet und ist von weit geringerer Bedeutung als das erste, dem Turonien angehörige. Hierher sind auch die Schichten mit *Hipp. bioculatus* der „Montagne des Cornes" zu stellen.

Darüber folgen die Sandsteine von Alet.

II. Verf. geht nun zur Besprechung der Verhältnisse in der Provence und vorzugsweise der bekannten Schichten von Le Beausset über.

Die zwei Hippuritenlager fehlen auch hier nicht und zwar geht *Hipp. cornu-vaccinum* und *organisans* bis in das zweite Niveau hinauf, ist aber darin selten. Diese zweite Rudistenschicht ist ferner bei Martigues und Plan d'Aups entwickelt und es wurden in den zwischengelagerten Sandsteinen in der Provence und den Corbières 90 Species aus der Belemnitellenkreide nachgewiesen.

Eintheilung der oberen Kreide in der Provence.

Danien
- Garumnien.
  1. Rothe Mergel.
  2. *Lychnus*-Kalk von Rognac.
  3. Süsswasserkalk und Braunkohle von Fuveau, Plan d'Aups, Beausset.
- Kreide von Maestricht.
  4. Brackwasserbildungen mit *Cassiope* und *Cardita Héberti.*
  5. *Ostrea acutirostris*-Bänke mit *Hemipneustes* und grossen Hippuriten.

Sénonien
- Weisse Kreide (Craie blanche).
  1. Mergelkalke mit *Nerinea bisulcata.*
  2. Belemnitellenbett und zweites Hippuritenniveau (*Hipp. dilatatus, canaliculatus, Sph. Toucasi*).
- Mergelige Kreide (Craie marneuse).
  3. Mergel mit *Inoc. digitatus, Am. texanus.*
  4. Kalke und Sandsteine mit *Micraster brevis, Micr. Turonensis.*

Turonien	1. Kalke mit *Hipp. Requieni, organisans, cornu-vaccinum, Rad. cornu-pastoris.* 2. Mergelige Kreide mit *Inoc. labiatus, Am. nodosoïdes.*

Zweiter Theil — (Synchronismus mit anderen Gegenden).

1. Aquitaine. — Nach Toucas vertreten die Rudistenkalke der Aquitaine das zweite Hippuritenniveau der Provence, was mit der Ansicht Hébert's und Arnaud's nicht stimmt. Nach diesen Autoren würden die Schichten von Sougraigne (zweites Hippuritenlager) vielmehr dem Provencien der Aquitaine gleichzustellen sein.

Die „calcaires coniaciens", welche Arnaud in das unterste Senon stellt, sind mit dem Ceratitenkalk der Corbières identisch; es ist das aus dem Vorkommen, besonders aber aus der Frequenz gewisser Formen des *Am. petrocoriensis* zu ersehen, welcher ebenfalls in Soulage (Ande) zahlreich gefunden wird.

Die nun in den Dépts. Charente und Charente infre. folgende Zone des *Micraster turonensis* birgt viele Leitformen aus den Schichten des *Inoc. digitatus* und des *Am. texanus.*

An Stelle des zweiten Hippuritenniveau's der Provence und der Corbières sind hier Sandsteine und Thone mit *O. proboscidea* und *O. vesicularis* entwickelt, in denen eine Rudistencolonie (*Hipp. dilatatus* und *bioculatus*) eingelagert ist.

Arnaud's Campanische Etage führt fast durchweg solche Formen, welche in den Mergelkalken des Beausset (über dem zweiten Hippuritenlager) gefunden werden; viele Species sind mit denjenigen von Haldem, Aachen und Vorkommnissen aus der weissen Kreide Nordfrankreichs identisch.

Diese Schichten hatten E. Hébert und Arnaud zu der Craie de Villedieu (unterstes Senon) gestellt, wogegen Verf. entschieden Protest erhebt.

Das darüber liegende Danien enthält unten *Orbitoïdes media, Hipp. radiosus* und andere Rudisten, viele Maestrichter Formen (*Nerita rugosa, Ostrea larva*) u. s. w. Ähnliche Bildungen sind übrigens bereits im Beausset und bei Maestricht nachgewiesen. Eine Bank mit *Ostrea subacutirostris* bildet den Schluss der Kreidebildungen in der Aquitaine.

II. Pyrenäen.

In folgender Tabelle stellt der Verfasser die Resultate der Beobachtungen von Toucas, Hébert und Leymerie mit seinen eigenen in den Corbières übersichtlich zusammen.

1. Nordabhang der Pyrenäen.

	Osten.	Westen.	Corbières.
Danien.	1. Kalke von Ausseing mit *Micr. tercensis, Ananchytes ovata.*	1. Kalke von Bédat Angoumé: *Micr. tercensis, Ananchytes semiglobosa.*	1. Kalke mit *Physa, Lymnaea, Cyrena garumnica.*
	2. Lithographische Kalke. Bunte Thone von Ausseing. Schichten von Auzas m. *Cyrena garumnica* etc.	2. In Tercis nicht sichtbar, etwa 100 Meter.	2. Rothe Thone (argiles rutilantes).
	3. Kalke und Thone von Ausseing, Gensac mit *Otostoma ponticum, Ostrea larva, Orbitoïdes media, Hipp. radiosus.*	3. Thonkalke v. Audignon mit *Otostoma ponticum.*	3. Sandsteine von Alet.
Sénonien.	1. Thonkalke von Ausseing und St. Martory. *Ananchytes ovata, O. vesicularis, Janira substriatocostata, Inoc. Cripsi.*	1. Silexkalke v. Tercis mit *O. vesicularis, Inoc. Cripsi, Heteroceras polyplocum, Am. Neubergicus.*	1. Blaue Mergel.
	2. Rudistencolonie von le Paillou près St. Martory.	2. Mergelkalke von Tercis mit *Micr. cor-columbarium, Ananchytes ovata, Micr. tercensis.*	2. Sandsteine und Mergel von Sougraigne m. *O. vesicularis* und eingelagerte Bänke mit *Hipp. bioculatus.*
	3. Thone von Ausseing und St. Martory mit Kalkplatten, *Orbitoïdes* enthaltend.	3. Mergelkalke mit *Am. pailleteanus, A. Neubergicus* von Bidard und Gan.	3. Mergel u. Kalke mit *Am. texanus, Inoc. digitatus.*
		4. Kieselkalke von Bidache und Gan, Fucoidensandstein von Rebenac und Gan.	4. Sandsteine mit *Micr. brevis* und Ceratitenkalk.
Turonien — nicht sichtbar.		Kalke von Audignon mit *Hipp. cornu-vaccinum.*	Kalke mit *Hipp. cornu-vaccinum.*

Die von Lacvivier im Dép. Ariège aufgenommenen Profile zeigen ferner zwischen den zwei Hippuritenlagen (Bénaix) 400 m mächtige Kalke und Mergel, welche die Zonen des *Micr. brevis* und *Micr. Matheroni* von Le Beausset vertreten.

2. Südabhang der Pyrenäen.

Toucas kommt hier in Widerspruch mit den von L. Carez in seiner Inauguraldissertation geäusserten Ansichten. Dieser hatte in der Provinz Lerida die Mergel mit *Micraster brevis* über das zweite Hippuritenlager stellen zu müssen geglaubt. Toucas behauptet nun, dass sämmtliche von Carez angeführten Species aus dem ersten Rudistenlager stammen mit Ausnahme des *H. canaliculatus*, welcher aber nur aus dem Sègrethal citirt wird.

Barrois hatte bereits in der Provinz Oviedo die Kalke mit *Hipp. cornu-vaccinum* und *organisans*, den Vorkommnissen bei Lerida sehr ähnlich, dem untersten Turonien mit *Inoc. labiatus* und *Periaster Verneuilli* direkt auflagernd gefunden, welcher Umstand Verfassers Ansicht bekräftigen würde.

Ferner führt Carez unter den Schichten mit *Micraster brevis* eine Zone mit *Micraster Heberti* an, welche aber nach Lacvivier dem Complex, welcher die beiden Hippuritenlager trennt, angehören würde.

Das zweite Rudistenniveau wäre somit in den Schichten mit *Hippurites canaliculatus* des Sègrethales zu suchen.

Es lassen sich in den Mergeln mit *Micr. cor-anguinum* (Carez) mehrere Formen von Sougraigne (Corbières) und Tercis nachweisen.

Die von Vidal in Catalonien beschriebenen Ablagerungen sind mit denjenigen von Ausseing und Gensac, somit auch mit der Maestrichter Kreide äquivalent.

III. Algier.

Nach den Untersuchungen Coquand's und Péron's zu schliessen, sind in Algier die Schichten mit *Hipp. organisans* und *cornu-vaccinum* charakteristisch entwickelt; darüber (nach Péron) folgen: 1. Mergel und Kalke mit *Cyphosoma Archiaci*. 2. Kalke, deren Fauna an die Zone des *Am. texanus* und *Micr. brevis* der Corbières und der Dépts. Charentes erinnert. 3. Thone mit Austern (*O. proboscidea*, *O. Costei*, *O. semiplana* etc.) der Belemnitellenkreide. — Diese Mergel entsprechen dem hier fehlenden zweiten Hippuritenniveau. Das Verschwinden dieser Facies hat an sich nichts Befremdendes, da selbst bei der „Montagne des Cornes" dieses Fehlen der Rudistenschichten beobachtet werden kann. 4. Kalke mit *O. vesicularis*.

Das Danien ist unten durch Thone mit *Nerita rugosa*, *Ostrea larva* etc. und oben durch Mergel mit Trigonien, *Fusus*, *Ostrea Owerwegi* (*O. Fourneli* Coq.) gebildet. — Dies letztere Fossil wurde auch im Dépt. Dordogne nachgewiesen.

IV. Alpen.

Hier fehlen die Rudisten gänzlich. — Bei Nizza werden die Schichten mit *Inoceramus labiatus* von Kalken mit *Am. texanus*, *Inoc. Cripsi*, *I. di-*

Vergleichende Uebersicht der Ablagerungen der oberen Kreide im Süden und im Norden.

Etages.	Sous-Étages.	Corbières.	Haute-Garonne.	Landes et Basses-Pyrénées.	Nord de l'Espagne.	Provence.	Algérie.	Alpes.	Les deux Charentes et Dordogne.	Touraine.	Nord de la France et Bassin de Paris.	Nord de l'Europe, Suède, Danemarck, Hanovre et Westphalie.
Danien DESOR.	Garumnien. LEYM.	1° Argiles rutilantes, calcaires et conglomérats. 2° Argiles rutilantes, gypseuses, avec fossiles lacustres et saumâtres.	1° Calc. à *Micraster tercensis* d'Ausseing. 2° Calc. et marnes d'Ausseing et d'Anzas, avec faune saumâtre.	1° Calc. à *Micraster tercensis*, de Bédat et d'Angouné. 2° Couches non déterminées à Tercis.	1° Conglomérats et argiles rutilantes. 2° Calcaire marneux à lignites et faune saumâtre.	1° Argiles rutilantes, brèches et conglomérats (montagne du Cengle). 2° Calcaire de Rognac, de Fuveau, du plan d'Aups et du Beausset, à lignites et faune lacustre.	Calcaire à *Ostrea Overwegi*.				Calcaire pisolithique.	Calcaire de Faxoë et de Saltholm.
	Craie de Maëstricht, Dordonien, COQ.	Grès d'Alet.	Calc. et argiles d'Ausseing et de Gensac à *Hemipneustes* et *Hipp. radiosus*.	Calc. marneux d'Audignon à *Hemipneustes*.	Calcaire argileux de Vallcebre à *Hemipneustes*.	1° Calcaire à faune saumâtre. 2° Calcaire marneux à *Hemipneustes*, *Ostrea acutirostris* et Hippurites.	1° Marnes et calcaires à *Nerita rugosa*, *Ostrea larva*. 2° Calcaire à *Inoc. Cripsi*.	Calcaire à *Nerita rugosa*, *Ostrea larva* et *Orbitoides media* de l'Isère	1° Grès à *Nerita rugosa*, *Radiolites Bourroni*. 2° Calcaire à *Hemipneustes*, *Hippurites radiosus* et *Ostrea acutirostris*.		Calcaire à Baculites de Valogne.	Craie tuffau de Maëstricht, Ciply, Aix-la-Chapelle et de la Scanie orientale à *Hemipneustes*, *Nerita rugosa*, *Ostrea acutirostris* et *Hipp. radiosus*.
Sénonien D'ORB.	Campanien, COQ.	1° Marnes bleues et grès avec nombreux Foraminifères. 2° Grès et marnes de Sougraigne à *Ostrea vesicularis major*, Bélemnitelles et bancs d'*Hippurites bioculatus* intercalés.	Calc. marneux d'Ausseing et de Saint-Martory à *Ostrea vesicularis*, *Rhynch. Eudesi*, et banc de Rudistes intercalé.	Calcaire à silex de Tercis à *Ostrea vesicularis*, *Amm. Neubergicus*, *Heteroceras polyplocum*, *Cyclosmilia centralis*.	Grès et marnes à *Ostrea vesicularis*, Inocérames, Alvéolines, avec banc de calcaire à *Hipp. canaliculatus*.	1° Calc. marneux à *Nerinea bicincta*, *Limaovata*, *Ostrea vesicularis*, *Cyph. subnudum*, *Rhynch. Eudesi*. 2° Marnes, grès et calcaires à *Ostrea Merceyi*, *Ost. Cuderensis*, *Cyphosoma corollare*, *Cyph. microtuberculatum*, *Hippurites dilatatus*, *canaliculatus* et Belemnitelles.	1° Marnes et calc. à *Ostrea vesicularis*. 2° Calc. marneux à *Ostrea semiplana*. — *Peroni*. — *Caderensis*.	Calcaire à *Belem. mucronata*, *Inocer. Cripsi*, *Cyphos. subnudum*, *Ostrea vesicularis* de la Savoie, du Dauphiné et de la Provence Alpine.	1° Calc. à *Ostrea vesicularis*, Bélemnitelles, *Am. Neubergicus*, *Nerinea bicincta*, *Rhynch. Eudesi*. 2° Calc. à *Cyphosoma microtuberculatum*, *Ostrea caderensis*, *Hipp. dilatatus*, *bioculatus*.		1° Craie de Meudon et d'Epernay à *Belem. mucronata*, *Dentalium planicostatum*, *Ostrea vesicularis*. 2° Craie à *Belem. quadrata*, *Ostrea Merceyi* de Reims et de Tartigny.	1° Craie de Halden, Ciply, Rügen, Scanie occidentale, Hanovre et Westphalie à Bélemnitelles, *Am. Neubergicus*, *Ostrea vesicularis*, *Lima ovata*.
	Santonien, COQ.	1° Marnes bleues à *Inoc. digitatus*, *Amm. texanus*, *Ostrea Deshayesi*. 2° Calc. marn. et grès à *Amm. subtricarinatus*, *Amm. texanus*, *Amm. pailleteanus*, *Micraster brevis* et *Cidaris Jouanneti*. 3° Calc. à Cératites, *Cyphosoma Archiaci* et *Rh. petrocoriensis*.	Argiles d'Ausseing et de Saint-Martory avec dalles de calcaires gris et bleus.	1° Calc. marn. de Tercis à *Micraster corcolumbarium*, *Inoc. Cripsi*. 2° Calc. marneux de Bidart et Gan à *Amm. pailleteanus*, *Holaster Bonillei*. 3° Marnes et grès à fucoïdes et calcaire de Bidache et de Gan.	1° Marnes bleues à *Mic. corcolumbarium*, *Mic. coranguinum*, Inocérames. 2° Marnes à *Micraster brevis* et *Micraster Héberti*.	1° Marnes bleues à *Inocer. digitatus* et Spongiaires. 2° Calc. et grès à *Amm. texanus*, *Mic. brevis* et *Mic. turonensis*. 3° Calc. et grès à *Rh. petrocoriensis*.	1° Calc. marn. à *Amm. texanus*, *Ostrea Deshayesi*. 2° Calc. à *Mic. brevis*. 3° Calc. et marnes à *Cyphosoma Archiaci* et *Cerat. Fourneli*.	1° Calc. à *Mic. coranguinum*, *Inocer. digitatus*, *Amm. texanus*, *Am. pailleteanus*, *Inocer. Cripsi* de Nice et Allons. 2° Grès à *Mic. cortest.* et *Ceratites Robini* de Dienlefit.	1° Calc. marneux à *Amm. texanus*, *Inoceramus digitatus?* 2° Calc. et marnes à *Amm. subtricarinatus*, *Mic. turonensis*, *Cidaris Jouanneti*. 3° Cal. à Cératites, *Rh. petrocoriensis*.	1° Craie à *Mic. coranguinum* de Blois et Chartres. 2° Craie à *Micraster cortest.* de Chateaudun. 3° Craie de Villedieu à *Am. texanus*, *Am. subtricarinatus*, *Mic. turonensis*, *Cid. Jouanneti*.	1° Craie à *Mic. coranguinum*, *Inocer. digitatus*. 2° Craie à *Mic. cortestudinarium*, *Amm. texanus*, *subtricarinatus*. 3° Craie à *Micraster brevis* de Vervins.	1° Marnes d'Ems à *Inocer. digitatus*, *Am. texanus*, *subtricarinatus*, *Mic. cortestudinarium*. 2° Marnes à *Micr. brevis* et *Spondylus spinosus*.
Turonien D'ORB.	Angoumien, COQ.	Grès et calcaires à *Hipp. organisans*. — *cornu-vaccinum*. — *Requieni*.		Calc. à *Hipp. cornu-vaccinum*, *Radiolites lumbricalis*, d'Audignon.	Calc. à *Hipp. cornu-vaccinum*, *Hipp. organisans*.	Calc. à *Hipp. cornu-vaccinum*, *Hipp. organisans*, *H. Requieni*, *Radiolites cornu-pastoris* et *Am. Requieni*.	Calc. à *Hipp. cornu-vaccinum*, *Rad. cornu-pastoris*, *Amm. Requieni*.		Calc. à *Hipp. cornu-vaccinum*, *Hipp. organisans*, *Hipp. Requieni*, *Rad. cornu-pastoris*, *Rad. lumbricalis*.	Calc. à *Amm. Requieni*, *Rad. cornu-pastoris*.	Craie à *Holaster planus*, *Amm. peramplus*, *Scaphites Geinitzi*.	Zone de l'*Holaster planus* et des *Scaphites Geinitzi*.
	Ligérien, COQ.	1° Grès à *Nerinea Requieni*. 2° Calc. à Térébratelles, *Ditrupa deformis* et Polypiers.			Calc. à *Ostrea columba*, *Amm. Rochebruni*, *Amm. Deveri*, *Inoc. labiatus*, *Linthia Verneuili*.	1° Calc. marneux à *Amm. papalis*, *Amm. Rochebruni*, *Amm. Deveri*. 2° Calc. marneux à *Inoc. labiatus*, *Linthia Verneuili*, *Am. nodosoides*.	Calc. à *Inocer. labiatus*, *Linthia Verneuili*.		Calc. à *Amm. Rochebruni*, *Inoc. labiatus* et Térébratelles.	1° Calc. à *Amm. papalis*, *Amm. Deveri*. 2° Calc. à *Inocer. labiatus*, *Amm. nodosoides* et Térébratelles.	1° Craie à *Amm. Deveri*, *Inoc. Brongniarti*, *Tereb. gracilis*. 2° Craie à *Inoc. labiatus*, *Amm. nodosoides* et *Belem. plenus*.	1° Zone de l'*Inocer. Brongniarti* et *Amm. Woolgari*. 2° Zone de l'*Inocer. labiatus*, *Amm. nodosoides* et *Belem. plenus*.

gitatus, *Micraster cor-testudinarium* und *cor-anguinum* überlagert. Desgleichen in den Dépts. Drôme und Basses-Alpes.

In den Dépts. Hautes-Alpes, Isère und Savoie sind Kalke entwickelt, welche *Bel. mucronata* und *O. vesicularis* enthalten und der Kreide von Meudon entsprechen.

V. Umgegend von Salzburg und Gosau.

Die Gosauformation wurde Anfangs von Zittel, Zeckeli und Redtenbacher dem Turon einverleibt, als aber Ersterer die Verhältnisse bei Le Beausset kennen gelernt hatte, stellte er obengenannten Complex zum Senon. Nach Toucas würde die Gosauformation dem ganzen Senonien (von der Craie de Villedieu bis zur Belemnitellenkreide) entsprechen. Es wurden darin auch etliche Formen aus dem zweiten Hippuritenhorizont, hauptsächlich *Hipp. dilatatus* aufgefunden*.

VI. Dalmatien. — Lanza entdeckte hier die zwei Hippuritenlager.

VII. Vergleich mit der Nordeuropäischen Kreide.

Nach Verf. Ansicht wäre das Verhältniss der Schlüter'schen Gliederung zu seiner eigenen folgendes:

Die drei ersten Zonen des oberen Pläner entsprechen dem französischen Turonien.

Die vierte Zone (Zone des *Heteroceras Reussianum*) wäre der Zone mit *Radiolites cornu-pastoris* gleichzustellen.

Der Zone mit *Inoc. Cuvieri* und *Epiaster brevis* würden die Schichten mit *Micr. brevis* der Provence und Corbières, dem Emscher-Mergel die Zone des *Inoceramus digitatus* (Provence, Corbières, Charentes, Spanien) entsprechen.

Das untere Senon Schlüter's glaubt Toucas mit dem zweiten Hippuritenlager und den eingelagerten Schichten identificiren zu können.

Das obere Senon (Zone der *B. mucronata*) enthält sowohl in Frankreich (Charentes etc.), als in Deutschland folgende Leitformen:

Am. Neubergicus, *Heteroceras polyplocum*, *Ostrea vesicularis* etc.

Mit der Kreide von Limburg und Hennegau kann folgender Vergleich aufgestellt werden:

Limburg und Hennegau.		Frankreich.
Kreide von Mons (Tourtia) .	Turonien	Turonien.
Weisse Kreide des Hennegaus und Maestrichter Kreide .	Zone der *O. laciniata* . .	Senon Südfrankreichs.
	„ „ *Bel. quadrata*.	
	„ „ „ *mucronata*	
	Zone des *Hemipneustes striato-radiatus*.	Dänien der Provence mit *Hemipneustes* und *O. acutirostris*.

Für Nordfrankreich ergibt der Vergleich der Barrois'schen Eintheilung mit den Ablagerungen der südlichen Provinzen folgende Resultate:

* Siehe übrigens die Mittheilung von Suess Quart. Journ. XXXVII. und dieses Jahrbuch 1883, I. Bd. 313. (Red.)

1. Zone des *Inoc. labiatus* = Turonien infr. der Touraine.
2. „ der *Terebratulina gracilis* = Turonien moyen „ „
3. „ des *Holaster planus* = erstes Hippuritenlager.
4. „ „ *Epiaster brevis* = Craie de Villedieu, Echinidensandstein der Corbières.
5. „ „ *Micr. cor-testudinarium*
6. „ „ „ *cor-anguinum* = Im Süden findet man dieselben Leitformen; ausserdem sind charakteristisch: *Am. texanus*, *Cid. sceptrifera*, *Cid. clavigera*, *Inoc. digitatus*.
7. „ der Belemnitellen

Es folgt nun die Hébert'sche Eintheilung der oberen Kreide des Pariser Beckens und der Touraine und die Besprechung der einzelnen Zonen. Folgende Schlüsse werden gezogen:

1. Die Zone des *Am. Requieni* (oberstes Turonien Hébert's) enthält in der Touraine *Radiolites cornu-pastoris* und entspricht daher dem ersten Hippuritenlager.

2. Die Kreide von Villedieu mit *Micr. turonensis* stimmt mit den Echinidenschichten der Corbières und des Beausset überein; folgende Leitformen sind den beiden Bildungen gemeinsam: *Am. texanus*, *Am. subtricarinatus*, *Trigonia limbata*, *Ostrea proboscidea*, *O. frons*, *Cyphosoma magnificum* etc.

3. Die Zone des *Micraster cordistudinarium* enthält ebenfalls mehrere Arten, welche in südlichen Provinzen häufig vorkommen, *Inoc. digitatus*, *Spondylus Dutempleanus*, *Echinocorys vulgaris* (= *Ananchytes ovata*) etc. und sie entspricht mit der folgenden:

4. Zone des *Micraster cor-anguinum* den Schichten mit *Inoc. digitatus* des südlichen Frankreichs, welche mit dem Emscher Mergel Schlüter's, der Kreide von Lézennes (Barrois) gleichaltrig sind.

5. Die Belemnitellenschichten (Craie à Belemnitelles) beherbergen einen wesentlichen Theil der Species, die wir in dem Complex des zweiten Hippuritenlagers wiederfinden; es sind das: *Rhynchonella difformis*, *Rh. octoplicata*, *Crania costata*, *Ostrea semiplana*, *O. hippopodium*, *O. vesicularis*, *Limopsis calvus*, *Dentalium planicostatum*, *Cidaris sceptrifera*, *Cid. pseudohirudo* etc.

Diese Formen kommen sämmtlich in Sougraigne und bei le Beausset in den Schichten, welche die Zone des *Inoc. digitatus* und *Micr. cor-anguinum* direkt überlagern und das zweite Hippuritenniveau bergen, vor; ihrer Stellung nach entsprechen sie daher vollkommen der Belemnitellenkreide Nordfrankreichs.

6. In der Baculitenkreide von Valognes (unterstes Danien Hébert's) sind mit den obersten Ablagerungen des Beausset gemein: *Trigonia* sp., *Limopsis calvus*, *Modiola*, *Pecten virgatus*, *P. royanus*, *Ostrea semiplana*, *O. pectinata*, *O. decussata*, *Rhynchonella Eudesi* etc.

Ferner wurden an letzterer Lokalität mehrere Formen entdeckt, welche mit Arten aus dem PariserPisolithenkalk (letztes Glied der Kreide im

Seinebecken) identisch sind oder letzteren sehr nahe stehen; es sind das: *Crassatella regularis*, *Cardita Heberti*, *Lima texta*, *Pecten Faujasi* etc.

Zum Schluss möge beifolgende, von Toucas selbst* aufgestellte Tabelle dem Leser die Hauptresultate, zu welchen vorliegende Arbeit führt, veranschaulichen:

Danien	1. Kalke von Dänemark	Garumnien und Süsswasserschichten Südfrankreichs.
	2. Kreide von Maestricht und drittes Hippuritenlager.	
Sénonien	1. Belemnitellenschichten und zweites Hippuritenlager.	
	2. Schichten mit *Micraster*, *Am. texanus* und *Inoceramus digitatus*.	
Turonien	1. Schichten mit *Am. Requieni*, *Am. peramplus* und erstes Hippuritenlager.	
	2. Schichten mit *Am. nodosoïdes* und *Inoceramus labiatus*.	

Eine Zusammenstellung der in dem Senon der Provence und den Corbières vorkommenden Arten und ihrer Verbreitung in anderen Ländern, sowie die vorstehend (s. Tabelle zwischen S. 448 und 449) wiedergegebene tabellarische Übersicht der Gliederung aller besprochenen Schichten bilden den Abschluss der wichtigen Abhandlung. W. Kilian.

Charpy et de Tribolet: Note sur la présencé du terrain crétacé moyen et supérieur à Cuiseaux (Saône et Loire). (Bull. soc. géol. de France, 3e série, T. X, p. 147. Avril 1882.)

Die Verfasser haben in Cuiseaux (Saône et Loire) über dem obersten Jurakalk folgendes Profil aufstellen können.

1. Weisse Jurakalke.
2. Gelbliche Sande (untere Kreide) 5 m.
3. Kalkhaltiger chloritischer Sandstein 1,50 m.
4. Kreidiger Kalk mit breccienartiger Struktur, Kiesel enthaltend.
5. Sande des Gault (Zone des *A. mamillatus*) } 15 m.
6. Obere Sande (Vraconnien) }
7. Cenoman 0,30 m.

Diese letzte Schicht besteht aus braunen Thonen mit weissen, der „Gaize“ des Pariser Beckens sehr ähnlichen kieseligen Parthieen; sie enthält eine unzweifelhaft dem Cenoman angehörende Fauna; leitend sind: *Am. Mantelli* Sow., *Turrilites tuberculatus* Bosc., *Terebratula obesa* Sow., *T. semiglobosa* Sow., *Holaster subglobosus* Ag.

Verfasser haben 40 Species in Cuiseaux gefunden, so dass diese Localität einer der reichsten Cenomanaufschlüsse des Jura wäre.

Darüber folgen in Cuiseaux 5 m grüner und brauner Thon mit zahlreichen Flintknollen.

Interessant ist das Vorkommen des Cenoman in der Brisseebene. Die Entfernung von dort bis zu den ersten aus Lias und Dogger bestehenden

* Soc. géol. de France, Compte-rendu sommaire des séances, No. 5, p. XVIII, 16 Janvier 1882.

Jurabergen ist nämlich kaum 1 km und es liegt wahrscheinlich eine NNO—SSW laufende Verwerfung vor.

In petrographischer Hinsicht finden wir zwischen den Cenomanschichten von Cuiseaux und den gleichalterigen Ablagerungen im schweizerischen und französischen Jura einen grossen Unterschied. Hier sind es sandige und kieselige Thone, dort weissliche, kreidige Kalke. Es wäre wünschenswerth, wenn das Verhalten der Vorkommnisse von Cuiseaux zu den Kreidebildungen im Jura (Lains) und im Mâconnais einem eingehenden Studium unterworfen würden. **W. Kilian.**

Carez: Remarques sur la classification du terrain crétacé supérieur en Espagne. (Bull. soc. géol. de France, 3e série, T. X. p. 403.)

Verfasser, welcher in einer Inauguraldissertation* eingehend die Kreidebildungen des südlichen Abhanges der Pyrenäen geschildert und die blauen Mergel mit *Micraster* in das Turonien, die Schichten mit *Hippurites canaliculatus* dagegen in das Sénonien gestellt hatte, bringt nun eine Schichtenfolge, welche mit den Ergebnissen der wichtigen Toucas'schen Arbeit** vollkommen übereinstimmt:

Sénonien	1. Kalke mit *Hipp. canaliculatus.*
	2. Mergel mit *Micraster brevis* etc.
Turonien	3. Kalke mit *Hipp. organisans*, *Hipp. cornu-vaccinum.*

W. Kilian.

F. L. Cornet: Sur les dépots dits Aachéniens du Hainaut et le gisement des Iguanodon de Bernissart. (Bull. soc. géol. de Fr. 3e série T. VIII. p. 515. Erschienen im Juni 1882.)

In der Umgegend von Marquise (Boulonnais) sind zwischen dem Kohlenkalk und den Ablagerungen des Bathonien Schichten eingelagert, welche in paläontologischer Hinsicht keinen Anhaltspunkt zur Bestimmung ihres Alters bieten. Sande, sandige Thone und Braunkohlenflötze bilden das Material, aus welchem sie zusammengesetzt sind.

In Belgien (Provinz Hennegau) kommen ähnliche Gebilde vor, welchen man die Benennung Aachénien (A. Dumont) beigelegt hat. Dieselben sind aber fast durchweg cretacischen Alters, so die Sande und Braunkohlenkalke von Aachen (unteres Senon) und die Schichten des Hennegaus, welche man mit der unteren Kreide parallelisiren kann.

Diese Bildungen sind wahrscheinlich durch atmosphärische Zerstörung älterer (paläozoischer) Gesteine und Thermalquellen bedingt und hatten sich vom Ende der Kohlenperiode bis zur Rückkehr des Meeres (Gault) abgelagert.

---

* Carez: Etude des terrains crétacés et tertiaires du Nord de l'Espagne. c. 8°. 327 p. 72 fig. 8 pl. Savy.

** Toucas: Synchronisme des étages Turonien, Sénonien et Danien dans le Nord et dans le Sud de l'Europe. (Bull. soc. géol. de France, 3e série, t. X. p. 154—217. s. oben 444.)

In einem Bohrloche bei Bernissart (Belgien) wurden diese den Aachénien angehörigen Thone in einer Tiefe von 322 m als Ausfüllungsmaterial einer Verwerfungsspalte 180 m unter ihrem normalen Niveau aufgefunden. Sie enthielten dort mehrere vollständige Skelette von *Iguanodon Mantelli* Owen, Schildkrötenreste, Fische und Farne. Ein grosser Theil dieser Vorkommnisse sind mit solchen aus dem Wealdien Deutschlands, Englands und des Pays de Bray vollkommen identisch. W. Kilian.

J. Lambert: Note sur les différentes assises qui composent la craie de l'Yonne. (Bull. soc. géol. de France, 3e série t. X. p. 427.)

In vorliegender Notiz wird bewiesen, dass im Yonnedepartement während der Turon- und Senonperiode keine Unterbrechung in der Ablagerung stattfand.

Ferner schlägt Verf. vor, die Hippuriten-Etagen fallen zu lassen.

Bemerkenswerth ist, dass Lambert's Gliederung mit der Toucas'schen vollkommen übereinstimmt; nur würde nach seiner Ansicht die Kreide mit *Marsupites* des nördlichen Frankreich den Kalken mit *Hipp. bioculatus* des Südens entsprechen, so dass dieselbe daher im Santonien, nicht im Campanien ihren Platz fände. W. Kilian.

Wohlgemuth: Note sur l'Oxfordien de l'Est du bassin de Paris. (Bull. soc. géol. de France, 3e série, t. X. p. 104.)

Verfasser, welcher sich mit eingehenderem Studium des Oxfordien und Corallien im östlichen Frankreich beschäftigt, bringt hier eine Reihe Beobachtungen, deren wesentlichste folgende sind.

Wohlgemuth theilt vollkommen Douvillé's Ansicht, was die weissen Kalke von Creuë betrifft, und identificirt sie daher mit dem untersten Corallien. Zu bemerken ist, dass Verf. *Am. canaliculatus* in genannten Kalken nicht nachgewiesen, wohl aber eine Fauna vorgefunden hat, welche auf das Oxfordien hinweisen würde.

Die Kalke von Creuë sind oft sehr mächtig und reichen zuweilen bis in das Astartien hinauf.

Die Thone, welche zwischen dem Eisenerz von Neuvizy (Ardennes) und dem Corallien eingelagert sind, fehlen manchmal gänzlich oder sind sehr schwach entwickelt.

Die Eisenerze von Neuvizy glaubt Wohlgemuth als eine Facies des obersten Terrain à Chailles betrachten zu können.

Die Kieselkalke des Dép. de la Meuse finden in der Gaize oxfordienne ihre Fortsetzung und enthalten unten zwar *Am. Mariae*, jedoch ist das Vorkommen nach Wohlgemuth's Meinung nicht häufig genug, um danach eine Zone zu benennen (Zone des *Am. Mariae,* Douvillé); darunter lagern die Oxfordmergel mit *Serpula vertebralis*, den Thonen mit *Am. Benggeri* (Zone des *Am. cordatus*, Tombeck) in dem Dep. der Ardennen und der Meuse entsprechend. Bei Latrecy und Chatillon s. Seine hingegen enthält

eine von den Thonen mit Spongiten und *A. canaliculatus* bedeckte 3 m mächtige Eisenerzbank: *A. cordatus*, *A. Mariae*, *A. Lamberti*, *A. athleta*, d. i. die Leitformen der Athletaschicht Choffat's.

A. cordatus als Leitfossil zu betrachten ist somit nicht thunlich, da die vertikale Verbreitung dieser Art zu gross ist, um eine genaue Begrenzung der nach ihm benannten Zone zu erlauben.

Verf. wäre geneigt, die Choffat'sche Eintheilung des Oxfordien in 2 Zonen anzunehmen. Das Callovien ist fetzenweise entwickelt. Die Zone des *Am. athleta* erstreckt sich bis Chatillon-sur-Seine.

Die Schichten mit *Am. anceps* treten bei Bologne zurück und die Macrocephaluszone kann nur bis Liffol-le-Petit verfolgt werden.

W. Kilian.

G. Vasseur: Recherches géologiques sur les terrains tertiaires de la France occidentale; Stratigraphie; Première Partie: Bretagne. (Thèse soutenue devant la Faculté des sciences de Paris et Annales des Sciences Géologiques, Paris 1881. 432 Seiten Text. 29 Holzschnitte und 6 Karten.)

Vasseur gibt zunächst auf 67 Seiten eine ausführliche Übersicht über die Arbeiten, welche über die Tertiärbildungen der Bretagne bisher veröffentlicht worden sind; nach kurzer orographischer Schilderung der Gegend wird bemerkt, dass zur Zeit des Grobkalkes das Meer nur einige Boden-Einsenkungen an der Küste in der Loire-Inférieure und im Norden der Vendée bedeckt, zur Zeit des Tongrien dagegen durch das Vilaine-Thal sich bis Rennes erstreckt, und endlich zur Miocän-Zeit in der Loire-Inférieure, Ille-et-Vilaine und in den Côtes-du-Nord weit grössere Landstriche und sogar Theile von Anjou und der Touraine eingenommen hat. Seite 78 wird folgende Gliederung der zu beschreibenden Tertiärbildungen gegeben. (s. S. 455.)

Ausführlich werden dann weiter die einzelnen Etagen, ihre Gesteine und Verbreitung beschrieben. Der Calc. gross. ist bekannt von 21 Stellen, der Sandstein mit Sabalites von 2, das Ober-Eocän von 1, das Unter-Miocän (Oligocän) von 9 Stellen, die Faluns von 39, das Unter-Pliocän von 2 Stellen.

Der Calcaire grossier liegt auf krystallinischen Gesteinen, auf Thonschiefern etc. oder auf Cenoman-Schichten, erreicht 25—30 Meter Mächtigkeit und wird meist von Quaternär überlagert, nur bei Saffré von Thonen und Kalken des Miocène inf. (Oligocän). Er findet sich in zwei getrennten Becken, dem der Loire-Inférieure und Vendée, und dem von Cambon und Saffré und wird, wie aus obigem Schema ersichtlich, sehr speciell gegliedert; der eingehenden Beschreibung der einzelnen Lokalitäten sind dann Profile und z. Th. noch Litteratur-Angaben und Listen von Versteinerungen beigefügt. Die Beschreibungen der 6 Zonen und ihrer einzelnen Bänke reichen dann resp. bis Seite 150, 156, 160, 172, 194 und 224, ausführliche vergleichende Listen der Versteinerungen bis Seite 280.

Pliocène

- Sup.: Sables rouges et argiles à graviers (Redon, St. Gildas-des-Bois, Blain etc.).
- Inf.: Argiles à *Nassa mutabilis* et *N. prismatica* (St. Jean-la-Poterie, près Redon—Morbihan).

Miocène

- Sup.? et: Faluns de la Loire-Inférieure à *Cardita striatissima* et *Arca Dubuissoni*.
- Moyen: Faluns de l'Anjou à *Pecten solarium*.
- Inférieur
  - Lacustre: Calc. sup. de Rennes et de Saffré à *Potamides Lamarckii, Limnea cornea, Cyclostoma antiquum*.
  - Marin
    - Calc. gross. de Rennes à *Archiacina armorica, Cerithium plicatum, C. trochleare* etc.
    - Argiles inf. de Rennes à *Natica crassatina, N. angustata, Cerithium Lebescontei* etc.

Eocène

- Supérieur: Argiles lacustres de Landéan (Ille-et-Villaine) à *Melania muricata, Potamides perditus* etc.
- Moyen
  - Grès à *Sabalites andegavensis* de Noirmoutiers
  - Calcaire grossier
    - sup.
      - 6. Zone à *Bythinia crassilabris* et *Cerithium cristatum*. — Calc. sup. de Cambon, lacustres et saumâtres.
      - 5. Zone
        - à *Cerithium parisiense*. — Calc. marin coquillier de Cambon.
        - à *Lithocardium Tournouëri, Corbula angulata* et *Cerithium tricarinatum*. — Sables coquilliers de Cambon (La Close, Coislin) et grès à végétaux du Bois-Gonët.
      - 4. Zone à *Cerith. angulatum, C. Caillaudi* et *Goniocardium Heberti*. — Sables coquilliers du Bois-Gonët, grès à *Ostrea mutabilis* de Cambon.
    - inf.
      - 3. Zone à Milioles et *Orbitolites complanata*. — Calc. sup. d'Arton et calc. de St. Gildas.
      - 2. Zone à *Cerithium giganteum* et fossiles variés. — Calc. coquillier ou shnare d'Arton.
      - 1. Zone à *Nummulites* et *Ostrea flabellula*. — Grès calcarifère de Bauche et du Four.

Es werden angeführt aus Zone I 48 Arten, worunter 17 Echinodermen und eben soviel Mollusken, aus Zone II 100 Arten, worunter 80 Mollusken, aus Zone III 119 Arten, worunter 95 Mollusken, 2 Brachiopoden etc. Davon finden sich im Pariser Becken 10 Arten in den Sables de Cuise, 64 im Calc. gross., 39 in den Sables moyens. In Zone IV, den Sanden von Bois-Gouët sind 438 Arten (382 Mollusken) vorhanden, worunter 154 neue!; von den übrigen finden sich sonst 31 in den Sables de Cuise, 211 im Calc. gross. und 119 in den Sables de Beauchamp.

Von der Zone V lieferten die Sande von Cambon 271 Arten (246 Mollusken), der Kalk mit *Cerithium parisiense* dagegen nur 28 Arten (21 schlecht erhaltene Moll.). Von ersteren finden sich nur 111 im Sande von Bois-Gouët, 22 im Sable de Cuise, 139 im Calc. gross., 82 im Sable de Beauchamp.

Aus Zone VI werden aus den Schichten mit *Bythinia crassilabris* noch *Cyclostoma mumia* und 5 andere unbestimmbare Formen angeführt, aus den Schichten mit *Cerithium cristatum* 6 unbestimmbare und 9 bestimmte Arten, von denen je 7 im Calc. gross. und den Sables de Beauchamp vorkommen.

Die Sandsteine von Noirmoutiers haben eine Rhachis von *Sabalites andegavensis* Schimp. und ein Zweigstück von *Araucarites Roginei* Sap. geliefert.

Das „Ober-Eocän“ wird durch grünliche Thone vertreten, welche bei Fougères bei Landéan (Ille-et-Villaine) auftreten und folgende Arten lieferten:

Potamides elegans Desh.
„ „ Var.
P. perditus Bayan.
Planorbis cornu? Brongn.
P. sp.
Limnea sp.
Bythinia Monthiersi Carez.
B. sp.
Melania muricata S. Wood.
Cyrena armorica G. Vass. und
Bythinia Duchastelii? von (Tournouër erwähnt).

Vasseur nennt die *Melania muricata* „Espèce caractéristique de l'éocène supérieur de l'île de Wight“ (Bembridge), übersieht aber, dass dieselbe dort auch in der Headon- und in der Hempstead-Series, also auch noch im Mittel-Oligocän, und in Norddeutschland auch noch im Ober-Oligocän auftritt.

Bythinia Monthiersi ist eine Art der Marnes blanches à *Limnea strigosa* (über dem obersten, zuckerkörnigen Gyps), und *Cerithium elegans* (*C. margaritaceum* Nyst), findet sich sonst in den Sables de Fontainebleau.

Es dürften also diese Thone, welche Vasseur, wenn auch mit Vorbehalt seinem Eocène Supérieur zurechnet, mit grosser Wahrscheinlichkeit dem Unter-Oligocän angehören.

Das Miocène inférieur (Seite 289) ist nach Vasseur weniger vollständig als in den Becken von Paris und der Gironde. Es fehlen die „Marnes vertes“, der Calc. de Brie, die Mergel mit *Ostrea cyathula* und *O. longirostris*, der Calc. de l'Orléanais und der Calc. de Beauce ist nur rudimentär.

Wenn Vasseur an dieser Stelle sich gegen die Unterscheidung einer Oligocän-Periode ausspricht, indem er meint, es werde diese jetzt auf das Unter-Miocän beschränkt, dies sei aber unzulässig, weil sie früher eine andere Bedeutung erhalten habe, so ist er in einem grossen Irrthum befangen; die Begrenzung der Oligocän-Zeit wird für die norddeutschen Tertiärbildungen noch heute genau so genommen, wie Beyrich sie hingestellt hatte. Ein Schwanken oder Zweifel ist nur dann möglich, wenn, wie so vielfach in Frankreich, die betreffenden Schichten fossilarm oder als Brack- resp. Süsswasser-Bildungen entwickelt, oder noch nicht eingehend untersucht worden sind.

Vasseur meint ferner, die Typen und die Grenzen der Perioden seien nicht da zu suchen, wo nur marine Bildungen gleichmässig auf einander folgten, sondern in den Becken, wo durch Süsswasser-Bildungen und Zeichen von Heraustauchen aus dem Wasser die Oscillationen der Erdrinde sich nachweisen liessen. Letzteres ist aber auch bei marinen Bildungen recht wohl der Fall, so z. B. in Norddeutschland, und in den von Vasseur vorgezogenen gemischten Ablagerungen ist, soweit Referent dergleichen kennt, das Auftreten einer „lacune zoologique", die als Grenze zwischen den Formationen dienen soll, stets darauf zurückzuführen, dass entweder ein Formationsglied fehlt (und das kommt sowohl in Meeres- als auch in brackischen und Süsswasser-Ablagerungen vor) oder dass die auf einander folgenden Faunen nicht analoge sind*, dass z. B. auf eine Süsswasser-Fauna eine Landschnecken-Fauna oder eine Meeres-Fauna folgt, die dann natürlich nicht eine Art gemeinsam haben, dabei aber möglicher Weise derselben Stufe angehören. Im Übrigen zeigt fast jedes „gemischte" Becken eine andere lokale oder specielle Gliederung als das andere.

Nur das Bedürfniss, scharf und genau zu unterscheiden und zu parallelisiren, — auch solche Schichten, die Vasseur als Terrains mixtes ansieht — hat die grosse Mehrzahl der europäischen Geologen dazu geführt, die Oligocän-Eintheilung anzunehmen. Man darf sich davon also — im Gegensatz zu Vasseur — allerdings einen Fortschritt für die Wissenschaft versprechen.

Eingehend werden dann die Kalke und Mergel von Lormandière, la Chausserie (siehe Referat, dies. Jahrb. 1881. II. S. 405) und ein paar anderen Stellen mit *Archiacina armorica, Natica crassatina, Turbo Parkinsoni, Cerithium plicatum, C. conjunctum, C. trochleare, Voluta subambigua, Cardita Bazini, Cytherea splendida* und *C. incrassata*, also wesentlich Formen des südeuropäischen Mittel-Oligocän-Beckens, als „Calcaire grossier de Rennes à *Archiacina armorica*" und die darunter liegenden Thone, deren Fauna im Bull. Soc. géol. III. sér. t. VII S. 464 von Tournouër beschrieben wurde (Referat in dies. Jahrb. 1881. I. S. 431) besprochen. Die Gesammtzahl der Arten beträgt 55, worunter 48 Mollusken.

---

* Dies ist z. B. der Fall bei der von Hébert und wohl auch seinem Schüler Vasseur angenommenen Grenze zwischen dem Eocän und Miocän des Pariser Beckens.

Über den marinen Kalken folgen dann solche mit *Potamides Lamarckii, Limnea cornea, Planorbis cornu, Cyclostoma antiquum* und „Meulières" mit *Chara* und verkieseltem Holze, also wohl dem Calc. de Beauce (Ober-Oligocän) entsprechend.

Unter Miocène moyen et supérieur werden verschiedene lockere, kalkhaltige Schichten zusammengefasst, welche theils den Faluns des Anjou entsprechen, theils ihrer Fauna nach den Übergang zum Pliocän bilden und wohl dem oberen Miocän angehören. Es sind eine grosse Zahl von isolirten Fetzen bekannt, welche theils auf Granit und Gneiss, theils auf Silur oder Devon, theils auf Kreide oder — bei La Chausserie — auf dem Süsswasserkalk liegen, in einer Höhe von 5—90 Meter über dem Meere. Es werden aus den älteren „Faluns de Rennes et de Dinan" 93 Arten, darunter Reste von 44 Wirbelthieren, angeführt, meist Fischen, aber auch *Mastodon angustidens, Dinotherium Cuvieri, Anthracotherium onoïdeum?* und *Halitherium medium.* Die jüngeren „Faluns de la Dixmerie" enthalten dagegen 93 Arten, worunter 84 Mollusken.

Das Unter-Pliocän ist durch blaue, graue oder grünliche Thone mit *Nassa prismatica, N. mutabilis, Ostrea edulis* und *Terebratula variabilis* Sow. bei Saint-Jean la Poterie im Morbihan vertreten, während dem Ober-Pliocän fossilleere rothe Sande und Kies, mitunter durch Eisenoxydhydrat verkittet und mit Thonschichten wechselnd, zugerechnet werden.

Zum Schlusse (S. 388) wird dann eingehend die Parallelisation dieser Tertiärschichten mit denen des Pariser Beckens, des Cotentin und der Gironde besprochen. Die älteren Schichten des Cotentin, Stufe 2—6 obigen Schemas, sind ohne Weiteres mit denen der Bretagne und des Pariser Beckens zu identificiren. Aus den Kalken von Gourbesville erwähnt Vasseur *Limneus* cf. *longiscatus, Planorbis planulatus, Potamides perditus, Paludina lenta, Bythinia Monthiersi* und *Paludina Vasseuri.* Diese Kalke werden daher = den Thonen von Landéan und = den Mergeln über dem Gyps des Pariser Beckens (Unter-Oligocän) gestellt.

Aus den Argiles à Corbules (siehe Referat in dies. Jahrb. 1881. II. S. 88) führt Vasseur nur *Cerithium plicatum* an, welches allein die Stellung der Argiles à Corb. zu rechtfertigen scheine und meint, die übrigen Arten seien meist neu. Referent hat inzwischen jedoch eine Reihe von wichtigen Formen, wie *Cerith. dentatum, Buccinum cassidaria* in der reichen Sammlung von Dollfus gesehen, nach welchen die Argiles à Corb. wohl in das Mittel-Oligocän = Sables de Fontainebleau, zu stellen sind.

Die Bythinien-Mergel mit *B. Chastelii* von Ludes bei St. Sauveur le Vicomte werden = Calcaire de Brie gesetzt, also wohl etwas zu niedrig. Die Faluns in der Gegend von Carentan entsprechen dann dem Mittel-Miocän, die Conglomerate mit *Terebratula perforata* etc. von St. Georges-de-Bohon dem Ober-Miocän, die Mergel mit *Nassa prismatica* von Bosq d'Aubigny und aus der Nähe von Gourbesville dem Pliocän. Im Becken der Gironde fehlt wohl das Unter-Eocän. Für das Mittel-Eocän wird gesetzt Horizont 1 obigen Tableaus = Sables argileux à Nummulites im Médoc; Horizont 2 und 3 = Calc. grossier de Blaye mit *Echinolampas*

stelliferus und Kalk von St. Palais. Horizont 4—6 = Calc. sup. de Blaye mit *Echinolampas girondicus, Goniocardium Heberti* etc.

Die Sandsteine mit *Sabalites andigavensis* von Noirmoutiers und in Anjou = den Sables de Beauchamp und den Thonen mit *Ostrea cucullaris* in der Gegend von Blaye, während der über diesen Thonen liegende Süsswasserkalk von Plassac und Cerithienkalk von Bégadan dem Calc. de St. Ouen entsprechen.

Das Ober-Eocän (Unt.-Oligocän?) wird durch den Milioliten-Kalk von St. Estèphe und die Kalke und Mergel mit *Anomia girondica* und grossen Austern vertreten.

Die Molasse von Fronsac und der Kalk von Verteuil mit Austern, Turritellen, *Cerithium plicatum* und *C. trochleare* wird mit den Marnes à Corbules der Bretagne und den grünen Mergeln mit *Cyrena convexa* des Pariser Beckens parallelisirt, die grünen Mergel und Kalke mit *Bythinia Duchastelii* von Civrac und die Kalke von Castillon mit dem Calcaire de Brie und den Mergeln mit *Bythinia Duchastelii* des Cotentin, während diese 2 Horizonte in der Bretagne fehlten.

Der Calcaire à astéries allein entspräche dem Miocène inférieur marin, der Süsswasserkalk von Rennes und Saffré, dem Calc. de Beauce und den Meulières de Montmorency, aber nur dem unteren Theile der Kalke des Agenais und der Schichtenfolge von Labrède-Lariey bei Saucats, welche das Ober-Oligocän repräsentirt.

Die Faluns von Léognan und Saucats sind im Pariser Becken, der Normandie, Bretagne etc. nicht vertreten, die von Salles werden gleich denen von Rennes gestellt.

An der Hand der angeführten Daten wird zum Schluss versucht, gleichsam die Geschichte der verschiedenen Hebungen und Senkungen Frankreichs zur Tertiärzeit festzustellen.

Vier geologische Karten, zwei Karten für die Ausdehnung der Meere des Calc. grossier und des Mittel-Oligocän, sowie eine grosse Zahl von in den Text gedruckten Profilen etc. sind der inhaltreichen Arbeit beigefügt.

von Koenen.

Judd: On the Relations of the Eocene and Oligocene Strata in the Hampshire basin. (Quart. Journ. Geol. Soc. Nov. 1882. Vol. XXXVIII. 4 S. 461.)

Judd giebt zunächst eine ausführliche Übersicht über die verschiedenen Arbeiten und Ansichten, welche über das Hampshire- und Londoner Becken und deren Parallelisation veröffentlicht worden sind, und schlägt vor, dass die Namen Upper- und Lower-Bagshot, deren Alter im Londoner Becken nicht mit voller Sicherheit festzustellen ist, auf Schichten des Hampshire-Beckens nicht länger angewendet werden mögen. Den Namen Studland-Schichten giebt er den früher von Prestwich als „Lower Bracklesham Sands", später von diesem und Gardner als Lower Bagshot bezeichneten Süsswasser-Schichten von Alum Bay und Whitecliff Bay, sowie den Pfeifenthonen von Poole, Corfe, Branksea Island und Studland Bay, deren Flora

ganz von derjenigen der darüberliegenden Bournemouth-Schichten, dem westlicheren Süsswasser-Äquivalente der Bracklesham-Schichten, verschieden ist.

Die mächtigen Sande über dem Barton-thon, welche als Headon-hill-Sande oder von der Geol. Survey als „Upper Bagshot Sands“ (Glasshouse Sands) bezeichnet wurden, nennt er „Headon-Hill-Sands“ und erwähnt, dass Tawney neuerdings die kleine Fauna im obersten Theile derselben am Long-Mead End untersucht und gefunden habe, dass von 28 Arten nur 21 Procent (also wohl 6 Arten) den höheren Headon-hill-Süsswasserschichten, aber 35 Procent (also wohl 10 Arten) dem Barton-thon angehörten. Sie bildeten also den Übergang von Barton-thon zu den Headon-hill-Süsswasserschichten, welche bei Hordwell die reiche Beute an Wirbelthierresten geliefert haben und jetzt in folgender Weise gegliedert werden:

1) Sande und Mergel mit Süsswasser-Mollusken . . .	12—20′
2) Sand mit Brackwasser-Formen („Marine band“) bis zu	1′
3) Graue und grüne Muschel-führende Mergel und Sande	20′
4) Kalk mit *Limneus*	$\frac{1}{2}$′
5) Grüne Mergel	4′
6) Weisse Sande und Thone, oben mit den „Krokodilschichten“	15′
7) Sandige Schicht mit Lignit (Blätterschicht)	3′
8) Grünliche Sande und Thone (Säugethier-Schicht) unten mit einer brackischen Schicht	20′
9) „Lignit“-Schicht	$3\frac{1}{2}$′

darunter folgen dann die „Headon-Hill-Sands“, 30—40′ mächtig.

Besonderes Gewicht legt Judd auf das Vorkommen von *Cerithium concavum* in diesen Schichten, da diese Art im obersten Theile der Sables de Beauchamp häufig vorkäme und einer besonderen Zone ihren Namen gäbe. Dagegen ist zu bemerken, dass *C. concavum* auch im Calcaire grossier auftritt, also jedenfalls eine grössere vertikale Verbreitung hat, und wenn es im typischen, marinen Unter-Oligocän noch nicht bekannt ist, so mag das daher kommen, dass Letzteres noch nicht genügend in einer Cerithienfacies bekannt ist.

Judd führt dann weiter aus, dass die Headon-Süsswasserthone an der Whitecliff-bay von ca. 100 mächtigen marinen Bildungen überlagert sei, welche den Brockenhurst und Roydon-Schichten in Hampshire entsprechen und nicht, wie sonst angenommen, der mittleren Headon-Series angehörten, nach oben aber wieder in Brack- und Süsswasser übergingen.

Weiter wird in ähnlicher Weise wie früher (Quart. Journ. 1880. XXXVI. S. 137) ausgeführt, dass der mächtige Headon-hill-Süsswasserkalk nicht mit der $1\frac{1}{3}$ Fuss dicken, damit identificirten Kalkbank an der Colwell-

* Dies ist wohl nach obigen Daten nicht ganz zutreffend, da sie sich weit näher an den Barton-thon anschliessen, obwohl dieser eine andere — rein marine — Facies der Fauna besitzt, und durch die ganze Mächtigkeit der Glass-house-Sands davon getrennt ist, während die Headon-series unmittelbar über jener Fauna folgt. Ref.

bay, sondern mit den Kalken von Wardencliff zu parallelisiren sei, dass daher die untere und mittlere Headon-Series am Headon-hill unter diesem Horizonte, über demselben aber die brackischen Schichten von Colwell-bay lägen, die mit den Brockenhurst-Schichten übereinstimmen, am Headon-hill aber zu fehlen schienen, während an der Whitecliff-bay die Brackwasserschicht mit *Cerithium concavum* etc. fehlt, wie denn auch die brackischen Colwell-bay-Schichten nur auf 1440 Yards zwischen Colwell-bay und Totland brickyard nachweisbar seien, aber hier schon auf 300 Yards Entfernung in Mächtigkeit, Zusammensetzung und Fauna sich ganz veränderten.

Tawney bemerkt hierzu, Judd brächte im Wesentlichen dieselben Anschauungen vor, wie früher (Quart. Journ. 1880, vol. XXXVI. S. 137 Referat in dies. Jahrb. 1882. I. 426).

Cerithium concavum käme ebenfalls an der Colwell-bay vor, und wenn die Colwell-bay-Schichten sich auch nicht zwischen Weston- und Widdick-Chines verfolgen liesse, so gingen doch die darunter liegenden Schichten, die Warden-Sande und gewisse *Chara*-Schichten vollständig bis Headon-hill durch.

Wenn somit auch die Richtigkeit von Judd's Gliederung in Abrede gestellt wird, so lässt sich doch nicht läugnen, dass durch dieselbe eine in mancher Beziehung recht befriedigende Parallelisation mit dem französischen Ober-Eocän ermöglicht werden würde, wie es Dollfus (Chemin de fer de Méry in Bull. Soc. géol. de France, 3. série t. VI. S. 304) abgrenzt. Dass aber, wie Judd meint, durch seine Gliederung allein die Abgrenzung des Oligocän in England ermöglicht würde, kann nicht wohl zugegeben werden, da das Verhalten von brackischen und Süsswasserbildungen also von anormalen Schichten nicht wohl als Norm dienen kann.

von Koenen.

Stanislas Meunier et J. Lambert: Recherches stratigraphiques et paléontologiques sur les sables marins de Pierrefitte près Etampes (Seine et Oise). (Nouvelles Archives du Muséum d'Histoire naturelle. II. Série, Tome 3. 1880. S. 235—268. Tafel 13 u. 14.)

St. Meunier führt in dem ersten, paläontologischen Theile 122 Arten Mollusken von Pierrefitte an, von denen er 6 als neu für das Pariser Becken und 30 als überhaupt neu abbildet und mit meist ganz kurzen lateinischen Diagnosen und wenig inhaltreicheren Beschreibungen begleitet.

Neu für das Pariser Becken sollen sein: *Cytherea subarata* Sandbg., *Eulima subulata* Risso, *Fusus elongatus* Nyst, *Murex ornatus* Grat., *Columbella inornata* Sandbg. und *Cypraea subexcisa* Braun; zu diesen ist aber zu bemerken, dass Referent (Mittel-Oligocän S. 27) schon vor 15 Jahren den *Fusus elongatus* N., zu welchem auch *F. Speyerii* Desh. zu ziehen ist, von Jeurre und Morigny angeführt hat, dass aber die Abbildung von *F. undosus* St. Meunier (taf. 14 fig. 19, 20) noch mehr an *F. elongatus* erinnert, als die der letzteren Art. Die Abbildung von *Eulima subulata* (taf. 14 fig. 3, 4) ist, besonders auch in den Verhältnissen der Dicke zur

Länge, der recenten und jungtertiären Art ganz unähnlich, und auch im Text ist 1,5 Mm. Dicke auf 5 Mm. Länge angegeben, Proportionen, welche wohl mit denen der Abbildung, aber nicht mit solchen von *C. subulata* übereinstimmen.

Als ganz neue Arten werden beschrieben und abgebildet: *Jouannetia Fremyi*, *Sphenia Stampinensis*, *Corbulomya Morleti*, *Mactra angulata*, *Tellina trigonula*, *Venus Loewyi*, *Cytherea variabilis*, *C. dubia*, *Cardium Stampinense*, *Diplodonta Bezançoni*, *D. Decaisnei*, *D. scalaris*, *Lucina acuminata*, *Arca Stampinensis*, *Spondylus radiatus*, *Emarginula conformis*, *Rissoïna cochlearina*, *Bulla neglecta*, *Planorbis inopinatus*, *Turbo Ramesi*, *Cerithium undulosum*, *Triforis tricarinatus*, *Fusus filiferus*, *F. undatus*, *Triton Daubrei*, *Murex Berti*, *M. Cotteaui*, *M. rhombicus*, *Buccinum Archambaulti*, *Marginella Stampinensis*.

Die Mehrzahl dieser Arten wird aber durch die Beschreibungen und Diagnosen zu wenig kenntlich gemacht, als dass sich ein sicheres Urtheil darüber gewinnen liesse; freilich mag die Schuld zum Theil an der mangelhaften Erhaltung der meist abgeriebenen oder angewitterten Fossilien liegen.

Nach einer kleinen Suite von Pierrefitte, welche Referent M. Cossmann verdankt, ist aber wohl *Murex Berti* mit dem bekannten variabelen *Fusus aequalis* Mich., (*F. polygonatus* und *subcarinatus* Grat.) von Gaas etc. zu vereinigen, *Murex conspicuus* St. Meun. (non Braun) mit *M. pereger* Beyr. (vom Referenten l. c. schon von Jeurre und Morigny angeführt); *Cerithium undulosum* St. Meun. ist mindestens sehr ähnlich einer Form von Gaas, die ich für *C. subclathratum* Orb. halte, *Venus Loewyi* St. Meun. gleicht sehr bedeutend der bekannten *V. Aglaurae* Brong. Ausserdem scheint, den Abbildungen nach zu urtheilen, *Triton Daubrei* dem *T. foveolatum* mindestens sehr nahe verwandt zu sein, und *Spondylus radiatus* gleicht auffallend einem abgeriebenen *S. tenuispina* Sdbg.

Von erhöhtem Interesse ist jedenfalls das Auftreten von Typen, wie sie ident oder doch sehr ähnlich im süd-europäischen Mittel-Oligocän vorkommen und zwar zusammen mit Arten wie *Cerithium Lamarcki*.

In dem zweiten geologischen Theile beschreibt Lambert die betreffenden Schichten „Quarzsande mit Corbulomyen“, welche an dem Wege von Etampes nach Saint-Hilaire bei Pierrefitte aufgeschlossen und von St. Meunier (Comptes rendus de l'Ac. t. 89, S. 611) bekannt gemacht worden sind, die aber auch, weniger reich an Arten bei St. Hilaire, bei Moulinveau, bei Etampes selbst beobachtet wurden und zwischen dem Horizont von Jeurre-Morigny und dem von Ormoy liegen. Über ihnen folgen dann gewöhnlich weisse, versteinerungsleere Quarzsande, dann die weissen oder lila Sande mit Geröllen und früher oder später auftretende Quarzite und endlich der Horizont von Ormoy, welcher meist scharf von den darüber liegenden Süsswasserbildungen getrennt ist. Bei Valnay findet sich aber in den Bithinien-Mergeln nochmals eine dünne Schicht mit *Cerithium Lamarcki*, *C. plicatum*, *Cardita Bazini*, *Corbulomya Morleti* etc. Der Calcaire de Beauce wird nach oben breccienartig und kieselig. **von Koenen.**

A. Jentzsch: Bericht über die geologische Durchforschung des norddeutschen Flachlandes, insbesondere Ost- und Westpreussens, in den Jahren 1878, 1879 und 1880. (Schrift. d. physik.-ökonom. Gesellschaft zu Königsberg. Bd. XXI.)

Der Verfasser gibt zunächst auf 22 Seiten eine Zusammenstellung der auf die physikalisch-geographischen und geologischen Verhältnisse des oben bezeichneten Gebietes bezüglichen kartographischen und literarischen Publikationen in den genannten 3 Jahren. Den eigentlichen Kern der Arbeit bildet auf 36 Seiten eine „Geologische Skizze des Weichseldeltas". Gestützt auf die eigenen und die nördlich anstossenden älteren Berendt'schen Aufnahmen, wird mit Zugrundelegung eines aus den beiden Aufnahmen auf den Maassstab 1 : 466 000 verkleinerten Übersichtskärtchens eine eingehende Schilderung dieses weiten Alluvialgebietes und seiner diluvialen Umränderung gegeben, wobei das Alter des Weichseldeltas auf etwa 5000 Jahre berechnet wird. Den Schluss macht sodann auf 17 Seiten eine eingehende Besprechung neuerer Arbeiten und Untersuchungen verschiedener alluvialer Bildungen. G. Berendt.

A. Jentzsch: Der Untergrund des norddeutschen Flachlandes. Kurze Begleitworte zur Übersichtskarte. (Schrift. d. physik.-ökonom. Ges. z. Königsberg. Bd. XXII.)

Das geologische Übersichtskärtchen im Maassstabe 1 : 3 700 000, dem die kleine Abhandlung beigegeben ist, wurde ursprünglich entworfen um dem „Bericht über die geologische Durchforschung des norddeutschen Flachlandes, insbesondere Ost- und Westpreussens in den Jahren 1878/80" als Erläuterung beigegeben zu werden. Nachdem der vorstehend besprochene erste Theil dieses Berichtes erschienen und die Fertigstellung des zweiten Theiles noch verschoben werden musste, hielt es der Verfasser für angezeigt, das inzwischen im Druck vollendete Kärtchen schon jetzt herauszugeben.

Zum ersten Male ist hier der Versuch gewagt, das ganze nordostdeutsche Flachland mit seiner Umgebung in einem selbstständigen geologischen Kartenbilde darzustellen. Ob unsere mehr wie lückenhafte Kenntniss des Untergrundes unserer norddeutschen Quartärbedeckung solches schon gestattete, mag hier unerörtert bleiben. Die Neuheit und eigenartige Schwierigkeit des Gegenstandes lässt den Verfasser mit Recht auf nachsichtige Beurtheilung rechnen und darum möge auch hier ein Hinweis auf den Entwurf genügen. Dankbarer wäre aber jedenfalls eine Beschränkung desselben auf thatsächlich Beobachtetes gewesen unter Fortlassung sämmtlicher Constructionen und hypothetischen Verbindungen. Am wenigsten gereicht das etwas wirre Bild der meist ganz in der Luft schwebenden „muthmaasslichen Sattellinien" der Karte zur Zierde oder trägt irgendwie zum Verständnisse bei. G. Berendt.

E. Laufer: Aufschlüsse in den Einschnitten der Stargard-Cüstriner Eisenbahn. (Jahrb. d. kgl. preuss. geol. Landesanst. 1881. S. 523—534 und 1 Tafel Profile.)

Im Auftrage der geologischen Landesanstalt sammelte Verf. die durch den Bau obiger Eisenbahn entstandenen Diluvialaufschlüsse in zusammenhängenden, für die Kartirung jener Gegenden den besten Anhalt bietenden Profilen, deren eine Anzahl bedeutenderer, auf einer Tafel vereinigt, der Abhandlung beigegeben ist. Die hier zur Beobachtung kommenden geologischen Verhältnisse weichen in keiner Weise von den bei Berlin herrschenden ab, nur verdient ein gegenüber der Station Tamsel erschlossenes Profil allgemeinere Beachtung, weil es eine directe Überlagerung des unteren Diluvialmergels durch geschichteten Thonmergel aufweist und so ein Seitenstück zu dem von Dr. Wahnschaffe in der folgenden Arbeit besprochenen Profil abgiebt. G. Berendt.

F. Wahnschaffe: Über das Vorkommen geschiebefreien Thones in den obersten Schichten des Unteren Diluviums der Umgegend von Berlin. (Jahrb. d. kgl. preuss. geol. L.-A. 1881. S. 535—545.)

Am Südgehänge des grossen Berliner Hauptthales zwischen den Dörfern Rudow und Glienicke (Sect. Cöpenick) findet sich durch Ziegeleibetrieb aufgeschlossen ein Vorkommen geschiebefreien Thonmergels, welches im Gegensatz zu der Lagerung des Glindower Thonmergels als über dem unteren Diluvialmergel, also in den, oberen und unteren Diluvialmergel trennenden Sanden lagernd, beschrieben und für eine lokale Beckenbildung gehalten wird. Verfasser erwähnt jedoch selbst, dass des weiteren bei den Kartenaufnahmen der Berliner Gegend von verschiedenen Beobachtern sandige Thonmergel und die diese vertretenden Mergelsande als Einlagerung in dem den oberen und unteren Diluvialmergel trennenden Sande beobachtet wurden; auch in grösserer Entfernung hat Dr. Laufer (vergl. das vorhergehende Referat) bei Untersuchung der durch die Cüstrin-Stargardter Eisenbahn gemachten Aufschlüsse Thonmergel in diesem Niveau nachgewiesen und so hätte allerdings der Schluss nahe gelegen, dass bei den Spezial-Aufnahmen sich auch hier in Norddeutschland das aus Schweden und Schottland schon seit längerem bekannte obere Thonmergelniveau vertreten finde. Statt dessen nimmt Verfasser zum Schluss gerade Veranlassung, auf Grund der einheitlichen Bildung des ganzen unteren Diluviums jede Gliederung desselben als nur von lokalem Werthe hinzustellen.

G. Berendt.

A. Jentzsch: Über Kugelsandsteine als charakteristische Diluvialgeschiebe. (Jahrb. d. kgl. preuss. geol. Landesanst. 1881. S. 571—582, mit 1 Tafel.)

Im Diluvium Ostpreussens finden sich nicht selten hellgraue, kugelförmige Sandsteinconcretionen, welche durch ihre auffällige Gestalt Auf-

merksamkeit erregen. Bald sind es einfache Kugeln, bez. Sphäroide, bald treten eine mehr oder minder grosse Anzahl derselben zu einer Gruppe zusammen und liefern unter Umständen Sandsteinplatten, die auf beiden Seiten mit wallnussgrossen, halbkugeligen Erhöhungen bedeckt sind. Als Bindemittel derselben weist sich einheitlich orientirte Kalkspathsubstanz aus, die jedoch die ursprüngliche Schichtung der Quarzkörner nicht aufhebt. Der Gehalt an Kieselsäure und kohlensaurem Kalk wird durch eine Analyse zu 63,27 % SiO_2 und 34,82 % $CaCO_3$ festgestellt. Die Entstehungsweise dieser Sandsteinkugeln vergleicht Verf. mit jener des in Rhomboëdern und Skalenoëdern krystallisirten Sandsteins, wie solche aus der Gegend von Meiningen und Heidelberg, aus dem Schwarzwald, von Miechowitz bei Benthen, von Fontainebleau und a. a. O. bekannt geworden sind. Auch im ostbaltischen Devon sind ähnliche Kugelsandsteine gefunden worden. Dies und der Umstand, dass die Häufigkeit dieses Diluvialgeschiebes in östlicher Richtung zunimmt, lässt den Verf. dieselben aus devonischen, von dolomitischen Kalken überlagerten Sandsteinen Livlands, Kurlands oder der benachbarten Ostsee herleiten. **G. Berendt.**

A. Jentzsch: Ein Tiefbohrloch in Königsberg. (Jahrb. d. kgl. preuss. geol. L.-A. 1881. S. 583—594.)

Verf. giebt die ausführliche Bohrtabelle des zum Zweck der einheitlichen Wasserversorgung der militärfiskalischen Etablissements Königsbergs niedergebrachten ersten Bohrlochs von 94,85 m Tiefe. Danach entfallen auf das Diluvium 45,05 m, auf das Unteroligocän 22,40 m (glaukonitische Sande und hellgrauer fester Letten) und auf das Senon (Mucronatenkreide) 27,01 m (Grünsande, harte Kreide, Schreibkreide und glaukonitische Kreidemergel in mehrfacher Wechsellagerung). Zwischen Senon und Unteroligocän lagert noch eine, nur 0,39 m mächtige Schicht von sandigen Knollensteinen, welche glänzende schwarze Körner umschliessen, von denen einige die Gestalt von abgerollten Fischzähnen und damit diese Zwischenschicht als eine Art Bonebed charakterisiren. **G. Berendt.**

A. Jentzsch: Die Lagerung der diluvialen Nordseefauna bei Marienwerder. (Jahrb. d. kgl. preuss. geol. Landesanst. 1881. S. 546—570, mit 1 Taf. Profile.)

Seit dem Jahre 1865, wo die ersten marinen Conchylien im westpreussischen Diluvium in der Nähe von Marienwerder aufgefunden wurden, hat man wohl deren Alter als unterdiluvial erkannt und auch die Zahl der Fundpunkte vermehrt, allein über die genauere Einreihung der einzelnen, Schalthierreste führenden Schichten in bestimmte Horizonte ist man bisher im Unklaren geblieben. Die Kartirung der Section Marienwerder im Maassstab 1 : 25 000 gab nun dem Verf. Gelegenheit, diesen Fragen näher zu treten. Aus der Combination einer grösseren Reihe von längs des rechten Steilufers der Weichsel aufgeschlossenen Profilen (16 an der Zahl), die im

Text umständlich beschrieben und auf der beigegebenen Tafel zur Abbildung gelangt sind, ergiebt sich folgendes, von oben nach unten angeordnetes Schema für die Aufeinanderfolge der unterdiluvialen Schichten auf Section Marienwerder. Die den einzelnen Abtheilungen vorgesetzten Buchstaben sind dieselben wie beim Verf.

i. 60 Fuss (18,83 m) complicirter Wechsel von Geschiebemergel und Sand oder Grand.
h. 20—30 Fuss (6,28—9,42 m) Sand oder Grand.
g. etwa 6—10 Fuss (1,88—3,14 m) Thonmergel.
f. „ 10 „ (3,14 m) Geschiebemergel.
e. bis 25 Fuss (7,85 m) Sand bis Grand.
x, y. je 0,5 Fuss (0,157 m) 2 dünne Geschiebemergelbänke mit Conchylien (*Scalaria*-Bank).
d. etwa 6—10 Fuss (1,88—3,14 m) Sand.
c. „ 3 „ (0,942 m) Lehm.
b. „ 12 „ (3,77 m) Thon.

In dieses Schema sind nun die gefundenen Schalthierreste einzureihen. Die Schichten b, c und d haben bisher nichts davon ergeben; x ist reich an Conchylien, die sämmtlich der Nordseefauna angehören, darunter *Scalaria communis;* e enthält neben der gewöhnlichen Nordseefauna noch *Yoldia arctica.* Die Grenze von e, f ist durch Conchylienfunde ausgezeichnet (Berendt's älteste Fundstelle), während aus g noch nichts bekannt geworden ist; in h, wenn als echter Grand entwickelt, kommen spärliche Schalen vor, unter diesen *Dreissena* und der Schicht i gehören 14—15 Fundpunkte von Diluvialconchylien an, die jedoch immer auf den Grand beschränkt sind.

In allen diesen Gliedern des Unterdiluviums herrscht die typische Nordseefauna vor; die ihr stellenweise beigemischte *Yoldia arctica* deutet noch nicht auf eine Einwanderung vom Weissen Meer, sondern sie gelangte über die Nordsee aus ihrer hochnordischen Heimath nach Westpreussen.

Ein Unterschied scheint in der Vertheilung der Süsswasserreste zu liegen. Während diese unter dem Thon (g), der in diesem Gebiet den Werth einer Leitschicht hat, nur selten, resp. sehr selten vorkommen, ist in g und h insbesondere *Dreissena* ziemlich allgemein verbreitet. — Einen anderen Unterschied bildet die Art des Vorkommens. In den höheren Horizonten liegen die Conchylien im Grand, in den tieferen vorwiegend im Geschiebemergel, niemals weit über dessen Sohle.

Eine ganz ähnliche Gliederung konnte Verf. auch auf dem linken Weichselufer auf der etwa 40 km langen Strecke zwischen Mure und Dirschau nachweisen. Die Schichten b, e, f und g wurden überall, h bei Fiedlitz wiedergefunden; c, x und y sind bei der vorläufigen Untersuchung allerdings noch nicht beobachtet worden, dagegen stellt sich noch ein unterstes Glied a, der Geschiebemergel von Kl.-Schanz und Kniebau ein. Auch hier tritt die Nordseefauna nie rein, sondern stets vermischt mit spärlichen Resten einer arctischen und einer Süsswasserfauna auf.

Die schon an diesen Aufschlüssen zu beiden Seiten der Weichsel hervortretende grosse Mächtigkeit des Unterdiluviums wird noch beträchtlich erhöht durch den aus vielen Bohrlöchern in West- und Ostpreussen zu führenden Nachweis, dass dessen Basis weit unter den Meeresspiegel hinabreicht. Das veranlasst den Verf. zum Schluss, die Frage aufzuwerfen, ob die Ablagerung des Diluviums nicht doch bis in das Pliocän zurückdatire.

G. Berendt.

E. Laufer: Ein Süsswasserbecken der Diluvialzeit bei Korbiskrug nahe Königs-Wusterhausen. (Jahrb. d. kgl. preuss. geol. L.-A. 1881. S. 496—500.)

In einer Thongrube bei Korbiskrug zeigt sich von oben nach unten folgendes Profil:

1) Oberer Diluvialsand (Geschiebesand) (1—1,5 m mächtig).
2) Thonmergel mit einzelnen Geschieben (0,5—1 m).
3) Unterer Diluvialsand (0,2—0,5 m).
4) Thonmergel (Glindower Thon) (4 m).
5) Unterer Diluvialsand (in der Sohle der Grube).

Der sub 2 aufgeführte Thonmergel von blauschwarzer Farbe verdient Interesse, weil er ausser pflanzlichen Resten eine Unzahl von Süsswasserschnecken enthält. Vorherrschend sind: *Bythinia tentaculata* und *Valvata piscinalis*. Daneben fanden sich *Pisidium pusillum* und *amnicum*, *Planorbis laevis*, *Limnaeus auricularius*, aber auch 1 Exemplar einer *Paludina diluviana*, sowie endlich Fisch-Reste und andererseits Knochen- und Geweihstücke von *Cervus elaphus*. Die chemische Analyse wies 4,28 % Thonerde gegen 49,05 % Kieselsäure und 6,29 % Kalkerde nach, der zu Folge obiger Thonmergel den Mergelsanden sehr nahe steht. Der hohe Kalkgehalt sowie das Vorkommen von organischen Resten und die Lagerungsverhältnisse führen zu dem Schluss, dass derselbe einer Beckenbildung der Diluvialzeit angehöre, die gleichartig sei mit den Süsswassermergeln von Belzig, Westerweihe und Uelzen. G. Berendt.

E. Laufer: Die Lagerungsverhältnisse des Diluvialthonmergels von Werder und Lehnin. (Jahrb. d. kgl. preuss. geol. L.-A 1881. S. 501—522.)

Verf. schildert in dieser eingehenden Arbeit, die durch eine beigegebene Karte und viele treffliche Skizzen einen erhöhten Werth erhält, die Lagerungsverhältnisse der für unsere Kenntniss der Diluvialschichten so wichtig gewordenen Gegend von Werder und wendet namentlich dem Diluvialthonmergel, wie er in den grossen Gruben von Löckenitz, Petzow, Glindow, der Werder'schen Weinberge und von Lehnin längs des Plateaurandes durch den Ziegeleibetrieb aufgeschlossen ist, seine Aufmerksamkeit zu. Dieser Thonmergel ist überall in der ausgesprochensten Weise zu Mulden und Sättel gefaltet, deren Axen jedoch meist divergiren, aber zu den Contouren der Oberfläche in nachweislicher Beziehung stehen. Die

Faltung erstreckt sich niemals auf den unterteufenden Diluvialsand, dagegen auf die Hangenden-Schichten, wenn auch im Allgemeinen ein Ausgleichen der gestörten Lagerung nach oben zu zu constatiren ist. Die Ursache der Auf- und Zusammenpressung des Thonmergels und der übrigen, denselben überlagernden Schichten des Unterdiluviums sieht Verf. in dem einseitig wirkenden Druck der oberdiluvialen Eisbedeckung nach Aufhebung des Schichtenzusammenhangs durch die Thalerosion.

G. Berendt.

Eugen Geinitz: Die skandinavischen Plagioklasgesteine und Phonolith aus dem mecklenburgischen Diluvium. (Nova Acta d. K. Leop.-Carol. Deutschen Akad. d. Naturf. Bd. XLV. Nr. 2. 1882.)

Der Verfasser gibt in dieser Arbeit im Wesentlichen eine Schilderung der mikroskopischen Beschaffenheit einer grösseren Zahl der im mecklenburgischen Diluvium vorkommenden Geschiebe aus der Reihe der Diabas-, Gabbro-, Diorit- und Basaltgesteine, denen die Beschreibung eines charakteristischen Phonolithfindlings angefügt wird. Die untersuchten Geschiebe gehören allermeist der Rostocker Universitätssammlung an. Die Mannigfaltigkeit der einzelnen Vorkommnisse begreift Verf. in besondere, durch gemeinsamen Habitus oder analogen petrographischen Bestand mit einander verbundene Typen, deren Heimathsgebiet er mit Hülfe der über anstehende skandinavische Gesteine vorhandenen Beschreibungen festzustellen sucht.

So glaubt er an der Hand der bekannten Törnebohm'schen Arbeit (Om Sveriges vigtigare Diabas- och Gabbro-Arter. 1877) die von diesem Autor aufgestellten Typen der Konga-, Asby-, Hellefors- und Kinnediabase unter den mecklenburgischen Geschieben wiederzufinden. Gewisse porphyrische Melaphyrmandelsteine sind mit den Öje-Diabasen Törnebohm's ident. Diabasaphanit, Proterobas, sowie ziemlich verbreitete Labradorporphyrite geben keinen genügenden Anhalt zur Ursprungsbestimmung.

Die mecklenburgischen Gabbrogeschiebe lassen sich in 3 Gruppen sondern: 1) in Hornblende führenden Olivingabbro, 2) in Quarz und Glimmer führenden Hornblendegabbro und 3) in Saussurit- und Uralitgabbro. Erstere finden sich z. Th. unter den von Törnebohm beschriebenen Gesteinen des südlicheren und mittleren Schweden; die beiden anderen Gruppen haben möglicherweise in den schwedischen dioritischen Gabbros ihre Analoga, doch lassen sie auch den Vergleich mit einigen norwegischen und finnischen Vorkommnissen zu.

Keine sichere Zurückführung auf skandinavische Gesteine gestatten zur Zeit die mecklenburgischen Diorite, die in Normaldiorite, Tonalite, Dioritporphyrite und Augitdiorite gesondert werden.

Die nun folgende Aufzählung der mecklenburgischen Basaltgeschiebe ist eine Wiedergabe einer früheren Arbeit des Verfassers (Die Basaltgeschiebe im mecklenburgischen Diluvium. Archiv d. Fr. d. Naturgesch. in Meckl. Bd. XXXV. 1881) und hat bereits in diesem Jahrbuch (1882. 2. Heft. S. 267) Besprechung erfahren.

Von den beiden in der Nähe von Zarrentin im westlichen Mecklenburg gefundenen Phonolithgeschieben stimmt das eine mit den durch Törnebohm bekannt gewordenen Phonolithgeröllen aus dem südwestlichen Dalarne und den angrenzenden Gebieten Wermlands völlig überein, während das andere einige Abweichungen zeigt. G. Berendt.

M. Neef: Über seltenere krystallinische Diluvialgeschiebe der Mark. (Zeitschr. d. deutsch. geol. Ges. 1882. S. 461—499.)

Der von Remelé durch die Bearbeitung von fossilführenden, silurischen Geschieben geführte Nachweis, dass die märkischen, insbesondere die Geschiebe der Eberswalder Gegend weit eher auf eine Abstammung aus Schweden als aus den russischen Ostseeprovinzen hinweisen, wird durch die petrographische Untersuchung charakteristischer krystallinischer Findlinge aus derselben Gegend, die durch Vermittlung Zirkel's in die Hände des Verf. gelangt sind, bestätigt. Die sorgfältige Arbeit erlangt einen um so höheren Werth, als die Heimathsbestimmungen durchweg auf der Vergleichung mit schwedischen Gesteinsvorkommnissen und auf den persönlichen Angaben Törnebohm's beruhen. Rücksichtlich der Zusammenstellung und der Einordnung der einzelnen Stücke in den einen oder anderen petrographischen Typus könnte man allerdings in einzelnen Fällen mit dem Verf. anderer Meinung sein.

Untersucht worden sind:

Diabase (theils olivinführend, theils olivinfrei, Diabasmandelsteine und -porphyre), die sich fast sämmtlich auf die bekannten Törnebohm'schen Typen der Åsby-, Kinne- und Öje-Diabase oder doch auf in Södermanland, Ostgothland und Småland anstehende Vorkommnisse zurückführen lassen, ferner einige Melaphyre und Melaphyrmandelsteine, bei denen eine solche Ursprungsbestimmung nicht gelang, ein paar Hyperite, deren Heimath Wermland ist und eine grössere Anzahl Hornblendegesteine, bei denen der Verf. zwischen solchen mit primärer und solchen mit secundärer Hornblende unterscheidet. Letztere sind die Gabbrodiorite Törnebohm's, welche entschieden auf schwedische Abstammung hindeuten. Den Schluss bildet die Beschreibung verschiedener abweichender Gesteine, wie Hornfels, Hälleflinta, Glastuff, Basalt u. a. m. G. Berendt.

P. T. Cleve und A. Jentzsch: Über einige diluviale und alluviale Diatomeenschichten Norddeutschlands. (Schriften der physik.-ökonom. Gesellschaft zu Königsberg. Bd. XXII.)

Prof. Cleve bestimmte die Diatomeenflora einer grösseren Anzahl von alluvialen und diluvialen Diatomeenlagern, während Dr. Jentzsch die Resultate dieser Untersuchungen verarbeitete. Das gewonnene Endergebniss ist in der Abhandlung selbst mit folgenden Worten zusammengefasst:

Diatomeen sind im Diluvium Norddeutschlands weit verbreitet und werden sicher noch an zahlreichen anderen Fundorten entdeckt werden.

Sie finden sich a) ganze Schichten fast ausschliesslich zusammensetzend, als Kieselguhr (Tripel) in der Lüneburger Heide und zu Klicken bei Dessau; b) desgl. mit Kalkstaub reichlich gemengt, von weisser oder hellbräunlicher Farbe zu Domblitten und Wilmsdorf bei Zinten in Ostpreussen, zu Vogelsang bei Elbing in Westpreussen und wahrscheinlich zu Hammer bei Gollub in Westpreussen; c) in klastischen Sedimenten, und zwar in Thon und humoser Erde zu Wendisch-Wehningen in Mecklenburg, im Cyprinenthon Schleswigs und Westpreussens, im Brockenmergel Holsteins und im lehmigen Sand zu Vogelsang bei Elbing in Westpreussen.

Viele dieser Schichten enthalten, ausser etwas Blüthenstaub oder Schwammnadeln, keine grösseren organischen Reste. Wo sich solche aber finden, da steht der Charakter der Diatomeenflora in genauester Übereinstimmung damit. Dadurch wird 1) die Lagerung der betr. Diatomeen und sonstigen organischen Reste auf ursprünglicher, nicht verschwemmter Lagerstätte bewiesen; 2) die Möglichkeit eröffnet, in Zukunft Diatomeen genau ebenso zur Erkennung des Lagerungsmediums zu benutzen, wie etwa Conchylien.

Die Diatomeenablagerungen sind theils marine, theils Süsswasserbildungen; auch kommen an einigen Punkten erstere neben, resp. unter letzteren vor.

Entschieden unterdiluvial sind die Cyprinenthone, sowie Fahrenkrug, Wendisch-Wehningen und Vogelsang.

Wahrscheinlich unterdiluvial sind Domblitten und Wilmsdorf, Lüneburg und Klicken.

Die Süsswasserformen enthalten einige wenige ausgestorbene Species; die überwiegende Mehrzahl stimmt jedoch mit lebenden, resp. alluvialen Formen Norddeutschlands überein.

Die Meeresformen verweisen durchweg auf die Nordsee. Auch die Cyprinen- und Yoldien-Thone enthalten eine verarmte, arctisch beeinflusste Nordseefauna.

Alle Meeresschichten sind unweit einer Küste gebildet, resp. lassen die Nähe zeitweise aus Meer und Eis aufragender Inseln erkennen.

Zwei Tabellen geben die Verbreitung der Süsswasser- und der marinen Formen in übersichtlicher Weise. **G. Berendt.**

C. Paläontologie.

Zittel: Handbuch der Paläontologie. I. Bd. 2. Abth. 2. Lief. S. 149—328. 266 Holzschnitte. München 1882. 8°. [Jb. 1882. I. -93-.]

Für die Gastropoden, deren Besprechung den Inhalt der vorliegenden Lieferung bildet, legt der Verfasser folgendes System zu Grunde.

I. Unterklasse: Scaphopoda Bronn.
Mit der einzigen Ordnung der Solenoconchae Lac. Duth.

II. Unterklasse: Placophora Ihering.
Einzige Ordnung der Chitoniden.

III. Unterklasse: Gastropoda Cuvier.

1. Ordnung: Prosobranchiata Milne Edw.

A. Unterordnung: Cyclobranchiata Cuv.

Fam. Patellidae, Acmaeidae, Lepetidae.

B. Unterordnung: Aspidobranchia Cuv.

1. Sect.: *Zeugobranchia* Ihering.

Fam. Fissurellidae, Haliotidae, Bellerophontidae (welche in zweckmässiger Weise hier, nicht bei den Heteropoden, untergebracht werden), Stomatiidae.

2. Sect.: *Scutibranchia* Cuv.

Fam. Trochidae (in 5 Gruppen zerlegt), Neritidae, Helicinidae.

C. Unterordnung: Ctenobranchia Schweigg.

1. Sect.: *Ptenoglossa* Troschel.

Fam. Janthinidae, Solariidae, Scalaridae.

2. Sect.: *Taenioglossa* Troschel.

a. Holostomata.

Fam. Turritellidae, Vermetidae, Caeccidae, Xenophoridae, Capulidae. Velutinidae, Trichotropidae, Naticidae, Ampullariidae, Valvatidae, Paludinidae, Rissoidae (mit den Unterfamilien der Hydrobiae Troschel und Rissoae Troschel). Truncatellidae, Litorinidae, Pyramidellidae, Melaniadae (zerfallend in Strepomatidae Haldemann und Melanidae Gray),Cyclostomidae (welche hier und nicht wie gewöhnlich bei den Pulmonaten untergebracht werden).

β. Siphonostomata.

Fam. Nerineidae (für die Gattung *Nerinea* mit ihren Untergattungen), Cerithiidae, Aporrhaidae, Strombidae, Cypraeidae, Cassididae, Doliidae, Ficulidae, Tritoniidae.

3. Sect.: *Rhachiglossa* Troschel.

Fam. Buccinidae, Columbellidae, Purpuridae, Fusidae, Muricidae, Velutidae, Harpidae, Olividae.

4. Sect.: *Toxiglossa.*

Fam. Cancellariidae, Terebridae, Pleurotomidae, Conidae.

2. Ordnung: Heteropoda Lam.

Mit Ausschluss der Bellerophontidae, also nur tertiäre Gattungen.

3. Ordnung: Opisthobranchiata Milne Edw.

Unterordnung: Tectibranchiata Cuv.

Fam. Acteonidae, Bullidae, Pleurobranchidae, Aplysiidae.

4. Ordnung: Pulmonata Cuv,

A. Unterordnung: Basommatophora Kefst.

Fam. Auriculidae, Limnaeidae, Anhang: Siphonariidae.

B. Unterordnung: Stylommatophora A. Schmidt.

Fam. Limacidae, Testacellidae, Helicidae.

IV. Unterklasse: Pteropoda Cuv.

Ordnung: Thecosomata.

Fam. Limacinidae, Hyalaeidae.

In der Einleitung werden, wie bei den in früheren Theilen behandelten Thierklassen, die allgemeinen Eigenschaften der Gastropoden besprochen und eine Übersicht der von Fischer in seinem Manuel de Conchyliologie angenommenen fünf bathymetrischen Zonen gegeben. Der letzte Abschnitt handelt von der zeitlichen Verbreitung der Gastropoden und enthält zahlreiche Litteraturnachweise. Gegenüber dem Satz (p. 326): „Unsere gegenwärtige Systematik der Glossophoren beruht auf künstlicher Grundlage und mögen wir Schale, Respirationsorgane, Zungenbewaffnung oder Nervensystem in den Vordergrund stellen, stets giebt es Gruppen aus heterogenen Elementen, die selten den Anforderungen eines natürlichen Systems entsprechen und noch weniger den Ausdruck ihrer historischen Entwicklung tragen", wird vielleicht die Frage aufgeworfen werden, warum der Verfasser ein so detaillirtes auf lediglich an den Thieren zu beobachtenden Merkmalen basirendes System zu Grunde gelegt hat, für dessen Anwendung das Studium der fossilen Harttheile der Gastropoden keine Anhaltspunkte gewähren kann.

Der ungemein reiche, auf umfassendster Litteraturbenutzung beruhende Inhalt machen auch diese Lieferung des Werkes wie die frühere zu einem unentbehrlichen Hülfsmittel für den Fachmann. **Benecke.**

C. Struckmann: Neue Beiträge zur Kenntniss des oberen Jura und der Wealdenbildungen der Umgegend von Hanno-

ver. 5 Taf. 37 S. (Paläont. Abhandl. herausgeg. von W. Dames und E. Kayser. Bd. I. Heft 1. Berlin 1882. 4°.)

Wie unseren Lesern aus einem auch durch diese Zeitschrift verbreiteten Prospect bekannt ist, haben es die Herren W. Dames und E. Kayser in Berlin unternommen, paläontologische Arbeiten solchen Umfangs, dass von deutschen periodischen Zeitschriften beinahe nur die Palaeontographica denselben Aufnahme gewähren könnte, in zwangslosen Heften herauszugeben. Die Reihe wird eröffnet durch eine treffliche Arbeit des unermüdlichen Durchforschers seiner heimathlichen Jurabildungen, Herrn C. Struckmann in Hannover.

Nach einigen einleitenden Worten, welche das Verhältniss dieser neuesten Publication zu den zahlreichen früheren des Verfassers erörtern, folgt die Besprechung von 70 Arten aus dem Hannover'schen Jura, deren Vorkommen durch eine tabellarische Übersicht erläutert wird. Wir geben folgende, auf den Inhalt der Tabelle sich beziehende Mittheilung Struckmann's im Wortlaut wieder: Von den vorstehend erwähnten 70 Arten sind 12 Arten, die mir bislang entgangen waren, bereits von anderen Forschern im oberen Jura bei Hannover beobachtet, dagegen 42 bereits anderweitig beschriebene Arten von mir zum ersten Male bei Hannover aufgefunden; ausserdem habe ich 16 neue Arten beschreiben können. Ferner gehören von den vorstehenden 70 Arten nach den bisherigen Beobachtungen 2 Arten ausschliesslich dem Wealden an, 67 Arten ausschliesslich dem oberen Jura, während eine Art sowohl im oberen Jura als im Wealden gefunden ist. Dadurch vermehrt sich die Anzahl der von mir bislang im oberen Jura einschliesslich des Purbecks beobachteten Versteinerungen, abgesehen von 5 Arten fossiler Pflanzen, auf 502 Arten thierischer Reste, während die auf den eigentlichen Wealden beschränkten Petrefacten (d. h. im Hastingssandstein und Wealdenthon ausschliesslich beobachteten) nunmehr 65 Arten thierische und 28 Arten pflanzliche Reste umfassen. Andererseits vermehrt sich die gesammte Hannover'sche Wealdenfauna einschliesslich des Purbecks von 113 auf 116 Arten."

Über die einzelnen Arten bemerken wir folgendes. Drei Spongien wurden schon von Quenstedt und Goldfuss aufgeführt. Unter den vier Korallen ist *Latimaeandra Soemmeringi* interessant, welche der Verfasser in der Korallenbank des unteren Korallenoolith von Völksen auffand.

Von den sechs aufgeführten Seeigeln ist neu benannt *Echinobrissus Damesi* (*Echinobrissus* n. sp. bei Dames, Zeitschr. d. deutsch. geolog. Ges., XXIV, 634). Es wurden mehrere Exemplare in dem mittleren Kimmeridge (*Pteroceras*-Schichte) von Ahlem aufgefunden, deren best erhaltenes abgebildet wird. Die Unterscheidungsmerkmale der Art sind bei Besprechung des *Ech. Perroni* Etall. angegeben.

Serpula drei Arten.

Bryozoen. Vier Arten. *Berenicea pustulosa* n. sp. aus dem unteren Korallenoolith bei Völksen. *Ctenipora dendroides* n. sp. aus denselben Schichten.

Brachiopoden. Diese beschränken sich auf *Terebratula Delemontana* Opp. und *Thecidea Deisteriensis* n. sp. aus dem unteren Korallenoolith von Völksen, letztere der *Th. Davidsoni* Buv. aus französischem Unteroolith sehr nahe stehend und nur durch flachere Oberschale, durch weniger ausgebuchteten unteren Rand und durch stärker vorspringende Schlosszähne unterschieden.

Von den 30 Lamellibranchiaten, von denen schon früher bekannte Arten z. Th. ausführlich besprochen wurden, sind neu folgende: *Unio inflatus* aus dem Hastingssandstein (mittleren Wealden) über dem Samkethal im Deister unweit Springe. *Cardinia suprajurensis* von mehreren Punkten aus dem oberen Portland (Einbeckhäuser Plattenkalken) und dem oberen Wealden. Die erste Art der Gattung aus oberem Jura und Wealden. *Astarte Lorioli*, mit *A. regularis* Contej. verglichen. Aus dem mittleren Kimmeridge (Zone des *Pter. Oceani*) der Asphaltgrube von Limmer bei Hannover. *Anisocardia Liebeana* nahe verwandt mit *Anis. elegans* Munier. Im mittleren Kimmeridge (*Pteroceras*-Sch.) am Mönkeberg bei Ahlem und im Samkethal am Deister bei Springe gefunden. *Mactromya Koeneni*, nicht selten im unteren Korallenoolith am Lindener Berg und im oberen Korallenoolith (Zone des *Pecten varians*) in der Umgegend von Ahlem. Mit anderen Arten nicht leicht zu verwechseln. *Anatina Ahlemensis* in der allgemeinen Form an *Anat. solen* Contej. erinnernd, doch ist diese flacher, hinten länger und schmäler, auch fehlt ihr die hintere stumpfe Kante, welche bei der neuen Art von dem Wirbel schräg nach dem Unterrande läuft. Mittleres Kimmeridge (Zone des *Pt. Oceani*) am Mönkeberg bei Ahlem und wahrscheinlich am Tönjesberg.

Unter den fünfzehn Gastropoden ist hervorzuheben *Patella Neumayri* Struckm. (Zeitschr. der deutsch. geol. Ges., Bd. XXXII, 663). Unterer Korallenoolith von Völksen. *Delphinula ornatissima* in der Form *D. Viveauxana* Buv. und *D. Beaugrandi* Sauv. ähnlich, doch in den Verzierungen verschieden. Unteres Kimmeridge (Nerinaeen-Sch.) bei Ahlem. *Melania Laginensis*, eine ganz constante Art, welche in grosser Häufigkeit im oberen Wealden bei Neustadt am Rübenberge sich findet. *Natica Calenbergensis* am nächsten der *N. turbiniformis*, welche hier zum ersten Male mit Schale abgebildet wird. Mittleres Kimmeridge (*Pteroceras*-Sch.), Ahlem. *Cerithium Trautscholdi* hat einige Ähnlichkeit mit *P. molarium* Lor., ist aber anders verziert. Unteres Kimmeridge (Nerinaeen-Schichten), Ahlemer Holz bei Hannover. *Fusus Zitteli* Struckm. Die Beschreibung dieser Art giebt Gelegenheit, die Unterschiede gegen Jugendexemplare von *Pteroceras Oceani*, welche abgebildet werden, hervorzuheben.

Die Ammoniten sind beschränkt auf *Peltoceras Arduennense* Orb., *Perisphinctes* cf. *Bleicheri* Lor., *Per. gigas* Ziet., *Per. giganteus* Sow., die Fische auf *Hybodus acutus*. *Perisphinctes gigas* ist erst in neuerer Zeit aufgefunden. Wegen zahlreicher interessanter und wichtiger Bemerkungen auch bei den bekannten Arten verweisen wir auf die Arbeit selbst.

Benecke.

H. Nyst: Conchyliologie des terrains tertiaires de la Belgique. I. Partie: Terrain Pliocène Scaldisien. (Annales du Musée R. d'Hist. Nat. de Belgique Tome III.)

In einer ausführlichen, von Van den Broeck verfassten Einleitung wird zuerst eine Litteratur-Übersicht gegeben, dann eine Beschreibung der Schichten mit *Isocardia cor* (Système casterlien) und *Trophon antiquum (Fusus contrarius)* (Système scaldisien im engeren Sinne), ihrer Gesteine in frischem und zersetztem Zustande, ihrer Ausdehnung und Mächtigkeit — 10 resp. 20 Meter in der Campine, während bei Utrecht die Sande mit *Isocardia cor* über 130 Meter mächtig, bei 238 bis 368,5 Meter Tiefe erbohrt wurden. Es folgen dann Listen der Fossilien:

1) der Schichten mit *Fusus antiquus* bei Antwerpen selbst (189 Arten),

2) derselben in den eisenschüssigen Sandsteinen der Campine (57 Arten),

3) der Schichten mit *Isocardia cor* bei Antwerpen (134 Arten),

4) aus dem Pliocän von Antwerpen, deren genauer Horizont unbekannt ist (41 Arten),

5) des Diestien (im neueren Sinne) mit *Terebratula grandis* (32 Arten).

Endlich wird in einer vergleichenden Tabelle das Vorkommen der einzelnen Arten von den verschiedenen Lokalitäten des belgischen Anversien (Miocän), Diestien, Casterlien und Scaldisien, sowie der Etagen des englischen Pliocän, und recent in den nord- resp. süd-europäischen Meeren angegeben.

Zu bemerken ist, dass von den 276 Mollusken (incl. 5 Brachiopoden) 39 in der folgenden Beschreibung Nyst's sich nicht finden, da sie meist erst nach dessen Tode von Van den Broeck, Cogels etc. aufgefunden wurden. Nur ca. 20 Arten werden als im englischen Pliocän nicht vorhanden bezeichnet; von denselben sind einzelne aber als problematisch anzusehen, so z. B. *Donax? subfragilis* d'Orb.

In dem noch von Nyst selbst verfassten Haupttheile des schönen Werkes werden 237 Arten auf 28 Tafeln trefflich abgebildet, indessen ist ausser einer kurzen lateinischen Diagnose nur eine meist recht kurze Beschreibung hinzugefügt, und es wurden Identifikationen vorgenommen resp. beibehalten, welche irrig sind, so z. B. *Natica multipunctata* mit *N. millepunctata* und anderen Arten; von neuen Arten werden nur folgende benannt: *Murex vicinus* Nyst, *Pleurotoma subulata* Nyst, *P. similis* Nyst, *Astarte trigonata* Nyst.

von Koenen.

Lemoine: Sur l'encéphale de l'*Arctocyon Dueilii* et du *Pleuraspidotherium Aumonieri*, mammifères de l'Eocène inférieur de environs de Reims. (Bull. soc. géol. France. 1881—82. Sér. 3. T. 10. 13 avril 1882. S. 328—333.)

Der Verf. ist nicht nur in der glücklichen Lage gewesen, von *Arctocyon* und *Pleuraspidotherium* fast vollständige Skelette aufzufinden, sondern er kann uns auch Aufschluss geben über den Bau des Gehirnes dieser alteocänen Säugethier-Formen. Das Resultat dieser Untersuchung lässt sich in Folgendem zusammenfassen:

Bei *Arctocyon* war der Geruchssinn am stärksten entwickelt. Die Sinne des Gehöres und Gesichtes dagegen scheinen verhältnissmässig schwach gewesen zu sein. Bei *Pleuraspidotherium* findet gerade das Umgekehrte von jenem statt. Das Gehirn dieser Thiere erweist sich durch seine Gestalt und die Dimensionen der einzelnen Theile als ausgesprochen inferior gegenüber jeglichem bisher studirten Säugethiergehirne. Und diese Inferiorität ist ihrer Erscheinung nach dieselbe, welche wir bei gewissen Reptilien finden. **Branco.**

Nehring: Über einige *Canis*-Schädel mit auffallender Zahnformel. (Sitzungsber. der Ges. naturforschender Freunde zu Berlin. 16. Mai 1882. N. 5. S. 65—68.)

Vorliegendes Schriftchen beschäftigt sich nur mit recenten Caniden. Trotzdem aber möchte Ref. dasselbe hier zur Sprache bringen, da es auf Gefahren aufmerksam macht, welche der Paläontologie um so mehr drohen, je herrschender die Neigung zur Zersplitterung der Arten in derselben wird. Wir können der Arbeit entnehmen, dass das Vorhandensein oder Fehlen eines Zahnes im definitiven Gebisse nicht unter allen Umständen die Aufstellung einer neuen Art oder gar eines neuen Geschlechtes rechtfertigt.

Die typische Zahnformel der Caniden lautet: $J\frac{3}{3} \cdot C\frac{1}{1} \cdot P\frac{4}{4} \cdot M\frac{2}{3} = 42$. An der Hand eines sehr grossen Materiales (860 Schädel von *Canis*, darunter 650 von *C. familiaris*) weist der Verf. die folgenden Variationen der Zahnzahl nach:

1) 20 Schädel besitzen entweder in beiden Oberkiefern, oder in beiden Unterkiefern, oder nur in einer Kieferhälfte je 3 Höckerzähne anstatt deren nur 2. Die Zahnformel verändert sich also für die Molaren oben in 3, resp. unten in 4, so dass aus der normalen Zahl 42 eine solche von 44 (resp. 43) wird.

2) 1 Schädel zeigt obige grössere Zahnzahl im Ober- und Unterkiefer zugleich. Also haben wir $M\frac{3}{4}$ und Gesammtzahl = 46.

3) 18 Schädel von *C. familiaris* und 1 Schädel von *Canis Dingo* besitzen einen Prämolar mehr, tragen also einen P^5. Und zwar ebenfalls entweder nur im Oberkiefer, oder nur im Unterkiefer (seltener). Dieser P^5 ist ein Analogon zu P^4 des Pferdes, da ihm ebenfalls kein Milchzahn vorhergeht. Gesammtzahl also auch 44.

4) Einige Schädel besitzen oben 7—8 Incisiven anstatt deren nur 6. Meist nur in einer Zwischenkieferhälfte.

5) Vielen anderen Schädeln fehlen entweder hinten die zweiten Höckerzähne oder vorn die vordersten Prämolaren (P^4). Gesammtzahl also nur 40. **Branco.**

Filhol: Ossements fossiles recueillis dans la Caverne de Lherm. (Bull. soc. géol. France. Sér. III. T. 9; S. 298—99. Paris 1880—81.)

Zusammen mit zahlreichen Resten des *Ursus spelaeus* wurde in der Höhle von Lherm ein Bärenschädel gefunden, welcher sich nur in der Grösse von dem jetzt noch in den Pyrenäen lebenden Bär unterscheidet.

Branco.

Th. Fuchs: *Chalicotherium* sp. von Siebenhirten bei Mistelbach. (Verhandl. k. k. geol. Reichsanstalt, 1881. No. 5. S. 77—78.)

Reste von *Chalicotherium* sind erst an wenigen Orten nachgewiesen worden. Nämlich zu Sansan und Simorre (Miocän) einerseits, und Eppelsheim (Unter-Pliocän) andererseits. Durch den vorliegenden Fund eines letzteren oberen Backenzahnes treten nun auch die pliocänen Belvedere-Ablagerungen in den Kreis dieser Fundorte, welchem übrigens auch Indiens Sind-Schichten angehören.

Während also Eppelsheim und den Belvedere-Sanden diese seltene Thierform eigenthümlich ist, fehlt sie den gleichaltrigen Schichten von Pikermi und Cucuron. Ein Umstand, durch welchen — da *Chalicotherium* bereits im Miocän erscheint — die Fauna der erstgenannten beiden Fundorte einen etwas älteren Habitus erhält als diejenige von Pikermi und Cucuron.

Branco.

Potier: Note sur la prétendue présence d'un gisement palaeothérien dans la commune de Lescarène (Alpes maritimes). (Bull. soc. géol. France. 1880—81. Sér. 3. T. IX. S. 58. 8 Nov. 1880.)

Berichtigung einer Fundstelle von *Palaeotherium curtum*. **Branco.**

Nehring: Über den Wolfszahn der Pferde, über Ulna und Radius der Equiden und einige fossile Wildesel-Reste aus dem Diluvium von Westeregeln. (Sitzungsber. Gesellsch. naturforsch. Freunde. Berlin 1882. S. 31—36 und S. 47—53.)

P^4 der lebenden Equiden kommt weit häufiger vor als man bisher annahm; wodurch der Anklang an *Anchitherium*, bei welchem P^4 noch ein normaler Zahn war, ein stärkerer wird. — Die Ulna ist bisweilen bei dem lebenden Hauspferde als ganzer Knochen ausgebildet, so dass vollständig die Form einer *Hipparion*-Ulna entsteht. Auch die Tibia des recenten Pferdes ist bisweilen bis zu demselben Grade ausgebildet wie bei *Hipparion*. — Reste einer kleinen fossilen Pferde-Art aus dem Diluvium von Westeregeln, betrachtet der Verf. als einem Wildesel zugehörig. Jedoch sei an *Eq. asinus* nicht zu denken, sondern an eine Form, etwa wie *Eq. hemionus*. **Branco.**

Giov. Capellini: Balenottera fossile delle Colombaie presso Volterra. (Reale Accad. dei Lincei. 1879. Roma. Ser. 3a. Memorie d. classe di sc. fis., met., e naturali. Vol. III°. 8 Seiten.) 1 Holzschnitt.

In den untersten pliocänen Mergeln wurden bei Volterra Reste eines Meersäugethieres gefunden, welche der Verf. auf das Genus *Plesiocetus* bezieht. Ein Geschlecht, welches durch VAN BENEDEN auch aus dem Antwerpener Becken bekannt geworden ist. **Branco.**

H. CREDNER: Die Stegocephalen aus dem Rothliegenden des Plauen'schen Grundes bei Dresden. III. Theil. (Zeitschr. d. d. geol. Ges. Bd. 34. 1882. p. 213—237. taf. XII u. XIII.) [Dies. Jahrb. 1883. I. -317-.]

Während die beiden ersten Theile der Beschreibung zweier Branchiosaurier gewidmet waren, beginnt dieser dritte mit der Darstellung der neuen Gattung *Pelosaurus,* welche den Gattungen *Melanerpeton* einerseits, *Archegosaurus* andererseits nahe steht. Mit *Melanerpeton* ist *Pelosaurus* durch die allgemeine Körper- und Schädelform, die intravertebrale Erweiterung der Chorda, die kurzen geraden Rippen etc., verwandt, ist aber namentlich durch den Besitz eines mittleren rhombischen, sowie breiterer seitlicher Kehlbrustplatten und viel stärkerer, löffelförmiger Claviculae und eines kräftigen Schuppenpanzers verschieden. — In diesen Merkmalen kommt *Pelosaurus* der Gattung *Archegosaurus* nahe, von der er jedoch durch intravertebral erweiterte Chorda abweicht, während *Archegosaurus* nach FRITSCH's neueren Untersuchungen amphicoele, also intervertebral erweiterte Chorda besitzt. Die in den besterhaltenen Exemplaren abgebildete und in den einzelnen Skelettheilen genau beschriebene und mit verwandten Gattungen verglichene Art wird *Pelosaurus laticeps* genannt. — Den Schluss der Abhandlung bildet die Beschreibung der verhältnissmässig spärlichen Reste von *Archegosaurus Decheni* und *latirostris*, den durch ihr häufiges Vorkommen bei Lebach altberühmten Stegocephalen, deren nachgewiesenes sächsisches Vorkommen für die Parallelisrung der betreffenden Schichten von grossem Werth ist. **Dames.**

H. B. GEINITZ und J. V. DEICHMÜLLER: Nachträge zur Dyas II. (Mitth. aus dem kgl. min.-geol. und prähist. Museum in Dresden 5. Heft. pag. I—VIII. 1—46. Taf. I—IX. 1882; daraus abgedruckt in Palaeontographica Band XXIX.) Cfr. dies. Jahrb. 1882. II. -405-.

Aus der Einleitung ist hervorzuheben, dass die Verf. der STERZEL'schen Ansicht nicht zustimmen, nach welcher die steinkohlenführenden Ablagerungen des Plauenschen Grundes ein Zwischenglied zwischen der Steinkohlenformation und der Dyas bilden, sondern dieselben zur Steinkohlenformation rechnen. Der Text selbst enthält zunächst die Beschreibung von 8 Stegocephalenformen. Da CREDNER dasselbe Thema bearbeitet hat und noch weiter in der Bearbeitung begriffen ist, so lässt sich nur in soweit ein klares Bild gewinnen, als sowohl die beiden Verf. dieser Abhandlung und er dieselben Arten behandeln. Von den 8 Arten sind 4 auch schon von CREDNER, und zwar, was Beschreibung und bildliche Darstellung anbetrifft, ungleich

ausführlicher und reicher, in Betracht gezogen, so dass in Bezug auf diese die zu referirende Arbeit nichts Neues bringt. Es sind das: *Melanerpeton latirostre* Credner = *Pelosaurus laticeps* Credner (der erstere Name ist in Credner's letzter Arbeit unter Begründung der Nichtzugehörigkeit der Art zu *Melanerpeton* eingezogen worden); 2. *Branchiosaurus amblystomus* Credner; 3. *Branchiosaurus gracilis* Credner, welch letzterer als *Branchiosaurus petrolei* Gaudry sp. aufgeführt wird, obwohl es sehr misslich ist nach den schlechten Abbildungen und noch unzureichenderen Beschreibungen Gaudry's herauszuerkennen, was das Charakteristische der Art ist. 4. *Archegosaurus latifrons* nov. sp. auf einem Schädel basirend, der in jeder Beziehung mit der Jordan'schen Art *Archegosaurus latirostris* übereinstimmt und nur durch das ungetheilte Frontale und wahrscheinlich auch durch die stärkere und kräftigere Entwicklung des Postorbitale unterschieden ist.

Letzteres Merkmal ist nach den Verff. selbst zweifelhaft, ersteres kann sehr wohl das Merkmal eines alten Thieres sein, denn auch bei alten lebenden Fröschen oder Salamandern verschwindet die Sutur zwischen den paarigen Nasenbeinen häufig vollkommen. Fällt aber dieses Merkmal als Alterseigenthümlichkeit, so coincidirt *latifrons* mit *latirostris* und letztere Art ist auch von Credner erkannt. — Das sind die 4 von den drei Autoren in — wenigstens allgemeiner — Übereinstimmung besprochenen Arten. — Aus der Beschreibung derselben ist weiter hervorzuheben, dass die Verff. mehrfach von früheren Autoren in der Deutung der einzelnen Theile des Schultergürtels abweichen; so nennen sie seitliche Kehlbrustplatten bei *Branchiosaurus*, was Fritsch und Credner als Coracoidea deuten, das, was diese Coracoidea nennen, wird als Clavicula angesehen. — Die weiteren 4 Arten, über welche durch Credner bisher nichts, oder (in einem Falle) nur kurze Notizen gegeben sind, sind folgende: *Phanerosaurus Naumanni* H. v. Meyer, dessen Beschreibung von v. Meyer copirt ist und *Phanerosaurus pugnax* nov. sp. — Während von der v. Meyer'schen Art nur Lenden- und Becken-Wirbel bekannt geworden sind, ist die zweite, neue, lediglich auf Schädel und Brustwirbel aufgestellt, so dass die Möglichkeit eines Zusammenfallens durchaus nicht ausgeschlossen ist. Man lernt in *Phanerosaurus* einen Stegocephalen kennen, welcher im allgemeinen Schädelbau und in den drei Kehlbrustplatten mit anderen Stegocephalen übereinkommt; der Zahnbau ist ähnlich *Keraterpeton* und *Utopalodon*, aber ohne den der letzteren Gattung, (welche übrigens neuerdings zu den theriodonten Reptilien gerechnet wird) zukommenden Fangzahn. Weitere Merkmale liegen im Schultergürtel ausgeprägt: Die Scapula hat ähnliche Form wie die Dinosaurier *Stegosaurus, Brontosaurus* und *Morosaurus* und eine Gefässdurchbohrung wie das Crocodil; das Coracoid lässt sich ebenfalls mit dem genannter Dinosaurier vergleichen, wenn nicht der bei *Trematosaurus* als Schulterblatt beschriebene Knochen auch dem Coracoid entspricht. — *Zygosaurus labyrinthicus* Gein. sp. (*Onchiodon labyrinthicus* in der Dyas) ist von *Archegosaurus* durch die länglich-ovale Form des Schädels und einige andere Dimensionsverhältnisse getrennt; von *Zygosaurus lucius* Eichw. durch relativ grösseren Schädel, flachere Wölbung desselben, etwas mehr

nach hinten gelegene Augenhöhlen und Parietalloch. — *Melanerpeton spiniceps* wurde von Credner in einer kurzen Notiz der Leipziger naturforschenden Gesellschaft ein Stegocephale genannt, welcher hier genauer beschrieben wird. Da Credner seinen *Melanerpeton latirostris* demnächst zur Gattung *Pelosaurus* erhoben hat, bleibt abzuwarten, ob er diese zweite Art auch dazu stellt, oder einziehen wird. Aus den Ausführungen der Verff. geht hervor, dass nur Dimensionsunterschiede die Trennung beider Arten bedingt haben. Endlich kommmt noch *Hypoplesion Fritschi* nov. sp. zur Erläuterung. Die Gattung wird von A. Fritsch im 4. Heft seiner Fauna der Gaskohle genauer besprochen werden. Die Verff. kennen sie aus der Einsicht in einige Tafeln dieses Heftes, welche A. Fritsch schon beendet hat. Die Gattung ist auf den ersten Blick *Branchiosaurus*-ähnlich, unterscheidet sich aber namentlich auch durch den Besitz langer dünner Rippen, welche sich am Distalende nicht verbreitern. Von der böhmischen Art unterscheidet sich die sächsische durch schlankere Gestalt, kürzere Tibia und Fibula. — Weiter enthält die Abhandlung die Darstellung von Saurichniten von Hohenelbe (Taf. I), welche auf Stegocephalen bezogen werden, eine Übersicht über den Brustgürtel und die Kehlbrustplatten der sächsischen Stegocephalen, Abbildungen von *Palaeosiren Reinerti* von Braunau und schliesslich die Erwähnung einer Pelecypode: *Anthracosia stegocephalum*, welche wiederholt in denselben Schichten wie die Stegocephalen gefunden wurde.

Dames.

Lydekker: On some Gondwana Labyrinthodonts. (Records Geol. Surv. of India Vol. XV. pg. 24 with plate.)

1) *Pachygonia incurvata* Hux. Von dieser Art werden weitere Fragmente des Unterkiefers abgebildet und beschrieben, sowie eine fast vollständige Unterkieferhälfte, so dass hiedurch der ganze Unterkiefer bekannt wird. Die allgemeine Form des Unterkiefers scheint der des gleichen Theiles von *Labyrinthodon pachygnathus* sehr ähnlich gewesen zu sein. Die hier beschriebenen Reste entstammen den Panchet-Schichten. Andere ebenfalls abgebildete Fragmente, welche aus der Kota-Maleri-Gruppe von Chutia Nagpur stammen, scheinen der gleichen Art anzugehören.

2) *Gonioglyptus Huxleyi* Lyd. ist nur vertreten durch den hinteren Theil des linken Ramus des Unterkiefers eines ziemlich grossen Individuums, das etwa dreimal die Grösse von *Gonioglypt. longirostris* Hux. erreichte. Die Art unterscheidet sich von der genannten Huxley'schen durch ziemlich beträchtliche Differenzen in der Skulptur. Aus Panchet-Schichten.

3) *Glyptognathus fragilis* Lyd. n. gen. et. sp. Bruchstück eines rechten Unterkieferastes eines kleinen Thieres mit Gelenkhöhle und festsitzenden zusammengedrückten Zähnen, die von vorn nach hinten an Grösse abnehmen. Der grösste Durchmesser der Zähne steht transversal. Das Bruchstück ist ganz gerade schlank, innen gerundet und aussen mit Skulptur versehen. Es kann mit keinem der bis jetzt beschriebenen Labyrinthodonten verglichen werden. Aus Panchet-Schichten.

4) Wirbel eines Labyrinthodonten von Maleri. Der Wirbel eines ziemlich grossen Labyrinthodonten von unbekannter Verwandtschaft ist in Fig. 7 abgebildet. **Waagen.**

Seeley: Note sur l'extrémité d'un fémur de Dinosaurien provenant du Portlandien supérieur de la Poterie, près de Boulogne, mentionné par M. C. Prévost à la réunion de la société géologique de France en 1839. (Bull. d. l. soc. géol. d. France. Vol. VIII. 1880. pag. 520—522.) Mit Holzschnitt.

Ein abgerollter Wirbel und ein distales Femur-Ende werden kurz beschrieben. Letzteres zeichnet sich durch die dichte Beschaffenheit der Knochenmasse aus, ohne Medullarhöhle, und nähert sich dadurch *Ceteosaurus*. Verf. ist aber der Ansicht, dass *Ceteosaurus* alle möglichen Dinosaurier-Reste mit massiven Knochen umfasst und gibt, obschon er geneigt ist, das Fragment einer neuen Gattung zuzurechnen, keinen Namen, weil es zu unvollständig ist. **Dames.**

H. E. Sauvage: Sur les Dinosauriens jurassiques. (Bull. d. l. soc. géol. de France. Vol. VIII. 1880. pag. 522—524.)

Verf. ist geneigt, das von Seeley erwähnte Stück (cfr. voriges Referat) für einen Vertreter der Marsh'schen *Sauropoda* zu halten, denen auch die Medullarhöhle in den Knochen fehlt. Daran schliesst er eine kurze Übersicht der bisher in Amerika, England und Frankreich aufgefundenen Gattungen der Dinosaurier. **Dames.**

H. G. Seeley: On a remarkable Dinosaurian Coracoid from the Wealden of Brook in the isle of Wight, preserved in the Woodwardian Museum of the University of Cambridge, probably referable to *Ornithopsis*. (Quart. journ. geol. soc. Vol. XXXVIII. 1882. pag. 367—371.) Mit 4 Holzschnitten.

Ein grosses Coracoid zeigt auf seiner äusseren Seite eine Durchbohrung nahe der Grenze zwischen dem Scapularrande und der Gelenkfläche für den Humerus; die mediane Fläche, wo er mit dem Coracoid der anderen Seite zusammenstösst, ist unregelmässig S-förmig gebogen und namentlich im oberen Theil stark verdickt, wie auch, aber schwächer, am unteren Ende. Die innere Seite trägt in der Mitte eine quere Anschwellung, über und unter welcher concave Flächen liegen. Die Gelenkfläche für den Humerus ist längsoval und flach concav. Die Berührungsfläche mit der Scapula rauh und länglich-dreieckig. Die Unterschiede des betreffenden Stückes mit dem von *Iguanodon* sind beträchtlich, dagegen stimmt es in den allgemeinen Charakteren besser mit amerikanischen Formen, wie *Morosaurus* und *Camptonotus*. Doch ist nirgends Identität. Unter englischen Dinosauriern steht *Hylaeosaurus* am nächsten ist aber auch wohl unterschieden. **Dames.**

Sauvage: Nouvelles recherches sur les poissons fossiles découverts par M. Alby a Licata en Sicile. (Annales des sciences géolog. XI. Nr. 3.)

Der Verfasser bespricht zuerst ausführlich an der Hand der neueren Arbeiten Capellini's, Bosniatzki's, De Stefani's und Stöhr's die geologische Stellung der fischführenden Schichten von Licata und giebt sodann die Beschreibung und Abbildung einer Anzahl neuer fossiler Fischarten. Es sind folgende:

Parequula Albyi, Paraleuciscus Ecnomi, Leuciscus sp. aff. *Dumevillii, Anapterus siculus, Podopteryx Albyi, Pod. Bosniaski, Trigla Licatae, Clupea Ecnomi, Leuciscus Licatae, Osmerus Larteti, Clupea zanclea.*

Der Verfasser hebt abermals die merkwürdige Mischung von marinen und Süsswasserformen bevor, welche Licata zeigt, indem auch in dieser neuen Suite unter 261 Exemplaren 170 Süsswasser- und nur 91 marine Fische waren, und glaubt hierin einen Beweis zu sehen, dass die fischführenden Ablagerungen von Licata sich an einer Flussmündung abgelagert hätten, so zwar, dass die Süsswasserfische gewissermassen eingeschwemmte Organismen seien.

Ich muss gestehen, dass mir diese Auffassung den Verhältnissen nicht zu entsprechen scheint. Die fischführenden Schichten von Licata bestehen nach den Untersuchungen Stöhr's zum grossen Theile aus echt pelagischen Radiolarien, welche nach unseren bisherigen Kenntnissen unmöglich an Flussmündungen gelebt haben können. Dazu kommt noch die in neuester Zeit gemachte Entdeckung eines *Loligo* und *Lepas* in diesen Schichten, welches beides ebenfalls echt pelagische Thiere sind. Erwägt man nun ferner, dass auch unter den marinen Fischen keineswegs die litoralen und Brackwasserformen, sondern vielmehr die ausgesprochenen pelagischen und Tiefseeformen dominiren (Lepidopiden, Clupeiden, Scomberesociden, Scopeliden), so wird man wohl gestehen müssen, dass die vom Verfasser gemachte Annahme durchaus nicht befriedigen kann. Mir für meinen Theil scheint es bei Berücksichtigung aller Thatsachen noch immer das wahrscheinlichste zu sein, dass die für Süsswasserfische gehaltenen Formen in Wirklichkeit keine solchen sind. **Fuchs.**

H. E. Sauvage: Note sur quelques débris de poissons trouvés à Cormoz (Département de l'Ain). (Mém. d. l. soc. des science nat. de Saône-et-Loire. Jahrg.? pag. 1—5. taf. I.)

Bei einer Brunnenbohrung wurden in einem weissgrauen Mergel mit Ligniten, welcher dem oberen Miocän zugerechnet ist, Fischreste gefunden, von denen ein Unterkiefer auf die Gruppe der Esoces hinweist. Ein anderer Unterkiefer mit einer inneren Reihe grosser und mehreren äusseren Reihen kleiner Zähne, sowie mehrere Kopfknochen konnten mit keiner lebenden Süsswasserfischgattung in näheren Zusammenhang gebracht werden, zeigen aber namentlich im Zahnbau Ähnlichkeit mit dem von Cope aus der Kreide von Kansas beschriebenen Empo. — Dem Aufsatz ist eine

Bemerkung von Tardy über das Alter der fischführenden Schichten beigefügt, nach welcher auch ein cretacisches Alter nicht ganz ausgeschlossen scheint. In letzterem Falle würde auch das Auffinden des Unterkiefers aus der Familie der Esoces nichts Befremdliches haben, da derselbe von Sauvage nur deshalb nicht zur Kreidegattung *Pachyrhizodus* gestellt wurde, weil er eben im Tertiär gefunden sein sollte. Dames.

Sauvage: Synopsis des poissons et des reptiles des terrains jurassiques de Boulogne-sur-mer. (Bull. d. l. soc. géol. d. France. Vol. VIII. 1880. pag. 524—547. Taf. XIX—XXI.)

Soweit diese Synopsis die Fische betrifft, ist sie eine aus neueren Beobachtungen ergänzte Wiederholung des vom Verf. 1867 veröffentlichten Catalogs dieser Thiere aus den Secundärformationen des Boulonnais. Es sollen hier nur die neuen Arten hervorgehoben werden: *Mesodon bathonicus* (früher *Pycnodus affinis* genannt) aus dem Grossoolith von Marquise hat auf der inneren Seite nur eine Reihe Zähne, wodurch er von *Pycnodus affinis* unterschieden ist. *Mesodon morinicus* verwandt mit *M. laevior*, aber durch weniger verlängerte Zähne der Mittelreihe unterschieden. *Athrodon* nov. gen. stellt einen Pycnodonten mit unregelmässig vertheilten, nicht in Reihen geordneten Zähnen dar, welche fast alle von gleicher Grösse unter sich sind. Auf der Oberfläche haben sie am Rande radiale Furchen, in der Mitte einen kleinen Knopf. *Arthrodon Douvillei* aus dem unteren Portland hat sehr zahlreiche, kleine, *Arthrodon boloniensis* aus der Zone der *Pholadomya hortulana* (unteres Kimmeridge) von Brecquenecque, grössere und weniger zahlreiche Zähne. — Im Ganzen sind bisher 55 Arten Fische bekannt geworden. — Unter den Reptilien sind zuerst 9 Arten Schildkröten aufgezählt, von denen einige (*Plesiochelis hannoverana*, *Chelonides robusta*) bei Hannover zuerst gefunden wurden. Neu ist *Tropidemys morinica*, aufgestellt auf ein Fragment des hinteren Theils des Schildes und ein rechtes Os pubis. — Die Crocodilier sind durch 19 Arten der Gattungen *Teleosaurus*, *Steneosaurus*, *Sericodon*, *Metriorhynchus*, *Machimosaurus* vertreten, die Pterosaurier durch drei äusserst fragmentäre Knochenreste. Die Dinosaurier lieferten einige Wirbel- und andere Knochenfragmente, welche auf 10, meist unbestimmte Arten vertheilt werden. — *Dacosaurus primaevus* ist der einzige Repräsentant der Lacertilier. Die Plesiosaurier stellen 14 Arten aus den Gattungen *Pliosaurus*, *Polyptychodon*, *Plesiosaurus*, *Colymbosaurus*, *Muraenosaurus*, *Polycotylus*, *Haematosaurus*. — *Ichthyosaurus* ist durch 5 Arten vertreten. — Viele der Reptilreste sind wenig deutliche Fragmente, welche die Vermuthung erwecken, dass bei Kenntniss vollständigerer Exemplare manche der sogenannten Arten einzuziehen sein würden. Dames.

A. Günther: Note on a fish-palate from the Siwaliks. (Records Geol. Surv. of India. Vol. XIV. p. 240.) 1 Holzschnitt.

Das rechte Gaumenbein eines Fisches wird hier beschrieben, welches in seiner Gestalt länglich, auf seiner Unterseite dicht mit unregelmässigen rundlichen Zähnchen besetzt ist, von denen die grössten die Grösse eines Nadelknopfes besitzen. Es wird einem grossen siluroiden Fische zugeschrieben, der wahrscheinlich dem Genus *Arius* zugerechnet werden darf.

Das Stück stammt aus den Siwalik-Schichten des Punjab. **Waagen.**

É. Arnaud: Note sur les poissons fossiles du crétacé inférieur des environs d'Apt (Vaucluse). (Bull. d. l. soc. géol. d. France. 3 sér. tome X. 1882. pag. 131—134.)

Die Mergel der unteren Grünsande (Aptien) enthalten: *Saurocephalus Picteti* Arnaud, *Pycnodus complanatus* Ag., *Notidanus Aptiensis* und *Odontaspis gracilis* Ag., erstere drei ziemlich selten, die letzte häufig. Aus dem Albien wird *Oxyrhina macrorhiza* Pict. et Camp. genannt; aus dem unteren Urgonien endlich *Pycnodus affinis* Math. **Dames.**

Th. Stock: On the discovery of a nearly entire *Rhizodus* in the Wardic Shale. (Geol. mag. Vol. VIII. 1881. pag. 77—78.)

Notiz über die Auffindung eines fast vollständigen Exemplars, dem durch die Wellen (der Fundort ist nur bei niedrigem Wasser zugänglich) der Kopf etwas verletzt wurde. Bisher waren nur Fragmente gefunden.

Dames.

J. F. Blake: A Monograph of the British fossil Cephalopoda. Part. I. Introduction and Silurian species. London 1882. 248 Seiten Text mit 31 Tafeln.

Der Verfasser hat sich die grosse Aufgabe gestellt, die Gesammtheit der britischen Cephalopoden zu beschreiben und für diese Classe ein Werk zu liefern, wie es Davidson für die Brachiopoden zu Stande gebracht hat. Der vorliegende Band enthält ausser einer allgemeinen Einleitung die Silurarten, während ein zweiter die Typen der Devon- und Kohlenformation umfassend, in kurzer Zeit nachfolgen soll. Bei dem bisherigen Mangel einer hinreichenden Darstellung dieser wichtigen Vorkommnisse wird hiedurch eine empfindliche Lücke ausgefüllt und wir dürfen daher das vorliegende Buch als einem entschiedenen Bedürfniss entsprechend begrüssen.

Die Einleitung bespricht zuerst die Stellung der Cephalopoden im Thierreich, dann die Anatomie des *Nautilus pompilius,* wesentlich nach den bekannten Darstellungen, ohne neue Daten, wie das wohl die Natur der Sache mit sich bringt. Mit grosser Sorgfalt und mit zahlreichen kritischen Bemerkungen ist der sehr ausführliche Abschnitt über den Bau der Schale bei *Nautilus* und den Nautiliden abgefasst, doch ist der Verfasser mit der Litteratur nicht hinreichend vertraut; man vermisst manche wichtige Werke, und vor allem macht sich bei Besprechung des Anfanges der Schale die Unbekanntschaft mit den Arbeiten von Branco fühlbar.

In Beziehung auf die Classification wird zunächst bemerkt, dass man nach Barrande sieben verschiedene Charaktere der Nautiliden für die Eintheilung verwerthen könne, nämlich 1) die Lage des Sipho; 2) die Form der Suturen; 3) die Involution der Schale; 4) die Form der Schale; 5) Symmetrie oder Asymmetrie der Schale; 6) Richtung der Siphonalduten; 7) einfache oder complicirte Einrichtung des Sipho. Je nachdem man nun diese Charaktere ihrer Bedeutung entsprechend auf einander folgen lässt, würden sich nach der Variationsrechnung 5040 verschiedene Classificationen der Nautiliden ergeben; es ist daher nothwendig unter den Merkmalen diejenigen auszuwählen, welche für die Eintheilung am wichtigsten sind. Für die Trennung von Ammonitiden und Nautiliden gilt dem Verfasser in erster Linie die Lage des Sipho, in zweiter die Form des Schalenanfanges, der ersten Kammer, für entscheidend; für die Gliederung der Nautiliden legt er vor allem auf die Krümmung und äussere Form der Schale Werth, während er der Ausbildung der Mündung eine grössere Bedeutung abspricht. Er gelangt daher zu folgendem System:

Unterordnung Nautiliden. (Mit variablem Sipho.)

I. Conici. Keine oder nur geringe Krümmung; Gestalt regelmässig.
   1) Schale gerade: *Orthoceras* (Untergattungen * *Endoceras*, *Actinoceras*, *Tretoceras*, *Conoceras*, *Gonioceras*).
   2) Schale gekrümmt: *Cyrtoceras* (Untergattungen *Piloceras* (?)** und *Trigonoceras*).

II. Inflati. Keine oder geringe Krümmung; Form aufgeblasen oder unregelmässig.
   1) Schwach gekrümmt, Mündung einfach: *Poterioceras*.
   2) Gestreckt, Septa einfach, Mündung verengt: *Gomphoceras*.
   3) Gekrümmt, Septa einfach, Mündung verengt: *Phragmoceras*.
   4) Die letzten Septa verzerrt: *Ascoceras*.
   5) Ebenso, Mündung theilweise verengt: *Glossoceras*.

III. Spirales. Beträchtliche Krümmung, Form einfach.
   1) Windungen in Contact: *Nautilus* (Untergattungen *Trocholithes*, *Clymenia*, *Aturia*, *Discites*, *Nothoceras*).
   2) Windungen frei: *Gyroceras*.

IV. Irregulares. Beträchtliche aber veränderliche Krümmung; Form unregelmässig oder unsymmetrisch.
   1) Unsymmetrisch: *Trochoceras*.
   2) Wohnkammer gestreckt, Windungen nicht in Contact (?): *Lituites*.
   3) Windungen in Contact, Mündung complicirt: *Ophidioceras*.
   4) Krümmung wechselnd, Wohnkammer aufgeblasen: *Cryptoceras*.

Dass die Stellung von *Clymenia* als Untergattung von *Nautilus* nach den Arbeiten von Branco unhaltbar ist, bedarf wohl kaum der Erwähnung; im übrigen würde eine eingehende Kritik der gegebenen Anordnung den

---

* Wir lassen die Diagnosen der Untergattungen aus Raummangel weg.
** Der Verfasser hat Bedenken gegen die Cephalopodennatur von *Piloceras*.

Rahmen eines Referates überschreiten; ich beschränke mich auf die Bemerkung, dass wie man auch von den neueren Arbeiten über Cephalopoden sonst denken möge, doch ziemlich allgemein als Fortschritt anerkannt wird, dass man die einseitige Betonung der Krümmungsverhältnisse und äusseren Gestalt als Charaktere ersten Ranges verlassen hat. Unter diesen Umständen wird wenigstens ein Zweifel berechtigt sein, ob eine so extreme Hervorhebung dieses einen Charakters, wie wir sie hier finden, berechtigt und die Gruppirung nach demselben eine naturgemässe sei.

Es folgt dann eine Discussion der einzelnen Gattungen und ein sehr eingehendes von Auszügen begleitetes Verzeichniss der Literatur über englische Silurcephalopoden; endlich die Beschreibung der einzelnen Arten, welche sich auf die folgenden Genera vertheilen: *Orthoceras* 74, *Cyrtoceras* 23, *Poterioceras* 2, *Gomphoceras* 11, *Phragmoceras* 7, *Ascoceras* 3, *Nautilus* 6, *Trochoceras* 12, *Lituites* 2, *Ophidioceras* 2, *Goniatites*(?) 1. Im ganzen sind 143 Arten aufgeführt, eine Zahl, welche gegen die 979 von Barrande aus dem böhmischen Silur beschriebenen Arten gewaltig absticht. Neu sind 56 Arten, deren namentliche Aufzählung wohl zu weit führen würde.

Die ältesten englischen Cephalopoden sind ein *Cyrtoceras*, wenig jünger ein *Orthoceras* aus dem Tremadoc, in den jüngeren silurischen Bildungen finden sich die Repräsentanten ziemlich unregelmässig vertheilt, das Maximum zeigt das untere Ludlow mit 65 Arten; ein relatives Maximum findet sich in der Balagruppe mit 39 Arten. 32 Arten kommen auch in anderen europäischen Gegenden vor, 6 in Amerika; in hohem Grade fällt die Menge der mit Böhmen gemeinsamen Arten (24—26) auf, während die Verwandtschaft zur scandinavischen und russischen Fauna sehr viel geringer erscheint, ein Verhältniss, das bekanntlich bei anderen Thiergruppen nicht stattfindet. Eine andere merkwürdige Erscheinung ist, dass in England die Kalke durchgängig arm an Cephalopoden sind im Vergleiche zu den Schieferhorizonten, während in anderen Gegenden gerade die Kalke die Reste dieser Thiere in Menge enthalten. (Orthocerenkalke, Etage E in Böhmen u. s. w.); es hängt diess wohl wesentlich mit dem Charakter der Wenlockschichten als Korallenkalke zusammen, die ja so ziemlich überall arm an Cephalopoden sind.

Die beigegebenen Tafeln sind meist gut, fast durchgängig genügend und nur einzelne Abbildungen lassen an Klarheit zu wünschen übrig; sie geben uns einen guten Überblick über die bisher bekannten Silurcephalopoden Englands, und das ganze Werk, mag man auch mit der Eintheilung nicht ganz einverstanden sein, bietet einen dankenswerthen Fortschritt unserer Kenntniss, die dem Erscheinen des zweiten Bandes mit Spannung entgegen sehen lässt. **M. Neumayr.**

E. von Mojsisovics: Die Cephalopoden der mediterranen Triasprovinz. 317 S. 94 Taf. (Abhandl. d. geolog. Reichsanst. 4°. Bd. X. Wien 1882.)

Bereits im Jahr 1873 und 1875 veröffentlichte v. Mojsisovics unter dem Titel „Das Gebirge um Hallstatt“ Theile der Monographie der in den Hallstatter Marmoren der juvavischen Provinz gefundenen Cepha-

lopoden. Es erwies sich dann in mehrfacher Hinsicht zweckmässig, vor Vollendung dieser Arbeit die Beschreibung der Cephalopoden der mediterranen Provinz in Angriff zu nehmen und es gelang dem Verfasser, in sieben Jahren das sehr umfangreiche Material in dem vorliegenden stattlichen Quartbande zur Darstellung zu bringen. Eine Übersicht der Cephalopodengattungen, die übrigens mehrfache Umgestaltungen und Erweiterungen erfahren hat, erschien 1879. Wir verweisen auf unser Referat (Jahrb. 1880. I. 261), so wie wir unsere Leser auch bitten müssen, wegen der Gliederung der alpinen Triasbildung und der von Mojsisovics angenommenen Vertretung der verschiedenen Facies die Referate (Jb. 1879. 91, 176, 681; 1881. I. 411; 1882. II. 243) nachzulesen. Von älteren Arbeiten des Verfassers ist besonders noch auf „Faunengebiete und Faciesgebilde der Triasperiode in den Ostalpen“ Jahrb. d. geolog. Reichsanstalt 1874 hinzuweisen.

Ausser den die Mehrzahl der besprochenen Faunen bildenden Ammoneen werden in dem vorliegenden Bande noch die Nautiliden und Dibranchiaten behandelt.

I. Ammonea.

Unter den neueren Versuchen, die gesammten Ammoneen zu classificiren, nimmt derjenige Branco's (Jb. 1880. I. 267; 1881. I. 109; 1881. II. 120) eine hervorragende Stellung ein. Die von diesem Forscher aufgestellte Gruppirung in Asellati, Latisellati und Angustisellati genügt jedoch Mojsisovics nicht, da er findet, dass sie nur die historische Entwicklungsreihe der ersten Kammerscheidewand des Ammoneentypus im Allgemeinen darstellt, ohne die unleugbaren Beziehungen der nach den übrigen Merkmalen der Schale als zusammenhängende Glieder einer continuirlichen Kette sich erweisenden Einzeltypen oder Gattungen zu berücksichtigen. Er findet nun, dass unter den triadischen Ammoniten nur zwei Abtheilungen unterschieden werden können, welche einander ziemlich unvermittelt gegenüber stehen: die Trachyostraca mit den Ceratitidae und Tropitidae und die Leiostraca mit den Arcestidae und Pinacoceratidae. Die Triasammoneen, zwischen paläozoischen und mesozoischen mitten inne stehend, müssen natürlich eine vermittelnde Stellung einnehmen, und in der That lassen sich Leiostraca unter paläozoischen und jurassischen Formen leicht wiedererkennen. Schwieriger ist der Nachweis der Trachyostraca. Es werden im Verlaufe der Arbeit verschiedene Andeutungen über solche muthmassliche verwandtschaftliche Beziehungen gegeben; wir wollen diesmal auf dieselben nur beiläufig eingehen, da der Verfasser eine eingehendere Besprechung der Goniatiten in Aussicht stellt und ausserdem sich bei Vollendung der Hallstatter Ammoniten Veranlassung bieten wird, auf die allgemeinen Verhältnisse der Triasammoniten zurückzukommen.

Sectio I. *Ammonea trachyostraca.*

Die hierher gehörigen triadischen Formen zeichnen sich durch ein entwickeltes Sculptursystem und normale Lobenstellung aus. Eine Aus-

nahme von dieser Regel bilden nur jene geologisch älteren Formen, welche die normale Lobenzahl überhaupt noch nicht erreicht haben, wie *Dinarites*, *Tirolites*, *Klipsteinia* und *Acrochordiceras*, bei welchen nur ein einziger Seitenlobus vorhanden ist.

In den übrigen Gattungen sind stets zwei Seitenloben vorhanden.

Die Zahl der ausserhalb des Nabelrandes stehenden Hülfsloben ist eine sehr beschränkte. Die Fälle, wo mehr als ein ausserhalb des Nabelrandes stehender Hülfslobus vorhanden ist, sind sehr selten und wie es scheint, auf die Gattung *Ceratites* beschränkt, bei welcher dieselben ebenfalls nur seltene Ausnahmen von der Regel bilden.

Die Sculpturen bestehen in wechselnden Kombinationen aus Rippen, Dornen, Knoten und Kielen. In manchen Fällen ist die Sculptur weniger kräftig entwickelt und ausnahmsweise finden sich auch Nebenformen mit zurücktretender oder verschwindender Sculptur.

Epidermiden (Runzelschicht und Hafteindrücke des Mantels auf der Innenseite der Schale) kommen selten vor, während sie bei den Leiostraca häufig sind, was auf das leichtere Anhaften der Thiere in dem rauhen Gehäuse, welches schon seiner Beschaffenheit nach dem Thiere einen gewissen Halt gab, zurückgeführt wird.

Die Trachyostraca der Trias sind diejenigen Formen, bei denen Branco in der Jugend einen ganz oder nahezu internen Sipho, wie bei den Clymenien beobachtete. Daher wird denn ein Anschluss der Triasformen an gewisse Clymenien gesucht, deren Schalenbeschaffenheit auch Beziehungen zu den Trachyostraca erkennen lässt: *Cl. spinosa* Mnstr., *Cl. striata* Mnstr., *Cl. binodosa* Mnstr. u. s. w. Es sind die ältesten Ceratitiden *(Dinarites* und *Tirolites)*, welche solchen Clymenien ähnlich aussehen.

Da unter den jurassischen Ammoniten *Phylloceras* und *Lytoceras* die Leiostraca repräsentiren, so kann nur unter den anderen Gattungen eine Beziehung zu den triadischen Trachyostraca gesucht werden.

Bei der ungeheuren Menge von Detail, welches Mojsisovics gibt, müssen wir uns im Folgenden auf eine Wiedergabe der angenommenen Gattungen mit kurzen Erläuterungen beschränken. Die in grosser Anzahl und vortrefflicher Ausführung gegebenen Abbildungen könnten ohnehin auch bei einer ausführlichen Wiedergabe des Inhalts nicht entbehrt werden.

A. Fam. der Ceratitiden.

Zerfallen in zwei nebeneinander herlaufende Reihen: Dinaritinae (Gatt. *Dinarites*, *Ceratites*, *Klipsteinia*, *Arpadites*) und Tirolitinae (Gatt. *Tirolites*, *Balatonites*, *Badiotites* und *Trachyceras*). (Man vergl. Jahrb. 1880. I. 261 theils zur Ergänzung des hier gegebenen, theils wegen der seitdem vorgenommenen Abänderungen.)

Dinaritinae.

Dinarites Mojs. in manchen Formen von *Tirolites* kaum zu unterscheiden, im Allgemeinen Sculptur in der Nabelgegend stärker. Nur ein Seitenlobus. 18 in nudi und circumplicati getheilte Formen von der Zone

des *Tir. Cassianus* bis in die Zone des *Trach. Aon.* Hierher die länger bekannten Hauer'schen Arten *Muchianus* und *Liccanus*. *Ceratites* de Haan. Zerfällt in die Gruppen des *C. binodosus* (14 Arten); des *C. aineganus* (13 Arten), darunter der zoologisch wichtige *C. trinodosus, C. Luganensis, C. Pemphix*; der circumplicati 3 Arten und der nudi (*C. Sturi*, jüngste Art, einziger Vertreter der Gattung in der Zone des *Tr. Archelaus*). *Ceratites* kommt nur im Muschelkalk und in norischen Schichten vor.

Klipsteinia Mojs. Eine neue Gattung mit nur einem Seitenlobus und gekerbtem Kiel, nimmt unter den Dinaritinen mit *Arpadites* zusammen dieselbe Stellung ein, wie *Trachyceras* unter den Tirolitinen. Der eine Lobus unterscheidet aber. Enthält bisher 7 auf die Kassianer Schichten beschränkte Arten (*K. Achelaus* Mnstr., *K. Hirschi* Lbe. u. s. w.).

Arpadites Mojs. Aus den Ceratiten sich entwickelnd, mit Medianfurche der Externseite und Kielen zu beiden Seiten derselben. Mit 17 Arten aus der Zone des *Trach. Reitzi* bis in jene des *Trach. Aonoides*. Gruppe des *Arp. Arpadis*, Gr. d. *Arp. cinensis*, Gr. d. *Arp. rimosus* und einige Übergangsformen gegen *Ceratites*. (Enthält z. T. sehr häufige und bezeichnende Arten wie *Arp. Manzonii* von Esino.)

Tirolitinae.

Tirolites Mojs. Fünfzehn Arten hauptsächlich in den Schichten des *Tir. Cassianus* Qu. sp., dann nach einer langen Intermittenz mit einer Art (*T. ultimus* Mojs.) in karnischen Schichten. Gruppen der seminudi und der spinosi.

Balatonites Mojs. Normale Lobenstellung, ceratitische Lobenform, Medianknoten oder Mediankiel auf der Mitte des Externtheils, randständige Knoten, kurze Wohnkammer. Siebzehn Arten aus den Schichten des *Tir. Cassianus* bis in die norischen Schichten. Gruppen der Bal. gemmati (mit *Bal. Ottonis*), der Bal. arietiformes (hierher der oft genannte *Bal. euryomphalus*), der acuti (*Bal. bogdoanus* B.).

Badiotites Mojs. Innere Windungen glatt, äussere mit ungespaltenen faltenförmigen Sichelrippen. *Bad. Eryx* Mnstr. aus Cassianer Schichten und ein von Stoppani abgebildetes Fragment von Esino.

Trachyceras Laube. Nicht weniger als 65 Arten von unternorischen bis mittelkarnischen Ablagerungen.

Gruppen der Tr. furcosa, subfurcosa, valida, margaritosa, falcosa.

B. Fam. der Tropitidae.

In der mediterranen Provinz nur durch *Acrochordiceras* und *Celtites* vertreten. Zahlreicher sind sie in der juvavischen Provinz.

Acrochordiceras Hyatt. Diese merkwürdige von Noetling in Niederschlesien gefundene Gattung ist durch 4 Arten im mediterranen Muschelkalk vertreten. Sie steht auf der Grenze zwischen subnormaler und normaler Lobenstellung und zeichnet sich durch kräftige, die Seiten und den Externtheil bedeckende Spaltrippen aus.

Celtites Mojs. Normale Lobenstellung, sehr evolut und meist einfache, gerade, auf dem Externtheil unterbrochene Rippen. Skulptur an

unterliasische Psiloceraten erinnernd. Oberer Muschelkalk bis mittelkarnische Schichten, 8 Arten in die Gruppen des *Celtites Floriani* und *Celt. epolensis* zerfallend.

Sectio II. *Ammonea leiostraca.*

Endweder glatt oder nur mit flachen Falten versehen. Einige Gattungen mit feinen Spiralstreifen, bei *Monophyllites* und *Lytoceras* neben glatten Formen solche mit regelmässigen, massigen Querstreifen.

Mit Ausnahme von *Lecanites*, *Monophyllites*, *Lytoceras* und *Phylloceras* stets Epidermiden. Eine Ausnahme macht nur *A. eximius* Han. (gewöhnlich zu *Phylloceras* gestellt), der mit einigen anderen Arten wohl eine selbstständige Gattung bilden muss.

Bei den meisten triadischen Ammonea leiostraca zahlreiche, ausserhalb des Nabelrandes stehende Loben, am auffallendsten in dieser Hinsicht die Pinacoceratinen, bei denen noch Adventivloben hinzukommen.

Als Vorläufer würden Goniatiten anzusehen sein, die also in späterer Zeit ihre Loben vermehrten. Die Tendenz der triadischen leiostraca eine die normale übersteigende Lobenzahl zu entwickeln, würde nach Mojsisovics im Einklang stehen mit der Angabe Branco's, dass Formen mit zwei Loben angustisellat, Formen mit zahlreichen Loben bereits latisellat sind.

Im Jura sind die leiostraca nur durch *Phylloceras*, *Lytoceras* und die oben erwähnte Gruppe des *Amm. eximius* vertreten, sie sind daher für die Trias besonders bezeichnend. Allein *Phylloceras* geht aus der Trias hinauf und erreicht erst im Tithon seine Hauptentwicklung. Die Gattung *Lytoceras* ist in der Trias durch *Monophyllites* vertreten. Sehr bemerkenswerth ist, dass *Phylloceras* eine der mediterranen Trias ganz fremde Gattung ist, während dieselbe in der juvavischen Provinz ihre Vertreter hat.

A. Fam. der Arcestidae.

Mit langer, 1—1½ Umgang betragender Wohnkammer. Da die juvavischen Didymitinen fehlen, so kommen folgende Unterfamilien in Betracht: Arcestinae, Joannitinae und Lobitinae. Mit Ausnahme zweier Gattungen *Arcestes* und *Cladiscites* sind sämmtliche unten angeführte Gattungen der mediterranen Provinz eigenthümlich.

a. Arcestinae.

Arcestes Suess. Diese Gattung in ihrem nur beschränkten Umfang hat in der mediterranen Trias 17 Vertreter. Sie ist überhaupt von der paläozoischen Zeit an (*Arcestes priscus* Waag. Jahrb. 1880. I. 245) bis in die Trias vertreten. Gruppen der extralabiati, bicarinati, des *Arc. Bramantei*, der coloni von den Schichten des *Cer. binodosus* bis in jene des *Trach. Aonoides.*

Sphingites Mojs. mit nur einer Art von S. Cassian *Sph. Meyeri* Klipst. sp. unterscheidet sich von *Arcestes* durch den weiten, sich auch auf der Schlusswindung nicht verengernden Nabel und viel gröbere Epidermiden.

b. Joannitinae.

Cyclolobus Waag. Mit einigem Zweifel wird ein mangelhaft erhaltenes Exemplar aus dem Muschelkalk der Schreyer Alm zu der Waagen'schen Gattung gestellt. (cf. Jahrb. 1880. I. 245.)

Joannites Mojs. Bogenförmig, gegen vorn gekrümmter Verlauf der zahlreichen Loben und gering getheilte, vielästige, oben geradlinig begrenzte Sättel. Sonst ähnlich den Arcesten der Gruppe der subumbilicati. Unternorisch bis mittelkarnisch. Neun Arten.

Procladiscites Mojs. Wie *Cladiscites* mit massiven spiralen Schalenstreifen versehen, allein die einfachere, weniger zerschlitzte Lobenlinie unterscheidet von dieser Gattung. Es kommen an Stelle der symmetrisch paarig getheilten *Cladiscites*-Sättel noch monophyllisch endigende Sättel vor. *Procl. Brancoi* aus dem Muschelkalk und *Procl. Griesbachi* aus der Zone des *Trach. Archelaus*.

Cladiscites Mojs. Form der Loben wie *Joannites*, Verlauf derselben geradlinig, keine Varices und Einschnürungen. Theils glatt, theils mit der bekannten spiralen Streifung (*Cl. tornatus* etc.). Die längsgestreiften Cladisciten haben nach Mojsisovics drei, die glatten nur zwei Seitenloben. *Cl. striatulus* Mnstr. und *Cl. Ungeri* Klipst.

c. Lobitinae.

Lobites Mojs. hat zwei Lateralsattel*. Neun norische und karnische Arten. Gruppen der elliptici, der Lob. Nasones, der Lob. moniles, des *Lob. pisum* und isolirte Formen.

B. Fam. der Pinacoceratidae.

Länge der Wohnkammer nicht mehr als $\frac{3}{4}$ Umgang. Meist flach, scheibenförmig, nur *Ptychites* und *Naunites* haben auch dicke, bauchige Formen. Die aufgestellten Unterfamilien werden als vorläufige angesehen, bis paläozoische Formen genauer untersucht sein werden. Die Ptychitinen sollen sich von den Lytoceratinen (im Carbon) abgezweigt haben. Die Lytoceratinen und Pinacoceratinen lässt der Verfasser bis zum böhmischen Obersilur hinunter reichen und stellt für nautiline Goniatiten die Gattungen *Aphyllites* mit kurzer und *Anarcestes* mit langer Wohnkammer auf. *Anarcestes* soll *Goniatites plebejus* Barr., *crispus* Barr. etc., *Aphyllites* Arten wie *Gon. bohemicus* Barr. etc. umfassen. *Aphyllites* soll dann der Stamm der Lytoceratinen sein, während aus *Pinacites* (mit *Gon. emaciatus* Barr.) die Pinacoceratinen sich entwickelt hätten.

Für die Terminologie der Loben wird allein die Projectionsspirale des vorhergehenden Umganges als massgebend angesehen. Der Verfasser nimmt in manchen Fällen mehr als zwei Seitenloben an und spricht z. B. bei *Megaphyllites* von vier Seitenloben.

---

* Hier wie sonst bei den Gattungen heben wir nur das eine oder andere neuerdings betonte Merkmal heraus, verweisen aber sonst auf die älteren oben genannten Mittheilungen des Autors, in diesem Falle das Gebirge um Hallstatt, I, 155.

Unterf. der Pinacoceratinae.

Beneckeia Mojs. Diesen Namen führt der Verfasser für *Ammonites Buchi* und *tenuis* ein, welche zwei getrennt gehaltene Formen, allerdings bisher in alpinen Ablagerungen noch nicht gefunden sind.

Longobardites Mojs. In der äusseren Gestalt mit voriger Gattung übereinstimmend, doch mit Adventivloben und schmalen, zungenförmigen, hohen Sätteln. Auch sind die Adventivloben, sowie der erste Hauptlobus gezähnt. Die Arten der Gattung reichen aus oberem Muschelkalk bis in die obernorischen Ablagerungen.

Sageceras Mojs. Mit einer ansehnlichen Zahl von Adventivloben und einer grösseren als der gewöhnlichen Zahl von Hauptloben. Älteste Art ist *S. Hauerianum* de Kon. aus dem Saltrange, in der mediterranen Triasprovinz reicht *Sageceras* bis in die mittelkarnischen Schichten. Zwei Arten, darunter der bekannte *Sag. Haidingeri* Hau. sp.

Megaphyllites Mojs. Auf die triadischen Arten, wie *M. Jarbas* beschränkt. *Megaphyllites megaphyllus* Beyr. aus Timor soll einem anderen Stamm angehören. Die sechs beschriebenen Arten reichen aus dem Muschelkalk aufwärts bis in die Zone des *Tr. Aonoides.*

Pinacoceras Mojs. In dieser Umgrenzung nach Ausscheidung von *Megaphyllites* und *Carnites* und einigen Arten von *Gymnites.* Reicht aus dem oberen Muschelkalk bis in mittelkarnische Bildungen. Es sind nur 5 Arten in der mediterranen Triasprovinz gefunden.

Unterfam. Lytoceratinae.

Lecanites Mojs. Schmale, langsam wachsende, weitgenabelte Goniatiten, besonders der Carbonzeit, mit schmalem Externtheil, glatter Schale und eigenthümlichen Loben nennt Mojsisovics *Prolecanites.* Formen wie *G. mixolobus* Sandb. (non Phill.), *G. Lyoni* Meek u. Worth., *G. ceratitoides* B. und andere gehören hierher. Der Externlobus ist einspitzig. Mindestens zwei, nicht selten drei Lateralloben stehen ausserhalb der Projectionsspirale der vorhergehenden Windung. Wenn Auxiliarloben vorhanden sind, so kommen sie nur in geringer Zahl vor. Von diesen Prolecaniten unterscheidet sich nun der *Lecanites glaucus* Mnstr. sp. aus Cassianer Schichten und der Zone des *Tr. Archelaus* nur durch einen den Externlobus in zwei Spitzen theilenden Medianhöcker.

Norites Mojs. Auch hier werden carbonische Goniatiten unter der Bezeichnung *Pronorites* herbeigezogen (*Gon. mixolobus* Phill., *Gon. cyclolobus* Phill. und andere). Der Unterschied gegen *Prolecanites* liegt in der Zähnelung des Extern- und ersten Lateralsattels. *Norites* erwirbt nun ammonitische Charactermerkmale, doch in geringem Masse, wie das an der Zackung der Loben näher nachgewiesen wird. Es sind drei z. Th. mangelhaft erhaltene Arten bekannt, welche aus dem unteren Muschelkalk bis in die Buchensteiner Schichten reichen.

Monophyllites Mojs. Auch hier wird Abstammung von Goniatiten vermuthet. Die Gehäuse sind entweder mit massiven, regelmässigen, feinen Querstreifen auf der Umbilical- und Externseite versehen oder glatt, nur

mit Zuwachsstreifen versehen. Es sind äussere Schalenwülste und innere Schalenleisten beobachtet. Die 6 Arten reichen vom unteren Muschelkalk bis in die Zone des *Tr. Aonoides*. Mehrere Formen bilden mit den bekannten *Monophyllites sphaerophyllus* Hau. eine Gruppe. Hauer's *Amm. Morloti* fällt mit *Mon. Agenor* Mnstr. sp. zusammen.

Unterfam. der Ptychitinae.

Nannites Mojs. Glatte Schale, weit umhüllende globose Windungen und eine kurze, $\frac{3}{4}$ Umgang einnehmende Wohnkammer. Am Mundrand ein vorspringender Lappen der Externseite. Lobenlinie vollkommen ganzrandig, getheilter Externlobus, ein flacher gerundeter Seitenlobus, welcher von der Projectionsspirale halbirt wird und ein kleiner, ebenfalls abgerundeter Hülfslobus. Also äusserst einfache, an *Tirolites* und *Dinarites* erinnernde Lobenlinie. In obernorischen und unterkarnischen Schichten 3 Arten.

Meekoceras Hyatt. Flach scheibenförmige Gehäuse mit glatter oder häufiger von schwachen Faltrippen bedeckter Schale, mit engem Nabel, weit umfassenden Windungen, schmalem, meist abgerundetem, seltener abgeflachtem und von dünnen Marginalkeilen begrenztem Externtheil und ceratitisch entwickelten Loben. Es kommen Marginal- und Lateralknoten vor. Es sind Formen mit zwei und mit drei Lateralloben zu unterscheiden. Zahl der Hülfsloben beschränkt.

Wie auseinandergesetzt wird, fällt *Meekoceras* eigentlich in die Synonymik von *Xenodiscus* Waag. Die Gattung reicht in der mediterranen Provinz aus den Werfener Schichten bis in karnische Schichten, hat aber sonst eine grosse Verbreitung und zwar in der untersten Trias, da man sie aus den „Ceratitenschichten" des Saltrange, den von Griesbach als Werfener Schichten bezeichneten Ablagerungen des Himalaya, aus den Cephalopodenschichten Sibiriens und der Trias von Idaho kennt.

Es werden 9 Arten beschrieben, unter denen eine Gruppe des *Meek. maturum* ausgeschieden wird.

Hungarites Mojs. Einziger Unterschied gegen *Meekoceras* der hohe Mediankiel auf dem durch scharfe Kanten von den Seitenflanken abgegrenzten Externtheil. Die älteste bekannte Form ist *Hung. Djoulfensis* Abich aus der Araxesenge bei Djoulfa in Armenien. Griesbach's *Otoceras* umfasst ältere *Hungarites* mit einem einfachen zweispitzigen Externlobus. Aus deutschem Muschelkalk zieht Mojsisovics *Ammonites Strombecki* hierher. Fünf Arten aus norischen Schichten der mediterranen Triasprovinz, *H. Pradoi* Arch. von Mora d'Ebro in Spanien.

Carnites Mojs. Das Vorkommen typischer Adventivloben scheint dieser Gattung ihren Platz unter den Pinacoceratinen anzuweisen. Doch spricht die Übereinstimmung der äusseren Erscheinung mit *Hungarites* und *Meekoceras*, sowie die Lobenform nach dem Verfasser für eine Einreihung in die Ptychitinae.

Man kennt mit Sicherheit nur die eine oft genannte und verschieden gedeutete Art *C. floridus* Wulf. sp., zu der viele Formen mit Unrecht gezogen wurden. Von mehreren Punkten aus Schichten des *Tr. Aonoides*.

Gymnites Mojs. Formen dieser Gattung wurden bisher mit den ältesten jurassischen Ammoniten, mit *Psiloceras*, in Verbindung gebracht. Mojsisovics betrachtet jedoch Verhältnisse, auf welche man dabei Gewicht legte, nämlich die äussere Form und die schräge Senkung der Hülfsloben nur als untergeordnet und nebensächlich. Dieselben Merkmals sollen auch zu Gunsten einer Verwandtschaft mit Pinacoceratinen geltend gemacht werden können und die Lobenform von *Gymnites* und *Psiloceras* zeigen aber nicht unerhebliche Unterschiede. Bei *Psiloceras* senkt sich mit den Hülfsloben auch noch der zweite Laterallobus, er verschmilzt gewissermassen mit den Hülfsloben zu einem Nahtlobus*. Bei *Gymnites* ist aber der zweite Lateralsattel individualisirt, es sind ferner im Gegensatz zu *Psiloceras* die Sättel bei *Gymnites* vielfach verästelt mit zackigen, eckigen Endigungen. Der Externsattel erwirbt durch einen grossen, auf der Seite des Externlobus stehenden Seitenzweig das Aussehen eines schräg gestellten, paarig getheilten Sattels. Der zweite Lateralsattel und die Hülfssättel erscheinen bei den meisten, insbesondere den geologisch jüngsten Formen als paarig getheilte Sättel, was die Analogien mit *Pinacoceras* vermehrt. Auch Eigenthümlichkeiten der Sculptur lassen sich zu Gunsten einer Zutheilung zu Pinacoceratiden anführen.

Als Vorläufer von *Gymnites* sieht Mojsisovics *Xenodiscus* Waag. [dies. Jahrb. 1880, I, -246-] (= *Czekiceras* Griesbach) an. Es werden 10 Arten aus Muschelkalk, norischen und karnischen Schichten angeführt. *Gymnites Ecki*, welcher aus Friaul angeführt wird, sammelte Referent auch in Schichten des *Trach. Archelaus* an der Marmelata in Südtirol.

Sturia Mojs. In den allgemeinen Formverhältnissen *Ptychites* ähnlich, doch ausgezeichnet durch Spiralstreifen, welche auf verschiedenen Theilen des Gehäuses verschieden ausgebildet sind (Externstreifen, obere und untere Lateralstreifen). Lobenstellung nahezu normal.

Als Vorläufer könnte *Goniatites striatus* Abich (non Sow.) angesehen werden. Vier Arten aus Muschelkalk und norischen Schichten der mediterranen Provinz.

Ptychites Mojs. Diese wichtige und mannigfach entwickelte Gattung, welche schon frühzeitig zur Aufstellung von Gruppen (Rugiferen Opp., Plicosen Beyr.) Veranlassung gab, wird hier in fünf Stämme zerlegt: Rugiferi, Megalodisci, Subflexuosi, Opulenti und Flexuosi.

Die älteste bekannte Form ist *Pt. trochleaeformis* Lindstr., wenn diese Art auf Spitzbergen in der That mit anderen von dort beschriebenen Formen auf demselben Lager vorkommt. In der mediterranen Provinz erscheint *Ptychites* zuerst im unteren Muschelkalk und reicht bis in die obernorischen Schichten. Es werden 24 Arten beschrieben.

II. Nautilea.

A. Fam. der Nautilidae.

Um auch für die Nautilea eine Eintheilung in Gattungen, ähnlich wie bei den Ammoniten anzubahnen, schlägt Mojsisovics vor, folgende bei den

* Solche Loben nennt Mojsisovics Suspensivloben.

Ammoneen in Anwendung gebrachte Verhältnisse zu berücksichtigen: 1) Äussere Beschaffenheit der Schale, insofern dieselbe eine hervorragende Sculptur besitzt oder nicht, 2) Länge der Wohnkammer, 3) Gestalt des Mundrandes, 4) Form der Loben, 5) das Verhältniss der Loben zu der Projectionsspirale der inneren Windungen, 6) die Sculpturverhältnisse des Externtheils bei den Gattungen mit rauher Schalenoberfläche. Die Länge der Wohnkammer scheint nach unseren bisherigen Erfahrungen bei allen Nautilen ziemlich gleich zu sein, es ist daher dies Merkmal zunächst für die Classification werthlos.

Es wird (doch nur für triadische Vorkommnisse) folgende Gruppirung vorgenommen:

Unterfam. Gyroceratinae.

Mit entwickelter Schalensculptur.

Teumocheilus Mc. Coy em. Meek u. Worth. Mit rechteckigen, wenig umfassenden Windungen, einem glatten Externtheil und grossen stumpfen Marginalknoten, mit denen zuweilen Umbilicalknoten correspondiren. Bei den triadischen Formen auf der Externseite und den Flanken flache Loben. Bei älteren Formen findet ein gerades Übersetzen der Externseite an Stelle des Externlobus statt. Ein kleiner Internlobus bei carbonischen und triadischen Formen. Reicht in der mediterranen Trias aufwärts bis in mittelkarnische Bildungen. Fünf Arten.

Trematodiscus Meek u. Worth. Weitnablig, mit wenig umfassenden Windungen, mit einer den Externtheil und die Seiten umfassenden Längssculptur. Es kommen einfache Rippen oder geknotete und cannelirte Rippen vor. Die Mehrzahl der carbonischen hat einfache, gerade verlaufende Kammerwände, die triadischen haben einen flachen Extern- und einen flachen, breiten Laterallobus. Internlobus bei einzelnen carbonischen und bei triadischen. Hier, wie bei *Teumocheilus* schliessen sich die triadischen unmittelbar an paläozoische an. Selten in unter- und mittelkarnischen Schichten der Mediterranprovinz. Drei Arten.

Pleuronautilus Mojs. Rechteckige, wenig umhüllende Umgänge, glatt, sculpturfrei auf dem Externtheil. Auf den Seiten kräftige, gerade oder leicht geschwungene Rippen, welche meist mit einer oder mehreren Knotenspiralen versehen sind. Einige ältere Formen mit gerade über den Externtheil laufenden Kammerwänden, seitlich mit flachem Lobus, bei den triadischen ein flacher Lobus des Externtheils und ein kleiner Internlobus. Reicht bis in mittelkarnische Schichten. 13 Arten.

Unterf. Nautilinae.

Nautilus (Breyn.) ant. Indem hier die auf die juvavische Provinz beschränkten hochmündigen Formen mit geschlossenem oder sehr kleinem Nabel und complicirter Lobirung die Gattungsbezeichnung Clydonautilus (*Cl. Quenstedti* Hau., *Cl. salisburgensis* Hau. etc.) in Anwendung gebracht wird, bleiben unter *Nautilus* für die mediterrane Provinz noch 19 Arten, welche vom oberen Muschelkalk bis in die karnischen Schichten reichen.

B. Fam. der Orthoceratidae.

Orthoceras (Breyn.) ant. Zerfällt in die Gruppe der laevia (Waagen, Salt Range fossils, p. 67, dies. Jahrb. 1880, I, -247-) vom oberen Muschelkalk bis in die Schichten des *Tr. Aonoides* und der striata mit einer nicht genauer bestimmbaren Art aus den Schichten des *Tr. Reitzi*.

III. Dibranchiata.

Decapoda phragmophora Fischer (Man. d. Conch. 340).

A. Fam. Belemnitidae.

Unterf. Aulacoceratinae.

Mojsisovics trennt *Aulacoceras* in zwei Gattungen. Die eine, der der Hauer'sche Name verbleibt, soll die mit vorherrschender Längssculptur umfassen, während für die mit glattschaligen Phragmaten und glattem rostrum der Gümbel'sche Name *Atractites* rehabilitirt wird. *Aulacoceras* ist dann ausschliesslich triadisch, *Atractites* geht in den Lias hinauf.

Aulacoceras Hau. Mit einer Art, die aus norischen in karnische Schichten geht.

Atractites Gümb. mit 9 z. Th. unsicheren Arten aus dem oberen Muschelkalk in die Zone des *Tr. Aonoides* reichend.

B. Fam. Phragmoteuthidae.

Phragmoteuthis Mojs. Unter diesem Gattungsnamen führt der Verfasser die bekannte, bisher zu *Acanthoteuthis* gestellte Art der Raibler Schichten ein. *Acanthoteuthis* soll aber nach einer Mittheilung Zittels an den Verfasser zu den Octopoden gehören, somit müsste die Raibler Form getrennt werden. Da auch gegen *Belemnoteuthis* durch das dieser Art eigenthümliche kleine rostrum, abgesehen von anderen Verhältnissen, Unterschiede bestehen, so scheint ein neuer Name hier am Platz zu sein. *Phragmotheutis* liegt in der von Suess genau beschriebenen *Ph. bisinuata* Br. aus schwarzen Schiefern von Raibl und einer grossen nicht benannten Art aus Schichten des *Tr. Archelaus* des Cassianer Gebietes vor. Tabellen über die Faunen der einzelnen Zonen, respective deren Facies beschliessen das Werk.

Wir freuen uns aufrichtig, dass es dem Verfasser vergönnt war, diesen Theil seiner Untersuchungen gleich abgeschlossen dem wissenschaftlichen Publicum vorzulegen. Möge das „Gebirge um Hallstatt“ bald folgen, unsere Litteratur wird dann um ein Werk reicher sein, welches in Beziehung auf sorgfältige durchdachte Bearbeitung eines umfangreichen und doch in gewisser Hinsicht begrenzten Materials nach einem bestimmenden Grundgedanken kaum seines Gleichen hat. Eine Befürchtung können wir freilich nicht unterdrücken. Wer soll in gleicher Weise paläozoische und was viel schwieriger ist, jurassische und cretacische Cephalopoden in gleich sorgsamer Berücksichtigung aller Einzelverhältnisse bearbeiten? Wird nicht immer von mancher Seite verlangt werden, dass das, was in genetischer Beziehung für die ihrer Lage nach doch weniger scharf fixirten alpinen triadischen Vorkommnisse angenommen wird, in viel augenfälligerer Weise bei den

ausseralpinen jurassischen und cretacischen Formen zu Tage treten oder vielmehr sich schon längst ergeben haben müsse? Hier harrt noch ein gewaltiges Feld der Bearbeitung. Benecke.

H. Haas und C. Petri: Die Brachiopoden der Juraformation von Elsass-Lothringen. (Abhandl. zur geol. Spezialkarte von Elsass-Lothringen. Bd. II. Heft II. Strassburg 1882. Mit 18 lithogr. Taf. und 3 Zinkogr. S. 161—320.)

Die Zahl der beschriebenen Arten, die sämmtlich trefflich und reichlich abgebildet erscheinen, ist eine so bedeutende, dass es nicht möglich ist, sie hier alle namentlich anzuführen. Die einzelnen Formen werden in geologischer Folge beschrieben und zum Schlusse eines jeden Abschnittes werden die vorhandenen verwandtschaftlichen Beziehungen eingehend besprochen. Nach der Artenzahl wiegen die Rhynchonellen mit 44 Arten bedeutend vor, die Terebrateln sind durch 18, die Waldheimien durch 19, die Spiriferinen durch 3 Arten vertreten. Ausserdem werden noch 5 Discinen, 4 Lingulen, 1 Thecidium, 1 Orthoidea aufgeführt.

Im allgemeinen nimmt die Brachiopodenfauna von Elsass-Lothringen der geographischen Lage des Landes entsprechend eine Mittelstellung zwischen der schwäbischen und derjenigen des nordwestlichen Frankreichs und Englands ein. Die Formen des unteren Lias zeigen im Elsass und im Rheinthal, am Lehner-Berg bei Freiburg i. Br. und bei Langenbrücken einen ausgesprochen schwäbischen Charakter und zwar ist dies namentlich bei den Rhynchonellen der Fall, während die Terebrateln zwischen der schwäbischen und der französisch-englischen Entwicklung ungefähr in der Mitte stehen. Bei Hassel und Merl in Luxemburg und bei Kedingen in Deutsch-Lothringen treten Formen von ächt schwäbischer Ausbildung auf, deren Erscheinen vorläufig noch nicht auf nachweisbare Ursachen zurückführbar ist.

Im mittleren Lias dagegen wiegen englisch-französische Typen vor, wie sich dies namentlich wieder bei den Rhynchonellen deutlich verräth. Eigenthümlich ist das vereinzelte Auftreten der *Rhynch. acuta* in den Costatenkalken des Unterelsasses, einer Art, die bekanntlich westlich der Reichslande häufig ist, in Lothringen fehlt, östlich vom Rhein nur an einigen Punkten nachgewiesen wurde.

Die Doggerformen behaupten im Unterelsass und in Lothringen eine entschiedene Mittelstellung zwischen Osten und Westen, während im Ober-Elsass und im Rheinthal der schwäbische Einfluss deutlich vorherrscht; doch giebt es auch hier vereinzelte Ausnahmen.

Die Namen der neuen Formen sind:

Rhynchonella Schimperi	*Rhynchonella lotharingica*
„ *Delmensis*	*Terebratula Lutzii*
„ *Rosenbuschi*	*Waldheimia Beneckei*
„ *Steinmanni*	„ *Coheni*
„ *Weigandi*	*Discina Quenstedti*
„ *Kirchhoferi*	„ *Linki*
„ *Andreae*	*Lingula alsatica.*

Rhynchonella Delmensis stammt aus dem Formenkreis der *Rh. variabilis* und *triplicata* ant., welche Namen die Verfasser unterdrückt wissen wollen, da es durchaus nicht mehr festzustellen, was die Autoren derselben ursprünglich darunter verstanden haben und beide Namen vielfach missbraucht worden sind. Interessant sind die Beobachtungen über die Veränderungen von *Rhynch. gryphitica* und *Deffneri* in den Gryphitenkalken von Grigy bei Metz S. 176. Unter den Waldheimien des untersten Lias wird auch *W. perforata* Piette aufgeführt und von derselben erwähnt, dass ihre Schleife fast den Stirnrand berühre. Es ist bemerkenswerth, da Neumayr gezeigt hat, dass Exemplare aus dem untersten Lias der Alpen, die der äusseren Form nach von *Waldh. perforata* nicht unterscheidbar sind, eine kurze Terebratula-Schleife besitzen. — Besonderes Interesse erregt die von Friren im Jahre 1875 aufgestellte mittelliasische Gattung *Orthoidea*, die ein kleines Gehäuse mit spitzem, frei vorragendem Schnabel, breiter, dreieckiger Area und ebensolcher Deltidialspalte besitzt. Eine Brachialvorrichtung und die Mittelleiste fehlen, an die Stelle der letzteren tritt eine leicht angedeutete, längliche, mediane Furche. Friren stellt diese merkwürdige Gattung zu den Orthiden.

Die Bearbeitung der Lingulen rührt von C. Petri her, die übrige Arbeit wurde von H. Haas ausgeführt. **V. Uhlig.**

M. Canavari: I Brachiopodi degli strati a *Terebratula Aspasia* Mgh. nell' Appennino centrale. (R. Accad. dei Lincei 1879—80, ser. III vol. 8, mit 4 Tafeln.)

M. Canavari: Alcuni nuovi Brachiopodi degli Strati a *Terebratula Aspasia* Mgh. nell' Appennino centrale. (Atti della Società Tosc. di Sc. Nat. in Pisa vol. V. fasc. 1. 1881. mit 1 Tafel.)

Der Verfasser sendet der ersteren Arbeit einen historischen Überblick über die Erweiterung unseres Wissens von den liasischen Brachiopoden der Centralappenninen voraus. Als Grundlage seiner Studien diente das reiche Material des Universitäts-Museums zu Pisa, welches schon im Jahre 1853 Meneghini zu einer unveröffentlicht gebliebenen monographischen Bearbeitung veranlasst hatte, wesshalb uns hier zahlreiche Manuscriptnamen und Diagnosen Meneghini's begegnen.

Die Schichten mit *Terebratula Aspasia* bilden in den Centralappenninen weisse oder graue, wohl geschichtete, an Eisenkies reiche Kalke, welche zwischen die weissen dolomitischen oder tuffigen Kalke des unteren Lias und die oberliasischen Kalke mit *Harpoceras bifrons, Comensis* etc. oder die rothen Posidonienmergel eingelagert sind. Der Verfasser macht aus diesen Schichten, deren Fauna ganz den Charakter der Hierlatz facies besitzt, 70 Thierreste, darunter 41 Brachiopoden namhaft; von diesen erscheinen 10 auch in der „Zone der *Ter. Aspasia*" Siciliens, 7 Formen sind mit den Schichten von Gozzano am Lago d'Orta, 4 mit denen von Sospirolo gemeinsam. Möglicher Weise werden sich die appenninischen *Aspasia*-Schichten in zwei altersverschiedene Horizonte scheiden lassen, einen älteren mit gewissen

Aegoceras-Formen und einen jüngeren mit feinrippigen Harpoceren, die sehr an oberliasische gemahnen.

Im Verhältniss zu den isopischen Liasablagerungen anderer Länder sind die appenninischen die jüngsten, sie können als jünger, wie die *Aspasia*-Schichten von Sicilien und Gozzano betrachtet werden. Auf Grundlage der Brachiopoden eine Zonentheilung durchzuführen, ist nach dem Verfasser wenigstens augenblicklich nicht möglich, dazu bedürfe es noch sehr eingehender Studien. Die meisten Arten werden ausführlich beschrieben und abgebildet; die Namen der neuen und der noch nicht bekannten Meneghini'schen Manuscript-Species sind folgende:

Terebratula undata Mgh. ms.
„ *Paronai* Can.
„ *Waldheimia (?) Meneghinii* Parona ms.
„ „ *filosa* Mgh. ms.
Waldheimia amygdaloides Mgh. ms.
Rhynchonella deltoidea Mgh. ms.
„ *zeina* Can.
„ *dolabriformis* Mgh. ms.
„ *fissicosta* Mgh. ms.
„ *Sordellii* Parona ms.

Im Anschlusse an diese Arbeit bespricht der Verfasser in der zweiten eine Reihe von mittelliasischen Brachiopoden, welche von vier Localitäten der Centralappenninen entnommen sind. Drei der beschriebenen Arten werden als neue beschrieben, und zwar: *Spiriferina cantianensis* Can., *Terebratula (Pygope) cornicolana* Can., *Rhynchonella cornicolana* Can. Nur von einer Localität, dem Mte. Petrano bei Cagli, ist eine grössere Anzahl von Arten vorhanden, welche zu dem Resultate führen, dass daselbst eine Ablagerung aus dem unteren Theile des mittleren Lias vorliege. Den Schluss der Arbeit bildet eine vergleichende Tabelle sämmtlicher bisher aus dem Mittellias der Centralappenninen bekannten Brachiopodenarten, die ein übersichtliches Gesammtbild darbietet. Uhlig.

A. G. Nathorst: Om spaar of naagra evertebrerade djur m. m. och deras paleontologiska betydelse. (Kgl. svenska Vet.-Ak. Handl. Bd. 18. No. 7. 1881. pag. 1—59. taf. I—XI.)

Die Abhandlung legt die Untersuchungen und die sich daran für die Deutung mancher bisher problematischer sog. Versteinerungen anschliessenden Schlüsse dar, welche der Verfasser während eines Aufenthaltes in der zoologischen Station zu Kristineberg ausgeführt hat. Diese Untersuchungen betreffen Thierspuren, welche nach manchem misslungenen Versuche in der Weise erzeugt und erhalten wurden, dass man Thiere der verschiedensten Art in Gefässe kriechen liess, deren Boden mit feinem Meeresschlamm bedeckt war. Je nachdem man die über diesem Bodensatz stehende Wassermenge verringerte, konnte man die schwimmenden Thiere veranlassen, beim Schwimmen den Boden zu streifen und auf diese

Weise wurden nicht nur wirkliche Kriech-, sondern auch Schwimmspuren erhalten. Um dieselben zu conserviren, wurde das Wasser sorgsam entfernt und die Spuren-Eindrücke mit Gyps ausgegossen. Der Beschreibung dieser Spuren ist der erste Theil der Arbeit gewidmet. Folgende Thiere wurden zu den Experimenten benutzt: *Carcinus maenas* L., *Crangon vulgaris* Fabr., *Palaemon squilla* L., *Corophium longicorne* Fabr., *Gammarus locusta* L., **Sulcatos arenarius* Rate, **Kroyera arenaria* Rate, *Idothea baltica* Pallas, **Idothea entomon* L., *Jaera albifrons* Leuck., eines Isopods oder Gammariden von der californischen Küste, **Limulus polyphemus* L., *Synopta* sp., *Brissus* sp., *Asteracanthion rubens* Reetz, *Amphiura* sp., *Cylichna cylindracea* Pennant, *Littorina littorea* L., *Paludinella* sp., **Limnea ovata baltica* Nilss., *Nucula sulcata* Br., *Montacuta bidentata* Montag., *Arenicola marina* L. (Excremente), *Pholoë minuta* Fabr., *Eumenia crassa* Oersted, *Scolecolepis vulgaris* Johnston, *Trophonia plumosa* O. F. M., *Leontis Dumerili* And. et Edw., *Nychia cirrosa* Pallas, *Gonioda maculata* Oersted, *Glycera alba* Rathke, *Telephus circinnatus* Fabr., *Terebella* sp., *Nemertes* sp., eine *Planaria*, einige Spuren unbestimmter Thiere, ferner solche von Insekten, Insektenlarven, Geisselwürmer, von Pflanzen, Wassertropfen, rinnendem Wasser, und im Wasser aufsteigenden Luftblasen. — Die im vorhergehenden mit * bezeichneten Spuren hat der Verf. der Litteratur entnommen oder kennt sie aus Mittheilungen anderer Gelehrter. — Die meisten dieser Spuren sind theils in Holzschnitten, theils auf den 11 photographisch hergestellten Tafeln bildlich wiedergegeben. — Der zweite, für die Paläontologie wichtigste Theil der Abhandlung gibt die Schlüsse, welche für die Deutung gewisser Körper in den verschiedensten Formationen gezogen werden konnten. Insbesondere sind diejenigen Dinge, welche vielfach als Algen angesehen und als solche auch vor kurzem noch in dem Zittel-Schimper'schen Handbuch zusammengefasst wurden, in Kritik gezogen. Für das Detail ist auf die Arbeit selbst zu verweisen. Im Grossen und Ganzen ergiebt sich, dass der grösste Theil der Schimper'schen Gruppen der Conferviteen, Caulerpiteen, Chordophyceen und Diplochordeen, Arthrophyceen, Rhysophyceen, Alectorurideen (für diese Gruppe ist etwas durchaus entsprechendes nicht beobachtet, aber Verf. glaubt, sie auf Spuren bewegter Pflanzen zurückführen zu können), Cylindriteen, Palaeophyceen, Oldhamieen (Verf. schliesst sich F. Römer's Auffassung an, dass *Oldhamia* durch Druck oder Zusammenziehung, Runzelungen und Fältelungen des Thonschiefers entstanden ist, und fügt als wichtige Beobachtung hinzu, dass einige lappländische Marlekor in ihrem Innern dieselbe Structur zeigten), Chondriteen, Sphaerococciteen (theils wirkliche Algen, theils Spuren). Dagegen sind die Spongiophyceen, Fucoiditeen und Dictyophyteen wirkliche Algen, wenn auch die systematische Stellung aller durchaus nicht feststeht. Der Verf. wendet sich dann zu *Eophyton*, über welches auch eine andere später erschienene Abhandlung handelt und daher hier übergangen wird (cf. p. 515). Nach Besprechung einiger weiterer dieser Dinge, wie *Scolithes* etc. gibt Verf. noch eine Übersicht der in Schweden vorkommenden fossilen Spuren

und schliesst mit einer sehr ausführlichen Litteraturübersicht, welche die stattliche Zahl von 130 einschlägigen Aufsätzen etc. aufweist. — Auf das aussergewöhnliche Interesse, welches diese an der Hand des Experimentes gewonnenen Resultate in Anspruch nehmen, ist ein Hinweis unnöthig. Sie bringen Licht in eins der dunkelsten Capitel der Paläontologie und werden sicher zu weiteren Untersuchungen Anregung geben*. **Dames.**

G. R. Vine: Notes on the *Annelida tubicola* of the Wenlock shales from washings of G. Mave. (Q. J. G. S. 1882. 377.) Mit einer Tafel.

Der Verf. charakterisirt die bis jetzt bekannten Gattungen von paläozoischen röhrenbauenden Anneliden in folgender Weise:

1) *Cornulites* Schloth. 1820. Röhre geringelt, längsgestreift, mit einem Theil der Spitze an fremde Körper angeheftet.

2) *Conchicolites* Nichols. 1873. Röhre geringelt, ohne Längsstreifung, schwach gebogen, mit dem schmäleren Ende an fremde Körper befestigt.

3) *Ortonia* Nich. 1872. Röhre geringelt, auf der freiliegenden Seite von zelligem Bau; schwach gebogen und mit der ganzen Länge einer Seite auf fremden Körpern angeheftet.

4) *Spirorbis* Lamarck. Röhre scheibenförmig — spiral aufgerollt, niedergedrückt, mit der Unterseite angewachsen. Spirale entweder rechts oder links gedreht.

5) *Tentaculites* Schloth. 1820. Röhre geringelt, ohne Längsstreifung** und zelligen Bau; gestreckt konisch, nach einem Ende zugespitzt; ganz frei.

Von neuen oder schon bekannten Arten werden beschrieben: *Cornul. scalariformis*, *Conchic. Nicholsonii*, *C. gregarius* Nich., *Orton. conica* Nich., var. pseudo-punctata, *Spirorb. Arkonensis* Nich., *Tentac. anglicus* Salt., *T. ornatus* Sow., *T. tenuis* ? Sow., var. attenuata, *T. Wenlockianus*, *T. multiannulatus*.

Schliesslich wird eine neue Gattung *Psammosiphon* in folgender Weise charakterisirt: Körper unregelmässig, zusammengeballt oder röhrenförmig, aus feinen Sandkörnchen aufgebaut. An Steinen, Muscheln etc. befestigt. Aufgewachsen oder frei, aber auch dann mit flacher Basis, welche eine frühere Anheftung erkennen lässt.

Von dieser Gattung, die wohl noch weiterer Begründung bedarf, werden beschrieben *Ps. elongatus* n. sp. und *Ps. amplexus* n. sp. aus dem englischen Carbon. **Kayser.**

---

* Für die der schwedischen Sprache unkundigen Fachgenossen wird es von Interesse sein, dass von dieser wichtigen Arbeit eine französische Uebersetzung, in Gestalt eines sehr ausführlichen Resumés, mit den dazu gehörigen Tafeln in den Abhandlungen der schwedischen Akademie inzwischen erschienen ist.

** Hätte sich der Verf. auch um nicht-englische Arten bekümmert, so müsste er wissen, dass dies nicht richtig ist. Formen, wie *Tent. acuarius* und *Geinitzianus* Richt. (Kayser, Aelteste Devonfauna des Harzes, T. 31) besitzen eine deutliche, wenn auch zarte Längsstreifung.

Shrubsole: On *Thamniscus*: Permian, Carboniferous and Silurian. (Q. J. G. S. 1882. 341.)

Die Bryozoengattung *Thamniscus* wurde 1849 von King für eine englische Permform *(dubius)* gegründet. Später beschrieben Etheridge und Young eine carbonische Art (*Bankini* Y.). Verf. lehrt nun auch eine Species aus dem Wenlockkalk von Dudley (*crassus* Shr.) kennen. Gleichzeitig wird die permische Art auf's Neue beschrieben und die Gattung *Thamniscus* folgendermassen charakterisirt. Zweige frei, rund, häufig und regelmässig gegabelt; mehr oder weniger in einer Ebene liegend. Zoöcien auf einer Seite. Zellen eingesenkt, rund, in schrägen Linien geordnet. **Kayser.**

E. Rigaux: Synopsis des Échinides jurassiques du Boulonnais. (Bull. d. l. soc. géol. d. France. Vol. VIII. 1880. pag. 620—633. taf. XXII—XXIII.)

Verf. zählt 81 Arten aus den verschiedenen Jura-Etagen auf, welche zum allergrössten Theil bekannt sind. Da sich dieselben sowohl in der Paléontologie française als auch, soweit sie den weissen Jura betreffen, in den verschiedenen Werken von P. de Loriol etc. aufgezählt finden, werden hier nur die neuen Arten herausgehoben. *Hemicidaris Legayi,* Bathonien von Leulinghem, verwandt mit *Luciensis* und *Langrunensis,* aber von deprimirterer Form, schmaleren Ambulacren und Interambulacraltuberkeln, welche an der Spitze stärker sind als am Rande. — *Pseudodiadema Sauvagei* aus dem Portland von der Pointe à Zoie, ähnlich *Ps. baccatum,* aber mit viel kleineren Nebenwärzchen. *Hemipedina Beaugrandi,* aus oberem Portland von Alpreck, von *H. Woodwardi,* der nächstverwandten Art durch kleinere und zahlreichere Hauptstachelwarzen unterschieden, wogegen die Nebentuberkeln weniger zahlreich sind. *Cyphosoma Legayi* aus denselben Schichten von Tour Croy, wie *C. supracorallinum,* aber ohne eigentliche Secundärtuberkeln. *Leiosoma Beaugrandi,* aus dem Oolith mit *Cerithium Pellati* von Mesdia-l'Abbé, ist mit *L. rugosum* verwandt und nur durch weniger grosse Warzen und etwas zahlreichere Körnchen unterschieden. *Acrosalenia wastensis* aus den Cornbrash von le Wast soll der *Acrosalenia Loweana* Wright nahe stehen, kann aber ebensogut eine *Hemicidaris*-Art sein, da der Apicialapparat fehlt und die Abbildung keine Einbuchtung eines Interambulacralfeldes am oberen Rande zeigt. Eine Tabelle über die Verbreitung der Arten beschliesst die Abhandlung. **Dames.**

P. M. Duncan and W. P. Sladen: The fossil Echinoidea from the strata beneath the trap (*Cardita Beaumonti* Beds). (Mem. of the geol. surv. of India. Ser. XIV. Vol. I. 3. fasc. I. 1882. pag. 1—20. t. I—IV.)

Die beschriebenen Arten sind in den obercretacischen (Transition-cretaceous series) Schichten unter dem Trapp, mit *Litharaea epithecata* und *Cardita Beaumonti* gesammelt; die Localitäten sind: Jakhmari peak

im Laki range westlich von Amri und Barki nala, nördlich von Ranikot (Western Sind). Über die Schichtenfolge gibt ein Profil in der Einleitung Aufschluss. Es sind nur 4 Arten bekannt geworden, von denen eine zu *Cidaris* gehört — *Cidaris lacrymyla* nov. sp. von Jakhmari peak —, eine zweite zur Aufstellung der neuen Gattung *Plesiolampas* geführt hat, welche zunächst mit *Echinolampas* verwandt ist, jedoch von dieser durch gerade Ambulacren, durch fast gleiche Porenzonen, nahezu gleiche Poren, längsgestelltes Periproct, durch Mangel einer bestimmten Floscelle und undurchbohrte Tuberceln geschieden wird (*Pl. elongata* ist die einzige Art benannt), eine dritte als *Echinanthus pumilus* nov. sp., die vierte endlich als *Linthia Sindensis* nov. sp. aufgeführt werden. — Interessant ist namentlich *Echinanthus pumilus*, welcher viel Ähnlichkeit mit *Catopygus*, auch mit *Echinolampas* hat und eine eigenthümliche Mischung von Charakteren dieser Gattungen zeigt. Vielleicht hätte man gut gethan, die Art als neue Gattung einzuführen, denn von den echten *Echinanthus*-Arten weicht sie stark ab. — [Es verdient hervorgehoben zu werden, dass die hier dargestellte Echinidenfauna viel mehr Tertiär- als Kreidehabitus hat.]

Dames.

Cotteau: Note sur les *Echinoconus* turoniens de la carrière de Dracy (Yonne). Bull. de la soc. des sciences hist. et nat. de l'Yonne. 2 sér. t. IV. 1882. pag. 136—143. taf. I.)

Eine grössere Reihe von Exemplaren des *Echinoconus subrotundus* aus der turonen Kreide von Dracy hat gezeigt, dass zwischen dem echten *E. subrotundus* und dem sonst im Cenoman vorkommenden *Echinoconus castanea* var. rhotomagensis eine Reihe von Übergängen vorhanden ist, welche nicht mehr gestattet, diese beiden Arten getrennt zu halten; sie werden hier unter dem Namen *Echinoconus castanea* (A. Brongniart) d'Orbigny 1854 vereinigt und ihre Extreme als Varietäten (subrotunda, depressa, gurgitis, rhotomagensis) hingestellt. Verf. giebt eine ausführliche Synonymie, Beschreibung der Hauptart und ihrer Varietäten, sowie Abbildungen von den Varietäten subrotunda und rhotomagensis aus dem Turon von Dracy.

Dames.

A. Bittner: Beiträge zur Kenntniss alttertiärer Echinidenfaunen der Südalpen. (Beiträge zur Paläontologie Österreich-Ungarns von E. v. Mojsisovics u. M. Neumayr. Bd. I. 1880. 68 S. VIII. Taf.)

Die Wiener Sammlungen bewahren reiches Material von Seeigeln aus den vicentinischen und veronesischen Tertiärablagerungen, welches der Verfasser nach dem Erscheinen des bekannten Werkes von Dames (Palaeontogr. Bd. XXV) zu bestimmen unternahm. Reich an Seeigeln sind aber auch die istro-dalmatinischen älteren Tertiärbildungen und es ergab sich von selbst, dass auch was von dort in Wien sich befindet vom Verfasser zum Gegenstand der Untersuchung gemacht wurde. Dass noch nach den Arbeiten von Laubè und Dames über die vicentinischen und Taramelli (Atti del Reale Istituto Veneto 1873—74. T. III.) über die istro-dalmatinischen Seeigel

Bittner eine so reichhaltige Arbeit mit Beschreibung neuer Arten und Nachträgen zu den bekannten liefern konnte, giebt eine Vorstellung von der ausserordentlichen Entwicklung dieser Thierklasse zur Eocänzeit.

Es wird zunächst die Echinidenfaunen des istro-dalmatinischen Eocän abgehandelt, welche (mit Einschluss mancher zweifelhaften) 57 Arten umfasst. Von diesen kommen 30 Arten auch im oberitalienischen Eocän vor, darunter beinahe alle characteristischen und häufigeren Formen. *Echinolampas Luciani* Tar. ist eine Istrien eigenthümliche und bezeichnende Art.

Wir heben kurz hervor, welche Arten als neu beschrieben werden und welche zu eingehenderen Bemerkungen Veranlassung geben und wenden uns zunächst zu den istro-dalmatinischen Vorkommnissen.

Micropsis Stachei n. sp. von Vacciane bei Scardona. Wenn auch die generische Zugehörigkeit der neuen Art zu *Micropsis* nicht ganz zweifellos ist, so zeigt doch *M. biarritzensis* Cotteau dieselbe eigenthümliche Anordnung der Poren eines jeden dreizähligen Plattensystems, indem die mittlere Platte (untere Halbplatte) weiter nach innen gerückte Poren besitzt, als die beiden anliegenden Platten. Interessant ist die Beobachtung, dass nach dem Scheitel hin, bei diesem und bei anderen Seeigeln, die Porenstellung einfach wird. Man kann Übergänge von nahezu einfacher Porenstellung durch bogenförmige in solche mit mehrfachen Reihen beobachten. Die einfache Anordnung vom Scheitel darf wohl als ein geologisch älterer, embryonaler Zustand angesehen werden.

Echinanthus bathypygus n. sp. Von Nugla und Pedena. Mit *E. bufo* Lb. und *E. Pellati* Cott. verglichen.

Pygorhynchus Taramellii n. sp. Von Galignano, Nugla, Pedena und Lindaro, dem *P. Mayeri* Lor. sehr nahe stehend.

Pygorhynchus lesinensis n. sp. Von der Insel Lesina. Vielleicht sind mehrere Arten unter diesem Namen zusammengefasst. Der Periproct zeigt eine Tendenz weiter herab zu rücken, welche auch bei *Echinanthus* bebachtet wurde.

Echinolampas (Pygorhynchus) connectens n. sp. Von Urbanzi und Pedena. In Beziehung auf die Stellung des Periprocts Zwischenform zwischen *Pygorhynchus* und *Echinolampas*, so dass der Verfasser auf die schon von anderer Seite angeregte Frage der Vereinigung der beiden Gattungen zurückkommt. Er erklärt sich zunächst für Beibehaltung beider Namen, um gesonderte Entwicklungsreihen bezeichnen zu können.

Echinolampas obesus n. sp. s. unt. bei den Vicentiner Arten.

Echinolampas istrianus n. sp. Vom Cepich-See, von Bonasichi, von Pedena. Die Form ist ein Bindeglied zwischen gewissen *Pygorhynchus* und dem scheinbar weit abweichenden *Echinolampas Luciani*. *Echinolampas Luciani* Taram. Diese bei Gherdosella bei Pisino häufige, für Istrien besonders bezeichnende Art, hat eine auffallend konische an *Conoclypeus* erinnernde Gestalt und könnte desshalb mit anderen Formen vielleicht als *Conolampas* zusammengefasst werden.

Cyclaster Stacheanus Taram. sp. Häufig an mehreren istrischen Localitäten. Eine scharfe Unterscheidung dieser von Taramelli zu *Micraster*

gestellten Art von *Cycl. subquadratus* Des. sp. und *Cycl. declivus* Cott. aus dem Vicentinischen ist vor der Hand noch nicht anzugeben. Beobachtung an der Peripetalfasciole und an der Madreporenpatte lassen die innige Verbindung zwischen *Cyclaster* und *Micraster* erkennen. Erstere Gattung stellt einen schon im Eocän isolirten, noch alterthümliche cretacische Merkmale zeigenden Spatangoiden dar, dessen Madreporenplatte noch nach rechts vorn excentrisch liegt, während sie bei fast allen anderen tertiären und den recenten Spatangoiden nach hinten hinausgedrängt erscheint.

Hemiaster Corazii Tar. Von Monte Canus bei Pisino, von Gherdosella. Diese Art fällt nach dem Verf. nicht mit *Linthia verticalis* d'Arch. zusammen, wie Dames annimmt.

Schizaster princeps n. sp. Von Lesina. S. unten bei den Vicentiner Arten.

Prenaster paradoxus n. sp. Von Pedena. Gut characterisirte Art, mit anderen derselben Gattung nicht zu verwechseln.

Gualteria Orbignyana Ag. Ob diese von Taramelli angeführte Art wirklich in Istrien vorkommt, scheint nicht ganz zweifellos.

Macropneustes antecedens n. sp. Von Lesina. Dem *Macr. Meneghinii* sehr nahe stehend.

Euspatangus dalmatinus n. sp. Von Lesina. Steht *Euspatangus veronensis* Ag. sp. sehr nahe. Es scheinen überhaupt greifbare Unterschiede zwischen *Eusp. dalmatinus, veronensis* und *multituberculatus* nicht zu exstiren.

Wir wenden uns nun zu den Seeigeln des vicentinisch-veronesischen ältern Tertiär. Es waren bisher 104 Arten bekannt, durch die vorliegende Arbeit steigt die Zahl auf 124. Die Artenzahl von S. Giovanni Ilarione kommt von 29 auf 41 Arten. Wesentlich vermehrt wird besonders die Zahl der bei Verona vorkommenden Arten.

Cidaris (*Leiocidaris*) cf. *Scampicii* Taram. Vielleicht gehört zu dieser istrischen Art ein Cidarit aus den grünen Tuffen von Ciuppio, vielleicht auch von Dames zweifelnd zu *C. Sabaratensis* Cott. gezogenen Exemplare.

Leiopedina Samusi Pavay. Diese übrigens *L. Talavignesi* Cott. sehr nahe stehende Art wurde bei Priabona gefunden.

Caratomus (Pyrina?) obsoletus n. sp. Aus den grünen Tuffen von Ciuppio. Die Art gibt Veranlassung zu interessanten Betrachtungen über die Grenzen der Gattungen *Caratomus*, *Pyrina*, *Pygaulus* und etwa Jugendzustände von *Amblypygus*.

Cassidulus testudinarius Brong. Diese häufige Art wird hier zum ersten Mal genauer beschrieben und abgebildet. Der Verf. nimmt die von Brongniart zuerst in Anwendung gebrachte Gattungsbezeichnung *Cassidulus* wieder auf, während Desor dieselbe durch *Echinanthus*, Laube, Loriol und Dames durch *Nucleolites* ersetzt hatten.

Echinanthus cfr. *Delbosi* d'Arch. Aus den grünen Tuffen von Ciuppio. Stimmt vollständig mit der angezogenen Art bis auf das Fehlen der starken Interambulacralhöcker. Bittner bemerkt bei dieser Art, dass sich in jeder grösseren Veroneser Suite Übergänge zwischen den weit entfernten Formen

des deprimirten *Ech. placenta* Dam. und des hochgewölbten *Ech. tumidus* finden. Scharfe Grenzen für „gute Arten" können nicht gezogen werden.

Ilariona Damesi n. sp. Eine zweite Art des von Dames aufgestellten neuen Genus, die übrigens identisch ist mit Laube's (nicht Cotteau's) *Ech. Wrighti.* Die eigenthümliche Entwicklung des Peristoms, welche für *Ilariona* bezeichnend ist, soll übrigens nach Bittner auch bei andern Seeigeln vorkommen.

Echinolampas obesus n. sp. Von Negrar und von Verona. Mit *Ech. Montevialensis* Dam., *Ech. politus* (Desm.) Dam. und *Ech. biarritzensis* Cott. verglichen.

Echinolampas Veronensis n. sp. Dem *Echin. Stoppanianus* Tar. ähnlich, mit diesem zur Reihe des *Echin. subcylindricus* gehörig.

Echinolampas alienus n. sp. Eigenthümliche, von andern abweichende Art.

Hemiaster praeceps n. sp. Von Negrar. Vom Habitus einer *Linthia*, doch mit der Fasciole eines *Hemiaster.*

Linthia cfr. *bathyolcos* Dam. Mehrere Exemplare von S. Giovanni Ilarione und Castelrotto di Valpolicella. Bittner fasst die Art weiter als Dames, so dass die Unterschiede gegen *L. Heberti* sehr gering werden.

Linthia Ilarionis n. sp. Aus den Tuffen von S. Giovanni Ilarione. Mit *L. scarabaeus* Laube und *L. bathyolcos* Dam. nahe verwandt.

L. Trinitensis n. sp. Aus den Gombertaschichten von St. Trinita. Mit *L. (Periaster) Raulini* Cott. verglichen, verbindet Eigenthümlichkeiten von *Linthia* und *Schizaster.*

Schizaster vicinalis Ag. Verfasser bespricht die verschiedenen Deutungen, welche dieser Art widerfahren sind und weist darauf hin, dass dieselbe in ihrer jetzigen Fassung durch das ganze vicentinische Alttertiär hindurchgeht.

Schizaster Laubei n. sp. Von Laube zu *S. Studeri* gestellt, doch von dieser Art verschieden.

Schizaster princeps n. sp. Aus Schichten vom Alter der Tuffe von S. Giovanni Ilarione (im weiteren Sinne). Riesige Schizasterform, von allen häufigeren vicentinischen Arten abweichend. Dieselbe Art kommt (s. ob.) in Istrien vor.

Prenaster bericus n. sp. Unmittelbar unter den Priabonaschichten von Mossano gefunden, steht *Prenaster alpinus* nahe.

Parabrissus n. gen. Diese neue Gattung, deren einzige Art *P. pseudoprenaster* an mehreren Punkten des Priabonaniveaus gefunden wurde, hat ganz den Habitus des *Prenaster alpinus.* „Der Scheitel liegt sehr excentrisch nach vorn, die vorderen Ambulacren sind sehr divergent, perpendiculär zur Längsaxe, kaum eingesenkt, sehr lang; nur ihr hinterer Fühlergang ist entwickelt, der vordere dagegen der ganzen Länge nach vollständig obliterirt. Die hinteren Ambulacren sind wie bei *Prenaster* gestaltet, kurz, linear. Das unpaare Ambulacrum hat keine Furche und ist ganz rudimentär entwickelt. Der Apicalapparat ist compact, besitzt 4 Genitalporen und eine bis zwischen die hinteren Augentäfelchen ver-

längerte Madreporenplatte. Peristom und Periproct wie bei *Prenaster*. Fasciole ähnlich wie bei *Prenaster* verlaufend; die hintere Parthie der Peripetale und die vordere Parthie der Marginale (letztere an der Unterseite zwischen Peristom und Vorderrand durchziehend) combinirt; der rückwärtige Theil der Marginale, resp. die Laterosubanale aber fehlt, ist zum Mindesten an dem einzigen besser erhaltenen Stücke bestimmt nicht vorhanden. Auch von einer Subanalfasciole war nichts zu finden; hier stand allerdings die schlechte Erhaltung im Wege, doch ist das Vorhandensein einer solchen nicht wahrscheinlich."

Toxobrissus Lorioli n. sp. Bittner setzt zunächst die Gründe auseinander, welche ihm für eine Aufrechterhaltung der Bezeichnung *Toxobrissus* zu sprechen scheinen und beschreibt dann seine in den Tuffen von S. Giovanni Ilarione allein in guter Erhaltung vorkommende Art. Dieselbe scheint hinreichend von den bisher beschriebenen verschieden.

Lovenia (Hemipatagus) Suessi n. sp. Von der Galantiga di Montecchio maggiore. *Lovenia-* oder *Hemipatagus*-artige Formen scheinen im südalpinen älteren Tertiär verbreiteter zu sein, als man bisher annahm.

Tabellen über die Verbreitung der Seeigel im veronesisch-vicentinischen sowohl als im istrisch-dalmatinischen Tertiär sind der Arbeit beigegeben, insbesondere machen wir auf die Zusammenstellung S. 71 aufmerksam, welche die beiden Gebieten gemeinsamen Formen enthält.

Wie aus dem Wenigen, was wir von den zahlreichen interessanten Angaben und Schlussfolgerungen des Verfassers mittheilen konnten, wohl zur Genüge hervorgeht, nimmt er in der Behandlung seines Gegenstandes einen durchaus andern Standpunkt als Dames ein. Zwei so ausgezeichnete Beobachter zu ganz entgegengesetzten Resultaten besonders der Artabgrenzung bei gleichem Material gelangen zu sehen, regt zu eigenthümlichen Betrachtungen über die Methoden der Paläontologie unserer Tage an!

Benecke.

P. Herbert Carpenter: On some new or little-known Jurassic Crinoids. (Qu. Journ. Geol. Soc. Vol. XXXVIII. 1882. 29. Pl. I.)

1. The Lansdown Encrinite: *Millericrinus Prattii* Gray sp.

Im Jahre 1828 beschrieb J. E. Gray ein Crinoid aus dem Great Oolite von Lansdown bei Bath als *Encrinites (Apiocrinites) Prattii,* welches eine Stellung zwischen *A. ellipticus* und *A. rotundus* einnehmen sollte. Als Lager wurde irrthümlich der Lias angegeben. Wiederholt wurde diese interessante Form später erwähnt, so von Goldfuss, der sie als *Apiocrinus obconicus* aufführte und d'Orbigny, der sie unter Beibehaltung des Speciesnamens von Goldfuss zu seiner Gattung *Millericrinus* zog. Die genannten Autoren, sowie auch Jelly (Bath und Bristol Magazine No. 5 Jan. 1833, „The Lansdown Encrinite") machten auf nach aussen führende Öffnungen im Kelch unter der Mitte eines jeden Radials aufmerksam, welche an die von Miller bei *Apiocrinus rotundus* beobachteten erinnern sollten.

Dieses jetzt selten gewordene Crinoid zeigt eine Reihe von Eigenthümlichkeiten, welche Carpenter veranlassen nach den in verschiedenen Samm-

lungen befindlichen Stücken eine eingehende Beschreibung desselben zu geben.

Der Stiel zeigt grosse Verschiedenheit. Der längste bekannt gewordene misst 50 mm. und hat etwa 70 Glieder. Andere Stücke haben eine ganz kurze Säule und es existiren einige Exemplare deren Säule so reducirt ist, dass sie nur aus einigen flachen Gliedern besteht, welche zusammen dem Knopf einer *Comatula* gleichen, ja sogar eine schwach convexe fünfseitige Platte ohne Spur einer Durchbohrung ist gefunden. Zahlreiche Abbildungen der Arbeit gestatten einen Vergleich dieser verschiedenen Zustände der Säule. Einige *Pentacrinus*-Arten, wie der lebende *C. Wyville-Thomsoni* und nach Loriol *P. briareus* und Verwandte, sind wenigstens in einem gewissen Alter frei, behalten aber stets noch ihre Cirrhen. Unter den Comateln sind solche wie *Actinometra Jukesii*, welche im reifen Zustande keine Spur von Cirrhen mehr zeigen, den kurzen Säulen des Lansdown-Encrinite durchaus vergleichbar. Auch unter den paläozoischen Crinoideen findet sich ähnliches.

Kleine unvollkommene Glieder stehen zwischen den ausgebildeten des Stengels, wie das bei anderen Arten von *Apiocrinus* und *Millericrinus* beobachtet ist. Carpenter sieht in Übereinstimmung mit Loriol diese Glieder als in der Entwicklung begriffen an, während Quenstedt bei *Pentacrinus* von Missbildungen spricht.

Auffallend weichen die obersten Säulenglieder von einander ab. Die radial gestellten Rippen sind verschieden stark entwickelt und die Dimensionen sind verschieden. Auch ist beobachtet, dass innerhalb der obersten Säulenglieder mehrere kleinere Säulenglieder als unmittelbare Fortsetzung der unteren Glieder über einander liegen. Die äusseren Säulenglieder machen daher den Eindruck einer secundären Ablagerung. Wenig hohe, nicht ringsumlaufende oberste Säulenglieder sieht Carpenter als unentwickelte Glieder an.

Auch die Basalia können recht verschiedene Gestalt und Ausdehnung, auch an ein und demselben Individuum haben. Mitunter sind sie durch kleine intermediäre Tafeln von unregelmässiger Form getrennt, welche aussen als Höcker erscheinen. Zwischen denselben und den ersten Radialien liegen zuweilen die kleinen, oben schon erwähnten Öffnungen, welche von mehreren Autoren beobachtet und als Ovarialöffnungen gedeutet wurden. Niemals führen diese Öffnungen in die Leibeshöhle und Carpenter sieht dieselben ebenso wie die kleinen Plättchen als eine keineswegs regelmässige und jedenfalls morphologisch bedeutungslose Erscheinung an.

Die Radialia, insbesondere die steil abfallenden Gelenkflächen derselben, bedingen einen *Pentacrinus* sehr ähnlichen Habitus der Kelche. Die verschiedenen Gelenkflächen unter und über dem zweiten Radial, die ganz verschieden entwickelt sind, werden beschrieben und hervorgehoben, dass auf dem zweiten Radial, wo nur Ligamente, keine Muskeln ansassen, nur eine seitliche Bewegung möglich war. Carpenter weist in einer Note darauf hin, dass nicht wie er früher einmal geäussert hatte (Qu. Journ. Vol. XXXVII. 134) *Millericrinus* sich von *Apiocrinus* durch das Vorhandensein einer Muskel-Gelenkfläche auf dem ersten Radial unterscheide. *Apiocrinus Par-*

kinsoni und wahrscheinlich alle *Apiocrinus* hatten eine Muskel-Gelenkung zwischen den beiden ersten Radialen.

Wie bei allen anderen Neocriniden findet an den Armen die Gelenkung zwischen dem ersten und zweiten und zwischen dem zweiten und dritten Armglied durch Ligament statt.

Am meisten Ähnlichkeit besitzt *M. Prattii* mit *M. Nodotianus* Orb. und der kleinen Varietät des *M. Münsterianus*, welche Loriol neuerdings als *M. Buchianus* unterschied. Doch sind bei beiden Arten die Radialia relativ breiter und weniger steil gestellt. Auch hat *M. Nodotianus* eine Neigung auf den Artikulationsflächen petaloide Zeichnungen zu entwickeln, was an *Pentacrinus* erinnert. Sehr nahe scheint dem *M. Prattii* Quenstedt's *Pentacrinus* von Sotzenhausen aus dem Malm zu stehen. Cirrhenwirtel fehlen demselben und es wäre möglich, dass keine weitere Theilung der Arme als bis zu 10 statt fände.

Unter den *Pentacrinus*-Formen darf *P. Wyville-Thomsoni* am ersten zum Vergleich herangezogen werden. Unterschiede zeigen sich jedoch bei einer Betrachtung der Kelche von unten. Der *Pentacrinus* hat nämlich gegen *M. Prattii* eine sehr kleine Grube zur Aufnahme des obersten Säulengliedes und auf derselben zeigen sich petaloide Eindrücke.

Beinahe alle bekannten Exemplare dieser interessanten Art stammen aus dem englischen Grossoolith von Lansdown. Sie fand sich ausserdem an mehreren Punkten in Gloucestershire. Wenige Stücke wurden im Stonesfield Slate von Northleath gefunden. Von diesem ältesten Horizont scheint die Art bis in den Forest Marble zu gehen. Nach Loriol ist sie auch dem Jura des Calvados nicht fremd.

2. Zwei neue *Comatula*-Arten.

Antedon latiradiata u. sp. aus dem Grossoolith von Bradford und *Antedon calloviensis* aus dem Kelloway Rock von Sutton Benger werden zwei Arten benannt, die trotz ihres verschiedenen Lagers einander sehr nahe stehen. Beide gehören wie die meisten jurassischen *Antedon* zu einer Gruppe von Formen, welche weniger scharf von *Actinometra* geschieden sind, als die Mehrzahl der lebenden Arten. Es giebt allerdings fossile *Antedon*-Arten, welche ohne allen Zweifel zu dieser Gattung im engeren Sinne gehören, so *A. Greppini*, *A. decameros*, *A. Tessoni* und *A. scrobiculata*. Hohe Radialia und ein grosser Centrodorsalknopf zeichnet diese aus. *Actinometra württembergica* mit flachem Centrodorsalknopf, ohne Cirrhen an der dorsalen Seite und mit weitem Kelchinnern ist ebenso unzweifelhaft eine *Actinometra*. Aber Formen wie *A. Picteti* Lor., *A. infracretacea* Lor. mit niedrigen breiten Radialen und flachem unvollständig mit Cirrhen bedecktem Centrodorsalknopf nähern sich zwar sehr dem *Actinometra*-Typus, behalten aber die für *Antedon* so bezeichnenden schrägen Gelenkflächen und müssen zu dieser Gattung gestellt werden. Auch sind jurassische und cretacische Comateln gegenüber den lebenden durch ihre Grösse ausgezeichnet. — Wir müssen wegen der genauen Beschreibung der neuen Arten auf den Text und die Holzschnitte des Originals verweisen. **Benecke.**

H. Trautschold: Über den muthmasslichen Geschlechtsapparat von *Poteriocrinus multiplex* Trd. Festschrift zum 50jährigen Doctorjubiläum des Vicepräsidenten der Moskauer Gesellschaft der Naturforscher. Moskau 1882. 1 Taf.

Die bisher unter verschiedenen Bezeichnungen (Mundröhre, Afterröhre, Ventralsack, Proboscis u. s. w.) von den Paläontologen aufgeführten Theile der Ventralseite der älteren Crinoideen werden vom Verfasser einer Betrachtung unterworfen und zunächst nach der Gestalt, der Art der Plattenbedeckung, überhaupt nach äusserlichen Merkmalen in einige Abtheilungen gebracht. Diese Abtheilungen fallen nicht mit Gruppen oder Gattungen der bisherigen systematischen Versuche zusammen, auch wird dieser neuen Eintheilung nach der Proboscis u. s. w. kein schematischer Werth vindicirt.

Wie schon aus den oben angeführten Bezeichnungen erhellt, hat man den ventralen Verlängerungen der Kelchdecke sehr verschiedene Funktionen zugeschrieben. Keine der versuchten Deutungen genügt aber Trautschold und er stellt, allerdings mit Vorbehalt, die Hypothese auf, es möchte sich um ein Generationsorgan gehandelt haben.

Ausgezeichnet erhaltene Proboscis zeigten einige Exemplare des im Moskauer Kohlenkalk vorkommenden *Poteriocrinus multiplex* und die von Trautschold gegebene Beschreibung und Abbildung sind von grossem Interesse. Das Organ ist eckig, mit horizontal laufenden Erhöhungen und Poren in den Ecken. Eine spirale Drehung der Röhre ist an einigen Exemplaren zu sehen, möglicher Weise kam sie allen zu. Bei einer Untersuchung des Zweckes der Röhre wird besonderes Gewicht darauf gelegt, dass dieselbe nur einzelnen Individuen (nach der gemachten Annahme weiblichen) zukomme und dass die Poren sehr wohl Ovarialöffnungen gewesen sein könnten.

Wir müssen auf die specielleren Ausführungen des Verfassers verweisen, können aber nicht verhehlen, dass dieselben uns nicht überzeugt haben. Um nur etwas anzuführen, scheint uns zu wenig Gewicht auf die Verschiedenheit derjenigen Organe gelegt zu sein, welche Wachsmuth und Springer als Proboscis und ventrale Aussackung unterschieden. Dieselben haben doch wohl nicht dieselbe Bedeutung, wie schon durch die ganz verschiedene Lage der Öffnung (an der Basis oder am Ende) angedeutet ist. Bei aller Verschiedenheit der älteren Crinoideen von den Neocrinoideen würde man es doch gern als eine Stütze der Trautschold'schen Hypothese darin erkennen, dass bei letzteren eine gleiche Lage des Geschlechtsapparats in der Kelchdecke bekannt wäre. Hier entstehen aber die Geschlechtsstoffe an den Pinnulae, welche nebenbei bemerkt nach dem Verfasser „die Zähne der höheren Thiere vertreten und die mit ihren messerscharfen Schneiden sehr geeignet waren, selbst grössere Thiere zu zerkleinern und den Speisebrei ihrem Nahrungskanal zuzuführen.“ **Benecke.**

G. J. Hinde: Notes on fossil Calcispongiae, with Descriptions of new Species. (Ann. a. Mag. of Nat. Hist. 5 ser. Vol. X. 184. Pl. X. XI. XII.)

Eine Durchsicht der im Britischen Museum aufbewahrten fossilen Schwämme bot dem Verfasser die Veranlassung, sich näher mit den Pharetronen Zittels zu beschäftigen. Er setzt in der vorliegenden Arbeit zunächst die Schwierigkeiten auseinander, welche gerade bei diesen Formen sich einer sicheren Beurtheilung der ursprünglichen Beschaffenheit des Skeletts entgegenstellen und bespricht genau das Vorkommen und die Zusammensetzung dreier Abtheilungen der Kreide, welche die meisten solcher Pharetronen in England geliefert haben, nämlich den Lower Greensand (Farringdon in Berkshire), Upper Greensand (Warminster) und Upper Chalk (Kent und Sussex). Die ganzen Verhältnisse, sowohl die Beschaffenheit der Versteinerungen, als auch die Art und Weise des Vorkommens, ganz besonders aber, dass mit den kalkigen Pharetronen zusammen Kieselschwämme (Hexactinelliden und Litbistiden) sich finden, spricht nach Hinde dafür, dass die Pharetronen von Haus aus kalkige feste Theile hatten.

Die Warminsterschwämme sind für die Untersuchung besonders günstig, da sie sich in einem solchen zerreiblichen Zustande befinden, dass die die Faser zusammensetzenden spiculae isolirt und genau untersucht werden können. Sie liessen ausserdem an der Oberfläche eine Lage von Nadeln erkennen, welche von solchen Dimensionen sind, dass sie schon mit einer guten Lupe erkannt werden können und deren Form und Anordnung den entsprechenden Gebilden bei lebenden Calcispongien ähnlich sind.

Eingehender beschrieben und durch Abbildungen erläutert werden nur:

Verticilletes d'Orbignyi n. sp. An diesem Schwamme konnten besonders die Oberflächennadeln und jene des eigentlichen Gerüstes beobachtet werden. Die ersteren sind Drei- und Vierstrahler von verschiedener Grösse. Drei von einem Mittelpunkt ausgehende Strahlen liegen in einer Ebene; wenn ein vierter Strahl vorhanden ist, so steht dieser rechtwinklig gegen die drei Strahlen. Dieser (sog. apicale) Strahl dringt von der Wand aus rechtwinklig in den Schwamm ein. Die drei Strahlen liegen der Oberfläche parallel, ohne jedoch die Öffnungen zu überziehen. Die die Faserzüge bildenden Nadeln sind viel kleiner und sehr zart. Auch hier handelt es sich um Dreistrahler, doch erhält das ganze spicula ein schlankes, gebogenes oder fadenförmiges Ansehen, indem ein Strahl nur als kleines Knöpfchen entwickelt ist. Ohne genau parallel angeordnet zu sein, setzen diese fadenartigen Elemente, dicht aneinander gepackt, das eigentliche Gerüst zusammen. Während die Oberflächennadeln vollständig mit den entsprechenden Elementen lebender Kalkschwämme übereinstimmen, ist das mit den Skelettnadeln nicht in dem Grade der Fall.

Corynella rugosa n. sp. Vereinzelt konnten auch hier Oberflächennadeln, ausserdem Skelettnadeln erkannt werden.

Corynella socialis n. sp. Auch hier sind die Nadeln beobachtet.

Ausser den englischen wurden noch einige französische Schwämme aus der Kreide der Vaches noires untersucht, nämlich

Sestrostomella rugosa n. sp. und *Sestrostomella clavata* n. sp. Der Erhaltungszustand ist hier der Art, dass Dünnschliffe die Skelettelemente erkennen liessen. An letzterer Art wurden an dem Theil, mit dem der

Schwamm aufgesessen hat, Nadeln beobachtet, so dass also hier die Anwachsfläche Eigenschaften zeigt, welche bei den englischen Schwämmen an der ganzen Oberfläche beobachtet wurden. Interessant ist die Zusammensetzung der Faserzüge bei *Sestrostomella rugosa*, indem in der Mitte ein grösserer Drei- oder Vierstrahler liegt, dessen einer Strahl sich in der Centralaxe des Zuges erstreckt. Denselben umgeben kleinere, verschieden gestaltete, sehr dicht mit einander verfilzte Dreistrahler.

Schliesslich macht der Verfasser noch darauf aufmerksam, dass auch die Schwämme von Farringdon und Upware, wenn auch weniger deutlich dermale spiculae erkennen lassen, dass er solche ferner auch bei jurassischen Schwämmen, wie *Euclea perforata* Qu. sp. und *Eusiphonella Bronni* Gldf. aus dem Jura beobachtete und dass die Mehrzahl der Pharetronen ein solches Dermalskelett besessen haben mag. **Benecke.**

H. J. Carter: Further observations on the so-called „Farringdon Sponges" (Calcispongiae Zittel) followed by a Description of an existing Species of a like Kind. (Ann. a. Mag. of Nat. History. 5 ser. Vol. 11. p. 20. Pl. 1.)

Die vorliegende Arbeit, welche in naher Beziehung zu dem oben besprochenen Aufsatz von Hinde steht, enthält eine Menge einzelner Beobachtungen. Bemerkungen und Zweifel, welche sich in Kürze kaum wiedergeben lassen. Ein Eingehen auf die zahlreichen früheren Mittheilungen des Verfassers über Spongien würde zudem noch erforderlich sein. Wir wenden uns gleich zu der Hauptsache, dem Schluss, in welchem Carter seine volle Anerkennung den Beobachtungen Hinde's zollt und das ist ja bei der bekannten Stellung des Verfassers von besonderem Interesse. Ein recenter Schwamm aus Australischen Gewässern, der unter der Bezeichnung *Leucetta clathrata* eingeführt wird, erinnert durch den Aufbau seiner Nadeln an *Sestrostomella*. Er besitzt grosse dreiarmige spiculae, mit nieder gebogenen Strahlen, so dass einem Dreifuss ähnliche Gestalten entstehen, welche von kleinen, zahlreicheren dreiarmigen Elementen so umhüllt werden, dass nur die im Centrum stehenden Knöpfe von Aussen sichtbar bleiben.

Protosycon punctata Zittel wird als Sycone, *Verticillites* dessgleichen und *Peronella dumosa* als Leucone angesehen.

Länger verweilt Carter bei einem Farringdonschwamm, den er als *? Scyphia cylindrica* var. baculata Qu. anführt. Er sieht in demselben einen ausgestorbenen Typus, der eine Vereinigung der Structuren eines Lithistiden und eines Hexactinelliden in einem kalkigen Schwamme darstellt.

Bei *Pharetrospongia Strahani* aus dem Grünsand von Folkestone (und wohl auch gewissen Cassianer Schwämmen) nimmt der Verfasser eine ursprüngliche kieslige Beschaffenheit an und hält eine Verwandtschaft mit den Monactinelliden für wahrscheinlicher als mit den Calcispongien Zittels, welche Gruppe er nach wie vor als aus sehr verschiedenen Elementen zusammengesetzt ansieht. **Benecke.**

W. Weltner: Beiträge zur Kenntniss der Spongien. Inauguraldissertation. Freiburg i. Br. 1882.

Aus O. Schmidt's neuesten Arbeiten über die Spongien des Meerbusens von Mexiko und des caraibischen Meeres ergab sich das interessante Resultat, dass die Abtheilung der Dictyoninen auch in den heutigen Meeren in einer ansehnlichen Formenzahl vertreten ist, während man bisher gegenüber der reichen Entwicklung in der mesozoischen Zeit nur wenige der Jetztzeit angehörende Repräsentanten kannte. Im Anschluss an O. Schmidt's Arbeiten hat nun der Verfasser an dem Material der zoologischen Sammlung der Strassburger Universität Untersuchungen angestellt, welche auch für den Paläontologen von besonderer Wichtigkeit sind, weil stets auf die fossilen Formen zurückgegangen, oder vielmehr von diesen ausgegangen wurde. Es waren in erster Linie die Deckgebilde von *Cystispongia* und anderen Dictyoninen, ferner die basalen Platten lebender Dictyoninen, schliesslich die bei *Cystispongia* im Innern des Gitterskeletts bekannten Gewebskugeln, welche ins Auge gefasst wurden.

Da der Verfasser die gewonnenen Resultate am Schluss seiner Arbeit selbst zusammenfasst, so glauben wir am besten zu thun, wenn wir seine Worte anführen und zwar unverkürzt, ohne Ausscheidung des nur auf lebende Schwämme bezüglichen. Denn wenn irgendwo ein vergleichendes Studium neuer und fossiler Formen fruchtbringend gewesen ist, so war es bei den Schwämmen. Auch lehrt eine jede neue umfassendere Untersuchung, wie wir an dem zu Anfang unserer Besprechung angezogenen Beispiel sahen, dass, was wir heute für ausgestorben halten, sich morgen in unseren Meeren lebend finden kann und umgekehrt.

Das Studium der sorgfältigen Einzeldarstellung und der Vergleich der drei photographischen, vom Verfasser gezeichneten Tafeln müssen wir unseren Lesern überlassen.

Die Schlusssätze bei Weltner lauten:

„Die Decke der *Cystispongia bursa* Qu. sp. aus der Kreide ist entweder eine compacte Haut und hat keine Axenkreuze (Zittel) oder sie ist porös und mit Axenkreuzen versehen. In dem letzteren Falle wurde an ein und demselben Exemplar nachgewiesen, dass das Gitterskelett an der Bildung der Deckschicht theilnimmt, oder dass diese aus besonderen Nadelelementen aufgebaut wird, welche mit dem Gitterskelett nicht in Verbindung stehen.

Im Röhrenskelett derselben Art wurden gekrümmte Gewebsplatten aufgefunden, die vielleicht die Bruchstücke von Kugeln darstellen, wie sie bei der lebenden *Cystispongia superstes* vorkommen.

Die Decke dieser Art wurde von den zwei Originalexemplaren, nach denen Prof. Schmidt die Species aufstellte und an einem dritten Exemplar untersucht. Es ergab sich, dass auch hier die Deckschicht im Wesentlichen den gleichen Bau wie bei der fossilen *Cyst. bursa* zeigte, nämlich, dass sie gebildet wird aus dem Gitterskelett und aus an der Oberfläche des Schwammes angelegten Sechsstrahlern, welche miteinander verschmelzen und zwischen denen sich in geringerer oder grösserer Menge Kieselsubstanz ablagerte,

so dass in einem Falle eine Decke mit weitem Kanalsystem, im anderen eine poröse Kieselhaut entstand.

In den Röhren des Gitterskeletts von *Cyst. superstes* finden sich siebförmig durchlöcherte Platten, die aus miteinander verkitteten Fünfstrahlern hervorgingen, zwischen deren in einer Ebene gelegenen vier Armen sich Kieselsubstanz ansetzte.

An einer Reihe von Dictyoninen finden sich eigenthümliche Nester von Gitterwerken, zusammengesetzt aus Sechsstrahlern, welche ohne alle Ordnung zu einem Haufen miteinander verbunden waren. Diese Nester anfangs ohne bestimmte Gestalt (in der Wand von *Myliusia*) nehmen die Kugelform an *(Margaritella)*, erhalten dann eine lockere Hülle (*Scleroplegma*, *Myliusia* im Basaltheil) und führen endlich zu sphärischen Körpern mit dicker Wandung (Basaltheil von *Myliusia; Fieldingia*, *Cystispongia*).

Die kleinen, feinen Sechsstrahler, welche man an den Balken jeder lebenden Dictyonine antreffen kann, sind ursprünglich frei in der Sarcode angelegt, und es ist die Ansicht, dass junge Sechsstrahler durch Sprossung aus den gröberen Skelettelementen hervorgehen, schwerlich aufrecht zu erhalten.

Die bisher von *Myliusia* (Marshall), *Dactylocalyx* (Sollas), *Aphrocallistes* (Zittel) und *Valvulina* (Schmidt) bekannten Deckgespinnste recenter Dictyoninen finden sich auch noch an *Farrea facunda* Schm. und *Syringidium Zitteli* Schm. und sind hier, sowie bei *Aphrocallistes* genauer untersucht worden. Bei *Farrea* und *Aphrocallistes* ist dieser Überzug in ein Gastral- und Dermalskelet geschieden, während er bei *Syringidium* und *Myliusia* auf beiden Seiten den gleichen Bau besitzt. Ich habe die Vermuthung ausgesprochen, dass weitere Untersuchungen an wohlerhaltenen Dictyoninen das Vorhandensein solcher Deckgespinnste auch da ergeben würden, wo man bisher nur die feinen Nadelformen beschreiben konnte, ohne dass es möglich gewesen, ihre ursprüngliche Lage am Schwamm zu verfolgen. Vergleicht man die beschriebenen Deckgespinnste der lebenden Dictyoninen mit den von Zittel an fossilen Gattungen abgebildeten, so ergiebt sich, dass das Deckgespinnst der ausgestorbenen Formen noch in voller Erhaltung an einer Anzahl von lebenden bewahrt ist.

Im Weiteren ist eine Zusammenstellung der übrigen Deckgebilde gegeben worden. *Fieldingia*, *Cystispongia*, *Margaritella* und *Diplocadium*, dann *Scleroplegma herculeum* und *Dactylocalyx* stellenweise sind mit einer mehr oder weniger dicken Deckschicht überzogen. Ich habe mich über die Entstehung dieser Hüllen dahin ausgesprochen, dass sie aus an der Oberfläche in grosser Menge angelegten Nadelementen aufgebaut werden, welche entweder regelmässig *(Cystispongia)* nach Art eines Deckgespinnstes wie *Cypellia* oder *Farrea* oder aber unregelmässig *(Scleroplegma*, *Margaritella)* an der Aussenseite des Schwammes abgelagert wurden. Nach der Eintheilung Zittel's, welcher die Deckschichten in von Gitterskelet abhängige und unabhängige gesondert hat, gehören mit Ausnahme von *Dactylocalyx* alle diese compacteren Hüllschichten den unabhängigen an.

Von diesen Deckschichten im Sinne Zittel's, welche dem Schwamme zur

Festigung und zum Schutze dienen, habe ich diejenigen basalen Platten abtrennen zu müssen geglaubt, welche lediglich die Funktion der Anheftung an die Unterlage übernommen haben und ich habe an einer Reihe von Dictyoninen gezeigt, dass die Befestigung an einen fremden Gegenstand bei diesen Hexactinelliden durch plattige Ausbreitung des basalen Theiles zu geschehen pflegt. Ich habe dann aus der Structur dieser Platten und der Deckschichten auf ihre Entstehung zurückgeschlossen und bin zu dem Resultat gekommen, dass man berechtigt ist, zwischen den in Frage stehenden Gebilden einen Unterschied zu machen. Natürlich ist die Möglichkeit nicht ausgeschlossen, dass aus den Platten an der Basis des Schwammes Deckschichten entstehen können, wenn sich nämlich der basale Theil an den Schwamm heraufzieht, ähnlich wie bei den fossilen *Pleurope* und *Diplodictyon*, bei welchen die Decke des Schwammkörpers und das Wurzelgewebe des Fusstheiles eine gleiche Structur besitzen.

Die beiden neu beschriebenen Spongien sind *Stelletta transiens* und *Tribrachion Schmidtii*. Die erstere gehört der *Stelletta*-Reihe an, welche die Geodien mit den Pachastrellen verbindet; die andere ist eine Tetractinellide ohne den characteristischen Vierstrahler und mit nur zwei Nadelformen, grossen Dreistrahlern und mikroskopischen kleinen, den Walzen oder Spiralstamm angehörigen Elementen."

Möge ein günstiges Geschick es unserem jungen Freunde möglich machen, nach diesem trefflichen Anfang auch fernerhin wissenschaftlichen Untersuchungen seine Kräfte zu widmen. **Benecke.**

Munier-Chalmas: Caractères des Miliolidae, sur le genre *Barroisia*. (Bull. soc. géol. de France. 3 série. t. X. p. 424.)

Verf. gibt hier die Diagnosen dreier Foraminiferengattungen, welche der Gruppe der Miliolidae trematophorae angehören, es sind das:

Trillina Mun. Ch., 1882.
Pentellina Mun. Ch., 1882.
Schlumbergerina Mun. Ch., 1882.

In derselben Notiz folgt die Charakteristik einer neuen Gattung *Barroisia* (*Tubipora anastomosans* Mant.) aus der Gruppe der Pharetronen.

Es ist diese *Barroisia anastomosans* Mant. sp. in neuester Zeit von Dr. Steinmann* abgebildet und die Gattung näher besprochen worden.

W. Kilian.

A. G. Nathorst: Om aftryck af Medusor i Sveriges Kambriska lager. (Kgl. Svenska Vet.-Ak. Handl. Bd. 19. No. 1. 1881. p. 1—34. Taf. I—VI.)

Es werden die eigenthümlichen Körper aus den untercambrischen Sandsteinen von Lugnaas einer erneuten Untersuchung unterzogen, welche Torell 1870 zuerst *Spatangopsis costata*, dann Linnarsson *Agelacrinus?*

* Siehe dieses Jahrbuch 1882, II, p. 163.

Lindströmi, und andere, welche Torell *Protolyellia princeps* und Linnarsson *Astylospongia radiata* genannt hatten. Verf. kommt zu dem Resultat, dass diese Körper Abdrücke von Medusen seien. Er hatte am Strande des Sundes lebende Aurelien gesehen, deren Unterseite ganz ähnliche Abdrücke hervorgerufen hatte, wie die *Spatangopsis* Formen darstellen und namentlich war die Ähnlichkeit von Gypsabgüssen dieser *Aurelia*-Eindrücke mit *Spatangopsis* in die Augen springend. Ausser solchen *Aurelia*-Eindrücken wurden solche von *Cyanea capillata* ausgegossen und auf diese Weise Vertreter der beiden Haeckel'schen Gruppen der Acraspedota und der Craspedota beobachtet. Das, was nun gewöhnlich von *Spatangopsis* erhalten ist, stellt fünf- (seltener vier-) seitige Pyramiden dar mit polsterartiger Basis. Die Kanten der Pyramiden sind mehr oder minder vorspringende Leisten und die Seiten sind oft am Grunde aufgeschwollen. Denkt man sich nun in die Mundöffnung einer *Aurelia* und in die Geschlechtshöhlen Sandmasse eindringend, so entstehen solche Pyramiden, wie sie *Spatangopsis* darstellt. Verf. beobachtete auch Exemplare, die in der Mitte einer flachen schüsselartigen Vertiefung lagen, welche als Abdruck des Gallertschirmes anzusehen ist. In letzterem Falle setzen die Kanten der Pyramide auch auf gewisse Erstreckung auf dieser Vertiefung fort, als Ausfüllung der zum Munde führenden Rinnen. Freilich ist bei den lebenden Medusen die Vierzahl vorwaltend, bei *Spatangopsis* die Fünfzahl; es wird aber der Nachweis geführt, dass auch letztere bei *Aurelia* durchaus nicht ausgeschlossen ist. Der Unterschied liegt nur darin, dass bei *Aurelia* u. A. die Vierzahl, bei *Spatangopsis* die Fünfzahl vorwaltet. — In ganz gleicher Weise entstehen nun Formen, wie *Astylospongia radiata* und *Protolyellia princeps*, wenn man die Magenhöhle einer Craspedoten-Meduse sich ausgegossen denkt, resp. künstlich ausgiesst, wie das an *Cyanea capillata* geschah. — Es ist hier das wesentlichste in dem Gang der Nathorst'schen Erörterungen herausgehoben, in Bezug auf die Beweisführung ist auf die Abhandlung und namentlich auf die sehr beweiskräftigen photographischen Abbildungen zu verweisen. — Da Linnarsson unter seiner *Astylospongia radiata* zwei verschiedene Formen begriffen hatte, welche Verf. in zwei Arten trennt, so ergeben sich für die cambrischen Sandsteine von Lugnaas drei verschiedene Medusenarten, welche sich folgendermassen gruppiren lassen:

I. Acraspedota.

1) *Medusites radiatus* Linnarsson sp.
Astylospongia radiata Linn. (ex parte).

2) *Medusites favosus* nov. sp.
Protolyellia princeps Torell.
Astylospongia radiata Linn. (ex parte).

II. Craspedota.

Medusites Lindströmi Linnarsson sp.
Spantangopsis costata Torell.
Agelacrinus? Lindströmi Linnarsson.

Von diesen gehört die erste Art wahrscheinlich zur Familie der Aequoridea, die zweite zu der der Cyanidea.

Medusites radiatus hat eine scheibenförmige Umbrella von 40—60 mm Durchmesser und eine Mundöffnung, wie *Aequorea* oder *Meronema,* welche ungefähr die Hälfte des Körperdurchschnitts einnimmt; Radialkanäle zahlreich, ungefähr 130—150, einfach (oder manchmal gegen den Rand verzweigt); die Gonaden perlschnurähnlich, längs der ganzen Unterseite der Radialkanäle.

Medusites favosus. Zirkelrunde Magenhöhle, deren von der Unterseite der Umbrella begrenzte Decke durch schmale Furchen in unregelmässig-polygonale Felder eingetheilt ist. Der Durchmesser der Magenhöhle ist gewöhnlich ungefähr 35—40 mm, doch kommen auch grössere und kleinere Exemplare vor.

Medusites Lindströmi. Magenhöhlen pyramidenförmig, mit vierkantiger, gerundet fünfkantiger oder runder Basis, scharf ausgeprägten Rinnen auf den Seiten; von der Mitte der Umbrella-Unterseite reicht ein kleiner runder Zapfen in die Magenhöhle. Die Mundöffnung pyramidenähnlich, vier- oder fünfkantig, die Arme wenigstens der jungen Exemplare mit längslaufenden offnen Rinnen, unverzweigt (?). Anscheinend lange Tentakeln. — Weiter bespricht Verf. *Spiroscolea spiralis* Torell, welchen er als Abdrücke resp. Ausgüsse von Medusententakeln anzusehen geneigt ist. Experimentell ist wegen Mangels an geeignetem Material (es gehören dazu Medusen mit besonders dicken Tentakeln, wie *Periphylla hyacinthina*) ein Beweis nicht zu liefern gewesen. — Es ist besonders wichtig, dass unter diesen cambrischen Medusen schon mit einer an Gewissheit grenzenden Wahrscheinlichkeit die beiden Abtheilungen der Craspedoten und Acraspedoten vertreten waren, welche auch in den Solenhofener Funden erkannt worden sind. — Es sind die geistvoll und durchaus überzeugend mitgetheilten Beobachtungen von einschneidender Wichtigkeit für die Beurtheilung der Stammesgeschichte der Hydrozoen und namentlich auch ein Warnruf gegen voreiliges Aufstellen von Stammbäumen. — In einem Anhang theilt Verfasser eine Beobachtung Moseley's mit, welcher auf Jamaica zahlreiche Medusen gesehen hatte, welche am Strande auf dem Rücken liegend die Tentakeln in die Höhe streckten und so ein einer Actinie sehr ähnliches Aussehen bekamen *(Polyclonia frondosa).* Agassiz fügte hinzu, dass sie auch auf dem flachen Meeresboden sich kriechend bewegen. Verf. sagt nun: Angenommen, dass auch *Medusites Lindströmi* eine ähnliche Lebensweise besass, so kann es kaum noch zweifelhaft sein, dass *Eophyton* die Spuren der auf dem Schlamm kriechenden Thiere darstellt. **Dames.**

Leo Lesquereux: Description of the coal flora of the carboniferous formation in Pennsylvania and throughout the United States. Vol. I u. II des Textes in einem Bande datirt von 1880, Atlas (1879) mit 87 Tafeln und 2 Tafeln im Textband. Harrisburg.

Lesquereux, seit 1848 in Amerika, hat die Bearbeitung der fossilen Pflanzen Amerika's übernommen und 1853 mit derjenigen der Steinkohlenformation von Pennsylvanien begonnen (s. Lesquereux, new spec. of foss.

plants from the Coal fields of Penns. in Bostons Journ. vol. VI. 1854, sowie Desselben foss. plants of the Coal strata of Pennsylvania, in Roger's Geol. of Penns. 1858). Er hat diese Arbeiten bis jetzt fortgesetzt und uns durch Untersuchungen bereichert, welche sich über Kentucky, Indiana, Illinois, Arkansas, Mississippi, Alabama, Californien ausdehnen. Jetzt ist eine zweite ausführliche Untersuchung der Steinkohlenflora von Pennsylvanien gefolgt, verbunden mit derjenigen der andern Staaten der Union, sowie des sogenannten Devonischen Gebirges. 110 neue Species wurden in seiner ersten Arbeit 1853 aufgestellt, seitdem ist diese Zahl in 26 Jahren auf 350 gestiegen und die Zahl sämmtlicher im vorliegenden Werke beschriebener Arten überhaupt bis über 600. — Der Textband ist durch verspätete Ausgabe erst kürzlich in unsere Hände gelangt, daher das Werk nicht früher besprochen werden konnte. Sein Haupttheil ist der systematischen Beschreibung der Pflanzenreste gewidmet (S. 1—599), darauf folgen mehrere Kapitel allgemeiner Betrachtungen (S. 601—684). Zahlreiche Arten werden beschrieben und sehr viele abgebildet, doch fehlen nicht selten bei neuen Species die Abbildungen. Die Floren, welche hier zur Darstellung gelangten, begrenzt Lesquereux nach oben hin durch jene anderen Floren, welche 100—200 Fuss über der Pittsburg-Kohle beginnt und von White und Fontaine (s. Jahrb. 1880. II. -405-) behandelt worden sind. — Lesquereux gibt folgende Darstellung*.

Zellen-Kryptogamen. Fungi: Rhizomorpha; Thalassophyta: *Taonurus, Palaeophycus, Asterophycus* n. g., *Conostichus* n. g.; zusammen 12 Arten, zum Theil problematische Körper.

Gefäss-Kryptogamen. Calamariae. *Calamites* (von Stufe III an) mit 12 Arten, 10 europäisch, 1 neu. Darunter sollen sich *C. gigas* und *major* befinden (in Stufe VI). — *Bornia radiata* Lx. (Stufe I—VI), jedoch gehört das abgebildete Stück nicht hierher. *Calamodendron*? sp. ist ein Calamit aus der Gruppe *varians* Stufe VI. 2. — *Asterophyllites* mit 9, *Annularia* mit 8, *Sphenophyllum* mit 8 Arten. *Ann. longifolia* ist zum Theil (t. II. fig. 1) zu *radiata* zu stellen. Alle 3 Gattungen von Stufe III an. — *Calamostachys* n. sp., *Macrostachya* 1 Art. — *Equisetites* n. sp. — *Trochophyllum* n. g., 2 Arten, Gliederung nur durch die Blattnarben angedeutet.

Farne. *Neuropteris* mit 44 Arten (*N. tenuifolia* von Stufe II an, die übrigen von III an oder später), welche in 4 Sectionen gebracht werden: Cyclopteris, Nephropteris, Euneuropteris, Pachydermata, Anomala. Solche mit gefransten Blättern sind auch in Deutschland und der Schweiz bekannt geworden. — *Odontopteris* (von Stufe III an) mit 18 Arten, darunter als *O. Schlotheimi* (IV u. V) und *Brardi* (III u. V), Reste, die sicher andern Arten angehören, dagegen *O. alata* Lx. (IV) sehr nahe *Reichiana* oder *Brardi*. — *Lesleya* n. g., vom Charakter einer *Glossopteris*, jedoch

* Die beigesetzten römischen Ziffern zeigen die Stufe des Vorkommens nach der weiter unten mitgetheilten Gliederung Lesquereux's an. Wo bei den Resten nichts angegeben, ist das Vorkommen in Stufe V und VI.

nicht netzförmige Nerven, 1 Art (Stufe III). — *Dictyopteris* (von III an), 3 Arten. — *Megalopteris* Daws. [= *Danaeopsis* Heer], 8 Arten, nur Stufe III. — *Taeniopteris* (III), *Neriopteris* (IV), je 1 Art. — *Orthogoniopteris*, den beiden vorhergehenden und *Angiopteridium* verwandt, 2 Arten, Stufe III. — *Danaeites* 2 Arten, wovon *D. Emmersoni* n. sp. (VI) sehr dem *Callipteridium Sullivanti* (V—VI. 2), dagegen *D. macrophyllus* (IV) einer *Taeniopteris* gleicht. — *Idiophyllum* n. g. ein Blatt, welches ganz den Schein einer Dicotyledone besitzt.

Alethopteriden sind 4 Gattungen. Die schöne *Lescuropteris* in 2 Arten. *Callipteridium* (von III an), 11 Arten, wovon *C. Pardeei* n. sp. (V) in dem einen t. 26 fig. 3 abgebildeten Stück stark an *C. mirabile* Rost sp. erinnert, sowie *C. inaequale* und *Mansfieldi* z. Th. (beide in VI. 2) an *C. Regina* und *gigas*; endlich auch *C. Oweni* (in III) an *C. plebejum*. — *Alethopteris* (in II—VI) mit 12 Arten, darunter *Serli*, *lonchitica*, *aquilina* (nicht abgeb.), *A. Helenae* von Stufe II—IV. — *Protoblechnum* n. g. (Stufe III).

Pseudopecopteris n. g. (von Stufe II an) mit 29 Arten, die in Sectionen Gleichenites und Dicksonionidae untergebracht sind, ist dasselbe Genus, das Stur *Diplotmema* nennt, enthält auch viele Sphenopteriden; hier finden sich *Pecopteris nervosa* und *muricata* nebst *Sphenopteris latifolia* und *acuta* (Zeiller's *Mariopteris*), die ersten 3 in II, V, VI, die letzte nur in II angegeben. Auch *Pecopteris Pluckeneti* figurirt hier, allerdings in 2 mit europäischen nicht identen Stücken; sodann *Neuropteris cordato-ovata* Weiss, wohl übereinstimmend mit der aus Ottweiler Schichten aufgestellten Art, obschon in Amerika älter (Stufe III u. V); auch *Sphenopt. irregularis* (VI). Andere Arten des Stur'schen *Diplotmema* werden anderwärts untergestellt.

Pecopteris bleibt noch immer eine umfangreiche Gattung von 45 Arten, worunter sich wohlbekannte Namen finden; zunächst Goniopteriden: *P. unita*, *emarginata*, *arguta*; dann *Cyatheites*: *P. arborescens* (der Fructification nach ein *Asterocarpus*), *oreopteridia*, *pennaeformis*, *dentata* (etwas abweichend), *Cisti*, *Miltoni* [?], *abbreviata*; dann Villose: Typus *villosa* (nicht abgebildet); endlich Cristate: *P. erosa* und *cristata* (VI) [wenigstens deren Typus entsprechend], *angustissima*, *(Sphenopteris) lyratifolia* (VI. 1) [nicht Göpp., sondern neu, obere bituminöse Kohlen von Mazon Creek]. Viele der genannten Arten sind in Europa für oberste Stufe der Steinkohlenformation oder Ottweiler Schichten bezeichnend. Manche andere bekannte Arten sind nicht abgebildet; einige beschriebene haben schöne Fructification, die bei den einzelnen Vertretern ganz verschieden ist und nicht zur Gruppirung in Gattungen gedient hat. — *Oligocarpia* 3 Arten (von III an). —

Sphenopteris, 29 Arten, davon 1 in Stufe II, 13 in III, 10 in V, 20 in VI; von bekannten zu nennen: Pecopteroide: *S. chaerophylloides* (in V, VI), *cristata* (in III, V, VI) [beide nicht abgeb.], *subalata* (in VI); eigentliche Sphenopteriden: *S. Gravenhorsti* (nicht abgeb.); Hymenophylliten: *S. spinosa* (in VI), *furcata* (in VI), *quercifolia* (in III) [diese 3 nicht

abgebildet], *tridactylites* in (III, V, VI), *elegans* Brongn. (in III u. VI?) [die abgebildete ist nicht diese Art, vielleicht *divaricata*], *Larischi* Stur (in III) [kleines Bruchstück, etwas abweichend], *Höninghausi* [?] (in III), *flaccida* Crépin (nicht abgeb., Devon. in Belgien, in Amerika im Vespertine od. Stufe II mit *Archaeopteris hibernica*). —

Eremopteris 8 Arten, meist in III, darunter *artemisiaefolia* und *Asplenites elegans* Ett. (beide in Stufe III u. VI angegeben). — *Adiantites*, zusammengesetzt aus *Triphyllopteris* (1 Art in II) und *Archaeopteris* (7 Arten in I—III); mit *A. Bockschiana* Göpp. sp. (in III). — *Crematopteris* (nicht abgebildet) und *Pachypteris* [?] (je 1 Art in VI). — *Rhacophyllum* mit 25 Arten, davon *Rh. truncatum* n. sp. sehr ähnlich der devonischen *Cyclopteris Browni* Daws., im Vespertine (= II), dann 2 in III, die meisten in VI. — *Sorocladus* n. g., 5 Arten, früher als *Staphylopteris* (nicht Presl) aufgeführt, fructificirende Farne. — *Rhachiopteris* 7 Arten (5 in I), Wedelstiele. — *Stigmarioides* 5 Arten (in VI), Farn-Rhizome, die Schimper *Rhizomopteris* nannte, übrigens auch *Cyclostigma* vergleichbar.

Farnstämme: *Stemmatopteris* 12 Arten, *Caulopteris* 8 Arten (3 in I, die andern in V u. VI), *Megaphytum* 4 Arten, auch *Psaronius* (in VI).

Lycopodiaceae. *Lycopodites* mit 10 Arten, davon 3 in Stufe I, die andern in VI. — *Lepidodendron* mit 41 Arten, zeigt 4 in Stufe I, 2 in II, 13 in III, 2 in IV, 19 in V, 20 in VI, davon nur *L. Sternbergi* (in III, V, VI) mit Stamm, Blättern und Früchten bekannt; *L. Brittsii* n. sp. ähnlich *Volkmannianum*, aber in den oberen, bituminösen Kohlenschichten (= Stufe VI); *L. Veltheimianum* (in III, IV, V), den Abbildungen nach selbst mit keiner der von Stur beschriebenen Formen übereinstimmend; *L. squamiferum* n. sp. (in III, wohl *Lycopodites* cf. *leptostachys* Goldb.). 31 Arten sind nur nach Polstern und Blattnarben aufgestellt, darunter nur 5, die auch in Europa als Arten gezählt worden sind. In Lx.'s Gruppen steht die Narbe entweder ganz an der Spitze oder im obern Drittel des Polsters. Es ist eine ausgedehnte Unterscheidung der Arten eingeführt, einige davon mögen zu Lepidophloios gehören. — *Ulodendron* 6 Arten (3 von Stufe III an). L. plaidirt für die Selbständigkeit der Gattung. — *Knorria* nur *imbricata* Steg. (in III u. V). — *Halonia* 6 Arten (von III an). — *Lepidophloios* incl. *Lomatophloios*, 8 Arten und 1 Fruchtzapfen (von Stufe III an, in V fraglich, in VI die meisten). — *Cyclostigma* und *Dechenia* je 1 Art (Stufe nicht feststehend). — *Lepidostrobus* 22 und *Lepidophyllum* 12 Arten (ausser 4 Arten nur in V u. VI). — *Lepidocystis* n. g. mit 8 Arten (meist IV—VI), soll Sporenkapseln von sehr ungewisser Stellung sein. — *Sporocystis planus* n. g. et sp. (in IV), Anhäufung von Macrosporen meist ohne Hülle. —

Nicht sicher zu den Lycopodiaceen zu stellen sind *Psilophyton*, wovon nur *Ps. princeps* Daws. (in Stufe II) aufgeführt wird. — *Leptophloeum rhombicum* Daws. (in II). — *Taeniophyllum* Lx. mit 3 Arten (in VI. 2), ist *Cordaites* ähnlich, hat breit lineale, am Stamm herablaufende Blätter ohne parallele Nerven, soll nach der Fructification zu den Lycopodiaceen gehören, nämlich Isoëtesartige Sporenkapseln in den Blättern tragen.

Sigillariae: 50 Arten (vorwiegend in Stufe V), theilen sich in 1) Leiodermariae mit 12 Arten (davon 1 in St. III, 9 in V, 5 in VI). *S. monostigma* Lx. soll von *rimosa* Goldb., ebenso *fissa* Lx. (in V) von *denudata* Göpp. durch ein statt 3 Gefässnärbchen verschieden sein [Erhaltungszustand?]; 4 sind auch europäisch. 2) Clathrariae (Cancellatae) nur 3 Arten: *Brardi, Menardi, Serli* Brongn. (letzte nur in V), die 2 letzten nicht abgebildet, die erstere zum Theil recht abweichend. 3) *Rhytidolepis* liefert 29 Arten (2 schon in III, 3 in IV, 23 in V und 6? in VI): A) mit sehr genäherten Blattnarben: darunter einige bekannte Namen, wie *tessellata* (V, VI), *hexagona* (VI), *mamillaris* (III u. V), jedoch von den durch Brongniart so benannten total verschieden. B u. C) Narben mehr oder weniger entfernt, mit Seitenecken: aufgeführt z. B. *S. notata*, *cuspidata*, *orbicularis* (diese 3 nicht abgebildet, in V auftretend) und 8 amerikanische Arten. D) Narben gerundet, ohne Seitenecken: *Voltzi* (in V), *Sillimanni* (in V), *elliptica* (in IV—VI), *Cortei* (in V) und 3 neue Arten. E) Narben auf sehr breiten Rippen, diese z. Th. in 3 Felder getheilt: *S. rugosa* (in V, nicht abgeb.), *laevigata* (in V), *reniformis, acuminata* Newb. (in IV), 2 neue. Endlich 4) *Syringodendron* mit 6 Arten, davon 2 in I, 3 in V und 3 in VI.

Didymophyllum 2 Arten (in I u. VI). — *Stigmaria* ist für Lx. eine selbständige Gattung, von der er 4 Arten aufstellt. — *Sigillarioides radicans* Lx. (in VI), Wurzeln mit stigmarienähnlichen Blättern und sigillarienähnlichen rhombischen Blattnarben. — *Pinnularia*, deren früher von Lx. aufgestellte Arten mit Recht nicht wieder abgehandelt werden. — *Spirangium* 4 Arten (3 in Stufe VI), bleibt unbekannter Stellung.

Nöggerathiae. Zu ihnen gesellt sich die Gattung *Whittleseya* Newb. (3 Arten in III u. IV), die sich einigermaassen mit *Nöggerathia flabellata* L. H. vergleichen lässt.

Cordaiteae: 16 Arten (3 schon in I, 1 in III, die andern in V u. VI), darunter ist *C. borassifolius* Lx., wohl = *C. principalis*. — *Cordaianthus*, *Cordaicarpus (Carpolites)* und *Cordaistrobus* zählen 8 Arten (besonders in VI. 2). — *Dicranophyllum* 2 Arten (in VI. 2). — *Desmiophyllum* 1 Art (in VI. 2), mit einiger Verwandtschaft zu *Nematophyllum* White, einer colossalen *Annularia* ähnelnd. — *Lepidoxylon* (*anomalum* = *Schizopteris* an. Brongn.?) in VI. 2.

Von Früchten und Samen werden bekannt *Cardiocarpus* mit 25 (1 bereits in III), *Rhabdocarpus* 14 (3 in III) (darunter *Rh. insignis* Lx. (in V. 2) so nahe dem *Carpolites insignis* C. Feistm., s. dies. Jahrb. 1882, II, -309- aus böhm. Rothliegendem, dass man beide für dasselbe halten darf), *Trigonocarpus* 15 (3 schon in III), *Carpolites* 11 Arten (von IV an).

Eine Reihe Kapitel allgemeineren Inhalts beschliesst das Werk. Nächst einer Schilderung des Charakters der Steinkohlenflora und deren Stellung zur „Ökonomie der Welt“ ist das wichtigste zweite Kapitel „über die geographische und stratigraphische Verbreitung der Pflanzen der Steinkohlenformation“ hervorzuheben. Wir erhalten hier folgenden Überblick.

Die Kohlenlager der Vereinigten Staaten umfassen ein Areal von etwa 190 000 (engl.) Quadratmeilen und theilen sich von Osten her in 6 Felder:

a) Die Anthracit-Area von 1) Rhode Island und Massachusetts, 2) Schuylkill, Lehigh und Nordarm des Susquehanna im östlichen Pennsylvanien. Diese letzteren bezeichnen 3 Anthracitfelder von etwa 1000 Quadratmeilen, gegenwärtig das wichtigste Kohlengebiet der Welt sowohl bezüglich der Mächtigkeit der Flötze, als der Qualität der Kohle.

b) Das Appalachische Gebiet bituminöser Kohlen von West-Pennsylvanien, Ost-Ohio, West-Maryland, West-Virginia, Ost-Kentucky, Ost-Tennessee und Nord-Alabama, mit nahe 48 000 Quadratmeilen.

c) Bituminöse Kohlen von Illinois mit dem Westrande von Indiana und einem Theile von West-Kentucky, auf 47 200 Quadratmeilen geschätzt.

d) Bituminöse Kohlen von Jowa mit Theilen von Missouri, Kansas und Nebraska, auf 52 650 Quadratmeilen geschätzt.

e) Bituminöse Kohlen von Michigan, 6700 Quadratmeilen.

f) West-Arkansas, etwa 10 000 Quadratmeilen.

Das Vorkommen der Kohlen in den verschiedenen Stufen der Formationen ergiebt sich aus der folgenden, von Lx. angenommenen Gliederung. Von schwachen kohligen Ausscheidungen in der Hudson-River-Formation nahe der Basis des Silur abgesehen, findet sich das erste wirkliche Kohlenflötz in Stufe

I. Mittel-Devon der Chemunggruppe, im mittleren Pennsylvanien, nur an einer Localität und ohne Pflanzenreste zu liefern. Aus dem zum Ober-Devon gestellten nächstfolgenden rothen Catskill-Sandstein ist nur *Archaeopteris minor* in Nord-Pennsylvanien bekannt, auch das problematische *Dictyophyton*. Hierauf folgt

II. der Pocono-Sandstein (Vespertine-Formation), im untern Theile Schiefer und dicke, manchmal conglomeratische Sandsteinbänke. Im mittlern Theile sind in Mittel-Penn'a 19 Kohlenflötze bekannt, aber keines über 1′ dick; in Penn'a, Perry county, ist eins von 4′ aufgeschlossen, Hunderte von Fussen unter dem Mauch-Chunk-Schiefer; in Virginien, Montgomery county, 4—8″ dick, aber meist doch schwache Flötze. Im Westen ist Pocono-Formation nicht bekannt oder es sind Kalksteinlager statt dessen, so in Illinois (dies nach Andern Chemung).

III. Mauch-Chunk = Rothe Schieferformation (Umbral), sehr veränderlich in Mächtigkeit und Zusammensetzung: rothe Schiefer in Ost-Pennsylvanien, Kalkstein in den südlichen und westlichen Staaten, wird als Subconglomerat bezeichnet, führt Kohle in West-Virginien (an der Basis hier Kalkstein mit *Pentremites*), auch in Tennessee. In Arkansas liegen alle Kohlen unter einem 40 bis über 1000′ mächtigen Conglomerate. Hierher gehört die (Archimedes und Pentremites führende) Chester- und St. Louis-Kalksteingruppe von Illinois, Indiana und Kentucky, auch mit einigen bauwürdigen Flötzen versehen.

IV. Die Pottsville-Conglomerat-Gruppe (= Millstone grit in England) bezeichnet in Pennsylvanien 1000′ mächtige grobe Sandsteine, die bei Shamokin 4 bedeutende Kohlenlager führen, geringere in Maryland und im Westen und Süden ungenügend bekannt. In Illinois ist das Conglomerat theilweise auf 6′ Dicke reducirt, in Indiana 20—100′ m. In Kentucky,

Ohio und Pennsylvanien ist es in 2 Abtheilungen getheilt, zwischen welchen Kohle vorkommt.

Was in diesem Conglomerate selbst (Inter-conglomerate bei Lx.) oder wenige hundert Fuss darunter liegt, wird als Sub-Carboniferous bezeichnet; erst über dem Pottsville-Conglomerat beginnt das eigentliche productive Kohlengebirge (Carboniferous), in welchem man die 2 Stufen der anthracitischen und bituminösen Kohlen zu unterscheiden hat. Es wird

V. in den Anthracit-Kohlenfeldern Pennsylvaniens durch 1400′ m. Schichten mit 12—14 meist gebauten (2—29′ m.) Kohlenflötzen repräsentirt. Die verschiedenen Horizonte werden durch die Flötze A bis G (von unten an gezählt) und M bezeichnet und in einer Tabelle in 4 Gruppen gebracht: 1) Flötze A, B, C, 2) Flötze D, E, F, 3) Flötze Go, G, 4) oberer Anthracit, Flötz M. — Die Rhode-Island-Kohlen und andere sind mit diesen noch nicht identificirt worden.

VI. Die bituminösen Kohlenschichten werden in Pennsylvanien so eingetheilt: 1) Untere productive Kohlenschichten, 3—400′ m., mit 9—10 Kohlenflötzen, von denen 5 bauwürdig sind. 2) Untere Barren- (flötzarme) Schichten, etwa 600′ m. mit 6—7 Flötzen unreiner schwacher Kohle, Einlagerungen von Kalkstein, rothem Schiefer und Sandstein. In Sommerset-county, Penn'a, bauwürdige Kohlen. 3) Obere productive Kohlenschichten, 4—500′ m., bis zum Waynesburg-Sandstein reichend, mit 5 Kohlenflötzen von 1—15′ Mächtigkeit. In diese Abtheilung fällt die mächtige Kalksteinbildung des Upper Coal Measures. 4) Obere Barren-Schichten mit 2 Gruppen: a) Washington County-Gruppe, 150—450′ m., vom Waynesburg-Sandstein bis zum Washington-Kalkstein und b) Green County-Gruppe, bis etwa 800′ m., bis zu den obersten Schichten an der Oberfläche in Südwest-Pennsylvanien.

Die Permo-Carbon-Formation in SW.-Pennsylvanien und W.-Virginien. Es wird wahrscheinlich, dass der Waynesburg-Sandstein das Analogon der conglomeratischen Basis des permischen Systems in andern Theilen der Welt ist; dass der rothe Schiefer höher hinauf die rothen permischen Schichten repräsentirt; und dass die zahlreichen Kalksteinlager in den Gruppen VI, 4 a u. b bis zu gewisser Ausdehnung den Zechstein in Europa repräsentirt. [?] — Noch folgen einige Bemerkungen über S.-Virginien, Tennessee, Ohio, Illinois, Kentucky, Indiana und Missouri. — Eine Tabelle über die Verbreitung der beschriebenen Pflanzen in den hier eingeführten Stufen beschliesst das Kapitel und es ist auch in derselben das Vorkommen der in Europa bekannten Arten ersichtlich gemacht.

In Kapitel IV wird dieser letztere uns sehr interessirende Punkt besonders behandelt. Nach Annahme Lesquereux' und wenn man in der Tabelle 6 vergessene gemeinsame Arten hinzufügt, so würden, von 2 zweifelhaften abgesehen, 195 Arten in beiden Welttheilen übereinstimmen, während jedoch mehr als die doppelte Anzahl ausschliesslich amerikanisch wäre. Noch niedriger würde jene Quote der gleichen Arten sich stellen, wenn wir den schon gelegentlich ausgesprochenen Zweifeln an der wirklichen Überein-

stimmung einer Reihe von Species Raum geben; vielleicht freilich würde in einzelnen andern Fällen der Ausfall sich wieder durch Formen compensiren, die als selbständig beschrieben sich doch unter bekannte europäische Arten unterbringen liessen. Immerhin bleibt eine beträchtliche Anzahl eigenthümlicher Arten für den westlichen grossen Continent übrig. Hier das Wichtigste.

Von Calamarien erscheinen 27 europäische Arten unter 44 aufgeführten, sie zeigen den grössten Antheil an gleichen, kosmopolitischen Arten, vielleicht auch desshalb, weil wir aus Europa mehr kennen als aus Amerika. Unter den Filices gestaltet sich die Übersicht so, dass aufweisen

Neuropteris	15	gleiche	unter	44	Arten
Odontopteris	2—3	„	„	18	„
Dictyopteris	1	„	„	3	„
Alethopteris	4	„	„	12	„
Pseudopecopteris (*Diplotmema*)	12	„	„	29	„
Pecopteris	25	„	„	45	„
Oligocarpia	1	„	„	3	„
Sphenopteris	16	„	„	29	„
Eremopteris	2	„	„	8	„
Archaeopteris	2	„	„	7	„
Rhacophyllum	4	„	„	25	„
Stemmatopteris	1	„	„	12	„
Caulopteris	1	„	„	8	„
Megaphytum	1	„	„	4	„

Ausserdem sind die Gattungen *Taeniopteris*, *Callipteridium*, *Triphyllopteris*, *Rhachiopteris*, *Psaronius* als gemeinsame für Europa und Amerika zu nennen, ohne dass jedoch idente Arten von ihnen festgesetzt wären.

Unter den Lycopodiaceen ist Lycopodites ohne gemeinsame Art, *Lepidodendron* hat nur 11—12 europäische unter 41 Arten, *Ulodendron*, *Knorria*, *Halonia* dagegen zusammen 9 unter 13 Arten, *Lepidophloios* nur 2 unter 8, auch *Lepidostrobus* mit *Lepidophyllum* nur 5 unter 34 aufgezählten Arten.

Die Sigillarien sind ziemlich formenreich und zeigen 25 mit europäischen gleiche Arten unter 50 aufgeführten. *Stigmaria* hat wenig Eigenthümliches. *Didymophyllum*, *Spirangium* sind europäische Gattungen, nach Lx. ohne idente Arten.

Cordaites zählt 3 gleiche unter 16 Arten (die freilich schwer bestimmbar sind), dazu *Cordaianthus*, *Cordaicarpus*, *Cordaistrobus* 4 gleiche von 8 Arten. *Dicranophyllum* hat in beiden Welttheilen verschiedene Arten. Von Früchten und Samen werden 19 in beiden Welten gleiche unter 59 Arten gezählt.

Die beiden letzten Kapitel VI u. VII beschäftigen sich mit der „stratigraphischen Verbreitung der Kohlenpflanzen“ sowie mit „dem Ursprung, der Aufeinanderfolge und den Veränderungen der Pflanzentypen von der Basis der Coal Measures an aufwärts“. — Bereits bei Besprechung des systematischen Theiles des Werkes ist Manches hierher Gehörige durch Beifügung der Stufen, in welchen die genannten Reste gefunden wurden, hervorgehoben.

Da aber in diesen Kapiteln auch die Pflanzenreste der älteren Schichten unter dem productiven Kohlengebirge besondere Besprechung finden und so die Darstellung über den Rahmen der Localfloren hinausgeht, so sei noch Folgendes wiederzugeben gestattet.

Die ältesten Landpflanzen liefert das Mittel- und Ober-Silur. *Sphenophyllum primaevum* Lx. in der Cincinnati-Gruppe und *Annularia Roemingeri* Lx. aus dem unteren Helderberg-Sandstein von Michigan (s. Lesquereux, Proc. Ann. Phil. Soc. VII) sind davon Beispiele. In America kennt man noch keine Farne, aber Saporta beschrieb *Eopteris* von Angers [Pflanzenrest oder unorganische Bildung? s. Zeitschr. d. d. geol. Ges. 1880, S. 822]. Dawson fand *Psilophyton* und *Selaginites* im Ober-Silur von Canada (Canadian Naturalist May 1861) und Claypole *Lepidodendron* in Ohio (Geol. Mag. II. No. 12, 1878). Von Sigillarien ist aus der Cincinnatigruppe ein Stamm als *Protostigma sigillarioides* (Lx. l. c.) und eine *Sigill. Hausmanni* Göpp. im untersten skandinavischen Devon beschrieben und abgebildet. *Cordaites angustifolius* Daws. (l. c.) stammt aus Ober-Silur von Canada.

Aus Mittel-Devon beschrieb Dawson 2 Arten *Calamites*, *Cyclopteris incerta* (= *Archaeopteris?*), *Psilophyton*, 2 Arten *Lepidodendron*, 1 *Sigillaria*, *Didymophyllum* und 3 *Cordaites* (Quart. Journ. Geol. Soc. 1862, p. 298). [Hierzu käme, was Dawson 1881 aus Devon von New York und New Brunswick mittheilt, dies. Jahrb. 1882. I. -129-.] Darüber im Catskill und Chemung mit *Lepidodendron, Sigillaria, Calamites* (*transitionis*) sind die Farne durch *Archaeopteris* reichlicher vertreten, deren letzte Spuren man im mittleren Subconglomerat oder Horizont des Chester-Kalksteins beobachtet hat. Im gleichen Horizont erscheinen *Neuropteris tenuifolia* und *Loshi* und *N. hirsuta*, die bis ins Perm fortsetzen (Lx.). Der eigenthümliche Typus *Megalopteris* ist ausschliesslich hier gefunden, auch Dawson's Angabe desselben in Canadischem Devon bezieht sich auf Chester limestone. Auch einige andere Reste gehen nicht weiter hinauf, wie *Lesleya grandis, Protoblechnum, Eremopteris marginata*, *Hymenoph. Balantini.* — Die Verbreitung der Gattungen, welche die Pennsylvanische Steinkohlenflora bilden, ist aus den oben zugefügten Notizen zu entnehmen. Dabei ist zu berücksichtigen, dass nach Ausweis der Tabelle von Lx. sich die anthracitische Flora (Stufe V) zusammensetzt aus 268 Arten insgesammt, wovon auf die erste Zone darin 84, auf die zweite 141, die dritte 61, die vierte 54 Arten entfallen. Die bituminöse Flora (Stufe VI) enthält im Ganzen 387 Arten, davon die erste Zone darin 240, die zweite 161, die dritte 29, die vierte 45 Arten. Die formenreichste und ärmste Flora sind beide in der letzten Stufe vereinigt. Relativ den bedeutendsten Antheil an der Zusammensetzung der einzelnen Floren haben überall die Farne, etwa mit Ausnahme der untersten Zone der V. Stufe. Die grösste Zahl von Neuropteriden, Pecopteriden und Sphenopteriden, auch *Rhacophyllum* und Farnstämme besitzt die erste Zone der VI. Stufe. Die relativ grösste Zahl von *Lepidodendron* und nächst Verwandten weist die erste und zweite Zone der V. Stufe auf, doch auch die erste der VI. Stufe hat deren eine beträchtliche Anzahl. Auch bei den Sigillarien ist es ähnlich; die erste und zweite Zone der

V. Stufe haben zwar die grösste Anzahl, doch auch die erste Zone der VI. Stufe besitzt deren noch 10 Arten. Die letzte von Lx. als permocarbonisch bezeichnete Flora (VI. 4) hat vorwiegend zwar Farne, doch keine sehr bezeichnende Formen, auch noch 2 Sigillarien. Dasselbe gilt auch von der vorhergehenden noch ärmeren Flora (VI. 3). Weiss.

Dathe: Über *Phycodes circinatum* aus dem Cambrium bei Lobenstein in Ost-Thüringen. (Zeitschr. d. deutsch. geolog. Ges. 1882. S. 452.)

In der obersten Stufe des Cambrium treten jene bezeichnenden Körper auf, deren organische Natur von Dathe nicht angezweifelt wird. Zu dem früher bekannten Fundorte am Lerchenhügel zwischen Wurzbach und Lobenstein kommen andere neue, wie am „Neuen Berge" bei Lobenstein und südlich Helmsgrün. Weiss.

Beyschlag: *Rhacopteris sarana* n. sp. (Zeitschr. f. d. gesammt. Naturwissensch. Halle 1882. Bd. LV, S. 411, mit Photolithographie.)

Nahe der obern Grenze der mittlern Saarbrücker Schichten, auf Heinrichflötz der Grube von der Heydt bei Saarbrücken fand Verf. diese interessante Gattung in einer als neu betrachteten Art auf, welche *Sphenopteris Asplenites* Gute., *Asplenites elegans* Ett., *Rhacopteris transitionis* Stur und *Sphenopteris alciphylla* Phill. nahe steht. (Eine ziemlich ähnliche *Rhacopteris* hat der Referent schon 1871 auf Grube Dechen als Hangendes von Flötz Borstel in untern Saarbrücker Schichten gesammelt und in einer Flora d. jüng. Stk. im Saar-Rheingeb. S. 232 citirt, sie wird in der Sammlung der geologischen Landesanstalt in Berlin aufbewahrt.) Weiss.

Schenk: Über *Medullosa elegans*. (Engler's botan. Jahrbücher III. Bd. S. 156. 1882.)

Zuletzt haben Binney, Renault, Williamson, Grand' Eury die *Medullosa elegans* Cotta (*Myeloxylon* Brongn., *Stenzelia* Göpp., *Myelopteris* Ren.) für Blattstiele von Farnen der Gruppe der Marattiaceen nahe stehend erklärt. Schenk untersuchte die Originale Cotta's und einige andere sächsische Stücke und findet die Angaben über die Anatomie dieser Reste von Renault und Williamson bestätigt, gelangt aber zu einem andern Resultate durch Vergleichung mit Blattstielen der lebenden Cycadeen. Am nächsten stimmen sie nämlich mit denen von *Aulacophyllum*, *Macrozamia* und *Encephalartos cycadifolius* unter den cultivirten, und besonders wird der excentrische oder collaterale Bau der Fibrovasalstränge der Cycadeenblattstiele betont, welche bei Farnen, auch bei *Angiopteris* und *Marattia*, concentrisch gebaut sind, sodann die Existenz von Schleimgängen (Gummizellen nach Renault) bei Cycadeen und deren Fehlen bei Farnen. Beides aber ist ganz entsprechend bei *Medullosa elegans* vorhanden. Danach ist dem Verf. dieser Rest weder ein Prototyp noch ein combinirter Organismus, sondern eben ein Cycadeen-

blattstiel. Wegen der Benennung glaubt er, dass, falls man nicht den ältesten Namen *Myeloxylon* Brongn. anwenden wolle, *Stenzelia* Göpp. die Priorität habe. (Vergl. Jahrb. 1882. II -154-.) — Ausser *Medullosa* (*Myeloxylon*) *elegans* hat sich bei Chemnitz auch *M. Landrioti* Ren. sp. gefunden. Weiss.

Renault: Sur les pétioles des *Alethopteris*. (Compt. rend. t. 94. Nr. 26. S. 1737, 26. Juni 1882.)

In Folge der Schenk'schen Mittheilungen über *Medullosa elegans*, welche Gattung er als Cycadeenblattstiele deutet, nimmt Ren. Veranlassung seine Untersuchungen fortzusetzen. Es werden Blattstiele von *Alethopteris aquilina, Grandini* und von *Neuropteris Loshi* erwähnt und er kommt zu dem Schlusse, dass *Medullosa elegans* und verwandte die untern Wedelstiele von *Alethopteris*, *Neuropteris* und sehr wahrscheinlich von *Odontopteris* seien. Weiss.

Ludw. v. Lóczy: Geologische Notizen aus dem nördlichen Theile des Krassoer Comitates. (In Földtani Közlöny oder Geologische Mittheilungen; Zeitschrift der ungar. geolog. Gesellschaft. 1882. Jahrg. XII. Heft V und VI. p. 121—143.)

Neogenbildungen umgeben den westlichen Theil des Pojana-Ruszka-Gebirges im Krassoer Comitate. Hier am Südrande fand v. Lóczy im Dorfe Kricsova nördlich von der Eisenbahnstation Gavosdia unter Schichten von Sandstein und losem Sande auch einen Blätterabdrücke führenden sandigen Mergel. Aus diesem bestimmte Staub: *Carpinus grandis* Ung., *Planera Ungeri* Ett., *Quercus pseudocastanea* Goepp., *Castanea Kubinyi* Kov., *Quercus mediterranea* Ung., *Cyperites* sp., *Myrsine* sp. — Die 5 ersten, besser erhaltenen Arten finden sich an verschiedenen den Congerien- und sarmatischen Schichten angehörigen Fundorten Ungarns und zwar hauptsächlich in den zur sarmatischen Stufe gezählten Orten. Doch kommen sie auch schon in älteren Schichten vor. Geyler.

A. Schenk: Die von den Gebrüdern Schlagintweit in Indien gesammelten fossilen Hölzer. (Adolf Engler, Botan. Jahrbücher 1882. Bd. III. Heft 4. p. 353—358.) (Vorläufige Mittheilung.)

In den jüngeren Formationen Ostindiens sind fossile Hölzer an verschiedenen Fundstätten beobachtet worden, wie im Cuddaloresandsteine bei Tiruviicary (Trivicary) besonders häufig *Peuce* (= *Araucarioxylon* Felix) *Schmidiana* Schleiden. Die Hölzer gehören zum Tertär oder zur Kreide, finden sich aber auch auf secundären Lagerstätten. — Die Sammlung der Gebrüder Schlagintweit besteht aus 27 Nummern. Davon sind allein 20 Laubhölzer (incl. 6 Stücke der *Nicolia Aegyptiaca* Ung., gesammelt bei Cairo oder zwischen Cairo und Suez), 5 sind Coniferen, 2 Palmen.

Von den Coniferen gehören 4 Stück zu *Araucarioxylon Robertianum* Schenk nov. sp., sie stammen von Assanole in der Nähe von Ranigandsch.

östliches Indien, Mangali, Prov. Napur, Travancore; das fünfte Stück, aus der Nähe von Dschaipur in Assam, wird als *Cedroxylon Hermanni* Schenk nov. sp. bezeichnet. — Die 2 Palmen sind: *Palmoxylon Blanfordi* Schenk nov. sp., aus dem Bette des Nerbadaflusses bei Dschansi in Bandelkhand, und *P. Liebigianum* Schenk nov. sp., aus der Nähe von Sitabai, Provinz Nagpur; letzteres zeigt neben Fibrovasalsträngen auch isolirte Sclerenchymstränge im Grundgewebe und zahlreichere Gefässe in dem einzelnen Gefässbündel.

In dem Cuddaloresandsteine sind nach Medlicott und Blanford zahlreiche Coniferenstämme beobachtet worden, bis zu 100 Fuss engl. in der Länge und 5—6 Fuss im Durchmesser. Es müssen also, da dieser Sandstein zum Tertiär gehört, in dieser Periode oder auch vorher zahlreiche Coniferen vom Araucarientypus in Ostindien existirt haben, die jetzt dort fehlen. Denn *Dammara* findet sich jetzt zunächst nur auf Borneo wieder, *Araucaria* auf dem noch weiter entfernten Queensland. Die Coniferen der paläozoischen Periode mögen im Blüthenbau den heutigen Taxineen, im Bau des Holzes den Araucarien nahe gestanden haben; so *Cordaites, Ginkgophyllum, Dicranophyllum, Trichopitys*. Sind die Zapfen richtig gedeutet worden, so tritt *Araucaria* zuerst im braunen Jura, *Dammara* in der Kreide auf. Besonders *Araucaria* besass in Kreide und Tertiär ein ausgebreitetes Gebiet; es finden sich Stämme mit Araucarienstructur auf Kerguelen, Punta Arenas (Tertiär), Nordafrika (Kreide), Südafrika und vom Zambesi (Jura), Brasilien, England (Tertiär), Tasmanien, Frankreich (Kreide).

Cedroxylon Hermanni hat in Ostindien noch lebende Verwandte in *Pinus Pindrow* Royle und *P. Webbiana* Wall.; *Palmoxylon Blanfordi* aber ähnelt in der Anordnung des Grundgewebes der lebenden *Areca triandra*.

Geyler.

M. Staub: Baranyamegyei mediterrán növények. (Separatabdruck aus Jahrb. d. Königl. Ungar. geolog. R.-A. 1882. Bd. VI. 22 S.) mit 4 Taf. Ungarisch. — Auch deutsch: Mediterrane Pflanzen aus dem Baranyaer Comitate. (Budapest 1882 mit 4 Taf.)

Die hier beschriebenen Pflanzen wurden von J. Böckh und K. Hofmann im Baranyaer Comitate aus den das Fünfkirchner und Mecseker Gebirge umsäumenden, dem Mediterran zuzählenden Schichten gesammelt. Die Pflanzen-führenden Schichten sind Fischschuppenmergel, welche überall, und Andesittuffe, welche stellenweise Reste führen. Die an den verschiedenen Fundstätten gefundenen Fossilien werden vor der allgemeinen Übersicht aufgezählt. Letztere nennt folgende Arten: *Sphaeria interpungens* Heer, *Xylomites Zizyphi* Ett., *Glyptostrobus Europaeus* Bgt. sp., *Pinus taedaeformis* Ung. sp., *P. hepios* Ung. sp., *Ephedrites Sotzkianus* Ung. sp., *Arundo Goepperti* Münst. sp., *Poacites aequalis* Ett., *Cyperites* spec., *Typha latissima* Al. Br., *Myrica lignitum* Ung. sp., *M. hakeaefolia* Ung. sp., *Fagus Feroniae* Ung., *Quercus mediterranea* Ung., *Qu. Böckhii* nov. sp., *Planera Ungeri* Ett., *Ficus Haynaldiana* nov. sp., *Populus latior* Al. Br., *Cinnamomum Scheuchzeri* Al. Br. sp., *C. lanceolatum* Ung. sp.,

C. Rossmässleri Heer, *C. polymorphum* Al. Br. sp., *Santalum salicinum* Ett. sp., *Myrsine doryphora* Ung., *Diospyros paradisiaca* Ett., *D. palaeogaea* Ett., *Leucothoë protogaea* Ung. sp., *Zizyphus paradisiacus* Ung. sp., *Rhamnus Eridani* Ung., *Ailanthus Confucii* Ung., *Pterocarya denticulata* Web. sp., *Physolobium Ettingshauseni* nov. sp., *Pterocarpus Hofmannii* nov. sp., *Cassia lignitum* Ung., *C. ambigua* Ung., *Acacia Parschlugiana* Ung. — Als Endresultat ergiebt sich, dass, obwohl diese Flora entschieden dem älteren Mediterran angehört, sie dennoch in überwiegender Mehrzahl solche Pflanzen enthält, die schon im ältesten Miocän auftreten. Der Radobojer Flora gehören 50 Procent an. Geyler.

Rob. Caspary: Fossile Pflanzen der blauen Erde (des Bernsteins, Schwarz- und Braunharzes). (Sitzungsber. d. physik.-ökonom. Gesellschaft zu Königsberg 1881. p. 22—31.)

Nachdem im Eingange die schon früher beschriebene Blüthe von *Bembergia pentatrias* Casp. zu den Palmen in die Nähe von *Sabal* gestellt worden ist, geht Caspary zu der Schilderung einer Reihe neuer Typen, vorherrschend Blüthen oder Blüthentheile über. Es werden genannt *Quercus Meyeriana* Ung., *Qu. mucronata* nov. sp., *Qu. trichota* nov. sp., *Qu. longistaminea* nov. sp., *Qu. subvillosa* nov. sp., *Qu. subglabra* nov. sp., *Qu. nuda* nov. sp., *Qu. limbata* nov. sp., *Qu. piligera* nov. sp., *Qu. capitato-pilosa* nov. sp., *Castanea brachyandra* nov. sp., *Myrica linearis* nov. sp., *Acer micranthum* nov. sp., *A. majus* nov. sp., *Ilex multiloba* nov. sp., *I. minor* nov. sp., *I. aurita* nov. sp., *Billardierites longistylus* nov. sp., *Osyris Schiefferdeckeri* nov. sp., *O. ovata* nov. sp., *Thuites lamelliformis* nov. sp. aus dem Bernsteine. Im Schwarzharze fand sich *Pinus Künowii* nov. sp., im Braunharze: *Alethopteris serrata* nov. sp., *Sequoia Sternbergii* Göpp., *Zamites Sambiensis* nov. sp., *Phyllites lancilobus* nov. sp., *Proteacites pinnatipartitus* nov. sp., *Carpolithus paradoxus* nov. sp. — Den Schluss bildet die Besprechung der schwarzen und braunen harzartigen Körper, welche in der blauen Erde beobachtet wurden.

Geyler.

Ferd. v. Müller: New vegetable fossils of Victoria. (Reports of the Mining Surveyors and Registrars. Quarter ended 31st. March 1882. p. 43. 44.) Mit 2 Tafeln.

In diesem neuen Hefte werden wiederum 2 neue Gattungen beschrieben und abgebildet: *Pleioclinis* mit *Pl. Couchmanii* aus dem mittleren Pliocän von Nintingbool und Haddon bei Ballarat, sowie *Ochthodocaryon* mit *O. Wilkinsonii* aus dem Oberpliocän von Gulgong. Überhaupt wurden seit den letzten 12 Jahren durch v. Müller folgende Pflanzen beschrieben: *Spondylostrobus Smithii, Tricoilocaryon, Pentacoila, Celyphina Mac Coyi, Plesiocapparis prisca, Penteune Clarkei, Phymatocaryon Mackayi, Platycoila Sullivani, Rhytidotheca Lynchii* und *Conchotheca rotundata*. — Holzreste, welche bei Haddon neben Früchten von *Spondylostrobus* vorkommen,

zieht Verf. dazu und reiht beides den Cupressineen ein. Dagegen gehört *Araucaria Johnstoni* F. Müll. aus dem Travertin von Geilstone-Bay in Tasmanien und wahrscheinlich auch der von Feistmantel als fraglich zu *Brachyphyllum* gestellte Rest von Lithgow-valley in Neusüdwales zu den Araucarieen. **Geyler.**

Engler: Übersicht der wichtigeren und umfassenderen, im Jahre 1881 über Systematik, Pflanzengeographie und Pflanzengeschichte erschienenen Arbeiten. (Botanische Jahrbücher, III. Bd. 1882, S. 162–259.)

Diese Übersicht berücksichtigt auch die über fossile Pflanzen erschienenen Schriften und reiht sich den ähnlichen Übersichten in Just's botan. Jahresbericht und Uhlworm's botan. Centralblatt an. Es dürfte auch für das Jahrbuch von Werth sein, auf die hier zusammengestellten einschlägigen oder verwandten Arbeiten hinzuweisen. Von Abhandlungen phytopaläontologischen Inhaltes werden 36 erwähnt und die meisten davon besprochen. Einige davon finden sich nur hier referirt. **Weiss.**

A. Petzhold: Beiträge zur Kenntniss der Steinkohlenbildung nebst Kritik des Werkes von P. F. Reinsch: Neue Untersuchungen über die Microstructur der Steinkohle des Carbon, der Dyas und Trias. 1881. Leipzig 1882. 34 Seiten.

Der erste Theil der Broschüre beschäftigt sich mit der Steinkohlenbildung, worüber Verf. schon 1841 eine Schrift: „über Calamiten und Steinkohlenbildung" veröffentlicht hatte. Pflanzen lieferten das Material, „faulige Verkohlung" (Fäulniss) verwandelte dasselbe in structurlose Kohle. Unter welchen Umständen aber hierbei die Pflanzenstructur verloren ging, dies zu erforschen, unternahm Petzhold vor 1841 Verkohlungsversuche von Holz in verschlossenen eisernen Büchsen. War der Verschluss hinreichend, so dass die gasigen und flüssigen Destillationsproducte nicht entweichen konnten, so verwandelte sich das Holz unter dem Druck der Dämpfe in blasige schwarze Masse, die kaum Spuren oder Nichts von Holzstructur zeigte, während bei ungenügendem Verschluss stets Holzkohle mit Holzstructur erhalten wurde. Diesem Versuche an die Seite stellt Petzhold Beobachtungen, die er an Pfählen gemacht haben will, welche beim Bau einer Eisenbahnbrücke über den Rhein bei Alt-Breisach zum Einrammen dienen sollten, aber statt in den festen Boden einzudringen, nur stark gestaucht wurden. Er erzählt, dass in einem der gestauchten Holzblöcke ein Klumpen Kohle sich gebildet habe, theils Braunkohlen-, theils Anthracitartig, durch den eminenten Druck oder Schlag erzeugt. Die Entstehung structurloser Kohle aus Holz durch Fäulniss auf natürlichem Wege hält er durch diese zwei Versuche erwiesen.

Im zweiten Theile berichtet der Verf. über das Buch von Reinsch dessen Inhalt darin gipfele, dass 1) die Steinkohle aus Wasser- statt aus Landpflanzen gebildet sei und 2) dass diese Pflanzen so eigenthümlich be-

schaffen seien, dass sie sich in keiner Weise in das System der bekannten Pflanzen einreihen lassen, sondern dass für sie eine eigne Abtheilung der Protophyten gebildet werden müsste. Während Petzhold die Bildung aus Landpflanzen ebenfalls nicht für die wahrscheinliche hält, die dichte structurlose Beschaffenheit der Kohle aber auf den Druck bei der Fäulniss zurückführt, vermag er denn doch den botanischen Ideen des Herrn Reinsch nicht zu folgen. Er hat selbst viele Schliffe mikroskopisch untersucht und mit denen, welche Herr Reinsch käuflich herausgegeben hat, verglichen und gelangt zu dem Schlusse, dass von jenen 7 Abtheilungen der Reinsch'schen Protophyten nur die vierte der Grammitoiden Pflanzenreste seien (Treppengefässe etc. von Farnen etc.). Ausserdem hatte Reinsch nur wenige Spuren von Landpflanzen erkannt. Wie zu erwarten, ist nach Abwehr des Standpunktes von Reinsch an der bisherigen Sachlage nichts geändert.

Weiss.

33) Annales de la Société académique de Nantes. 8e série. vol. 2. 1881.

Dufour: Etude des fossiles des sables éocènes de la Loire inférieure. — Delamare: Note sur un phénomène géologique.

34) Bulletin de la Société philomathique Vosgienne. St. Dié. 7. année. 1881—82.

H. Bardy: Note sur la composition chimique de quelques eaux de puits de Raon-l'Etape.

35) Bulletin de la Société d'histoire naturelle de Toulouse. Toulouse 1882.

15. année 1881. — Gourdou: Quelques mollusques des montagnes de Luchon et de La Barousse. 82—101. — Regnault: La grotte de Massat à l'époque du Renne. 101—122. — Trutat: La forêt de Cèdres de Texut et Haad et les alluvions de la pleine de Chelif (Algérie). 209—222. — Garrigou: Nouvelle analyse complète de la source des Trois Cesars Aulus (Ariège).

36) Bulletin de la Société des Amis des sciences naturelles de Rouen. 2e série, 16. année 1881. 1. Semestre; — 2. Semestre.

G. Etienne: Compte rendu de l'excursion de Forges-les-Eaux faite par la Société le Dimanche 29. Mai 1881. 129. — H. Gadeau de Kerville: Excursion de Venlettes à Petites-Dalles. 341—347. M. Nicolle: Procès-verbaux du comité de géologie (1880—81). 381—387. — J. Girardin: Production artificielle de la Vivianite 79.

37) Bulletin de la Société d'Agriculture, sciences et arts de la Sarthe. 1881—1882.

II. série. T. XX. 1. fasc. 2. fasc. Guillier: Note sur les Météorites et spécialement sur celles tombées au Grand-luci le 13 Septembre 1768. — 3. Fasc. Guillier: Observations relatives à un travail de H. Sauvage sur les poissons fossiles des terrains crétacés de la Sarthe.

38) Bolletino del R. Comitato geologico d'Italia. 8°. Roma. [Jb. 1883. I. -351-]

1882. 2 sér. Vol. III. No. 11. 12. Novembre e Dicembre. — Lavori della carta geologica 307—308. — E. Cortese: Brevi cenni sulla geologia della parte NE. della Sicilia (Contin. e fine). 309—357. — R. Meli: Ulteriori notizie ed osservazioni sui resti fossili rinvenuti nei tufi vulcanici della provincia di Roma 358—368. — D. Zaccagna: I terreni della Val di Nievole fra Monsummano e Montecatini 368—389. Notizie bibliografiche 389—403. — Elenco del personale del Comitato ed Ufficio geologico alla fine del 1882. 404.

Berichtigung.

Nach gef. Mittheilung des H. G. vom Rath ist d. Jahrb. 1883 1. p. 174 der Referate zu lesen

Neigung von f zu Axenebene a b = 70° 33′ anstatt 41° 39¼′.

Facies franc-comtois	Grenzgebiete.		Argauische Facies.
	1	2	
Crenul.-Schichten	*Crenul.*-Schichten	*Crenul.*-Schichten	*Crenul.*-Schichten
Terrain à Chailles	Geissberger-Sch. Effinger-Schich. Birmensdorfer-Sch. Terrain à Chailles	Geissberger-Sch. Effinger-Schich. Birmensdorfer-Sch.	Geissberger-Sch. Effinger-Schich. Birmensdorfer-Sch.
Renggeri-Schicht.	*Renggeri*-Schicht.	*Renggeri*-Schicht.	

Zone des *Ammonites athleta.*

Beiläufig sei noch bemerkt, dass eine Lücke zwischen dem Terrain à Chailles und den überlagernden *Crenularis*-Schichten nicht anzunehmen ist, vielmehr ist der Übergang ein allmähliger; dasselbe gilt auch von der unteren Grenze des Terrain à Chailles. **P. Choffat.**

Göttingen, im Mai 1883.

Berichtigung.

In dem in diesem Jahrbuch 1883. B. I. p. 375—378 erschienenen Referate über die Klockmann'sche Arbeit finden sich für den Mikroklin sowohl, als auch für den Albit die Winkel α, β, γ so wiedergegeben, wie es der Autor in seiner Arbeit gethan hat.

Wie ein Blick auf diese Daten lehrt:

Albit: $\alpha = 85^0\ 55'\ 31''$; $\beta = 63^0\ 29'\ 32''$; $\gamma = 88^0\ 8'\ 40''$;
Mikroklin: $\alpha = 89^0\ 53'$*; $\beta = 64^0\ 10'$; $\gamma = 90^0\ 5'$

gelten diese Winkel nicht für den Oktanten v. r. o, für den sie allerdings meistens angegeben zu werden pflegen, sondern es kommen beim Albit die in Rede stehenden Daten in den Oktanten v. r. u und h. l. o vor.

Was aber den Mikroklin anlangt, so ist die vom Autor angegebene Axenwinkel-Combination überhaupt nicht bei jenem Mineral anzutreffen und es muss wohl bei Angabe von $\gamma = 90^0\ 5'$ ein Druckfehler angenommen und gesetzt werden $\gamma = 89^0\ 55'$.

Berechnet man nämlich aus den vom Autor gegebenen Winkeln des Mikroklin (hier in direkte Winkel übertragen)

P : M = 90° 7′
P : x = 129° 15′
M : x = 90° 8′

durch ein sphärisches Dreieck die Neigung der Axe a zur Axe b, so fällt der stumpfe Winkel γ, bei üblicher Aufstellung des Krystalls, in die Quadranten v. l und h. r der Axen a b.

Unter Annahme also von $\gamma = 89^0\ 55'$ für den Quadranten v. r der Axen a b gelten die vom Autor für den Mikroklin angeführten Werthe auch, wie beim Albit, für die Oktanten v. r. u und h. l. o.

Im Oktanten v. r. o kommen daher für:

Albit: $\alpha = 94^0\ 4'\ 29''$; $\beta = 116^0\ 30'\ 28''$; $\gamma = 88^0\ 8'\ 40''$
Mikroklin: $\alpha = 90^0\ 7'$; $\beta = 115^0\ 50'$; $\gamma = 89^0\ 55'$

in Betracht. **C. Klein.**

* Nicht 55′ wie im Referat durch Druckfehler steht.

cum. 350. — Fontannes: Note sur l'histoire des Unio plissés en Europe. 350. — L. Carez: Note sur l'Urgonien et le Nécomien de la vallée du Rhône. 357. — Parran: Observations sur la communication précédente. 366. — Grand'Eury: Sondages dans le Bas-Dauphiné septentrional. 366. — Fontannes: Observations sur la communication précédente. 367. — Virlet d'Aoust: Nouvelles notes sur la formation dans les roche, de différentes matières minérales. 367. — Rey-Lescure: Note sur la carte géologique du Tarn. 371. — Petiton: Esquisse géologique de la Cochinchine française. 384. — Hébert: Observations sur la position stratigraphique des couches à Terebratula janitor, etc. 400.

14) Bulletin de la Société minéralogique de France etc. [Jb. 1883. II. -137-]

T. VI. 1883. No. 5. pg. 74—142. — H. Dufet: Sur la variation des indices de réfraction de l'eau et du quartz sous l'influence de la température. 76. — Alfr. Lacroix: Sur la Wulfénite du Beaujolais. 80. — A. Damour: Analyse d'un arsénio-phosphate de plomb calcifère trouvé à Villevieille (Puy-de-Dôme). 84. — Ch. L. Frossard: Liste des principales espèces minérales trouvées dans les environs de Bagnères-en-Bigorre. 85. — A. Des-Cloizeaux: Nouvelles recherches sur l'écartement des axes optiques, l'orientation de leur plan et de leurs bissectrices et leur divers genre de dispersion, dans l'albite et l'oligoclase. 89. — Er. Mallard: Sur la chaleur latente correspondant au changement d'état cristallin de la brucite. 122; — Sur la détermination des indices principaux de la boracite. 119. — Cornu: Note sur l'emploi des compensateurs. 135. — Alex. Gorgeu: Sur la production artificielle de la hausmannite. 136. — L. J. Igelström: Hyalophane bleu-verdâtre de Jacobsberg (Wermland), Suède. 139.

15) Bulletin du Musée Royal d'histoire naturelle de Belgique etc. [Jb. 1883. II. -137-]

1883. T. II. No. 2. — L. Dollo: Troisième note sur les Dinosauriens de Bernissart (pl. III—V). 85—126. — * A. Renard: Recherches sur la composition et la structure des phyllades ardennais (pl. VI). 127—152. — J. Purves: Sur les dépôts fluvio-marins d'âge sénonien ou sables aacheniens de la province de Liège (pl. VII). 153—184.

Berichtigung.

Wir brauchen für deutsche Leser kaum zu bemerken, dass es nur ein Versehen der Correctur ist, wenn Jahrb. 1883. I. Tabelle gegenüber S. 448 in der letzten Spalte die unrichtige Bezeichnung Toucas' „Marnes d'Ems" für Emscher Mergel stehen geblieben ist.

17) Bolletino del R. Comitato geologico d'Italia. 8°. Roma. [Jb. 1883. II. -137-]

1883. 2 ser. Vol. IV. No. 5. 6. Maggio e Giugno. — Lotti: Appunti di osservazioni geologiche nel promontorio Argentario, nell' isola del Giglio e nell' isola di Gorgona. 109—128. — Niccoli: La frana di Mondaino 129—135. (Tav.) — Estratti e riviste, Notizie bibliografiche. 135—156.

1883. 2 ser. Vol. IV. No. 7. 8. Luglio e Agosto. — Baldacci: Alcune osservazioni sul terremoto avvenuto all' Isola d'Ischia il 28 Luglio 1873. 157—166. (Tav.) — Cortese: L'interruzione dell' Appennino al sud di Catanzaro. 166—178. (Carta e Tav.) — Estratti e Riviste, Notizie bibliografiche. 178—196.

Druckfehler.

Seite	22	Zeile	6	v. o.	lies Han-ho statt Hun-Kiang.
„	130	„	4	„ u.	muss es heissen statt 0.0259 MgO — 0.0295 MgO;
„	132	„	13	„ „	„ „ „ 37.08% SiO_2 — 37.51%:
„	132	„	6	„ „	„ „ „ 1.57% H_2O — 1.38%;
„	132	„	6	„ „	„ „ „ 1.38% H_2O — 1.17%;
„	132	„	1	„ „	„ „ „ 100.48 — 100.29 u. 100.70.
„	133	„	6	„ o.	„ „ „ Analysen I u. II beweisen — Analyse II mag beweisen.
„	133	„	8	„ „	„ „ „ keinen Verlust — keinen entsprechenden Verlust.
„	-273-	„	13	von unten der Ref.	lies Embryonalwindung statt Embryonalmündung.
„	-283-	„	19	von oben	lies gelegen statt gebogen.